



*Sirius*

A7 317

140506

PHILLIPS LIBRARY  
OF  
HARVARD COLLEGE OBSERVATORY.

---

AM  
6

**SIRIUS**

†

(T.M.C.)

# SIRIUS.



## Zeitschrift für populäre Astronomie.

Bestellpreis für Privat- und Lehrer der Honorarliste.

Herausgegeben unter Mitwirkung  
hervorragender Fachmänner und astronomischer Schriftsteller

von

Prof. Dr. Hermann J. Klein  
in Köln-Lindenthal

— — —

XL. Band oder neue Folge XXV. Band  
1902.



Edmund Heinsch Meyer  
Verlagsbuchhandlung  
LEIPZIG, Reipzigstr. 16.

# Inhaltsverzeichnis.

## 1. Erde.

- Die Gesteinung durch Jense 46  
Der internationale Bergeplan 47  
Das internationale Archiv der deutsch-  
russischen Grenzkommission Ost-  
kaukasus 50  
Die Ostgrenzung auf dem Mars durch  
Pavlovskaya 51

## 2. Planeten.

- Markirte Sternschnuppen 36  
Der gebirgsmächtige Doppelstern  
+ Capri 38  
Untersuchungen über Fixsternpaare  
auf dem Koll-Oberflächen 40  
Neue Beobachtungen von Fixsternpaaren  
durch photographische Aufnahmen  
41, 42  
Neue Untersuchungen über die Fixstern-  
systeme von Fixsternen durch Mon-  
tfortschützungen 43  
Der große Doppelstern 48  
Der Spitzstern von Mira Ceti 49  
Neue spektroskopische Doppelsterne 112,  
120  
Das Verhältniß des Apheleon 122-Ges-  
tirn 116  
Der Doppelstern 13 Cap 120  
Der Bahn des spektroskopischen Doppel-  
sterns + Capri 121  
Die photographischen Aufnahmen des Sterns  
+ Capri 121  
Vorhanden von Schwere in der Atmo-  
sphäre großer Fixsterne 122  
Der Bahn des spektroskopischen Doppel-  
sterns + Capri 123  
Der Bahn des spektroskopischen Doppel-  
sterns + Capri 125

## 3. Kometen.

- Der Komet 1906 12  
Über die schwebende Helligkeit eines  
Kometensterns beim Durchgang der

- Erde durch die Ebene der Kometen-  
Bahn 41  
Komet 1906 41  
Photographische Aufnahmen des Kometen  
1906 42  
Die schwebende Helligkeit des Helligsten  
Kometen 43  
Die Helligkeit des Helligsten Kometen  
44  
Über die Bahn des Kometen 1906 45  
Neuer Komet 1906 45  
Neuer Komet 112  
Der Komet 1906 112  
Neuer Komet 112  
Die Berechnung vollständiger Bahnen von  
Kometen und Planeten 114  
Die Kometenbeobachtungen des Jahres 1906  
115  
Der Komet 1906 117, 118  
Die vorwiegend Bahnen der Kometen  
119  
Die wahrscheinlichsten Bahnen und der  
Ordnung der Kometen 120  
Spektrum des Kometen 1906 120  
Neuer Komet 1906 120

## 4. Kosmologie.

- Zur Entstehungsgeschichte des Sonnen-  
systems 121  
Der Zustand der Weltentwicklung 122  
Prof. Wolf über die Weltentwicklung 124

## 5. Meteore u. Sternschnuppen.

- Über ein helles Meteor 12  
Ein Stern seiner Geschwindigkeit mit  
schwebender Meteore 12  
Über ein wahrscheinlich Meteor 42  
Feuerball am Tag 43  
Ein schöner Meteor 43  
Der Bahn der Meteore vom 16. Jan 1906  
120  
Beobachtung der Meteore 1907 121  
Ein großer Meteor 124  
Meteore und Stern 125

## 6. Der Mond.

- Der Mond und sein Einfluß auf das Wetter 77  
Mondbeschaffenheit von Ferrel (ergänzt) v. H. Meier 115.  
Mondbeschaffenheit von Ferrel (ergänzt) v. C. Seiden 132.  
Einfluß des Mondes auf die Windstärke 139.  
Neue Untersuchungen über die Rotation und die Größe des Mondes 224.

## 7. Nickelstecke u. Sternhaufen.

- Der Nickel der Herg am Perseus 155.  
Dunkle Materie unter der Nickelstecke 162.  
Untersuchungen über den Antimondmetall 215.  
Der planetarische Nickel im großen Stern W 30 230.  
Die Streuung der um die große Nickel bei i Perseus und 12 Monasterien 274.  
Die Nickelstecken und Sternhaufen im Cygnus 290.

## 8. Planeten

- Der Planet Mars Von Prof. W. Polkars 4  
Veränderungen und Wiederkehrzeiten des Jahresgangs 1907 u. 1908 15.  
Eine interessante Komposition des Mondes mit dem Planeten Venus 37.  
Photographische Aufnahmen des Saturnmondes Phobos 37.  
Vermutung, daß Mars aus entfernter Materie besteht 50.  
Fiktion Beobachtungen des 4. Jupitermondes 40.  
Die Bewegung der inneren Planeten und des Jovianischen 50.  
Flanke der 4. Oberfläche des 4. Jupitermondes 50.  
W. S. Gessing über 4. Komet d. Mars 75.  
Der Planet 1908 T<sub>1</sub> 100 81.  
Planetarische Theorie 85.  
Aufnahme des 6. u. 7. Jupitermondes 85.  
Die Erscheinung des Saturnrings 100.  
Der Ring der inneren Planeten 115.  
Nachforschung nach vermissten des Planeten während der Sonnenfinsternis am 20. August 1905 149.  
Ein zweiter kleiner Planet der Jupitergruppe der Asteroiden 153.  
Alarme des kleinen Planeten der Jupitergruppe der Asteroiden 155.  
Namen von Planeten Mars 155.  
Neu entdeckte Nachbarn der 4. Jupitermondes 160.  
Der Mercurdurchgang am 13. bis 14. November 1907 215.

Neue Untersuchungen über die Heliumschwankungen der vier großen Jupitermonde 191.

- Bestimmung von Marsen Planeten 205.  
Die drei Planeten der Jupitergruppe 209.  
Aufstellung anderer Beobachtung des 4. Jupitermondes vor der Jupiterfinsternis 209.  
Veränderung des Mars u. seiner Satelliten vor der Sonnenfinsternis 209.  
S. Newcomb über die optischen u. physikalischen Eigenschaften, welche bei der Bewegung der umgebenen Monde in Betracht kommen 210.  
Beobachtungen der Venus und die Jupiter mit dem Merkur 224.  
Mitternachtsmessungen auf der Jupiterfinsternis 224.  
Die Flanke auf 4. Oberfläche d. 4. Jupitermondes 230.  
Der Saturnring 230.  
Die Bahn des Planeten der Jupitergruppe Phobos 230.  
Der Planet Mars in der Erdnähe 240.  
Mercurien und Mars am nächsten kleiner Planeten 255.  
Veränderungen der Saturnringe 261.

## 9. Planetenkonstellationen, Stellungen der Jupiter- und Saturnmonde usw.

- 25, 26, 27, 31, 115, 141, 160, 165, 212, 230, 261, 265.

## 10. Sonne

- Die totale Sonnenfinsternis am 14. Januar 1907 25.  
Die Verdeckung der Sonnenfinsternis am 20. August 1905 26.  
Photographische Untersuchungen d. Sonne mit der Flanke 30.  
Neu entdeckte Untersuchungen der Sonne 51.  
Vom Sonnenobservatorium Mount Wilson in California 75.  
Wiederbildung der Sonne 80.  
Sonnen und Mondfinsternis im Juli 1907 115.  
Über die Verdeckung der seltenen Erden auf der Sonne 155, 165.  
Die chemischen Eigenschaften der Sonnenoberfläche 162.  
Großer Sonnenfleck 165.  
Die Verdeckung der chemischen Eigenschaften der Sonne 165.  
Größe der Sonnenfamilie des Planeten Mars 190 bis 191 167.  
Der Göttinger Sonnenfinsternisexpedition im August 1907 165.

Expedition des Lick-Observatoriums zur Beobachtung der totalen Sonnenfinsternis am 3. Januar 1928. 207

Der große Sonnenfleck des Juni 1905. 205  
Sitzung in der Kammer vom 18. August 1905. 201

Der totale Sonnenfleck am 3. Januar 1908. 203

Sterndrucke Bilder der Sonne. 276  
Der schwebende Berggipfel der höchsten Berge der Sonnenoberfläche. 171

## 22. Sternwarten, Instrumente u. Beobachtungsmethoden.

Der Zürcher Sternwarte. 1

Das Instrument neue Erfindung auf dem Gebiet der astronomischen Photographie 16.

Der Planet der atmosphärischen Observatorium in Potsdam 1905—1901.

Benutzung der Vergleichung mit einem astronomischen Instrumenten 208

Die Berliner Sternwarte. 211

Ein neues Spektroskop von Professor großer Instrumente. 211

Erkenntnis der astronomischen Sternwarten. 201

Der Instrument der Astrophysikalischen in der Königsberg im Jahre 1904. 212

Die heutigen Instrumente der Astronomie und ihre Fortschritt. 205

Observation und Geschichte der D. O. Stern Expedition. 206

## 23. Veränderliche Sterne.

Neue Sterne. 11

Photographische gleichzeitige Untersuchungen über den Lichtwechsel veränderlicher Sterne. 35

Der Veränderliche Stern im Walfisch. 44

Der veränderliche Stern von der Leno. 124

Spektroskopische Untersuchungen des Veränderlichen Mira Ceti. 126

Die Veränderlichen  $\gamma$  Cygni und  $\gamma$  Cygni. 121

## 24. Vermischtes.

Parade der Freunde der Himmelskunde. 15, 44, 56, 92, 117, 204, 116, 212, 213, 214

Ursprung. 15, 56, 120

Die Veränderungen des Observatoriums. 46  
Festlegung der Instrumente und ihre physikalisch-physikalischen Eigenschaften in der Ausbildung an der Himmelskunde. 46

Nächste Lichterscheinung. 91  
Neu entdeckte Sternschnuppen in Himmelskunde. 92

Fortschritte der Astronomie im Jahre 1908. 97

Astronomische Instrumente. 117  
Licht und Instrumente. 111

Ergebnisse der Beobachtung. 124  
Der 30. Februar als astronomisches Datum. 140, 204

Das Studium und der Beruf des Astronomen. 145

H. C. Vogel. 115, 204

Über die Geschichte der Planeten Mars. 202  
Mars und Loney. 204

## 24. Tafeln

I. Die Zylinder. 11, 12

II. Photographien des Mars. 12

III. Mars während der totalen Sonnenfinsternis am 28. August 1905. 12

IV. Sonnenfleck am 7. Januar 1908. 12

V. Sonnenfleck am 3. Januar 1908. 12

VI. Sonnenfleck am 3. Januar 1908. 12

VII. Photographie des Mars. 12

VIII. Photographie des Mars. 12

IX. Photographie des Mars. 12

X. Photographie des Mars. 12

XI. Photographie des Mars. 12

XII. Photographie des Mars. 12

XIII. Photographie des Mars. 12



Seit 1983

Die Zürcher Urania

Teil II

Copyrighted material



# SIRIUS.

Zeitschrift für populäre Astronomie.

Centralorgan für alle Freunde und Förderer der Himmelskunde.

Herausgegeben

unter Mitwirkung hervorragender Fachlehrer und wissenschaftlicher Schriftsteller

von Prof. Dr. Hermann J. Klein in Köln.

Januar 1907.

„Wissen und Erleben“ und der „Freie“ sind die  
Hauptstützen der „Sirius“-Kasse.“

Jeden Monat 1 Heft — jährlich 12 Mk

Verlag von EDUARD HEINRICH MAYER in Leipzig.

INHALT: Die Jupiter - „Uranus“ (Mit Teils 1) S. 1 — Der Planet Mars. Von Prof. W. H. Foerster. (Mit Teils 2 und 3) S. 4 — Verschmelzung und Wiederspaltung des Sternsystems 1907 und 1908. S. 10 — Neue Stern. S. 11 — Herkule's Nachtstern. S. 14 — Uraus. S. 18 — Erklärungen der jupiter und Saturn's. S. 20 — Astronomische Kalender. S. 21. — Zeichnungen der Jupiter's. S. 22 — Zeichnungen der Jupiter's. S. 24. — Zeichnungen der Abänderungen. S. 25.

## Die Zürcher „Uranus“.

(Mit Teils 1)

In wenigen Wochen wird in Zürich eine Vollversammlung des Zürcher Klubs abgehalten werden, welche in Bezug auf die optische Einrichtung, der Gründungsposition, der Lage und seiner Form ein höchstwertiges Unter-suchung darstellt. Die hohen Kosten, welche Bau und Ausstattung von Un-tern verursachen, haben zur Folge, daß ihre Gründungen einer vernünftigen Erhebungen überlassen werden und da wo wir ihnen begegnen, sind sie ein-ander aus und Hilfe von staatlichen Unterstüßungen oder durch die Opfer-willigkeit von reichen Freunden der Astronomie entstanden. Auch keine unterschiedet sich die Zürcher Institution von dem Schwabenklub, welcher dieselbe Mittel auch die Mithras-klub haben um im Leben zu geben. Sie vertritt die Existenz eines der Präsi-

dentat, der Energie einiger Wenigen, und ihre Leistungsfähigkeit ist durch eine geschickte Verknüpfung dieser und anderer Interessen gesichert.

Der Gedanke, in Zürich eine „Uranus“ zu gründen, ging von einem Amateur-astronomen aus. Das Projekt wurde vor genau zwei Jahren einer Gruppe von Freunden vorgelegt, welche zugestimmt und in die Tat umgesetzt. Der Kern der Idee war die Errichtung eines jedermann zugänglichen astrono-mischen Observatoriums, mit einer vollkommenen, auf modernsteuergestell-ten optischen Einrichtung, in zentraler Lage, um einen möglichst regen Be-such zu sichern. Zur intensiven Ent-faltung des Unternehmens von dem hohen Grund- und Baukosten war die Hauptforderung seine Verbindung mit andern Einrichtungen. Die Lösung

dieser Frage ergab sich durch die Einrichtung eines groß angelegten Geschichtsbauern, Weiterführung des Lichteinbaus und Ausarbeitung des so gewonnenen Baues für die Zwecke der Sternwarte. Es wurde die „Gesellschaft Urania“ mit einem Kapital von 100000 Fr. gegründet, dem Mitglieder aus Zürcher Familien und Männer der Wissenschaft, welche selbst an der Ausführung schritten.

Heute steht der geweihte Bau, nach den Plänen von Prof. Gellert von der Zürcher Baufirma Fierz & Leuthold ausgeführt, vollendet da. Die Vorrichtung des Geschichtsbauers ist von jener der Sternwarte völlig getrennt, auch das ständliche Dispositionen sind getrennt, und zwar so, daß der Betrieb des einen Teiles in keiner Weise mit dem andern kollidiert. Späterhin des Baues wurde der völlig isolierte Kuppelkeller aus unermittelter Seiten aufgeführt, auf welchem das Hauptinstrument ruht. Dieser Keller wurde 12 m unterhalb des Sternwarteauflandes, hat an seiner 10 m 18 m im Querschnitt und erstreckt sich nach oben. Seine Höhe beträgt 40 m. In einem freien Abstände von 1 m erheben sich die Mauern des Lichtschuttes. Das Haus enthält vier elektrische Aufzüge, von welchen zwei bis zur Dachhöhe führen, während der übrige zum Keller führt. Die Versuche haben die völlige Stabilität des ungewöhnlich hohen Pfeilers erwiesen. Der Kuppelraum hat 6½ m Durchmesser, die Kuppel, aus dem Zeltgewölbe stammend, ist aus Holz mit Kupferblech gedeckt und wird mittels eines Elektromotors, der vom Beobachtungstisch aus betätigt werden kann, eingeklappt. Sie ruht auf 16 Rollen, hat eine schrägsteigende Spindelrichtung, welche durch Drehen zweier Karbidröcke des Spindels lenkt. Die volle, nutzbare Spaltenbreite beträgt im Horizont 1,6 m, im Zenit 1,2 m.

Das Hauptinstrument ist ein paralaktisch montierter Refraktor von 30 cm freier Objektivöffnung und 54 m

Brennweite, von Carl Zeiss in Jena nach durchaus neuen Konstruktionsprinzipien gebaut. Diese neuen, durchgeführten Reformen im Fernrohr- und auch im Kuppelbau stammen von dem genialen Meister der jener Werkstätte, Ingenieur F. Majer. Ein erster Blick zeigt sogleich das Wesentliche des modernen Typus, nämlich die Verlagerung des Objektrades nahe an den Schützpunkt beider Achsen, was die Folge hat, daß der Beobachter selbst bei großen Bewegungen des Instrumentes, nur kleine Führeränderungen zu machen hat. Was ist auch die Einrichtung des perspektivischen Tragsystems, dessen Aufgabe es ist, den optischen Instrumenten ein festes, durchgängiges der Ständer- und Drehbewegungen anzuwenden und die letzte Bewegungsfreiheit des Instrumentes zu erhalten. Hierin besteht es eines Systems von Hebeln und Gewichten, welche aber in keiner Weise die Diagonale des Aussehens stören. Der Schützpunkt beider Achsen liegt im Mittelpunkt der Kuppel, der Fernrohr kann auf jeden Punkt eingeregelt werden, ohne an der Seite zu stoßen. Die Bewegung in Stunde erfolgt durch einen elektrischen automatischen Gewichtsantrieb, ebenfalls nach Mayers im Bahndirektor befindet sich das Gewicht des Uhrwerkes nicht oben, so daß es nach Auslösung sogleich zu wirken beginnt. Bei normalen Gängen stellt der Elektromotor das Uhrwerk unabhängig um so viel auf, als es bei der Arbeitsleistung abtrocknet. Schwankungen der Temperatur werden von einem elastischen Widerstand automatisch reguliert. Ist die Gewichtsbewegung in seiner höchsten bzw. höchsten Stelle angelangt, so bewirkt der schwingende Elektroapparat das Einstellen des Instrumentes die Uhrzeitsetzung oder Ausrichtung des letzteren. Der Kolimator ist mit großen Ausstrahlungslinien und mit großen

\*) Ausführliches darüber siehe „Sitzber. 119, 11. Heft S. 222 u. Teil II“.

Sacher versehen, enthält acht Ölkübel von 40 bis 1000maliger Vergrößerung, einen Schirm zur Projektion von Sonne und Mond, um diese beiden Objekte mehreren Personen gleichzeitig zeigen zu können, sowie ein optisches System zur Bildumkehrung. Die Zürcher Urmas beabsichtigt sich für das Instrument gleichermaßen auch für die vorerwähnte Konstruktion des Polikubus zur Verfügung zu stellen. Diese Erüstung, welche in einer Festschleife mit Zäunch von großer Bedeutung ist, hat dazu geführt, das Kuppelhaus in eine so außerordentlich hohe zu verlegen. Nicht allein, daß man dadurch dem Domitium der Stadt wesentlich entrückt ist, man überblickt in der Höhe von mehr als 40 m über dem Stadtniveau auch einen bedeutenden Ausschnitt des Alpenpanoramas, dessen sich Zäunch erbaut die Berge der Urdwäld und von Olman, die Gland, die Mythen, den Ollmisch, Tödi, Pfaffenstock und den wellenreichen Rigi. Die Högeldori, aus solcher Höhe, welche mittels der Aufzüge bequem erreichbar ist, einen weitestgehenden Blick über die Landschaft gewährt und diese mit einem so reichhaltigen Panorama betrachten zu können, dürfte zweifellos für das vorerwähnte Publikum eine große Anziehungskraft haben und bildet somit eine wesentliche finanzielle Stütze des Zürcher Linderchens. Vom Kuppelhaus hat man Zutritt zu acht geräumigen Loggen, auf welchen kleinere Fenster eine Anordnung finden sollen. Die Einrichtungen hierfür sind bereits getroffen. Im wesentlichen besteht die Ausstattung in einer äußerst genau gebunden, strengst exponierten Uhr, welche die mechanische Werkstatt von D. Perret-Fils liefert, sowie in einer Zeitballustrichtung von der Zürcher Firma Wüst & Co. Diese letztere dürfte eine der vollkommensten Konstruktionen

darstellen, bestehende Funktionen durch die elektrische Kraft, also ganz automatisch erledigen. Eine elektrische Uhr gibt 5 Minuten vor 12 Uhr Mittag den Kontakt, welcher das Aufsteigen des Zeitballs auf einen 45, m hohen Mast bewirkt. Um 12.00.00 erfolgt die Auslösung, wobei der Ball, eine hohle Kupferkugel von 750 mm Durchmesser, etwa 4 m fällt, dann automatisch gebremst wird und das letzte Stück nach herabsinkt.

Zu erwähnen ist noch der Beobachtungsstuhl. Obgleich die Linderchens der Ollmshöhe zwischen horizontal- und Zeitbeobachtungen sehr klein sind, konnte er doch nicht weggelassen werden. Er ist an der Kuppel, dem Spitz gegenüber angebracht, befindet sich also sehr in der für die Beobachtung ungünstigen Lage, da er alle Bewegungen der Kuppel mitmacht, hat die Form einer halbkreisförmigen Treppe, innerhalb welcher sich ein in der Höhe verstellbares Fachwerk, groß genug, um einigen Personen Platz zu bieten, befindet. Mit Hilfe eines Flachsseils kann das Podium ohne besondere große Kraftanstrengung gehoben und gesenkt werden. Da es von jeder Treppentritt gleich bequem zugänglich ist, so ist auch in dieser Richtung dem Publikum eine Annehmlichkeit gegeben.

Das Programm der Vorzüge hat die Zürcher Urmas ebenfalls vorgesehen, doch werden diese erst später durchgeführt werden. Vorerst ist die Ausstattung des Fensters der hauptsächlichsten Punkt. Ein hierfür angestellter Beamter wird den Objekte zeigen und erklären. Das gütliche Zusammenwirken mancher ausschlaggebender Faktoren wird voraussichtlich der neuen Zürcher Schöpfung einen guten Besuch sichern. Der Eintrittspreis ist bescheiden: er beträgt tagelang 1 Fr und das nachts 1.50 Fr.

## Der Planet Mars.

Von Prof. William B. Brewster. (Ebenes Bild II und III Abbildungen.)

**A**ls ich der nächsten drei Jahre wird der Planet Mars zweimal der Erde näher kommen als dies im 1902 der Fall war. Er wird also ein sehr ausgezeichnetes Objekt am Himmelsgewölbe sein und in großem Maße die Aufmerksamkeit der astronomischen Beobachter in den verschiedenen Ländern auf sich ziehen.

Zeichne die Punkte, in welchen die beiden Planeten am nächsten bei der Sonne und am entferntesten voneinander sind. Wenn Mars am nächsten bei der Sonne ist, so hat, wie man sieht, die Erde nahezu ihre größte Entfernung von derselben und die Bahnen beider Planeten sind hier voneinander sehr entfernt als irgendwo anders.



Fig. 1. Die Bahnen der Erde und des Mars.

Bahn des Mars. Um zu verstehen, wie große Annäherungen zwischen Mars und Erde nur in langen und unregelmäßigen Zeitabständen eintreten, schau in Fig. 1 der größte Kreis die Bahn des Mars, der kleinste die der Erde bezeichnend und S der Ort der Sonne sein. In Wirklichkeit sind beide Bahnen keine Kreise sondern Ellipsen und die Sonne steht etwas rechts von dem gemeinsamen Zentrum. Die Schnittlinie der beiden Durchmesser P A und p a mit den zugehörigen Kreisen be-

deutet die Punkte, in welchen die beiden Planeten am nächsten bei der Sonne und am entferntesten voneinander sind. Wenn Mars am nächsten bei der Sonne ist, so hat, wie man sieht, die Erde nahezu ihre größte Entfernung von derselben und die Bahnen beider Planeten sind hier voneinander sehr entfernt als irgendwo anders. Die Erde bewegt sich um die Sonne weit näher als Mars, auch hat sie eine kleinere Bahngeschwindigkeit zu durchlaufen, sie vollt deshalb den Mars nach jedem Jahr etwas weniger als zwei Jahre aus. Wenn dieser stattfindet, sind beide Planeten viel näher beisammen als zu einem andern Zeit. Mars geht dann für eine Zeitlang zurück und auf der gegenüberliegenden Seite des Himmels steht wie die Sonne, so sagt man, er ist in Opposition mit der Sonne. In Fig. 1 zeigen die kleinen Linien, welche der

beiden Bahnen verlaufen, wo die verschiedenen Oppositionen stattfinden. In den Jahren von 1892 waren die beiden Planeten sehr nahe beisammen, 1894 blieben sie schon weiter voneinander entfernt und keine glückliche ist mit dem vergangen. Die nächste wird 1902 stattfinden und etwas günstiger sein als die Opposition von 1894. Der Abstand des Mars von der Erde wird während 36,200,000 engl. Meilen (58,000 km) sein, während der kleinste überhaupt mögliche Entfernung des Mars von

der Erde 3000/100 engl. Meilen beträgt. Die gleichförmigen Oppositivbewegungen finden Ende August statt. Die auf den Nachbarn n und s beobachteten Punkte der Marsbahn, zeigen die Störungen, in denen die Umdrehungsperiode des Mars um seinen auf der Sonne im geraden und, in s hat die nördliche Hemisphäre Sommer und die südliche Winter. Da der Mars abseits der Erde sehr viel näher ist, als n n, so folgt, daß man die Details seiner nördlichen Hemisphäre sehr viel besser im Gedächtnis kommen als die der südlichen. Die Neigung des Marsquators gegen die Ebene der Marsbahn beträgt  $24^{\circ}$ , also ungefähr ebensoviel wie die der Erde. Die Jahreszeiten auf beiden Planeten und überabermessend, sprechen selbst dafür, daß das Marsjahr beinahe doppelt so lang ist als das Erdjahr. Der Marsing ist nämlich 48 Meilen länger als der Erdtag.

Schwere, Wasser und Atmosphäre. Der Durchmesser des Mars beträgt 4200 engl. Meilen oder etwas mehr als die Hälfte des Erddurchmessers, sein Masse ist gleich  $\frac{1}{12}$  der Erdmasse und die Intensität der Schwerkraft an seiner Oberfläche  $\frac{1}{10}$  von derjenigen auf der Erde. Ein Mensch von 150 Pfd. Gewicht auf der Erde wird folglich nur 50 Pfd. auf dem Mars wiegen und dementsprechend größerer Arbeit fähig bleiben. Er könnte nämlich leichter springen und einen Satz  $2\frac{1}{2}$  mal weiter schenken als wir. Die Wirkung dieser geringen Schwerkraft ist von großer Wichtigkeit für die physikalischen Verhältnisse auf dem Mars. Himmelskörper, wie die Schwerlast an der Oberfläche sehr groß ist, wie z. B. auf der Sonne, können enorme Atmosphären von freierem Gasen, wie Wasserdampf und Helium, zurückhalten, welche beispielsweise auf der Erde in den Weltraum entweichen. Himmelskörper, deren Schwerkraft an der Oberfläche gering ist, wie z. B. unser Mond, können nahezu das ganze Atmosphären verliert mit Ausnahme derjenigen Bestandteile, die sich gegen-

wärtig aus ihrem Innern erheben, wie Wasserdampf und Kohlendioxid. Mars, dessen Schwerkraft an der Oberfläche zwischen derjenigen auf der Erde und der auf dem Monde ist, muß deshalb auch eine Atmosphäre besitzen, die in Bezug auf Dichte und Zusammensetzung eine mittlere Beschaffenheit hat. Daß die Marsatmosphäre Wasserdampf enthält, ist unabweislich, denn wir sehen an seinen Polen Eis und dessen Schmelzen zu Wasser. Man hat die Vermutung ausgesprochen, die weißen Flecken, welche im Winter um den betreffenden Polkapf vorgetrieben erscheinen, im Sommer dadurch dagegen verschwinden, kleine Kohlenwasser aus. Das ist indessen unendlich, weil Kohlenwasser nicht in flüssigen Zustand übergeht, außer bei Druck von mindestens 5 Atmosphären, mag die Temperatur sein, welche ist weiß. Die Atmosphäre des Mars ist aber sehr wenig dicht, daher kann die Flüssigkeit, welche die charakteristischen Flecken in seinen Polregionen umgibt, keine Kohlenwasser sein. Wir kennen nur Wasser, das sich unter solchen Verhältnissen so verhält, indem es ist das Wasser auf dem Mars sehr rar, denn seine Ozeane, wenn es solche überhaupt besitzt, sind klein und nur zerstreut vorhanden, zur Zeit der Frühlingspolarschwermagnet. Fig. 2 zeigt die nördliche Polargebiet des Mars, nachdem die Eisdecken begonnen hat. Zu dieser Zeit, im Frühling der nördlichen Marsatmosphäre, zeigt sich die dunkle Fläche tagförmig die Entkopplung umgeben, einige tausend engl. Meilen auf Durchmesser und an mehreren Stellen über 200 engl. Meilen breit. Wenn die Eisdecke höher wird, verbreitert sich in dem gleichen Maße, gegen den Pol hin die dunkle Zone und inneren tritt sich schließen, daß diese dunkle Fläche nicht ein Meer bildet, sondern eigentlich ist oder ein Konglomerat von Sandstein und Wattenmeer. Innerhalb der Eisdecke erblickt man in Fig. 2 einen dunklen Fleck oder See der durch einen schmalen Arm mit der dunklen

Zone verbunden ist. Unter der Annahme, daß die Eisbedeckung in ihrer größten Ausdehnung den größten Teil des Wassers auf dem Mars als Eis und Schnee umfaßt, ist es nicht schwierig, sich eine Vorstellung von der gesamten Menge dieses Wassers zu bilden. Nehmen wir an, daß der durchschnittliche Tiefe des von der Sonne während vier unserer Monate hervorgerufenen Schneeschnees auf der ganzen Oberfläche 10 Fuß beträgt und das Eis des Kanals von Salome besteht, so würde sich daraus ein See bilden können der 2000 engl. Meilen Durchmesser und 2 Fuß Tiefe besitzt. Das würde ungefähr der Wassermenge eines unserer größten Seen gleichkommen, über selbst eine immensale größere Menge würde noch vorhanden sein. Obgleich diese Annahme eine Wahrscheinlichkeit würde sich Wasser auf dem Planeten heute überhaupt nicht mehr vorfinden, wenn es nicht, wie bei unseren Mon-



Fig. 2. Die Meteorite am Pol der Mars, nach einer Zeichnung von Prof. W. Pickering

den, auseinanderbrechen aus dem Innern hervorwürde. Früher oder später muß aber dieser Zufall eintreten und dann, wenn nicht schon früher, alles Leben auf diesem Weltkörper zugrunde gehen. Auch auf der Erde wird, wenn unsere Vorfahren aufleben werden Kollidieren entstehen, das pflanzliche und mit diesem das tierische Leben notwendig am Ende finden.

Sauerstoff und Stickstoff können auf dem Mars vorhanden sein, wahrscheinlich aber nur in geringen Mengen. Campbell hat, auf spektroskopische Gründe gestützt, gezeigt, daß die Dichte der Marsatmosphäre ein Viertel der Dichte unserer Erdatmosphäre nicht übersteigen kann und wahrscheinlich ist sie noch geringer. Die Existenz von Wasser in flüssiger Form beweist, daß die Dichte der Marsatmosphäre größer als

$\frac{1}{10}$  von derjenigen der Erdatmosphäre sein muß. So viel wir gegenwärtig wissen, beträgt also der Luftdruck an der Oberfläche des Mars weniger als 75 und mehr als 0.2 Zoll und die Lichtabsorption am hellen Rande des Mars zeigt, daß der wahre Wert näher der oberen als der unteren Grenze liegt. Der niedrigste Luftdruck, bei welchem Leben noch möglich ist, beträgt, wie die jüngsten Versuche mit Insekten aus dem Gemische von Sauerstoff und Kohlendioxid lehren, etwa 5 Zoll und dabei kann Leben wahrscheinlich nur kurze Zeit erhalten werden. Indessen könnte sich wohl eine intelligentere Rasse ähnlich entwickeln, die auch bei geringem Luftdruck am Leben blüht.

Klima und Pflanzenwelt. Die Gesamtsache, auf der wir uns genau kennen der klimatischen Verhältnisse des Mars aufzuklären werden muß, ist das Schicksal der polaren

Schneemassen. Wo solche stattfinden, wird die Temperatur mindestens 80° C sein und daher vom Äquator her, höher. Das Klima unserer Erde wird durch die geringsten unmerklichen Wassermengen geändert, aber diese würden unsere Sommer erheblich wärmer und unsere Winter erheblich kälter sein, so innern der Kontinente sind in der Tat die Temperaturschwänge größer als an den Küsten. Auf dem Mars, wo kein Ozean vorhanden ist, müssen die Temperaturschwänge noch bedeutender sein. Auch die Atmosphäre bewirkt eine Milderung der klimatischen Verhältnisse, wie sich schon daraus ergibt, daß auf hohen Bergen die Temperatur geringer wird als am Meeresspiegel. Da der Mars eine verhältnismäßig sehr wenig dichte Atmosphäre besitzt, so kann deren Erwärmung nicht durch

Auswertung hin noch nur gering sein. Gewisse Verhältnisse streben dahin, die wärmeren Temperaturen auf dem Mars zu erhöhen. Die verhältnismäßig großen Wolkensflächen und Schneefelder auf unserer Erde verursachen einen beträchtlichen Wärmeverlust durch Zurückstrahlung, welche in diesem Maße auf dem Mars fehlt. Wenn auf diesem Planeten die Nächte verhältnismäßig wärmer sind, wie es möglicherweise der Fall ist, so schwächen diese Wolken die Oberfläche darunter vor Ausstrahlung der Wärme in den Raum während eines gewissen Teiles des Marstages und diese Wirkung trägt dazu, die Temperatur der Marsoberfläche zu erhöhen.

Während einer Sommerzeit nähert die Polargegend des Mars, infolge der geringen Dichte der Atmosphäre und dem Fehlen von Wasser, sich einer Temperatur an, die nur wenig niedriger ist als diejenige der heißen Zone, aber während der langen polaren Winterzeit muß die Temperatur dort heftig zum absoluten Nullpunkt sinken. Wie hoch die größte Wärme auf dem Mars sein mag, wissen wir aus Beobachtungen nicht, aber wir dürfen annehmen, daß sie niedriger ist als die höchsten Temperaturen, die auf unserer Erde angetroffen werden. Wir Menschen würden wahrscheinlich in der heißen Zone auf dem Mars die Hitze auszuhalten finden, aber keineswegs aushalten und in den Polargegenden ganz Pflanzen könnte innerhalb Vegetation, je vielfältig sogar tierisches Leben, in größerem Umfange als bei uns, existieren.

Die Wolken des Mars erscheinen aus einem uns unbekannten Grunde von gelblicher Färbung. Auf der Oberfläche der Marscheibe sind sie, abgesehen von kleinen, nicht augenfällig, aber im kleinen leicht photographiert werden. An der Lichtgrenze sieht man sie in gewissen Jahreszeiten beginnen. Während der Marsperigeeen 1904 wurden sie auf dem Flügelfeldobservatorium wiederholt in dieser Stellung

mitgenommen. Das kleine Aussehen an der linken Seite in Fig. 3 ist durch Wolken verursacht. Mit dem solchen Wolken könnten während zwei nacheinander folgenden Nächten identifiziert werden, nämlich auf dem Flügelfeldobservatorium in den Jahren 1894, 1900 und 1903. Sie erschienen in einer Zeit, welche etwa dem Spätsommer oder Herbst entspricht, zwei Monate unterhalb und eine halbe vom Rande der heißen Zone, also innerhalb  $66^{\circ}$  vom Südpol. Sie schwebten scheinbar in einer Höhe von etwa 15 engl. Meilen und bewegten sich in nordwestlicher



Fig. 3. Mars von Berlin zeigt sich einige Male auf nicht hohen Breiten und wenn bei jedem Mars-Perigeeen der Erde. Nach einer Zeichnung Prof. W. Pickering's mit dem Wiener 1894.

Richtung mit einer Geschwindigkeit von 15 bis 27 engl. Meilen in der Stunde. Diese Höhen sind erheblich größer als diejenigen, in welchen unsere irdischen Wolken schweben, während ihre Bewegung eine verhältnismäßig langsamen atmosphärischen Zirkulation anzeigt, als man erwarten möchte. Die neuen Abbildungen, Teil II, sind nach photographischen Aufnahmen gemacht, die zeigen, die riesigen Detail auf der Marscheibe zeigen. Die Zeichnungen und Photographien sind hier stets so dargestellt, daß Süden oben und Nord unten ist, so der Seite rechts ist Osten, der linke Rand, der die Kraterlinie darstellt, wird links der Rand des Planeten genannt, der gegenüberstehende dunklere, unregelmäßige Rand bezeichnet

des Luchtpasses, d. h. des Linsens mit dem Mars, die westlich der Sonne dort im Himmel steht.

Die erste Photographie zeigt das Aquatorale (hell) Wolkenband, der rechte die nördliche Polarkappe, die dritte, welche einen Tag später aufgenommen wurde, läßt die inzwischen erfolgte Bildung einer neuen nördlichen Polarkappe erkennen. Das vierte wurde fünf Tage später aufgenommen und zeigt die Zuspätkommen neuer nördlichen Polarkappen an Größe und Helligkeit. Der fünfte zeigt diese Kappe vollständig entwickelt und außerdem einen inneren, schwachen Aquatoralfleck, endlich unter demselben einen ganz mysteriösen hellen Fleck, die nur weil vom Aquator gesehen werden. Unförmlich der Wolken, sondern diese hellen Fleck, der Lage nach, dauert aber gewisse Zeit an. Der abgebildete Fleck war auch nach sechs Wochen sichtbar, ungeachtet schwach Berge, die Wolken um sich versammeln, gibt es auf dem Mars nicht, mit Ausnahme einer kurzen Periode nach dem Südpole. Der Fleck bestand sich aber einem Punkte von  $50^{\circ}$  Länge und  $+15^{\circ}$  Breite in der Mitte von Trivium Chaotis. Ein ähnlicher, der weniger ausgeprägter weißer Fleck wurde 1892 zu Arqueus über dem Aquator des Mars in  $28^{\circ}$  Länge gesehen und 1893 auf dem Flagstaff observatorium. Der Fleck nahe bei Trivium kam nur während der sommerlichen Jahreszeit der nördlichen Mars hemisphäre gesehen werden, entsprechend unsere Monaten Juni bis 12 September. Möglicherweise wird er durch irgend eine Vegetation hervorgerufen. Die zweite Photographie zeigt die südliche Polarkappe in abnehmender Ausdehnung und gleichzeitig einen temporären Wolkenstreifen der den Nordpol umgibt. Das Studium von photographischen Aufnahmen stiebt den gesprochenen, gestützt die Dauer der Aufhellungen und Bewölkungen auf dem Mars zu bestimmen. Aufsteigend wüßigen Winter nahe dem Aquator

und in den tropischen Regionen ist sehr selten, aber in den Polargegenden dauert die Bewölkung örtlich häufig wöchentlich, doch sind die Zwischenperioden kalten Winters auch von langer Dauer. Die Photographen 6, 7 und 8 zeigen detaillierte Details auf der Marschale. Der dunkle Fleck gerade über der Mitte von Fig. 8 ist der kleine Saturnus, von dem nur die Umpengabe auf dem Mars gesehen werden; der dunkle Fleck auf den Figg. 7 und 8 ist die Syrtis Major.

Meere, Kanäle und Seen. Die erste Zeichnung, der von einem dunklen Fleck (Meer) auf der Marschale erhalten wurde, zeigt die Syrtis Major und nahe von Haystack her (1895). Die erste Marbonie, welche einen Kanal und See enthält, ist die von Beer und Mädler (1830). Der Kanal, den sie darstellt, wird heute mit dem Namen Dromedars benannt und der See ist der Lacus Phoeniceus. In größerer Anzahl wurden diese Kanäle zuerst von Schiaparelli 1877 dargestellt, die beim 1890 auf der Harvardstation zu Arqueus, wo 40 derselben entdeckt worden sind.

Ein großes Teleskop ist nicht erforderlich um die Kanäle und Seen deutlich wahrzunehmen, ein solches von 8 bis 16 Zoll Öffnung reicht dazu aus. Das wirklich wertvolle Erkenntnis ist dagegen eine möglichst ruhige Atmosphäre, wie solche nur in niedrigen Breiten angehalten wird, d. h. atmosphärische Zustände, welche die Astronomen als „good Luft“ (good seeing) bezeichnen. Dieser Umstand erklärt, weshalb der Planet Mars nicht im Vergleich mit den nördlichen gelegenen großen Sternwarten studiert werden kann, wo trotz der nördlichen optischen Helligkeit nur wenig von dem feinen Detail seiner Oberfläche sichtbar wird.

In jüngerer Zeit und vornehmlich Zweck in Bezug auf die wirkliche Existenz der Mariskanäle ausgesprochen wurden. Ein Aufsehen aber, der niemals anders als ein nördlichen Europa oder im Osten der Vereinigten Staaten



den Mars beobachtet, hat kein Recht, eine Meinung über diesen Gegenstand auszusprechen, denn er kennt einfach nicht, was wirklich gute Luftverhältnisse zu sehen gestatten und wie Ansicht in dieser Hinsicht ist. Das verhältnismäßig kleine Anzahl von Astronomen, die unter wirklich guten Luftverhältnissen den Mars beobachtet, haben die Kanäle gesehen und bewiesen deren Existenz folglich nicht. Unsere heutigen Teleskope sind reichlich groß genug zum Zwecke planetarischer Studien, manche von ihnen sind sogar zu groß und eine weitere Verwirklichung derselben bringt keinen Vorteil. Zu Cambridge (Massachusetts) liegt ein Fernrohr von 4 Zoll Öffnung im Monte und im Mars alles was man auch mit einem 15 zölligen Fernrohr sieht. Zu Flagstaff, wo die Luft viel besser ist, hat Prof. Lowell oftmals die Öffnung seines 24 zölligen Refraktors auf 16 Zoll abgedreht, um schärfere Wahrnehmungen machen zu können. Was wir tun können ist: Gegenstand auf der Erde aufstellig machen, wo die Luft für astronomische Beobachtungen besser als anderswo ist und dort unsere zukünftigen Teleskope aufstellen. Nur dann werden größere Instrumente mit Nutzen verwendet werden. Hitzte oder Feuchtigkeits haben mit der Luftbeschaffenheit für fernastronomische Wahrnehmungen nichts zu tun, diese ist hauptsächlich eine Frage der geographischen Breite und in solchen wie in Arequipa (15° südlich Br.) und Flagstaff (20° nördl. Br.) ist die Luft in der Tat so vorzüglich. Der Grund hiervon liegt darin, daß diese Orte relativ hoch von den großen erdenschütternden Störungen, welche die Atmosphäre der gemäßigten Zonen beunruhigen. An einem Orte sagen sich die Kanäle des Mars sehr deutlich. Um zu verstehen, wie das Mars durch ein gutes Teleskop gesehen, erscheint, mag man den Mond nämlich mit einem Opernglas betrachten: die Schiefe und Menge des sichtbaren Details ist in beiden Fällen ähnlich.

(Seite 1907. — Bild 1.)

Abgesehen des Aussehen beider Weltkörper völlig verschieden ist.

Im früheren Zeit schrieb man die rote Farbe des Planeten der Wirkung seiner Atmosphäre zu, später hat man eingesehen, daß dies unmöglich der Fall sein kann. Dem glaubte man, die dunklen Flecke der Marsoberfläche seien Wasser und man bezeichnete sie als Seen, während die hellen rötlichen Flächen als Gebiete angesehen wurden, die mit einer (rötlichen) Vegetation bedeckt wären. Im jüngsten Jahr wurde versucht, die sogenannten Seen und Kanäle aus der Vegetation bedeckte



Fig. 4. Region um Terra major. Gezeichnet von A. E. Douglas.

Gebiete und die roten Flächen Wälder. Diese Ansicht fand sich bestätigt durch die Beobachtungen in Arequipa 1882, sowie zu Flagstaff 1894 und ist seitdem im allgemeinen angenommen, obgleich die alten Beobachtungen von Beobachtungen bestätigt wurden.

Eine der Schwierigkeiten, welche der Annahme, daß die Seen und Kanäle Wasser enthalten, entgegensteht, ist, daß, falls auch von Kanäle Seen durchfließen, was nach einer Hypothese schwer zu erklären ist (vgl. Fig. 4 und 109), auch finden sich einige sogenannte Seen mitten in den sogenannten Meeren, welche letztere zur Frühjahrszeit der betreffenden Marsoberfläche eine grüne Farbe zeigen. Später werden sie grau und noch später zeigen sich Störungen, welche näher den Polen liegen, von gelblicher Farbe. Sie sind dann nur schwer von den

wälderartigen Flächen des Planeten zu unterscheiden. Eine andere Beobachtung von Prof. Lowell zu Flagstaff sagte, daß das Meer Erythraeum eine schokoladenbraune Färbung angenommen hätte, welche Farbe auf der Erde bei fruchtbarem Boden gefunden wird. Der Verfasser dieses Artikels hat die gleiche Färbung bei dem stählernen Polarscope des Mars gesehen, räumte als dieses anstricherte. Die Kanäle sind durchsichtlich so schnell um dunkle Färbung zu zeigen, doch scheint bei einigen breitere die Färbung derjenigen der Meere ähnlich zu



Fig. 5. Regen im Syris major. Nach einer zweiten Zeichnung von Prof. Lowell.

sein. Schopenhauer und Lowell beschreiben sie besser als Regen. Ihre Breite ist sehr unbestimmt, einige Beobachter, wie Douglas, rechnen sie sehr hoch (Fig. 4), andere, wie Lowell (nach dessen Zeichnung Fig. 5) kaputt auf sehr schnell. Verfasser dieses gibt ihnen eine mittlere Größe (Fig. 6). Gegenüber dem sehr dünnen Luftverhältnissen auf so kurzen und sehr schmale Kanäle (Fig. 3), über die langen Kanäle und (im Hinblick so schnell ordnen wie Lowell sie andern).

In jüngster Zeit ist es Lampland zu Flagstaff gelangen zuerst Kanäle zu photographieren. Zunächst glaubte man, daß diese Photographen die Länge der Enden dieser Kanäle überzeugen würden, aber es ergab sich fast sofort, daß diejenigen, welche in dem Vorherrschen der Kanäle überhaupt zweifeln, so auch nicht auf die Photographen erkennen konnten. Photo-

graphische sind die Kanäle allerdings äußerst schwierige Objekte und es übertrifft den Verfasser diesen durchaus nicht, daß diejenigen, welche nicht im Bereich des astronomischen Photographen gelte sind, so nicht auf solchen wahrnehmen. Fig. 6 ist eine Zeichnung.



Fig. 6. Fließt auf der Marschkanäle gesehen von Prof. W. Peckham, nach zwei photo graphischen Aufnahmen zu Flagstaff.

welche Verfasser dieses hauptsächlich nach der ersten Photographie des Lowell observatoriums entworfen hat, andere Photographen wurden dann hinzugefügt und nichts als sicher angenommen, was nicht weniger noch auf



Fig. 7. Stillenkanäle mit den Namen der Punkte und Kanäle.

einer anderen Aufnahme sich fand. Diese Photographen wurden aufgenommen ungefähr eine Stunde später nachdem Prof. Lowell seine Zeichnung, Fig. 5, angefertigt hatte. Fig. 7 kann als Schlüssel dienen, um die Namen der Kanäle in den beiden Abbildungen festzustellen. Die größeren Flächen in Syris, Mare Erythraeum, Mare Jovium und Syris major sind auf dem Original, nach welchem Fig. 6 gezeichnet wurde, ebenfalls eingezeichnet. Die Kanäle

Milkyway, Cassio und Pyramus erscheinen ebenfalls vollkommen dunkel, aber es muß bemerkt werden, daß sie auf den Photographien nicht eigentlich als Kanäle sondern als breite Flächen sich darstellen. Cassio und Pyramus erscheinen auch auf Lowells Zeichnung (Fig. 5) als breite Flächen, die andere von ihm beschriebenen Kanäle Thor, Antares und Praxidius (die auf den Photographen als feine Linien sich zeigen), sind ziemlich deutlich; Virelia, Parnu und Junones Lacus sind schwächer, aber anscheinend vorhanden. Diese Bilder sind ein wahrer Triumph der Photographie und bilden ein wichtiges Zeugnis dafür, wie deutlich die Kanäle am Jovian Tage in Helligkeit sichtbar waren.

Eine Mittelstellung zwischen den Leuperschen der Kanäle und Prof. Lowells Auffassung, nehmen viele Personen ein, welche einige der feinen Kanäle nicht zugaben und an der Gleichförmigkeit des Hains der andern Kanäle zweifeln. Sie behaupten, die Kanäle erschienen zu regelmäßig, zu schnell und zu gerade, wenn wir sie besser sehen könnten, würden wir finden, daß sie aus kleinen, zerstreuten Linien aus unregelmäßiger Länge und meistens aus unregelmäßigen Flächen bestehen, wie es bei den Kanälen (Rillen) auf dem Monde der Fall ist. Bei schlechter Luft und schwacher Vergrößerung sehen dieselben flach und gerade aus wie die Marskanäle, aber unter glänzender Vergrößerung zeigen sie sich unregelmäßig. Warum sehen sie bezüglich des Hains anders aus? Auf diesen Einwand antwortet Prof. Lowell, daß die Marslinien sich als Linien zeigen, die natürliches Urdasein der Oberfläche gleichen, die Marskanäle dagegen künstlichen Ursprungs seien. Das mag der Fall sein, aber es wird schwer bleiben zu bestimmen. Personen von zahlreichem, unregelmäßigem und mehr der Gestalt der Wabenlinien beiläufig folgenden Details, verachtet das Auge, wenn es (gerade) wird, sie zu fassen, viele groß zu geraden

Linien. Ist es daher nicht möglich, daß eine Anzahl der feinsten Marskanäle hauptsächlich nur solche subjektive Gebilde sind? Der springende Punkt, an dem die ganze Kritik sich dreht, ist das, daß die zahlreichen, langen, geraden Linien der Kanäle, dem Flarende ein unnatürliches, wie künstlich hervorgerufenes Aussehen geben. Würde diese Linie mehr gebrochen und unregelmäßig, so würde das Ganze ein natürlicher Formation erscheinen und tatsächlich mehr ähnlich den Bildungen auf der Mondoberfläche. Das Argument zugunsten teilgender Beobachter des Hains würde damit erheblich geschwächt.



Fig. 6. Mars mit verdoppelten Kanälen, gezeichnet von Prof. Lowell in der Copernicus Welt. Syria zeigt nur Linien ohne unter der Erde.

Verdoppelung der Kanäle. Im Jahre 1882 bestätigte Schiaparelli es, daß gewisse Marskanäle zu Zeiten verdoppelt erscheinen an dem einen Tage sehr man einen Kanal deutlich einfach, am nächsten oder selbst wenige Stunden später erblickt man dicht neben und parallel demselben einen zweiten, der später wieder verschwindet. Er wieder läßt der einfache Kanal mit einem der beiden des verdoppelten zusammen, häufiger aber mit keinem derselben. Wenn wir berücksichtigen, daß diese Doppelkanäle als Dünasen ihrer beiden Arme bis zu 200 engl. Meilen ausbreiten, so scheinen diese physischen Vorbedingungen unglaublich. Während Lowell die Verdoppelung der Kanäle bestätigt (vgl. Fig. 6), ergötzen manche Astronomen denselben zuweilen, nach seinem Lowell's eigene Beobachtungen

die Tinturie noch wissenschaftlicher zu machen. Er muß die Trennung der beiden Arme mit Teilschlepp von verschiedenen großen Objekt-durchmessern und find, daß die Verdoppelung auch so sehr var, wenn sie theoreti- sch nicht unendlich sein können. Über- dies zeigte sich, mit wenigen An- nahmen, die Verdoppelungen der Kanäle nur auf Zeichnungen, die Lowell selbst

gemachten Verdoppelungen glichen und andererseits haben die ersten Be- obachter, die große Teilschlepp benutzten konnten, die Kanäle immer nur einfach gesehen. Natürlich wurden die Astro- nomen unter diesen Umständen nicht überzeugt. Hierdurch wird eine Be- obachtung angeregt worden, welche selbige Licht auf die sonderbare Er- scheinung der Verdoppelung werfen



Fig. 9



Fig. 10

Ansehen des Stern unter den besten atmosphärischen Verhältnissen.

Nach Zeichnungen von W. Pogson, auf den Lowell Observatorium in Flagstaff in Arizona während der Olympien 1904. Fig. 9 zeigt die Kanäle und Stern von der Seite links her. Fig. 10 zeigt Kanäle die Seite rechts her. Beide sind vergrößert. (Die Abbildung an der Lichthaus über dem Stern zeigt Fig. 9. Zwei Abbildungen zeigen beide Seiten im selben Teil der Abbildung, welche der Zeichnung von Kanälen vorausgeht, folgen)

angefordert hat, während Douglas, dessen Zeichnungen jene Annahmen bilden, in dem folgenden Text großen Zweifel an der Wirklichkeit der Verdoppelung ausspricht. Es ist wahr, daß manche andere Beobachter an viel kleineren Teilschlepp die doppelten Kanäle gesehen zu haben behaupten, allein nicht finden sie an der Grenze der Wahrnehmbar- keit für diese Instrumente. Einer der schätzbaresten Beobachter dieser Klasse, Antoniucci, hat später selbst Zweifel an der Wirklichkeit der von ihm wahr-

Nach Prof. Lowell zeigt ungefähr ein Viertel aller Menschen die Verdoppelung und die sind wahrscheinlich sehr doppel. War das Falschheit oder Schwäche ist Ursache, daß sie trotzdem einfach erschienen, wenn der eine Kanal kleiner ist als der andere. Hiernach fällt der einfache Kanal nicht in einer Lage mit dem einen oder anderen Arm der Ver- doppelung zusammen. Die doppelten Kanäle erschienen, was er sagt, gewöhn- lich kurz, was verwechseln können und die Verdoppelung ist nur momentan

erkennen. Die Vorstellung, daß eben am Verlaß der Kanäle liegt und alle andere schon sind, ist nichts unüberwindliches; die Frage ist nur, ob anzunehmen ist, daß entweder der Siphon zwischen den beiden Armen eines Kanals abhandelt und der Siphon dieser Mägen oder daß die Seiten abhandelt und die Mitte heiler bleibt. Tatsächlich gibt es einige Seen auf dem Mars, die, wenn die Jahreszeit fortgeschritten, in den mittleren Teilen weniger dunkel werden, während der Rest dunkel bleibt, da also in größtem Maßstabe etwas Ähnliches geschehen wie die Kanäle. Derselbe Eindruck kann man auf der wasserflachen des Mondes durch Entdecken unterscheiden. Inzwischen erscheint es dem Verfassers dieses, besonders mit Rücksicht auf die Meinungen von Douglas und Antoniadi, daß der Vorgang einer systematischen Verdoppelung der Kanäle und als etwas anzunehmen ist, wenn auch mehr erhellte Beobachter unter den günstigsten Umständen denselben bemerken.

Jahreszeitliche Veränderungen erhellte die interessanteste unter den neuen Untersuchungen Lowell ist derjenige, in welcher er die vollständige Gestalt der Kanäle in Verbindung mit den Jahreszeiten auf dem Mars behandelt. Er findet, daß schon unmittelbar nach Beginn der Schneeschmelze der glänzenden Eisalote, auch in dieser nördlichen Region die Kanäle entstehen und diese Entwicklung sich gegen die gemäßigten Zonen hinzieht. Nach einigen Wochen regnet sich auch in der heißen Zone Kanäle und auch später auch in der südlichen gemäßigten. Der Prozess der Entwicklung geht also über den Äquator hinaus. Am stärksten erhellte sich die Erscheinung unter Annahme der Entstehung von Vegetation, die den jährlichen Transport des Wassers von Pol zu Pol folgt. Die Geschwindigkeit der Bewegung gegen den Äquator hat Eddell Lowell zu 2 engl. Meilen in der Stunde. Die wichtigste Voraussetzung zwischen Mars und Erde

ist die, daß in unseren äquatorialen Gegenden, wo Wasser in Überflut vorhanden ist, das ganze Jahr hindurch Pflanzenwuchs existiert, während auf dem Mars die Vegetation nur im Sommer, bis die von den Polen kommenden Wasser zu erreichen. Demgemäß geht es dort aus Fruchtbarkeit und zum Jahre hinweisen Prof. Lowell schließt, daß auf dem Mars das Wasser jährlich von Pol zu Pol transportiert wird. In Bezug darauf können wir seinen Schlüssen schwerlich zustimmen, da zufolge der dünnen Atmosphäre und der dadurch raschen Verdunstung auf dem Mars, der Wasserdampf notwendig der Oberfläche der selben folgen muß, indem er abwechselnd in jedem der beiden Pole ein Winter landungsgepunkt wird.

Eine merkwürdige Tatsache bezüglich der Kanäle und anderer Formationen des Mars ist die, daß sie in den gleichen Zeiten verschiedener Mangel nicht immer denselben Aussehen zeigen. So z. B. konnte ein dunkler Fleck, dem Schaparelli den Namen Lacus Martis gegeben hat, im Jahre 1892 zu Arago als durchaus nicht wieder gefunden werden, dagegen erschien er nach 11 Jahren mit vollkommener Deutlichkeit wieder und wurde 1903 von Lowell gesehen. Eine sehr zugängliche Änderung, welche Deutlichkeit ergibt 1892 beim Schmelzen der Eisalote erfüllt, zeigte sich in der nächsten Jahreszeit 1894 nicht mehr, auch in 96 Jahren nicht mehr festgestellt werden. Ein gewisser Kanal, den Schaparelli beobachtete, konnte von Lowell durchaus nicht aufgefunden werden, sondern ein anderer zeigte sich an seinem Orte. Dieser letztere ist nun längst wieder verschwunden und dieser Schaparelli Kanal sichtbar geworden.

Ist der Planet Mars von intelligenten Wesen bewohnt? Es kann kaum mehr bezweifelt werden, daß auf dem Mars Vegetation vorhanden ist und vielleicht auch tierisches Leben, indem informiert uns Menschen vor allem die Antwort auf die Frage, ob der

auch vernünftiger Wünsch? Das einzige Argument von Wichtigkeit, welches für diese Existenz spricht, ist die Vorhandensein der Kanäle, die infolge ihrer Länge, Schnelligkeit, ihres scharfgeordneten Verlaufs und ihrer Gleichförmigkeit, an einen künstlichen Ursprung denken lassen. Verdienen sie diesem ihr Dasein, so ist gewiß, daß der Erbauer Kenntnis der optischen Triebenergie besitzen und ein beträchtliches Geschick in Herstellung von Meßinstrumenten, was bekanntlich bei einem voraussetzt, als unsere Verfahren vor einem Jahre besitzen. Denn es ist unzweifelhaft, ob letztere im Jahre 908 = Chr. die 1804 vgl. Neben lange schwergewichte Landstraße nach einem bestimmten Punkte hin selbst durch die ganz ebene Terrain zu erbauen, imstande waren. Aber höherwertigere Gründe für die Annahme einer intelligenten Wesen auf dem Mars? Die Vermutung herauszufinden, ob sie sehr stark, aber es darf unser Urteil nicht beeinflussen. Es ist die Grundprinzip der Wissenschaft, daß, wenn zwei Erklärungen einer Erscheinung möglich sind, wir unter sonst gleichen Umständen uns für die einfachere entscheiden sollen. Eine Genesistheorie des Mars steht mit den zahlreichen, geraden und ungeraden schneidenden, einfachen und doppelten Kanälen sehr nach Künstlichkeit aus, aber wir müssen uns erinnern, daß die aus zahlreichen Einzelzeichnungen zusammengesetzt ist. Diese zufälligen Kanäle und namentlich gleichförmigen werden, sondern im Gegenteil sind nur wenige davon so kurz und dieselben Beobachtungsmacht schreiben. Es scheint dem Verfasser dieses, als wenn die Argumente sowohl für als gegen die Annahme intelligenter Marsbewohner während der letzten Jahre wesentlich verstärkt worden sind, aber es scheint nicht, daß sie noch irgend einer Seite entscheidend sind. Es möge daher hier angeführt werden, was die als wahrscheinlichste Erklärung des Kanals unter jeder Voraussetzung erscheint und

der Leser möge dann selbst wählen. Nehmen wir an, daß auf dem Mars vernünftige Wesen vorhanden sind. Man kann sich vorstellen, daß bei der jahreszeitlichen Bewegung des Wassers über den Äquator, ein Teil der Feuchtigkeit, während der Nacht sich an Gestein von Eis auf dem aus verdunsteten Pflanzen der Wälderregionen niederschlägt. Wegen der Feuchte der Atmosphäre, die zum großen Teil aus Wasserdampf besteht, muß viel Feuchtigkeit in das höhere Lagen kondensiert werden und in kleinen Wäldern zu den großen Kanälen abfließen, wodurch sich dort Vegetation entwickelt und so ausbreiten werden. Ein wesentlicher Teil der Feuchtigkeit muß im Boden verweilen, also dieser wird am nächsten Tage unter dem Einflusse der Sonnenwärme wieder verdunsten und seinen Weg zu dem Nüppel fortsetzen. Diese Erklärung bedingt also nicht notwendig die Vorhandensein intelligenter Marsbewohner, aber ohne ihnen würden die Kanäle doch mit der Zeit ihre charakteristischen Richtungen und die künstlichen Absichten verlieren. Die andere Erklärung der Kanäle geht dahin, daß sie den natürlichen Ursprung hätten wie die Kanäle des Mondes. Im Teleskop sehen sie denen ganz ähnlich, nur daß die Mondkanäle länger und breiter sind, die Marskanäle überschnitten unter 10 Meilen in Länge, stehen von kleinen Seen aus und verlaufen größerer genau so wie Marskanäle, auch sind sie geradlinig und sehen wie künstlich hergepflückt aus. Endlich schauen sie gleich diesen mit den Jahreszeiten zu und ab. Die Grandlagen der Seen bilden kleine Krater, die die Kanäle schneidenden Spalten. Wenn die Jahreszeit fortschreitet bilden sich dunkle Flecke um denselben die später wieder abblättern. Zur Erklärung dieser die Annahme, daß Feuchtigkeit aus den Spalten aufsteigt, die später wieder absorbiert wird. Diese dunklen Spalten durch welche Kanäle mit Vegetation versetzt werden, finden sich auf der

Isaac Haveli. Ein charakteristischer Kanal dieser Art wurde vom Vorhau auf 6 bis 9 Fuß Breite und 90 Fuß Länge gemacht. Dann kreuzförmige Kanäle, wie die des Mondes, sind schließlich eine Mischung intelligenter Wissenschaften entstanden.

Zum Schluß kann man sagen, daß es bis jetzt noch an hundertprozentigem Beobachtungsmaterial fehlt, um die Frage endgültig zu entscheiden, daß aber die

wissenschaftliche Tätigkeit hauptsächlich Prof. Lowell, mit der Zeit zur Entscheidung führen wird. Sein Observatorium ist gegenüberlich der Straße, welches der Beobachtung der in Rede stehenden Frage sehr geeignet und es scheint bekanntlich, daß andere günstig gelegene Observatorien nicht einen Teil ihrer Arbeitszeit auf den nämlichen Gegenstand verwenden.

## Verschwinden und Wiederscheinen des Saturnrings 1907 und 1908.

**E**s ist über dem Lager des Saturnschwebestellung kann beobachtet werden. Erden aus Beobachtern war in wichtiger Richtung gesehen worden und erscheint aus dieser normale als Kreis, sondern als mehr oder weniger breite Ellipse. Diese ist am weitesten gestreckt, wenn Saturn im Sternbild des Strees und an der Grenze der Sternbilder Skorpion und Schütze steht, wie schon dass im ersten Falle die elliptische, im letzten die elliptische Seite des Ringes. Zu gewissen anderen Zeiten ist dagegen der Ring unsichtbar, nämlich 1. dann wenn die Erde in der Ebene des Ringes steht und diese mit einer schmalen Karte erscheint, 2. wenn die Sonne in der Ebene des Ringes steht und nur dessen schmale Karte beobachtet, 3. wenn Sonne und Erde auf verschiedenen Seiten der Ringebene stehen, da in diesem Falle der Erde die unbedruckte Seite des Ringesystems zugewandt ist. Die Erscheinungen, welche das Verschwinden des Ringes begleiten, wenn Sonne oder Erde in der Ebene desselben stehen, sind in mehrfacher Beziehung von großem astronomischem Interesse. Zunächst dienen die Beobachtungen des Verschwindens dazu, um die Lage der Ebene des Saturnrings schärfer zu bestimmen, dann aber auch um Material über die genaue Gestalt des Ringesystems zu gewinnen. Denn stehen in wichtigen

Instrumenten, erhält man durch Ver-  
messungen und heißt Punkte auf dem  
Ring, auch soll beweisen die Ring-  
kette auf der einen Seite von Saturn  
früher oder später sichtbar werden als  
auf der andern. Im Jahre 1907 und  
auch 1908 traten Erde und Sonne die  
Ebene des Saturnrings und Prof.  
S. Peter macht's darauf aufmerksam,  
daß diese Gelegenheiten von möglichst  
vielen Seiten mit großen und mittleren  
Instrumenten benutzt werden sollten.  
Die Vorarbeiten bei diesen Durchgängen  
durch die Ringebene sind folgende:

1907 April 17 Erde in der Ringebene;  
Verschwinden des Ringes; Juli 26  
Sonne in der Ringebene; Wieder-  
erscheinen, Oktober 4 Erde in der  
Ringebene; Verschwinden,

1908 Januar 7 Erde in der Ringebene;  
Wiederscheinen.

„Der Beobachtung ganz entzogen,  
bemerkte Prof. Pease, wird sich nur das  
erste Verschwinden des Saturnrings.  
Die Beobachtungen sollten mindestens  
auf eine Woche vor und nach dem  
oben angegebenen Datum ausgedehnt  
werden. Wo große und mittlere Instru-  
mente zur Verfügung stehen, sollte der  
sämtliche Beobachter Saturn in beiden  
Vorläufen. Der Verlauf des Ringes ist  
besonders Aufmerksamkeit zuzuwenden

und jeder Beobachter sollte sich seiner Aufgabe der Größe selbst die anforderungen Urteil darüber bilden, Er welchen Zeitpunkt resp. innerhalb welcher (Zahl-) Grenzen er den Durchgang durch die Ringebeine auszuweisen vermag.

Es ist unumstößlich, daß der indonesische und dem nächsten Jahre sich beständig fortgesetzten der Versuchenden und Wiederentdecken des Saturnrings zu studieren, von dem Resultat der größten Formstern öftig benutzt worden. Man darf deshalb auf sehr interessante Wahrnehmungen rechnen. Indessen wird die Entdeckung auch für die besten kleineren Instrumente von größtem Interesse sein, wenn sich die Gegenstände heraus, zu konstatieren, was diese zeigen im Vergleich zu den Wahrnehmungen an den wichtigsten Teleskopen. Dem beobachtenden Fremde der Anwesenheit ist aber dabei ständige Selbstkritik zu empfehlen, da unter solchen Verhältnissen oft die unbewußte Neigung sich geltend macht, seine eigenen als wirklich aufgefaßt werden wird. Um ein Beispiel zu geben, wie die Entdeckung gelegentlich des Verschwindens des Saturnrings im Jahre 1848 von einem angestrichelten Beobachter, dem Entdecken der Sonnen-Hockperiode Helmholtz und Apertischer Schwabe in Dussau gesehen und beschrieben worden ist, möge dessen Bericht hier mitgeteilt werden. Schwabe besaß eine Fernrohr, ein größeres von 12 Pariser Linien Objektivdurchmesser und 8 Fuß Brennweite und ein kleineres von 12 Linien Öffnung und  $2\frac{1}{2}$  Fuß Brennweite. Er schildert seine Beobachtungen wie folgt:

—1848, am 3. September, wo um 3 Uhr abends der Sonne in die Ebene der Ringe trat, fand ich 10 Uhr abends noch keine Spur desselben. Den 4. September um 4 $\frac{1}{2}$  Uhr abends war der Ring als eine dunkle Linie und hellere Linie von weißer Farbe sichtbar. Die westliche Anne (Hingherd) erschien etwas dunkler als die östliche, welche mir nicht gleichmäßig, sondern unterbrochen erschien. Den 5. Sept. 9 $\frac{1}{2}$  bis

11 Uhr abends erschien der Ring sehr deutlich in beiden Annen und bildete eine scharfe Linie, welche an ihrem westlich am Ende am besten war und bei in ihrem östlichen Ende vorzüglich in der Ausdehnung war die westliche Anne ganz hellgelb, die östliche Anne sehr hellgelb. Die östliche Anne erschien unterbrochen und wie in der Kugel anschließend. Der Beobachter Professor Helmholtz bemerkte, daß die westliche Anne zwei hellere Punkte, die östliche nur einen dergleichen habe, das ich selbst ebenfalls sah. Es machte mich bei sich eine Zeichnung über die Lage dieser Punkte, welche zusammen sorgfältig sehr gut übereinstimmte. Sie befanden sich nicht genau in der Mitte der Anne, sondern etwas nach ihrem äußeren Ende zu. Die beiden Punkte der westlichen Anne glichen mehr langlichen Verdickungen, während auf der östlichen Anne ein kleiner scharfer Fleckchen war. Am 11. Sept. abends fand keine Veränderung oder Verdrückung dieser Stellen statt. Den 4. September erschien der Ring so deutlich, daß ich ihn selbst in dem  $2\frac{1}{2}$ -füßigen Fernrohr (12 mal Vergrößerung) sah, jedoch die westliche Anne besser triefte, als die östliche. Dem bestätigte sich am 6-füßigen Fernrohr. Doch fand ich die beiden Verdickungen der westlichen Anne weniger deutlich getrennt als gestern. Auch der Lichtpunkt der östlichen Anne war weniger scharf und deutlich sichtbar. Die Anne selbst schien unterbrochen und nicht in der Kugel anschließend. Auch während der heutigen Beobachtung von 8 bis 11 Uhr abends veränderten sich der beiden Punkte weder in ihrer Gestalt noch in ihrer Lage, und sahen fast ganz die Stelle aus. Den 5. von 9 $\frac{1}{2}$  bis 10 $\frac{1}{2}$  Uhr abends fand ich keine wesentlichen Unterschiede von dem gestrigen Resultat. Der Altonaer Professor Helmholtz entwarf ebenfalls eine Zeichnung der dem hellen Stellen im Ring, die mit meiner früheren fast vollkommen übereinstimmte. Auch heute bemerkte



ich keine Gewitterwolkung darüber. Den 8. von 9 bis 10 Uhr abends fand Professor Hübner und ich die westliche Aene zwischen den beiden und die beiden hellen Stellen ebenfalls an ihrem früheren Orte, die östliche Aene mit ihrem Lichtpunkte schwächer, doch noch auffindbar. — Den 9. von 8 bis  $8\frac{1}{2}$  Uhr abends. Die Gewitterwolke des Abends scheint aus heute größer zu sein als gestern. Die westliche Aene erscheint heute mit dem Lichtpunkte gut gekernt. Die östliche Aene schwächer, doch mit sehr hellem Lichte, habe außer dem früheren Lichtpunkte noch zwei schwächeren noch der Kugel an, mit der die kleine Lichtpunkte durch eine dufteartige Lichtlinie verbunden war. Es kam mir auch vor, als lägen beide Aenen nicht an einer Ebene, sondern an die äußere ein klein wenig nach Süden gekippt (nicht gekippt), während der Beobachtung bemerkte ich keine Veränderung ständiger Gegenstände.

Den 10. September von 7 $\frac{1}{2}$  bis 10 $\frac{1}{2}$  Uhr abends. Ich fand keine wesentlichen Unterschiede von gestern und auch heute erschien die westliche Aene auffalliger, doch mit einem etwas verwehten Lichte, die schwächere östliche hingegen mit einem schwächeren, die drei Lichtpunkte auf dieser waren getrennt. Professor Hübner, der heute kam und meine Beobachtung bestätigte, fragte ich, ob die Aenen aus genau gerade Linien bilden, worauf er mir negativ

die Antwort als unentschieden beantwortete. Eine Verdrehung der drei Lichtpunkte wurde durchaus nicht bemerkt, obwohl zwei nahe am Rande stehende sehr kleine Teilstrahlen, welche früher so nahe standen, daß sie nur einen Punkt zu beiden scheinen, schon nach einer halben Stunde deutlich getrennt waren.

Den 11. von 8 bis 9 Uhr abends. Auf der westlichen Aene sah ich eine einzige aber hellste Verdickung, auf der östlichen die drei Punkte in ihrer gewöhnlichen Stellung und wie gestern nicht zusammenhängend. Mit dem 7 $\frac{1}{2}$ -fälligen Fernrohr (84 und 126 malige Vergrößerung) sah ich nur die westliche Aene deutlich.

Den 12. kamte ich wegen schlechter Lichtverhältnisse nur von 9 $\frac{1}{2}$  bis 7 $\frac{1}{2}$  Uhr abends beobachtet. Mit dem 3 $\frac{1}{2}$ -fälligen Fernrohr (84 und 126 malige Vergrößerung) sah ich keine Spur vom Ringstrahl, mit dem 6-fälligen Fernrohr hingegen die westliche Aene sehr schwach, doch mit Gewißheit, aber von der östlichen fand ich keine andere Spur mehr als zwei ganz unbedeutend kleine ausstehende Lichtpunkthaken.

Am 13. um gegen 1 Uhr morgens die Erde in die Ebene des Himmels gelehrt war, bemerkte ich already keine Spur vom Ringstrahl 6-fälligen Fernrohr zu blicken, denn selbst sein Scheitern, den ich am 29. August zuletzt sah, wurde erst am 30. September wieder sichtbar.

## Neuer Stern.

**D**ie Untersuchung von photographischen Sternbildern auf dem Heliobarnatorium der Harvard Sternwarte durch Mr. Leavitt hat zur Entdeckung neuer Nova geführt. Der Ort derselben am Himmel ist für 1904 A.R. = 10 $^h$  54 $^m$  20 $^s$  D = — 51° 54', Dieser Punkt liegt im Sternhaufen des Schiffs Argo und zwar in demjenigen Teile, der die Segel (Vela) bezeichnet. Der Stern steht 15' südlich von dem

Sternchen 15. Größe und folgt 2 $\frac{1}{2}$  in Richtungen auf dieselbe. Wegen der kleinen Mafstabe der Karten waren Messungen der Positionen und Helligkeiten der Nova schwierig. Die Nova findet sich nicht auf irgend einer Aufnahme vor dem 5. Dezember 1901, aber seit demselben auf 14 spätern Platten. Die erste Platte vor dem Aufbruch der Nova, war am 12. Juli 1902 von diesem Teile des südlichen Himmels

gemessen wurden und auf ihr sind Sterne 11.5 Größe sichtbar. Die meisten gemessenen Aufnahmen gingen folgender Tabelle aufgeführt, welche die Zeit der Aufnahme (Jahr, Monat, Tag), die Expositionsdauer in Minuten und die Helligkeit der Nove enthält.

Jahr	Monat	Tag	Ex- position	Hellig- keit
1906	7	19	1000	<11.0 (Nove)
1906	10	5	100	10.70
1906	1	26	100	10.71
1907	1	20	100	10.64
1907	2	2	100	10.61
1907	2	17	70	10.40
1907	2	22	70	10.39
1907	2	28	100	10.60
1908	4	26	100	10.14
1908	4	30	100	10.40
1908	5	10	100	10.10
1908	5	19	100	10.15
1908	5	17	100	10.00
1908	6	22	100	10.10
1908	7	22	100	11.00
1908	7	2	100	<11.0

Die Anzahl der untersuchten Platten, auf denen die Nove nicht sichtbar, ist schwächer als 11. Größe war, betrug 122, und zwar reihen derselben im zum Jahre 1909 verbleib. Zwei von diesen Aufnahmen wurden mit dem 24-cmigen Bruckenstein und zwei andere mit dem 30-cmigen Bacheinstein erhalten; so zeigen Sterne bis zur 15. Größe, aber keine Spur der Nove. Am 25. und 26. Platten und Sterne bis 13.5 Größe der Größe, aber ebenfalls ohne Andeutung der Nove. Diese letzten zwölf betrachten keine Lichtschwankungen während der Zeit, daß sie beobachtet wurde, und Prof. Edward Pickering hält es nicht für ausgeschlossen, daß es wieder heller wird, so daß ihr Spektrum photographiert werden kann. Sollte aber dieser Fall nicht eintreten, so kann doch kein Zweifel sein, daß es sich um die wirkliche Nove handelt. <sup>3)</sup>

<sup>3)</sup> Harvard College Circular No. 128.

## Vermischte Nachrichten.

Ein interessantes Konjunktions des Mondes mit dem Planeten Venus findet am 21. Januar vor Tagesanbruch statt. Die Konjunktion in Robinsons Zeit ist um 24.12<sup>h</sup> früh, nach mittl. Greenwich Zeit. Der abnehmende Mond zeigt sich zu dieser Zeit als schmale Sichel und dicht über dem Stern Venus, die am 4. Januar ihre größte Helligkeit erreicht hatte, in strahlendem Glanze.

Die totale Sonnenfinsternis am 14. Januar 1907. Zum Zwecke der Teilnahme an den Beobachtungen der am 14. Januar 1907 stattfindenden totalen Sonnenfinsternis sind der Hamburger Sternwarten von privater Seite folgende Hamburger Stiftungen (a) die Mittel zur Entsendung einer Expedition nach Samarkand zur Vorrüstung gestellt worden. Außerdem haben die Kaiserliche Akademie der Wissenschaften, das deutsche Parlament (Böhmische Commission der Expedition der Royal Society und der Royal

Astronomical Society in London, eine Sachverständigen und einen Kommissar zur Vervollständigung ihrer Instrumenten Ausrüstung teilweise zur Verfügung gestellt. Der Kaiser von Rußland hat die Expedition Prinz Felix und seine Beförderung des ungarischen Gelehrten auf den Eisenbahnen innerhalb der Russischen Reiches gestiftet. Die Expedition wird von Prof. Schum geleitet werden; hierzu werden dann teilnehmen Dr. Schwezenberg, Dr. Graft und der Oberwachenangehörige Beyersmann. So hat Hamburg verlassen und sich über Riga nach Petersburg begeben, um von dort aus gemeinsam mit der russischen Expedition der Hauptkommission in Pulkowa und der französischen Expedition des Bureau des Longitudes in Paris, die sehr wichtige Eisenbahnfahrt über Warschau (Warsaw-Czernobyl-Tschel) best. auszurichten.





# Astronomischer Kalender für den Monat März 1907.

Sonnen					Mond				
Münchener Berliner Mittag					Münchener Berliner Mittag				
Tag	Zeit. M.L. — W.L.	Rektascension	Declination		Rektascension	Declination	Mond im Meridian		
h	m	h	m	s	h	m	h	m	s
1	+ 07 41.74	10 46 33.4	— 5 58 10.7		10 46 33.4	+ 6 0 49	6	0	19
2	07 39.77	10 46 51.9	5 58 40.7		10 46 51.9	+ 1 38 20.9	10	20	1
3	07 37.81	10 47 10.2	5 59 10.7		10 47 10.2	+ 2 14 17.1	10	20	1
4	07 35.85	10 47 28.3	5 59 40.8		10 47 28.3	+ 2 50 0.8	10	20	1
5	07 33.89	10 47 46.4	5 60 10.8		10 47 46.4	+ 3 25 51.8	10	20	1
6	07 31.93	10 48 04.4	5 60 40.8		10 48 04.4	+ 4 01 42.8	10	20	1
7	07 29.97	10 48 22.5	5 61 10.8		10 48 22.5	+ 4 37 33.8	10	20	1
8	07 28.01	10 48 40.5	5 61 40.8		10 48 40.5	+ 5 13 24.8	10	20	1
9	07 26.05	10 48 58.6	5 62 10.8		10 48 58.6	+ 5 49 15.8	10	20	1
10	07 24.09	10 49 16.6	5 62 40.8		10 49 16.6	+ 6 25 6.8	10	20	1
11	07 22.13	10 49 34.7	5 63 10.8		10 49 34.7	+ 7 00 57.8	10	20	1
12	07 20.17	10 49 52.7	5 63 40.8		10 49 52.7	+ 7 36 48.8	10	20	1
13	07 18.21	10 50 10.8	5 64 10.8		10 50 10.8	+ 8 12 39.8	10	20	1
14	07 16.25	10 50 28.8	5 64 40.8		10 50 28.8	+ 8 48 30.8	10	20	1
15	07 14.29	10 50 46.9	5 65 10.8		10 50 46.9	+ 9 24 21.8	10	20	1
16	07 12.33	10 51 04.9	5 65 40.8		10 51 04.9	+ 10 00 12.8	10	20	1
17	07 10.37	10 51 23.0	5 66 10.8		10 51 23.0	+ 10 36 3.8	10	20	1
18	07 08.41	10 51 41.0	5 66 40.8		10 51 41.0	+ 11 12 14.8	10	20	1
19	07 06.45	10 51 59.1	5 67 10.8		10 51 59.1	+ 11 48 5.8	10	20	1
20	07 04.49	10 52 17.1	5 67 40.8		10 52 17.1	+ 12 24 56.8	10	20	1
21	07 02.53	10 52 35.2	5 68 10.8		10 52 35.2	+ 13 00 47.8	10	20	1
22	07 00.57	10 52 53.2	5 68 40.8		10 52 53.2	+ 13 36 38.8	10	20	1
23	06 58.61	10 53 11.3	5 69 10.8		10 53 11.3	+ 14 12 29.8	10	20	1
24	06 56.65	10 53 29.3	5 69 40.8		10 53 29.3	+ 14 48 20.8	10	20	1
25	06 54.69	10 53 47.4	5 70 10.8		10 53 47.4	+ 15 24 11.8	10	20	1
26	06 52.73	10 54 05.4	5 70 40.8		10 54 05.4	+ 16 00 2.8	10	20	1
27	06 50.77	10 54 23.5	5 71 10.8		10 54 23.5	+ 16 36 13.8	10	20	1
28	06 48.81	10 54 41.5	5 71 40.8		10 54 41.5	+ 17 12 4.8	10	20	1
29	06 46.85	10 54 59.6	5 72 10.8		10 54 59.6	+ 17 48 55.8	10	20	1
30	06 44.89	10 55 17.6	5 72 40.8		10 55 17.6	+ 18 25 6.8	10	20	1
31	+ 06 42.93	10 55 35.7	5 73 10.8		10 55 35.7	+ 19 01 57.8	10	20	1

## Planetenkonstellationen 1907

Monat	Tag	Planetenkonstellationen
Jan	1	Merkur tritt in den Sternhaufen 147
"	2	Mars in Konjunktion mit dem Monde
"	3	Jupiter in Konjunktion mit dem Sonne
"	10	Merkur tritt in den Sternhaufen 147
"	17	Mars in Konjunktion mit dem Monde
"	24	Venus in Konjunktion mit dem Monde
"	31	Jupiter in Konjunktion mit dem Sonne
Feb	7	Saturn tritt in den Sternhaufen des Widder
"	14	Jupiter in Konjunktion mit dem Monde
"	21	Jupiter in Konjunktion mit dem Sonne
"	28	Venus in Konjunktion mit dem Monde
"	29	Mars in Konjunktion mit dem Sonne
"	30	Jupiter in Konjunktion mit dem Sonne

**Procenten-Ephemeriden.**

Mittelw. Berliner Abtäg.							Mittelw. Berliner Abtäg.								
Jahr	Rechnungen			Differenzen	Obern. Berlin. Abtäg.			Jahr	Rechnungen			Differenzen	Obern. Berlin. Abtäg.		
	h	m	s		h	m	s		h	m	s		h	m	s
<b>1867</b>															
<b>Mars.</b>															
März 5	10	10	40 00	+	0 00 00 0	1	10	März 5	10	10	40 00	—	0 00 00 0	0	10
10	10	10	40 00		0 00 00 0	1	10	10	10	10	40 00	—	0 00 00 0	0	10
15	10	10	40 00		0 00 00 0	0	10	15	10	10	40 00	—	0 00 00 0	0	10
20	10	10	40 00	+	0 00 00 0	0	10	20	10	10	40 00	—	0 00 00 0	0	10
25	10	10	40 00	—	0 00 00 0	0	10	25	10	10	40 00	—	0 00 00 0	0	10
30	10	10	40 00	—	0 00 00 0	0	10	30	10	10	40 00	—	0 00 00 0	0	10
<b>Venus.</b>															
März 5	10	10	40 00	—	0 00 00 0	0	10	März 5	10	10	40 00	—	0 00 00 0	0	10
10	10	10	40 00		0 00 00 0	0	10	10	10	10	40 00	—	0 00 00 0	0	10
15	10	10	40 00		0 00 00 0	0	10	15	10	10	40 00	—	0 00 00 0	0	10
20	10	10	40 00		0 00 00 0	0	10	20	10	10	40 00	—	0 00 00 0	0	10
25	10	10	40 00		0 00 00 0	0	10	25	10	10	40 00	—	0 00 00 0	0	10
30	10	10	40 00		0 00 00 0	0	10	30	10	10	40 00	—	0 00 00 0	0	10
<b>Mercur.</b>															
März 5	10	10	40 00	—	0 00 00 0	0	10	März 5	10	10	40 00	—	0 00 00 0	0	10
10	10	10	40 00		0 00 00 0	0	10	10	10	10	40 00	—	0 00 00 0	0	10
15	10	10	40 00		0 00 00 0	0	10	15	10	10	40 00	—	0 00 00 0	0	10
20	10	10	40 00		0 00 00 0	0	10	20	10	10	40 00	—	0 00 00 0	0	10
25	10	10	40 00		0 00 00 0	0	10	25	10	10	40 00	—	0 00 00 0	0	10
30	10	10	40 00		0 00 00 0	0	10	30	10	10	40 00	—	0 00 00 0	0	10
<b>Jupiter.</b>															
März 5	10	10	40 00	—	0 00 00 0	0	10	März 5	10	10	40 00	—	0 00 00 0	0	10
10	10	10	40 00		0 00 00 0	0	10	10	10	10	40 00	—	0 00 00 0	0	10
15	10	10	40 00		0 00 00 0	0	10	15	10	10	40 00	—	0 00 00 0	0	10
20	10	10	40 00		0 00 00 0	0	10	20	10	10	40 00	—	0 00 00 0	0	10
25	10	10	40 00		0 00 00 0	0	10	25	10	10	40 00	—	0 00 00 0	0	10
30	10	10	40 00		0 00 00 0	0	10	30	10	10	40 00	—	0 00 00 0	0	10





**Sternbedeckungen durch den Mond für Berlin 1867**

Merkmal	Zeit	Größe	Orbit		Anzahl	
			h	m	h	m
März 10	10	10	10	10	10	10
11	10	10	10	10	10	10
12	10	10	10	10	10	10
13	10	10	10	10	10	10
14	10	10	10	10	10	10
15	10	10	10	10	10	10

Legt und Größe des Sterns rings um im Mond Plan  
wird zu besteben

März 10	Mittelw. Breite der Ekliptik	10° 10'	10° 10'
11	Wärme	10° 10'	10° 10'
12	Polhöhe der Sonne	10°	10°
13	Parallaxe	10°	10°

Belegungen der Jupitermarte im März 1897.

I.		1	III.		4	2
II.		1	IV.		4	2

Belegungen von 1871 für den Aufbruch von astronomischen Personen.

Tag	West	Öst	1871	1872
1		0	-4	18
2		0	-4	18
3		0	-4	18
4		0	-4	18
5		0	-4	18
6		0	-4	18
7		0	-4	18
8		0	-4	18
9		0	-4	18
10		0	-4	18
11		0	-4	18
12		0	-4	18
13		0	-4	18
14		0	-4	18
15		0	-4	18
16		0	-4	18
17		0	-4	18
18		0	-4	18
19		0	-4	18
20		0	-4	18
21		0	-4	18
22		0	-4	18
23		0	-4	18
24		0	-4	18
25		0	-4	18
26		0	-4	18
27		0	-4	18
28		0	-4	18
29		0	-4	18
30		0	-4	18
31		0	-4	18







Виды 1907.

Табл. II.

Фотографии челюстей человека, найденных в доисторическом периоде и в настоящее время в доисторическом периоде.



# SIRIUS.

Zeitschrift für populäre Astronomie.

Centralorgan für alle Freunde und Förderer der Himmelskunde.

Herausgegeben

unter Mitwirkung hervorragender Fachlehrer und astronomischer Schriftsteller

von Prof. Dr. Hermann J. Klein in Köln.

Februar 1903.

„Wünscht jede Erlesene nach der Freude nach der  
Einsicht in die Wissenschaft.“ Komet.

Jedes Monat 1 Heft. — jährlich 12 Mk.

Verlag von EDUARD HEINRICH MAYER in Leipzig.

**INHALT.** Zur Entstehungsgeschichte des Sonnensystems. S. 15. — Die Beobachtungen des Sonnenflecks am 10. August 1902. (Meyer Bild III.) S. 25. — Meteorologie und Vandalen im nördlichen China. S. 26. — Die durch eine Oestrichalgenart verursachte Natur. S. 27. — Der Komet 1902. S. 31. — Photographisch-physikalische Untersuchungen über den Lichtdruck veränderlicher Sterne. S. 32. — Meteorologische Meteorologie. S. 34. — Der spektroskopische Doppelstern  $\beta$  Centauri. S. 36. — Verne'sche Nachrichten. S. 40. — Linsen. S. 44. — Astronomische Kalender. S. 45. — Befragungen der Japythens. S. 47. — Einleitung der Japythens. S. 48.

## Zur Entstehungsgeschichte des Sonnensystems.

**E**iner der Hypothesen über die Bildung unseres Sonnensystems hat keine auch nur annähernd die Anerkennung erlangt wie diejenige, welche der berühmte Mathematiker Laplace aufgestellt hat und die eigentlich aus einem Beispiel für die Anwendung der Wahrscheinlichkeitsrechnung entstanden ist. Es ist die einzige Mal gewesen, in welchem sich Laplace auf dem Gebiet der Kosmosastronomie versucht hat, auch wurde seine Hypothese in der letzten astronomischen Krise nicht allseitige Befassung begünstigt. Wie wenig Anerkennung man derselben schenkte, beweist der Umstand, daß so lange Zeit nachher auf der von Kant aufgestellten Hypothese über die Entstehung des Sonnensystems auf eine Linie gestellt, ja zusammengeworfen werden ist, obgleich letztere gar keine Befragung beanspruchen kann. Erst nach

sind nach ist die Laplace'sche Hypothese in Ansehen gekommen, und zwar vor allem durch die Oestrichen, welche in der oben erwähnten Ausgangspunkt für ihre Lehre vom ursprünglich flüssigen Zustande der Erde erblickten. So ist es denn gekommen, daß im letzten Drittel des vergangenen Jahrhunderts die „Laplace'sche Theorie“ als eine der höchsten höchsten wissenschaftlich darstellende Beschreibung des Vorgangs bei Entstehung unseres Planetensystems angesehen wurde. Seit damals hat man dabei als Hauptgrundlage derselben die zahlreichen Übereinstimmungen in den Bewegungsrichtungen der Planeten, welche einen gemeinsamen Ursprung mit einer an Oestrichen gestanden Wissenschaftlichkeit erkennen lassen, aber zu bedenken, daß dieser gemeinsamen Ursprung zwar als anerkannt gelten könne, daß aber darüber die Art und

Klein 1903. Heft I.

4

Weise des Vorgehens, nämlich die Eingebildung, die Laplace mit Worten geschuldet, aber nicht als mathematisch notwendig erweisen konnte, eine Hypothese ist, die sehr wohl völlig irrig sein konnte.

Allmählich wuchsen aber die Bedenken gegen die Laplace'sche Theorie, besonders Mathematiker untersuchten die Bedingungen des Problems streng analytisch und kamen zu einer Verwerfung der Ringbildungshypothese, auch wurde erkannt, daß der Ring der Saturn durchaus keinen Beweis im puncte der Laplace'schen Annahme abgeben könnte. In jüngerer Zeit hat Prof. G. Holzmüller sich eingehend mit der Laplace'schen Hypothese beschäftigt, besonders auch vom thermodynamischen Standpunkte aus und kommt zu völliger Verwerfung derselben. Seine hergeleiteten Darlegungen hat er anhängend an seiner Schrift „Elementare kosmische Betrachtungen über das Sonnensystem und die Entstehung der von Kant und Laplace aufgestellten Hypothesen über dessen Entwicklungsgeschichte“) niedergelegt. In demselben sagt er, daß diese Hypothesen für die Vergangenheit unmöglich und für die Zukunft in höchstem Grade unsicherheitsvoll sind. Die Beweisführung geschieht mit elementaren mathematischen Hilfsmitteln, gründet auf die modernen physikalischen Fortschritte und jeder, der sich für kosmologische Probleme interessiert, wird diese Ausführungen beachten müssen. Hier soll nur einiges von den Schlussbemerkungen des genannten Verfassers Platz finden.

Er hält es für möglich, daß eine Nebularhypothese bestehen könnte, weil aber für ebenso möglich, daß dieser Gedanke ganz verlassen wird, und man dem Zufall eine größere Rolle einräumen „läßt“, sagt er, — die Menschenverteilung im Weltraum, wie man sie sich für die Zeit vor der Entstehung des Sonnensystems zu denken pflegt, muß doch

wohl, wie auch bei Kant und Laplace, als eben zufällig angesehen werden. Man überlege z. B. folgendes: Der mechanische Zustand jedes Weltkörpers in der Gegenwart ist eine Folge alles dessen, was von ihm auf ihn eingewirkt hat. Derselben Kräfte, die ihn zu ihm arbeiten, haben wahrscheinlich von ihm zu ihm gehandelt und werden noch in Zukunft in ähnlicher Weise fortwirken. Hierbei gehört z. B. die Anziehung von Meteoriten, deren er auf seinem Laufe begegnet. Er lag größtenteils des Weltraums auf seiner Wanderung als jedes einzelne Meteor wirkt auf seine translationelle Bewegung hinwirkend oder hindert, die nach Richtung und Geschwindigkeit, nach Ordnung um die Achse, sogar hinsichtlich der Lage der Achse. Und wenn auch der einzelne Stern einen verschwindend kleinen Einfluß hat, so wird ein Laub von Millionen von Jahren der Einfluß der urchinischen Materie doch bemerkbar werden. Sogar der meteorische Staub, den man auf dem Eis- und Schneefeldern des Nordens beobachtet hat, wird in langen Perioden schließlich von Einfluß werden. Der so zugehörige materielle Stoff ist der unscheinbare Weltkörper. Es ist einer der wichtigsten geologischen Faktoren. Die atmosphärische Zirkulation wird es, die seine Bedeutung auszuweisen. Müge es nur bei der Vereinerung mit der Erdatmosphäre aus schwermetallischen Gesteinen mit Nitrigen anfeuchten und in der Atmosphäre vorhanden, aber möge er diese als Feuerkugel durch Stürze und durch Luftball mit heftigen Schauern oder nachschauern oder gar auf die Erde herabschütten: er hängt wohl mit dem Zustand unseres Weltkörpers nicht nur in mechanischer Hinsicht, sondern in Bezug auf alle physikalischen Erscheinungen, die mit es zusammenhängen. Es ist von höchstem Interesse, es solche Erscheinungen nach allen Richtungen zu durchrechnen und den Einfluß zu überdenken.

\*) Verlag von B. G. Teubner, Leipzig 1900. Preis 1.40 M.

Post Halmaßer weist auf den neuen Stein im Pörsen hin, dessen Schicksale und deren Veränderungen beachtet werden sind. «Beliebig», sagt er, «vermutet man, daß eine Katastrophe stattgefunden hat, deren Ort in der Pörsenwelt zu suchen ist, daß sich ein Zusammenstoß ereignet, der wohl erst nach vielen Jahren sichtbar werde. Darauf haben wir dann die sichbildenden oder sichauflösenden Ereignisse. Ein solches kann das Centrum des Pörsens lange Jahre beschäftigen. Tycho Brahe wurde durch eine ähnliche Erscheinung in der Bahn der Astronomie gerufen. Die Störungserscheinungen, die bei ihrer periodischen Wiederkehr allmählich schwächer und schwächer werden, deuten auf Auflösung von Kometen hin, die in unser Sonnensystem gestürzt waren und längere Zeit in Keplerischen Bahnen zu wandeln suchten, dabei aber mächtig wirkenden Störungen unterlagen, die auf eine allmähliche Zerstörung und Auflösung hinarbeiteten.

Ein Welkörper kommt von großer Entfernung in den Anwendungsbereich der Sonne, so in auf langgezogen elliptischer oder parabolischer oder hyperbolischer Bahn. Mit irgend einer der vorher berechneten Geschwindigkeiten wird er von Perihel durchwandert und dann dieses schief in den Weltraum hinauszuwerfen wollen, wie er in das Sonnensystem eingedrungen ist. Der seltsame Fall, daß er mit einem etwa kleinen Körper, einem Planeten z. B., zusammenstößt, kann seine fortwährende Geschwindigkeit heben und stärkere Achsenziehung verursachen. Trümmen wegen der unter physikalischen Erscheinungen aller Art bilden. Der Hauptkern kann kleiner bei der Schließgeschwindigkeit sein genug, so bildet der Körper ein Planet dazwischen in dem System der Sonne. Solche Vorgänge reichen hin, das Pörsen in den Raum eines Zentralkörpers zu erröthen. Richtung und Geschwindigkeit nach dem Stöße geben die Elemente der Keplerischen Bahn, wie media-

nach bestimmen sich Achsenlänge und Drehungsgeschwindigkeit. Ähnlich ist es mit der Bildung von Trabanten.

So spielt der sogenannte Zufall eine ständige Rolle. Das mechanische Bedürfnis, welches logisches Gesez und zweckmäßigen Plan in die Welt der Erscheinungen zu bringen, hat Manco wie Kant und seine Vorgänger verfehlt, auf dem Wege spekulationen Phantasie ohne fernwirkende Grundlage zu Stelle der Zukunftsrechnungen eine grandiose Welt zu setzen. Und selbst ein Mathematiker von der Bedeutung eines Laplace hat davon Bedürfnis zum Opfer. Er, der die klassische Physik in ruhigerer Weise durchgesehen hatte, schied in spätem Jahren an Stelle des mathematisch zu Formulierendes die freistehenden Phantasiegebilde, welche sich mit der Newton-Kopernikaner Vorstellungen, die er zu seinem Gefallen hatte, nicht vertragen konnten und deshalb von der aristotelischen Kritik verworfen werden muß.

Die reiche Welt der Störungsrechnungen unterhalb des Sonnensystems bietet dem denkenden Pörsen unendlichen Stoff, der der Hand des Meisters harzt. Man nehme z. B. die Apsidation der Erde an. Sie ist von der Apsidenlage und Drehungsgeschwindigkeit abhängig. Aber Mond und Sonne wirken allmählich auf die Obitenbahnen an und arbeiten stetig verändernd an ihrer Gestalt durch Erscheinungen, wie Ebbe und Flut, aber auch wie Präzession und Nutation. Und auch die übrigen Gestirne wirken mit, wenn auch in unerschöpflicher Weise jeder Neuentwurf aber tritt als ein neu bestimmender Bestandteil in die Situation ein und ändert Apsidenlage selbst Drehungs- und Translationsgeschwindigkeit. Im Laufe von Millionen von Jahren werden ganz wesentliche Summationen der Störungen eintreten und z. B. die Äquator- und Achsenlage damit ändern, daß klimatische Veränderungen, Aufstehen neuer Inseln, Verschwinden von Kontinenten, Verände-

rungen der Meeresströmungen, Änderungen der Umdrehungszeit und dergleichen unvermeidlich, daß sogar ganz neue geologische Perioden begangen werden.»

«Man könnte,» fährt Prof. Holmüller fort, «an ganzen Buch voll von Vorschlägen zur Bearbeitung kosmischer Probleme machen, ich will aber damit abbrechen. Im übrigen ist mich von Mängeln, als von den Vorzügen der Himmelsmechanik gesprochen, mehr von den Grenzen des Erreichbaren, als von den gewonnenen Fortschritten, da ja doch nur dem größten Mathematiker vollständig sein würden. Nur eine Reihe abstrakt konstruierter Probleme kann man als befriedigend gelöst betrachten, und es liegt durchaus kein Anlaß vor, um im Sinne des Franz-Famulus Wagen zu bauen, daß wir es so leichtlich weit gebracht. Die Astronomen der klassischen Mechanik bedurften so zahlreicher physikalischer Korrekturen, daß selbst für die einfachsten noch unendlich Vieles zu leisten ist. So ist z. B. an das sogenannte zweite Satz der mechanischen Willenshaftigkeit Erbschaft, das Weltall stöße zufolge der ununterbrochenen Temperaturschwankungen durch Leitung und Strahlung, einem Zustande entgegen, in dem alle durchsichtigen Körper nicht mehr leuchten, kein organisches Leben mehr besteht und ein allgemeiner Tod, eine allgemeine Sterblichkeit, würde eintrifft. Das ganze Weltall würde zu einer gleichförmigen Abkühlung der gesamten Materie geworden sein. Die Alten gingen aus vom Chaos, wir würden zu einem wissenschaftlich begründeten Chaos der Zukunft gelangen. Das könnte allerdings unendlich lange Zeit in Anspruch nehmen, da das Weltall nach unserer jetzigen Auffassung unendlich groß ist. Aber kommen würde der Schlafzustand schließlich doch. All unser Wissen und Denken und Forschen würde also unerbittlich gegen Tod verfallen.

Man lasse sich durch solche Abstraktionen nicht die Freude am Dasein verkümmern und einen ständigen Pazemismus entgegennehmen. Alle solche Abstraktionen lassen sich im Ungewissen andocken. Sie sind Gegenstände des menschlichen Geistes auf allen seinen Schwelben und Mängeln. Die bilden unserer beschränkten Vorstellungskraft und der rein menschlichen Logik. Aber interessant sind diese sinnlich ausgebaute Vorstellungsbilder doch. Vorstellungsbilder sind alle Theorien und die Hypothesen, auf denen wir beruhen. Jeder steht nach dem Ausmaß seiner Weltbild. Er fülle es mit möglichst reichen und lebendigen Inhalten an Je reicher es wird, um so größer und inhaltsreicher wird sein Lebensgefühl sein, um so befriedigender sein Dasein, um so lebender sein Sterben.

Das Weltall aber zu konstruieren als Krone aller Wissens, nicht als störrische Erklärung in das Wissen. Wer kennt z. B. den Mechanismus durch den die Newtonsche Anziehung oder eine genauere der Wirklichkeit entsprechende vermittelt wird? Mechanismus ist es bekannt. Man hat es als Fortschrittsgegenstand aller Zeit versucht. Man ist übergegangen zu den Äthertheorien von Faraday und Maxwell, zu der Elektrodynamik von Lorentz und endlich, man hat versucht, den Mechanismus der elektromagnetischen Lichttheorie zur Erklärung der Attraktion zu benutzen. Und aus dem großen Frage geklärt war, sollte man das Geschick der Entwicklung des Sonnen Systems ablesen? Das könnte ein Analog werden dem Entwurf einer Weltgeschichte ohne Quellenstellen.

Was ist aus den Träumen unserer Naturphilosophen geworden? Man erinnert, Hergl habe einst jenseit der ihm bekannten sieben Planeten je ein philosophisches Prinzip zugesprochen, dem er zu diesem klebte. Mehr als sieben könnte es nicht geben. Als nun Loewner nach der Strömung des Neptun entdeckte und Pluto ihm fand,

«da war Hafford im Feld», und man wachte nach einem solchen Prinzip! Wie viele Phantasie wären aber jetzt nötig, nachdem viele Hunderte von Phantasien entdeckt sind? Auch Kepler hatte eine gestirnt. Das kritische Prüfung seiner Träume, denn er war eifrig, brachte ihn auf wertvollere Gedanken. Diese haben ihn unsterblich gemacht. Über die Träume wird nur noch gelächelt. Aber interessant sind sie doch. Solche Träume waren auch die Hypothesen des Laplace über die schließlichen Ringbildungen von der Sonne.

Hypothesen und Theorien werden gemacht und gehen, entstehen und fallen, nur das ewige Dasein bringt seine Früchte, die ewige Dauer verkörpern. Als Naturphilosoph war die Welt weit mehr, als es nur nach dem universellen Naturforscher und Mathematiker möglich und wird von Jahrhundert zu Jahrhundert schwieriger. Aber es geht vorwärts, immer dann ja, und der Widerstand der Nationen, die um die Palme ringen, wird nicht fruchtlos bleiben.

## Die Beobachtungen der Sonnenflecken am 30. August 1905 auf dem Eise-Observatorium bei Tortosa. (Näheres S. 11.)

Die Mündung des Ebro ist auf Betreiben des von seinem gelehrten College für höhere Studien in Tortosa ein schönes geophysikalisches Observatorium entstanden, das sich hauptsächlich mit Sonnenbeobachtungen sowie magnetischen und elektrischen Beobachtungen beschäftigen soll. Die geographische Position des Observatoriums ist  $40^{\circ} 49' 14''$  nördl. Breite, Länge  $6^{\circ} 1' = 58.5'$  östl. von Greenwich, Seehöhe 54 m über dem Spiegel des Mittelmeeres. Gelegenheit der beiden Sommerferien vom 30. August 1905 und auf deren, damals noch nicht fertig gestellten Observatorium, von ganz Ansehnlichkeit und in der Nähe ständlicher Beobachter, sehr wertvolle Beobachtungen des Vorganges gemacht worden. P. Stern bestimme durch Okularbeobachtungen das zweite Kontakt, das den Beginn der Totalität auf  $13^{\text{h}} 15^{\text{m}} 13.2^{\text{s}}$ , das Ende der Totalität auf  $13^{\text{h}} 19^{\text{m}} 1.2^{\text{s}}$ , Dr. Wolf ermittelt aus seinen photographischen Registrierungen nach einem dem experimentellen Verfahren (das auf der Verkleinerung des elektrischen Widerstandes des Silbers bei wechselnder Beleuchtung beruht) den Anfang der Totalität auf  $13^{\text{h}} 16^{\text{m}} 15.4^{\text{s}}$ , das Ende auf  $13^{\text{h}} 19^{\text{m}} 5.9^{\text{s}}$ . Die Feststellungen beider Beobachter stimmen sehr Ver-

schiedenheit der angewandten Methoden, ausgerechnet überein, während die Vorausschätzung des Anfang der Totalität 1905 und das Ende 1911 später ergibt. Spektroskopische Untersuchungen und Polarisationbeobachtungen konnten wegen des verschleierten Himmels nicht angestellt werden, auch die photographischen Aufnahmen der Korona haben unter den Witterungsverhältnissen gelitten, doch gelangen einige Photographien gut. Eine höchst vorzügliche farbige Zeichnung der Korona wurde von P. Josef Valles, einem sehr begabten Amateurnatur, und Foster Carreras, einem hervorragenden Maler, geliefert. Ersterer wurde eine Aufmerksamkeitsmedaille der spanischen Korona und des Probenmuseums zu, der andere vorwiegend das äußere Gefüge der Korona. Das Ergebnis dieser gemeinsamen Arbeit ist hervorzuheben, dass die Zeichnung enthält eine Menge Einzelheiten, die sich nachträglich auf den photographischen Aufnahmen vorfinden lassen. Besonders rich Ende der Fenster zu verdeutlichen die beiden Maler ihre Zeichnungen und aus der Arbeit der Kunst in Wissenschaft der Form vor allem auch die Fortschreibung die nicht genau korrespondieren. Teil III gibt eine genaue Nachbildung dieser

peinliche Darstellung der Sonnenkorona.

Beobachtungen über die Ionisation der Luft wurden von P. Deved angestellt und zeigte, daß am Tage der Finsternis die positive Ladung beträchtlich vergrößert war, während die nega-

tiven sich vermindert zeigte. Von Wichtigkeit sind auch die Beobachtungen der Variation der magnetischen Elemente, die meteorologischen Aufzeichnungen und die Beobachtungen über das Verhalten der Tiere und Pflanzen während der Finsternis.

## Nummerierung und Namen neu entdeckter kleiner Planeten.

Das in Berlin dominierte staatl. astronomische Beobachtungsinstitut unter Leitung von Prof. J. Bauschinger, zu dessen Arbeitsprogramm die astronomische Überwachung und Klassifizierung der neu entdeckten kleinen Planeten gehört, hat wiederum für eine Anzahl kleiner Planeten die definitive Nummerierung festgelegt.

Prof. J. Bauschinger macht darüber und über einige damit zusammenhängende Verhältnisse bezüglich der kleinen Planeten folgende Mittheilungen: \*)

Nr.	Pro.	Ent.	Entdecker	entdeckt
599	1905	OE	Woll	1905 Juli 20
591	-	OE	Gale	" Sept. 4
592	-	OE	Gale	" Sept. 19
593	-	OC	Woll	" Sept. 19
594	-	OE	Woll	" Sept. 19
595	-	OE	Woll	" Sept. 19
596	-	OE	Gale	" Sept. 20
597	-	OE	Woll	" Oct. 20
598	-	OE	Woll	" Nov. 1
599	-	OE	Kopff	" Nov. 3
599	-	SE	Woll	" Dec. 17
591	-	SE	Platzoll	" Dec. 28
592	1906	SO	Kopff	1906 Jan. 23
593	1905	SP	Falks	1905 Dec. 31
594	1906	ST	Kopff	1906 Jan. 15
595	-	TA	Kopff	" Febr. 16
596	-	TC	Woll	" Febr. 28
597	-	TF	Woll	" Febr. 22
598	-	TO	Woll	" Febr. 22
599	-	TH	Kopff	" März 3
599	-	TO	Woll	" März 4
591	-	TH	Kopff	" März 14
592	-	TH	Woll	" März 18
593	-	TH	Kopff	" März 29
594	-	TH	Woll	" März 27
595	-	TH	Kopff	" März 27

Nr.	Pro.	Ent.	Entdecker	entdeckt
596	1906	UJ	Kopff	1906 Febr. 28
597	-	UJ	Woll	" April 14
598	-	UC	Woll	" April 19
599	-	UI	Platzoll	" April 26
599	-	UM	Platzoll	" Juni 16
599	-	UN	Woll	" Juni 28

mit diesen Planeten sind identisch:

1905	OV	=	(315) Uda
"	OA	=	(328) 1907 EL
"	OB	=	(386) Juchacz
"	OT	=	(471) Ischa
"	OF	=	(481) Krasa
1906	SA	=	(371) Sappho
"	SB	=	(417) 1906 CJ
"	SD	=	(36) Thule
"	SE	=	(81) Euboea
"	SE	=	(483) 1906 CH
"	SE	=	(394) Androm
"	SE	=	(146) Medusa

Die Zahlen folgender Planeten konnten wegen ungenügender Beobachtungsmittel nicht bestimmt werden:

1906: RI, RJ, RL, RM, RN, RO, RP, RI, RJ, RK, RL, RM, RN, RP, RO, RY, SA, SB, SC, SD, SE, SF, SG, SH, SI, SJ, SK, SL, SM, SN, SO, SP, ST, SU, SV, SW, SX, SY, TD, TE, TH, TJ, TK, TL, TM, TO, TR, TU, TV, TX, TY, UH, UK, UL, UQ, UR, US.

Der bisher mit (466) bezeichnete Planet ist identisch mit (466) Krasa; die Nummer 466 ist daher dem Planeten 1901 OE, für welchen eine Kometbahn vorliegt, beigemessen worden.

Folgende Namen hat Oth. Bat. Woll den von ihm auf dem astronomischen Institut Königsberg-Hindenburg entdeckten Planeten beigemessen:



Nr.	Bezeichnung	verbleibt	Name
499	1903 PM	1903 Okt. 23	Sagitt.
498	" PY	" " "	Rektus
494	1903 PY	1903 Jan. 4	Megale
496	" PZ	" " 13	Alkaid
495	" PZ	" " 17	Trappist
497	" PY	" " 9	Lania
498	" PZ	" " 15	Lania
471	" QD	" Jan. 7	Pygmaea
479	" QD	" Febr. 13	Nall
475	" QD	" " "	Prodrada
490	1903 PT	1903 Sept. 3	Nirvan
492	" JH	" " "	Glomunda
495	" QD	" Okt. 24	Eukalia
500	1903 LA	1903 Jan. 16	Schwar
501	" LH	" " 18	Ulmastar
502	" LC	" " 19	Sagitt.
503	" LF	" Aug. 24	Griffin
504	" LB	" " "	Arctus
505	" ME	" Sept. 30	Alkaid
504	1904 HX	1904 März 15	Felicia
505	" NG	" " "	Adelaida

Nr.	Bezeichnung	verbleibt	Name
507	1904 NG	1904 März 20	Composita
509	" NG	" " "	Rekt.
510	" NT	" " "	Progen
508	" NV	" April 11	Tonantid
511	" HW	" " 12	Zorion
510	" OL	" Aug. 2	Progen
510	" DM	" " 3	Glomunda
511	" QD	" " 4	Delonch
510	" PK	" Nov. 15	Jeunoda
510	" PL	" " 16	Soria
511	" PM	" " 17	Delonch
510	" PO	" Dec. 14	Sagittar
510	" PV	" " 17	Quinty
505	1905 PT	1905 Jan. 15	Mama
507	" PY	" " 16	Vorrell
508	" QD	" Febr. 9	Carmin
509	" QD	" März 8	Rektus
510	" QF	" " 11	Delia
511	" QG	" " 16	Jeunoda
510	" QH	" April 3	Schwarz

## Ein durch seine Geschwindigkeit auffallendes Meteor.

**24.** Decbr. 1905 um 24 10<sup>m</sup> morgens nach der Ankunft von Trebesch (Pflüger) beobachtete nur im Nordwesten, da ich im Bett lag und diese Angaben gegen das mir in schwacher Richtung stehende rote Fenster, dessen Scheiben gänzlich verblaut waren, bläuliche, ein Meteor plötzlich aufpendelnd, wie wenn das elektrische Licht einer Gaslampe plötzlich aufleuchtete und in die Augen fiel. Es erleuchtete groß in der Farbe des Sternenhimmels oder eben auch des Regenbogens den nördlichen Himmel und schien zudem eine von der Vertikalen abweichende, gegen Westen gerichtete, schrägste Bahn, in derselben im Lichtkehl stark abnehmend. Das geschah in meinem Augenblicke, während welcher sechs Drucker auf der Tonne in ihrem  $\frac{1}{4}$ -Takte auch nicht den vierten Schlag geben würden, also in einer halben Sekunde.

Größtentheils nachträgliches und Nachhören mit Kompaß und Transit (Noll), welcher Arbeit ich keine Korrektur zu geben imstande wäre, ergab folgendes mittleres Beobachtungsergebnis:

Wollte die Forscherebene ganz verlassen werden, konnte ich natürlich von Sternbildern nichts wahrnehmen. Nach dem Aufhören der Färbung jedoch orientierte die Lage des Radiationspunktes, approximativ nach einem Ort jenseits des östlichen der Plejaden, und dem Widder, zwischen beide und unterhalb der Andromeda, ob auch unterhalb des Perseus, kann ich nicht entscheiden. Wenn ich den Ort zu  $\gamma$ -Perseus oder noch besser  $\beta$ -Trianguli rücke, so ist davon eine Vermutung.

Jedenfalls läßt über die Lage der Kompaß und Transitvorrichtung



Harnack beträgt die Bahnlänge ab  $\approx 8^{\circ}10'$ , und wenn diese in einer halben Sekunde zurückgelegt wird, so ist dies eine normale Geschwindigkeit!

Der Kompaß sowohl des Höhenkreuzes des Radiationspunktes als auch

Nordwest vom magnetischen Nordpol, der Winkel zwischen Radiationspunkt und Meridian (im Nord) eingetragene ungefähr  $37\frac{1}{2}^{\circ}$ .

Teufelsch, am 1. Januar 1907

Theodor Wranitzsch,  
Bürogeschäftsleiter

## Der Komet 1906h.

**E**iner von Melotte in Thionville am 14. Novbr. photographisch entdeckte Komet hat sich als ein sehr merkwürdiges Objekt erwiesen. Die ersten Bahnberechnungen, bei welchen eine Parabel vorausgesetzt wurde, ergaben keine geoffene Überzeugung zwischen Beobachtung und Rechnung. Prof. H. Kretz berechnete daher eine neue Bahn ohne diese Voraussetzung und fand, daß der Komet eine elliptische Bahn beschreibt, doch war die Unsicherheit zunächst nur sehr unbedeutend. Eine neue Berechnung von Dr. M. Eick, die sich auf Beobachtungen vom 17. Nov. bis 5. Dez. stützt, bestätigt die elliptische Bahn und liefert eine Unsicherheit von 7500 Jahren. Außerdem zeigte sich, daß die Bahn dieses Kometen eine sehr geringe Ähnlichkeit mit den Bahnen anderer früherer kometoidischen Kometen besitzt. Man erkennt dies aus der folgenden Zusammenstellung in welcher berechnet:  $a$  den halben zwischen Knoten und Perihel,  $i$  die Länge des aufsteigenden Knotens,  $\epsilon$  den Winkel der Bahnebene mit der Ebene der Ellipse,  $e$  die Exzentrizität der Bahn,  $p$  die Periheliondistanz in Einheiten der halben großen Achse der Erdbahn und  $G$  die Unsicherheit in Jahren und Dezimalteilen derselben.

Komet	$a$	$i$	$\epsilon$	$e$	$p$	$G$
1907 V	190	230	180	0.000	1.00	1.30
1906 h	175	206	25.0	0.005	1.00	0.01
1902 V	170	207	31.2	0.020	1.03	0.23

Komet	$a$	$i$	$\epsilon$	$e$	$p$	$G$
1906 V	190	230	11.4	0.000	1.00	0.00
1902 h	171	197	26.9	0.020	0.95	0.72
1906 h	201	204	14.5	0.020	1.03	7.50

Die größte Ähnlichkeit besitzt die Bahn des Kometen 1906h mit der Bahn des Physichen Kometen, der seit 1896 nicht wiedergesehen worden ist. Mit diesem ist der Komet h jedoch keineswegs identisch, wohl aber weist es nicht unbedeutend, daß dieser Komet mit dem Physichen Kometen in der nämlichen Bahn um die Sonne läuft, beide aber in verschiedenen Punkten dieser Bahn.

Als E. Eickungen auf der Sternwarte zu Bordeaux den Kometen am 22. Nov. mit dem dortigen 14zölligen Refraktor beobachtete, bemerkte er in der unmittelbaren Nähe desselben zwei kleine Nebelbälle 12-Große, von denen der eine sehr langf. ( $10''$ ) war, der andere dagegen rund und  $20''$  im Durchmesser groß. Er bestimmte die Positionen dieser Nebel sehr genau durch Anstoß an einen Stern 4.5 Größe der Bessel-Durchmusterung. Am 23. Nov. konnten dieselben indessen nicht wiedergesehen werden. Da die Möglichkeit vorliegt, daß es sich um Begleiter des Kometen selbst handelt, so hat Prof. Kretz, nach Eintreffen der Nachricht aus Bordeaux zugleich mehrere Sternwarten telegraphisch ersucht in dem betreffenden Punkte des Harnack nach diesen Nebeln zu suchen, doch gelang es nicht dieselben zu sehen.

# Photographisch-photometrische Untersuchungen über den Lichtwechsel veränderlicher Sterne.

Die Untersuchungen, welche vor einigen Jahren Prof. Schwarzschild über den veränderlichen Stern  $\epsilon$  im Adler angestellt hat, führten zu dem Ergebnisse, daß die Schwankung der photographischen [optischen] Strahlung dieses Sterns erheblich größer ist, als der optische Helligkeitsveränderungen  $\frac{1}{2}$ . Der Stern schwankt nach der photographischen Lichtkurve von 1.25 Größenklasse, gemäß der optischen nur um 0.67 Größenklassen. Später hat Dr. Wirtz gezeigt, daß bei dem Veränderlichen  $\delta$  im Capellus die photographische Lichtschwankung die optische ebenfalls bedeutend übersteigt und ähnlich fand er auch für den Veränderlichen  $\zeta$  in den Zwillingen. Diese drei Sterne sind optisch-optische Doppelsterne. Die photographischen Aufnahmen zur Bestimmung der Helligkeit geschahen so, daß der Stern etwas außerhalb des Brennpunktes des photographischen Fernrohrs aufgenommen wurde, wodurch die Ausmessung der (vergrößerten) Sternabbildung sicherer wird. Dr. Wirtz hat die von Prof. Schwarzschild zuerst eingeführte Messungsmethode der photographischen Helligkeiten der Sterne vervollkommen, doch noch noch vieles zu wünschen übrig. Seitdem hat Dr. A. Wittke, auf dem von Dr. Wirtz gezeigten Wege fortbauend, diese Messungsmethode verbessert und mit dem Astrogaphen der v. Koller'schen Sternwarte Versuche zu möglichst genauer, absolute Bestimmung der photographischen Helligkeiten und des Verhältnisses der photographischen zur optischen Größe der Lichtschwankung einiger Veränderlicher angestellt. Aus seiner bezüglich Darstellung<sup>1)</sup> möge über den letzten Teil der Untersuchung das Wichtigste hier kurz folgen.

Es lag nahe, bemerkt Dr. Wittke, die Untersuchung zunächst auf solche Variable auszuheben, die denselben Typus wie  $\epsilon$  Aquilae annehmen. Die charakteristischen Eigenschaften dieses Typus wie  $\epsilon$  Aquilae als Hauptperiodensterne, besitzen bekanntlich darin, daß der Lichtwechsel 1. Hauptwechsel, 2. unregelmäßig ist, indem die Zeitintervalle für die Helligkeitsmaxima und -minima verschieden sind, und daß der Lichtwechsel 3. auf dem Wege vom Hauptmaximum zum Hauptminimum aus Reihe sekundärer Schwankungen auftritt, die in der Lichtkurve in bestimmten Maxima und Minima zum Ausdruck kommen. Neben mit diesen Eigenschaften behafteten Variablen sind aber vorstehenden Untersuchungen aufgenommen worden.

Es sind folgende:

1.  $\delta$  U Cygni. Aus den Untersuchungen des Lichtwechsels dieses interperiodischen Veränderlichen durch die Endicker, Muller und Kompf, geht hervor, daß die Annahmen der Helligkeit außerordentlich viel schneller als die Abnahme erfolgt. Die Zeit des Abwerts vom Hauptmaximum bis zum Hauptminimum beträgt nur 24 Tage, der des Abwerts dagegen 26 Tage. Ferner ist 1<sup>1</sup>/<sub>2</sub> Tage nach dem Maximum ein Minimum in der Lichtkurve angegeben, was in der Lichtkurve zu einem Buckel Anlaß gibt, so daß für  $\delta$  U Cygni die charakteristischen Merkmale des  $\epsilon$  Aquilatypus vorliegen.

Die photographischen Aufnahmen letzter statt in der Zeit vom 3. Juni bis 16. Septbr. 1905 in Übereinstimmung mit dem optischen Verhalten des Sterns fand sich, daß die Lichtkurve zu  $\epsilon$  Aquilatypus gehört, wobei die Zunahme um 1.1, die Abnahme aber 0.7 Tage beträgt und sekundäre Schwankungen zwischen Nach Müller und Kompf, dessen Angaben von Peßner bestätigt sind, beträgt die optische Schwankung der Helligkeit der Ver-

<sup>1)</sup> Verh. Naturf. 1900, S. 24. Abt. 17.

<sup>2)</sup> Zeits. f. Astr., S. 126 bis 131.

<sup>3)</sup> Astron. Nachr., Nr. 2128.

Seite 207. Fuß 2.

lediglichens 1 60 Größenklasse, die photometrische Angaben gemäß den Messungen von Dr. Wilcox 1 15 Größenklasse. Die kleine Streikung ließ sich also während des Lichtwechsels nahezu unerheblich so stark auf wie die große Streikung.

3. X Cygni. Dieser komperiodische Veränderliche (1837 im *Catalogue Triest Catalogue*) gehört zur 50 Cygni des  $\gamma$  Aquilantypus an. Die Lichtkurve erfolgt in 51 Tagen, die Abnahme dagegen in 102 Tagen und zwar mit Aussehen ständiger Anschwellungen. Nach Loew, der die stehenden Angaben bestätigt hat, soll die Lichtänderung former während zweier Tage in der Mitte des Minimum verschwinden, d. h. es soll die Lichtkurve an dieser Stelle abgeflacht sein.

Wie 50 Cygni wurde auch X Cygni an selben gleichzeitig mit ihm auf der Platz reichende Sternengestirnen.

Die Größenklassenwerte dieser Sterne wurden nach der absoluten Methode bestimmt. Die Aufnahmen erfolgten an zwei Abenden, und zwar war die Dauer der Expositionen 1, 3, 5 und 12 Minuten bei jeder Öffnung und 12 Minuten bei abgedecktem Objektiv.

Der aus diesen Daten gewonnenen photographischen Lichtkurve ergibt, in genauer Überbestimmung mit den meisten Beobachtungen, für die Dauer des Ausganges der Helligkeit 52 Tage und für die Dauer des Abgangs 102 Tage. Dagegen zeigen sich mit dem abflachen der Art der Lichtkurve keine unbedeutenden Anschwellungen. Nach den Untersuchungen von Spens beträgt nur die optische Amplitude des Lichtwechsels 0,1 Größenklasse, nach Dörfler 1,2 und in anderer Stelle ebenfalls nach Dörfler 1,2, so daß sich im Mittel 1,0 Größenklasse ergibt, und zwar in Überbestimmung mit den neuen Messungen am Meridianphotometer durch Pickering, der 1,01 Größenklasse als Schwankung findet. Da die von Wilcox gefundenen photographischen Amplitude 0,0 Größenklasse beträgt, so ist das Verhältnis beider 1 : 1,0.

5 T Velorum. Dieser komperiodische Variable gehört gemäß den Angaben der Beobachter zum  $\gamma$  Aquilantypus an. Nach Andel dauert der Ausstieg der Helligkeit 1,4, der Abstieg 2,0 Tage, nach Terbin 2,0 resp. 2,4 Tage. Da in der direkten Umgebung von T Velorum keine passenden Vergleichsterne vorhanden waren, so wurde T Velorum an die zur 5<sup>2</sup> von ihm zugehörige Vergleichsterngruppe von X Cygni zugeordnet.

Die Beobachtungen umfassen die Zeit vom 6. Juli bis 12. Septbr. 1901. Gemäß demselben umfaßt der Ausstieg der Helligkeit 1,2, die Abnahme 2,2 Tage, direktere Anschauungen bedürfen wohl noch weiterer Bestätigung. Für die Amplitude des Lichtwechsels ergibt sich 1,20 Größenklasse, die meisten Beobachtungen von Chandler, Loew, Sawyer und Vandell, ergeben in guter Übereinstimmung mit den neuen Messungen von Terbin für die optische Amplitude 0,94 Größenklasse. Die Messungen am Meridianphotometer durch Pickering ergeben weniger, nämlich 0,80 Größenklasse.

Wilcox findet als Mittelwert für das Verhältnis der photographischen zur optischen Schwankung des Lichtes 1,4 : 4 5 Größen. Dieser Verhältniswert ist einer der bestausgesprochenen Repräsentanten des  $\gamma$  Aquilantypus. Nach schnell erfolgtem Ausstieg der Helligkeit bis zum Hauptmaximum, folgt der Lichtwechsel einer intermediären Schwankung an, die in der Kurve in einem deutlichen Buckel zum Ausdruck kommt; nach Wilcox photographische Helligkeitsanstiegen beweisen diese charakteristische Eigenschaft, trotzdem die Messungen nicht sehr zahlreich, dafür aber sehr genau sind.

Die photographische Schwankung des Lichtwechsels ergab sich 1,30 Größenklasse. Eine ausführliche Diskussion der meisten Messungen von Goss, Vandell, Sawyer, Pickering und Loew durch Letztere, ergibt als Wert der optischen Schwankung 0,91 Größenklassen.

neuen Messungen durch Fokierung und Teilung ergeben einen geringeren Wert, und zwar findet zwischen 0.63 und letztem 0.57 Größenklasse. Jedenfalls ist aber die optische Schwächung geringer als die photographische.

Wilsons nimmt 0.77 Größenklasse als definitiven Wertschwächungs-Schwächung und findet damit für das Verhältnis der photographischen zu dieser 1.06.

3 U Vulpeculae. Diese Variable gehört nach den Untersuchungen der Entenker, Müller und Kempf, zum I. Geminorumstypus. Die optische Lichtkurve wie Abnahme soll in der selben Zeit erfolgen, wie Entzierung der Lichtkurve ist von Müller und Kempf nicht bemerkt worden. Aus Wilsons Aufnahmen ergibt sich dagegen, daß die absteigende Teil der photographischen Lichtkurve mit einem Stachel behaftet ist, so daß U Vulpeculae, wenigstens was den Lichtwechsel der blauen Strahlung angeht, eher zum  $\gamma$  Aquilae als zum I. Geminorumstypus zu gehören scheint. Da U Vulpeculae von uns gesprochen heißt Stern ist, so wir von vorerst nur ein geringes astronomisches Strahlungsvermögen zu schließen, und in der Tat folgt aus den Aufnahmen, daß die photographische Größe des Variables zwischen 5.4 und 9.5 schwankt, während die visuelle Größe zwischen 6.9 und 7.6 eingeschlossen ist. Dagegen waren für diese Veränderlichen, namentlich mit Rücksicht auf die unvollständigen Aufnahmen, längere Expositionen erforderlich. Es wurden durchschnittlich zwei Expositionen vorgenommen mit einer Dauer von 7 und 15 Minuten.

Das Verhältnis der photographischen zur optischen Ausdehnung des Lichtwechsels fand sich gleich 1.8.

4  $\alpha$  Serpentis. Nach den Angaben von Veselý soll dieser Variable die kurze Periode von 4.7 Tagen haben, letzter soll das Anwachsen der Helligkeit etwas über 2 Tage, die Abnahme etwas über 6 Tage betragen und 4.4 Tage nach dem Maximum ausfallen. Der

Stern würde innerhalb dem  $\gamma$  Aquilae typus gehören und ist aus diesem Grunde photographisch von Wilson verfolgt worden. Die Vermutung über das Verhalten der photographischen zur optischen Amplitude des Lichtwechsels hat sich aber in diesem Falle nicht bestätigt, vielmehr ergaben die Messungen an den Aufnahmen von 20 Platten, daß  $\alpha$  Serpentis photographisch überhaupt als unveränderlich zu beschreiben ist. Dieses Resultat ist in Übereinstimmung mit den visuellen Messungen am Meridianphotometer durch Fokierung, der ebenfalls keine merklichen Helligkeitsschwankungen an  $\alpha$  Serpentis wahrgenommen hat und  $\alpha$  Serpentis für unveränderlich hält.

Nach Abtätigung der wesentlichen Ergebnisse seiner Untersuchungen hat Dr. Wilson die Vergleichstabelle und Variablen zur Erweiterung in das gebräuchliche Größenklassensystem in die Figuren angeschlossen, deren photographische Größen durch die Untersuchungen Schwarzschields sehr genau bekannt sind.

Auf diese Weise findet er folgende Übersätze der Helligkeitsbeziehungen der genannten Veränderlichen:

	photogr.	visuell
SU Cygni . . . . .	7.1—7.5	6.6—7.4
$\delta$ Cygni . . . . .	7.3—7.6	6.9—7.3
$\delta$ Vulpeculae . . . . .	6.3—7.5	5.4—6.2
$\delta$ Sagittae . . . . .	6.4—7.7	5.7—6.4
U Vulpeculae . . . . .	5.4—9.5	6.9—7.6

Alle Variablen sind also photographisch bedeutend schwächer als optisch, nur bei SU Cygni liegt der hellste Punkt des photographischen Lichtwechsels innerhalb des Bereiches der optischen Strahlung, aber doch noch fast an dessen Grenze, somit spielt die photographische Lichtschwächung bei keiner der anderen Variablen in den Bereich des optischen Lichtwechsels hinein.

Zum Schluss seiner Untersuchungen gibt Dr. Wilson noch kurz auf die wahrscheinlichsten Ursachen des Lichtwechsels der Sterne von obigen

Typus und des stärksten Aufbaus der blauen gegenüber der gelben Strahlung: die „Klitterfaser“ hat zuerst die Hypothese aufgestellt, daß die Lichtschwächung dieser Sterne auf den Staub- und Flußerscheinungen einer absorbierenden Atmosphäre beruhe; unter dieser Annahme, daß die Atmosphäre ganz besser wie die Erdatmosphäre eine weit stärkere Absorption der blauen als der gelben Strahlung verursache, scheint eine zureichende Erklärung des Übergewichts der Amplitude der blauen über die gelbe Strahlung des Lichtwechsels zu folgen.

Indessen macht Schwarzschild im Falle des von ihm untersuchten Lichtwechsels von „Agassiz“ darauf aufmerksam, daß die Phasen des Lichtwechsels im Verhältnis zur Periode Lage und Stellung des die Gasdichtschwankungen bewirkenden Segments in seiner Lage in eigenartiger Weise sind, daß die Klitterfaser-Hypothese doch noch zu Bedenken Anlaß gibt. Über die oben angedeuteten Versuche liegen noch keine spektroskopischen Beobachtungen vor, so daß eine Verfolgung des Lichtwechsels mit der Beobachtung und Periode Lage des Segments vorläufig nicht möglich ist.

## Merkwürdige Sternspektren.

**S**iehe (oder können verliert haben?) H. L. Landerstorf vom astrophysikalischen Observatorium zu Potsdam, der Ergebnisse der Untersuchung von spektroskopischen Aufnahmen einiger Sterne, die von ihm und Dr. E. Evershild mit dem photographischen Refraktor des gemeinsamen Observatoriums und einem Spektrographen von drei Prismen erhalten wurden, mitteilt. Diese Aufnahmen beziehen sich auf die Sterne R in der einstelligen Krone, 57 in der Japhank und 72 im Ophioceros. Für den letzten Stern ergab sich aus der Messung der Verschiebungen, welche die Flammenlinie 1.4451 und die Wasserstofflinie H $\gamma$  aus der normalen Lage zeigten, eine Ausdehnung des Sterns in der Gasdichtzone zur Erde (Radialbewegung) von 21 km in der Sekunde. Das beiden anderen Sterne zeigen sehr merkwürdige Spektren.

R in der einstelligen Krone ist ein wunderlicher Stern mit außerordentlich großen Lichtschwankungen, die bis zu 5-6 Millionen betragen. Eine Regelmäßigkeit in diesem Lichtwechsel ist zwar nach Landerstorf Untersuchung aller bisherigen Beobachtungen der selben, nicht erkennbar, aber die na-

male Helligkeit, die der Stern meistens zeigt, beträgt, entspricht etwa der 5. Größenklasse. Das Spektrum von R ist schon mehrfach beobachtet worden, so von Evershild 1880, 1893 und 1898, als der Stern ziemlich nahe normale Helligkeit hatte. Evershild glaubte teilweise helle Linien im Spektrum zu sehen, doch ist er sich in dieser Hinsicht sehr vorsichtig. Mit größerer Sicherheit glaubte er im Jahre 1890 die Äpfelchen und Wiederverwandten zweier breiter Absorptionsbänder beobachtet zu haben, ähnliche bemerkt er 1893, 1898 scheint Evershild, abgesehen von den beiden breiten Absorptionslinien nicht wahrgenommen zu haben, dagegen gelang ihm dies 1893 und 1899.

Die frühesten photographischen Aufnahmen des Spektrums von R sind auf der Harvard Sternkarte zu Cambridge 1885 erhalten worden, dann 1885, zu Zeiten als der Stern seine normale Helligkeit hatte. Später hat Prof. Frost auf der Harvard Sternkarte das Spektrophotographische aufgenommen, und zwar 1902 Juli 24 und 1905 August 25. Aus den Linienschiebungen aus diesen Spektrogrammen ergibt sich ein Entweichen des Sterns von der Sonne von im Mittel 19 km pro Sekunde. — Das Spektrum war an beiden Tagen dem von  $\alpha$  Perse-

Stück. Nach der Lichtkurve war der Verliederröhr 1903 Juli 24 7.3 Größe und im Raysoner Helligkeitsausdruck begriffen. 1905 Aug. 25 etwa 5.5 Größe und ebenfalls im Helligkeitsausdruck befindlich. Die Beobachtungen von Frost und dadurch besonders wertvoll, daß sie zu Zeiten angestellt sind, in welchen der Stern sich wohl in seiner normalen Helligkeit befand, sondern etwas schwächer war.

Der Dr. Ludendorff zur Verfügung stehendes Spektrogramm von R Coronae wird als zur Zeit normaler Helligkeit genommen worden. Es sind zunächst fünf mit Spektrograph IV aufgenommenen Platten, in Abwärtsreihen der Lichtbreiten des Objektes unter der Spalt ziemlich weit geöffnet und sehr lange belichtet (25-100 bei der ersten, 45 bei den übrigen Platten) worden. Mancherlei Platten sind trotzdem schwach belichtet, teilen sich aber ziemlich gut zusammen.

Es konnten auf jeder Platte etwa 20 bis 40 Linien zur Ableitung der Radialgeschwindigkeit benutzt werden. Die gleich Werte stimmen recht gut überein und lassen keine Verleiderung der Radialgeschwindigkeit erkennen. Bei der Beurteilung der Genauigkeit ist zu beachten, daß bei den langen Belichtungen sich schon recht wohl Raysoner im Spektrographen benutzbar machen können, und daß, wie erwähnt, alle Spektren schwach belichtet sind.

Im Mittel aus den fünf Platten ergibt sich als Radialgeschwindigkeit  $v = +25.5$  km pro Sekunde.

«Diese Zahl,» sagt Dr. Ludendorff, «wird nicht stark von dem Frostschen Werte ab. Frost schätzte, wie er brieflich mitteilte, die Unsicherheit der Einzelwerte der Radialgeschwindigkeit auf 5 km. Gehten diese jedenfalls durchschnittlich die Unsicherheit der von mir hergeleiteten Einzelwerte auch nicht um ein Minimum also voraus, daß die Radialgeschwindigkeit von R Coronae während seiner normalen Helligkeit zwar konstant ist, aber Änderungen

während des Lichtwechsels erleidet. Allerdings möchte ich diese Vermutung nur mit einem Vorbehalt aussprechen, da bei so langen Belichtungen, wie an sowohl Frost wie wir hatten anwenden mußten, das Auftreten starker systematischer Fehler nicht ausgeschlossen scheint.

Auf den fünf genannten Spektrogrammen hat Dr. Ludendorff keine Änderungen im Aussehen des Spektrums wahrnehmen können, auf allen hat das Spektrum grade Abschlüsse mit dem von « Perseus, jedoch kann er doch einen sehr wesentlichen Unterschied in den Spektren beider Sterne feststellen. In dem von R Coronae fehlt nämlich merkentlichermaßen die Wasserstofflinie H $\gamma$ . Auf keiner der Platten ist eine Spur von dieser Linie vorhanden, weder als Emissionen, noch als Absorptionen. Ebenso fehlt H $\gamma$  auch auf zwei andere Spektrogramme von R Coronae (1904 Juli 11 und 12), welche zu stark unterbelichtet sind, als daß sie hätten ausgemessen werden können. Die Spektrallinien um H $\beta$  und H $\delta$  sind auf dem mit Spektrograph IV aufgenommenen Platten recht wohl enthalten.

Auf eine Anfrage teilte ihm Herr Prof. Frost mit, daß auch auf den beiden von ihm verwendeten Platten die Linie H $\gamma$  fehlt, ebenso scheint auch H $\gamma$  zu fehlen, was sich aber nicht mit völliger Sicherheit bestätigen ließ. Die zweite Platte reicht über H $\delta$  hinaus und Prof. Frost konnte feststellen, daß diese Linie ebenfalls fehlt. Dr. Ludendorff bemerkt hierzu: «Um das Verhalten der Wasserstofflinien außer H $\gamma$  auch anzuverleiten zu untersuchen, haben Dr. Eberhard und ich mit dem Spektrographen D von Fraun, kleine Dispersionen auch weitere Aufnahmen von R Coronae gemacht, und zwar 1905 Juli 26 (500 Belichtungen) und Juli 30 (2500 Belichtungen). Die Spektrogramme um H $\gamma$  ist auf diesen Platten nicht enthalten. Auf beiden Aufnahmen fehlen H $\gamma$  und H $\delta$ , auf der zweiten,

sonstlich weil im Ultraviolett stehenden Aufstrahlung ist die Ursprungung von H $\gamma$  noch schwach sichtbar, und diese Linie scheint ebenfalls zu fehlen. Über das Verhalten von H $\delta$  kann nichts gesagt werden, da diese Linie durch H überdeckt wird, H und K sind ziemlich breit, ähnlich wie bei  $\alpha$  Persei, und überhaupt hat das Spektrum von R Coronae, abgesehen von dem Fehlen der Wasserstofflinien, auch im Ultraviolett die größte Ähnlichkeit mit dem des  $\alpha$  Sterns.

Die Frage auf den Charakter des Spektrums stimmt also die von Fiedl mit der von mir untersuchten Platte völlig überein, obwohl die von Fiedl noch in der Zeit der normalen Helligkeit aufgenommen sind. Ob die von mir zuerst Resultate abweichenden Ergebnisse, die auf dem Harvardobservatorium und von Epps erhalten wurden, richtig sind, muß die Zukunft lehren. Man mußte in diesem Falle große Änderungen in dem Spektrum annehmen, wie sie ja bei dem merkwürdigen, noch ganz mäßigen Lichtwechsel vollständig auch ausserordentlich sind. Andererseits ist zu bedenken, daß die Beobachtungen von Epps und vom Harvardobservatorium alle zur Zeit der normalen Helligkeit angestellt sind, wo ich das Spektrum stets unverständlich gefunden habe, und daß diese Beobachtungen mit für so schwache Objekte sowohl anzureichenden Platten ausgeführt sind. Daß das höchst eigenartige Fehlen der Wasserstofflinien, irgendwie mit der Ursache der Helligkeitsänderungen zusammenhängt, darf wohl angenommen werden. Es wäre sehr interessant, wenn das Spektrum von R Coronae möglichst häufig untersucht würde, namentlich auch im Zeiten, wo der Stern sich nicht in seiner normalen Helligkeit befindet.

Es ist im Jahr 1890 von Demar unter dem Namen eines neuen bekannten Sterns als ein Doppelsystem 3.2 und 3.7 Größe, der keine Änderung in der Stellung des Begleiters zeigt. Er verdient bezüglich seiner Farbe aufmerksam-

same Verfolgung, da sich über diese bei den einzelnen Beobachtungen beträchtliche Differenzen zeigen. Das Spektrum des Hauptsterns zeichnet sich zunächst dadurch aus, daß die Mehrzahl der Linien außerordentlich schwach und schwach ist. Auf der ganzen Linie in beträchtl. benachbarten Streifen des Spektrums befinden sich nur zwei auffällige Linien, nämlich die Mg-Linie 2.4481 und H $\gamma$ . Erstere ist schwach und nicht sehr kräftig, letztere auf dem stärker beobachteten Platten ebenfalls schwach, aber doch sehr viel kräftiger und auch viel kräftiger als die Mg-Linie. Ausser diesen beiden Linien treten noch zahlreiche sehr schwache, vielleicht in der Gegend der Sichtbarkeit beobachtete Linien auf, die mir aber fast ausnahmslos sehr schwach sind, so lassen sie sich verhältnismäßig gut erkennen. Sie können meist sicher mit Linien des Newlandschen Sonnenspektrums identifiziert werden, und zwar hauptsächlich mit solchen des Eisens, Titans, Mangans, Calciums und Chroms.

Die Ausmessungen der Platten ergaben Radialgeschwindigkeiten zwischen  $-30$  und  $+29$  km pro Sekunde (= bezeichnet Annäherung des Sterns, + Entfernung), im Mittel  $-0.3$  km. Bei der Ausmessung der Platten, berichten Dr. Linderhoff, zeigte sich die auffällige Tatsache, daß auf verschiedenen Platten häufig ganz verschiedenen Linien gemessen wurden. Bei der großen Schwäche der Mehrzahl der Linien glaube ich kaum, daß diese Erscheinung durch die Verschiedenheit der Schwärzung, und überhaupt des Ausmasses der Spektren zu erklären ist, und in vielen Fällen ist diese Erklärung auch ohne Zweifel richtig, aber eine Weglassung gerade der besten Platten beweist ziemlich sicher, daß die relativen Intensitäten einer Anzahl von Linien wirklich verschieden sind. Ich möchte einige Beispiele anführen, die bei einer Vergleichung der besten Platten unter dem Mikroskop besonders ins Auge fallen.

Die Quecksilber-Linie 2.43193 ist auf den Platten Nr. 1871 und Nr. 1843



sehr deutlich vorhanden, auf den etwas genau Platte Nr. 1425, 1435, 1436 ist sie nicht sichtbar oder doch (höchstens) höchst zweifelhafte, auf Platte Nr. 1473 scheint in ihrer Stelle eine kleine, äußerst schwache Doppellinie zu stehen, die ich aber nicht für reell halte.

Die Emission  $\lambda$  4472.84 ist auf Platte Nr. 1436 deutlich, auf Nr. 1434 schwach, auf Nr. 1425, 1435, 1446 überhaupt nicht vorhanden.

Die Emission  $\lambda$  4238.95 ist auf Platte Nr. 1432 deutlich, auf Platte Nr. 1470 und 1471 dagegen nicht vorhanden.

Auch die H $\gamma$ -Linie  $\lambda$  4101 ist auf verschiedenen Platten von etwas verschiedenen Ansätzen, in fast beständiger, bald etwas weniger scharf, ingravescirender Gleichmäßigkeit habe ich in den drei Aufnahmen der Linsen nicht finden können. Im ganzen konnte ich auf den 12 Platten gegen 68 verschiedene Linien messen und charakterisieren. Zu bemerken ist, daß Langer in dem Spektrum von  $\alpha$  Andromedae, welches mit dem von 12 Canes verzeichneten Ähnlichkeit besitzt, ebenfalls Änderungen in den Intensitäten der Linien gefunden hat.

## Der spektroskopische Doppelstern $\beta$ Cephei.

**S**eit dem 18. December 1901 ist dieser Stern mehrere Male auf dem Yerkesobservatorium spektroskopisch untersucht worden und es hat sich dabei ergeben, daß er in sehr kurzer Zeit seine radiale Geschwindigkeit periodisch verändert, also ein spektroskopischer Doppelstern von außerordentlich kurzer Umlaufzeit ist. Prof. B. Frost vermutete schon 1893, daß die Umlaufzeit 1/2, oder 1 1/2, oder 3 Tage beträgt, doch war es nicht möglich, eine Entscheidung darüber zu treffen. In den Jahren 1903, 1904 und 1905 ist der Stern auf dem Yerkesobservatorium nur sehr untersucht worden, es wurden im ganzen nur 12 Platten erhalten, im Jahre 1906 hat dagegen Prof. Frost Untersuchungen getroffen, um während einer einzigen Nacht mehrere Aufnahmen zu erhalten. Es gelangen in der Tat in das Licht des 18. bis 21. Mai 1906 acht spektroskopische Aufnahmen. Aus den vorläufigen Messungen der Linienschiebungen ergab sich nun, daß die Periodendauer wenig von 4h 30m verschieden ist. Nachdem dies sicher gestellt war, wurde der Versuch gemacht, den Stern mehrere Nächte hindurch fortlaufend aufzunehmen und es gelang am 28. Mai 16 Platten mit einer durchschnittlichen Expositions-

dauer von je 12 Minuten zu erhalten. Am 5. Juli wurden weitere 16 Platten mit durchschnittlich 22m Expositions-dauer und am 23. August 20 andere mit 20m Expositionsdauer, außerdem weniger vollständige Reihen am 18. und 22. Juni. Diese Aufnahmen zeigen eindeutig, daß der Stern den ganzen Zyklus seiner veränderlichen Radialgeschwindigkeiten in einer einzigen kurzen Sommernacht durchläuft, eine Tatsache, die für einen spektroskopischen Doppelstern bis jetzt einzig dasteht. Die kürzeste Periode eines spektroskopischen Doppelsterns war bisher die von  $\mu$  Cephei, welche 1.45 Tage beträgt, außerdem ist der Veränderliche K Cass nebens als spektroskopischer Doppelstern erkannt, dessen Lichtwechsel 27h 16m beträgt, doch ist die Periode seiner Radialgeschwindigkeit noch nicht bestimmt. Von größtem Interesse veränderlichen Sterns hat W. Ursae nahezu eine Periode von 450m und der Veränderliche 18 1904 ergab eine solche von 2h 14m, letztere die kürzeste bei einem Veränderlichen, welche man bis jetzt kennt. Die endgültige Untersuchung der Spektrogramme von  $\beta$  Cephei muß noch zurückgestellt werden, doch hat Prof. Frost wenigstens vorläufige Resultate abge-

hiet.<sup>5)</sup> Er betont, daß bei einem Stern von diesem, die Dauer der Exposition von Wichtigkeit ist, da sie einen beträchtlichen Bestandteil der Periode des Sterns ausmache. Letztere nennt er vorwiegend zu  $40 \frac{1}{2} \text{ sec}$  [?] an und die mittlere Geschwindigkeit variiert zwischen  $+12$  und  $-12$  km pro Sekunde, wozu eine Bewegung des ganzen Systems von  $-5$  km pro Sekunde und eine Umlaufgeschwindigkeit von  $17$  km in der Sekunde noch ergibt. Unter dieser Annahme würde für den Radius der Bahnbewegung des hellen Sterns in der Projektion auf die Gesichtslinie zur Erde, eine Größe von nur  $45000$  km folgen, man muß daher schließen, daß die wahre Bahnkurve sehr stark gegen

die Geradenlinie zur Erde gekrümmt ist. Jedenfalls kann man annehmen, daß die Krümmung des hellen Sterns vom gemeinsamen Schwerpunkt beider Massen sehr klein ist. Auf einigen Platten zeigte mehrere Linsen des Spektrens Änderungen von Zusammensetzungsrichtung, was auf die Vermutung führt, daß der unsichtbare Begleiter nur 1 oder 2 Größenklassen schwächer ist als der sichtbare Hauptstern. Das Spektrum selbst ist ein schönes Beispiel der Spektra des Giesstypus und gut analysiert. Es ist, wie Prof. Frost hervorgehoben, eine mehrfache Beobachtung, daß Platten, die in unmittelbarer Folge hintereinander aufgenommen wurden, in Abständen der Mitte der Exposition von weniger als einer halben Sekunde, deutliche Änderungen der radialen Geschwindigkeit zeigen, die bis zu  $15$  km betragen.

<sup>5)</sup> Astrophysical Journal, Bd. 24, 1906 Nov., p. 258

## Vermischte Nachrichten.

**Photographische Stereoskopbilder der Sonne und ihrer Flecke** hat E. Stephens Kendall aufgenommen und darüber auf der letzten Naturforscherversammlung in Stuttgart berichtet. Es sind diese die ersten Sonnenstereoskope, die überhaupt gemacht sind. Er führte aus, daß, während bei gewöhnlichen photographischen Apparaten die beiden photographierten Objekte nur 4 bis 7 cm Abstand voneinander haben, um plausible Bilder zu geben, man bei kleinen Bergen diesen Abstand auf viele Meter ausdehnen müsse. Bei gewöhnlichen Stereoskopenkennt man nur die rechte Gegenstandsseite, daß man beim Betrachten im Stereoskop plastisch wirken. Die noch größere Objektentfernung wäre z. B. beim Monte Everest, er würde ungefähr 2000 bis 3000 km betragen müssen. Deshalb haben die Astronomen bei den sehr schönen Mondstereogrammen zu einem andern Mittel gegriffen, sie haben die Linienwege der Monde benutzt, um zwei etwas verschiedene Aufnahmen zu erhalten, die man stereoskopisch

sehen können. Der Vortragende zeigte einige solche Bilder von Sternschnoch, Körperlicher Wirkung. Um nun von der Sonne Stereoskopbilder zu erhalten, muß man die Achsenrichtung derselben beachten, und wenn man nun zwei solche Aufnahmen, die im richtigen Zeitintervall gemacht sind, in genau richtiger Lage zueinander im Stereoskop betrachtet, so sieht man die Sonne als Kugel, auf deren Oberfläche sich die Flecke befinden. Sehr interessant ist hierbei, daß die einzelnen Flecke einer Gruppe in der Sonnenatmosphäre in verschiedenen Höhen zu schweben scheinen, also höher oder tiefer dem Mittelpunkt der Sonne. Von Wichtigkeit ist es, daß man auf diesen Bildern im Stereoskop die Sonnenflecke deutlich ausgeprägt sieht, sie scheinen als helle Wolken über den Flecken und über der Photosphäre; ihre Formen gleichen genau denen der Protuberanzen, die man bei Sonnenkoronaeen am Rande der Sonne beobachten kann.

Frühere Beobachtungen des 4. Jupitermondes. Das photogra-

plisches Aussehen der Umgebung des Jupiter mittels des großen Crayley-Refraktors der Lick-Observatorien bekanntlich am 3. December 1894 zur Entdeckung eines sehr schwachen Sternchens geführt, das sich durch weitere photographische Aufnahmen bis zum 4. Januar 1895, als ein 6. Mond des Jupiter erschien. Die Nachforschung auf den photographischen Platten des Harvardobservatoriums hat nun endlich ergeben <sup>1)</sup> daß dieser Jupitermond schon auf zwei Platten aus dem Jahre 1894 und auf einer Platte aus dem Jahre 1899 dargestellt ist, ohne daß man ihn als Transienten erkannt. Diese Platte waro zwei bis drei Stunden lang exponirt und der Transit würde darauf dargestellt sein, selbst wenn er eine sehr Geringfügigkeit schwächer wäre. Es ist wahrscheinlich, daß bei Aufnahmen mit dem Kratzenkling an Arequipa ein zweifelhafte Exponenzialdauer, wenn dabei das Bild des Jupiter wegen der großen Helligkeit desselben durch einen Schleier verdeckt wird, selbst ein Satellit, der nur 15. Größe ist, und mehr als 5' Winkelabstand vom Jupiter, der Wahrnehmung nicht entgehen würde.

Über die wahrscheinliche Verlangsamung eines Kometen nach seinem letzten Durchgang der Erde durch die Ebene der Kometenbahn hat Dr. J. Haliczek Untersuchungen angestellt <sup>2)</sup>. Er hat bei seinen Untersuchungen über die Helligkeitsgrade und Schwärze des Kometen, ungezählte Fälle gefunden (besonders bei den Kometen 1861 II, 1758 I, 1766) in denen sich die wahre Schwärzegröße außerordentlich groß, aber auch sehr rasch wieder ergibt. Jeder dieser Fälle tritt, wie ihm eine eigene Untersuchung gezeigt, in gewissen überwachender Weise mit der Zeit zusammen, in welcher die Erde nahe an der Ebene der Kometenbahn gewesen ist und dieser Umstand gibt sofort eine Aufklärung

darüber, warum der Schwere gerade bei dieser Stellung der Erde besonders lang gesehen werden kann.

Da nach unserem Erklärungsplan die Schwerefelder viel mehr in der Bahn ebene als in irgend einer anderen Richtung vertheilt sind — was insbesondere daraus ersieht werden kann, daß der Schwere eines Kometen bei der ersten Stellung der Erde am stärksten grüßert, sondern sehr schnell und gerade gesehen wird, — so sind bei diesem Stande für einen Beobachter auf der Erde die Periodischen möglichst grüßert hintereinander auf eine verhältnismäßig schnelle Zeit der Himmelsprojektor, ihre Helligkeiten unmerklich sich, und erfolgt der dadurch veranlaßten Flächenhelligkeit des Schwerefeldes ist eine die Möglichkeit gegeben, nicht nur den Schwere überhaupt zu sehen, sondern auch sehr schwache Partien des Schwerefeldes zu sehen, die bei einer anderen Stellung der Erde wegen ihrer zu geringen Flächenhelligkeit unsichtbar sind, und so können wir in dieser Stellung natürlich auch die besonders sehr schwachen Partien am Ende des Schwerefeldes wegen ihrer geringen Helligkeit mehr verringert und dabei den Schwere länger sehen.

Es liegt nun nahe, zu untersuchen, ob sich außer den zuerst genannten noch andere Kometen finden, bei denen sich der Durchgang der Erde durch die Ebene der Kometenbahn durch eine besonders große Schwärzegröße veranlaßt hat, und der Verfasser hat dementsprechend auch erst die der Helligkeit Kometschwärzegröße vorgenommen, bei welcher sich ergibt hat, daß die erwähnte Verlangsamung eines Kometen nach seinem letzten Durchgang der Erde, wie vorher bemerkt worden ist, aber natürlich auch so häufig, daß die Vermutung jetzt noch nicht widersprüchlich ist und nur deshalb auch in anderen Fällen mit Berücksichtigung sehr rasch gemacht werden darf.

Komet 1868 g, der am 30. November 1868 auf der Sternwarte zu Kopenhagen entdeckt wurde und sich damals als schwaches Objekt 10. Größe dar-

<sup>1)</sup> Annals of Harvard College Observatory, Vol. IX, No. 2, p. 33.

<sup>2)</sup> Astronom. Jahrb. Acad. d. Wissenschaften in Wien 1900, S. 439.

stieß, beobachtet nach der Beschreibung von Dr. E. Strömgrön eine panbolische Bahn, in welcher er 1606 Nadeln, 21 neue Sonnenflecken ersuchte. Von der Erde entfernt er sich auch sondern und seine Helligkeit ist Ende Februar auf etwa  $\frac{1}{4}$ , dergestalt am Tage der Entdeckung reduziert.

Über ein merkwürdiges Meteor berichtet Prof. Karl Wilhelm (Hofburg) in Nr. 48 der Naturwissenschaftlichen Rundschau folgenden: Mit Karl Stecherden der Philosophie befaßt ich mich am Abend des 14. November auf der Plattform eines Daches, mit dem Studium von Himmelskarten beschäftigt. Um ca. 8½ (astronomische Zeit) schickte plötzlich einer stehend von den Füßeln eine auffallende „Lichtwolke“, in der deutlich hellere Punkte zu unterscheiden waren, welche sich, von uns ab zu gehen, gegen Westen bewegte. Ihr Flug ging südlich um  $\alpha$ ,  $\beta$  und  $\gamma$  Aries vorbei, durch das Sternbild der Fische, den nördlichen Teil des Aquarius bis ins Sternfeld des Capricorn, wo sie um 10 in der Nähe von  $\theta$  Capric. zu verschwinden schien. Die Lichtwolke hatte eine langgestreckte Gestalt, ihre Länge dürfte etwa dreimal so groß gewesen sein als die der Fingerringgruppe; ihre Breite war senkrecht zur Richtung der Bahn. Der Helligkeit der Lichtpunkte wich ich auf die von Sirius 5 bis 6 Grade schätzen, nach der Angabe dessen, daß sie zuvor eintreffend hatte, waren sie weniger hell. Während des ganzen Fluges wurde keine Verminderung weder in der Helligkeit noch in der Gestalt der Lichtwolke oder des „Microdonsternes“ was man vielleicht besser sagen könnte, bemerkt. Die Dauer der Erscheinung schätzte wir auf etw. 10 bis 15“, die Geschwindigkeit der Fortbewegung war etwa die eines sehr langsamen Meteors. Wir waren durch das seltsame Ansehen so überrascht und verblüfft, daß wir die Einzelheiten zu wenig ins Auge faßten und erst später um die Fragen stellte (sicherlich zugleich nach dem Verschwinden der Erscheinung) nach

der Gestalt, der Bahn, nach der Anzahl der einzelnen Lichtpunkte, und diese Fragen aus dem Erinnerungstrübe, so gut es ging, beantworteten. Die obigen Angaben haben daher selbstverständlich keine große Genauigkeit, aber sie dürften auch von der Wahrheit sich nicht allzuweit entfernen. Ich erwähne noch nicht, je von einer der obigen Wahrnehmung geleitet zu haben, und so dürfte diese Mitteilung von Interesse sein. Wenn diese Erscheinung, wie ich hoffe, auch von anderen Seiten beobachtet werden ist, so werden obige Angaben gewiß erwünscht sein.

**Feuerkugel am Tage.** Am 23. November 1906 um 2½ Uhr nachmittags lag eine Feuerkugel bei hellem Sonnenschein in südwestlicher Richtung über Jülich hin. Eine Vergleichung von zwölf vorhandenen Beobachten zeigt, daß ihre Explosion 2 bis 4 Meilen südlich von Hunsen geschah und wahrscheinlich in einer Höhe von ca. 2 Meilen über der Erde. Die Richtung der Flugbahn charakterisiert das Meteor als ein Objekt der Meteoriten. Von der national astron. Station im „Himmelsberge“ wurde die Kugel im SW., von Hunsen im W., von Völs im NW., von Kolding im N., von Ritz im NO., von Tübingen im Zent gesehen. Hier war die Feuerkugel offenbar der Erdoberfläche am nächsten, denn die Schallgeschwindigkeit war im Durchschnitt verhältnißmäßig geringe Entfernung z. B. in Kolding und Ritz, wurde kein Schall gehört. Die Beobachter in der Tübingenstadt wurden durch einen dazwischenliegenden Lärm aufgeschreckt. Einige merkten, es wäre ein Erdbeben gewesen. Ein Fuhrmann in Tübingen war mit seinem beladenen Wagen in dem aufgeweckten Wege stehen geblieben; alles das Gedröse des Motors wirkte wie ein Peitschen-schlag, so daß der Wagen sogleich mit dem Schlämmen emporstürzte. Pferde liefen unruhig umher. In der ganzen Gegend wurde auch ein Säusen in der Luft gehört und man diskuterte leb-

heit die Erscheinung. In Kolding wurde die Feuerkugel ein wenig höher als der Polarkreis gesehen. In Ribe erschien die Kugel so groß wie der Mond. In Tórning sah man die Meteor in zwei Teile zerfallen und mehrere Beobachter haben am Himmel einen Menschen-ähnlichen Dampfstrahl erblickt.

Calden, Dänemark, 20. Dec. 1866.

Thorvald Kuhl.

Ein ungeheurer Meteorit. Im mittleren Asien sehr bei Calcutta Elabils fanden 1856 Hindus Eisenstücke, die sich als Meteoriten erweisen, welches mikroskopisch kleine Quarzeisen enthält. Im ganzen wurden auch und auch bis 300 Zentner dieser meteorischen Eisenstücke, die besten Eisenstücke von 4 bis 9 Zentnern an Gewicht. Ungefähr 4 km von dieser Gegend entfernt liegt ein 50 m hoher Hügel, der einen Krater zeigt, welcher etwa 150 m hoch ist, dessen Boden aber 130 m unter der umgebenden Oberfläche hinabsinkt. Der Durchmesser des Kraters beträgt 1200 m. Rings um diesen Krater finden sich bis zu Entfernungen von 5 km Sandsteinstücke, und zwar die größten in der unmittelbaren Umgebung des Kraters. Mehrere in größeren Entfernungen. Zur Erklärung dieses Vorkommens hat G. Karl Clifford 1894 die Hypothese aufgestellt, daß ein Eisenmeteorit von vielleicht 500 m Durchmesser vor Zeiten an dem Orte des Hügelns zur Erde gelangt sei, und beim Aufstöße die Kraterverförmung erzeugt habe. Später kam Clifford von seiner Hypothese zurück und erklärte in Übereinstimmung mit William D. Johnson die Bildung des Kraters durch eine Dampfexplosion. Später haben B. M. Darringer und B. G. Tithman weitere Untersuchungen an dem Hügel angestellt, und sind dadurch wieder auf die ursprüngliche Caldera-Hypothese zurückgeführt worden. Sie kommen zu dem Schluß, daß der Krater durch die Handhabung eines ungeheuren Meteoriten entstanden sein müsse. Nach ihnen ist das Problem jetzt durch L. Fischer

zum Gegenstande einer Untersuchung gemacht worden und er kommt zu dem Ergebnisse, die Möglichkeit der Kraterbildung durch Handhabung eines Meteoriten als durchaus nicht zu bestreiten.<sup>1)</sup>

Untersuchungen über Parallaxenverfahren auf dem Yale-Observatorium. Die Ergebnisse der bestimmten Beobachtungen auf der Sternwarte der Yale-Universität, welche Prof. Dr. Ellen vor Jahren begonnen und unter Leitung von Dr. Chase und Moore P. Smith durchgeführt hat, sind nunmehr veröffentlicht worden.<sup>2)</sup> Es war ursprünglich beabsichtigt, von jedem der ausgewählten Sterne nur drei oder vier Messungen in den geeigneten Zeiten vorzunehmen und die Sterne, welche Parallaxen erkennen ließen, dann häufiger zu beobachten. Indessen ist man später von diesem Grundsatz abgegangen und hat die Messungen über zwei weitere Epochen ausgedehnt, hauptsächlich um die Wirkungen der Eigenbewegung und systematische Beobachtungsfehler besser zu erkennen. Es hat sich ergeben, daß die Messungen im geringsten Grade von der Farbe der Sterne beeinflusst werden, indem das Licht der roten Sterne weniger gebrochen wird, als daß der Vergleichssterne, indem es die Wirkung nicht größer als höchstens 0.05" und liegt also innerhalb der Grenzen der wahrscheinlichsten Fehler der Parallaxenbestimmung selbst. Im ganzen fanden sich nur zwei Sterne mit Parallaxen von 0.30" nämlich 5 September 1911 Größe und Lebede No. 44850 (B.7. Größe), 35 ersten Parallaxen von 0.10". Die allgemeine Vorgehensweise ist dem Experimente, daß ein deutlicher Zusammenhang zwischen Parallaxe und Eigenbewegung besteht. Sterne mit Eigenbewegungen von mehr als 1" ergeben im allgemeinen beträchtliche Werte

<sup>1)</sup> Nature 1906 p. 490.

<sup>2)</sup> Transactions of the Yale-University Vol. 14, Part 1: Parallax Investigations of One Hundred and Forty-three Stars made at Yale Proper Motion.





# Flatten-Ephemeriden

Mittlere Berliner Zeit

1907

Monat

Tag

Rektascension

Declination

Greenw. Meridian dinstanz

h m s

° ' "

h m s

Mars

April 4 21 31 30.94 — 4 41 37.9 23 36

0 23 33 57.47 4 38.4979 23 36

14 23 49 7 27 5 53.5956 23 33

20 0 0 36 73 — 5 46.62 8 23 33

24 0 14 34 38 + 5 56.10 1 23 31

30 0 59 34 31 + 6 17 20.9 23 33

Venus

April 6 0 55 43 28.40 — 16.17 53.6 23 44

0 55 43 28.40 0 0 38.64 23 44

14 59 4 48.15 7 2 39.9 23 39

19 59 59 56.38 0 54 9.75 23 41

24 23 49 56.48 0 46 10.75 23 44

30 0 14 0 53 — 0 20 20.75 23 49

Mars

April 6 16 0 36.92 — 45 28 0 9 23 36

7 18 18 33.52 52.43 0 4 23 36

12 18 36 30.93 52.43 30 1 23 33

17 18 36 32.93 52.52 15 0 23 40

24 18 47 19.93 52.52 36 7 23 34

30 18 44 17.93 — 52.54 48 0 23 36

Jupiter

April 7 0 38 0 53 + 23 30 0 4 0 34

23 0 18 18 43 23 38 0 4 0 0

29 0 34 18 37 + 23 27 49.0 0 37

Mittlere Berliner Zeit

1907

Monat

Tag

Rektascen.

Declination

Greenw. Meridian dinstanz

h m s

° ' "

h m s

Saturn

April 5 25 36 59.58 — 5 57 48.1 23 36

22 33 33 49.59 5 5 53.1 23 36

23 33 36 44.45 — 4 59 17.9 23 36

Uranus

April 6 25 36 57.57 — 5 11 56.1 23 36

12 35 44 54.13 5 11 56.1 23 36

22 36 51 52.50 — 5 11 56.1 23 36

Mercur

April 7 0 44 48.83 + 12 12 36.0 0 4

12 4 46 49.0 12 12 36.0 0 4

22 4 46 49.0 + 12 12 36.0 0 4

Hauptplaneten

1907

Monat

Tag

Rekt. World.

Declination

Green. World.

Volcanos

h m s

° ' "

h m s

April 6 0 4 54.1

23 0 23.4

23 0 13.4

23 11 —

23 0 —

23 0 —

23 1 —

Lage und Größe des Saturnringes nach im Monat April nicht zu beobachten.

April 10: Mittlere Länge des Elipsen:  
Winkel „ „ „ „  
Halbmesser des Kreises  
Parallax „ „

10° 37' 4.81  
22° 27' 27.4"  
99° 21 52"  
0.13"



Stellungen der Jupitermonde im April 1907.



Stellungen am 12<sup>ten</sup> für den Aufsteck in astronomisches Formate.

Tag	West	Ort
1	12	1 0 1 1
2		1 0 1 1 1 1
3	1 1 1 1	1 0 1 1 1 1
4	1 1 1 1	1 0 1 1 1 1
5	1 1 1 1	1 0 1 1 1 1
6	1 1 1 1	1 0 1 1 1 1
7	1 1 1 1	1 0 1 1 1 1
8	1 1 1 1	1 0 1 1 1 1
9	1 1 1 1	1 0 1 1 1 1
10	1 1 1 1	1 0 1 1 1 1
11	1 1 1 1	1 0 1 1 1 1
12	1 1 1 1	1 0 1 1 1 1
13	1 1 1 1	1 0 1 1 1 1
14	1 1 1 1	1 0 1 1 1 1
15	1 1 1 1	1 0 1 1 1 1
16	1 1 1 1	1 0 1 1 1 1
17	1 1 1 1	1 0 1 1 1 1
18	1 1 1 1	1 0 1 1 1 1
19	1 1 1 1	1 0 1 1 1 1
20	1 1 1 1	1 0 1 1 1 1
21	1 1 1 1	1 0 1 1 1 1
22	1 1 1 1	1 0 1 1 1 1
23	1 1 1 1	1 0 1 1 1 1
24	1 1 1 1	1 0 1 1 1 1
25	1 1 1 1	1 0 1 1 1 1
26	1 1 1 1	1 0 1 1 1 1
27	1 1 1 1	1 0 1 1 1 1
28	1 1 1 1	1 0 1 1 1 1
29	1 1 1 1	1 0 1 1 1 1
30	1 1 1 1	1 0 1 1 1 1
31	1 1 1 1	1 0 1 1 1 1

**Erscheinungen der Jupitermonde.** Die planetischen Angaben über die Erscheinungen der Jupitermonde beschränken sich auf mehrere Zeit von Greenwich. Die Tabellen sind der Reihenfolge ihres Abganges von Jupiter nach III bis IV geordnet. Die vier größten Figuren zeigen die Stellung jedes Mondes mit Bezug auf den Jupiter für den Augenblick der Verzeichnung (als über den Winkelmessfehler 7'). Im I nicht angegeben, so kann der Ausfall aus dem Schatten nicht beobachtet werden. Ferner befindet im den nachfolgenden Zeilengaben:

- II D des Verschwindens des Trabanten im Schatten des Jupiter
- III R den Austritt des Trabanten aus dem Schatten des Jupiter
- IV D des Verschwindens des Trabanten hinter der Jupiterschleife
- III R des Wiedereintrittens desselben neben der Jupiterschleife
- VI I den Eintritt des Trabanten vor die Jupiterschleife
- VI F den Austritt des Trabanten aus der Jupiterschleife
- III I den Eintritt des Trabanten in die Jupiterschleife
- III E den Austritt des Trabanten aus der Jupiterschleife

Es sind nur diejenigen Erscheinungen der Jupitermonde aufgeführt, welche sich ereignen, wenn Jupiter zu Greenwich über und der Sonne näher dem Horizonte steht. Um die Abstände dieser Erscheinungen nach astronomischer Zeit zu finden, heißt man nur nötig, II zu den angegebenen Zeitpunkten zu addieren.

April 1. I. Sa. 1. 17<sup>h</sup> 30<sup>m</sup>. II. Tr. I. 17<sup>h</sup> 30<sup>m</sup>. I. Tr. E. 17<sup>h</sup> 30<sup>m</sup>. I. Sa. E. 17<sup>h</sup> 30<sup>m</sup>. II. Sa. I. 18<sup>h</sup> 15<sup>m</sup>. II. Tr. E. 18<sup>h</sup> 15<sup>m</sup>. III. Tr. D. 18<sup>h</sup> 15<sup>m</sup>. I. Sa. E. 18<sup>h</sup> 15<sup>m</sup>. April 2. I. Sa. E. 17<sup>h</sup> 30<sup>m</sup>. April 3. I. Tr. I. 17<sup>h</sup> 30<sup>m</sup>. April 4. I. Sa. E. 17<sup>h</sup> 30<sup>m</sup>. April 5. I. Sa. E. 17<sup>h</sup> 30<sup>m</sup>. April 6. I. Sa. E. 17<sup>h</sup> 30<sup>m</sup>. April 7. I. Sa. E. 17<sup>h</sup> 30<sup>m</sup>. April 8. I. Sa. E. 17<sup>h</sup> 30<sup>m</sup>. April 9. I. Sa. E. 17<sup>h</sup> 30<sup>m</sup>. April 10. I. Sa. E. 17<sup>h</sup> 30<sup>m</sup>. April 11. I. Sa. E. 17<sup>h</sup> 30<sup>m</sup>. April 12. I. Sa. E. 17<sup>h</sup> 30<sup>m</sup>. April 13. I. Sa. E. 17<sup>h</sup> 30<sup>m</sup>. April 14. I. Sa. E. 17<sup>h</sup> 30<sup>m</sup>. April 15. I. Sa. E. 17<sup>h</sup> 30<sup>m</sup>. April 16. I. Sa. E. 17<sup>h</sup> 30<sup>m</sup>. April 17. I. Sa. E. 17<sup>h</sup> 30<sup>m</sup>. April 18. I. Sa. E. 17<sup>h</sup> 30<sup>m</sup>. April 19. I. Sa. E. 17<sup>h</sup> 30<sup>m</sup>. April 20. I. Sa. E. 17<sup>h</sup> 30<sup>m</sup>. April 21. I. Sa. E. 17<sup>h</sup> 30<sup>m</sup>. April 22. I. Sa. E. 17<sup>h</sup> 30<sup>m</sup>. April 23. I. Sa. E. 17<sup>h</sup> 30<sup>m</sup>. April 24. I. Sa. E. 17<sup>h</sup> 30<sup>m</sup>. April 25. I. Sa. E. 17<sup>h</sup> 30<sup>m</sup>. April 26. I. Sa. E. 17<sup>h</sup> 30<sup>m</sup>. April 27. I. Sa. E. 17<sup>h</sup> 30<sup>m</sup>. April 28. I. Sa. E. 17<sup>h</sup> 30<sup>m</sup>. April 29. I. Sa. E. 17<sup>h</sup> 30<sup>m</sup>. April 30. I. Sa. E. 17<sup>h</sup> 30<sup>m</sup>.

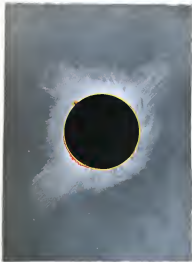
Sollern und seine Monde sind im guten Mikr. Mar. 1887 nicht zu beobachten.

Mehrere große und kleine

## *astronomische Fernrohre*

sind sehr preiswürdig zu verkaufen. Reflektanten wollen sich wegen seltener Mittheilungen an mich wenden.

**Prof. Dr. Hermann J. Klein in Köln-Lindenthal.**



Seite 103

Seite 104

Die Sonne während der totalen Sonnenfinsternis  
am 30. August 1905.

# SIRIUS.

Zeitschrift für populäre Astronomie.

Centralorgan für alle Freunde und Förderer der Himmelskunde.

Herausgegeben

unter Mitwirkung hervorragender Fachkollegen und sachverständiger Schriftsteller

von Prof. Dr. Hermann J. Klink in Köln.

März 1905.

„Wissen und Literatur sind die Freude und die  
Erleuchtung der Menschheit.“ — Goethe.

Jeden Monat 1 Heft. — Jährlich 12 Mk.

Verlag von EDUARD HEINRICH MAYER in Leipzig.

**INHALT:** Die Schwankungen des Osterdatums. S. 48. — Neue astronomische Untersuchungen des Sirius. S. 54. — Die Bewegung der kleinen Planeten und des Zehnkörners. S. 58. — Photographische Aufnahmen der Kometen Giacobini (1904). (Jahres 1904 IV) S. 60. — Das mittlere Merkmal des Halley'schen Kometen. S. 66. — Neue Bestimmungen von Planetenparallaxen durch photographische Aufnahmen. S. 68. — Ein angeblich neue Differenz auf einer Größe des astronomischen Formales. S. 68. — Verschiede Planeten. S. 68. — Astronomische Kalender. S. 68. — Redaktionen der Jahresschriften. S. 71. — Redaktionen der Jahresschriften. S. 71.

## Die Schwankungen des Osterdatums.

Nach den Bestimmungen des Konzils zu Nicäa (325 n. Chr.) soll das Osterfest (Christi) alljährlich an demselben Sonntage gefeiert werden, der auf den ersten Vollmond nach Eintritt der Frühlingsnachtgleiche fällt, wenn jedoch dieser Vollmond selbst auf einen Sonntag fällt, so soll das Osterfest an dem darauffolgenden Sonntage gefeiert werden. Demnach fiel die Frühlingsnachtgleiche auf den 21. März und durch die Einleitung der heiligen geistlichen Kalendarrechnung, wird sie auch darauf bei diesem Datum erhalten. Somit schwankt das Datum des Osterfestes zwischen dem 22. März und 25. April, also um fünf Wochen. Da nun das Osterfest für zahlreiche Einrichtungen des bürgerlichen Lebens

eine fundamentale Bedeutung hat, so haben diese Schwankungen im Kalender menschliche Unbequemlichkeiten im Gefege und es ist schon seit Jahrhunderten die Frage diskutiert worden, ob es nicht möglich sei, das Datum des Osterfestes zu fixieren oder wenigstens seine Bewegung im Kalender auf ein geringstes Maß zurückzuführen. Es scheint nicht, daß diesem Wunsche wirkliche Gedanken entgegenstehen und daher wird die Vorschläge, welche der verehrte Direktor der Berliner Sternwarte Wilhelm Fiedler schon seit Jahren gemacht hat, durch internationale Verständigung der geistigen Festlegung des Osterfestes im Kalender herbeizuführen, sehr beachtenswert. In dieser Richtung, heißt es in einer Ausführung der V. 2., ist es sehr

wichtig, daß schon ursprünglich der Gregorianische Kalenderreform im Jahre 1582 ernstlich entgegen wurde, bei der Festsetzung des Ostermontages die Beziehung zum Vollmonde ganz aufgegeben und nur eine solche zum Frühlingsanlange festgehalten. Das wechselnde Element des Vollmondes ist ja die Hauptursache der starken Verschiebung des Festes. Liegen also grundsätzliche Bedenken hinsichtlich dogmatischer Art gegen das „*Lex non modo*“ nicht vor, so fällt auch die Größe jetzt fast fort, die in früheren Zeiten noch einen wichtigen Anhaltspunkt der Berechnung des Kalenders zu den Mondphasen und der Umstände, daß zur Vollmondzeit die Helligkeit der Nacht die Windstärken in den Festversammlungen, namentlich in heiligen Mittelskirchen, besonders begünstigte. Allerdings Osterfest schließt Fester vor. Der Ostermontag ist der dritte Sonntag nach dem Frühlingsanfang. Um diesen Tag für die ganze Erklänge anzuwenden und mit Rücksicht auf die historische Zeit festzusetzen, wird hervorgehoben, daß als Frühlingsanfang die Zeit der ersten Helligkeit, daß ferner sein Einfluß für den Monden von Jerusalem, und daß als Tagessonntag zur Bestimmung des Datums der Sonnenstellung gelten sollte. Der hiesige festgesetzte Ostermontag würde sich zwischen dem 4. und dem 11. April bewegen und im allgemeinen gleichsam am Tage zurückzuführen, bei er dann vom 4. April wieder auf den 11. springt. Auf diese Weise würden zwischen zwei Osterterminen 52 Wochen liegen, nur alle fünf bis sechs Jahren einmal 53 Wochen, so daß die Verschiebung des Osterfestes in der Tat sehr gering wird. Eine solche Festsetzung der Osterfesttage auf ein bestimmtes Datum (wie die Wolkenspiegel), so daß also der erste Ostertag nur ausnahmsweise ein Sonntag sein würde, wird bestimmt bei den christlichen Kirchen auf unüberwindlichen

Widerstand stoßen und kann deshalb gar nicht in Betracht kommen. Fürster hat für seinen Vorschlag schon seit 1895 im Hinblick auf den bevorstehenden Jahrhundertwechsel und der Hoffnung, daß bei dieser Gelegenheit die Reformer der protestantisch-katholischen Kirche zum schließlichen zum gegenseitigen Kalender überführt würden, in allen katholischen Kreisen zusammen. Der Termin der Einführung beim jüngsten Jahrhundertwechsel war aber offenbar viel zu kurz um Ansehen zu haben. Indessen fand, nach den Angaben von Förster, der von ihm vertretenen Sache höchsten Anfang in Frankreich, England und Nordamerika, in den Niederlanden, in Schwaben, in Deutschland und Österreich, und zwar bei Mönchen der Kirche und der Wissenschaft, in Deutschland namentlich auch bei Vertretern der städtischen Behörden, des Schulwesens, des Landwesens der Industrie und des Handels. Auch in protestantisch-katholischen Ländern wie Serbien, Bulgarien, Rumänien, sowie in Konstantinopel bestanden es ein, daß die (nicht wissenschaftliche) Annahme des gregorianischen Kalenders durch gleichzeitige Reform der Osterrechnung erleichtert werden würde. In Rom wurden ernstliche Bedenken nicht erhoben. In England, wo man ernstlich an Kalenderreform für den Zeitpunkt der Jahrhundertwende gedacht hatte, machte sich später leider eine starke Gegenbewegung geltend, hervorgehend, wie behauptet wird, durch Erwägungen von Astronomen, denen die Schließensrichtungen des gregorianischen Kalenders so stark erschienen, daß sie lieber auf einen Einklang des Kalenders mit dem Sonnenjahr überhaupt verzichten möchten. (7) Ob bei den jüngsten Verhandlungen in Rom ein solcher Prüfung des Vorschlags ein besseres Ergebnis liefern würde, steht dahin.

Die Befürwortung des Vorschlags kann, sobald kirchliche Bedenken nicht erhoben worden, schließlich nur durch

Vorbereitung unter den besten Verhältnissen geföhrt werden und es wäre sehr zu wünschen, daß diplomatische Verhand-

lungen darüber je früher um so früher in die Wege geföhrt würden.

## Neue spektroskopische Untersuchungen der Sonne.

**I**nachdem zuerst von Doppler (1842) aufgestellt ist, daß sich zufolge der Bewegung einer Lichtquelle die Position ihrer Spektrallinien etwas ändern, und zwar findet bei Annäherung eine Verschiebung derselben gegen das violette, bei Entfernung vom Beobachter eine Verschiebung gegen das rote Ende des Spektrums statt. Diese Verschiebungen sind bei den unter der Wellenlänge verhältnismäßig geringen Ausläufen äußerst gering, aber doch für unsere Instrumente meßbar. Zülfür hat jetzt nachgewiesen, daß diese Verschiebung von Hülfs darsteht, die Rotationsgeschwindigkeit der Sonne direkt zu messen. Auf der uns zugewandten Seite der Sonne erfolgt die Bewegung von Osten nach Westen, so daß also die am östlichen Rande befindlichen Teile der Sonnenoberfläche sich am schnellsten, die des westlichen Randes dagegen von uns entfernen. Infolgedessen müssen die Spektrallinien des östlichen Sonnenrandes gegen Violett, die des westlichen gegen Rot hin verschoben erscheinen, im Vergleich zu ihrer Position auf der Mitte der Sonnenmitte. Die Richtigkeit dieses Schlußes hat zuerst Prof. H. C. Vogel im Jun. 1871 gezeigt, indem er eine unbedeutende Verschiebung der F-Linie in Sinne der Sonnenrotation erkannte, doch waren damals spektroskopische Hilfsmittel noch nicht genügend genau, um die Größe der Verschiebung zu messen. Später haben Prof. Young und Henry Cowe ausstehende Werte auf diesem Wege erhalten, aber die genauesten Beobachtungen sind diejenigen von Prof. Demers in Upsala aus dem Jahre 1887 bis 1889. Er richtete bei diesen Beob-

achtungen den Spektr. des Spektroskops auf Punkte am Sonnenrande ein, welche  $0^{\circ}$ ,  $15^{\circ}$ ,  $30^{\circ}$ ,  $45^{\circ}$ ,  $60^{\circ}$  und  $75^{\circ}$  nördliche und südliche heliographische Breite besaßen und bestimmte für diese Punkte die Geschwindigkeit der Rotation durch Messung der Verschiebungen neuer durch glühende Glaslinsen auf der Sonne erzeugten Linien. Diese beiden Linien haben nach Rowland folgende Wellenlängen:  $\lambda = 0.718 \text{ und } 0.702 \mu$ , sie befinden sich in geringer Entfernung von zwei dunklen Linien, die dem Absorptionsspektrum der Erdatmosphäre angehören und also durch die Rotation der Sonne in ihrer Lage nicht beeinflusst werden. Nach der von Prof. Demers benutzten Methode, aber mit einem noch vollkommenen Instrumente, hat Dr. J. Hahn in Göttingen seit 1891 Untersuchungen über die Rotation der Sonne begonnen, die zu sehr überraschenden Ergebnissen föhren, und über welche er unfähig in Kürze berichten will. „Obgleich,“ sagt er, „ein ungetrübtes Licht über wegen der erhaltenen Resultate und möglich ist wird nach Ausdehnung der Beobachtungen über mindestens einen vollen Sonnenrevolutionszeitraum, scheint es mir dennoch wichtig, früh schon die Aufmerksamkeit auf einige merkwürdige und belangvolle Erscheinungen zu lenken, deren Resultate namentlich durch die Beobachtungen festgestellt zu sein scheinen, und die nach meiner Ansicht verdienen, einer künftigen allgemeinen Prüfung unterworfen zu werden. Dies bezieht sich in erster Linie auf eine von mir entdeckte Unvollständigkeit der

Wellenlängen der Fraunhoferchen Linien des Sonnenspektrums. Aus den im Original mitgeteilten Zahlenwerten ergibt sich, daß die Fraunhoferchen Linien des Sonnenspektrums, nach Abzug der durch die Sonnenrotation und die Bewegung des Beobachters gemäß dem Dopplerschen Prinzip verursachten Verschiebungen, noch unerwartete Spuren einer aus nicht bekannten Ursachen nicht erklärten Verschiebung aufweisen, die periodisch veränderlich ist und höchst wahrscheinlich in ähnlicher Zusammenhang mit der Sonnenrotation steht. Eine der wichtigsten Resultate meiner Untersuchung, meines Möglichen nach weiterwiderlegbar bei Aufklärung des Problems, ist auch dadurch, in dem, daß die bei den Messungen benutzten Absorptionsspektren des Sonnenspektrums sich im Laufe der Untersuchung d. h. also zwischen dem Jahre 1901 und 1905, allmählich auch dann bei anderen haben, und in dieser Richtung gegenwärtig etwa 8-12 Angströmlinien<sup>1)</sup> von den Stellen abwichen, die sie im Jahre 1901 eingenommen hatten. Als weiteres Ergebnis zeigte sich, daß die Linien des Sonnenspektrums, verglichen mit denen des Sonnenspektrums, eine bestimmte nachweisbare Verschiebung nach Rot zeigen, daß diese Verschiebung jedoch für verschiedene Linien nicht die gleiche ist, sondern höchst wahrscheinlich bestimmt wird durch das Niveau, in welchem sich die die betreffende Linie charakterisierende Gase in der Sonnenatmosphäre befinden.

In seiner Beobachtungsmethode ist Dr. Halm durchaus Prof. Dawid gefolgt und hat auch die ähnlichen Spektroskopie wie Dawid benutzt, indem er an jedem Rand derselben nur benutzte Linien des Lichtspektrums verglich. Die Voraussetzung dieser astronomischen Linien als Vergleichswert ist

natürlich auf die Voraussetzung gegründet, daß die relativen Bewegungen der von dem Lichtstrahl durchdrungenen Schichten der Erdatmosphäre gegen den Beobachter gering genug sind, um eine Verschiebung der dadurch verursachten Verschiebungen der astronomischen Linien zu verhindern. Eine solche Richtung aber, daß selbst unter den extremsten Annahmen hinsichtlich möglicher Luftbewegung gegen den Beobachter, die Verschiebung weniger als  $\frac{1}{1000}$  einer A. E. beträgt, und gegen die angenommenen Verschiebungen der Sonnenspektren, die mehrere Hundertel dieser Einheit betragen, nicht in Betracht kommt.

Folgt der Anlage des Instrumentes, welches im Beobachtungsapparate des Spektros zweier gegenüberstehender Sonnenränder von Sekunder hellen spektraler Breite gleichzeitig aufgenommen. In jedem dieser Spektren wurden die Absorptions der vier Linien (der beiden Sonnenspektren und der beiden astronomischen Linien) voneinander sorgfältig mit Hilfe des Mikrometers bestimmt. Die Messungen ergaben dann zugleich die Größe der Verschiebungen der Sonnenspektren und damit die Rotationsgeschwindigkeit der Sonne umhüllt von der Bewegung des Beobachters nach oder von der Sonne. Man kann aber auch durch geeignete Oupierung der Messungsergebnisse diejenigen Verschiebungen schaffen, welche durch die Sonnenrotation hervorgerufen werden und erhält dann als Rest die Größe der Verschiebungen infolge der Bewegung des Beobachters gegen die Sonne. Diese letztere setzt sich zusammen aus der täglichen und jährlichen Bewegung der Erde, sowie außerdem aus der Bewegung der Erde um den gemeinsamen Schwerpunkt von Erde und Mond. Diese Korrekturen wurden bei Berechnung der Messungen berücksichtigt und es ergab sich dann nach Dr. Halm folgende Resultat:

<sup>1)</sup> Eine angestrichelte Linie (A. E.) ist gleich ein zehntausendstel Millimeter.

Zeit der Beobachtung	Abstand der Sonnenmitte von der südlichen Linie in A. E.
1881.04	0.5649
18	0.5629
21	0.5623
1882.17	0.5609
26	0.5603
28	0.5604
30	0.5610
31	0.5607
1883.18	0.5573
31	0.5563
32	0.5570
33	0.5566
34	0.5570
35	0.5570
36	0.5570
37	0.5570
38	0.5570
39	0.5570
40	0.5570
41	0.5570
42	0.5570
43	0.5570
44	0.5570
45	0.5570
46	0.5570
47	0.5570
48	0.5570
49	0.5570
50	0.5570
51	0.5570
52	0.5570
53	0.5570
54	0.5570
55	0.5570
56	0.5570
57	0.5570
58	0.5570
59	0.5570
60	0.5570
61	0.5570
62	0.5570
63	0.5570
64	0.5570
65	0.5570
66	0.5570
67	0.5570
68	0.5570
69	0.5570
70	0.5570
71	0.5570
72	0.5570
73	0.5570
74	0.5570
75	0.5570
76	0.5570
77	0.5570
78	0.5570
79	0.5570
80	0.5570
81	0.5570
82	0.5570
83	0.5570
84	0.5570
85	0.5570
86	0.5570
87	0.5570
88	0.5570
89	0.5570
90	0.5570
91	0.5570
92	0.5570
93	0.5570
94	0.5570
95	0.5570
96	0.5570
97	0.5570
98	0.5570
99	0.5570
100	0.5570

«Ein Blick auf diese Tabellen», sagt Dr. Hahn, «zeigt, daß der Abstand zwischen der südlichen und nördlichen Linie während des ganzen Zeitraums stets abgenommen hat. Der Charakter dieser Verringerung wird indessen vollständig, wenn sie in Form einer Kurve dargestellt werden. Aus dieser Kurve geht hervor, daß die Verringerung des Abstandes nicht gleichförmig stattgefunden hat. Es scheint, als ob diese halbe Periode, deren Absolut noch längst nicht erreicht ist, eine längere, eine doppelt so lange Superperiode ist.

Daß es sich hierbei nicht um Verschiebungen der siderischen Linien handeln kann, wird ohne weiteres angegeben werden müssen. Die Größe der Verschiebung schließt jedes Gedanken an eine solche Erklärung aus.

Von Interesse ist die Frage, ob beide solaren Linien sich um denselben Betrag gegen die siderischen Linien verschoben haben. Die Beobachtungen geben auf diese Frage eine bejahende Antwort. Der Abstand betrug im Jahre 1800 0.0022 A. E., im Jahre 1808 0.0015 A. E. Der Unterschied zwischen beiden Werten ist jedenfalls so gering, um für weit erklärt zu werden.

«Gehen wir», fährt Dr. Hahn fort, «die Bestät der nachgezeichneten Verschiebung an, so wird wir zuplatz genügt, ihren Ursprung in Vorwärtz auf der Sonne zu suchen. Dabei dürfen wir nicht aus dem Auge verlieren, daß die Untersuchung sich bis jetzt nur auf Punkte des Sonnenrandes bezogen hat. Wir dürfen auch nicht den Schluß ziehen, daß das Phänomen sich in derselben Weise gezeigt haben würde, wenn statt der beiden Sonnenränder die Sonnenmitte betrachtet worden wäre. Es schien mir sogar von vornherein nicht nur wahrscheinlich, sondern notwendig, daß, falls es sich hier um ein wirkliches Sonnenphänomen handelt, dessen Ausbreitung am Rande und in der Mitte der Sonnenscheibe wesentlich verschieden sein müsse. Diese Überlegung bestärkte mich, die am Rande gemessenen Abstände zwischen der solaren und siderischen Linie durch mit den in der Mitte der Sonnenscheibe gemessenen zu vergleichen, um zu erfahren, ob ein Unterschied zwischen beiden bemerkbar ist. Ich führte demgemäß zwischen Mai und August dieses Jahres eine kurze Beobachtungsreihe aus, indem ich ermittelte, wie vorher beschrieben die Abstände für zwei gegenüberliegende Punkte des Sonnenrandes bestimnte und durch Mittelbildung den Abstand der beiden Randpunkte, zugleich aber auch (indem die



Spektroskop genau auf die Mitte der Sonnenscheibe reichte und den Abstand zwischen der solaren und tellurischen Linse für diesen Punkt bestimmte. Als Resultat ergab sich, daß der Abstand für den Sonnenrand jedesmal erheblich kleiner gefunden wurde als für die Sonnenmitte. Mit andern Worten: verglichen mit der Sonnenmitte erscheinen die beiden solaren Linien am Rande merklich gegen Rot hin verschoben.»

Als mittlerer Wert für die Größe der Verschiebung ergab sich + 8012 Å. E. Der Betrag der Verschiebung hängt nicht merklich von der heliographischen Breite ab, und ist für die Pole wesentlich denselbe wie für den Äquator. Ferner hat Dr. Halm sich die offene Überzeugung, daß die Werte des Spektralen Linien-Umfalls auf die Verschiebung hin, sowie daß es gleichgültig ist, ob man mit radial oder tangential gerichteten Spalt beobachtet. Angesichts des interessanten Resultats schien es ihm von Wichtigkeit, zu untersuchen, ob andere Linien des Sonnenspektrums ähnliche Verschiebungen zeigen. Für drei solare Linien innerhalb der H-Gruppe fand er Unterschiede von sämtlich denselben Beträgen. Aus den wenigen Beobachtungen, die er wegen unvollständigen Wetters bis jetzt hat ausstellen können, läßt sich nicht mit Sicherheit schließen, ob die geringen Verschiebungen in den gemessenen Gruppen wohl sind. Er bemerkt noch, daß alle diese Linien, ebenso wie die beiden Eisenlinien seiner Untersuchung, in Sonnenflecken stark vertreten erschienen und daher wahrscheinlich einen geringen Nivau der Sonnenatmosphäre angehören.

In einem auffallenden Gegensatz zu diesen Resultaten steht das Verhalten der Linie  $\lambda = 6518.31$ , die nach den Untersuchungen von Prof. Fowler in einem relativ hohen Nivau der Sonnenatmosphäre ihren Ursprung hat, was sowohl aus ihrem charakteristischen Verhalten in den Sonnenflecken, als auch

aus ihrer häufigen Anwesenheit in der Chromosphäre gefolgert wird. Nach den Messungen von Dr. Halm ruht die Verschiebung nach Rot am Rande viel geringer als bei den vorigen Linien.

Schönigens Bild zur 40831 Å. E. Winters Messungen, die Dr. Halm veröffentlicht, ergeben, daß die Verschiebung der beiden Eisenlinien durchaus nicht auf die unmittelbare Umgebung des Sonnenrandes beschränkt ist, sondern bereits in Punkten, die  $\frac{1}{2}$  Sonnenradius vom Rande abstehen, recht merklich erscheint.

Über die mögliche Ursache dieser von der Mitte gegen den Sonnenrand hin zunehmenden Verschiebung der Linien nach Rot, bemerkt Dr. Halm, es liegt auf dem ersten Blick nahe, die Verschiebung durch Bewegungen der Gase der Sonnenatmosphäre erklären zu wollen. (Die Annahme, daß die Sonnenmaterie in fortwährender radial gerichteter Strömung von und nach dem Sonnenzentrum begriffen sei, sagt er, wird wohl noch immer von vielen Astronomen für wahrscheinlich gehalten. Auf dieser Annahme fußend, könnte man nun versucht sein, die erwähnte Verschiebung dadurch zu erklären, daß die absorbierenden Gase in der Atmosphäre gerichtet, d. h. vom Sonnenzentrum abfliegenden, Strömungen enthalten seien. In diesem Falle würde die Absorption also in der Mitte der Sonnenscheibe nach dem Violet zu verschoben sein, am Rande dagegen sich in normaler Lage befinden. Es würde somit, den Beobachtungen entsprechend, eine scheinbare Verschiebung der Absorptions nach Rot hin wahrnehmbar sein.

Bei näherer Betrachtung scheint die Hypothese jedoch ganz unzulässig. Zunächst ist die notwendige erforderliche Annahme, daß das absorbierende Gas im absteigenden Ströme kühler sei als im absteigenden — denn nur so würde sich eine Verschiebung der Absorption hin zu den grösseren Wellenlängen erklären lassen — physikalisch schwer zu rechtfertigen. Aber selbst wenn wir uns

über diese Schwierigkeit hinwegsetzt, bleibt die Hypothese zur Erklärung aller beobachteten Erscheinungen doch noch unzureichend. Dem wollte man entnehmen, daß die Veränderlichkeit von zeitlichen Schwankungen in der Geschwindigkeit der radialen Strömungen herrsche, so könnte doch davon die Lagen am Sonnenrande nicht betroffen werden, da dort der Einfluß derartigen Strömungen auf die Lage der Spektrallinien gänzlich verschwindet. Die Annahme tangentialer, d. h. langs der Sonnenoberfläche verlaufender Strömungen muß von vornherein verworfen werden, da vorausgesetzt wäre, daß in jedem Augenblick und für jeden Punkt der Sonnenoberfläche die Bewegung längs der Sonnenoberfläche nach dem Rande zu gerichtet sein würde. Aus dieser Überlegung ergibt sich also, daß weder radiale noch tangentialer Bewegungen der Sonnenatmosphäre zur Erklärung der beobachteten Linsenveränderungen ausreichen, und demnach wohl allgemein von einem Versuch, letztere aus dem Dopplerschen Princip zu erklären, Abstand genommen werden muß. «Dauert» führt De Haine fort, «sind wir auf den einzigen noch möglichen Erklärungsversuch beschränkt, den unsere jetzige Kenntnis des Verhaltens der Spektrallinien zulaßt, nämlich die beobachteten Linsenveränderungen dem Drucke zuzuschreiben, unter welchem die einströmenden Gase der Sonnenatmosphäre sich befinden. Der Nachweis eines Einflusses des Druckes auf die Wellenlängen der Fraunhofer'schen Linien ist schon vor längerer Zeit Herrn Jewell gelungen, der aus den Röntgenischen Aufnahmen zeigt, daß die Wellenlängen des Sonnenspektrums durchschnittlich um etwa  $\frac{1}{1000}$  A. E. nach dem Hof zu von den normalen Wellenlängen abweichen. Es scheint jedoch bis jetzt noch ungewissen zu sein, daß der Betrag dieser Verschiebung am Rande größer sein muß als in der Mitte. Der Unterschied zwischen Rand und Mitte rührt daher, daß

am Rande die Gase gelingern, und daher unter höherem Druck stehenden Schichten einen verhältnismäßig größeren Beitrag zur Erscheinung der Absorptionen liefern, und daher der Schwerpunkt der letzteren mehr nach dem Hof verschoben sein muß, als in der Mitte der Sonnenoberfläche.»

De Haine zeigt dies durch eine geometrische Betrachtung und diese Überlegung gibt nach darüber Aufschluß, warum die Linien, die einem niedrigen Niveau angehören, eine stärkere Verschiebung zeigen müssen, als die in einem höheren Niveau ihren Ursprung nehmenden Linien, eine Tatsache, die aus den angeführten Beobachtungen so deutlich hervorgeht. «Ferner» sagt er, «zeigt man es, daß etwaige zeitliche Änderungen des Druckes der Sonnenatmosphäre besonders in den Linien verschwinden, so daß also die merkwürdigen Veränderungen der Lage der Sonnenlinien, qualitativ wenigstens physikalisch deutlicher werden. Von diesem Gesichtspunkte aus betrachtet würden demnach die Beobachtungen diesen ausreichen sein, daß von 1881 bis 1896, d. h. von einem Sonnenfleckenmaximum zu einem Maximum, der Druck innerhalb der Sonnenatmosphäre stetig größer geworden sei. Dieses Resultat mag auf den ersten Blick befremdlich erscheinen bei näherer Betrachtung muß man aber doch wohl zugestehen, daß derartige Änderungen in der Sonne zum mindesten möglich sind. Erwägt man, daß die Sonne ein wesentlich gasförmiger Körper ist, und daß nach Ansicht der Physiker der Atmosphärischer, die sogenannte Photosphäre der Sonne aus Gasen in flüssigen Zustand übergeht, so kann man sich sehr wohl die Frage vorlegen, ob das Niveau, in welchem diese Kondensation stattfindet, zu allen Zeiten unverschiebbar dieselbe sei, oder ob nicht etwa infolge von periodischen Schwankungen in den Temperaturverhältnissen des Sonnenkörpers, dieses

Nutzen der Photosphäre kleine Veränderungen unterworfen ist. In letzterem Falle würde die Masse der über dieser Photosphäre liegenden abschirmenden Atmosphäre auf damit der Druck auf die untere beobachtete Schicht ebenfalls veränderlich sein. Gegen diesen Erklärungsversuch scheint freilich die Tatsache zu sprechen, daß die sonstigen hellenometrischen Messungen von Schwar und Ambrose keine sehr nachweisbare Veränderlichkeit des Sonnen-durchmessers ergeben haben. Man darf aber anderseits nicht vergessen, daß diese Messungen nicht innerhalb 60° verläuft sind, so daß wir also noch nicht imstande sind, Messungsabweichungen von etwa 70 bis 80 km hellenometrisch nachzuweisen. Auf der Sonne mögen aber sehr wohl bereits derartigen Schwankungen merkliche Druckveränderungen entsprechen.

Ich bin natürlich sehr davon überzeugt, jetzt schon die hier vorgetragene Druckhypothese als begründet zu ansehen. Dazu bedarf es weit eingehender

Untersuchungen, als ich bei jetzt habe durchführen können. Sonst dürfte aber aus den mitgeteilten Resultaten und den daran angeschlossensten Vermutungen hervorgehen, daß es sich hier um wichtige Fragen handelt, die ebenfalls für die Sonnenphysik von großer Bedeutung werden können. Dann läßt durch fortgesetzte Untersuchungen der Beweise erhellen wird, daß es sich hier wirklich um Druckänderungen innerhalb der die Photosphäre umgebenden abschirmenden Schichten handelt, so ist damit zugleich dargethan, daß die Deutlichkeit dieser Helligkeit und somit ihr Absorptionsschwankungenvermögen ist. Es ist also damit die Aussicht eröffnet, auf eine der bedeutendsten Fragen der Sonnenphysik, deren Lösung die Astronomie bei jetzt nur mit geringem Erfolge angestrebt hat, eine entscheidende Antwort zu geben, nämlich auf die Frage, ob die Intensität der aus von der Sonne zugewandten strahlenden Energie konstant oder periodisch veränderlich ist.

## Die Bewegung der innern Planeten und das Zodiakallicht.

**E**s ist vielen Jähren hat Leverrier die Entdeckung gemacht, daß die Bewegung des Planeten Merkur nicht in aller Strenge durch das Newtonsche Gravitationsgesetz dargestellt ist, indem die wahre Bewegung des Perihelion des Merkurs, gemäß den Beobachtungen, den aus der Theorie berechneten Wert um 40" im Jahrhundert übersteigt. Leverrier trug dies, daß Theorie und Wirklichkeit in Übereinstimmung gebracht werden können unter der Annahme eines innerhalb des Merkurs vorhandenen größeren Planeten oder auch einer Gruppe sehr kleiner Planeten. Die Annahme eines entsprechenden größeren Planeten ist nun aber unstatthaft, denn dieser hätte sich den störenden darauf gerichteten Nachbe-

schungen, besonders bei Gegenstand totaler Sonnenfinsternisse, nicht entziehen können, wozu blieb nur die Möglichkeit einer sehr großen Zahl sehr kleiner Planeten, die sich innerhalb der Merkurbahn bewegen. Anderseits hat es freilich auch nicht an Vorfällen gefehlt, welche darauf hinweisen, daß das Newtonsche Gravitationsgesetz, wozu die Anziehung sich im Verhältnis des Quadrats der Entfernung ändert, vielleicht nicht der völlig scharfe Ausdruck der Wirklichkeit ist, sondern die Änderung der Intensität der Anziehung sich um ein Minimum von dem quadratischen Verhältnis entfernt. Eine solche Hypothese ist aber es und für sich so ungeschmackhaft, daß sie ebenfalls nicht weiter verfolgt werden sollte.

und auch heißt nichts anderes übrig als die Annahme sehr kleiner, ständiger Körper, wenn man nicht voraussetzen will, daß in den Rechnungen Leverriers ein Irrtum mit eingekalkuliert sei. Die Nachrechnungen verschiedener anderer Astronomen haben aber die Richtigkeit der Leverrierschen Rechnung erwiesen, besonders aber hat Prof. Newcomb den Gegenstand erschöpfend untersucht und in seinem 1895 erschienenen Werke über die Bahn Elemente der vier inneren Planeten, die ältesten Verbindungen derselben gemäß den ältesten vorhandenen Beobachtungen genau berechnet und mit den aus der Gravitationsstörung folgenden Werten derselben verglichen. Es fand sich, daß die Bewegung des Merkurperihels in der Tat nur durch die Theorie nicht zu begründende Korrekturen erfordert, wenn Theorie und Beobachtung miteinander übereinstimmen sollen. Ferner ergibt sich aber auch, daß die Bewegungen der Kerne der Venusbahn und des Merkurperihels sehr wahrscheinlich auch, um allerdings geringe Beträge von der Newtonsch geforderten Bewegung abweichen. Diese Abweichungen scheitern jedoch nicht auf eine Erklärung, aber die oben angegebene Deutung ist unwahrscheinlich. Inzwischen hat sich Prof. v. Seeliger mit dem wichtigsten Problem beschäftigt und auf der jüngsten Astronomerversammlung zu jense des Ergebnisses seiner Untersuchungen mitgeteilt. Er bemerkt in seinem Vortrage u. a. folgendes:

„Es ist wohl gleichsam ausgeschlossen, daß man durch irgend welche physikalischen Betrachtungen zu einer Abänderung des Newtonschen Gesetzes von dieser Form gelangen wird. Auch glaube ich künftige Bedenken gegen die universelle und genaue Gültigkeit des Newtonschen Gesetzes vorgebracht zu haben, die sich nicht widerlegen lassen, und die durch eine Korrektur von der angegebenen Form — und diese ist für die Erklärung der Bewegung des Merkurperihels wesentlich — nicht behoben werden. Im übrigen

hat schon Newton solche Ausweichungen behandelt und die daraus hervorgehenden Perihelbewegungen kalkuliert. Da alle anderen Bahn Elemente unverändert bleiben, so würde also ein solches Kalkül die andere von Newcomb gebundene empirische Oberfläche nicht einmal korrigiert ändern. Müßte man aber diese für recht, so müßte man sich demnach, auch abgesehen von anderen, nach andern Ursachen umsehen.“

Man weiß nun, daß tatsächlich der innere Raum des Planetensystems bei mindestens der Existenz von Massen erfüllt ist, welche die Ercheinungen des Zedukalischen homozentrischen Elements in nicht daran zu zweifeln, daß diese Planeten eine störende Wirkung auf die inneren Planeten ausüben müssen, und es können nicht über ihr Verhältnissen, sondern nur über die Größe und Art dieser störenden Wirkung verschiedene Meinungen herrschen. Es liegt deshalb nahe, die besprochene Einwirkung näher zu untersuchen. Kann man auf diesem Wege zu einer zutreffenden Darstellung der Newcombschen Annahme, ohne unzulässige Zuhilfenahme von Hülfsannahmen zu müssen, so wird für ihre Erklärung eine viel höhere Basis gewonnen sein, als die Annahme von Planetenroten und dergleichen haben kann. Dann man geht hier von tatsächlich vorhandenen Verhältnissen aus, und nicht von Hypothesen, deren Bewährung zum mindesten nicht bewiesen werden kann. In der Tat gelangt, wie im folgenden gezeigt werden wird, die Erklärung der empirischen Oberfläche in diesem Sinne vollständig.

Vor 13 Jahren habe ich Rechnungen angestellt, welche meine Ansicht, daß der Einfluß der Planeten des Zedukalischen bei der Bewegung der inneren Planeten berücksichtigt werden muß, bestätigten. Damals lagern aber die Newcombschen Zahlen noch nicht vor, und eine überwiegende Prüfung der geforderten Resultate war nicht möglich. Durch Arbeiten in andern Un-

leben abgehaltes, kam ich erst nachher, bei Gelegenheit der Ausarbeitung meines Aufsatzes über „die sogenannte absolute Bewegung“, auf den Gegenstand zurück.

Über die Dichtigkeitverteilung der Massen im Zodiakallicht lassen sich zunächst näherhinftig bestimmte Angaben nicht machen. Nur das scheint einigermaßen festzustehen, daß die die Sonne umhüllende Materie in die Fröhle noch ungetheilt und in einem Raum, der die Gestalt einer plattgedrückten Kreisscheibe hat, eine verhältnismäßig Dichtigkeit besitzt. Im übrigen muß diese mit zunehmender Entfernung von der Sonne stark abnehmen. Früher nahm man an, daß die Acten des Zodiakallichts und somit die Ebene der Kreisscheibe mit der Ekliptik zusammenfällt. Das ist durch unsere Beobachtungen zweifelhaft geworden indem Marsden und Wolf aus ihren Beobachtungen der Scheibe zogen, daß die Rotationsachse der Scheibe eher mit der Rotationsachse der Sonne zusammenfällt. Die Dichtigkeitverteilung der das Zodiakallicht erzeugenden Massen läßt sich aus der Helligkeitsverteilung in diesem Gebilde nur mit einiger Reserve ableiten. Für Lagenen ganz in der Nähe der Sonne versagen aber die Beobachtungen fast vollständig, und gerade die hier herrschende Dichtkeitsverteilung ist wesentlich für die Abschätzung der Einwirkung auf die Bewegung der Planeten. Wie die Flächen gleicher Dichtigkeit verhalten, wird auch selbst aus viel genauere Beobachtungen, als bis jetzt vorliegen, schwer deshalb nicht mit Sicherheit ableiten lassen, weil die Helligkeitsverteilung im Zodiakallicht nicht nur von der Massenverteilung, sondern auch von der Größe der einzelnen Massenelementen abhängt, und diese letztere sehr wohl Funktion des Ortes sein kann. Für die nahe bei der Sonne gelegenen Teile wird also wohl kaum mehr mit Sicherheit ausgesagen möglich sein, als daß die Flächen gleicher Dichtigkeit voraussichtlich dem

fast plattgedrückten Kreisscheiben gleichen, deren Ecken nicht stark gegen den Sonnenapex gerichtet sind. Klammern brauchen wir aber alle diese gleiche Meinung zu haben. Für die von der Sonne andernwärts Teile der Zodiakallicht lassen sich vielleicht etwas weniger sichere Angaben machen. Diese sind aber für das Folgende so gut wie völlig belanglos. Was die Bewegungen der einzelnen Theile des Zodiakallichts betrifft, so lassen sich nähere Angaben nicht machen, da die Sache bisher nicht untersucht worden ist. Bei dieser Sachlage wird man sich damit begnügen müssen, solche Annahmen über die Dichtkeitsverteilung zu machen, die den erwähnten Ansichten nicht widersprechen und sich rechnerisch nachtheilhaftig leicht verfolgen lassen. Eine solche recht allgemeine Annahme besteht darin, daß man die Massen des Zodiakallichts denselbst durch eine Anzahl übereinander gelegener homogener Rotationsellipsoide, mit gemeinschaftlichem Mittelpunkte im Sonnenzentrum.

Prof. v. Seeliger zeigt nun, wie sich unter plausiblem Annahmen die Einwirkung dieser Ellipsoide auf die Bewegung der Planeten berechnen läßt und die Gesamtmasse des Zodiakallichts sich zu etwa der Hälfte der Merkurmasse bestimmt. Seine Berechnung der hierdurch entstehenden Überschiebung der Bewegung in der Perihelionlage, Bahnneigung und Länge der Knoten für die Planeten Merkur, Venus, Erde und Mars stimmt ziemlich vollkommen mit den festgestellten aus den Beobachtungen herfür abgeleiteten Werten überein, so daß an einer Zahl nicht zu denken ist. Mit Recht schreibt Prof. v. Seeliger, aus seinen Untersuchungen geht hervor, „daß die Masse des Zodiakallichts sehr wohl die Ursache der Bewegungsanomalien der vier inneren Planeten angesehen werden kann, denn die schiefenmäßigen Folgen können offenbar nach keiner Richtung auf unvollständige oder auch nur unvollständige Verhältnisse Marstrassen.“

# Photographische Aufnahmen des Kometen Giacobini (1905 c).

(Heute Teil IV.)

**D**ieser Komet wurde am 6. Dezir von Giacobini auf der Sternwarte zu Niiza am Hitzgebirge aufgedeckt. Er erschien damals als runder Nebelkoma ohne Kern, das 1 bis 2 im Durchmesser und gleich einem Stern 10 Größe. Er näherte sich nach der Sonne und der Erde und sollte denfalls im Helligkeit zu, so daß er Ende Dezember d. J. bis 5 Größe mit einem Kern und einem Schweif von 8° bis 10° Länge. Für photographische Aufnahmen war die Stellung des Kometen nicht günstig, da er meistens niedrig am Osten stand und die Dispersion sehr beträchtlich war. (Für photographische Aufnahmen war die Stellung des Kometen nicht günstig, da er meistens niedrig am Osten stand und die Dispersion sehr beträchtlich war. (Für photographische Aufnahmen war die Stellung des Kometen nicht günstig, da er meistens niedrig am Osten stand und die Dispersion sehr beträchtlich war.)

Als der Komet Anfang Januar eine hellere Helligkeit erreichte, wurde er, bei günstiger Stellung am Himmel, nach Prof. Barnard's Ansicht, eines der interessantesten Objekte geworden sein, die bisher beobachtet worden sind. Die Stellung war aber ungünstig und die Witterung ebenfalls, indem der Himmel meistens am Morgenstunden nicht bedeckt blieb. Die wenigen Aufnahmen, welche zu einigen Maßen gelangen, sind von großem Werte und es war zu wünschen, daß gleichzeitig auch auf andere Observatorien photographische Aufnahmen stattgefunden hätten, um die Bewegung der Schweifspitze zu bestimmen. Einige Berechnungen, welche dieser Komet überhol, waren nach Prof. Barnard sehr ähnlich solchen, die 1892 beim Kometen Swift wahrgenommen wurden sind, andere dagegen sind ihm eigenständig. Am 7. Dezember, eines Tag nach Bedeckung des Kometen, gelang es Prof. Barnard, den-

selben mit einem 10-zölligen Reichenow-Teleskop zu photographieren, doch zeigt diese Aufnahme nichts Besonderes und der Komet war damals auch in einem 5-zölligen Fernrohr von schwachen Objektiv. Die Länge seines Schweifes betrug 0.5°. Die nächste Aufnahme gelang am 25. Dezember und auf dieser Platte erscheint der Schweif 4° lang, schwach und dünn. Am 26. Dezember war dagegen der Schweif sehr hervor-  
 tretend und prächtig entwickelt. Von einem ziemlich großen Kopf und schwachem Hinterschweif besteht auch der Schweif an jeder Seite in einer hübschen Kurve aus und zeigt durchsichtige, scharf abgegrenzte konvexe äußere Ränder, so daß das ganze sehr schön, transparenter Koma von metallischer Farbe darstellt. Außer dieser eigentümlichen, konvexen Form, die Prof. Barnard nicht bei keinem früheren Kometenschweif gesehen, zeigt derselbe feine, fadenförmige Strahlen, die hinter dem Kopf divergieren und meistens Winkel von 15°, 20° und 30° mit der Achse des Hauptschweifes bilden. An der äußeren Seite, etwa 1° hinter dem Kopf des Kometen, zeigt sich ein langer, verwaschener Strahl, der unter sehr kleinem Winkel vom Rande des Schweifes ausgeht. Die Gesamtlänge des Schweifes ist etwa 4½°. In der Nacht des 30. Dezember erschien der Kopf des Kometen klein und der meiste Teil des Schweifes in eine große Anzahl fadenförmiger Strahlen aufgelöst die von der Seite des Kopfes aus divergieren, während der Hauptteil des Schweifes, ziemlich schmal, sich weiterhin in diffuser Weise ausbreitete. Weitere Photographien des Kometen wurden am 4., 5. und 7. Januar erhalten. Auf der letzten erscheint der Kopf recht schwach, der Schweif hinter denselben nach ausgedehnt und abgeschwächt in eine große Zahl heller Strahlen aufgelöst. Etwa 1° hinter dem Kopf erscheint der Schweif von sehr

<sup>1)</sup> Astrophysical Journal, Vol. XXIV, No. 4, S. 154.

Innenflüssiger Struktur und von hier aus ist der Schwanz in den Strahlen geteilt, deren mittlere sehr lang ist, und unregelmäßigen Massen darin. Aufnahmen vom 1. und 2. Januar wurden durch Erweiterung des Tageslichtes beiderseitig. Die letzte Aufnahme geschah nach dem Durchgang des Kometen durch seine Sonnennähe, am 21. Februar 1906 und zeigt nur eine Spur des Schwefels. Eine Färbung der Plattenplatte durch Prof. Bernard ergab, daß der Schwanz, obwohl er großen physikalischen Veränderungen unterliegt, doch bei nicht Abweichungen von seiner Gesamtrichtung erkennen läßt. In der Tat war der Postkommatal des Schwefels in der Zeit vom 28. Dezember 1905 bis 2. Januar 1906  $322^{\circ}$  bis  $325^{\circ}$ . Prof. Bernard ist der Überzeugung, daß alle Erscheinungen, welche dieser Komet darbot, lediglich durch die Erweiterung der Sonne hervorgerufen worden sind. Es scheint, sagt er, kein direkter Einfluß auf die Zerkügelung und Zerrüttung des Schwefels einwirkend, wie solcher beim Kometen Brada (1890 IV) zuge-

füllig gewesen ist. -Je mehr,- hört Prof. Bernard fort, -Kameraphotographien und Veränderungen in den Schwefeln derselben ich konnte lernen, um so mehr bin ich überzeugt, daß die Veränderungen im Schwefel des Kometen Brada einzig in ihrer Art waren und hervorgerufen wurden durch eine ständige Erweiterung der weiter von dem Kometen noch von der Sonne herrührte.

Von den beiden photographischen Aufnahmen des Kometen, die Prof. Bernard veröffentlichte, ist diejenige des 7. Januar auf Tafel IV, in Lichtdruck reproduziert. Um den Kometen vollständig scharf zu erhalten, wurde die photographische Fernrohr so bewegt, daß der Komet auf der Platte stillstand während der Expositionszeit von 10 Minuten. Diese Bewegung ist natürlich von der täglichen Umdrehung des Himmels verschieden, daher auszuheben auf der Photographie die Fixsterne nicht als Punkte, sondern als punktförmige Streifen. Das Original der Abbildung ist 3-fach vergrößert.

## Die nächste Rückkehr des Halleyschen Kometen.

**I**ener große Komet ist zuletzt im Jahre 1835 zur Sonne zurückgekehrt, seine nächste Rückkehr wird auf Grund der Berechnung Ponsicoulants im Jahre 1910 erwartet, und zwar würde dasgenau durch den Durchgang durch die Perihel am 24. Mai stattfinden. Die erste Erscheinung 1835 war von mehreren Seiten voraus berechnet worden, von LeBoeck, Burchard, Ponsicoulant, Rosenberger und Lehmann, alle teilten das Jahr und das Monat der Rückkehr des Kometen richtig angaben (die Unklarheit während der Zeit vorhergehenden Erscheinungen schwankte zwischen 75 und 78 Jahren), aber bezüglich der Tages, an welchem der Komet durch sein Perihel ging, schwankten die Rechnungangaben zw-

ischen dem 2. und 26. November. Die Beobachtungen ergaben später, daß das Perihel auf den 16. November fiel und Rosenbergers Rechnung, die den 13. November ansetzte, am nächsten gekommen war. Für die nächste Rückkehr des Halleyschen Kometen liegt zuerst nur eine einzige Variantenrechnung vor, und zwar von Ponsicoulant, der als Zeit des Perihelldurchgangs angibt 1910 Mai 18-23 mittlere Zeit von Paris. Hiernach würde die darauffolgende Umlaufdauer 74½ Jahre betragen. Ponsicoulant hat seine Rechnungen 1864 in den Comptes rendus der Pariser Akademie veröffentlicht. Hiernach wäre die halbe große Achse der damaligen Bahn in Tellen des Halbmessers der Erde  $a = 17.9554574$ , die Exen-

innig = 0.86173217 und hieraus folgt für den Abstand des Kometen von der Sonne im Perihel oder der Perihel-  
distanz: 8.6772. Bei den Erscheinungen  
des Kometen 1581, 1681, 1682, 1743,  
1825 war die Periheldistanz sehr zu-  
nehmend 0.862 und 0.857 und es ist an  
sich sehr sehr auffallend, daß sie  
dieses Mal um 0.1 des Erdschwer-  
messers größer sein sollte. Auch be-  
züglich der Angaben Pontécoulants über  
den Datum der Periheldurchgänge 1919  
finden sich einige Unklarheiten; dieselbe  
wird in dem Comptes rendus dafür  
angegeben Mai 24.23, in einer anderen  
Stelle Mai 16.05 und letztere Angabe  
wird in dem Pariser astronomischen Jahrbuch  
als richtig aufgeführt, während die erstere  
von Hand berichtigt wird. Auf diese  
Unklarheiten hat jetzt A. C. D. Crom-  
wellen ausdrücklich hingewiesen<sup>1)</sup> und  
bezügigt, daß nach der Angabe Ponté-  
coulants über die Gesamtlänge der  
Excentricität der Bahn des Kometen  
durch die störenden Einwirkungen der  
Planeten Jupiter, Saturn und Uranus  
mit den Einseitigkeiten nicht überein,  
sondern notwendig um Additionsdifferenz  
unterliegenden, haben muß. Wird dieser  
Fehler richtig gestellt, so würde die  
Periheldistanz des Kometen für 1919  
aber noch etwas größer herauskommen.

Cromwellen verweist auch auf eine  
1822 von D. A. J. Argander veröffent-  
lichte Abhandlung,<sup>2)</sup> in welcher mitge-  
teilt ist, daß die Zeiten der Perihel-  
durchgänge des Halley'schen Kometen,

wie derselbe für den Zeitraum von  
Jahre 12 v. Chr. bis 1825 n. Chr. von  
Hand auf Grund der Beobachtungen  
berechnet worden sind, eine enorme  
Unstetigkeit des Kometen von 76.93  
Jahren ergaben mit zwei großen Un-  
gleichheiten von 1.5 und 2.1 Jahren  
in Perioden von 2669 und 192 Jahren.  
Nach diesen Ergebnissen von Argander  
würde der nächste Periheldurchgang  
des Halley'schen Kometen erst im Jahre  
1913 stattfinden, also fast 2½ Jahre  
später als nach Pontécoulants Rech-  
nungen. Man würde freilich, wie auch  
Cromwellen hervorhebt, diese Diskrepanz  
so und für sich allein noch nicht als  
Zuständigkeit der Pontécoulantschen  
Rechnung beweisen, aber zusammen-  
gehalten mit den oben näher ange-  
gebenen Differenzen liegt es doch nahe,  
ein Fehler in den äußeren umfangreichen  
Störungsrechnungen zu denken, welche  
für wahrscheinlich zu halten. Die Rück-  
kehr des Kometen im Jahre 1835 ist  
von wenigstens fünf Rechnern bestimmt  
worden, während die Berechnung der  
Rückkehr 1840, so viel ich jetzt be-  
kannt ist, von niemand in Angriff ge-  
nommen wurde (trotz dem von Linde-  
mann ausgesprochen Protest). Sollte  
wirklich keine solche Rechnung be-  
gonnen sein, so wird es jetzt die höchste  
Zeit dazu. Cromwellen bemerkt, man  
kann sich kaum einen größeren Schaden  
für das Ansehen der Astronomie  
bello Publikum verschaffen, als wenn  
nach den berühmten Erfolgen von 1759  
und 1825 die Berechnung der dis-  
tantsen Winterkehr des Kometen von  
den wirklichen Tatsachen abweichend  
ausfallen würde.

<sup>1)</sup> Monthly Notices of the Astr. Soc.  
1905, No. 2.

<sup>2)</sup> Mémoire la Société royale des Sciences  
d'Upsal. Ser. III, t. IV.

## Neue Bestimmungen von Fixsternparallaxen durch photo- graphische Aufnahmen.

**193** Photographische Aufnahmen zu ge-  
eigneten Zeiten bieten gegen-  
wärtig den sichersten Weg, um mit  
verhältnismäßig geringer Mühe nach  
und in größerer Anzahl die Parallaxen

von Fixsternen zu ermitteln. Schon  
1869 hat Paul Napier das Methode  
in Vorschlag gebracht und die Aus-  
führung derselben durch die photo-  
graphischen Aufnahmen von A. Demer



in Heliographen haben ihre Anwendbarkeit gezeigt. Es wurden dabei auf quadratischen Platten von je 2' Seitenlänge, von jedem Stern 12 Bilder auf jeder Platte aufgenommen, das davon gehörtes zum ersten, sechs zum zweiten und wieder drei zum letzten Maximum der parallaxischen Verschiebung, welche die Sterne, entsprechend der Stellung der Erde in ihrer Bahn um die Sonne, ergiebt. Aus der Vergleichung der Messungen auf diesen Platten ergiebt sich, daß der wahrscheinlichste Fehler meist geringer als 0.02" ist. Die Aufnahmen von 258 Sternen, die auf diese Weise erhalten wurden, ergaben nur bei 24 Sternen einen Wert der Parallaxe größer als 0.02", was kein ungünstiges Zeichen für die Genauigkeit dieser Methode ist, weil 1903 ist von dieser auskömmliche Weg zur Ermittlung zuverlässiger Sternparallaxen auf der Sternkarte zu Cambridge (England) beschritten worden, und zwar von Arthur R. Hinks und Henry Norris Russell. Sie haben dabei an der von Prof. Kapteyn eingeführten Methode mehrere Verbesserungen angebracht. Es wurden u. a. die Aufnahmen nicht auf drei Epochen beschränkt, sondern für gewisse Sterne selbst eine vierte und fünfte Aufnahme gemacht, um möglichst strenge Kontrollen zu gewinnen; ferner wurden die Aufnahmen ausgeführt, wenn die betreffende Sterne nahe im Meridian standen und für jede Epoche besondere Platten gewählt und gleich entwickelt. Welche weitere Vorsichtsmaßregeln angewandt werden, um Irrtümer und zufällige Fehler bei der Aufnahme auszuschalten, haben die beiden Beobachter in ihrer ersten Abhandlung ausführlich dargestellt.<sup>5)</sup>

Was die Circulardateu anbetrifft, welche bei Auswahl der zu untersuchenden Sterne maßgebend sein sollten, so unter-

scheiden die Beobachter in dieser Beziehung zwei Klassen von Sternen, solche bei denen Versuche zur Parallaxenbestimmung mit umgekehrter Erfolgschance gemacht werden sind, nämlich Doppelsysteme, veränderliche Sterne, Sterne mit gemeinsamer Eigenbewegung. Zweitens solche, von denen man vermuten darf, daß sie eine größere Parallaxe zeigen als die meisten anderen, nämlich heiße Sterne und vor allem solche wie starker Eigenbewegung. Natürlich werden im einzelnen die Ansichten sehr verschieden sein, besonders über die zu berücksichtigenden Sterne der erst bezeichneten Klasse, weniger über die der zweiten. Nach Ansicht der beiden Astronomen dürfte zunächst eine Auswahl von etwa 40 Sternen ausreichen, um für einen Beobachter ein volles Arbeitsprogramm zu schaffen. Sie sind ferner der Meinung (für man nur beifolgende kennt), daß die Astronomen, welche sich mit Parallaxenbestimmung beschäftigen, sich auf eine Auswahl bestimmter Sterne verwenden sollten (trotzdem würde Spezialstudien, welche Geschwindigkeitsmessungen der Sterne anstellen). Nur durch eine solche Kooperation wird man zu sicheren Ergebnissen über die absolute Genauigkeit der erhaltenen Werte für die Parallaxen gelangen. Hierzu haben Hinks und Russell eine Liste von Sternen zusammengestellt, welche sie zu Beobachtungen behufs Parallaxenmessung am geeignetsten halten, selbst besprochen werden und ebenfalls andere Astronomen vorschlagen.

Diese Liste ist nachstehend im wesentlichen wiedergegeben. Sie enthält die Namen der Sterne, Rektascension und Declination für 1900.0, die Helligkeit in Sterngößen, die Eigenbewegung in Bogensekunden und Bemerkungen zu einzelnen Sternen bezüglich der von anderen Beobachtern gefundenen Parallaxen, über Doppelsterne, Veränderliche etc.

<sup>5)</sup> Monthly Notices Astr. Soc. 1905, Jan., p. 175.



Name	Position 1840		Orbit	Eigen- bew.	Bemerkungen
	AB	Q			
α Monoceros	146 36.6	+ 30° 7'	0.00	0.00	1.00" Eigenbew., 1.10" Flut.
W. P. 2730. 188	17 29.0	+ 3 18	0.0	1.00	0.27" Flut.
α Monoceros	17 40.0	+ 27 47	0.0	0.01	
β 1889	18 43.7	+ 40 30	0.0	0.17	1.10" Lang., 0.30" Flut
Monoceros L. 18 180	19 31.1	+ 4 10	0	1.00	Doppelstern 17" Abstand.
γ Cygni	19 5.6	+ 40 40	0.0	0.16	1.00" Flut. — 0.10" Flut.
					Doppelstern 10" Abstand.
β, δ + 18° 1889	19 16.0	+ 40 10	0		Weißsternchen mit Wasser- stofflinie 2" im Distanz
Lalande 21447	19 44.0	+ 30 30	0.0	0.17	Doppelstern
" 21500	19 49.0	+ 30 44	0.0	0.17	Stärkstens Bewegung
η Cygni	21 7.4	+ 30 10	0.11	0.08	0.30" Flut
δ Eridani	21 9.0	+ 1 17	0.0	0.00	0.00" Flut. 0.00" Linsen- verfälscht, 1.10" Wasserstoff- linienverfälscht
α Cygni	21 20.0	+ 31 30	1, 10	0.00	1.00" Eigenbew., Doppelstern
Lalande 21451	21 20.0	+ 32 14	7	0.01	
Ke. 40.	21 41.1	+ 31 30	1, 10	0.01	Doppelstern von 1" Abstand
δ Cygni	21 50.4	+ 31 44	140	0.01	Spektroskopisch Doppelstern
γ Cygni	21 20.0	+ 31 30	100	0.00	Spektroskopisch veränderlich
Lalande 21450	21 34.7	+ 40 30	1.0	0.00	
γ Andromedae	21 35.1	+ 40 10	4	0.01	Spektroskopisch Doppelstern.
Lalande 21450	21 44.0	+ 1 10	0.7	1.4	0.31" Flut.

Die photographischen Aufnahmen der Sterne dieser Tabelle sind bereits soweit vorgedrungen, daß Herrn Russell für sein Auszähl derselben die Berechnung bezüglich der Parallaxen durch führen und endgültige Ergebnisse veröffentlichen können\*) Es sind im wesentlichen folgende:

Lalande 21445. Dieser Stern ist ungefähr 3-Größe und besitzt starke Eigenbewegung. Die früheren Versuche seiner Parallaxe zu bestimmen, hatten bereits wahrscheinlich gemacht, daß er zu den uns älteren Protoplasma gehört. Die neue Untersuchung von Russell beruht auf acht photographischen Platten und bei den Ausmessungen wurde die Position des Sterns mit derjenigen von neun andern Sternen 7. bis 9-Größe verglichen, um die Verschiebungen infolge der jährlichen Bewegung der Erde möglichst schärf zu ermitteln. Als

Ergebnis fand sich für die Parallaxe des Sterns der Wert  $\pi = 0.344''$  mit einem wahrscheinlichen Fehler von 0.013''. Die früheren Versuche von Wincke, Kapteyn und Flut hatten auf eine Parallaxe von 0.5'' bis 0.6'' geführt. Die Berechnung der Parallaxe durch Russell zeigt weiter, daß die Parallaxe der neun Vergleichsterne ziemlich klein und diese Voraussetzung ist nicht in aller Strenge richtig, vielmehr ist wahrscheinlich, daß die durchschnittliche Parallaxe dieser Vergleichsterne nahezu 0.007'' beträgt, um diesen Betrag wird also der oben angegebene Wert der relativen Parallaxe zu vergrößern um die absolute Parallaxe des Sterns Lalande 21445 zu erhalten. Weiter ergibt sich, daß die absolute Leuchtkraft dieses Sterns nur etwa  $\frac{1}{10}$  von derjenigen unserer Sonne ist und die Geschwindigkeit mit der sich derselbe durch den Raum fortbewegt, ungefähr zu unserer Geschwindigkeit gemessen, 65 mal in der Sekunde beträgt.

(Schluß folgt.)

\*) Monthly Notices, Vol. LXV 1905, No. 8, Vol. LXVII 1907, No. 2.

## Eine angeblich neue Erfindung auf dem Gebiete des achromatischen Fernrohrs.

In der amerikanischen Zeitschrift Science wird berichtet, es sei einem angesehnen Glaskünstler nach mehrjährigen Versuchen gelungen, achromatische Objektivlinsen herzustellen, indem er mit Flüssigkeit gefüllte Glaskugeln verwendete. Diese Linsen seien ebenso achromatisch wie die besten aus Kronglas- und Flintglas hergestellten Objektive und könnten zudem weit größer hergestellt werden.

Die große Bedeutung dieser Erfindung auf dem Gebiete der Astronomie, heißt es in einem optischen Fachblatt, liegt auf der Hand. Der größte, bisher aus solidem Glas hergestellte Linsen zu astronomischen Zwecken hat einen Durchmesser von 15 m und benötigte einige Jahre zu ihrer Herstellung, während der Preis derselben sich auf einige hunderttausend Mark belief. Eine derartige Linse läßt sich nun in einigen Wochen zum Preise von 2000 bis 3000 Mark anfertigen. Der Preis einer Glaskugel von 24 cm und bayerndeutscher Herkunft beträgt zumal ungefähr 7000 Mark, dieselbe Linse nach dem neuen Verfahren kostet ca. 150 Mark. Linsen von kleinerem Durchmesser für photographische Zwecke, für Ötoprismen, Leuchtapparate lassen sich entsprechend billiger herstellen.

Die Linse besteht aus einer Flüssigkeit, die zwischen zwei ungetriebenen harten, ungläsernen flachen Oberflächen gefaßt ist, deren Brechung mit anderen optischen Eigenschaften so gewählt wird, daß das Glas nicht mit dem Licht, die Flüssigkeit aufnimmt, sondern im Verlaufe mit dieser jene Fehler zu korrigieren, die in gewöhnlichen Linsen sich bemerkbar machen lassen. Aus diesem Grunde ist auch die Linse achromatisch.

Die Flüssigkeit der Linse ist hermetisch abgeschlossen, so daß keine Luftzutritte und damit schädlichen Einfluß ausüben können. Die Flüssigkeit verdunstet nicht, ihre Zusammensetzung ist also derartige, daß sie weder durch die Zeit noch die Temperatur eine Änderung erfährt.

Diese kugelförmigen Linsen werden besonders in Österreich angefertigt und finden die Aufmerksamkeit auf sich sowohl wegen ihrer Nützlichkeit als auch des billigen Verkaufspreises wegen. Auslandsaufträge sind erworben worden, so daß sie bald im Handel erscheinen werden.

Wer etwas von der Geschichte des Fernrohrs kennt, weiß, was es mit der Neuerung dieser Erfindung auf sich hat. Da man annehmen darf, daß auch die Mitglieder der ausserartigen Patentämter nicht völlig unbewandert auf diesem Gebiete sein dürfen, kann man annehmen, daß es mit den bereits genannten Auslandsaufträgen auf die Erfindung nicht ist. Der ungarische Chemiker hatte sich um ein Arbeitspaar bemühen, wenn er sich vorher auf dem Gebiete der Objektivenkomposition hatte. Er würde dann glücklich haben, daß die von ihm konstruierten Objektive mit Flüssigkeit gefüllt bereits vor mehr als 110 Jahren von Star und von Babinet konstruiert worden sind und unter der Bezeichnung sphärische Teleskope schon in Göttinger physikalischen Wörterbuch beschrieben worden. Wenn die moderne Optik solche Teleskope nicht benötigt, so hat sie ihre guten Gründe dafür, die jenen Patenteur bekannt sind.

## Vermischte Nachrichten.

**Die Gradmessung durch Afrika.** Auf dem Kongreß für internationale Erdmessung, der Ende September v. J. in Budapest stattfand, wurde unter anderem auch über die Fortschritte der afrikanischen Gradmessung berichtet. Auf Veranlassung des verstorbenen Carl Rhodes hatte die englische South African Company die Vermessung auf dem durch Rhodes führenden 30 Meilen starken Ise-Owelo durchgeführt, und es handelte sich nun zunächst um die Verbindung von Owelo mit der bis zum Limpopo reichenden Transvaal-Transgression. Für diesen Arbeit wollte die afrikanische Gesellschaft nur die Hälfte der 30000 Mark betragenden Kosten übernehmen, doch gelang es, durch die Unterstützung der Royal Society, der British Association, der Geographical Society und des Sir John Wernher, die andere Hälfte aufzubringen, so daß im Juni v. J. die Arbeiten durch Kapitän Gordon begonnen werden konnten und in wenigen Monaten beendet waren. Auch ist bereits eine vollständige Rekonvergenz des zum Tanganyika angeschlossen worden. Außerdem beruht Kapitän Lyons die Fortführung der Messung in Ägypten abwärts von Es handelt sich nun darum, daß die deutsche Regierung die Verbindung des ägyptischen Transvaal-Kontinents mit dem afrikanischen übernehme. Die Verhandlungen darüber dauern unter Mitwirkung der Berliner Akademie der Wissenschaften nun schon etwa vier Jahr, doch vermehrte Geheimnis Halbes, der Direktor unserer Geodätischen Institut, sei dem Kongreß nicht in Aussicht zu stellen, daß das Deutsche Reich mit der Messung auf der Strecke Tanganyika — Kairo gleich begonnen würde. Es scheint, daß hier die künftige Geldlage wieder die Hauptrolle spielt. Es dürfte wohl wohl angenommen sein, daß das Deutsche Reich an diesem Werke sich nicht betheiligen, es durch

bei uns sich solchen Sachen nur immer etwas lange.)

**Die Bedeutung der Astronomie und ihrer geographisch-physikalischen Grenzgebiete für die Ausbildung an der Handelshochschule zu Dan.** Adolf Marcon (Jüngl.) in Köln stellt diese darlegte.)

«Die Astronomie, die genaueste und zugleich älteste unter den Naturwissenschaften,» bezeichnet zunächst, «als eine erfindenden, veredelnden und allgemein erscheinenden Fächer aus. Da alle Bewegungen im Kosmos nach großen, unbedingten Gesetzen sich vollziehen, läßt ein Erkennen derselben den Menschen über das Vergängliche und Wechselhafte des Lebens, zugleich erweitert die Astronomie den Blick, so dem wir aus engen lokalen Ansichten empor zu einer weltlichen Weltanschauung führt.

Nach ihrer ganzen historischen Entwicklung ist die Himmelskunde eine stetig fortschreitende Naturwissenschaft, die den mit ihr sich Beschäftigenden unmittelbar in die Natur stellt. Sie enthält sie zu einer natürlichen, gesunden und richtigen Betrachtungsweise der Dinge, welche für alles Denken und Tun von großer Bedeutung ist. Außerdem streift die Astronomie zur Geographie und ganz unmittelbar zum «Wagen vor dem Wagen».

Zu dieser allgemein wissenschaftlichen und pädagogischen Bedeutung kommt noch hinzu, daß die Methoden der astronomischen Forschung von großer Einfachheit, scharfer Durchsichtigkeit und exponenrender Existenz im Laufe der Jahrhunderte geworden sind, so daß der Student derselben auch für andere, seien es Natur- oder Geisteswissenschaften vorbildlich sein kann im Blick die Aufmerksamkeit höher die

<sup>1</sup> Globus 1898, S. 325.

<sup>2</sup> Handelshochschulnachrichten, Nr. 1

einige unter allen Naturwissenschaften, welcher die Auflösung eines wahren Naturgesetzes mit unbeschränkter, räum- und zeitdurchdringender Kraft in Form des allgemeinen Massengesetzes gelingen ist.

Aber die Astronomie ist nicht nur von Idealen, pädagogischer und vorbildlicher Bedeutung, sondern auch von schranken außerordentlich Wissenschaft hat zugleich einen so politischen Wert, daß über sie wichtige Gebiete moderner Kultur- und Handelsentwicklung verlaufen müssen. Auf Anwendungen der Himmelskunde beruhen teilweise als Ortsbestimmungen und Orientierungen bei Fortbewegungen im Wasser, auf dem Lande und in der Luft, leitet der öffentliche Zeitdienst, die wichtigsten kartographischen Einrichtungen und endlich das gesamte Kalenderwesen.

So steht die Astronomie in engster Berührung mit Geographie, Schifffahrt, Aeronautik und Chronologie, je man kann ohne Übertreibung sagen, daß die Astronomie, die Naturwissenschaft der Weltkarte, wegen des Bedürfnisses des Welthandelsverkehrs insoweit dient, als sie durch Sicherung der Schifffahrt und Regelung des Zeitdienstes auch den schnellen und ungehinderten Austausch der Güter über die ganze Erde unterstützen befördert.

Eine gleiche Bedeutung für die Ausbildung in der Handelshochschule wie der Astronomie, kommt den mit der Himmelskunde in engster Berührung stehenden Gebieten der Erdvermessung und Erdphysik zu, wie am Schluß dieser abstraktesten Betrachtungen noch kurz hervorgehoben werden soll. Die Lehre von der Gestalt und Größe der Erde, die auch die Kunst, genaue Karten nach Terrainaufnahmen herzustellen und zu benutzen, umfaßt, besitzt einen hochverdienstlichen Wert für die Ausgestaltung des Welthandelsverkehrs. Die Lehre vom Erdbaugewölbe, von den Grenzen der Meere und von den Bewegungen in der Atmosphäre, die Wind

und Wetter vertragen, gehören ebenfalls zu denjenigen Grundgebieten zwischen Aeronautik und Geographie, deren Kenntnis nicht nur zur wissenschaftlichen, sondern auch zur praktischen Ausbildung des in fremden Ländern reisenden Kaufmanns notwendig sind. Dem gilt besonders auch im Hinblick auf unsere gegenwärtige Entwicklung, die, wenn auch unter militärischem Schutze, so doch vor allem nur auf merkantiler und wissenschaftlicher Grundlage zu kräftiger Höhe gebracht werden kann.

Es darf daher im Hinblick auf die vorangehenden Betrachtungen als ein beachtliches Zeichen eines weitbildigen Verstandes begrüßt werden, daß an einem, der Ausbildung des Kaufmanns gewidmeten wissenschaftlichen Institute (der Handelshochschule in Berlin) auch für Astronomie, astronomische Geographie und Erdphysik ein besonderer Lehrstuhl in Erweiterung des allgemeinen geographischen Unterrichts geschaffen worden ist.

Der internationale Erdbebendienst zu Ermittlungen der Erdbebenschwankungen im Erdbörper, der jetzt sowohl auf der nördlichen wie auf der südlichen Erdhalbkugel, nämlich in Sardinien, Nordamerika, Japan, Rußland, Australien und Südamerika funktioniert, hat ergeben, daß jene Erdbebenschwankungen, durch die kleinen periodischen Änderungen der geographischen Koordinaten der Erdorte verursacht werden, durchaus unregelmäßig sich verhalten. Es scheint danach, als ob diese periodischen Wanderungen der geographischen Pole auf der Erdoberfläche, die nach allen Richtungen hin sich bis zu etwa 10 cm auf der Oberfläche unseres Planeten ausbreiten können und die Bestimmung von Breite und Länge eines Ortes als mit der Zeit veränderlich gestalten, infolge auffälliger allgemeiner Gesetze gebunden. Man weiß allerdings, daß solche kleine periodische Schwankungen der Erdsche im Erdbkörper durch wechselnde

Erleuchtungen des Erdbodens infolge meteorologischer, hydrographischer und astronomischer Vorgänge vorzuzichtworten, also eine Folgeberechnung von Bewegungen in der Atmosphäre, Hydrosphäre und Lithosphäre anderer Erde darstellt. Aber, da die genaue astronomischen Beobachtungen zu dem aus, eignen zu diesem Zweck von der internationalen Erdmessung eingerichteten internationalen Bestimmungsorten bisher kein allgemeines Gesetz in dem Verhalten der Erdoberflächenschwankungen erkennen lassen, wird ganz Bestrebend wohl dauernd im Gange gehalten werden müssen. Nur so ist es möglich, die für astronomische, geodätische und geographisch genaue Messungen notwendigen Reduktionen zu Mitteln zu erhalten, die in den geringsten Bestimmungen der geographischen Koordinaten sich Fehlerchen ausbreiten und, um sie wirklich voneinander zu befreien zu bringen.

**Flecke auf der Oberfläche des J. Jupitermondes.** Unter den Trabanten des Jupiter ist der dritte bei weitem der größte, sein Durchmesser beträgt 1760 km, während der Durchmesser unseres Mondes nur 1430 km mißt. Wegen der großen Entfernung des Jupiter erscheint uns der Durchmesser seines dritten Mondes gleichwohl nur unter einem Winkel von höchstens 1 3/4°, man sieht daher schon zu ruhigen Fernsehern denselben Mond als kleines Scheibchen, aber es gehört als kostbares Instrument, sehr klare, ruhige Luft und starke Vergrößerung dazu, um auf diesem Scheibchen Spuren von hellen oder dunklen Detail wahrzunehmen. Von älteren Wahrnehmungen dieser Art sind nur diejenigen von Deser, um die Mitte des vorigen Jahrhunderts, sicher, da sie 1891 durch

die Beobachtungen von Campbell und Scherzer zu großen Lichtverlusten beseitigt wurden. Manmer macht jetzt Comas Solé, Direktor des Observatoriums zu Barcelona die Mitteilung,<sup>1)</sup> daß er mit dem dortigen 16-zölligen Refraktor am 23. November 1906 auf der Oberfläche dieses Trabanten deutlich einen hellen und dunklen Fleck aufgefunden habe. Der helle Fleck stellte sich als ungefähr runder Pellerfleck (am Nordrande des Trabanten) von bläulich weißer Farbe dar, umgeben von einer dunklen Umrandung, ungefähr so, wie man diese in dem Pellerfleck des Mars sieht. Die angegebenen Vergrößerungen waren 450- bis 750fach. Mit Interesse war die Wahrnehmung der Flecke bekannt, so daß der Beobachter glaubt, dieselben hätten auch zu viel kleineren Fernsehern wahrgenommen werden können. Die Beobachtungen fanden zu zwei Nächten von 13<sup>h</sup> bis 14<sup>h</sup> 15<sup>m</sup> statt und während dieser Zeit ließ der helle Pellerfleck keinen Verdacht an seiner Position erkennen. Die dunklen Flecke auf der Scheibe saßen in ihrem Aussehen und ihrer Form einige Ähnlichkeit mit den dunklen Marsflecken.

**Vorrede für Freunde der Himmelsbeobachtung.** Aus dem Leserkreis des „Stern“ und aus mehrere großen und kleinen sehr gut erhaltenen Fernseher zum Verkauf angeboten werden. Freunden der Himmelsbeobachtung, welche die Anschaffung eines solchen Instrumentes beabsichtigen, und sich desselben zu nützen werden, bin ich zu jeder gewünschten Auskunft gerne bereit. Prof. Dr. Klein

<sup>1)</sup> *Astroph. Nachr.*, Nr. 2102.

**Astronomischer Kalender für den Monat  
Mai 1967.**

Season				Month			
Mature Soilers Mating				Mature Soilers Mating			
Measure Type	Stage M.E. - F.L.	Substratum	Cellulose	Substratum	Cellulose	Moist in Month	
1	0	0	0	0	0	0	0
2	0	0	0	0	0	0	0
3	0	0	0	0	0	0	0
4	0	0	0	0	0	0	0
5	0	0	0	0	0	0	0
6	0	0	0	0	0	0	0
7	0	0	0	0	0	0	0
8	0	0	0	0	0	0	0
9	0	0	0	0	0	0	0
10	0	0	0	0	0	0	0
11	0	0	0	0	0	0	0
12	0	0	0	0	0	0	0
13	0	0	0	0	0	0	0
14	0	0	0	0	0	0	0
15	0	0	0	0	0	0	0
16	0	0	0	0	0	0	0
17	0	0	0	0	0	0	0
18	0	0	0	0	0	0	0
19	0	0	0	0	0	0	0
20	0	0	0	0	0	0	0
21	0	0	0	0	0	0	0
22	0	0	0	0	0	0	0
23	0	0	0	0	0	0	0
24	0	0	0	0	0	0	0
25	0	0	0	0	0	0	0
26	0	0	0	0	0	0	0
27	0	0	0	0	0	0	0
28	0	0	0	0	0	0	0
29	0	0	0	0	0	0	0
30	0	0	0	0	0	0	0
31	0	0	0	0	0	0	0

Received 10 May 2007; accepted 10 May 2007

Med	1	29 1/2	Mars in Konjunktion mit Venus, Mars 1 <sup>te</sup> u. 2 <sup>te</sup> st. abh.
"	2	4	Mars in Konjunktion mit dem Monde
"	7	22	Merkur grüßt mit hellem Strich
"	9	10	Venus in Konjunktion mit dem Monde
"	10	22	Venus in Konjunktion mit dem Monde
"	20	22	Merkur in Konjunktion mit dem Monde
"	22	4	Jupiter in Konjunktion mit dem Monde
"	22	26	Merkur im aufsteigenden Knoten
"	24	14	Jupiter in Konjunktion mit Venus, Jupiter 1 <sup>te</sup> u. 2 <sup>te</sup> st. abh.
"	26	14	Venus grüßt mit hellem Strich
"	26	20	Merkur in seiner Konjunktion mit der Sonne.
"	26	9	Merkur am Perihel.
"	28	9	Mars in Konjunktion mit dem Monde



**Planeten-Ephemeriden.**

Mittlerer Solarer Mittag					Pörtlener Solarer Mittag						
Jahr	Rechnungsort			Ostere-Mittlerer Sonntag	Jahr	Rechnungsort			Ostere-Mittlerer Sonntag		
	h	m	s			h	m	s			
Mars					Mars						
1897	1	59	49.00	+ 3 50 30.7	22.41	1	59	49.00	— 4 19 44.7	22.41	
20	2	7	3.39	30.00 22.6	22.60	18	35	49.55.50	— 5 50 47.5	20.37	
30	3	49	09.37	54.48 21.7	22.20	28	25	49.59.00	— 7 39 29.8	19.31	
40	3	34	59.37	39.34 21.0	22.37						
50	4	9	39.11	21.39 20.3	22.5						
60	4	01	39.09	— 0.32 19.50.0	22.59						
Venus					Venus						
1897	0	0	37.30.00	+ 3 53 30.3	21.40	1	19	39	1.30	— 00.33 7.6	19.37
20	0	09	04.33	4.07 6.3	21.34	12	19	39	14.50	— 20.15 19.7	18.34
30	1	01	00.7.4	8.41 09.0	21.04	22	19	39	34.30	— 40.14 40.7	17.32
40	2	02	00.00	9.02 19.0	21.42						
50	3	7	4.05	51.49.0.0	22.0						
60	3	00	39.04	— 4.05 9 7.0	22.0						
Mercur					Mercur						
1897	0	20	0	5.79	— 01.1.00.0	20.11					
20	0	20	0	32.94	01.0.30.0	20.09					
30	0	20	0	0.10	01.10.10.0	20.44					
40	0	20	0	42.10	01.30.00.0	21.09					
50	0	20	0	14.04	01.50.10.0	21.10					
60	0	20	0	37.04	— 01.09.00.0	21.05					
Jupiter					Jupiter						
1897	0	0	31	10.19	— 0.03.04 1.0	0.04					
20	0	34	39.34	31.10 07.0	0.03						
30	0	47	10.00	— 0.04.30 44.0	0.01						
Saturn					Saturn						
1897	0	0	0	0.00	— 0.00.00 0.00	0.00					
20	0	0	0	0.00	— 0.00.00 0.00	0.00					
30	0	0	0	0.00	— 0.00.00 0.00	0.00					
40	0	0	0	0.00	— 0.00.00 0.00	0.00					
50	0	0	0	0.00	— 0.00.00 0.00	0.00					
60	0	0	0	0.00	— 0.00.00 0.00	0.00					

Lage und Größe des Saturnrings und im Monat Mai  
siehe zu beobachten.

1897 1898 1899  
März 10. Mitternacht der Nacht  
März 10. Mitternacht der Nacht  
März 10. Mitternacht der Nacht  
März 10. Mitternacht der Nacht

1897 1898 1899  
März 10. Mitternacht der Nacht  
März 10. Mitternacht der Nacht  
März 10. Mitternacht der Nacht  
März 10. Mitternacht der Nacht

Stärkenbedeckungen für Berlin Berlin im Jahr 1897 nicht halt

Stellungen der Jupitermonde im Mai 1907.

I.		II.	
III.		IV.	

Stellungen am 1. 5. 1907 für den Meridian des astronomischen Observatoriums.

Tag	West.	Ost.
1	10 10	10 10
2	10 10	10 10
3	10 10	10 10
4	10 10	10 10
5	10 10	10 10
6	10 10	10 10
7	10 10	10 10
8	10 10	10 10
9	10 10	10 10
10	10 10	10 10
11	10 10	10 10
12	10 10	10 10
13	10 10	10 10
14	10 10	10 10
15	10 10	10 10
16	10 10	10 10
17	10 10	10 10
18	10 10	10 10
19	10 10	10 10
20	10 10	10 10
21	10 10	10 10
22	10 10	10 10
23	10 10	10 10
24	10 10	10 10
25	10 10	10 10
26	10 10	10 10
27	10 10	10 10
28	10 10	10 10
29	10 10	10 10
30	10 10	10 10
31	10 10	10 10

**Erhebungen der Jupitermonde.** Die obigen Angaben über die Erhebungen der Jupitermonde beruhen auf der Zeit von Greenwich. Die Tabellen sind der Reihenfolge nach Alkaiden vom Jupiter nach und 1 bis IV benannt. Die vier größten Figuren zeigen die Stellung jedes Mondes mit Bezug auf den Jupiter für den Augenblick der Verfinsternng (A) oder des Wiederaufgehens (B) bei  $t$  nicht angegeben, im Falle der Abweichung aus dem Schatten nicht beobachtet werden. Ferner befindet sich bei den nachfolgenden Zeitangaben:

- Es D das Verschwinden des Trabanten im Schatten des Jupiter
- Es R den Ausritt des Trabanten aus dem Schatten des Jupiter
- Os D das Verschwinden des Trabanten hinter der Jupiterscheibe
- Os R das Wiederaufgehen desselben neben der Jupiterscheibe
- Tr E den Eintritt des Trabanten vor die Jupiterscheibe
- Tr E den Ausritt des Trabanten von der Jupiterscheibe
- Rh E den Eintritt des Trabantenrücktritts auf die Jupiterscheibe
- Sh E den Ausritt des Trabantenrücktritts aus der Jupiterscheibe

Es sind nur diejenigen Erhebungen der Jupitermonde aufgeführt, welche sich erwarten, wenn Jupiter zu Greenwich über und die Sonne unter dem Horizont steht. Um die Momente dieser Erhebungen nach universeller Zeit zu finden, hat man nur nötig,  $t$  zu den angegebenen Zeitpunkten zu addieren.

Mal 1. I. Tr. I. 17<sup>h</sup> 30<sup>m</sup>. I. Sa. I. 17<sup>h</sup> 30<sup>m</sup>. I. Tr. II. 17<sup>h</sup> 41<sup>m</sup>. I. Sh. II. 17<sup>h</sup> 47<sup>m</sup>.  
 Mal 2. I. Es. R. 17<sup>h</sup> 47<sup>m</sup>. Mal 3. II. Tr. I. 17<sup>h</sup> 47<sup>m</sup>. II. Sh. I. 17<sup>h</sup> 50<sup>m</sup>. II. Tr. II. 17<sup>h</sup> 50<sup>m</sup>. Mal 4. I. Tr. I. 17<sup>h</sup> 50<sup>m</sup>. I. Sh. I. 17<sup>h</sup> 55<sup>m</sup>. Mal 5. I. Os. D. 17<sup>h</sup> 55<sup>m</sup>. II. Sh. II. 17<sup>h</sup> 55<sup>m</sup>. I. Es. R. 17<sup>h</sup> 55<sup>m</sup> 30<sup>s</sup>. Mal 6. I. Sh. II. 17<sup>h</sup> 55<sup>m</sup>. II. Tr. I. 17<sup>h</sup> 55<sup>m</sup>.  
 Mal 7. II. Es. R. 17<sup>h</sup> 55<sup>m</sup> 41<sup>s</sup>. Mal 8. IV. Sh. I. 17<sup>h</sup> 55<sup>m</sup>. Mal 9. I. Os. D. 17<sup>h</sup> 55<sup>m</sup>.  
 Mal 10. Tr. II. 17<sup>h</sup> 55<sup>m</sup>. II. Sh. I. 17<sup>h</sup> 55<sup>m</sup>. Mal 11. I. Sh. I. 17<sup>h</sup> 55<sup>m</sup>. I. Tr. II. 17<sup>h</sup> 55<sup>m</sup>.  
 Mal 12. I. Sh. I. 17<sup>h</sup> 55<sup>m</sup>. Mal 13. IV. Os. D. 17<sup>h</sup> 55<sup>m</sup>. Mal 14. I. Tr. I. 17<sup>h</sup> 55<sup>m</sup>. I. Sh. I. 17<sup>h</sup> 55<sup>m</sup>.  
 Mal 15. I. Es. R. 17<sup>h</sup> 55<sup>m</sup> 30<sup>s</sup>. Mal 16. II. Os. D. 17<sup>h</sup> 55<sup>m</sup>. Mal 17. III. Es. R. 17<sup>h</sup> 55<sup>m</sup>. Mal 18. II. Tr. I. 17<sup>h</sup> 55<sup>m</sup>. II. Sh. II. 17<sup>h</sup> 55<sup>m</sup>.

## Stellungen der Saturnsmonde. (Erdzeitung S. 30.)

Zeiten der heliischen Eruptionen im Mai 1905

Tethys. Mai 10. 17<sup>h</sup> 14<sup>m</sup>; Mai 14. 17<sup>h</sup> 14<sup>m</sup>; Mai 18. 17<sup>h</sup> 14<sup>m</sup>; Mai 22. 17<sup>h</sup> 14<sup>m</sup>; Mai 26. 17<sup>h</sup> 14<sup>m</sup>;  
 May 30. 17<sup>h</sup> 14<sup>m</sup>; Mai 34. 17<sup>h</sup> 14<sup>m</sup>; Mai 38. 17<sup>h</sup> 14<sup>m</sup>; Mai 42. 17<sup>h</sup> 14<sup>m</sup>; Mai 46. 17<sup>h</sup> 14<sup>m</sup>;  
 Dione. Mai 10. 17<sup>h</sup> 14<sup>m</sup>; Mai 14. 17<sup>h</sup> 14<sup>m</sup>; Mai 18. 17<sup>h</sup> 14<sup>m</sup>; Mai 22. 17<sup>h</sup> 14<sup>m</sup>; Mai 26. 17<sup>h</sup> 14<sup>m</sup>;  
 Mai 30. 17<sup>h</sup> 14<sup>m</sup>; Mai 34. 17<sup>h</sup> 14<sup>m</sup>;  
 Rhea. Mai 10. 17<sup>h</sup> 14<sup>m</sup>; Mai 14. 17<sup>h</sup> 14<sup>m</sup>; Mai 18. 17<sup>h</sup> 14<sup>m</sup>; Mai 22. 17<sup>h</sup> 14<sup>m</sup>;  
 Titan. Mai 10. 17<sup>h</sup> 14<sup>m</sup> I; Mai 14. 17<sup>h</sup> 14<sup>m</sup> II; Mai 18. 17<sup>h</sup> 14<sup>m</sup> III; Mai 22. 17<sup>h</sup> 14<sup>m</sup> IV;  
 Iapetus. Mai 14. 17<sup>h</sup> 14<sup>m</sup> II.



Berlin 1905.

Tafel IV

Giacobbin Comet (1905-c) on 7. Januar 1906. 21" 45" G. M. Z.  
 Photographed von Prof. E. E. Barnard.



# SIRIUS.

Zeitschrift für populäre Astronomie.

Centraleorgan für alle Freunde und Förderer der Himmelskunde.

Herausgegeben

unter Mitwirkung hervorragender Fachmänner und wissenschaftlicher Mitarbeiter

von Prof. Dr. Hermann J. Krüger u. A. M.

April 1907.

„Wissen und Erwissen sind die Freude und die  
Errettung der Menschheit.“ Erasmus.

Jeden Monat 1 Heft. — Jährlich 12 Mk.

Verlag von EDUARD HEINRICH MAYER in Leipzig.

**INHALT.** Von Sonnenobservatorien Mount Wilson in Californien. (Erscheint Heft V.) S. 75. — Der Nord und sein Licht und das Wetter. S. 76. — W. B. (Anfang über die Route des Nord. S. 78. — Das Feuer 1894 TU (1895). S. 82. — Neue Entdeckungen von Plutonipassanten durch geographische Aufstellungen. (Schluß.) S. 83. Neue Untersuchungen über die Plutonen von Plutonen durch Beobachtungen. S. 85. — Plutonen (Neu) Schen. S. 86. — Astronomische Kalender. S. 90. — Beiträge der japanischen. S. 91. — Entdeckungen der japanischen. S. 92. — Beiträge der japanischen. S. 93.

## Vom Sonnenobservatorium Mount Wilson in Californien.

(Erscheint Heft V.)

**B**ereits früher wurde im „Sirius“ über die Gründung dieses astrophysikalischen Observatoriums berichtet<sup>1)</sup> und ebenso über das große 5 Fußige Spiegelteleskop, das dort Aufstellung gefunden hat<sup>2)</sup>, endlich über den 100 Zoll im Durchmesser haltenden Spiegel, des Ritchey auf Kunden von John C. Houder für dieses Observatorium in Arbeit genommen hat<sup>3)</sup> und der weltweit die wichtigste Instrumente sein wird, mit welchem jenseits des Himmelsflusses durchforscht werden. Jetzt legt nun der Bericht des Direktors Prof. George

E. Hale über die Tätigkeit des Observatoriums während des mit dem 30 September 1906 anfallenden Berichtsjahres vor<sup>4)</sup>. Wir entnehmen demselben zunächst, daß Länge und Breite des Observatoriums inzwischen genauer bekannt worden sind und zwar die geographische Länge im Anschluß an Los Angeles. Es ergab sich für den Standpunkt des Sonnen-Teleskops auf Mount Wilson:

geogr. Breite  $34^{\circ} 12' 58.33''$

„ Länge  $118^{\circ} 3' 34.69''$

westlich von Greenwich

<sup>1)</sup> Sirius 1905, S. 97.  
<sup>2)</sup> Sirius 1905, S. 56.  
<sup>3)</sup> Sirius 1905, S. 288.

Sirius 1906, Heft 4.

<sup>4)</sup> Fifth Year Book of the Carnegie Institution of Washington p. 60-65, Washington 1907.

Als wichtiges Ereignis für die Observatorium hat Direktor Hale zunächst das Geschenk von 45000 Dollars hervorzuheben, welches Henry Hooper aus Los Angeles für die Anschaffung des Spiegels von 100 Zoll Durchmesser und 50 Fuß Brennwerte gespendet hat. Ein solches Instrument, welches 27 mal so viel Licht sammelt als der größte Reflektor, wird gestiftet, die Arbeiten der Observatorium erheblich weiter auszustatten. Das Hauptforschungsfeld desselben liegt in der Klärung des Problems der Entwicklungs Geschichte der Sterne. Wie Prof. Hale schon früher auszusagen pflegte hat, kann dieses Problem auf den konvergierenden Linien in Angriff genommen werden, nämlich zunächst durch das Studium der Sonne als eines typischen (und unseres Himmels als eines letzten ungeschlossenen) Sternes, dann durch das Studium der Fixsterne und Nebel und deren Beziehungen zu einander und zu der Sonne, endlich durch sorgfältige Experimente im Laboratorium.

Bei den Laboratoriumsarbeiten hat es der Forscher in der Hand, die für die Zwecke einer bestimmten Untersuchung geeigneten Mittel zu benutzen. Ist z. B. eine Lichtquelle zu schwach, so kann er sie durchgängig bis zu dem Grade verstärken, der für Untersuchung durch die stärksten Spektrographen ermöglicht. Im Falle der sich von Sterne handelt, haben wir kein Mittel die Bedingungen des Versuchs zu beherrschen, und gerade hier kommt es häufig vor, daß die Sterne, welche die interessantesten und wichtigsten Eigenschaften darbieten, so lichtschwach sind, daß eine genaue Analyse ihres Lichtes unmöglich wird. In diesem Falle wird ein Spiegelteleskop von 100 Zoll Durchmesser durch seine ungeheuren Lichtstärke vom größten Nutzen sein. Das natürliche gilt bezüglich der Untersuchungen von Spiegelscheiben, denn nur wenige derselben sind groß und hell genug, um in den Bereich der bis jetzt verwendeten photographischen Verfahren zu fallen. Auch sind bei ihnen

die Veränderungen der Gestalt so langsam, daß solche auch in keinem einzigen Falle mit den uns zu Gebote stehenden Mitteln nachgewiesen werden konnten. Hauptsächlich und Tausende von kleinen Mitteln dieses Typus, deren Existenz als bemerkenswertes Faktum durch den Cassegrainreflektor erwiesen ist, erscheinen auf der photographischen Platte so wenig, daß wenig über ihre wahre Natur daraus zu entnehmen ist, während ein 100zölliger Spiegel von 50 Fuß Brennwerte eine unzählige Menge solcher Objekte, zum größten Vorteile für die Forschung, am Licht ziehen wird. Mit Rücksicht auf die Arbeiten von Chamberlain und Moulton über die Nebularhypothese und auf die chemischen Studien über Spektralanalyse, bei denen letzterer beschäftigt ist, würden die Tatsachen der Wirklichkeit, welche das neue Instrument liefern kann, von größtem Werte sein. Das Geschenk Hoopers ist auch besonders deshalb willkommen, weil es dem Sonnenobservatorium ein gestiftet wird, ist, nach Vollendung des 60zölligen Reflektors, die geschicktesten Optiker weiter zu beschäftigen, die durch Blinder für ihre schwierigen und delikaten Arbeiten geschult worden sind. Die Frage nach der Art und Weise der Beobachtung, braucht noch nicht erörtert zu werden, bis der 60zöllige Reflektor, der sich jetzt auf Mount Wilson befindet, eingehend geprüft sein wird.

Die zweite wichtige Tatsache, welche Prof. Hale hervorhebt, ist die Aufstellung und der vorläufige Beweis der Hypothese, daß die chaotischen Erscheinungen, welche die Spätstadien der Sonnenflecken bedecken, später werden durch die Annahme, daß die Temperatur der Metalldampfe innerhalb der Sonnenflecken niedriger ist, als die Temperatur in der umliegenden Schicht der Sonnenatmosphäre. Die Sonnenfleckenspektren haben lange Jahre hindurch ein interessantes Problem für die Sonnenphysiker gestellt, denn die Tatsache, daß manche Linien bestimmter Metalle im Flecken-

spektrum verdeckt, sondern geschwächt oder ausgeblendet waren, hat zu manchen Spektrallinien über die Ursache dieser Erscheinung größte Ähnlichkeit. (Holtz, Prof. H. H. Holtz, unsere Hypothese noch nicht über die ersten Stufen hinaus ist, so ist doch nachgewiesen und zwar durch unsere Arbeiten im Laboratorium, daß die größte Zahl der Spektrallinien, die in den Flammen verdeckt erscheinen, ebenfalls in den Laboratoriumsflammen verdeckt auftreten, wenn die Temperatur des Dampfes, dem sie für Entzünden verwendet, sinkt, und daß in ähnlicher Weise die Linien, welche in den Sonnen-Flammen schwächer auftreten, auch in den Laboratoriumsflammen geschwächt erscheinen. Eine Bestätigung der Richtigkeit seiner Hypothese findet Prof. H. H. Holtz auch in der Tatsache, daß spektroskopische Erscheinungen ähnlich den in den Sonnenflammen auftretenden, auch charakteristisch für die Spektren gewisser Feuerwerke sind, welche gemäß vielen Ansichten über Sonnenentzündung als kälter wie unsere Sonne betrachtet werden müßten.

Was die Montierung des 80 Zolligen Spiegels anbelangt, so schreibt sie gelegentlich des großen Erdbebens von San Francisco in Gefahr, denn die Union Iron-Works dasselbe, wo die sich in Arbeit befindet, wurden auch von der Erschütterung getroffen, doch ist die Montierung glücklicherweise nicht. Es scheint sich jetzt mit Maxell Wilson und die Anstellung scheint zu verlängert, daß voraussichtlich bis zum Herbst 1907 die Beobachtungen beginnen können. Das Sonnensystem zu jedem klaren Morgen und Nachmittag mit dem Spektrophotographen aufgenommen und nur werden Photographen mit der Kamera, Wasserstoffs- und Eisenflammen erhalten, gleichzeitig mit solchen der Chromosphäre und der Protuberanzen im Kalziumlicht. Um die holographischen Linsen und Bräun auf der Sonnenscheibe zu befestigen, bedarf man sich einer Vorrichtung, welche mechanisch, ohne Berührung sehr genaue Resultate gibt und

das Arbeit von mehreren Bedienten inakt. Das Sonnenscheibensystem auf Maxell Wilson im Übergang der internationalen Vereinigung für Sonnenbeobachtung begründet, welche am vergangenen Sonntag zu Oxford ins Leben trat und die Mitglieder von Observatorien in Indien, Sibirien, Deutschland, Frankreich, Spanien, England, Mexiko und den Vereinigten Staaten nach gemeinsamen Platz und mit möglichst gleichen Spektroskopieapparaten stehen, so daß die Sonnenscheibenscheibe unmittelbar beobachtet wird. Während des Jahres waren die Herren W. S. Adams und F. Ellermann mit den Sonnenbeobachtungen am Sonne-Teleskop beschäftigt, Dr. G. Gale besorgte die spektroskopischen Arbeiten im Laboratorium, Dr. H. K. Palmer die holographischen Untersuchungen mit dem Sonne-Teleskop, G. W. Bailey hatte die erste Leitung der Konstruktionsarbeiten an dem großen Instrumenten, Maj. L. A. W. und Maj. H. E. Smith fungierten als Bedienten.

Das Beobachtungsprogramm enthält gegenwärtig: 1. tägliche Aufnahmen der Sonne mit dem Photophotographen, 2. tägliche Aufnahmen der Sonne mit dem Spektrophotographen, 3. photographische Aufnahmen der Sonnenscheibe, 4. photographische Aufnahmen der Spektren der Flamm bereits Erreichung ihrer Beobachtungswindigkeit, 5. spektroskopische Untersuchungen über die Sonnenrotation, 6. holographische Untersuchungen der Absorption der Sonnenstrahlung, 7. Spektroskopien der Sternspektren mit Gitter- und Prismenspektrophotographen von großer Dispersion, 8. Laboratoriumsuntersuchungen, 9. Studien über die Beziehungen zwischen den Sonnen- und irdischen magnetischen Erscheinungen mittels eines regelmäßigem Vergleichens.

Das Sonne-Teleskop besitzt sehr gute Diamant, doch mußte wegen der raschen Zerstörung der Spiegelfläche durch die Sonnenstrahlung infolge der kontinuierlichen Exposition derselben, die Ver-



sierung nicht erkannt werden. Die folgenden Photographien der Sonne, welche von Ebermann mit dem Sonnen-Teleskop erhalten wurden, haben einen Durchmesser von 67 Zeil. Der heutige Spektroheliograph wurde im Sonnen-Teleskop-Haus im Oktober 1905 aufgestellt und hat ausgezeichnete Funktionen. Sonnenkopische Vergleichungen von zwei Kalium-Aufnahmen der Sonne zu Intervallen von 1 bis 10 Stunden, zeigen die optische Oberfläche der Sonne im Relief und lassen vieles für die Zukunft auf diesem Wege hoffen. Die Vergleichung der Wasserstoff- und Kalium-Aufnahmen der Sonne am Monokular-Mikroskop des Sternkomplexions, zeigt eine relative Verschiebung der Wasserstoff-Floucci gegen den Sonnenrand, wahrscheinlich verursacht durch deren größere Höhe über der Photosphäre. Dies bestätigt Prof. Hale's frühere Schlußfolgerungen bezüglich des Niveaus der Wasserstoff-Floucci. Eine weitere Bestätigung betrafte das Studium des Spektrums der dunklen Kalium-Floucci, welche gelegentlich an Punkten der Sonnenoberfläche auftreten wurden. Die von ungewöhnlich dunklen Wasserstoff-Flouccien bedeckt waren. Prof. Hale hatte früher angenommen, daß diese dunklen Wasserstoff-Floucci in einer Höhe über der Photosphäre sich befinden, welche dem  $H_\alpha$  und  $K_2$  Linien korrespondiert, mit anderen Worten! in den höheren und kälteren Regionen der Chromosphäre. Es hat sich jetzt herausgestellt, daß die Linien  $H_\alpha$  und  $K_2$  in diesem eigentümlichen Flouccien vorkommt und beide sind und von einer ausgesprochenen Verdrängung der Wasserstofflinien begleitet werden. Es handelt sich also um Erscheinungen in einem hohen Niveau und im allgemeinen wahrscheinlich oberhalb der Region der  $H_\alpha$  und  $K_2$  Floucci, wirklich erscheinen sie teilweise auf den Photographien als diese hellen Floucci überlagert.

Wie der Spektroheliograph verwendet wird, werden die dunklen Sonnen-

Becke umgeben von kaltem Floucci, die aus wolkenähnlichen Massen von Kaliumdampf bestehen und teilweise kleine Flecke überlagern bis zu deren völliger Unkenntlichkeit. Diese Kalium-wolken stammen aus dem Sonnenmaterial und sind wahrscheinlich Wirkungen von Konvektionsbewegungen, die von der Innern der Sonne hervorgehen. Es ist klar, daß die Bewegung dieser Dampfe in der Geschwindigkeit der Radialbewegung gemessen werden kann durch die Verschiebungen der Linien  $H_\alpha$  und  $K_2$ , welche den unteren und mittleren Regionen der Chromosphäre entsprechen, und die Linien der Linien  $H_\alpha$  und  $K_2$ , welche durch die Absorption der kälteren Dampfe in einem etwas höheren Niveau entstehen. Die Untersuchungen von Adams begannen mit einer neuen und grossen Bestimmung der Wellenlängen von  $H$  und  $K$  im infraroten Bereich. Von diesem Beginn aus als Normalen ausgehend, bestanden er dann die Wellenlängen von  $H_\alpha$ ,  $K_2$  und  $H_\gamma$ ,  $K_3$  in verschiedenen Punkten der Sonnenoberfläche und (zu den letzten Linien) über der Sonnenfläche. Die durchschnittliche Verschiebung von  $H_\alpha$  und  $K_2$  beträgt etwa 0.006 gegen Null entsprechend einer Geschwindigkeit des Aufsteigens der Kaliumdampfe von 101 km pro Sekunde. Doch sind diese Geschwindigkeiten teilweise so verschieden, daß allgemeine Bestimmungen erst auf Grund viel zahlreicher Beobachtungen gewonnen werden können.

Die spektroheliographischen Untersuchungen bezüglich der Sonnenrotation ergaben, daß der wahrscheinlichste Fehler der Messungen etwa kleiner ist als in den Messungen von Hale, doch müssen weitere Aufnahmen abgewartet werden, um definitive Resultate ablesen zu können.

Die heliographischen Untersuchungen der Sonnenflecke durch Palmer und Abbot haben das von letzterem im vergangenen Jahre gefundene Ergebnis bestätigt, nämlich, daß die Strömung der Sonnenmaterie östlich abwärts in der

nach brechbaren Region des Spektrums, als dieses in der Photosphäre der Fall ist, mit andern Worten: die Sonnenflecken strahlen in relativ größerem Verhältniß die weniger brechbaren Strahlen aus. Es ist sehr wahrscheinlich, daß das gas oder zum Teil anfrüht, was aus der totalen Radiation von Sonnenflecken weniger nach als eine photosphärische Umgebung abstrahlt, wenn der Fleck durch die Rotation dem Rande der Sonne näher kommt. Man wird sich erwarten, daß letztere Erscheinung vor Jahren häufig diskutiert worden sei und manchen zu der Annahme brachte, die Sonnenflecke liegen in genügend Höhe über der Photosphäre, um einen beträchtlichen Teil der allgemeinen Absorption in derselben zu umgehen. Die Erklärung der Erscheinung auf Grund der verschiedenen großen Strahlung der Fläche und der Photosphäre, endlich in diesem plausibler und kann streng erwiesen werden. Man braucht zu diesem Zwecke nur monochromatisches Licht bei Messungen der relativen Radiation einer Fläche und der Photosphäre in verschiedenen Abständen vom Rande zu benutzen; diese Arbeit, die hoffentlich demnächst mit Hilfe des Sonne-Teleskops ausgeführt wird. Die gegenwärtige Untersuchung über die Strahlung der Fläche, welche gegen den Sonnenrand hin starken Abfall zeigt, wird fortgeführt und erweitert.

Untersuchungen, welche im letzten Jahre unter Mitwirkung von Adams untersucht wurden, um festzustellen, ob beim Photographieren der Spektre helier Sternstärken Dispersion erfolgreich angewandt werden könnte, sind mit befriedigenden Resultaten fortgesetzt.

wurden. Es hat sich ergeben, daß, wie erwartet, werden, keine eventuelle Schwächung besteht mit dem 60-zelligen Reflektor die Spektre verschiedener der hellsten Sterne in gleicher Weise zu erhalten wie diejenigen Rowlands in einem Arken über das Sonnenspektrum. Solche Spektre würden sich von größer Wichtigkeit für das Studium der Sternentwicklung erweisen, da mit einer Ausnahme alle Hauptserien unter dem hellen Fröstern, die in den Rahmen dieser Aufnahmen fallen, vertreten sind. Die mit Olfert und Francis photographierten Spektren des Arktis haben sich nämlich erwiesen in einer von Adams ausgeführten Studie über die Sonnenflecken im Spektrum dieses Sterns. Der Fortschritt der Untersuchungen hat zu einer ähnlichen Arbeit über das Spektrum von « Orion » geführt, welche zeigt, daß die Linien, welche ebenfalls gleich stark hervorstrahlen in das Spektrum der Sonnenflecke und des Arktis, beträchtlich stärker im Spektrum von « Orion » hervorstrahlen. Diese Tatsachen, zusammen mit anderspektroskopischen Ergebnissen über von Stern, die früher am Yerkes-Institut erhalten worden sind, bestätigen durchaus die Ansicht, daß die absorbierenden Atmosphären dieser Sterne mindestens Teilgebiete besitzen, die der Sonne und also wahrscheinlich weiter in ihrer Entwicklung vorgeschritten sind.

Der Bericht umfaßt sich schließlich über mehrere wichtige Laboratoriumsversuche, über die ausgestrichen Beobachtungen und über den Stand der Arbeiten in der Messung der 60-zelligen Reflektoren und den 100-zelligen Spiegel.

## Der Mond und sein Einfluß auf das Wetter.

**E**s ist bekannt, haben die verschiedensten Beobachtungen am Meere keine wesentlichen Einfluß des Mondes auf den Luftdruck ergeben,

während andererseits dieser Luftdruck und seine Vertheilung von größter Bedeutung für die Gestaltung der Witterung ist. Unter diesem Umstande haben die

Metereologen darauf verzichten müssen, die Ergebnisse der astronomischen Vorhersagen über die flutungsge-  
richte Bewegung des Mondes, für sich zu verstehen und pflegen, wenn es sich um Wettervorhersagen handelt, nur auf die täglich kugelförmig zusammengezeichneten Himmelsstände von Merkurgröße, einer jede Kontin-  
ent der Erde nach dem die Luft-  
druckverteilung sich von Tag zu Tag ändert. Eine natürliche Folge davon ist, daß die Wettervorhersagen für die nächsten 24 Stunden sehr un-  
sicher sind und sogar regelmäßig, wenn ein erheblicher Wetterumschlag plötz-  
lich eintritt, also dann, wenn eine wichtige Wettererscheinung am nächsten ist. Nachdem im vor-  
genannten Sommer die Reichswetterdienst-  
einrichtung worden, um der Landwirt-  
schaft damit zu helfen, hat der Prä-  
sident Odenbach gehabt, sich von der  
großen Unzuverlässigkeit der an den  
Post- und Telegraphenanstalten ange-  
hängten Prognosen für den nächsten  
Tag, selbst zu überzeugen. Der Un-  
wille über diese unzuverlässigen Pro-  
gnosen hat sich in zum Teil drastischen  
Ausdrücken kund gegeben und man  
muß sich nur wundern, daß es noch  
Metereologen gibt, die darauf genug  
und die Richtigkeit und Wichtigkeit dieser  
Möglichkeit von Wetterprognosen zu  
verzichten. Auf dem Gebiete der  
Astronomie aber so etwas schwierig  
möglich.

Die Mangelhaftigkeit der Prognosen  
für den nächsten Tag auf Grund der  
Wetterkarten bei vor Jahren Rudolf Falb  
zu dem Versuche veranlaßt, solche Pro-  
gnosen für Monate im Voraus zu geben.  
Er stützte sich dabei auf statistische Zu-  
sammenstellungen über die herrschende  
Wetter bei gewissen Mondstellungen,  
z. B. bei der Erdkälte und der Erdhitze  
des Mondes, bei Sonnen- und Mond-  
finsternisse usw. Diese Zusammen-  
stellungen ergaben damals sehr cha-  
rakteristische Wetterlagen, die auf den  
Mondstand hinwiesen, aber zu anderen

Zeiten ergab sich unter den nämlichen  
Umständen ein solcher Einfluß nicht,  
und im allgemeinen waren diese letzten  
Fälle weit häufiger als die ersten. Das  
aussehen Kapitel, das Falb sich damit  
gelebt hatte, ergab nicht, um das  
Problem gründlich anzuhängen, denn das  
ist eine Theorie der atmosphärischen  
Bewegungen erforderlich, in der die  
Wirkungen der Ozeane und Mond  
mathematisch richtige Berücksichtigung  
finden.

Das war für Falb unerschütter-  
bar. Erst später ist dieses Problem in strenger  
Form und mit neuen wissenschaftlichen  
Mitteln durch Max Möller, Professor an  
der Technischen Hochschule in Han-  
nover, in Angriff genommen worden.  
Damit hat es eine exakte mathematisch-  
astronomische Basis gewonnen und dar-  
über mußte der Arbeiter Möller an  
dieser Stelle gelobt werden. Nach  
seiner Theorie der atmosphärischen Be-  
wegungen bilden die Luftströme gleich-  
sam einen zweiten Trabant, in dessen  
Nähe sich die Erde befindet. Es gibt  
die Bewegungen dieses Trabanten und  
seiner Teile, die unter der wechselnden  
Wirkung der Sonne, Sonne und Mond,  
bedingt durch deren Stellungslage-  
runge, in verschiedenen Phasen erfolgen,  
zu beschreiben. Das ist in Frage  
kommenden Kräfte sind kosmischer und  
terrestrischer Art. Erstere verdrängen,  
wie Prof. Möller hervorhebt, ihre Ent-  
stehung dem Umstände, daß die er-  
deischen Teile der Erde und insbesondere  
der Luft, unter Himmelsstrahlung ver-  
halten wollen als die Erde im ganzen,  
d. h. als der Schwerpunkt. Das gibt  
zu einer Verschiebung von Luftmassen  
und zur Erzeugung von Schwingungen.  
Letztere werden von  
sehr weit entfernt, aber besonders Zeiten  
auch geschwächt durch Bewegungen,  
die durch den Gegensatz der Erwärmung  
der Luft am Tage und deren Erkaltung  
zur Nachtzeit bedingt sind. Prof. Möller  
glaubt nicht, daß diese Kräfte ausreichen,  
um diese Bewegungen unmittelbar her-  
vorzubringen, sie denken das nur mittel-

ber vorliegen. Es ist heute bekannt, daß in den hohen Latituden sich starke Bewegung herrscht, ursprünglich bedingt durch den Temperaturunterschied zwischen den wärmeren und kälteren Gegenden der Erde. Verschiedene Bewegungen, die ebenfalls in jenen oberen Regionen stattfinden, bedingen nach Prof. Möller eine Beschleunigung und weitere Luftschichten sowie eine Übertragung der starken oberen Winde auf die Tiefe. Die Theorie beruht nur die Zonen, wenn das stat hat, während in der Beobachtung überlassen bleibt, festzustellen, welches Wetter sich dabei in irgend einer Gegend ereignen pflegt.

Auf Grund seiner Theorie, von der mir einige Andeutungen gegeben worden können, hat nun Prof. Möller das Wetter unkomponiert, für das Jahr 1867 die Witterung zu beschreiben, wie sie bei Abweichungen von der Theorie wirklich betriebe einen Tages, haben sich eingestellt hat. Seine beständigen Angaben und in der Schrift «Die Witterung im Jahre 1867» enthalten. Das Jahr 1867 bezeichnet Prof. Möller obigen als einen Untersuchungen nicht glänzend, da der Mond gemäß der Theorie zwei Kraftwirkungen zugleich ausübt, die sich in diesem Jahre nicht bekämpfen, so daß lange Zwischenräume mit ungesprochen heiter, trockener Witterung und abgegrenzte Zeiten eigentlicher Witterung folgen dürften. Als Mann der Wissenschaft verheißt er sich nicht das Gelingen seines Vorwurfs und betont ausdrücklich, daß jede neue Erfindung

oder Entdeckung zunächst zu verwerfen ist, unvollkommener Form ist und daß erst mit der Zeit etwas Vollkommenes daraus wird. So könnte auch er nur etwas durchaus Überzeugendes lesen, und weitere Untersuchungen müßten die Einzelheiten feststellen, denn würde man schließlich, die Verwirklichung bewertend, ein klares Bild der Unvollständigkeit der Witterungsveränderungen gewinnen. Die Vergleichung des vorzunehmenden auf dem wirklich empirischen Gange des Wetters in den ersten beiden Monaten dieses Jahres ergibt in einzelnen Fällen eine gute Bestätigung der Theorie. In andere allerdings starke Abweichungen hauptsächlich in Bezug auf die Zeiten des Auftretens jeder Maxima des Luftdruckes und dessen Übergrößen nach Deutschland. Man gewinnt aber das Gefühl, daß der von Prof. Möller eingeschlagene Weg von wichtiger ist, vielleicht der einzig richtige, um das große Problem der Wettervorhersage wirklich zu nähern. Ein wesentlicher Fortschritt auf diesem Gebiet ist aber nur möglich, wenn der Staat Mittel bereitstellt, um die Untersuchungen, welche Prof. Möller begonnen, in der erforderlichen Ausdehnung fortzuführen, etwa durch Errichtung einer Geschäftsstelle für Förderung und Anwendung der Theorie im Dienste der ausübenden Witterungsbehörde. Hierzu würde eine einmalige Summe, wie das, welche im vergangenen Jahre bereits für den sogenannten landwirtschaftlichen Wetterdienst ausgegeben worden ist, völlig genügen.

## W. F. Denning über die Kanäle des Mars.

Der bekannte englische Beobachter Denning hat jüngst einer zum Teil auf eigenen Beobachtungen beruhenden Ansicht über die Markkanäle vorüberliefen und es ist in dieser so oft diskutierten Frage von großem Werte die Anschauungen eines so erfahrenen Astronomen kennen zu lernen.

Schupard, sagt er, verleiht den «kanaligen» Ansichten der Marsologie im Jahre 1877 und die Genauigkeit der bezüglichlichen Arbeiten des russischen Beobachters ist in der Folge von mehreren der führenden Astronomen auf dem Gebiete der Planetenforschung, bestätigt worden. Insofern die Bahn des Mars

ist schwierig und führt leicht auf Seitenwege, auch wenn die allgemeine Richtung richtig ist. In Hinsicht auf alle Details seiner Merkmale hat Schiaparelli nicht immer Befriedigung gefunden, auch ist die Verkopplung mancher seiner Kanäle beanstandet worden. Aber hervorzuheben ist, dass seine Darstellungen die beste Arbeitsbasis für den heutigen Beobachter und noch viel besser über die Arbeiten von Green, dessen sehr schöne Zeichnungen dadurch beeinträchtigt sind, daß er viel zu strapaziert war in bezug auf Eintragung von Details, die nicht hervorragend deutlich waren. Schiaparelli hat eine Anzahl der Kanäle mit so großer, es scheint auf zu gleichem Genauigkeit. In den meisten Fällen ergibt das Teleskop, dinstehen wie höchst keine Rückschlüsse oder Adern, die mit dunklen Regionen verknüpft sind aber durchaus nicht von gleicher Breite oder gleichem Tone annehmen. Obgleich mit einem und demselben Namen bezeichnet, sind es gleichförmiger Weise gezeichnet, repräsentieren sie sichtlich sehr ungleiche Objekte.

Einige Kanäle verlaufen über (schwarze) Erhöhen, deren Kontur an den Grenzen verschiedener dunkler Flächen, andere antworten sichtlich ihrer Bezeichnung indem sie als Strahlen erscheinen, welche bekannte dunkle Fläche miteinander verbinden oder hervorgehen über ausgedehnte Regionen der Oberfläche verlaufen, wieder andere werden gebildet aus kleinen, unregelmäßigen Punkten (Kondensationen), welche teilweise in Reihen geordnet sind und sich dadurch als Bänder darstellen, in welchen manche Details manchmal sichtbar. Bei gewöhnlichen Vergrößerungen ist der allgemeine Anblick derselben auf der einen Seite, derjenige von breiten oder Kanälen und der Beobachter irrt sich so, da er nicht versteht, daß die feinen Details wahrzunehmen.

Im März 1903, hielt Oresting fest, begann ich das Reife sorgfältiger Beobachtungen des Mars mit einem Königl.

Reifeiten, und gleichzeitige Witterung während einer Folge von zwei Monaten wurde auch in den Stand des Marses in 26 Nächten zu untersuchen und 26 Zeichnungen derselben zu entwerfen. In den ersten Nächten sah ich bereits einige Kanäle mit unverkennbarer Schärfe. Eine beträchtliche Anzahl der in Schiaparelli's Karten enthaltenen Kanäle wurde beobachtet und als Resultat ergab sich die allgemeine Korrektheit dieser Zeichnungen, aber keine Wahrnehmung von doppelten Kanälen gelang. Für mein Auge waren die Linien unendlich scharf, selbst bei den stärksten zutragenden Vergrößerungen und ich bin zu dem Schlusse gekommen, daß die Verkopplung keine wirkliche Tatsache ist.

Während meiner Beobachtungen fanden mehrere auffallende Veränderungen im Aussehen benachbarter Objekte der Marschebe statt und diese wurden wahrscheinlich verursacht durch atmosphärische Vorgänge an der Oberfläche des Planeten. Die Gegenwart von Wolken oder verändernden Dünsten bei Tagesanbruch war relativ kleine Regionen sichtbar, dass die Fläche beim im allgemeinen Nacht für Nacht den gleichen Anblick, sichtlich entsprechend der veränderlichen Stärke der Hölzer.

Die hellen Fläche sind scheinbar besonders am oberen Rande der Scheibe des Planeten, an welchen diese hervorgeht zu sein wie die dunklen Fläche.

Aus den Beobachtungen der Durchgänge von Spitzmaier, die mit solchen vom Februar 1869 verglichen wurden, ergibt sich, daß in der Zwischenzeit nicht beträchtliche Veränderungen stattgefunden haben und die Umdrehungsdauer des Mars  $24^h 37^m 22^s$  beträgt.

Die häufigste Erscheinungen bilden mehrere beträchtliche Verschleierungen, die, einige derselben sind sichtlich breite und vorwiegend Schattierungen, während andere sich als schmale und feine Linien darstellen. Die von Lowell als Oasen bezeichneten dunklen

Kometen wurden bis 1664, 1666 und in andern Jahren gesehen.

Die von Maander und Evans gehaltenen gewissen Experimente erweisen gewisse Wahrnehmungen als Täuschungen, andere, wie eingemerkt, das ganze Kanalisieren des Mars als solche nachweisend. Höherer Kanale sind in der Tat so ungerade, daß sie in dieser Beziehung mit den Strömen des Jupiter und Saturn verglichen werden können.

Wenn wir die Vergrößerung viel weiter treiben und Mars als hinreichend große Scheibe prüfen können, wurden die Kanäle außerordentlich einem Anblick gewöhnt, der sehr verschieden ist von dem in einem gewöhnlichen Fernrohr. Wir würden sie dann wahrscheinlich als breite, ungerade Bänder von dunklem Material sehen, die kontrast-ähnlich mit schwarzgrünem Wasserstoffgas bestehen. Der ständige Äquatorstreifen des Jupiter besteht aus einer Reihe von Flecken und gewährt eine gute Vorstellung der Verformungen im Ansehen, wenn man ihn ausweit zu 50 facher denn zu 340 facher Vergrößerung betrachtet. An größer bildet er unter sehr dunklen, schmalen Streifen, aber in letzterem ist dieser in einer Menge von fleckigen Material, das sich in Gestalt eines breiten Zuges ausbreitet an-nehmen.

Wenn die Existenz der Planetenfläche bewiesen wurde, so ist dies ein Teil darauf zurückzuführen, daß gewisse Beobachter, welche die wirkliche Anzahl dieser Objekte übertrieben haben, dass in ausreißender Weise darstellen und das allgemeine Ansehen des Mars in einer Art verzerren, die offenbar dem telekinetischen Anblick widerspricht. Es ist wahr, daß gewisse Formen der Kritik der Beobachter selbst ohne ethischen Zweck; allein, andernfalls kann man alles annehmen zu nehmen, was uns als beobachtet, wirklich oder eingebildet, objektiv oder subjektiv, angeboten wird.

Einige der wichtigsten Wahrnehmungen bei Beobachtung von Pl-

neten, werden gewöhnlich der Verschönerung des Teleskops, der Gasbildung und lokalen atmosphärischen Zuständen zugeschrieben, aber die Hauptursache liegt bei den Beobachtern selbst, die bezüglich ihrer Auffassung und Interpretation des Gesichts, sehr von einander verschieden sind. Der eine nennt feinsten Form und unvollständige nur anderer momentan auftretende Details als sicher an und erhebt sie möglicherweise weiter aus, um andere veraltete ähnliche Wahrnehmungen vollständig. Tatsächlich können zwei Umriss, die einander durch entgegenge-  
setzt sind, im Spiel 1 das vorhergesagte Strömen Mars ausströmen und ihre Richtung zu beobachten und 2 die Notwendigkeit nur das annehmen, was sicher und dauernd gesehen ist mit Aus-  
schluß aller Zweifelsfälle. In Bezug auf diese beide Punkte werden die Beob-  
achter wohl von einander ab. Einige von ihnen werden wohl geglaubt, ihre ver-  
antwortliche Lage mit stellen täuschlich Behauptungen auf, die das Teleskop nicht rechtfertigt, andere sind vielleicht zu häufig und gewagt Details zu verwerfen, welche tatsächlich vorhanden sind aber nur leicht fest und Mischmasch nach denselben. Bei Beurteilung der Qualität von Beobachtungsmethoden sollte man sich stets erinnern, daß die Individualität des Beobachters einen her-  
vorgehenden Anteil hat. Einige sehen oft-doppelt, andere unterscheiden Plana, was gar nicht sichtbar ist, andere wieder-  
um haben Kritik für eine notwendige Erscheinung auf jeder Planetenoberfläche. So sollen Markur und Venus sehr zahl-  
reiche Flecken gezeigt haben, während andere nichts davon wahrnehmen können. In dem Objekten selbst sind diese Annahmen nicht so sicher, denn das tatsächlich Vorhandene kann ohne Schwierigkeit bestritten werden. Die Fläche auf dem Saturn wird z. B. kurz nach ihrer Entdeckung von mehreren Beobachtern wahrgenommen worden. Doch haben wir zum Mars zurück. Die Berichte von kausalistischen Leuten

und seiner Schale sind wahr, obgleich hier und da eine Überhebung mitunterläuft, sie werden allen Widerspruch der Skeptiker überleben. Die nördliche Hemisphäre des Planeten erscheint ungefüllt mit dunklen Säulen, welche kaskadenförmig verlaufen. Sie mögen vielleicht keine Wasserläufe sein und

ihre wirklichen Ansichten mag vielleicht sehr unähnlich dem in gewöhnlichen Teleskopen erscheinenden sein, aber die mit genügend Hilfsmitteln versehenen Beobachter sind bereits, wenn sie volle Ansehnlichkeit als Lehrer und dunkle Stellen darunter, welche die größern Flecke verdecken.

## Der Planet 1906 TG (568).

Ein neuer Planet aus der Schaar der Asteroiden wurde von Prof. Max Wolf am 22. Februar durch photographische Aufnahmen entdeckt und die Beobachtungscomplettendurch die Palä mit dem großen Refraktor der Wiener Sternwarte, führten zu dem Ergebnisse, daß dieser kleine Planet eine längere Umlaufdauer um die Sonne habe als Jupiter, daß er folglich ein transjoviancher Asteroid sei.<sup>1)</sup> Die halbe große Achse seiner Bahn ist jedoch nur wenig größer als die der Jupiterbahn und zufolge ihrer Lage und Excentricität verweilt der kleine Planet nur etwa 7 Jahre außerhalb der Bahn des Jupiter, die übrige Zeit innerhalb derselben. Eine genauere Bestimmung dieses kleinen Planeten wird dringend wünschenswert und F. Bielecki hat dieselbe rasch mehr ausgeführt.<sup>2)</sup> Die Beobachtungen in Wien endeten nur bis zum 19. Mai 1906. Im Juni wurden auf Ersuchen von Bielecki in Washington, auf der Licksterwarte und auf dem Yerkes-observatorium noch Versuche gemacht, weitere Beobachtungen zu erhalten, doch

scheiterten diese Bemühungen infolge der Ungunst der Witterung und der Lichtschwäche des Planeten, so daß die Wiener Beobachtungsreihe fast ausschließlich die Grundlagen für die Bestimmung der Bahn dieses interessanten Asteroiden abgibt.

Die neue Berechnung der Bahnkurve des Planeten giebt die halbe große Achse der Bahn zu 5,2531, während die halbe große Achse der Jupiterbahn 5,2028 ist. Die Halben der halben großen Achse der Erdbahn beträgt, Daß excentricität fast sich zu 0,14211, die Umlaufdauer zu 4798 Tagen. Der Neigung der Bahn gegen die Ebene der Erdbahn beträgt 19° 16' 38". Auf Grund der beschriebenen Ephemeride gelang es Prof. Wolf mit Hilfe des neuen 24zölligen Refraktors des astrophysikalischen Institutes Kienigstuhl-Hofenberg, den Planeten am 22. Januar durch auf zwei photographischen Aufnahmen zu finden. Er erschien, trotzdem er 15. Größe war, in Aufnahmen mit dem neuen Teleskop so hell als mit dem 16zölligen Bruce-Teleskop am Planet 22 Größe. Der neue Refraktor reicht also volle 3 Größenklassen weiter.

<sup>1)</sup> Vgl. Mithras 1906 S. 178.

<sup>2)</sup> Astr. Nachr., No. 4135.

## Neue Bestimmungen von Fixsternparallaxen durch photographische Aufnahmen.

(Schluß.)

γ Virginis, ein Doppelstern, dessen beide Komponenten zusammen die Parallaxe 29 Größen besitzen. Auch von diesem Stern wurden viele Aufnahmen

in drei verschiedenen Epochen gemacht. Russell hat daraus für jede der beiden Komponenten die Parallaxe abgeleitet und diese beiden Parallaxen müssen

gleich groß sein, wenn die Messungen absolut fehlerfrei wären. Dies können wir natürlich nicht sein und in der Tat findet sich der wahrscheinlichste Wert der Parallaxe der südlichen Komponente des Doppelsterns zu  $0.005''$ , die der anderen zu  $0.004''$ ; der Unterschied beträgt nur  $0.002''$  und Russell nimmt als wahrscheinlichsten Wert der Parallaxe das Mittel zwischen beiden an, also  $\pi = 0.004''$  mit einem wahrscheinlichen Fehler von  $0.002''$ . Dieser Stern ist ein Doppelstern und die Bahnen der beiden Komponenten um ihren gemeinsamen Schwerpunkt näherungsweise bekannt. Da Sie findet die Umlaufzeit zu 150 Jahren und die halbe große Achse der Bahn von der Erde aus gesehen zu 3.60 Einheiten des Elementars in 0.60. Hieraus ergibt sich unter Annahme der oben angegebenen Parallaxe, daß die halbe große Achse dieses Doppelsternsystems 50 Einheitsabstände beträgt, die Distanz im Periastron 5, im Apastron dagegen 95 Einheitsabstände. Es läßt sich für die Gesamtmasse beider Sterne ein Wert von 3.5 Sonnenmassen und da beide Sterne nach Aarwien und Leuschke nahezu gleiche Massen besitzen, so übertrifft jeder derselben unsere Sonne um etwa 1.6mal, dagegen an Leuchtkraft etwa zehnfach. Diese Sterne müssen daher

entweder weniger dicht sein als die Sonne oder eine größere Oberflächenbedeutung als diese besitzen, was mit der Tatsache zusammenstimmt, daß ihr Spektrum zum I. Spektaltypus gehört. Nach den spektroskopischen Messungen von Pogolsky besteht dieses Sternsystem aus Geschwindigkeit von 21 km pro Sekunde in der Richtung zur Erde, während die Parallaxenbestimmung zusammen mit der schon oben angegebenen Bahn des Doppelsterns zeigt, daß dieser senkrecht zur Geschwindigkeit nach der Erde hin, eine Geschwindigkeit von 34 km in der Richtung besitzt. Somit beträgt die absolute Geschwindigkeit dieses Systems im Raum 40 km pro Sekunde und die Bewegungsrichtung macht einen Winkel von  $63^\circ$  mit der Geschwindigkeit zur Erde hin.

In einer dritten Mitteilung berichtet Russell über seine Bestimmungen der Parallaxen von weiteren acht Sternen, von denen die meisten in der obigen Liste enthalten sind. Bei diesen Bestimmungen wurden stets zwischen fünf und acht Positionen ausgemessen und die Zahl der Sterne mit denen die Parallaxen der zur Parallaxenbestimmung ausgewählten Sterne verglichen wurden, war stets zwischen sieben und neun. Die Ergebnisse sind in folgender Tabelle zusammengestellt:

Name des Sterns	AB	1905	B	Mittelpunkt	Winkelbewegung	Parallaxe	Wahrnehmbarer Abstand
$\mu$ Centaurens	24	1.6 m	+117 50	1.1 Größe	0.004	0.004	0.004
Gesamtheit 14	0	17.0	+43 37	10	0.01	0.005	0.005
55 Andromedae	0	13.0	+49 13	1.0	0.00	0.005	0.005
$\eta$ Centaurens	0	42.0	+17 10	0.9	1.00	0.005	0.005
$\alpha$ Cent	0	14.0	- 1 10	1.0	0.00	0.005	0.005
Leander 10 079	10	10.7	+12 37	0.9 Größe	0.00	0.004	0.005
Berlin 2 1079	14	10.1	+10. 1	0.9	1.00	0.005	0.005
" 2 1079	10	10.1	+10. 1	0.9	1.00	0.005	0.005

An verschiedenen von diesen Sternen sind schon früher Parallaxenbestimmungen angestellt worden. So erhielt bei  $\mu$  Centaurens Puchner auf photographischem Wege eine Parallaxe

von  $0.15''$ ; Russell und Filds fanden aus Deklinations- und Rektascensionsmessungen  $0.04''$  und  $0.10''$ . Bei Centaurens 14, erhielt Aarwien  $0.20''$ , Filds  $0.21''$ . Für  $\eta$  Centaurens liegen nicht



weniger als sieben Bestimmungen der Parallaxe vor, die zwischen  $0.16''$  und  $0.33''$  schwanken, für Lohnde 25372, fand Ellen aus Halbmessungen  $\pi = 0.17''$ . Im allgemeinen kann man sich nicht unbefriedigende Überwindung dieser Messungen mit den neueren Ergebnissen von Russell behaupten und diese letztere gestatten dadurch an Vorzeichen. Der negative Wert der Parallaxe von 28-Andromedae ( $\pi = -0.036''$ )

ist kleiner als der wahrscheinlichste Fehler und besagt, daß diese Parallaxe innerhalb ist.

Die beiden Sterne Greenbridge 34 und  $\gamma$ -Cratogeomys sind Doppelsterne. Durch die Bestimmung ihrer Parallaxen in Verbindung mit der schon bekannten Helligkeit erhält man für die vorgenannten zwei Sterne folgende absolute Werte:

Name des Sterns	Geschwindigkeit im Weltraum in km/sec	Bewegung, welche aus Geschwindigkeit	
		pro Jahr in Richtung der Parallaxe	pro Sekunde in km/sec
$\gamma$ -Cratogeomys	12	1.2	37
Greenbridge 34 A.	0.86	10.2	91
„ „ B.	0.0015		
$\alpha$ -Cratogeomys A.	1.6	6.2	56
„ „ B.	0.00		
$\alpha$ -Teil im Winkeln der Helligkeit	2.6	6.7	7
„ „ Minimum	0.06		
Lohnde 25372	0.06	14.9	41
Roth 8 1975	0.00	66	176
„ „ 1975	0.01		

Die Angaben für die beiden letzten Sterne, welche eine gemeinsame Bewegung besitzen, sind unrichtig, doch ist wahrscheinlich, daß sie beschleunigt sind als die Sonne und ihre Bewegung umkreist zur Geschwindigkeitsabkühlung größer als der übrige Stern in der Tabelle.

$\gamma$ -Cratogeomys ist ein Doppelstern für den eine näherungsweise Richtungsbestimmung vorliegt. Nach der Berechnung von Lewis, ist die halbe große Achse der sichtbaren Bahn  $a = 8.50''$ , die Umlaufzeit beträgt 235 Jahre. In Verbindung mit der gefundenen Parallaxe ergibt sich heraus, daß die wirkliche mittlere Distanz zwischen den Komponenten dieses Doppelsterns 44 Halbmesser der Erde beträgt und zwischen 18 und 30 dieser Halbmesser schwankt. Inwiefern die Umlaufzeit heißt Stern 1.6 Sonnenmasse beträgt. Nach Lewis ist die Masse der beiden Sterne doppelt so groß als die des Begleiters, also nahe gleich der Sonnenmasse und auch der absolute Lichtstärke derselben.

ist wenig von derjenigen unserer Sonne verschieden.

Was a Ceti (Mars) betrifft, so fanden Campbell und Stibbins spektroskopisch dessen Bewegung in der Richtung zur Erde jeder der Radialbewegung) konstant zu  $+ 69$  km in der Sekunde. Da die Geschwindigkeit desselben umkreist in dieser Richtung zu nur 8 km ergibt, so folgt, daß dieser Stern sich von uns entfernt und seine Bahn nur einen Winkel von  $7^\circ$  mit der Geraden zur Erde bildet. Ist der ermittelte Wert seiner Parallaxe richtig, so folgt weiter, daß dieser Stern vor 110000 Jahren unserer Sonne am nächsten war, er stand damals im Sternbild des großen Bären, 210000 Halbmesser der Erde (1472 Millionen Meilen) von der Sonne entfernt und wenn seine Helligkeit beobachtungen so groß waren wie heute, so muß er damals in seinem hellsten Licht dem Stern gleich erschienen sein, im schwächsten aber war er Stern 5. Größe.

# Neue Untersuchungen über die Parallaxenbestimmung von Fixsternen durch Meridianbeobachtungen.

 Zu den wichtigsten Aufgaben der Stellar-Astronomie gehört die Bestimmung der Fixsternentfernungen von der Erde. Bekanntlich wurde diese Aufgabe zum ersten Male bezüglich des Sternes  $\alpha$  Centauri durch Bessel gelöst (1838), der mit Hilfe des Heliometers die jährliche parallaktische Bewegung dieses Sternes im Vergleich gegen zwei kleine benachbarte Sterne bestimmte. Der Grund, weshalb Bessel den Stern  $\alpha$  im Schwanz zur Parallaxenmessung auswählte, war die beträchtliche eigene Bewegung dieses Sternes, die Bessel als Anzeichen betrachtete, daß dieser Stern uns verhältnismäßig nahe sei, um soviel mehr, als sich ihn heute auch für andere Fixsterne bewährt hat. Später und nach andern Beobachtungsmethoden zur Bestimmung von Fixsternparallaxen nennend worden, so Beobachtungen am Meridiankreis mit astrographischen Aufnahmen und deren Auswertung. Gegen Ende der neunziger Jahre des vorigen Jahrhunderts hat Prof. Kapteyn von der Sternwarte zu Leiden, gestützt, daß die Durchdringung von Sternen am Meridiankreis mit Hilfe der Regniermethode so genau erfolgen werden können, daß sie zur Ableitung der Parallaxen benutzt sind. Später hat (Hart<sup>1)</sup>) auf diesem Wege am Meridiankreis der Sternwarte zu München bei etwa 100 Sternen Parallaxen bestimmt, die teilweise zeigen, daß auf diesem Wege etwas zu erreichen ist. Aus diesem Grunde und weil ein größeres Instrument zur Verfügung stand, hat E. Jost von dem astronomischen Institut der Sternwarte zu Heidelberg in der Zeit vom Mai 1890 bis zum Juni 1901

an einer Reihe ausgewählter Sterne über 5000 Durchgangsbeobachtungen zum Zweck der Parallaxenbestimmung angestellt und berichtet<sup>2)</sup>.

Die ausgewählten Sterne waren ausgewählt worden mit anderen Eigenschaften, entsprechend der oben erwähnten Erfahrung, daß bei solchen Sternen die Wahrscheinlichkeit einer größeren Parallaxe am größten ist. Im ganzen wurden 29 Fixsterne in den Kreis der Untersuchung gezogen und durchschnittlich jeder mit 3 bis 4 leicht schwächeren Sternen, deren Parallaxen als unmerklich klein anzunehmen sind, verglichen.

E. Jost teilt alle Einzelheiten bezüglich des benutzten Instruments (von 3 Zoll Öffnung), der Messungen, der möglichen Ausschließung von Fehlern und der Berechnungsweise mit. Hier haben wir es nur mit den Endergebnissen d. h. den gefundenen Parallaxen sowie den wahrscheinlichen Fehlern derselben zu tun. Der nachstehende Tabelle folgt derselben vor. In der ersten Spalte befindet sich der Name des Sternes, in der zweiten die Parallaxe (Orbit), in der dritten die Parallaxe ( $\mu$ ) nach dem wahrscheinlichen Fehler (w. F.), in der vierten die weiteren benutzten kleinen Sternchen, auf Parallaxen untersuchten Sterne, die von den dort angeführten Beobachtern früher gefundenen Parallaxen und die dabei angewendeten Beobachtungsmethoden (Fotometer, astrographische Aufnahmen, Regnierbeobachtungen).

<sup>1)</sup> Ueber die Parallaxen von 26 Fixsternen von E. Jost, Veröffentlichungen der Sternwarte zu Heidelberg, 1899, Heft 10, herausgegeben von Dr. W. Voeltzner, Bd. 4, Karlsruhe 1899.

<sup>2)</sup> Meridian-Observationen der Stellar-Parallaxen, München 1902.

Einheit	Q <sub>0</sub>	$\sigma$	m. P.			
100 Horaeis	4.1	$\pm 0.07$	$\pm 0.007$			
110 Horaeis	4.3	$\pm 0.06$	$\pm 0.003$			
5 Cygni	8.4	$\pm 0.07$	$\pm 0.004$	$\pm 0.07$	Class	Heliometer
15 Cygni pr	6.3	$\pm 0.11$	$\pm 0.004$			
15 Regulus	5.7	$\pm 0.06$	$\pm 0.005$	$\pm 0.10$	Class	Heliometer
Greenwich 328	7.1	$\pm 0.08$	$\pm 0.006$	$-0.01$	Class	Heliometer
30 Cygni	5.1	$-0.06$	$\pm 0.006$			
Greenwich 330	6.6	$\pm 0.07$	$\pm 0.006$			
64 Cygni pr	5.4	$\pm 0.03$	$\pm 0.005$	$\pm 0.03$	Kaplan-De Saur	Photographisch
				$\pm 0.07$	Wahlg	Photographisch
				$\pm 0.01$	Flut	Regulator- beobachtungen
				$\pm 0.07$	Bergmann	Photographisch
				$\pm 0.01$	Karlshof	Photographisch
60 Cygni +	4.6	$\pm 0.11$	$\pm 0.003$			
Bastley 270	5.7	$\pm 0.08$	$\pm 0.003$			
+ Auliger	4.4	$\pm 0.08$	$\pm 0.007$			
90 Auliger +	5.3	$\pm 0.07$	$\pm 0.003$			
Greenwich 120	5.8	$\pm 0.08$	$\pm 0.003$			
+ Oeschhorn	4.5	$\pm 0.04$	$\pm 0.003$			
+ Oeschhorn	4.4	$\pm 0.05$	$\pm 0.007$			
Lohrke 1940	7.6	$\pm 0.11$	$\pm 0.003$	$\pm 0.07$	Flut	Regulator- beobachtungen
				$\pm 0.03$	Class	Heliometer
Polar VI 33	7.6	$\pm 0.08$	$\pm 0.003$	$\pm 0.04$	Class	Heliometer
32 Lyrae	6.5	$\pm 0.08$	$\pm 0.003$			
21 Cassi	6.2	$\pm 0.09$	$\pm 0.007$	$\pm 0.06$	Class	Heliometer
60 Lyrae +	3.4	$-0.07$	$\pm 0.003$			
11 Lyrae minoris	5.7	$\pm 0.07$	$\pm 0.002$	$-0.01$	Class	Heliometer
50 Lyrae minoris	5.8	$\pm 0.06$	$\pm 0.007$	$\pm 0.05$	Kaplan	Regulator- beobachtungen
				$\pm 0.05$	Flut	Regulator- beobachtungen
Bastley 143	6.0	$\pm 0.10$	$\pm 0.003$			
Greenwich 167	5.5	$\pm 0.08$	$\pm 0.003$			
Lohrke 2130	5.5	$\pm 0.09$	$\pm 0.005$	$\pm 0.01$	Wienner	Heliometer
				$\pm 0.01$	Kaplan	Regulator- beobachtungen
				$\pm 0.01$	Flut	Regulator- beobachtungen
25 Ursa majoris	4.6	$\pm 0.09$	$\pm 0.005$			
Greenwich 134	7.7	$\pm 0.06$	$\pm 0.003$			
Greenwich 100	5.6	$\pm 0.08$	$\pm 0.003$	$\pm 0.05$	nach Auliger	Mittel aus direkten Beobachtungen
				$\pm 0.05$	Kaplan	Regulator- beobachtungen
				$\pm 0.01$	Flut	Regulator- beobachtungen

Unter den Formen dieser Tabelle finden sich 4 die schon zwei oder mehrmals von früheren Beobachtern auf Parallaxe untersucht worden sind. Es sind Sterne von großer Eigenbewegung und es wurden von jezt an dem Grunde angenommen, um aus der Überwindung des neuen mit den früher erhaltenen Werte für die Parallaxe, wenn besteht auf die Zuverlässigkeit der neuen, von ihm zum ersten Male bestimmte Parallaxen zu gehen. Die Überwindung ist in den Beobachtungen 4 Fällen eine befriedigende, je gute. Von besonderem Interesse ist darunter der Stern 51 im Schwanz und jezt bereits berührt:

Seit der klassischen Bestimmung durch Bessel, hat die Parallaxe des Doppelsterns 51 Cygni dauernd die größte Interesse gefunden, was sich besonders darin ausspricht, daß von diesem Stern wissen die größte Anzahl von Bestimmungen vorliegt, sowohl der besten Anzahl wie der verschiedensten Methode nach, trotzdem es wahrscheinlich einige Sterne im Himmel gibt, deren Parallaxe noch größer ist. In seiner Nachbearbeitung dieses Sternes hat Bergstrand<sup>1)</sup> eine umfassende Darstellung sämtlicher des bekannten Bestimmungen der Parallaxe von 51 Cygni gegeben. Die Liste der Bestimmungen dieses einzigen Sternes ist geeignet, um sie in ihren das Bild von der Sicherheit unserer Kenntnis der Parallaxen überhaupt zu geben und ihre Betrachtung ist daher sehr interessant. Heute läßt sich die Liste noch um die drei modernsten Werte vervollständigen, nämlich den von Bergstrand selbst gefundenen  $+0.029$ , daraus den von Fokker<sup>2)</sup> Wert  $+0.030$  ebenfalls auf Grund photographischer Bestimmungen beruhend und schließlich den in vorliegender Arbeit gefundenen

$+0.027$ . Ein Blick über die gesamten Parallaxenwerte von 51 Cygni hinsichtlich zunächst den Eindruck einer großen allgemeinen Übereinstimmung hinsichtlich der Größe des Wertes überhaupt. Es ist ganz auffällig, daß systematische Fehlerrisiken bei einer großen Anzahl der Bestimmungen durch Bergstrands haben müssen, die Resultate zu verkleinern, kleinere als die Abweichungen der Einzelwerte von einander auch unter Berücksichtigung ihrer w. F. nicht zu erklären sind. Es ergibt sich in der Bergstrandschen Aufstellung u. a., daß man die klassischen Bestimmungen nach Epochen getrennt in Perioden teilen kann, denn jede einer von einer anderen ganz verschiedenen Wert aufweist. Andererseits findet sich, daß selbst die neueren Werte auch bis zu  $0.2''$  (Pfla<sup>3)</sup>  $+0.021$ , Kozlowsky  $+0.038$ ), also weit mehr als durch ihre Fehlerrisiken erlaubt sind von einander abweichen und es ergibt sich die bemerkenswerte Tatsache, daß die photographischen Bestimmungen bedeutendweg unterschätzten Wert ergeben als die visuellen aus ungefähre gleichen Epochen. Zwar hat Bergstrand vermutet, die Werte der Bestimmungen von Pfla<sup>3)</sup> und Widing<sup>4)</sup> wie den von ihm selbst bestimmten, durch Annahme von Dispersionwirkungen erheblich zu vergrößern und mit einem Teil der visuell bestimmten in Einklang zu bringen, allein die Bergstrandschen Annahmen wird nicht allgemein beigestimmt,<sup>5)</sup> freier würde der Kozlowskysche Wert  $+0.038$ , der von seinem Berechner als ein wesentlichen bei von den sogenannten Fehlern gesprochen wird, erheblich abweichen

<sup>1)</sup> Bergstrand, Untersuchungen über die Doppelsternsystem 51 Cygni, Upsala 1905.

<sup>2)</sup> Widing, Untersuchungen über die Parallaxen und Eigenbewegung von 51 Cygni, Paderborn 1905.

<sup>3)</sup> Siehe Kozlowsky i. v. Pfla; Briefe aus verschiedenen astronomischen Himmelsarten der Leningrad Sternwarte, II. Abhandlung 1905.  
<sup>4)</sup> Widing, Vortragsübersicht des Astronomischen Gesellschaft, 40. Jahrg 1905.

<sup>5)</sup> Bergstrand, Untersuchungen über die Doppelsternsystem 51 Cygni, Upsala 1905.  
<sup>6)</sup> Kozlowsky, Untersuchungen auf dem Gebiet der Sternparallaxen mit Hilfe der Photographie, St. Petersburg 1905.

Die anderen vierzehn Bestimmungen ergeben wie erwähnt zum Teil erheblich kleinere Werte als die mittels Photographie erhaltenen, im anderen wichen aber die Werte nicht unbedeutend voneinander ab und es ist auch noch nicht gelungen, für die mittels der gleichen Methode erhaltenen Werte Gegenstände zu finden, welche es erlauben, die Einzelwerte in Übereinstimmung zu bringen. Obwohl wir aber in der Einsicht, daß weder von einer bestimmten Methode noch einer bestimmten Arbeit hinsichtlich des Sterns  $\delta$  Cygni gesagt werden kann, daß das Resultat frei von systematischen Fehlern sei, auch nur in der durch den natürlichen Fehler gegebenen Begrenzung, so ist klar, daß

wie, wie Katschky sagt, in manchen anderen kleineren Parallaxen lediglich nur Anhebung systematischer Fehler erblickt können.

Man wird demnach nicht ohne Grund, also das nur auf ein paar hundertstel der Sekunde berechneten Parallaxen eine wirkliche Bedeutung nicht zusprechen dürfen. Mit anderen Worten heißt das: Die Zahl der Sterne, welche Parallaxen von mehr als  $0.1''$  besitzen also in Entfernung von weniger als 40 Billionen Meilen noch vorhanden ist sehr gering, selbst wenn man nur die Sterne 1. bis 5. Größe in Betracht zieht. Ob es jemals gelungen wird, wesentlich größere Parallaxenmessungen zu bekommen, muß dahin gestellt bleiben.

## Vermischte Nachrichten.

Die Wärmerestrahlung der Sonne. Ch. Fény und G. Millock haben mittels eines von dem vergrößersten zur Messung hoher Temperaturen in technischen Betrieben konstruiereten „gyromagnetischen Teleskops“ versucht, die Wärmerestrahlung der Sonne zu messen<sup>1</sup>. Das benutzte Instrument ist ein Fernrohr von 180 cm Objektivdurchmesser und 60 m Brennweite. In dem Brennpunkte desselben ist ein Thermoelement aus Eisen-Kopernick angebracht, das die Größe eines Fußsteines hat und bei dem die Masse der Linse in geeigneter Lage beträgt. Man erhält in diesem Instrument bei genauer Einstellung des Fernrohres des Thermoelements, sowie gleichzeitig das am Himmel zu beobachtende Objekt. Dasselbe ist verschlossen durch ein von zwei Metallbögen gebildetes Diaphragma, von denen der eine fest, der andere drehbar ist und jeder einen Ausschnitt in Form eines Quadrates besitzt. Die Öffnung des auf das Thermoelement wirkenden Strahlenbündels

kann also von 8 bis zur heißen Rotglutöffnung variiert werden. Die Thermoelektr. des Eisen-Kopernick Elements wurde mit einem Galvanometer und beweglicher Skala verbunden und bei den Messungen die Öffnung des Diaphragmas stets so klein gehalten, daß der Ausschlag des Galvanometers nicht mehr als 1 Millivolt ausmachte. Bis zu dieser Grenze waren die Ablesungen des Galvanometers dem proportional der Fläche des Diaphragmas.

Die Kalibrierung des Instruments erfolgte durch Einstellung auf einen gleichbrechen Glas von  $1673^{\circ}$ . Die Temperaturnmessungen der brennendsten Wunden ausgeführt in dem Observatorium Janssen und dem Montblanc (4810 m), in Grande-Maison (3650 m), in Chamrousse (1930 m) und in Merdon (150 m) im Mittel ergab sich aus den Messungen zu Merdon  $4620^{\circ}$ , in Chamrousse  $5160^{\circ}$ , auf dem Montblancspitze  $5560^{\circ}$ . Da bei den zu verschiedenen Tageszeiten stattfindenden Sonnenhöhen sich erheblichen Differenzen zwischen den resultierenden Temperaturwerten gestalten, den Einfluß der Absorption in der Er-

<sup>1</sup> Compt. Rend. Acad. Paris 1900 343, p. 595, 596, 597.

atmosphäre zu determinieren, wozu sich als effiziente Sonnenkonstante der Wert  $2025^{\circ}$  ergab.

Außer diesen Messungen wurden auch Beobachtungen in der Weite angestellt, die aus der Sonnenhitze sich über die Fadenkurve des bestmöglichen Fortbewegens bei und die hierbei angetragenen Temperaturen ergibt. Die so lange dem Durchmesser der Sonnenscheibe gemessenen Temperaturen gaben dann, die Kondition für die Absorption in der Sonnenatmosphäre zu bestimmen. Für die absolute Temperatur der Sonnenkorona (bezogen auf absolut Werte von  $5000^{\circ}$  bis  $10000^{\circ}$ ) Es scheint femer, daß die effiziente Temperatur nicht viel von  $5000^{\circ}$  C. verschieden sein dürfte.

**Planetarisches Objekt.** Am 30. Januar 1906 wurde im Anzeiger mit dem 34-zölligen Bruen-Teleskop und 64 Minuten langer Exposition des Spektrum eines in Bewegung befindlichen Objekts photographiert. Der Ort desselben im Himmel ist  $AR = 5^{\circ} 18.1''$  ( $\delta = -79^{\circ} 35'$  (Nr 1875-6). Das Spektrum zeigt sich ähnlich demjenigen der Sonne und das Objekt selbst war eines 8.5 Größe. Prof. Edward C. Pickering bemerkt, daß, wenn dieses Objekt ein kleiner Planet ist, derselbe wegen seiner starken elliptischen Deklination von großem Interesse sein würde<sup>1)</sup>.

**Aufnahmen des VI. und VII. Jupitermondes** hat Prof. Wolf am 22. und 23. December mit dem neuen 28-zölligen Refraktor des Astrophysikalischen Instituts Königsberg-Hindenburg angestellt<sup>2)</sup>. Da das Instrument vollständig noch nicht dazu eingerichtet war, daß es auf den Jupiter selbst während der Aufnahmen eingestrichelt bleiben konnte, so positionierte er einen Fixstern der Umgebung. •Dadurch wurde natürlich bewirkt, daß die Jupitermonde mit ihrer selben scheinbaren Bewegung Striche auf die Platten zogen und dementsprechend

an Helligkeit verbließen. Der Jupitermond VI schrieß daher wegen seiner nicht großen Helligkeit einen dicken, schließenden Strich auf der Platte, während der Mond VII, der als 15. Größe angegeben wird, nur eine sehr zerstückte Spur nachließ, etwa so, wie ein Planet 14. Größe am häufigsten beobachtet wird. Deshalb hat Prof. Wolf auch den Mond VI auf den ersten Blick, während er den Mond VII suchen mußte.

•Der Ausmessung der Objekte stellte sich eine Schwierigkeit entgegen, da alle Aufnahmen gemacht sind, welche mit solch kurzbestimmten Belichtungen gemacht wurden. Besonders großes Öffnungsverhältnis von 1 : 4 und die Bilder der helleren Sterne in geringem Abstand von der Mitte der Aufnahme stark verunst, so daß man die hellen aus dem Katalog entnommenen Anschlußlinien zur Vermessung nicht benutzen kann. Der glückliche Weg ist der, daß man sich auf Umwegen Ort von schwachen Sternen in der unmittelbaren Nähe der zu vermessenen Objekte verschafft, um die Objekte an diese anzuschließen. So verfuhr man in England und Amerika verschiedenerlei bei der Vermessung von Reflektoraufnahmen schwacher Kometen und Monde.

Seit dem Verfahren hat Prof. Wolf eine noch zum Ziele führende Methode gefunden, wobei er einen Stereokomparator benutzt, der so eingerichtet ist, daß es durch gezieltes Verschieben der Objekte der beiden Beobachtungs-mikroskope möglich wurde, mit den beiden Augen zwei Aufnahmen gleichzeitig betrachtet zu veranlassen, die mit ganz verschiedenen Aufnahmewinkeln gemacht waren. Die spezielle Beschreibung des Meßverfahrens gehört nicht hierher. Als Resultat ergibt sich, daß gemäß obigen Messungen der VI. Mond nur wenig von der Seite abweicht, so d. h. er sich nach der Voraussage von Dr. Rümelfinden sollte, während dagegen der VII. Mond um dies 8 Tage hinter dem Ort der Ephemeride zurück ist.

<sup>1)</sup> Harvard Observatory Circular Nr. 128.

<sup>2)</sup> Astron. Nachrichten Nr. 4155.

Stutt 1907. Heft 4.

Die Störungen des Halleyischen Kometen. Im Anschluß an die von verschiedenen Seiten geführten Diskussionen bezüglich der Richtigkeit der Ptolemaischen Rechnungen über die nächsten Periheldurchgänge des Halleyischen Kometen haben P. H. Comell und A. C. D. Crommel eine überschlägige Neuberechnung der Störungen, welche die Bewegung desselben seit dem letzten Periheldurchgange (1835) ausgeübt.<sup>1)</sup> Es wurden nur die Störungselemente, welche Jupiter während dieser Zeit auf den Kometen ausübte und dabei die Rechnungsmethode Ptolemaica beibehalten, jedoch mit anderen Vereinfachungen. Es ergibt sich, daß der Periheldurchgang des Kometen im Mai 1910 zu erwarten ist mit einer Unsicherheit von weniger als einem Monat. Die Rechnung ergibt ferner, daß der von Ptolemaica angegebene Wert der Excentricität der Bahn des Kometen für 1910 richtig ist. Die Periheldistanz wird ebenfalls die gleiche sein wie bei der letzten Wechselperiode. Eine genauere Störungsrechnung, wobei auch die Erweitungen der Umlaufzeit der Erde und des Neptun auf die Bewegung

des Kometen berücksichtigt werden, haben die oben genannten Astronomen begonnen.

Über die Bahn des Kometen 1909 IV hat Hofrat E. Weiß der k. k. Akademie in Wien eine Abhandlung überreicht. Er bemerkt dazu: Der am 3. Mai 1905 von Dr. A. Kopff in Heidelberg auf photographischem Wege entdeckte Komet, welcher damals bereits Karl Mörke sein Perihel passirt hatte, wurde nachträglich auch auf einer Platte aufgefunden, die Prof. M. Wolf am 14. Januar 1905 aufgenommen hatte. Dieser Umstand, verbunden mit der großen Periheldistanz des Kometen, mit Ausnahme der des Kometen von 1729, größten bisher bekannten, läßt es nicht als ganz ausgeschlossen erscheinen, daß er, wenn er vor seiner nächsten Opposition im Mai 1907 absteigend werden wird, nochmals beobachtet werden könnte. Prof. Wolf berechnet daher aus der Aufnahme vom 14. Januar 1905 und drei Normalorten, die aus Beobachtungen zwischen dem 3. und 9. März, 11. und 12. April und 23. und 25. Mai gebildet wurden, die nachstehenden Bahn-elemente:

Zeit des Perihels (T) = 1905  
Perihel vom Nocken (α) = 158°  
Ansteigender Komet (i) = 342  
Neigung der Bahn (j) = 4  
Periheldistanz (p) = 3.3385

Ostl. 10-2147 mitt. Berliner Zeit.

29 56.7  
15 2.8  
16 9.7 } mitt. Äq 1907.0

welche der vor. Orte gut darstellte. Anfang März 1906 zeigte der Komet einen sternenartigen Kern 10 bis 11. Größe mit einem kurzen, etwa  $\frac{1}{4}$ '' langem Schweif und hatte eine so große Gleichmäßigkeit, daß er auch bei Vollmond beobachtet werden konnte. Erste Mal war er auf die 12 bis 13. Größe geschwunden und auch in schwachen Fernrohren nur noch mit Mühe zu verfolgen, wobei allerdings bemerkt werden muß, daß er nur mehr am österröthigen Abendhimmel beobachtet

werden konnte. Auf der Platte vom 14. Januar 1905 erschien er als 17. Größe.

Nach diesen Schätzungen, bemerkt Prof. Wolf, könnte man wohl mit einer ziemlich zuverlässigen Annahme den nachmaligen Auffinden desselben, mindestens mit Hilfe der Photographie, eingegrenzen, wenn nur seine Stellung am Himmel früher zu sichtlich wäre. Als ein glücklicher Umstand hangt es bei es zu bezeichnen, daß er beinahe zu derselben Zeit, in der er seine größte Helligkeit erreicht, sichtbar wird. Es läßt daher Prof. Wolf, schon in einem vorausgesagten, die Wahrscheinlichkeit, den Kometen im Frühling dieses Jahres

<sup>1)</sup> Monthly Notices Astron. Society LXVIII p. 174

vorläufig zu sehen und dann nach einiger Zeit verfolgen zu können, für was nicht allzu geringe.

**800 neue Doppelsterne.** R. G. Allen veröffentlicht die 18. Liste der von ihm entdeckten und vermuteten Doppelsterne.<sup>1)</sup> Dieselben wurden teils am 10-Zoller teils am 12-Zoller des Lick-Observatoriums beobachtet. Damit ist die Gesamtzahl der von Allen entdeckten Doppelsterne auf 1500 gestiegen. Von denselben haben bis jetzt ungefähr die Hälfte der beiden Komponenten nur 2 von Distanz von mehr als 5", 185 (24% der Gesamtzahl) haben Distanzen unter 2", 125 (16% von allen) haben Distanzen unter 1" und 2 Paare welche zwischen 0.19" und 0.11". Einige Beispiele zu bereits bekannten Doppelsterne wurden gefunden bei den Sternchen Strass #1002, 1728, 2345, 2668, 2922, 3843 und zu den Henschen Doppelsterne  $\delta$  666 und  $\delta$  1136. Besonders wohl ist Allen auch auf das Paar A 1373 H $\alpha$ , welches die Hauptkomponente des Strasschen Doppelsterne # 2945 bildet. Er gibt darüber folgende Daten:

A 1373 A.R. = 18<sup>h</sup> 30<sup>m</sup> 41<sup>s</sup> D = + 52° 15' gl.: 1900.0

A = 8.0 Größe, B = 8.0 Größe

1906.02 A.B. d = 0.12",  $\mu$  = 260.1°

A.B. und C ( $\mu$  = 234.8)

A.B. = 5.5 Größe C = 8.5 Größe

A.B. und C d = 29.0"  $\mu$  = 271.0°

Wegen der Helligkeit von A und B und der sehr kleinen scheinbaren Distanz liegen von einander ist eine kurze Untersuchung derselben im Henschenpunkt sehr wahrscheinlich.

**Das Spektrum von Mira Geli** ist während der Zeit der ungewöhnlich großen Helligkeit dieses Sternes von E. M. Sjöber auf dem Lick-Observatorium photographisch aufgenommen worden<sup>2)</sup> und zwar am 13., 18., 20. und 24. Dezember 1906. Die erste Aufnahme zeigt das Spektrum zwischen den

Wellenlängen 24300 und 500 und enthält nur die beiden Wasserstofflinien H $\gamma$  und H $\beta$ , beide stark und hell.

Die zweite Aufnahme, von H $\delta$  bis H $\alpha$  reichend, zeigt ein scharfes lineares helles Spektrum und die hellen Linien H $\alpha$ , H $\beta$ , H $\gamma$ , H $\delta$ .

Die dritte Aufnahme in der gleichen Ausdehnung, zeigt verschiedene dunkle Banden, die gegen Violet hin sehr abgemindert sind, gegen Rot hin aber allmählich abnehmen. Von den Wasserstofflinien sind H $\gamma$ , H $\beta$  und H $\delta$  ziemlich hell.

Die vierte Aufnahme zeigt die Wasserstofflinien H $\alpha$ , H $\beta$ , H $\gamma$ , H $\delta$ . H $\alpha$  ist sehr hell und hat gegen Violet hin eine starke, ziemlich breite dunkle Linie neben sich.

Dem ist, wie Sjöber bemerkt, zum ersten Male, daß die hellen Wasserstofflinien im Spektrum von Mira oder in demjenigen irgend eines Veränderlichen von langer Periode gesehen oder photographiert wurden. Wahrscheinlich ist letztere wegen ihrer Lichtschwäche nicht wahrgenommen worden. Endlich ist noch zu bemerken, daß unter den Absorptionen dieses Spektrums besonders die Linien des Wismuts sehr stark hervorleuchten.

**Künstliche Lichtverschönerung.** Herr E. Benachewicz teilt uns aus einer neuesten populär-wissenschaftlichen Zeitschrift folgende Beschreibung eines Himmelswunders, W. Oropovschi mit. — In dem Dicht Opyy bei Odesk (Gouvernement Wladimir) war ich in der Nacht vom 18. bis 19. Dezember 1906, gegen 4<sup>h</sup> morgens, Zeuge der folgenden Erscheinung. Der Himmel war mit einer unendlichweiten Wolken-Decke bedeckt, so daß es ganz dunkel gewesen sein würde, wenn nicht ein heller Schein ergossen hätte. Ich ging auf einem Wege, da lag auf einmal ein blaßblaues Licht an im Räume noch zu verstehen, welches, sehr schnell vernehmend, gleichsam über mich wurde, bis es das Maximum erreicht hatte, und dann verschwunden ist. Das Licht hat die

<sup>1)</sup> Lick Observatory Bulletin No. 108.

<sup>2)</sup> Astrophys. Journal 1907 Januar 2. 68.



genen Raum vor meinen Augen beleuchtet und war so intensiv, daß das Gefühl, selbst welchem ich vorüberging, und der mit Rühren beglückte Weg schief und deutlich aus Vorzeichen erkennen ließ. Der Schmerz war aber außerordentlich mild; nur hatte der Eindruck, als ob eine große elektrische Länge im Zent sich aufbäumte und alles beleuchtete Miß. Die Helligkeit vergißerte sich mit Unterbrechungen, flimmernd — willkürlich blanke man sagte — das Verschwinden dagegen war gleichmäßig und fast momentan. Die Errechnung hat im ganzen 4 bis 5 Sekunden gedauert, und fand um 4:50 nach Mitternacht statt. Die Möglichkeit einer Sonnenflecken ist ausgeschlossen, da, wie ich später erfahren habe, die Erscheinung auch von einigen Beobachtern desselben, und der weitestgen Osten gesehen wurde.

Alle Wahrscheinlichkeit nach kann es sich um ein sehr hohes Meteor handeln. Es ist dies um so wahrscheinlicher, als Feuerstürze am Morgen immer selten beobachtet werden.

**Neue deutsche Zeitgen.-Station in Horta auf den Azoren.** Von der Hamburger Sternwarte sind im Laufe der letzten Jahre mehrfach auf Ersuchen verschiedener im Hafen von Horta auf den Azoren weil aufstehender Schiffe telegraphische Zeitgen. oder Bestimmung der Kette der Deutsch-Atlantischen Telegraphengesellschaft nach Horta anstellt worden, welche den Schiffen die Möglichkeit der Festlegung ihrer Chronometer mit der genauen Greenwich Zeit geboten haben. Da sich die Kasse der genauen Greenwich Zeit in Horta als ein dauernder Bedürfnis der transatlantischen Schifffahrt herausgestellt hat, so ist vom Deutschen Reich im Einverständnis mit der Deutsch-Atlantischen Telegraphengesellschaft auf deren Station in Horta eine atomisierte Präzisions-Pendeluhr, angefertigt von W. Böhling in Hamburg, Mitte September v. J. aufgestellt worden.

Diese Pendeluhr ist mit elektrischen Kontaktversetzen, welcher Sekundenwählig derselben wöchentlich einmal (Montag früh) auf telegraphischem Wege unter Benützung des Deutsch-Atlantischen Kabels über London direkt auf die Chronographen der Hamburger Sternwarte automatisch überträgt. Es verläuft diese Weise durch Vergleichung mit der Normaluhr der Hamburger Sternwarte der Stand der Pendeluhr in Horta gegen mittlere Greenwich-Zeit bestimmt und sodann der Station in Horta telegraphisch übermittelt, welche für in der dortige Uhrzeit eintrifft.

Die die Azoren passierenden und in Horta Aufenthalt nehmenden Schiffe haben auf dem Wege der Gefogenheit, jederzeit den Stand ihrer Schiffschronometer durch Vergleichung derselben mit der Stations-Pendeluhr mit einer Genauigkeit von wenigen Sekunden der Stunde zu bestimmen. Die Station der Deutsch-Atlantischen Telegraphengesellschaft in Horta ist Tag und Nacht geöffnet, und den dorthin sich einfindenden Schiffen wird das Uhrjournal jederzeit zur Einsicht zugängig gemacht.

**Straß Komet 1903 a.** Am 4 März wurde von Göttingen auf der Sternwarte Nicette einer Kometenbeobacht. 11 GröÙ. Der Ort Göttingen am Himmel war  $\text{März } 18. 30^h 26^m$  in Zeit von Paris  $\text{AR} = 185^\circ 29' 13''$   $\text{D} = - 17^\circ 23' 23''$ . Nach einer vorläufigen Beobachtung von M. Eddi hat der Kom. 1903 März 21's seine Sonnenlinie passiert.

**Fernrohr für Freunde der Himmelsbeobachtung.** Aus dem Leukertus der Stern- und zur mehrere GröÙen und Klassen sehr gut erhalten Fernrohr zum Verkauf angeboten worden. Freunde der Himmelsbeobachtung, welche die Anschaffung eines solchen Instrumentes beabsichtigen, und sich derselben an sich wenden, bei ich in jeder gewünschten Auskunft gerne bereit. Prof. Dr. Kien

# Astronomischer Kalender für den Monat Juni 1907.

Jahr 1907	Sonnen			Mond		
	Mittlere Berliner Zeit			Mittlere Berliner Zeit		
	Zeit M. L. - W. L.	Rektascension	Declination	Rektascension	Declination	Abst. im Meridian
1	0 00 00	0 00 00 00	+23 26 28 7	0 00 00	-23 26 28 7	21 54 1
2	0 04 08	0 04 08 04	23 26 28 0	0 04 08	23 26 28 0	22 17 9
3	0 08 16	0 08 16 08	23 26 27 1	0 08 16	23 26 27 1	22 39 6
4	0 12 24	0 12 24 12	23 26 26 0	0 12 24	23 26 26 0	23 01 7
5	0 16 32	0 16 32 16	23 26 24 6	0 16 32	23 26 24 6	23 23 0
6	0 20 40	0 20 40 20	23 26 22 4	0 20 40	23 26 22 4	23 44 6
7	0 24 48	0 24 48 24	23 26 20 3	0 24 48	23 26 20 3	24 25 4
8	0 28 56	0 28 56 28	23 26 17 9	0 28 56	23 26 17 9	25 06 5
9	0 33 04	0 33 04 32	23 26 15 0	0 33 04	23 26 15 0	25 47 5
10	0 37 12	0 37 12 36	23 26 12 0	0 37 12	23 26 12 0	26 28 5
11	0 41 20	0 41 20 40	23 26 9 0	0 41 20	23 26 9 0	27 09 5
12	0 45 28	0 45 28 44	23 26 6 0	0 45 28	23 26 6 0	27 50 5
13	0 49 36	0 49 36 48	23 26 3 0	0 49 36	23 26 3 0	28 31 5
14	0 53 44	0 53 44 52	23 26 0 0	0 53 44	23 26 0 0	29 12 5
15	0 57 52	0 57 52 56	23 25 57 0	0 57 52	23 25 57 0	29 53 5
16	0 62 00	0 62 00 60	23 25 54 0	0 62 00	23 25 54 0	30 34 5
17	0 66 08	0 66 08 64	23 25 51 0	0 66 08	23 25 51 0	31 15 5
18	0 70 16	0 70 16 68	23 25 48 0	0 70 16	23 25 48 0	31 56 5
19	0 74 24	0 74 24 72	23 25 45 0	0 74 24	23 25 45 0	32 37 5
20	0 78 32	0 78 32 76	23 25 42 0	0 78 32	23 25 42 0	33 18 5
21	0 82 40	0 82 40 80	23 25 39 0	0 82 40	23 25 39 0	33 99 5
22	0 86 48	0 86 48 84	23 25 36 0	0 86 48	23 25 36 0	34 00 5
23	0 90 56	0 90 56 88	23 25 33 0	0 90 56	23 25 33 0	34 81 5
24	0 95 04	0 95 04 92	23 25 30 0	0 95 04	23 25 30 0	35 62 5
25	0 99 12	0 99 12 96	23 25 27 0	0 99 12	23 25 27 0	36 43 5
26	1 03 20	1 03 20 100	23 25 24 0	1 03 20	23 25 24 0	37 24 5
27	1 07 28	1 07 28 104	23 25 21 0	1 07 28	23 25 21 0	38 05 5
28	1 11 36	1 11 36 108	23 25 18 0	1 11 36	23 25 18 0	38 86 5
29	1 15 44	1 15 44 112	23 25 15 0	1 15 44	23 25 15 0	39 67 5
30	1 19 52	1 19 52 116	23 25 12 0	1 19 52	23 25 12 0	40 48 5
31	1 24 00	1 24 00 120	23 25 9 0	1 24 00	23 25 9 0	41 29 5

## Finanzkalender für Juni 1907.

Juni	1	100	Sonne in Konjunktion mit dem Monde.
"	2	1	Merkur tritt aus dem Sonnen Schein.
"	3	1	Venus in Konjunktion mit dem Monde.
"	11	10	Merkur in Konjunktion mit dem Monde.
"	12	10	Mars in Konjunktion mit Merkur, Merkur 1° 50' abf.
"	13	10	Jupiter in Konjunktion mit dem Monde, Befreiung.
"	21	1	Merkur in Konjunktion mit Jupiter, Merkur 1° 40' abf.
"	21	1	Sonne in Opposition mit der Sonne.
"	25	4	Sonne tritt in den Schatten des Krebses, Sonnenstörung.
"	26	4	Mars in Konjunktion mit dem Monde.
"	26	10	Merkur in größter und flüchtigster Opposition, 26° 26'.
"	27	11	Merkur in aufsteigendem Knoten.

**Planeten: Epheemeriden.**

Mittlere Berliner Mittag.							Mittlere Berliner Mittag.						
Jahre Tag	Rektascension			Declination			Jahre Tag	Rektascension			Declination		
	h	m	s	°	'	"		h	m	s	°	'	"
<b>1907</b>							<b>1907</b>						
<b>Merkur</b>							<b>Saturn</b>						
Jan. 1	0	40	12.90	+10	14.30-0	0.34	Jan. 1	10	40	50.00	-	001.20-0	10.36
10	0	30	20.0-0	10.00/00.0	0.24		11	30	01	35.00	-	0.11.00-0	10.27
15	0	00	20.0-0	10.20.00.0	0.20		11	30	02	1.00	-	0.0.0-0	10.10
20	0	21	00.00	10.00.00.0	0.40		<b>Uranus</b>						
25	0	00	1.00	10.00.00.0	0.00		Jan. 1	10	00	0.00	-	00.00.00.0	00.00
30	0	00	1.00-0	+10.00.00.0	0.00		11	30	00	00.00	-	00.00.00.0	00.00
<b>Venus</b>							11	30	00	00.00	-	00.00.00.0	00.00
Jan. 1	0	00	00.00	+10.00.00.0	00.00		<b>Neptun</b>						
10	0	00	00.00	10.00.00.0	00.00		Jan. 1	0	00	12.00	+10	0.00.00	0.00
15	0	0	00.00	10.00.00.0	00.00		11	0	00	10.00	10	0.00.00	0.00
20	0	00	1.00.00	10.00.00.0	00.00		11	0	01	12.00	+10	0.00.00	0.00
25	0	00	1.00	+10.00.00.0	00.00		<b>Mars</b>						
<b>Jupiter</b>							Jan. 1	10	00	00.00	-	00.00.00.0	10.00
Jan. 1	0	00	00.00	+10.00.00.0	0.00		10	00	00.00	00.00	00.00	00.00	
10	0	0	10.00	10.00.00.0	0.00		15	00	00	00.00	00.00	00.00	
15	0	0	10.00	10.00.00.0	0.00		20	00	00	00.00	00.00	00.00	
20	0	0	10.00	10.00.00.0	0.00		25	00	0	00.00	-	00.00.00.0	00.00
25	0	0	10.00	-	00.00.00.0	00.00	Jan. 1	10	00	00.00	-	00.00.00.0	00.00
<b>Saturn</b>							10	00	00.00	00.00	00.00	00.00	
Jan. 1	10	00	00.00	-	00.00.00.0	00.00	15	00	00	00.00	00.00	00.00	
10	10	00	00.00	00.00.00.0	00.00		20	00	00	00.00	00.00	00.00	
15	10	00	00.00	00.00.00.0	00.00		25	00	0	00.00	-	00.00.00.0	00.00
20	10	0	00.00	-	00.00.00.0	00.00	Jan. 1	10	00	00.00	-	00.00.00.0	00.00
25	10	0	00.00	-	00.00.00.0	00.00	10	00	00.00	00.00	00.00	00.00	
<b>Uranus</b>							15	00	00	00.00	00.00	00.00	
Jan. 1	10	00	00.00	-	00.00.00.0	00.00	20	00	00	00.00	00.00	00.00	
10	10	00	00.00	00.00.00.0	00.00		25	00	0	00.00	-	00.00.00.0	00.00
15	10	00	00.00	00.00.00.0	00.00		Jan. 1	10	00	00.00	-	00.00.00.0	00.00
20	10	0	00.00	-	00.00.00.0	00.00	10	00	00.00	00.00	00.00	00.00	
25	10	0	00.00	-	00.00.00.0	00.00	15	00	00	00.00	00.00	00.00	
<b>Neptun</b>							20	00	00	00.00	00.00	00.00	
Jan. 1	0	00	12.00	+10	0.00.00	0.00	25	00	0	00.00	-	00.00.00.0	00.00
10	0	00	10.00	10	0.00.00	0.00	Jan. 1	0	00	12.00	+10	0.00.00	0.00
15	0	00	10.00	10	0.00.00	0.00	10	00	10.00	10	0.00.00	0.00	
20	0	00	10.00	10	0.00.00	0.00	15	00	10.00	10	0.00.00	0.00	
25	0	00	10.00	10	0.00.00	0.00	20	00	10.00	10	0.00.00	0.00	
<b>Jupiter</b>							25	00	10.00	10	0.00.00	0.00	
Jan. 1	0	00	12.00	+10	0.00.00	0.00	Jan. 1	0	00	12.00	+10	0.00.00	0.00
10	0	0	10.00	10	0.00.00	0.00	10	00	10.00	10	0.00.00	0.00	
15	0	0	10.00	10	0.00.00	0.00	15	00	10.00	10	0.00.00	0.00	
20	0	0	10.00	10	0.00.00	0.00	20	00	10.00	10	0.00.00	0.00	
25	0	0	10.00	10	0.00.00	0.00	25	00	10.00	10	0.00.00	0.00	

**Sternbedeckungen durch den Mond für Berlin 1907.**

Wochentag	Stern	Quelle	Eastern middle Zeit		Central middle Zeit	
			h	m	h	m
Jan. 14	β Capricorn	0.0	10	55.9	10	55.9

Lage und Größe des Sternfeldes sind im Monat Jan. nicht zu beobachten.

Jan. 1.	Mittlere Scheitel der Elipse	68° 50'	4.10
	Winkel	28° 17'	0.40"
	Halbmesser der Sonne	10	40.50"
	Parallaxe		0.10"

Stellungen der Jupitermonde im Juli 1903.

L.		II.	
II.		IV.	

Stellungen von 15° für den Anblick im schwachvergrößernden Fernrohr.

Tag	West.	Ost.
1	4 3 2 1 0	1 2 3 4 5
2	4 3 2 1 0	1 2 3 4 5
3	4 3 2 1 0	1 2 3 4 5
4	0 1 2 3 4	5 4 3 2 1
5	4 3 2 1 0	1 2 3 4 5
6	4 3 2 1 0	1 2 3 4 5
7	4 3 2 1 0	1 2 3 4 5
8	4 3 2 1 0	1 2 3 4 5
9	0 1 2 3 4	5 4 3 2 1
10	4 3 2 1 0	1 2 3 4 5
11	4 3 2 1 0	1 2 3 4 5
12	4 3 2 1 0	1 2 3 4 5
13	4 3 2 1 0	1 2 3 4 5
14	4 3 2 1 0	1 2 3 4 5
15	4 3 2 1 0	1 2 3 4 5
16	4 3 2 1 0	1 2 3 4 5
17	4 3 2 1 0	1 2 3 4 5
18	4 3 2 1 0	1 2 3 4 5
19	4 3 2 1 0	1 2 3 4 5
20	4 3 2 1 0	1 2 3 4 5
21	4 3 2 1 0	1 2 3 4 5
22	4 3 2 1 0	1 2 3 4 5
23	4 3 2 1 0	1 2 3 4 5
24	4 3 2 1 0	1 2 3 4 5
25	4 3 2 1 0	1 2 3 4 5
26	4 3 2 1 0	1 2 3 4 5
27	4 3 2 1 0	1 2 3 4 5
28	4 3 2 1 0	1 2 3 4 5
29	4 3 2 1 0	1 2 3 4 5
30	4 3 2 1 0	1 2 3 4 5
31	4 3 2 1 0	1 2 3 4 5

Ercheinungen der Jupitermonde. Die stiftlichen Angaben über die Ercheinungen der Jupitermonde beziehen sich auf mittlere Zeit von Göttingen. Die Trabanten sind der Reihenfolge ihres Abstandes vom Jupiter nach mit I bis IV benannt. Die vier größten Planeten zeigen die Stellung jedes Planeten mit Bezug auf den Jupiter bei den Aufgängen der Verhinderung (A) oder der Wiederaufnahme (B) ist nicht angegeben, in hundert der Abstände sind durchgehenden nicht beobachtet werden. Ferner bedeutet bei den nachfolgenden Zeitangaben:

- Er D das Verschwinden des Trabanten im Schatten des Jupiter
- Er E den Austritt des Trabanten aus dem Schatten des Jupiter
- Ge D das Verschwinden des Trabanten hinter die Jupiterschleife
- Ge R das Wiederaufnehmen seitlich neben der Jupiterschleife
- Th I den Eintritt des Trabanten vor die Jupiterschleife
- Th E den Austritt des Trabanten aus der Jupiterschleife
- Th I den Eintritt des Trabanten hinter die Jupiterschleife
- Th E den Austritt des Trabanten hinter die Jupiterschleife

Es sind nur diejenigen Ercheinungen der Jupitermonde aufgeführt, welche sich ereignen, wenn Jupiter im Opposition über und die Sonne unter dem Horizont steht. Wie die Merkmale dieser Ercheinungen nach christenzeitlicher Zeit zu finden, hat man nur nötig, 1<sup>te</sup> zu dem angegebenen Zeitpunkt zu addieren

Juni 1. I. Ge D 17<sup>h</sup> 10<sup>m</sup>. Juni 2. I. Th E 15<sup>h</sup> 14<sup>m</sup>. Juni 4. E. Th I 17<sup>h</sup> 14<sup>m</sup>.  
 II. Th I. 17<sup>h</sup> 41<sup>m</sup>. Juni 5. IV. Ge E 17<sup>h</sup> 17<sup>m</sup>. Juni 6. I. Th I. E. 17<sup>h</sup> 41<sup>m</sup>. Juni 23.  
 II. Ge R 17<sup>h</sup> 10<sup>m</sup> 10<sup>s</sup>. Juni 24. I. Th I. 17<sup>h</sup> 10<sup>m</sup>.

Wegen der Nähe des Jupiter bei der Sonne fehlen die Ercheinungen der Jupitermonde für die Zeit vom 15. Juni bis 18. August aus.

## Stellungen der Saturnmonde. (Erläuterung S. 30.)

Zeitraum der stiftlichen Angaben bis Juni 1907

Best. bis 1911a Juli nicht zu beobachten

Mehrere grössere und kleinere

## *astronomische Fernrohre*

sind sehr preiswürdig zu verkaufen. Interessenten wollen sich wegen näherer Mittheilungen an mich wenden.

**Prof. Dr. Hermann J. Klein in Köln-Lindenthal.**



1.



2.

Seite 100

Sammlungsraum und Museum Wissen

Tablet V.

1. der Kuppel Spiegel, abgelesen ist die Prüfung, 2. der Bereich der optischen Flächen, der die Kuppel  
Laboratorium.







da, 348 Kreusa, 349 Jovinda, 350 Senta,  
351 Ortrud, 352 Siglinda, 353 Kundry,  
355 Nanna, 356 Phyllis, 357 Violeta,  
358 Carmen, 359 Nanna, 360 Delia,  
361 Ingvalda, 362 Salome, 363 Solanka,  
364 Dada, 365 Eleonora, 366 Tancruda.

Der interessanteste Plutonis Theile und Achromatische wurden zu Hirtelberg photographirt, ebenso der Planet Fotia (254), welcher seit 1881 nicht wiedergefunden worden war. Das Jahr 1886 hat die reichlichsten Plutondurchgängen aller bisherigen Jahre aufzuweisen und übertrifft die Rekord von 1864 (24 Plutonen) um das Doppelte. Selbstverständlich wird eine gewisse Anzahl der als neu entdeckten Plutonen sich als bereits früher beobachtet herausstellen, immerhin aber bleibt die Anzahl der 1886 wirklich zum ersten Male gesehenen Plutonen sehr groß, und zeigt, daß die bisherige gelebte Meinung, daß in wenigen Jahren die kleinen Plutonen sämtlich entdeckt sein würden, verfehlt ist. Einer der 1886 entdeckten kleinen Plutonen beweist außerdem, daß es Aufgaben der Nachforschung nach einem Gliedere des Sonnensystems, die Größe des Verlorenen wichtiger Objekte nach sich ziehen dürfte. Denn ist der kleine Planet TU 358, dessen mittlerer Abstand von der Sonne fast genau demjenigen des Jupiter gleichkam, der aber infolge der großen Excentricität seiner Bahn, in der Sonnenferne um fast 30 Millionen Meilen über die mittlere Entfernung des Jupiter hinaus, von der Sonne entfernt steht.

Neue Trabanten des Jupiter sind Saturn. Im vergangenen Jahre hat Dr. F. E. Roß von unserer Bahnstation des 2. Jupitermondes nachentdeckt, gemäß welchen die Umlaufdauer desselben 2507 Tage und die Excentricität der Bahn 0.255 beträgt. Nach den neuesten Beobachtungen dieses Trabanten in Oesterreich, scheint es, daß die wirkliche Umlaufdauer dieser bei 257 Tagen liegt.

Auf den photographischen Platten der Harvardsterne und aufgleichte

Nachforschungen nach einigen Aufnahmen des 6. Jupitermondes vor dessen erster Entdeckung, festgestellt worden. Es hat sich ergeben, daß dieser Trabant sich wirklich auf Pluton findet, die 1884 Januar 25, 1886 Juni 26, 27, 28 und Juli 1 und 12 aufgenommen worden sind. Daraus erkennt man den schwachen Lichtpunkt nicht als Trabanten des Jupiter und erst die Rückversicherung mit seiner Entdeckung, führte zur richtigen Erkenntnis. Die Hauptbestimmung der letzteren liegt darin, daß die gestirnte, die Umlaufdauer dieses Mondes genauer festzustellen. Der gegenwärtig wahrscheinlichste Wert derselben ist 2615 Tage und wahrscheinlich innerhalb 0.2 Tag genau. Die Umlaufperioden des 6. und 7. Jupitermondes sind demnach sehr von gleicher Dauer.

Bezüglich des 18. Saturnmondes bemerkt Prof. E. Pickering, daß derselbe, ebenso als äußerst schwieriges Objekt, bei 2 1/2 schließlichen Abstand von Saturn gesehen werden konnte.

Die Anzahl der Kometen, welche 1886 entdeckt oder beobachtet wurden, ist sehr groß. Die folgende Tabelle enthält die wichtigsten Angaben hierüber. In derselben bedeuten die Kolonnen folgenden: 1. Benennung des Kometen bei der Entdeckung, 2. Datum der Entdeckung, 3. Name des Entdeckers, 4. Datum der letzten Beobachtung, 5. Zeit des Periheldurchganges, 6. Benennung des Kometen im Kometenverzeichnis. (Tabelle umstehend.)

Der Komet 1885 IV war, wie sich nachtrüglich fand, auf dem Observatorium Königsstuhl schon am 14. Januar 1885 photographisch aufgenommen worden, also 415 Tage vor der Entdeckung durch Dr. Köpfl. Seine Bahn ist bemerkenswert durch die große Periheldistanz (31mal so groß als die Entfernung der Erde von der Sonne). Er wird nur überrollen von der Periheldistanz des Kometen von 1729.

Der Komet 1886 B wurde auf der südlichen Erdhälfte entdeckt, entsprechend

1	2	3	4	5	6
Komet 1905-I . . . . .	1905 Nov. 17	Schwarz	1905 Januar	1905/Okt. 25	1905 V
• 1905-I . . . . .	Dec. 1	Chacabian	Start	1905/Jun. 22	1905 I
• 1905-II . . . . .	1905 Jan. 26	Brooks	April	1905/Dec. 22	1905 VI
• 1905-F . . . . .	Febr. 3	Kapf	Mar.	Oct. 15	79
• 1905-G . . . . .	• 17	Reis	April	1905/Febr. 20	1905 II
• 1905-H (Peters) . . . . .	Juli 15	Kapf	Nach sichtbar	Sept. 5	V
• 1905-I . . . . .	Aug. 22	Kapf	1905 Oktob.	1914 3	79
• 1905-J (Holmes) . . . . .	• 3	Max Wolf	Nach sichtbar	März 14	II
• 1905-K . . . . .	Nov. 11	Theile	•	Nov. 21	VII
• 1905-L . . . . .	• 14	Metcalf	•	Oct. 18	VI

tere Bahn am Himmel war nicht günstig für die Beobachtungen der nebularen Hemisphäre.

Komet 1905-V ist der Finlaysehe Komet bei seiner dritten Rückkehr seit Entdeckung desselben; 1905 bis 1909 ging er unbeständig vorüber. Bei der nächsten Rückkehr (1909) wird er in die Nähe des Jupiter kommen und dadurch beträchtliche Störungen seiner Bewegung erleiden.

Komet 1905-IV gehört zur Familie der Kometen mit kurzer Umlaufdauer; er konnte nicht lange beobachtet werden, aber der elliptische Charakter seiner Bahn ist unzweifelhaft.

Komet 1905-III war der Holmseehe Komet bei seiner zweiten Rückkehr. Nur sehr wenige Beobachtungen desselben gelangen 1890 bis 1900 zu den großen Fernrohren der Lick und der Yerkesobservatorien. Die Vermutung von Dr. Zwass, erweise sich als sehr genau. Nach der Epochenende desselben fand Prof. Wolf den Kometen am 28. August als sehr hellrothweisses Objekt, das jedoch wahrscheinlich zu dem größten Teleskop beobachtet worden konnte.

Komet 1905-VI wurde von Metcalf zu Tauriden photographisch entdeckt. Die Beobachtungen desselben sind sehr sehr zahlreich und liefen zunächst in die Zeit nach dem Perihel des Kometen, die grössten aber, um zu zeigen, daß es sich um einen komparativ neuen Kometen handelt, dessen Umlaufdauer etwa  $7\frac{1}{2}$  Jahre beträgt, und dessen

Bahn große Ähnlichkeit mit den Bahnen der Kometen Faye, Wolf und andere zeigt. Die Bahnen folgender Kometen sind definitiv berechnet worden:

	Beobachter	Errechner
Komet 1905	Parabolisch	B. Cohn
• 1905-I	Elliptisch	Peck
• 1905-F	Parabolisch (?)	Malet
• 1905-II	Elliptisch	Faye
• 1905-III	Elliptisch	Schmiede
• 1905-IV	Parabolisch	Knapp
• 1905-V	Hyperbolisch	McLennan

Das Ergebnis der Berechnung für Komet 1905-V ist nicht sehr befriedigend. Komet 1904-III war früher als ein hyperbolischer Komet bezeichnend worden, die neue Berechnung ergibt daher keine Bestätigung. Dem Kometen 1903-3 würde nach einer parabolischen Bahn den Beobachtungen ge- folgen, die Hyperbel ist jedoch Bedenken erregend.

Meteore. Das Jahr 1905 brachte hieher sehr bemerkenswerthe. Die Perseiden konnten wegen schlechten Wetters nicht beobachtet werden und die Leoniden und Andromeden waren unvorhanden. Die Quadranten regneten am 3. Januar einige bemerkenswerthe Meteor. Die Lyriden wurden von C. L. Bosc zu Meiblen am 21. April beobachtet, und zwar trafen in 35 Sekunden 17 Meteore diesem Strom auf. Am Abend vorher war während einer Stunde nur 1 Meteor sichtbar gewesen, so daß das Maximum unvorhoffelt für den 21. April anzusetzen ist. Die Augustperseiden konnten wegen schlech-

im Wetters und Menschenen nur August 12, 13, 14 beobachtet werden. Es ergaben sich an den beiden ersten Abenden 15 bis 18 Meteore pro Stunde, an den beiden letzten 30 und 30. Um die Mitte des November wurden einige wenige Leoniden gesehen, November 14 an zwei Orten eine prächtige Feuerkugel dieses Schwarmes mit einem mehrere Minuten sichtbaren blühenden Schweife. Am dem nämlichen Abende schiffe man auf der Ma Carmackensseite (Virginia N. A.) von 12° bis 17° 21', 52 Leoniden und 12 Meteore aus anderen Himmelsgegenden.

Die Sonnenfleckigkeit zeigte sich 1906 als letzte Phase des derzeitigen Fleckenmaximums. Große Gruppen von Flecken, welche 1901-chenmerklich waren, erschienen weniger häufig. Die Sonnenfackeln waren ungefähr ebenso zahlreich als 1905, ebenso die Protuberanzen. Sie erschienen wie 1905 auf der nördlichen Hemisphäre der Sonne zahlreicher als auf der südlichen. Vom 4. bis 11. Juni war eine hervorragende Gruppe von Protuberanzen um den Nordpol der Sonne gruppiert und am 21. August zeigte sich eine gewaltige Kohlenflamme, 150000 engl. Meilen senkrecht über die Photosphäre emporsteigend, am westlichen Sonnenrande auf der nördlichen Hemisphäre in der Fleckenzone. Sie verschwand sehr rasch wieder, denn auf einer 40 Minuten später gemachten Aufnahme ist von ihr keine Spur mehr wahrnehmbar. Eine bemerkenswerte Tatsache ist für 1906 das häufige Auftreten von Protuberanzen in der Nachbarschaft der Sonnenpole.

Doppelsternbeobachtungen waren 1906 sehr zahlreich. Es gab eine Verwechselung von 123 durch die neu entdeckten Doppelsterne. Die Sternwarte Greenwich veröffentlichte ihre Messungen von Doppelsternen 1905 am 15-zelligen Refraktor, Bernard publizierte seine Messungen von 41 Cygn, welche die Wilsons Hypothese, daß hier periodische Gravitationen der schwebenden Distanz auslösten, stützt bestätigen. Abgab

gab die Verzeichnisse von 356 neuen Doppelsternen, von denen bei 261 die Begleiter weniger als 2" vom Hauptstern entfernt waren. Außer den vorstehenden wurden auch viele andere Doppelsternmessungen veröffentlicht, ebenso Sternbeobachtungen.

Veränderliche Sterne. Die Zahl der 1906 aufgefundenen Veränderlichen beträgt mindestens 121, welche fast alle in den Zirkularen der Harvardsternwarte zuerst angegeben worden sind. Prof. E. C. Pickering hat hervor, daß da jetzt im ganzen wohl über 2000 Sterne mit ständlicher Helligkeit bekannt sind, die Zahl da sei für allgemeine Untersuchung über die Verteilung derselben unter den Sternen überflüssig. Er schätzte die Anzahl aller Sternhaupt vorhanden Sterne bei einschließlich 16 Größen auf 50 Millionen und schätzte vor, diese unzähligen Sterne zu untersuchen durch Überwindung der zu verschiedenen Zeiten aufgenommenen photographischen Platten. Es handelt sich also um eine ziemlich rote Methode der Prüfung, aber dafür ist dieselbe vielleicht für die jüngste Generation der Beobachter geeignet.

Die Carnegie-Institutionen Washington hat Untersuchungen zur Photometrie der Fixsterne veröffentlicht, die in den Jahren 1904 bis 1905 von J. A. Parkhurst auf der Sternwarte angestellt worden sind. Sie betrafen sich auf 12 Sterne von denen 10 in doppelter Zeit entdeckt wurden und bezweckten die genauere Bestimmung ihrer Lichtkurven und besonders des Verhältnisses derselben zur Zahl des schwächsten Lichtes, wenn sie in Fernrohren von mittlerer Größe, ganz wesentlich und in den Monaten der hellsten Astronomischen Gesellschaft erschien im Bereich der Section für veränderliche Sterne von E. C. Pickering, der sich auf 26 Variable von langer Periode und unregelmäßigen Lichtwechsel bezieht und die Beobachtungen von 21 Mitgliedern der Section aus den Jahren 1900 bis 1904 enthält.



1886 von Seligowitz bekannt worden, da später zu dem Schluss kam, daß die Bahn derselben mit Bewegung ihrer Apogäumsecke verge. Die Beobachtungen auf dem Lohr-Observatorium führten nach den Untersuchungen von H. B. Curtis zu dem Ergebnisse, daß eine solche Bewegung nicht stattfindet und die Bahn nur eine Exzentrität von 0,01 besitzt, also nahezu kreisförmig ist. Im Oktober 1904 sagte Curtis an, daß die letzte Komponente eine veränderliche Radialbewegung besitzt und letzte aus seinen Beobachtungen eine Bahn ab mit einer Exzentrität von 0,50. Dobeck kam in seiner letzten Untersuchung über die nichtbare Doppelstern des Centor zu dem Resultate, daß die Unstabilität derselben um den gemeinsamen Schwerpunkt wahrscheinlich 147 Jahre beträgt. Das relative Bewegung der beiden Systeme, welche den sichtbaren Doppels Stern bilden, beträgt 7,25 km pro Sekunde, die Unstabilität des letzten spektroskopischen Doppelsystems ist 9268 Tage, die des andern 24283 Tage.

Aus einer Diskussion von 56 Spektren genommen das Stern 1 Andromeda, welche auf der Lohr-Observatorium erhalten wurden, schreibt K. Dörre, daß dieser Stern ein spektroskopisches Doppelsystem ist mit einer Unstabilität von 105 Tagen.

Die autrophotographische Karte, deren Herstellung auf Grund der inter-

nationales Vereinbarung begonnen werden, schon auch 1905 vorgelegt. Greenwich, Oxford, und Potsdam haben die Messungen der von ihnen übernommenen Zeiten teilweise publiziert. Vorgelegte Reproduktionen der Sternplatten wurden von Observatorien zu Paris, Alger, Toulouse, Bordeaux, San Fernando und Greenwich abgegeben.

Von Sternkatalogen sind im Jahre 1905 mehrere wichtige erschienen. Der Katalog der Zodiakalbarnen für 1905 und 1906, welcher im 2. Bande der *Astronomical papers of the American Ephemeris* erscheint, enthält 1987 Sterne und ist hauptsächlich für die Vorausberechnung von Sternbedeckungen durch den Mond bestimmt. Der *Cape General Catalogue* für 1905 enthält 3285 Sterne südlich vom Zenith in Kapstadt und 905 nördliche. Von andern Sternkatalogen ist Andrews Sternverzeichnis erscheinend alle Sterne bis 6,5 Größe für das Jahr 1900 zu erwähnen. Dasselbe enthält die Positionen von 7665 Objekten, von denen 3029 schwächer als 6,0 Größe. Von dem großen Sternkatalog der Astronomischen Gesellschaft ist die von der Straßburger Sternwarte herausgegebene Zone zwischen  $-2^{\circ}$  und  $-8^{\circ}$  süd. Deklination und die von der Sternwarte Oberrhein-Wien herausgegebene Zone (enthaltend 4204 Sterne)  $-4^{\circ}$  bis  $-10^{\circ}$  süd. Deklination (enthaltend 8468 Sterne) im Jahre 1905 erschienen.

## Die Entdeckung des Saturnrings.

Durch dieses zahlreiche, höchst merkwürdige und vielfach völlig unerwartete Entdeckungen am Himmel sind die letzte Jahrhunderte so sehr erweitert, daß wir nicht nur schwer einen angemessenen Begriff davon machen, welchen Aufschwung eine astronomische Entdeckung vor zwei oder drei Jahrhunderten unter ähnlichen Umständen hervorrief. Wenn man hört, daß auf die Entdeckung von 4 Saturnmonden durch

Dominique Cassini in Paris (1684) eine Medaille geschlagen wurde mit der Inschrift: *Insensit. Cassini. Saturni. ringis. repertis.* und in dem guten Tone der Pariser Weltgebürde über die Monde des Jupiter und Saturn zu konversieren, so wird man sagen, daß es ihm so wunderbar Entdeckung, wie die der periodischen Verdoppelung der Umlauf in gewissen Sternsystemen und ihre richtige Erklärung, deren Zeitpunkte wir sind, in

großen Publikum von heute bei weitem nicht die verdienstliche Beachtung gefunden hat. Man ist bestrebt, das an wichtige Entdeckungen und großartige Entdeckungen auf allen Gebieten zu gewöhnen, daß man in dieser Beziehung kaum mehr über etwas entsetzt, auch nicht lange dabei verweilt, denn fast jeder Tag bringt Neues und Unerwartetes. Um den richtigen Maßstab nicht ganz zu verlieren, ist es daher gesprochen, von Zeit zu Zeit einen Rückblick auf die Geschichte der Wissenschaft zu werfen und bei einer oder der andern früheren Entdeckung etwas länger zu verweilen. Eine solche Gelegenheit bietet sich gegenwärtig bezüglich der Entdeckung des Saturnringes, indem Jean Niccol, Astronom an der Pariser Sternwarte, kürzlich eine Schrift veröffentlicht hat, die sehr viel spezielles Material enthält und ebenso wertvolle Wiedergaben der alten Zeichnungen<sup>1)</sup>. Wir werfen deshalb an der Hand dieser Schrift einen Blick auf die Entdeckungsgeschichte der wahren Gestalt des Saturn.

Galilei hatte kaum die nach ihm bekannte Fernrohr zusammengebaut als er es im Sommer 1610 auf den Saturn richtete. Die Unvollkommenheit und optische Schwäche dieses Instruments ergaben ihm zu seiner Überraschung den Planeten in einer höchst blassen Gestalt. Diese Absonderung des Saturn von der Masse der Kugeln oder Kugeln betrachtete Galilei als eine wichtige Entdeckung, die er jedoch noch nicht veröffentlichte, sondern in folgendem Logograph verlegte:

*Saturnus et abspoliatus videtur  
gloriose.*

Daneben konnte man noch recht das bestrebt, nicht ohne eingeschlagene Verfahren, eine neue Entdeckung oder Entdeckung davon überher nicht den Mut hat, dann öffentlich bekanntzugeben.

<sup>1)</sup> J. Niccol, in Documents de l'Association de l'Association des Astronomes, Paris 1901, Gauthier-Villars.

Im verschlossenen Kasten bei einer Akademie zu lesen, so lange bis die Sache ganz sprechbar geworden ist. Galilei schickte sich die Freiheit seiner Entdeckung dadurch, daß er später jene kleinen Buchstabenentdeckung in einem Satz von fünfzehnten Buchstaben aufstellte. Bis zu letztem Moment bewahrte sich Galilei, diesem spekulativen Geist nicht leicht an einer für Galilei gestellten Aufgabe verweilte, vergibt sich, den Sinn des Buchstabenentdeckungsbegriffes Galilei gab deshalb bald nachher selbst die Lösung indem er die Buchstaben zu folgendem lateinischen Satz ordnete:

*Astronomus planetam Saturnum  
observat.*

Ich habe den entworfenen Planeten als den Planeten Körper gesehen.

Am 13. November 1610 schrieb er an Julius v. Medici: «Wenn ich den Saturn mit einem Fernglas von mehr als 30-facher Vergrößerung beobachte, so erscheint der Zentralteil am größten, die beiden, die rechts und links davon stehen, sind aber auf einer Linie, die nicht in die Richtung des Zeniths 1610, scheint diese zu bestehen. Sie sind gewissermaßen wie zwei Dornen, die den alten Saturn auf seinem Wege stützen und immer an seiner Seite bleiben. Mit einem Fernglas von geringerer Vergrößerung erscheinen Saturn langlich und in der Form einer Olive. Galilei setzte seine Beobachtungen des Saturns fort und hat auch dadurch, daß sich die Behauptung der beiden seitlichen Anhängel mehr und mehr verminderte bis im 1612 ganz verschwand und der Planet völlig rund erschien. Diese Wahrnehmungen bestritten ihm nicht wenig, ja es waren solche im Winter 1613/14 (1615) sogar, daß seine früheren Wahrnehmungen nur Beobachtungen durch die Gläser seiner Fernrohre gewesen sein könnten. Später hat Galilei den Saturn nicht mehr beobachtet und stattdessen die Gestalt der Gestaltentdeckung desselben begründet zu haben.

Aber auch andere Beobachter, welche die von astronomischer wackelnder Farn-  
glut auf dem Saturn stützten, waren  
nicht glücklich. Cassini selbst  
1655, Saturn zeigte einen Hebel, im  
folgenden Jahre sah er ihn nur als sehr  
abgeplatteten Körper und 1659 sagt er:  
„Ich sehe die beiden kleinen Körper  
rechts und links vom Saturn nicht mehr,  
sondern zwei Hebel, welche von dem  
Planeten getrennt scheinen. Das ganze  
hat die Form eines wenig verlängerten  
Ovals, so daß der centrale Körper etwas  
über ein Drittel der ganzen Länge be-  
trägt, aber er erscheint heller und von  
glänzenderem Weiß als die beiden Hebel.“  
Cassini gab auch eine Zeichnung  
des Saturn, so, wie sich derselbe ihm  
am 20. November 1655 darstellte. Man  
ersieht aus dieser vorzüglichen Zeich-  
nung, daß der Ring damals am weitesten  
geöffnet erschien und man muß sich  
nur wünschen, daß Cassini die wahre  
Form desselben nicht erkannt. In den  
folgenden Jahren sah er den Anschein  
des Saturn auch anders, 1656 erschien  
er als sehr abgeplattetes Oval mit zwei  
runden Löchern an der Seite und 1662  
sah Cassini zu seinem großen Er-  
staunen, daß auch diese Erscheinungen  
waren und der Planet völlig rund war-  
de! Ich weiß nicht, weshalb er, weil  
sein Saturn dieses Aussehen zeigt,  
denn ich habe ihn nicht oft genug be-  
obachtet und mit 22 Monaten kein  
Nein darüber gesagt, indessen er-  
innere ich mich, daß Herr Neumeier,  
der von mir die Ferngläser geliehen hatte,  
bei Zurückgabe desselben sagte, er habe  
von dem Hebeln des Saturn nichts  
verbreitern können. Ich schob das  
auf die Schwäche seines Oculen und  
sah selbst am Himmels nicht mehr.  
Cassini selbst zeigte seine Saturnbe-  
obachtungen lange fort, 1663 sah er  
den Planeten wieder aus dem Klappen  
bestehend, 1664 und 1665 bezeichnet  
er die Gestalt der kleinen seitlichen Kör-  
per als Kugelformung, aber im folgen-  
den Jahre war die Gestalt von 1656  
wieder da. Cassini beobachtete im

1655 und beobachtete zum Ansehn über  
den von ihm wahrgenommenen Ver-  
änderungen im Aussehen des Saturn zu  
schreiben, aber er starb am 24. October  
jenes Jahres und konnte nur seinem  
Schüler La Poirey empfehlen, die Be-  
obachtungen fortzusetzen. Cassini starb  
also ohne die 1656 ebenfalls sichtbar  
gewordene runde Gestalt des Saturn  
wieder gesehen zu haben.

Huygens (1629 — 87) schenkte sich  
ebenfalls mit großen Fleiß der Be-  
obachtung des Saturn, aber 1646 erklärte  
er offen, daß er die eigentlichen Er-  
scheinungen im Aussehen dieses Plan-  
eten nicht deuten konnte. Nachdem er  
im 1656 weiter beobachtet und glänzige  
Ergebnisse bei seinen Wahrneh-  
mungen gehabt hatte, glaubte er folgende  
Deutung geben zu können: „Saturn ist  
deutlich und eine zentrale Teil hat  
elliptische Gestalt. Die beiden seitlichen  
Teile sind kreisförmig kugelförmig son-  
dern kreisförmig und unendlich  
mit den Spitzen an dem centralen  
Körper befestigt, begrenzt von einem  
durch einen Ring getrennt. Infolge  
von Rotation werden die beiden An-  
hänger des Planeten um diese bewegt,  
so daß zuerst das eine vor das andere  
hinter denselben Schritt tritt und also  
beide nicht sichtbar sind. Huygens  
unterschied sechs Hauptphasen im Aus-  
sehen des Saturn, je nachdem die Hebel  
denselben völlig teilweise oder gar  
nicht sichtbar waren. Der Satz seiner  
Zeit folgend, gab er diesen Phasen  
Namen in barbarischem Latein z. B.  
Saturnus sphaerico-capsulatus, Saturnus  
elliptico-ovatus-dimatus, welche un-  
gen, wie weit der Dargestellte Astronom  
und Körpermeister von einer correcten  
Auffassung der Erscheinungen ab-  
wichen war.

Der gewese Cl. P. de Balmoral kam  
der Wahrheit näher, wenigstens einzu-  
räumen, daß die Spitz, aber da er kein  
wissenschaftlicher Beobachter war, blieb  
er auf halben Wege. Er meinte, in  
der Äquatorlinie des Saturn stüßen  
unter dem Einfluß der Sonnenstrahlen





zeit habe. — Bellair hat vorgerichtet letzteres in seinem Aufwortschreiben vom 4. Jan. 1656, er ist aber nicht besonders für die Huygenuss Erklärung begeistert. Er hält die Hypothese des Ringes für haltbar und verprobt, was er Male findet, sich genauer damit zu beschäftigen. In einem Briefe an J. Chaplain (1645 bis 1674), der einer der ersten Mitglieder der Pariser Akademie, doch sonst eine nicht Bedenken war, gibt Huygens unter dem Datum des 18. März 1656 eine ausführliche Erklärung der Erscheinungen, welche das Aussehen des Saturn in regelmäßiger Folge darbietet. Es heißt in diesem Briefe:

„Nachdem ich den Mond oder Trabanten des Saturn entdeckt hatte, der in 10 Tagen seinen Umlauf vollendet, sagte ich mir so gleich, daß Saturn selbst sich um seine Achse dreht, und zwar innerhalb kürzerer Zeit als 10 Tage. Denn ebenso wie die Erde in einem Tage sich

um sich selbst dreht, und der Mond um diese in dem Zeitraum eines Monats, so scheint es auch, daß Jupiter am Äquipolus der Bahn seiner Monde nicht weit davon Saturn im Peritrium der Bahn seiner Trabanten. Dieses fuhrt mich zu Vermutung, daß auch die Sonne sich um sich selbst dreht, während sie das Zentrum der Bewegung für alle großen Planeten bildet. Hieraus ansetzend, stellte ich mir die Erscheinungen der Saturneränderung so vor Hypothese, welche mit dieser Rotation zusammen bestehen könnte und in diesem nur habe ich dann sein zu können als die folgende, die in dem Ausgange an Saturn meine Beobachtungen getroffen ist, nämlich:

welche Beobachtungen richtig gedeutet folgende Werte geben:

Annahme: ungerad, runde, runde, runde, runde, runde, runde, runde.

(Er wird umgeben von einem dünnen, ebenen, kreisförmigen, gegen die Ellipse gerichteten Ringe.)

Huygens gibt mehrere Folgerungen des Saturn zur Erklärung seines Aussehens gemäß der von ihm aufgestellten Hypothese. Eine Figur, die er, ganz übereinstimmend und ohne Einfluss nehmen, lediglich um das Prinzip seiner Erklärung zu verdeutlichen, in kurz angedeutet, ebenso seine eigene Erklärung.



Huygens' Hypothese der Erscheinung von Saturn vom 18. März 1656 zur Erklärung des veränderlichen Aussehens des Saturn

„Um zu zeigen,“ schreibt Huygens, „war alle Erscheinungen sich gestalten, habe ich die nebenstehende Figur entworfen. ABCD ist perspektivisch die Bahn, welche Saturn in 30 Jahren durchläuft. Der Saturn E befindet sich nach Copernicus nahe in der Mitte dieses Kreises und in dessen Ebene, nähert er der Ebene der Ellipse. Der Kreis PQ stellt perspektivisch die Bahn der Erde dar, deren Durchmesser nahe ein Zehntel von demjenigen des Kreises ABCD. Der Acher, um welche andere Erde F sich ighen dreht ist gegen die Ebene der Ellipse um einen Winkel von 67° geneigt und steht sich parallel mit sich selbst. A, H, G usw. stellt den Saturn vor, der, wie ich annehme, sich um seine Achse NG ebenso dreht, wie die Erde um die Länge, ferner ist

acdeghef ferserker + lu  
75151134 294217155

angenommen, daß der Saturn NO) senkrecht parallel der Endfläche ist und sich selbst nicht parallel dreht, daher wohl nicht von der Ebene des Ringes, welcher der Saturn angibt. Andere Voraussetzungen sind nicht notwendig. Denn es ist einleuchtend, daß maximal in 30 Jahre, wenn Saturn in R und P sich befindet, der Ring von der Sonne und der Erde F aus von der schönsten Seite gesehen, d. h. sichtbar wird, so daß Saturn völlig rund und ohne Hemd erscheint. Dies würde nicht entstehen, wenn Saturn in der Wälder oder die Waage tritt, falls seine Rotationsachse und die der Erde genau parallel wären und er nirgendwo aus der Ebene der Endflächen herausträte. Aber gegenwärtig ist er um ein halbes Zeichen, nämlich gegen 17°, davon resultiert in der Richtung auf die Jupiter- und die Erde, so daß also, wenn Saturn von diesen Punkten nicht weiter als um 5° bis 6° entfernt wüßte, er immer rund gesehen wird. Weiter folgt hieraus, daß in A und C, d. h. 90° von R und P entfernt, nur die Ellipse des Ringes am weitesten geöffnet wird und dieser Punkt stark, wenn Saturn den 17. Grad der Schiefele oder der Zwillinge erreicht. Zwischen diesen vier Punkten nimmt der Ring verschiedene Gestalt an, weil u. a. nachdem der Planet nahe bei R und P oder nahe bei A und C ist, der Ring mehr oder weniger schmal erscheint. Erscheinungen, die mit dieser Hypothese nicht zu vereinigen sind, resultieren lediglich aus der Unvollkommenheit der Newton's Formeln, und erweisen sich als trügerisch, wenn man sich so guter Prospektur bedient wie die meisten. Es gibt noch etwas, was ich hervorheben möchte, da es die Bewegung der Trabanten betrifft. Da die Ringe, welche denselben mit Saturn beschreiben, in der nämlichen Ebene liegen wie der Ring so muß der Trabant bei der Abfahrt von der Erde aus meist eine Ellipse beschreiben, damit, daß, wenn der Ring am schmalsten ist, der Trabant in der Vertikalen der Ring-

ebene gesehen wird, sonst aber über- oder unterhalb des Ringes. Das ist nun mein System, es ist zweifellos sehr anschaulich und wird der Spekulation der Philosophen einen Stoß geben. Wenn man wird in denjenigen nicht schwärze erscheinen, die wissen, daß Saturn ein Himmelskörper ist, dessen Durchmesser mindestens 8 oder 10mal so groß ist als der Durchmesser der Erde und demnach für unmöglich halten, daß es durch Geschöpfe geht, welche jenen Planeten um seinen Ring und seinen Trabanten aus größerer Nähe betrachten als wir.

Diese knifflige Meinung erregte größte Freude bei J. Chaplain und er schrieb am 12. April an Huygens folgendes: »Was für Spüren anbelangt, so bin ich davon ganz erfüllt, ich habe die Hypothese so außerordentlich und jeden Detail so überausfeinend mit den Beobachtungen, daß ich mich, wenn ich in der ganzen Sache bewogener wäre und genügend Autorität hätte, zuwenden für Ihre Idee annehmen und sie gegen jedermann verteidigen möchte.« Am 18. April gab Huygens schriftlich an, Erlaubnis, seine Denkung der Saturneinsichtungen zu veröffentlichen und am 10. Mai schreibt dem Chaplain, daß er dies in der Pariser Akademie vor einer Diskussion und dazugehörigen Vorlesung angekündigt habe. Die Annahme eines Saturnrings fand gleich anfangs vielen Beifall aber auch Gegner, selbst unter kompetenten Fachleuten, denen es, es scheint, zu bedauernd erschien. Unter diesen ist besonders der holländische Endler de Deen zu nennen, welcher Bericht der Huygensschen Denkung hinterließ. Der holländische Optiker G. Caspari zu Rom gab 1664 einige Abbildungen des Saturn (und Jupiter) heraus, auf denen der Schatten, den der Saturnenkörper auf den Ring wirft, zu erkennen ist, ein Beweis der Verrücktheit seiner Fennellen, denn Überlegenheit Huygens auch vollkommen anerkannt. Am 3. Juni 1665 bemerkt Huygens, daß der Neigung

des Ringes größer als  $21^{\circ} 30'$  an und bei 1664 betrugerte er nur auf  $21^{\circ}$ , was aber nur zu großer Wut ist. Am 20. Juni 1669 gab es interessante Zeichnungen des Saturn und seines Ringes von Picard und Cassini, letzterer entdeckte 1671, 1672 und 1684 noch weitere Ringe des Saturn und blühte 1686 die Existenz der Ringe des Titan an. Daß Huygens nicht selbst nach weiteren Saturnenenden außer dem nun dem entdeckten Titan, suchte, wird seinem Vorurteil zugeschrieben, gemäß dem die Zahl der Trabanten dreynagel der Hauptplaneten nicht übersteigen könne, ein Aberglaube, dessen Utopie schon zu finden war dorthin. Im Jahre 1675 zeigte Dominique Cassini an, daß der Ring auf seiner ganzen Fläche durch eine gleiche Linie in zwei hundertfache Ringe geteilt ist, wie diese der äußere etwas dunkler sei als der innere. Erst 1702 konnte W. Herschel bestätigen, daß diese dunkle Linie auf beiden Seiten des Ringes in der gleichen Lage vorhanden ist und es ließe sich die Überzeugung, daß es sich hier um eine wirkliche Trennung handle. Nach Angabe Lahouder, soll außer dieser Cassinischen Trennung, die berühmte Optiker Meier noch Spalte von mehreren andern auf dem Horizont des äußeren Ringes erkannt haben, ebenso W. Herschel bei verschiedenen Gelegenheiten. Diese Wahrnehmungen sind jetzt nicht bestätigt worden, dagegen hat Lücke am 25. April und 28. Mai 1836 am 9. stelligen Berliner Refraktor eine mehr Linie auf dem äußeren Ringe gesehen, die sich schiden erhalten hat und den Hinweis der Cassinischen Trennung oder auch der Cassinischen (auch ihrem ersten Aussehen) führt. Sie ist übrigens nicht immer sichtbar. Im Jahre 1684 bemerkte Gaffel, daß, wenn Saturn in der südlichen Quadratur stand, der Mittelpunkt des Planeten dem hellsten Punkte des Ringes etwas mehr so als dem westlichen und diese Wahrnehmung wurde später von Schwabe (1822) sowie von Herschel und Senne bestätigt,

doch ist diese astronomische Stellung von andern Beobachtern nicht gefunden worden. Im Jahre 1709 konnte W. Herschel am 40stägigen Spiegelteleskop den Ring, auch als der Erde sich in der Ebene desselben befand und er also gewöhnlich unsichtbar ist, fortwährend als feste Linie erkennen. Derselbe berühmte Beobachter schreibt: „Wenn der Ring im Verschwinden ist oder nach seinem Wiederscheinen aus und von Zeit zu Zeit auf seiner Fläche Ungleichheiten erkennen, die wahrscheinlich von kochenden Punkten herrühren, die häufige der Irradiation über die Ringfläche hervorragen.“ Aus ihrem Erkennen und Verschwinden schloß W. Herschel auf eine Rotation des Ringes von 10h 12m.

Was die Beschaffenheit des Saturnenringes anbetrifft, so hat Huygens daraus für einen festen Körper, der in stets gleicher Entfernung von seinem Planeten mit diesem um die Sonne sich bewegt. J. D. Cassini sprach dagegen 1785 die Vermutung aus, der Ring bestehe aus einem Schwarm sehr kleiner Körperchen, welche, ähnlich wie die Planetenringe aus einer unerschöpflichen Menge kleiner Steine zusammengefaßt ist, flüchtig glaubte, der Ring sei der Schwarm eines Komets, der vom Saturn gezogen worden, den zu umkreisen, wobei der Kopf dieses Komets zu einem Trabanten des Planeten geworden. Er suchte auch mathematischen Beweis für die Möglichkeit solcher Abhängigkeiten zu erbringen, doch machte seine Analyse zur Lösung nicht aus. Daraus haben an, der Ring sei ungeschlüsselt ein Teil des Saturn gewesen und habe sich infolge der Zentralattraktion von diesem getrennt, nach Cassini nahm dagegen wieder die Hypothese einer Annäherung etc. kleiner Körperchen an. Diese Ansichten konnten durchaus nur vage Vermutungen heißen, da die Beobachtungen keinerlei Möglichkeit darboten, eine Entscheidung zu liefern. Die mathematische Behandlung des Problems der Stabilität des Saturnenrings, hat seit

Laplace die Geometrie viel beschäftigt und folgende Überlegungen für die Stabilität erörtern lassen: 1. der Ring muß um den Saturn eine Rotationsbewegung von  $10^4$  Stunden besitzen, was W. Herschels missprechende Beobachtungen bestätigt, 2. sein Zentrum darf nicht mit dem des Saturn selbst zusammenfallen, sondern sei Schwerpunkt beschriftet um des des Saturn im Innern des Planeten eine geformte Bahn nach Art eines Satelliten. Der Ring oder die Ringe müssen fest, unelastisch und in Herten, grosser Unverwundbarkeit besitzen, so daß ihre Schwerpunkte nicht mit dem gemeinsamen Mittelpunkt zusammenfallen. Diese Schwerpunkte können als ebenso viele Satelliten betrachtet werden, welche auch um das Zentrum des Saturn bewegen, in Abständen, welche von den Ungleichförmigkeiten der Ringe abhängen und mit Winkelgeschwindigkeit, die gleich sind den Rotationsgeschwindigkeiten ihrer betrieblichen Ringe. Ausserdem spielen auch die Masse des Saturn in Bezug auf die Erhaltung der Stabilität des Ringystems eine hervorragende Rolle.

Um die Mitte des 19. Jahrhunderts kam Otto Struve durch Vergleich aller bisherigen Beobachtungen und neuen Messungen zu dem merkwürdigen Ergebnisse, daß der innere Rand des Ringystems sich dem Saturnkörper nähert, und zwar rascher als der äußere, so daß das Ringystem in Ende ruhe, aber in einigen Jahrhunderten mit der Oberfläche des Planeten in Berührung sein würde. Die Messungen, welche seitdem von verschiedenen Beobachtern an sehr großen Instrumenten angestellt worden sind, haben die Struvesche Schlussfolgerung anderen nicht bestätigt.

Im Jahre 1849 kam der französische Geometer Ferdinand Roche darauf, daß die Bildung eines Satelliten von gleicher Dichte wie sein Zentralkörper in einer Entfernung, die kleiner als 244 Halbmessern dieses Planeten ist, unmöglich ist. Der nächste Saturnmond hat

eine Entfernung von 115 Halbmessern des Saturn, konnte sich also bilden und Bestand haben, während die noch näher Materie, die den Ring bildet, sich nicht mehr zu einem Satelliten zu bilden vermochte. G. P. Bond fand 1851 Besselroch, daß das Ringsystem, wenn es aus flüssiger Materie bestünde, nicht notwendig anzuhalten zu sein bräuche und B. Peirce folgerte aus seinen Untersuchungen (1851 und 1854), daß bei Erhebung des Ringsystems eine große Anzahl Satelliten notwendig sei. Im Jahre 1855 schrieb die Universität zu Cambridge (England) das Problem der Stabilität der Saturnringe als Preisaufgabe aus. James Clerk Maxwell erhielt den Preis und zeigte, daß der Satellit nur bestehen könne, wenn der Ring aus einer Wolke von unelastischem Staub besteht, daß er sich dagegen in Satelliten auflösen müsse, wenn seine Masse flüssig wäre. Die Beobachtungen, von denen der Ring gebildet wird, treten in verschiedenen Abständen und mit verschiedenen Geschwindigkeiten am Saturn: wenn die sehr dichten unregelmäßig durchstrichen, muß die Auflösung der Ringe sehr rasch vorangetrieben gehen, wogegen dann, wenn sie sich nicht von selbst in eine Reihe starrer Ringe gruppieren, in welchem Falle die Auflösung des ganzen Systems sehr langsam sein wird. Die Analyse Maxwells ist längst wieder sehr klar nicht starr und bedarf einer neuen Prüfung. Im Jahre 1872 veröffentlichte G. A. Hirn, ohne von Maxwells Arbeit zu wissen, eine gründliche Untersuchung des Problems, wobei er in mehreren Punkten mit dem britischen Wissenschaftler. Wenn die Ringe, sagt Hirn, „gasförmig oder flüssig sind, wird das Lot derselben die unumkehrbare Herabsetzung auf den Saturn sein, indem sie sich diesem von allen Seiten nähern bis zur endlichen Berührung. Würden aber die Ringe solid aus einem Block, so könnten sie nur eine kleine Eindringung haben, ohne

zu zerbrechen. Sonst bleibt nichts übrig, als anzunehmen, daß die Kugel aus sich selbst, wie unsere Klüppchen besteht, die in Entfernung voneinander groß genug ist, um keine nennenswerte Kraft unter sich ausüben zu können, die im Vergleich zur Anziehung der Sonne merklich sind. In diesem Falle wird bei einer Trennung nur Bildung einer Anzahl von kleinen Ringen die Auflösung des ganzen Systems — wie schon Maxwell gefunden — nur sehr langsam vor sich gehen. In den letzten Jahren ist das Problem der Stabilität eines ungleitenden Systems, wie solches beim Saturne existiert, durch verschiedene Mathematiker abwärts abwärts worden, so muß aber in dieser Beziehung geizigen, die Namen Kowalewsky, Poincaré, Tisserand, Lapunow, Broun und Andronow zu nennen.

Die spektroskopischen Untersuchungen des Saturnringses (erschien) Maxwell merkwürdigerweise nicht, obwohl die-

selben in den Arbeiten von Koller Campbell, Dechenow und Schlegelby positive Werte für die Rotationsgeschwindigkeit des inneren und äußeren Randes des Ringystems ergaben haben, welche direkt beweisen, daß dieselbe mit einem Aggregat von diskreten Körperchen besetzt sein muß. Wenn die Kugel nämlich als Ganzes um den Saturn rotierte, so ist ausgeschlossen, daß die Teilchen am äußeren Rande eine raschere Bewegung besitzen würden als die am inneren, weil jene in der nämlichen Zeit einen größeren Weg zurücklegen. Besteht dagegen der Ring aus einzelnen Körperchen, die um den Saturn rotieren, so müssen diejenigen am inneren Rande sich rascher bewegen als die am äußeren. Die spektroskopischen Aufnahmen haben dieses unmittelbar gezeigt, daß letzteres der Fall ist und damit die Frage nach der Konstitution des Ringesystems entschieden.

## Neulandschaften am Fennrohr gezeichnet von Jacob Møller (Thors Told V.)

**Auf** dieser Told ist eine Anzahl Neulandschaften neuvermessen, welche H. J. Møller, dessen tüchtige Beilegung zur vornehmlichen Wiedergabe charakteristischer Neulandschaften des Landes des Fenns hergeleitet bekannt ist, am ersten 21. -seitigen Holzschnitt während des Jahres 1886 erhalten hat. Herr Møller gibt das folgende Bild:

1. Ausblick von Arctiflora in der Lichthausen, 1886. (Juni 2. 21. im 8 Uhr Mittagszeit. Vorgebung 210 Grad. Luft sehr sehr gut, spärlicher Wind und Wolkenbildung. Rotes Kuppelgebäude war noch nicht dunkel, zeigte sich aber sehr und sehr schön. Das von Norden im Südwesten des Ausblicks vorgehende kleine Kuppel war nicht zu sehen, vielleicht bei Norden im anderen Gebirge im Norden genommen. Das zwischen beiden Kupp-

eligen gelegenen Berggebäude sah man nicht, daß nur schwer einzelne Kuppen erkannt werden konnten. Der Westwind des Ausblicks mit einem nach allen Seiten ausstrahlenden Hügelsystem zeigte sich sehr schön, war aber das am starken Wind zu sehr störenden Fennrohr wegen, so mit großer Mühe aufzunehmen.

2. Bessel und Umgebung, 1886. (Dezember 21. 21. Uhr. Luft wolkenlos, Vorgebung 180 Grad. Die eingestrichelten Kreise und Hügelsysteme waren trotz der dunklen Färbung des ganzen Bildes sehr gut zu sehen. Der südwestlich von Bessel liegende Kuppel C erschien sehr dunkel. Daß der Ausblick von Bessel bedeutend niedriger war als der Westwind ist, zeigte sich deutlich bei fortgesetzter Lichthausen, da selbst dann noch keine Änderung im Aussehen des Bildes des Bessels zu bemerken war.

3. Faler mit südöstlicher Umgebung, 1906-Gleich 23. Februar 11 Uhr. Luft etwas wolkig, Vergrößerung 200-fach. Südöstlich von Faler findet sich eine Gruppe von Bergen und Kratern, die nahezu kreisförmig angeordnet und vollständig als der Faler einen Ring gebirge zusammen ist. Der innerhalb dieses Kreises am südlichen Ende liegende größte Krater scheint ganz sehr niedrigen Wall und nur geringe Tiefe zu haben. Das ganze Innere des Kreises ist mit Hügelgruppen angefüllt, die schwarz sichtbar sind und bei hellem Sonnenstand der Sonne ganz verschwinden. Das von Faler ausgehende hellere Streifen scheinen während der Beobachtung sehr in Gestalt und Schönheit zu ändern.

4. Cauchy und südöstliche Umgebung, 1906 November 28. 7 Uhr. Luft wolkig, Vergrößerung 160-fach. Die ringsumstehende, östlich von Cauchy stehende Rille war auffallend deutlich sichtbar, während von der Rille westlich von Cauchy keine Spur zu sehen war. Der Ostrand der Rille lag ganz am Schalen des Westrandes. Der Mund stand bald zu tief und die Luft war so unklar, daß keine Details zu nicht eingezeichnet werden konnten und die Zeichnung vorzeitig geschlossen werden mußte.

5. Herschel, 1906 Dezember 23. 4 bis 9 Uhr. Vergrößerung 160-fach, Luft wolbig und wolkig, am Randen dicht an Herschel liegt eine runde Fläche und nicht ganz central auf derselben ein kleiner ausladender Ringgebirge, dessen kaum erkennbarer Wall mehrfach unterbrochen ist. Das Innere hat einen niedrigen Zentralberg. Die des Wall umgebende Fläche hat keine be-

sondere Hervorhebung, während der Rand derselben besonders im Norden etwas erhöht zu sein scheint. Die ganze Formation gleicht vollständig einem auf einem flachen Feller liegenden Kasten. Westlich von dieser Formation streicht ein breiter und tiefer Tal, das sich selbst über die Grenze der Zeichnung hinaus fortsetzt. Wenn ich dieses Tal mit irgend etwas vergleichen sollte, so würde dies die Furche sein, die ein schwerer Geschloß macht, das bei flachen Aufschlage wieder abprallt.

6. Aristoteles, 1906 November 22. 6½ Uhr. Vergrößerung 160-fach, Luft wolkig aber klar. Aristoteles zeigte sich trotz unklarer Luft sehr schön. Das Innere des Ringwalles ist eben und nur am Süden waren zwei niedrige Hügel zu sehen. Ein Berg mit Schalen (oben Nordwest) scheint einer der inneren Parallelketten anzugehören, die am Nordwestende besonders stark auftreten und tief eingetragene Täler zwischen sich zeigen. Diese inneren Parallelketten mit ihren Tälern gehen im Norden in dunkler Färbung über den Wall hinaus und finden außerhalb derselben ihre Fortsetzung in einem Teile der vom ganzen Nordende ausstrahlenden radialen Gebirge- und Hügelzüge. Ich konnte von diesem nur die am dem höchsten Stellen sehen, während die Zahl der weiteren vorhandenen Hüllensätze bedeutend größer ist. Eine ähnliche Formation befindet sich am Südende, dort, wo der Wall nur geringe Größe hat, doch waren Details fast nicht zu erkennen, weil das Gewirr der Hügelketten und Klappen zu dunkel war. Das am Westende des Aristoteles liegende kleine Ringgebirge liegt im Innern zum kleinen Berge.

## Neue spektroskopische Doppelsterne.



Im Monat zu Monat vergrößert sich die Zahl derjenigen Sterne, an denen das Spektroskop eine veränderliche Bewegung in der Gesichts-

linie zu Erde (Radialbewegung) erkennen läßt, die aber auch die beste angenommenen Deutung dieser Erscheinung, Doppelsterne sind, welche am

Fernsehen allein, als solche nicht erkannt werden können. Die wachsende Anzahl dieser Sterne beweist nicht nur die zunehmende Vervollkommenheit der spektrophotischen Beobachtungsmittel, sondern auch die kosmologisch bedeutsame Tatsache, daß die Anzahl der Doppelsysteme im Weltraum im Verhältnis zu den isolierten Fixsternen beträchtlich zunimmt.

Die folgenden spektroskopischen Doppelsysteme sind ferner vom Lick-Observatorium und der Yerkesobservierstation beobachtet worden.<sup>5)</sup> Das Vorzeichen — bezeichnet, daß sich der Stern der Erde nähert, + daß er sich von derselben entfernt.

### 1. Gemmae.

$$(\text{AR} = 5^{\text{h}} 58^{\text{m}} \text{ } \delta = +20^{\circ} 36')$$

Der Stern ist 4.4 Größe und sein Spektrum gehört zum Typus H. Der Doppelsystemcharakter wurde von Moore auf der Lickobservierstelle entdeckt. Folgende Messungen liegen darüber vor:

Datum	Geschwindigkeit in Kilos	Gemessen von
1900, Januar 4	+ 32	Curtis
	+ 33.7	Moore
1900, September 22	+ 19	Moore
1900, Oktober 1	+ 13	Moore
	+ 15.7	Newcomb
1900, November 6	+ 20	Moore
	+ 20.5	Newcomb

### 27. Hra, Ophiuchi.

$$(\text{AR} = 17^{\text{h}} 31^{\text{m}} \text{ } \delta = -2^{\circ} 0')$$

Dieser Stern 6.7 Größe (er ist  $\approx 4.6275^{\text{h}}$  der Bessel-Durchmesserangabe) gehört spektroskopisch zum Typus F mit breiten Spektrallinien. Beide Spektren sind schwach und das Verhältnis ihrer Intensitäten ist näherungsweise wie 2:1. Die vollständige Geschwindigkeit und Dopplarsatz des Spektrums wurde von Barnes auf der Lickobservierstelle entdeckt, von dem auch die nachfolgenden Messungen herrühren.

Datum	Geschwindigkeit in Kilos	Gemessen von
1900, Juli 16	+ 7	Lick-Observ.
1900, Febr. 20	- 17	Lick-Observ.
1900, Juni 21	+ 10	Lick-Observ.
	- 11	Lick-Observ.
1900, Juli 15	+ 4	Lick-Observ.
1900, Juli 20	+ 20	Lick-Observ.
	- 31	Lick-Observ.
1900, August 1	+ 30	Lick-Observ.
	- 26	Lick-Observ.
1900, August 6	- 4	Lick-Observ.
1900, September 20	+ 2	Lick-Observ.

### 4. Sagittae.

$$(\text{AR} = 18^{\text{h}} 42^{\text{m}} \text{ } \delta = +18^{\circ} 17')$$

Der Stern ist 3.9 Größe und sein Spektrum vom Typus M, in H. R. Mayors Klassifikation mit XV11a bezeichnet. Die veränderliche Radialbewegung wurde von Prof. Campbell bei der 4. Messung vermerkt und später bestätigt gefunden. Folgende Messungen liegen vor:

Datum	Geschwindigkeit in Kilos	Gemessen von
1900, August 7	+ 35	Campbell
	+ 3	Seaton
1900, August 14	+ 10	Campbell
1900, Mai 26	+ 9	Wright
1900, Juni 21	+ 5	Campbell
	+ 2	Wright
	+ 5	Seaton
1900, Oktober 20	+ 3.3	Barnes
1900, Juni 3	+ 6	Seaton
1900, September 9	+ 4	Moore
1900, Juli 3	- 5	Moore

### 67. Cygni.

$$(\text{AR} = 20^{\text{h}} 12.3^{\text{m}} \text{ } \delta = +47^{\circ} 34')$$

Diese Position wird für den Stern in der Originalausstellung von Prof. Campbell und J. H. Moore angegeben, in derselben steht aber nicht der Stern

<sup>5)</sup> Astrophysical Journal 1907 January (Ser. 1903, 1904) 5

af Cygn, sondern der Stern 4.2 Größe ist Cygn. Sein Spektrum gehört zum Typus H und die Doppelsterncharaktere wurde von Burra nicht erkannt. Vier Messungen liegen vor:

Datum	Geschwindigkeit tell. in Kilom.	Gesamt von
1905, Juni 7	— 36	Moore
1905, August 11	— 34	Moore
1906, Juli 23	+ 3	Burra
1906, August 1	+ 3	Burra

#### e Cygn

$$AR = 20^{\circ} 45' D = + 21^{\circ} 36'$$

Der Stern ist 3.7 Größe und sein Spektrum gehört zum K-Typus. Das Doppelstern wurde vermutet von Curtis und nachgewiesen von Burra. Es liegen folgende Bestimmungen vor:

Datum	Geschwindigkeit tell. in Kilom.	Gesamt von
1905, September 23	— 15.4	Campbell
1905, August 26	— 14	Burra
1905, September 15	— 13.6	Campbell
1905, Juli 7	— 10	Wright
1905, Jan. 30	— 9	Curtis
1905, Juni 21	— 7	Burra
	— 6.5	Wright
1905, August 24	— 7	Burra

#### f Cygn

$$AR = 19^{\circ} 42' D = + 20^{\circ} 49'$$

Der Stern ist 3.5 Größe und zeigt ein Spektrum vom Typus K. Die vorüberliche Radialgeschwindigkeit ergibt sich aus den Messungen von Stahler und Burra.

Datum	Geschwindigkeit tell. in Kilom.	Gesamt von
1905, Oktober 5	+ 18.5	Campbell
1905, Juni 6	+ 20	Burra
1905, Juli 16	+ 20	Campbell
1905, August 8	+ 20	Campbell
1905, Juni 7	+ 16	Stahler
1905, Juli 2	+ 14	Burra
	+ 12.9	Wright
1905, August 10	+ 14	Burra

#### g Capricorn

$$AR = 24^{\circ} 16' D = - 67^{\circ} 25'$$

Der Stern ist 4.3 Größe und sein Spektrum gehört zum Typus H. Die

vorüberliche Geschwindigkeit wird von Moore vermutet und durch spätere Messungen bestätigt.

Datum	Geschwindigkeit tell. in Kilom.	Gesamt von
1905, Juni 26	+ 12	Wright
1905, September 19	+ 12	Wright
1905, September 7	+ 8	Moore
1905, Juni 26	+ 10	Burra
	+ 10	Moore
1905, August 26	+ 14	Burra
1905, September 20	+ 9	Burra

#### h Cygn

$$AR = 19^{\circ} 40' D = + 20^{\circ} 13'$$

Das ist ein veränderlicher Stern vom Typus des Veränderlichen  $\delta$  Capri. Sein Charakter als Doppelstern wurde von J. D. Mandrill aus spektroskopischen Aufnahmen während des Sommers 1905 erkannt. Das Spektrum gehört zum Typus F—G.

Eine Untersuchung der von der D. O. Mills-Expedition nach der südlichen Hemisphäre aufgenommenen Platten ergibt nach den Rechnungen von W. H. Wright, daß folgende Sterne spektroskopische Doppelsterne sind:

#### i Retina

$$AR = 14^{\circ} 52.6' D = - 65^{\circ} 5'$$

Datum	Geschwindigkeit tell. in Kilom.
1905, Dezember 7	+ 14.5
1904, Januar 4	+ 12.6
Dezember 14	+ 46.2
1905, November 5	+ 11.4
November 5	+ 43.1
Dezember 26	+ 48.1

Das Spektrum ist vom Typus K.

in Volcanum.

$$AR = 54^{\circ} 47.6' D = - 46^{\circ} 5'$$

Datum	Geschwindigkeit tell. in Kilom.
1905, Januar 30	— 3.6
Januar 26	— 6.8
Jan. 15	+ 9.2
April 2	+ 12.6
April 3	+ 10.9
Dezember 6	— 2.6

Spektraltypus G4K.



$\alpha$  Centauri  
(AR = 134 42.5" D = — 41° 12.3)

Datum	Quotient Zeit in Kilos
1904, April 20	— 1
1905, Januar 25	— 2
März 16	+ 20
April 1	+ 9
April 13	+ 23
April 27	— 1

Spektroskop. BDA. Nach Dr. Palmar beträgt die Periode etwa 34 Tage.

$\alpha^2$  Centauri  
(AR = 134 55.4" D = — 40° 7.3)

Datum	Quotient Zeit in Kilos
1904, April 8	+ 1.7
April 4	+ 3.9
Mai 16	+ 5.4
1905, März 25	— 1.6
April 4	— 1.0
1906, Januar 25	+ 3.1

Anmerk. Eine Anzahl früherer Spektrogramme, die auf Mount Hamilton erhalten waren, ergaben für diesen Stern eine Rotationsgeschwindigkeit von — 0.6 km pro Sekunde. Der Stern befand sich auf der Liste der zu untersuchenden

Fixsterne der Maia-Expedition. Die Ergebnisse dieser Aufnahmen sagt folgende Tabelle:

Datum	Quotient Zeit in Kilos	Gemessen von
1904, Juli 31	— 2.5	Palmer
1905, März 20	— 1	Wright
1905, März 20	— 0.8	Wright
1905, März 20	+ 1.2	Wright

Diese Resultate weichen erheblich von den auf der Lichtkurve erhaltenen ab. Infolge dessen wurde der Stern dort nicht mehr aufgenommen und die älteren Platten wurden möglichst zugeworfen. Die folgenden von Barnes erhaltenen Resultate bestätigen die veränderliche Eigenbewegung.

Datum	Quotient Zeit in Kilos	Gemessen von
1907, April 8	— 1.0	Barnes
Mai 29	— 0.2	Barnes
Juli 8	— 1.4	Barnes
1908, Juli 18	— 1.4	Barnes
1909, Mai 27	— 1.8	Barnes
1909, Mai 24	+ 3.0	Barnes
Mai 24	+ 0.4	Barnes
1906, Juli 17	— 1.4	Wright

## Sonnen- und Mondfinsternis im Juli 1907

Am 16. Juli findet eine regelmäßige Sonnenfinsternis statt, die über in unserm Gegenstande unsichtbar ist. Nach dem Berliner Astr. Jahrbuch

gesehen für die Hauptphasen der Finsternis folgende Angaben der Zeit und der Ort, wo sie auf der Erdoberfläche rasch resp. langsam sichtbar sind.

	Min. Zeit Berlin	Ort L. Grunde	Breite
Beginn der Finsternis überhaupt	1 38.4	200° 38	— 30° 30
Beginn der regelmäßigen Finsternis	2 43.5	204 50	— 36 7
Beginn der totalen Finsternis	3 40.4	252 52	— 34 46
Zentrale Finsternis im wahren Mittag	4 50.0	304 25	— 35 57
Ende der totalen Finsternis	5 56.0	356 30	— 37 38
Ende der regelmäßigen Finsternis	6 52.9	359 34	— 36 57
Ende der Finsternis überhaupt	7 40	348 31	— 29 46

Die Finsternis ist demnach sichtbar in dem südöstlichen Teile des großen Ozeans, in Südamerika, in der südlichen Hälfte des Atlantischen Ozeans und an der südwestlichen Küste Afrikas.

In der Frühstunde des 25. Juli tritt eine teilweise Mondfinsternis ein, für welche nach dem Astr. Jahrbuch folgende Angaben gelten:

11\*

Anfang der Fastenzeit . . . . . Juli 26. 1883 in d. d. d. d. d. d.  
 Mitte der Fastenzeit . . . . . 17. 18.8. . . . .  
 Ende der Fastenzeit . . . . . 18. 24.8. . . . .  
 Der Mond steht um diese Zeiten im Zenit der Orte, deren geographische  
 Lage bezüglich ist:

34° 53' Süd. Länge von Greenwich	28° 44' östl. Br.
206 5 . . . . .	28 38 . . . . .
207 15 . . . . .	28 31 . . . . .

Positionalität des Eintritts des  
 Schattens in die Mondschärfe vom  
 Nordpunkt gezählt = 41°.

Positionalität des Austritts des  
 Schattens aus der Mondschärfe vom  
 Nordpunkt gezählt = 385.

Größe der Verhinderung in Teilen  
 des Monddurchmessers = 0.630

Die Fastenzeit wird demnach in der  
 westlichen Hälfte Europas, in Afrika,  
 im Atlantischen Ozean, in Amerika und  
 in der östlichen Hälfte des Großen  
 Ozeans zu sehen sein.

In Berlin geht der Mond um  
 10h 2m unter.

## Vermischte Nachrichten.

Über das Vorkommen der sel-  
 tenen Erden auf der Sonne hat  
 G. Hölzner Untersuchungen ange-  
 stellt.<sup>1)</sup> Die Rowland'schen Wellen-  
 längenplatten des Sonnenspektrums  
 zur Messführung der seltenen Erden  
 sind sehr unvollständig, sehr unrichtig  
 angegeben, deshalb unbrauchbar. Hölzner,  
 der Finken- und Bogenspektren folgen-  
 der Elemente auf ihr Vorkommen  
 im Sonnenspektrum zu untersuchen:  
 Cer, Dysprosium, Erbium, Europium,  
 Gadolinium, Lanthan, Neodym, Nio-  
 bium, Praseodym, Samarium, Scandium,  
 Terbium, Thulium, Thulium, Yttrium  
 und Ytterbium. Er fand, daß auf der  
 Sonne außer den häufigsten Yttrium,  
 Scandium, Lanthan, Neodym und Cer  
 vorkommen, die übrigen angeführten  
 Elemente sind nur in sehr geringen  
 Mengen vorhanden. Hölzner hat die  
 Linien aus dem Rowland'schen Streu-  
 spektrum zusammengestellt und identi-  
 fiziert, welche den oben aufgeführten  
 Erden angehören.

Der Verhinderliche des Alpi-  
 tygen H2 Gasfleckes, ist von Prof.  
 Hartmann auf dem Autophys. Obs. zu

Poland spectrographisch untersucht  
 worden. Die Verhinderliche des  
 Sternes wurde von Prof. G. Müller in  
 Potsdam vor kurzem entdeckt, er ist  
 im Maximum 9.5, im Minimum  
 7.8 Größe. Auch bei diesem Sterne  
 bestätigten die Spectalbeobachtungen  
 wieder die Tatsache, daß der Licht-  
 wechsel durch die Veränderung eines  
 Sternes durch einen zweiten, mit dem  
 er sich um einen gemeinsamen Schwer-  
 punkt bewegt, hervorgerufen wird. Aus  
 einer größeren Reihe Beobachtungen,  
 deren vollständige Berechnung erst er-  
 folgen kann, wenn die Periode des  
 Lichtwechsels genau bestimmt ist, teil  
 Prof. Hartmann zwei mit. Die erste,  
 welche etwa  $\frac{1}{3}$  der Periode ausmacht vor  
 dem Minimum liegt, ergab die Radial-  
 geschwindigkeit zu + 33.1 km, die  
 zweite, deren Länge nach dem Maximum,  
 ergab — 111.5 km. Nach einer vor-  
 läufigen Bearbeitung der Beobachtungen  
 teil Prof. Hartmann, daß der Schwer-  
 punkt des Systems die Geschwindigkeit  
 $V_0 = -41$  km besitzt, der Abstand der  
 beschriebenen Körper vom Schwerpunkte  
 beträgt 1:170 000 km, wozu bei An-  
 nahme gleicher Masse für die beiden  
 Körper, die jeden einzelnen zu 0.18 der

<sup>1)</sup> Sitzung der mathem.-naturwissensch.-  
 schaftlichen Kl. d. Akad. d. Wiss. in Wien  
 1883, 26. Februar.

<sup>2)</sup> Astr. Nachr. No. 4735.

Sonnenmassen folgt, Resultate, die durch die definitive Bahnbestimmung nur wenig Änderung erleiden dürfen.

**Komet-Komet.** Nach telegraphischer Mitteilung aus Mailand (Plebsenmarkt) wurde an der dortigen Sternwarte am 14. April im Sternbild des Fischen ein neuer, ziemlich schwacher Komet entdeckt. Der Komet zeigt rasche Bewegung und wird auch in den nächsten Tagen durch die Sternbilder „Zwillinge“ und „Luchs“ auf dem „Großen Bären“ bis Bewegung

**Astronometeorologischer Weltwandel.** Ein sogenanntes „internationales Weltbaromet“ in Cassel City, Missouri N. A., das wahrscheinlich nur in der Person eines nicht genannten „Doktors“ besteht, veröffentlicht Voraussetzungen der Temperatur auf der Erde für das Jahr 1903. „Die Voraussetzungen“, heißt es, „sind auf Grund einer vollständig neuen Wissenschaft bestimmt, welche erst im Jahre 1884 bekannt wurde. Sie sind begründet auf der Einwärts- und Auswärtsbewegung der Erde, zu und von der Sonne, hervorgerufen durch die Planeten Merkur, Venus, Mars, Jupiter, Saturn, Uranus und Neptun, sowie des Mondes, entsprechend der Einflüsse von die Sonne — mit Übergehung der geringen Einflüsse der Asteroiden, sowie der Einflüsse der Temperatur des ganzen Sonnensystems, die durch die indirekte Annäherung und Wiederverfernung des „dynamischen Sonnen“ in seiner Bahn hervorgerufen wird, indem die Sonne in ihrer eigenen Bahn um den galactischen Stern Sirius verkehrt.“

Die Beobachtungen der jahres-temperatur der Erde deuten darauf hin, daß gelegentliche Kälte- und Wärme-

erscheinungen auftreten, die durch unbekannte oder noch nicht bestimmte Planeten hervorgerufen werden, welche Planeten aber im Laufe der Zeit durch ihre Wirkungen auf die Erdtemperatur bestimmt festgestellt worden können. Aber solange es unsicher ist und ihre Elemente unbekannt sind und jetzt, wird auch die genaue Zeit und der Umfang ihrer Einflüsse nicht mit Sicherheit angegeben sein.

Das einzige Aufheben ihrer Kraft ist die Repulsion. Es gibt in unserem Universum nichts, was anziehen würde, jedes Ding stößt ab. Weder die Erde, der Mond, die Sonne, noch ein Planet zieht an. Sie stoßen sich gegenseitig nur ab. In gewissen Stellungen verhalten sie, daß sich die Erde mehr oder weniger von ihrer Bahn entfernt, näher oder weiter von der Sonne, und damit geben sie Anlaß zu Erwärmen oder Abkühlungen der Erde zu verschiedenen Zeiten des Jahres.“

Diese Ausführungen dürfen genügen, zu zeigen, was hinter dem internationalen Weltbaromet steckt. Außerdem sind auch seine Voraussetzungen für Januar, Februar und März nicht angegeben.

**Forschere für Freunde der Klimatsbeobachtung.** Aus dem Untergrund des „Skies“ sind mir mehrere größer und kleiner sehr gut erhaltenen Forschere zum Vorschein gekommen worden. Freunden der Klimatsbeobachtung, welche die Anschaffung eines solchen Instrumentes beabsichtigen, und sich darüber an mich wenden, bin ich zu jeder gewünschten Auskunft gern bereit. Prof. Dr. Klein

# Astronomischer Kalender für den Monat Juli 1907.

		Sonnen			Mond		
		Mittlere Zeit des Tages			Mittlere Zeit des Abends		
Tag	Monat	Zeit M. L. - W. Z.	Rechnung	Declination	Rechnung	Declination	Neud im Meridian
		h m s	h m s	° ' "	h m s	° ' "	h m s
1	+	5 18.48	5 20 47.15	23 28 48.7	5 20 48.43	23 28 48.43	5 20 47.15
2		5 18.59	5 20 58.74	23 28 51.2	5 20 59.10	23 28 51.2	5 20 58.74
3		5 19.10	5 21 10.33	23 28 53.7	5 21 10.77	23 28 53.7	5 21 10.33
4		5 19.21	5 21 21.92	23 28 56.2	5 21 22.44	23 28 56.2	5 21 21.92
5		5 19.32	5 21 33.51	23 28 58.7	5 21 34.11	23 28 58.7	5 21 33.51
6		5 19.43	5 21 45.10	23 29 01.2	5 21 45.78	23 29 01.2	5 21 45.10
7		5 19.54	5 21 56.69	23 29 03.7	5 21 57.37	23 29 03.7	5 21 56.69
8		5 19.65	5 22 08.28	23 29 06.2	5 22 08.95	23 29 06.2	5 22 08.28
9		5 19.76	5 22 19.87	23 29 08.7	5 22 20.54	23 29 08.7	5 22 19.87
10		5 19.87	5 22 31.46	23 29 11.2	5 22 32.13	23 29 11.2	5 22 31.46
11		5 19.98	5 22 43.05	23 29 13.7	5 22 43.72	23 29 13.7	5 22 43.05
12		5 20.09	5 22 54.64	23 29 16.2	5 22 55.31	23 29 16.2	5 22 54.64
13		5 20.20	5 23 06.23	23 29 18.7	5 23 06.90	23 29 18.7	5 23 06.23
14		5 20.31	5 23 17.82	23 29 21.2	5 23 18.49	23 29 21.2	5 23 17.82
15		5 20.42	5 23 29.41	23 29 23.7	5 23 30.08	23 29 23.7	5 23 29.41
16		5 20.53	5 23 41.00	23 29 26.2	5 23 41.67	23 29 26.2	5 23 41.00
17		5 21.04	5 23 52.59	23 29 28.7	5 23 53.26	23 29 28.7	5 23 52.59
18		5 21.15	5 24 04.18	23 29 31.2	5 24 04.85	23 29 31.2	5 24 04.18
19		5 21.26	5 24 15.77	23 29 33.7	5 24 16.44	23 29 33.7	5 24 15.77
20		5 21.37	5 24 27.36	23 29 36.2	5 24 28.03	23 29 36.2	5 24 27.36
21		5 21.48	5 24 38.95	23 29 38.7	5 24 39.62	23 29 38.7	5 24 38.95
22		5 21.59	5 24 50.54	23 29 41.2	5 24 51.21	23 29 41.2	5 24 50.54
23		5 22.10	5 25 02.13	23 29 43.7	5 25 02.80	23 29 43.7	5 25 02.13
24		5 22.21	5 25 13.72	23 29 46.2	5 25 14.39	23 29 46.2	5 25 13.72
25		5 22.32	5 25 25.31	23 29 48.7	5 25 25.98	23 29 48.7	5 25 25.31
26		5 22.43	5 25 36.90	23 29 51.2	5 25 37.57	23 29 51.2	5 25 36.90
27		5 22.54	5 25 48.49	23 29 53.7	5 25 49.16	23 29 53.7	5 25 48.49
28		5 23.05	5 25 60.08	23 29 56.2	5 26 00.75	23 29 56.2	5 26 00.08
29		5 23.16	5 25 71.67	23 29 58.7	5 26 12.34	23 29 58.7	5 26 11.67
30		5 23.27	5 25 83.26	23 30 01.2	5 26 23.93	23 30 01.2	5 26 23.26

## Planetenkonditionen 1907.

Tag	Monat	h m s	Planet	Kondition
1	+	5 18.48	Sonne	in Konjunktion mit dem Monde
2		5 18.59	Uranus	in Opposition mit der Sonne
3		5 19.10	Neptun	in Konjunktion mit der Sonne
4		5 19.21	Merkur	in Konjunktion mit der Sonne
5		5 19.32	Uranus	in Opposition mit der Sonne
6		5 19.43	Neptun	in Konjunktion mit dem Monde
7		5 19.54	Merkur	in Konjunktion mit dem Monde
8		5 19.65	Uranus	in Opposition mit der Sonne
9		5 19.76	Neptun	in Konjunktion mit dem Monde
10		5 19.87	Merkur	in Konjunktion mit der Sonne
11		5 19.98	Uranus	in Opposition mit der Sonne
12		5 20.09	Neptun	in Konjunktion mit dem Monde
13		5 20.20	Merkur	in Konjunktion mit dem Monde
14		5 20.31	Uranus	in Opposition mit der Sonne
15		5 20.42	Neptun	in Konjunktion mit dem Monde
16		5 20.53	Merkur	in Konjunktion mit der Sonne
17		5 21.04	Uranus	in Opposition mit der Sonne
18		5 21.15	Neptun	in Konjunktion mit dem Monde
19		5 21.26	Merkur	in Konjunktion mit der Sonne
20		5 21.37	Uranus	in Opposition mit der Sonne
21		5 21.48	Neptun	in Konjunktion mit dem Monde
22		5 21.59	Merkur	in Konjunktion mit der Sonne
23		5 22.10	Uranus	in Opposition mit der Sonne
24		5 22.21	Neptun	in Konjunktion mit dem Monde
25		5 22.32	Merkur	in Konjunktion mit der Sonne
26		5 22.43	Uranus	in Opposition mit der Sonne
27		5 22.54	Neptun	in Konjunktion mit dem Monde
28		5 23.05	Merkur	in Konjunktion mit der Sonne
29		5 23.16	Uranus	in Opposition mit der Sonne
30		5 23.27	Neptun	in Konjunktion mit dem Monde



**Erscheinungen der Jupitermonde.** Die sämtlichen Angaben über die Erscheinungen der Jupitermonde beziehen sich auf mittlere Zeit von Cassiopea. Der Trabant wird der beifolgende Stern Aldebaran vom Jupiter nach mit I bis IV bezeichnet. Die vier größten Figuren zeigen die Stellung jedes Mondes mit Bezug auf den Jupiter bei den Augenblick der Verfinsterng (A) oder der Wiedererscheinung (B) der 1 nicht angegeben, so fand der Astron. aus dem Schilde nicht beobachtet werden. Ferner befindet bei den nachfolgenden Zählungen:

- II B das Verschwinden des Trabanten im Schatten des Jupiter.
- III B den Austritt des Trabanten aus dem Schatten des Jupiter.
- IV B das Verschwinden des Trabanten hinter der Jupiterschale.
- IV B das Wiedererscheinen sichtlich neben der Jupiterschale.
- II A den Eintritt des Trabanten vor die Jupiterschale.
- II A den Austritt des Trabanten aus der Jupiterschale.
- III A das Eintreten des Trabantenschattens auf die Jupiterschale.
- III A den Austritt des Trabantenschattens aus der Jupiterschale.

Es sind nur diejenigen Erscheinungen der Jupitermonde aufgeführt, welche sich so zeigen, wenn Jupiter in Cassiopea über und der Sonne unter dem Horizont steht. Um die Mangel dieser Erscheinungen nach südengländischer Zeit zu haben, hat man vorzuzieh, 12 zu den angegebenen Zeitpunkten zu addieren.

Wegen der Nähe des Jupiter bei der Sonne fallen die Erscheinungen der Jupitermonde für die Zeit vom 11. Juni bis 14. August aus.

### Stellungen der Saturnmonde. (Erläuterung S. 50)

Zeiten der besten Beobachtung im Juli 1907

- Teichs. Juli 16. 1907<sup>h</sup>, Juli 21. 1907<sup>h</sup>, Juli 26. 1907<sup>h</sup>, Juli 31. 1907<sup>h</sup>, Juli 31. 1907<sup>h</sup>, Juli 31. 1907<sup>h</sup>, Juli 31. 1907<sup>h</sup>, Juli 31. 1907<sup>h</sup>.
- Strom. Juli 16. 1907<sup>h</sup>, Juli 21. 1907<sup>h</sup>, Juli 26. 1907<sup>h</sup>, Juli 31. 1907<sup>h</sup>, Juli 31. 1907<sup>h</sup>, Juli 31. 1907<sup>h</sup>, Juli 31. 1907<sup>h</sup>.
- Strom. Juli 16. 1907<sup>h</sup>, Juli 21. 1907<sup>h</sup>, Juli 26. 1907<sup>h</sup>.
- Thom. Juli 16. 1907<sup>h</sup>, Juli 21. 1907<sup>h</sup>, Juli 26. 1907<sup>h</sup>.
- Strom. Juli 16. 1907<sup>h</sup>, Juli 21. 1907<sup>h</sup>.
- Strom. Juli 16. 1907<sup>h</sup>, Juli 21. 1907<sup>h</sup>.



Fig. 3. *Anthracus* and *Am. 20* (Göteborg 1958).  
Lithography on 2



Fig. 4. *Anthracus* and *Am. 20* (Göteborg 1958).  
Lithography on 2





# SIRIUS.

Zeitschrift für populäre Astronomie.

Centraleigen für alle Freunde und Förderer der Himmelskunde.

Herausgegeben

unter Mitwirkung hervorragender Fachmänner und wissenschaftlicher Schriftsteller

von Prof. Dr. Hermann J. Eiche in Köln

Juni 1907.

„Wissen und Erkennen sind die Freude und die  
Berechtigung des Menschseins.“ — Kierkegaard.

Jeden Monat 1 Heft. — Jährlich 12 Hef.

Verlag von EDUARD HEINRICH MAYER in Leipzig.

**INHALT.** Der Ring der kleinen Planeten. (Himm. Taftl. VII.) S. 121. — Neue astrophotographische Untersuchungen. (Sonne.) S. 128. — Der Doppelstern 12 Col. S. 129. — Der veränderliche Stern  $\epsilon$  in der Lyra. S. 131. — Die Ringe der Monde von 24. Januar und 29. Juni 1906. S. 132. — Leonhard Euler. S. 133. — Sonett des Nachtrons. S. 135. — Aufsteigender Komet. S. 141. — Halbes der Jupitermonde. S. 142. — Entdeckung der Jupitermonde. S. 144. — Halbes der Saturnmonde. S. 144.

## Der Ring der kleinen Planeten.

(Himm. Taftl. VII.)

**Z**wischen dem Saturn und dem Jupiter, mit seinen inneren Obeden sagte über dem nach innen und außen hinausgehend, befindet in einem Gürtel, dessen Breite mehr als doppelt so groß ist wie der Abstand der Erde von der Sonne, ein Schwarm sehr kleiner Weltkörper, die man unter dem Namen Planetoiden oder Asteroiden zusammenfaßt. Der erste derselben, Ceres, wurde bekanntlich am 1. Januar 1801 von Piazzi in Palermo zufällig entdeckt und dessen Folge in den Jahren 1802, 1804 und 1807 die Auffindung der Pallas, Juno und Vesta durch Olbers und Harding. Dem nahen die Entdeckung neuer Planetoiden, bei der folgende Planeten: Hebe in Gessen 1847 die Astoria und 1847 die Hebe auffand. Dem Entdeckungen

folgten nach mehreren Jahren durch Hind zugehörig die Entdeckung von Stercoraria, von de Gasperi, Goldschmidt, Luther und Olbers, später in noch größerer Anzahl durch Watson, Palma, Cassini und andere. Den großen Aufschwung aber nahm die Entdeckung von kleinen Planeten seit 1896, nachdem H. Wolf in Heidelberg die Methode der photographischen Nachforschung auf diesem Gebiete eingeführt hatte. Ende Oktober 1906 waren im ganzen 801 kleine Planeten entdeckt mit Berechnungen beendet. Nachdem gleicher Zeit der bekannten Planetoiden sowohl angegeben ist, haben Untersuchungen über etwaige Gestaltstörungen in der Anordnung oder Verteilung dem Saturn begünstigen Ansicht zu großem Erfolge zu haben und sind in der Tat von ver-

Seiten 1907. Heft 6.

24

schlossenen Schicks begreifen werden. Eine bemerkenswerte Arbeit dieser Art liegt in einer Abhandlung von Prof. Dr. R. Stroobant, Astronom am Kgl. belgischen Observatorium Brüssel-Licke vor.<sup>1)</sup>

Die Asteroiden sind über eine breite Zone verteilt, deren Grenzen bis vor kurzem die Bahnen der Planeten Mars (halbe große Achse 1,52 Erdhalbmessen) und Jupiter (halbe große Achse 5,20 Erdhalbmessen) bezeichneten. Die Entdeckung des Eros (433) mit einer halben großen Bahnachse von 1,46 und des Pasterides (466 PG (588) mit einer halben großen Bahnachse von 5,25 haben aber gezeigt, daß die Zone der Asteroiden noch weiter ist. Indessen kann der eigentliche Ring dieser kleinen Planeten angesehen werden als begrenzt durch die Bahn des Planeten Hungaria (GH), dessen mittlere Entfernung von der Sonne 1,094 beträgt und des Planeten Thula (TH), dessen Bahnhalbmesser 1,26 ist. Die Breite der Zone der Asteroiden ist also, wenn man die mittleren Entfernungen zwischen von der Sonne ausgerechnet legt, nicht als doppelt so groß wie die mittlere Entfernung der Erde von der Sonne und mehr als dreimal so groß, wenn man die Excentricitäten der Planetenbahnkreise mit in Betracht zieht.

Das Studium dieser Planetenkreise schwimmt in einem Zweifel gehüllt. Laßt auf das Problem der Entstehung unseres Sonnensystems zu wirken. So kann man z. B. konstatieren, daß die starken Excentricitäten und großen Bahnabstände mikroskopischer Planetoiden, die umschweben der vom Jupiter herrührenden Störungen sich beständig haben müssen, eine Entstehungsweise dieser Planetoiden anzunehmen, die wesentlich verschieden gewesen sein muß von derjenigen der großen Planeten des Sonnensystems.

Die Untersuchungen von Prof. Stroobant beziehen sich auf die Planetoiden I bis 512, weil nur von diesen hinreichend genaue Bahnformeln zur Verfügung standen und ferner von da ab die photographische Methode der Nachforschung nach neuen Planeten einsetzt.

Werden diese Planetoiden nach ihrer mittleren Entfernungen von der Sonne geordnet, zwischen den Grenzen von 1,45 und 4,36 Erdhalbmessen, so erhält man die folgende Tabelle. In derselben ist die Zahl der Planetoiden von Zehntel zu Zehntel der halben großen Achsen und ihre Anzahl in Zwischenräumen von 0,05, durch Klammern angedeutet. (Tab. untenstehend.)

Betrachtet man diese Tabelle genauer, so ersieht man die demnach anzuwendende Zeichnung, Bild VII, Fig. 1, so sieht man, daß die kleinen Planeten in verschiedenen Entfernungen von der Sonne sehr ungleich häufig vorkommen, so erscheinen, wie man schon früher erahnte, in dem Planetenringe auffallende Lücken. Solche finden sich vor allem zwischen Grenzen von der Sonne, für welche die Umlaufzeit eines Planetoiden in einem einfachen Verhältnis zur Umlaufzeit des Jupiter steht. Dies scheint zuerst Kirkwood im Jahre 1861 erkannt zu haben, denn er sagte damals: „Diejenigen Punkte in der Zone der Asteroiden, für welche ein einfaches Verhältnis der Umlaufzeiten des kleinen Planeten zu derjenigen des Jupiter besteht, sind durch planetarische Zwischenräume ausgezeichnet, ähnlich den Trennungen zwischen den Saturnringen.“

Der siderische Umlaufdauer des Jupiter beträgt 4332,6 Tage, die mittlere tägliche Bewegung desselben also 299", ein kleiner Planet, dessen mittlere tägliche Bewegung 176" beträgt, wird also eine Umlaufdauer haben, die im dreifachen des Jupiter im Verhältnis von 1 : 3 steht. Man bezeichnet dieses Verhältnis als solches 1. Ordnung. Ein Planetoid mit mittlerer täglicher Bewegung von 445", hat eine Umlauf-

<sup>1)</sup> Annalen der Sternwarte Königl. in Belgien N. 8. Tome IX, Fasc. 15, Brüssel 1901.

145 } 1	240 } 0	275 } 10	340 } 0	345 } 0
146 } 0	241 } 3	276 } 14	341 } 10	346 } 0
147 } 0	242 } 6	277 } 18	342 } 14	347 } 3
148 } 1	243 } 7	278 } 19	343 } 5	348 } 1
149 } 0	244 } 4	279 } 0	344 } 14	349 } 1
150 } 0	245 } 4	280 } 5	345 } 7	350 } 1
151 } 1	246 } 2	281 } 0	346 } 3	351 } 0
152 } 0	247 } 5	282 } 1	347 } 4	352 } 0
153 } 0	248 } 1	283 } 2	348 } 5	353 } 0
154 } 1	249 } 0	284 } 2	349 } 0	354 } 2
155 } 0	250 } 0	285 } 4	350 } 2	355 } 2
156 } 4	251 } 0	286 } 0	351 } 3	356 } 1
157 } 4	252 } 1	287 } 0	352 } 0	357 } 0
158 } 2	253 } 3	288 } 1	353 } 0	358 } 2
159 } 4	254 } 2	289 } 5	354 } 0	359 } 0
160 } 3	255 } 7	290 } 2	355 } 0	420 } 0
161 } 3	256 } 2	291 } 4	356 } 1	421 } 1
162 } 4	257 } 0	292 } 3	357 } 0	
163 } 0	258 } 5	293 } 2	358 } 0	
164 } 1	259 } 7	294 } 0	359 } 2	
165 } 1	260 } 4	295 } 0	360 } 2	
166 } 3	261 } 0	296 } 2	361 } 0	
167 } 0	262 } 5	297 } 4	362 } 0	
168 } 4	263 } 1	298 } 4	363 } 0	
169 } 0	264 } 7	299 } 1	364 } 2	
170 } 3	265 } 7	300 } 2	365 } 0	
171 } 3	266 } 0	301 } 3	366 } 1	
172 } 4	267 } 0	302 } 0	367 } 3	
173 } 2	268 } 7	303 } 1	368 } 1	
174 } 0	269 } 3	304 } 4	369 } 1	
175 } 0	270 } 3	305 } 4	370 } 1	
176 } 5	271 } 5	306 } 5	344 } 2	
177 } 10	272 } 11	307 } 1		
178 } 6	273 } 10	308 } 2		
	274 } 10	309 } 7		

N	Q	V	$\mu$	$\sigma$	N	Q	V	$\mu$	$\sigma$
1	7	$\frac{1}{2}$	1240	1.81	32	3	$\frac{1}{2}$	479	3.00
2	3	$\frac{1}{2}$	1280	2.00	33	7	$\frac{1}{2}$	475	3.05
3	8	$\frac{1}{2}$	1267	2.18	34	4	$\frac{1}{2}$	470	3.15
4	6	$\frac{1}{2}$	1247	2.25	35	5	$\frac{1}{2}$	465	3.24
5	7	$\frac{1}{2}$	997	2.33	36	8	$\frac{1}{2}$	462	3.44
6	2	$\frac{1}{2}$	997	2.50	37	3	$\frac{1}{2}$	460	3.50
7	7	$\frac{1}{2}$	923	2.63	38	5	$\frac{1}{2}$	456	3.74
8	6	$\frac{1}{2}$	798	2.70	39	1	$\frac{1}{2}$	449	3.87
9	8	$\frac{1}{2}$	778	2.75	40	8	$\frac{1}{2}$	445	4.00
10	3	$\frac{1}{2}$	740	2.83	41	7	$\frac{1}{2}$	438	4.20
11	7	$\frac{1}{2}$	716	2.88	42	6	$\frac{1}{2}$	437	4.24
12	4	$\frac{1}{2}$	696	2.95	43	5	$\frac{1}{2}$	435	4.35
13	5	$\frac{1}{2}$	673	3.03	44	4	$\frac{1}{2}$	432	4.57
14	6	$\frac{1}{2}$	658	3.07	45	7	$\frac{1}{2}$	430	4.64
15	7	$\frac{1}{2}$	646	3.10	46	3	$\frac{1}{2}$	427	4.68
16	8	$\frac{1}{2}$	641	3.13	47	8	$\frac{1}{2}$	425	4.72
17	1	$\frac{1}{2}$	590	3.20	48	5	$\frac{1}{2}$	424	4.73
18	8	$\frac{1}{2}$	595	3.40	49	7	$\frac{1}{2}$	422	4.74
19	7	$\frac{1}{2}$	594	3.43	50	2	$\frac{1}{2}$	419	4.75
20	6	$\frac{1}{2}$	590	3.44	51	7	$\frac{1}{2}$	415	4.78
21	6	$\frac{1}{2}$	549	3.47	52	5	$\frac{1}{2}$	414	4.79
22	6	$\frac{1}{2}$	530	3.52	53	8	$\frac{1}{2}$	413	4.79
23	7	$\frac{1}{2}$	533	3.54	54	7	$\frac{1}{2}$	411	4.78
24	3	$\frac{1}{2}$	533	3.56	55	7	$\frac{1}{2}$	409	4.72
25	8	$\frac{1}{2}$	517	3.61	56	4	$\frac{1}{2}$	406	4.70
26	5	$\frac{1}{2}$	513	3.63	57	5	$\frac{1}{2}$	405	4.70
27	7	$\frac{1}{2}$	508	3.66	58	6	$\frac{1}{2}$	405	4.71
28	3	$\frac{1}{2}$	496	3.70	59	7	$\frac{1}{2}$	404	4.70
29	7	$\frac{1}{2}$	490	3.75	60	8	$\frac{1}{2}$	403	4.70
30	5	$\frac{1}{2}$	486	3.76	61	1	$\frac{1}{2}$	399	4.70
31	3	$\frac{1}{2}$	483	3.79					

seß, die sich zu derjenigen des Jupiter sehr nahe wie 3 : 5 verhält. Man bezeichnet dieses Verhältniß als solches 3. Ordnung. Ein solches 3. Ordnungsgleichniß 3 : 5 tritt ein für einen Planeten, dessen mittlere tägliche Bewegung  $741''$  beträgt, es tritt aber auch mehrere ein für einen Planeten, dessen mittlere tägliche Bewegung  $411''$  beträgt. Prof. Struve hat mit einer Liste aller hier in Betracht kommenden Umlaufverhältnisse, bis zur 6. Ordnung Sie als nachstehend anzuordnen, und zwar bezeichnet in dieser Tabelle die Columnen A die laufende Nummer, die Ordnungszahl der Bewegungverhältnisse zwischen Jupiter und Asteroid, V. das Verhältniß dieser Bewegungen ausgedrückt durch die nächstliegenden ganzen Zahlen, also 2 : 3, 1 : 4 usw.,  $\alpha$  die mittlere tägliche Bewegung des Planeten und  $\omega$  die halbe große Achse der Bahn desselben, wobei die mittlere Entfernung der Erde von der Sonne = 1 gesetzt ist. (Tabelle nebenstehend.)

Diese Tabelle ist für manche Untersuchungen von Nutzen. Die den ersten Ordnungen 1 bis 5 entsprechenden Verhältnisse sind auf der Tafel VII in Fig. 1 durch stärkere oder schwächere Punkte bezeichnet und daraus lassen die zugehörigen mittleren Entfernungen der Planeten von der Sonne. Die Anzahl der auf jede Entfernung fallenden Planeten ist durch die größt oder geringste Länge der senkrechten Linien angedeutet. Man erkennt aus dieser Darstellung sofort, daß da, wo die gemachte und durch die kleinsten ganzen Zahlen ausdrückbare Übersetzung der Verhältnisse der Umlaufzeiten der Planeten mit Jupiter stattfindet, die Anzahl dieser Planeten am kleinsten ist. Drei bestehen also Lücken ihrer Häufigkeit. Man beachte die völlige Abwesenheit der kleinen Planeten in demjenigen Districte von der Sonne, welche unter No. 6 (3. Ordnung), 10 (3. Ordnung) und 12 (4. Ordnung) aufgeführt sind und die innerhalb des

dritten Teiles des Asteroidenringes liegen. Ähnlich ist es für die Verhältnisse No. 2 (3. Ordnung), 17 (1. Ordnung), 21 (3. Ordnung) und 23 (4. Ordnung), welche in die verhältnismäßig wenig besetzten Regionen des Saturnenrings fallen. Gut markierte Minima zeigen sich unter No. 4 (3. Ordnung), 7 (7. Ordnung), 8 (3. Ordnung), 11 (7. Ordnung), 13 (3. Ordnung), 14 (3. Ordnung), 15 (7. Ordnung) und 16 (4. Ordnung). Kratzen läßt in einer Zone großer Häufigkeit der Asteroden. Die Lücken treten insbesondere am deutlichsten in demjenigen Regione hervor, wo die Zahl der Asteroden übersteigt die größt ist. Man bemerkt ferner, daß im allgemeinen die Lücken, welche zu höheren Ordnungen der Komensurabilität der Umlaufzeiten gehören, sich in einer etwas kleineren Entfernung von der Sonne finden als diejenigen, für welche die mittlere Bewegung in einem solchen Verhältnisse zu der des Jupiter steht, also besonders für die Verhältnisse No. 10, 12, 15 und 21 der Tabelle. Zwischen den Entfernungen 35 und 38 von der Sonne, wo die Fälle von Komensurabilität der Umlaufzeiten mehrfach sind und viele beieinander liegen, findet sich kein kleiner Planet. Solche annehmen dagegen wieder in der Zone zwischen 101 und 165 Erdhalbkreisbreiten, wo keine Komensurabilität der Umlaufzeiten stattfindet, von hier aus bis zur Distanz 420, wo solche wieder eintritt, fehlen ebenfalls die Asteroden und diese innerhalb der Region No. 61 (1. Ordnung) findet sich wieder der kleine Planet Thule (279). Hiernach scheint es, daß die Bildung von Planeten innerhalb der Zonen mit starker Anziehung von Komensurabilität der Umlaufzeiten mit demjenigen Jupiter un möglich war. Das Diagramm zeigt ferner, daß die Planeten eine Tendenz zu größerer Anziehung gegen die innere Seite einer Lücke des Ringes hin zeigen, als gegen die äußere hat. Diese Tatsache scheint

schon Callender's<sup>1)</sup> für denjenigen Distanz innerhalb des Planetenringes, für welche die mittlere Bewegung doppelt so groß ist als die des Jupiter. Er war auch bereits darauf hin, daß ein Querschnitt durch den Schwarm der kleinen Planeten eine gewisse Ähnlichkeit mit einem Querschnitt durch den Ring des Saturn und dessen Trennungsebene zeigt. Die große, sogenannte Cassinische Trennungsebene befindet sich in einer Entfernung vom Zentrum des Saturn, die etwas größer ist als die Distanz, in welcher ein Partikelchen des Ringes die doppelte Geschwindigkeit des Titanischen Monas und die verfallene von Triton besitzt.

Da die Eigenbeweglichkeiten, welche die Saturne der kleinen Planeten, vor allem die Längen in der Nähe der Äquinoktien und Umlaufzeiten, die zu denjenigen des Jupiter in einfachen (ganzzahligen) Verhältnisse stehen, aus der Störungstheorie nicht erklärt werden können, so wird man darauf geführt, als das Ergebnis kosmologischer Untersuchungen.

Die Gesamtmenge der Materie, die sich innerhalb des Ringes der Asteroiden befindet, ist offenbar zu klein, um die Annahme einer ursprünglich vorhandenen Anzahl von Ringen zu gestatten, es ist vielmehr wahrscheinlich, daß die Beibehaltung der Materie zu Asteroiden, im Schilde des Umlaufs selbst vor sich geht. Die durch die Annahme des Jupiter hervorgebrachten Cassiniflächen) erlauben sich bei jeder Konjunktion in denjenigen Bahnen finden, für welche ein Verhältnis der Massenverhältnisse bestand und diese Entwicklung führt zu der Vorstellung, daß sich bestimmte Massen in den Nebelströmen absonderten, um später in Gruppen von kleinen Planeten zu werden.

Um die Artbildung der Asteroiden in verschiedenen Entfernungen der Sonne genauer zu erkennen, hat Pöhl

Stockast die Verteilung derselben in Zonen von 20 Entfernungseinheiten, wobei die Planeten des Inneren (113) mit der mittleren Entfernung 1 u. und Thule (279) mit einer solchen von 470 ausgeschlossen wurden. Folgende Tabelle enthält das Ergebnis dieser Zusammenstellung:

Grenzen der Zonen	Mittlere Entfernung von der Sonne	Anzahl der Asteroiden
110—130	1.9	1
130—150	2.1	20
150—170	2.6	41
170—190	2.7	199
190—210	3.0	130
210—230	3.5	46
230—250	3.9	3
250—400	5.9	9

Diese Zahlen gestatten die Zeichnung der Kurve, Fig. 3, welche das allgemeine Verhalten oder Gesetz in der Verteilung der Asteroiden (je nach ihrer Entfernung von der Sonne) darstellt. Wie man aus dieser Kurve erkennt, findet sich die größte Anzahl um die Distanz 175 herum gruppiert, von wo ab sie ziemlich regelmäßig nach beiden Seiten hin abnimmt. Diese Kurve hat sehr große Ähnlichkeit mit derjenigen, welche gemäß dem Princip der Wahrscheinlichkeitsrechnung die Verteilung der zufälligen Fehler besitzt und die in Fig. 2 durch eine gestrichelte Linie dargestellt ist.

Neben der Anzahl der Asteroiden in verschiedenen Zonen des ganzen Ringes, ist es auch wichtig, die Verteilung der Massen auf diese Zonen zu kennen. Leider sind die Grundlagen für eine solche Berechnung höchst unzureichend, da darüber Messungen der Größenverhältnisse nur für einige der größten Asteroiden vorliegen. Es können in dieser Beziehung nur die Messungen in Betrach kommen, welche Pöhl hinsichtlich an den Planeten Ceres, Pallas, Juno und Vesta angestellt hat<sup>2)</sup> und gemäß denen Ceres mit 170 für der

<sup>1)</sup> *Astrophys. J.* 1889, de Russ River 1. XXII. 1890.

<sup>2)</sup> Vgl. *Berlin* 1902, S. 30.

größte, jenseit 196 des Durchmesser der Mercur denselben ist. Macht man die Annahme, daß die Volumenkräfteverhältnisse der Oberfläch aller Planeten in dem Durchmesser gleich sei, so kann man an die sogenannten Helligkeiten derselben ihre wirklichen Größen berechnen und bei Annahme gleicher Dichte auch die schenken Masse derselben. Prof. Seebach hat diese Rechnungen ausgeführt. Indem er das Volumen resp. die Masse der Venus zur Einheit nimmt, gilt die folgende Verteilung der Ausdehnungen auf die je 0,2 Erdbahnhälfte breiten Zonen des Asteroidenringes:

Durchm. der Ringe	Äquivalente Entfernung von der Sonne	Masse
140—150	1,8	0,000 07
150—160	2,1	0,013 15
160—170	2,4	1 320 07
170—180	2,7	0,014 41
180—190	3,0	0,002 30
190—200	3,3	0,000 27
200—210	3,6	0,001 30
210—220	3,9	0,001 07

Wie man sieht, hat die Volumenverhältnisse der größeren Asteroiden zur Folge, daß fast die ganze Masse in die ersten Teile des Ringes um die Distanz 2,7 herum verlegt ist und besonders noch gegen den äußeren Rand derselben abnimmt.

Da die scheinbare Helligkeit der kleinen Planeten mit ihrer Entfernung von der Sonne abnimmt, so ist klar, daß zahlreiche Asteroiden, die sich an der inneren Grenze des Ringes befinden, unentdeckt geblieben wären, wenn sie in größerer Entfernung sich bewegten. So weicht z. B. der Planet Adhama (384), dessen Entfernung 2,69 und dessen mittlere Helligkeit in der Opposition 13,5 Größe ist, nur als Sternchen 17 Größe erscheinen, wenn er sich in der Distanz 3,9 befindet und dann noch unbekannt war. Dieser Einfluß der Entfernung auf die Entdeckungen der kleinen Planeten ist in einer Abhandlung von Prof. Neuschäpfer näher er-

örtert worden, welcher an 456 Asteroiden zeigt, daß die Zahl derjenigen deren Durchmesser wahrscheinlich kleiner als 60 km ist, fast regelmäßig abnimmt von 84 4% an innerer Grenze des Ringes bis zu 32 2% gegen den äußeren Rand hin. Prof. Seebach sucht nun zu ermitteln, wie groß die Anzahl der bekannten kleinen Planeten sein würde, wenn diese sich sämtlich unter den gleichen Entdeckungsverhältnissen befänden.

Von 512 Planetoiden haben nur den von Helligkeit unter 14,5 Größe, so daß man diese regelmäßig wohl als Grenze der Helligkeit für die scheinbaren Planeten betrachten kann. Prof. Seebach hat dann auf Grund dieser mathematischen Betrachtung für die wahrscheinlich vorhandenen kleinen Planeten folgende (runde) Zahlen

Entfernung in Erdbahnhälften	Anzahl der Planetoiden
2,1	75
2,4	184
2,7	139
3,0	100
3,3	76
3,6	6

Diese Verteilung ist graphisch in Fig. 3 wiedergegeben. Werden die relativen Zahlen für die Zonen gleicher Breite durch die Zahl, welche den mittleren Radius jeder Zone angibt, so werden sie dadurch auf gleiche Fläche reduziert und man erhält folgende Tabelle, in welcher N die absolute Zahl bedeutet.

Zone	Mittlerer Radius	N
140—150	1,8	1
150—160	2,1	87,1
160—170	2,4	71,6
170—180	2,7	101,3
180—190	3,0	81,6
190—200	3,3	26,1
200—210	3,6	1,5

Diese Verteilung ist graphisch in Fig. 4 dargestellt. Verfährt man in gleicher Weise mit den Zahlen der ver-

hergeleitet Tabelle, welche die Anzahl der Planetoiden enthält, so erhält man die wahrscheinliche, relative Anzahl der kleinen Planeten in dem Zwischengleichen Flächenräume, welche folgende Tabelle neuer N° angibt.

Zone	Mittlere Breite	N°
1,00—1,50	1,8	1
1,50—2,25	2,1	197
2,25—3,25	2,4	763
3,25—4,95	3,7	126,7
4,95—9,00	6,8	1178
9,00—14,00	11	41,5
14,00—27,50	18	30

Diese Ergebnisse sind graphisch in Fig. 5 dargestellt und sie können nach Prof. Strömgren's Meinung als der wahre Ausdruck für das Gesetz der Verteilung der Asteroiden im Raum betrachtet werden.

Schließlich kommt Prof. Strömgren zu dem Ergebnisse, daß im allgemeinen die kleineren Asteroiden (unter 125 Quidat) relativ weniger zahlreich sind in dem an Asteroiden überhaupt reichsten Zonen des Asteroidenrings.

## Neue spektroskopische Doppelsterne.

(Schluß.)

**F** Prof. Edwin E. Frost vom Yerkes-Observatorium macht folgende Mitteilungen über 9 Sterne mit veränderlicher Radialbewegung:

### 1. Veränderliche Sterne.

#### KE Cassiopeja.

(AE =  $34 \pm 40$  D =  $+66^\circ 13'$ )

Dies ist ein Veränderlicher des Algoltypus und seine Helligkeit schwankt zwischen 6,5 und 6,8 Größe. Der spektroskopischen Untersuchungsresultaten auf der Vorzeichenwerte wurden von Perkhout am 26. August 1906 begonnen, gleichzeitig mit Helligkeitsbestimmungen auf photographischem Wege. Die Platte zeigt, daß das Spektrum sehr gut zusammen fiel und der Stern wurde deshalb als der Leuchte der immer im untersuchenden Stern gestellt. Die zweite von Perkhout erhaltene Platte am 2. September war wie die erste ungefähr  $34^\circ$  vor dem Helligkeitsminimum des Sternes erhalten und zeigt nur geringe Verschiebung der Radialgeschwindigkeit (ungefähr  $-9$  km). Die dritte Platte, von Frost und Barrett am 24. September kurz vor der vorübergehenden Zeit der größten Geschwindigkeit auf die Erde zu und  $75^\circ$  nach dem Helligkeitsminimum aufgenommen, ergibt eine Radialgeschwindigkeit von  $-614$  km

Das erste Spektrogramm von Fox am 4. November aufgenommen,  $114^\circ$  vor dem Helligkeitsminimum ergibt eine Radialgeschwindigkeit ungefähr  $-54$  km. Leider verhinderte ungünstige Witterung weitere Aufnahmen um die Zeit der größten Geschwindigkeit in der Richtung der Entfernung von der Erde.

Inzwischen hat Prof. Hartmann vom astronomischen Observatorium zu Potsdam gegen Beobachtungen dieses Sternes veröffentlicht und sagt in seiner Publikation: «Obwohl dieser von D. Müller in Potsdam kürzlich entdeckte Veränderliche im Maximum nur 6,5<sup>m</sup>, im Minimum 12<sup>m</sup> ist, habe ich doch die Hälfte des am 10. im September aufgenommenen Spektrogrammes (im Potsdam) die Radialgeschwindigkeit an mehreren Punkten der Bahn, selbst im Minimum, genau bestimmen können. Auch bei diesem Sterne bestätigen die Spektralbeobachtungen wieder die Tatsache, daß der Lichtwechsel durch die Vererbung eines Sternes durch einen zweiten, mit dem er sich um einen gemeinsamen Schwerpunkt drehen, hervorgerufen wird. Aus einer größeren Reihe von Beobachtungen, deren definitive Resultate



und später möglich ist, wenn die Linienbreiten schärfer bestimmt sein wird, weil ich hier nur zwei mäßigen, welche voraussichtlich den Quadranten ziemlich nahe liegen würde. Ich fand

$$\begin{aligned} \text{Phase I 303 1906 Okt. I } V &= + 30.1 \text{ km} \\ \text{II 351 1906 - II } V &= - 12.5 \end{aligned}$$

Die erste Beobachtung liegt etwa ein Viertel der Periodendauer vor dem Maximum, die zweite ebenfalls nach dem Minimum. Nach den vorstehenden Beobachtung meiner Beobachtungen hat der Schwerpunkt des Systems die Geschwindigkeit  $V_s = -41 \text{ km}$ , und der Abstand des beschriebenen Körpers vom Schwerpunkt beträgt 1155606 km, woraus bei Annahme gleicher Masse für die beiden Körper die jeden einzelnen zu 0.16 Sonnenmasse folgt. Bei der definitiven Bahlbestimmung, die ich mir für später vorbehalte, werden diese Angaben nur unbedeutende Änderungen erleiden.

Nach Prof. Frost gehört das Spektrum des Sterns zum G-System, was gewöhnlich bei Algolsternen, mit seltenen Hefkometaren, die Wasserstofflinien fast und scharfer als gewöhnlich und zahlreiche verlängerte metallische Linien (besonders des Titan- und Eisen) können gesehen werden.

### X. Cygni.

$$AR = 20+20 = D = + 21^{\circ} 14'$$

Dieser Veränderliche ist im Maximum 8.4, im Minimum 12—12 Größe und die Dauer seiner Periode beträgt 18.4 Tage. Er gehört zu den Veränderlichen des  $\delta$ -Cephei-Typus. Im Jahre 1905 wurde auf der Vorlesungsverste eine Aufzählung von Barnard und 1906 wurde 1 von Parkhurst und eine von Frost erhalten. Sie gaben Geschwindigkeitsunterstützung im Betrag bis zu 10 km. Die größte Entfernung von der Erde betrug etwa 3 Tage nach der kleinsten Helligkeit aus, eine geringe Annäherung 3 Tage nach dem Maximum, mittels zwischen Maximum und Minimum ist die Geschwindigkeit nur gering. Dies stimmt zu der Analogie mit dem Var-

indischen des  $\delta$ -Cephei-Typus, aber es bedarf noch weiterer Aufnahmen, um alle Phasen der Veränderlichkeit zu verstehen.

### II. Siebte Doppelstern.

#### 13 Cep.

$$AR = 20+20 = D = - 4^{\circ} 5'$$

Der Hauptstern 5.8 Größe hat, wie Barnard früher in Cataloge entdeckte, einen lichtschwachen Begleiter 12.2 Größe. Spektrogramm des Sterns wurde von Barnard und Frost aufgenommen. Das letztere ist ein ausgezeichnetes Beispiel des F-Typus und kann scharf gemessen werden. So weit die bisherigen Aufnahmen und Messungen schließen lassen, umfassen die Aufnahmen der Radialgeschwindigkeit mehr als 50 km pro Sekunde und die letzten Aufnahmen deuten auf eine Periode von nur 3 Tagen. Die Umlaufdauer des Barnardschen Begleiters beträgt wahrscheinlich weniger als 25 Jahre; Prof. Frost hofft, daß es demnächst möglich wird, die Bahn des spektroskopischen Begleiters genauer zu bestimmen.

#### n. Leonis.

$$AR = 5+25 = D = + 5^{\circ} 30'$$

Dieser Doppelstern 6.2 und 7 Größe, dessen Umlaufzeit vielleicht 100 Jahre beträgt, ergab nach dem Spektrogramm Veränderungen der Radialgeschwindigkeit von mehr als 20 km, doch kann bei jetzt nichts über die Periodendauer derselben gesagt werden.

#### 45 Pegasi.

$$AR = 20+17 = D = + 20^{\circ} 34'$$

Der Hauptstern ist 6 Größe und hat 3 Begleiter 9, 11, und 13 Größe. Nach Barnard beträgt die Umlaufdauer des Begleiters 11 Größe weniger als 20 Jahre. Das Spektrum des Hauptsterns gehört zum G-System. Die Messungen sind aus verschiedenen Gründen nicht sehr genau, die mittleren Abstände schwanken zwischen 43 und 51 km. Radialgeschwindigkeit in der Sekunde.

# III. Sterne des Oriontypus.

## 19 $\alpha^1$ Eridani

(AR = 24 30 = D = - 32° 56')

Der Stern ist 4.2 Größe und sein Spektrum wird charakterisiert durch äußere breite und schwache Linien, welche durch das periodische Verdoppeln zeigen, daß der Stern ein spektroskopischer Doppelstern ist, dessen Komponenten nahezu gleich hell sind. Es war nicht möglich, die Radialbewegung genau zu messen. Die Aufnahmen aus 19. Oktober 1906 bis Bewegungende Komponenten — 55 km und + 118 km ablesen, eine Aufn. aus 16. Dezember zeigt von — 68 und + 140 km. Die Periode ist wahrscheinlich kurz.

## 20 $\alpha^1$ Eridani

(AR = 35 05 = D = - 30° 16')

Von diesem Stern 4.1 Größe wurden 5 Spektrogramme erhalten. Das Spektrum zeigt die Heliumlinien ziemlich schwach. Die Schwankungen der Radialgeschwindigkeit betragen mehr als 26 km.

## 28 $\alpha^1$ Orionis

(AR = 14 12 = D = - 6° 57')

Der Stern ist 3.6 Größe und seine Radialgeschwindigkeit schwankt zwischen + 5 und + 34 km pro Sekunde. Über die Periode kann noch nichts gesagt werden.

## 6 $\alpha^1$ Canis majoris

(AR = 64 36 = D = - 32° 31')

Die Linien im Spektrum dieses Sterns 4.2 Größe erscheinen sehr dünn und die bisherigen Aufnahmen zeigen, daß die Radialgeschwindigkeit zwischen + 25 und + 32 km schwankt. Weitere Daten müssen durch spätere Aufnahmen erhalten werden.

## 2 Andromedae

(AR = 20 33 = D = + 32° 06')

Über die Natur dieses spektroskopischen Doppelsterns hat Kevin Stans eine spezielle Untersuchung veröffentlicht<sup>1)</sup>. Der Stern ist photographisch 5.6 Größe und sein Spektrum gehört zum Typus K. Die Linien desselben sind sehr scharf, besonders in der Nähe von H $\gamma$ . Den Charakter als spektroskopischen Doppelstern erkannte zuerst Louis Fred Campbell<sup>2)</sup> und die später in jenen Jahren aufgenommenen Spektrogramme ergaben als Periode 20.5 Tage. Die ersten 18 Platten wurden mit dem Miltz-Spektrographen erhalten bei mittlerer Lage der Linie H $\gamma$ , die späteren mit dem neu montierten Miltz, wobei die Linie 24500 zentriert war. Die Ausmessungen deuten die Verschiedenheit zwischen den beiden Reihen von Aufnahmen an und es wurde deshalb eine dritte Messungsreihe unternommen, um darüber Gewißheit zu erhalten. Im ganzen hat K. Stans für seine erste Untersuchung 51 Aufnahmen verwendet, die in die Zeit zwischen 1897 Nov. 18 und 1906 Juli 30 fielen. Es fand sich aus den Aufnahmen von 1899 die Umlaufdauer 20.538 Tage, die Positionswinkel des Periastrons 162°, die Geschwindigkeit 6.48 km, die Exzentrizität 0.123, die Geschwindigkeit der Bewegung des Schwerpunkts des Systems zu + 6.24 km. Die neuen Aufnahmen (1903) ergaben dafür der Höhe nach 20.546 Tage, 161.0°, 7.07 km, 0.086 und + 7.43. Stans meint, daß die Unterschiede bei der Behandlung auf die Erweiterung des dritten Körpers im System des Sterns hindeuten.

<sup>1)</sup> Lick Observ. Bulletin No. 105.

<sup>2)</sup> Astrophys. Journal 1899 10, 176.

## Der Doppelstern 13 Cass.

Der Stern 6. Größe 13 Cass., dessen Ort am Himmel für 1900 Q im AR = 66 30 = D = - 4° 8'

geführt zu den intermedien Doppelsternen wegen der ungenügend kurzen Umlaufdauer eines Begleiters. Stans



hies Land am 18<sup>ten</sup> seligen Heilboten der Sternwarte Göttingen im Jahre 1817 einen sehr beschleunigten Regulator im Perihelionswinkel  $\varpi = 65.5^\circ$  und der Declina  $d = 38.12^\circ$ , konnte aber am Hauptstern nichts weiter wahrnehmen. Im Jahre 1886 sah Hough mit dem stärkechen Fernrohr diesen Hauptstern selbst als dinstert einen Doppelstern und suchte so schnell im folgenden Jahre. Er schätzte die Distanz beider Sterne voneinander auf nur 0.3. In den Jahren 1890 und 91 bemähte sich Barnham vergeblich selbst am 36-Zoll der Licksternwarte diese Doppelstern zu erkennen, der Stern erschien vielmehr sehr völlig rund, so daß Barnham zweifelte, ob es sich hier wirklich um einen sehr engen Doppelstern handle. Indessen sah Sir Ende 1899 den Stern wieder unversehrt doppelt und von dem darauf folgenden Jahre hat Aitken am 36-Zoll der Licksternwarte regelmäßig beider Sterne bemerkt. Er fand die kleine Distanz denselben um 1500facher Vergrößerung zu nur 0.12. Aus dieser Beobachtung hat Aitken nunmehr die Bahn des Regulators abgeleitet und findet für die schärfere Bahn denselben

Große Achse  $a = 0.36''$   
Kleine Achse  $b = 0.26''$   
Distanz des Stern vom Zentrum 0.12''  
Winkel der großen Achse  $= 71.50^\circ$   
Winkel des Periastron  $= 98.7^\circ$   
Für die weiteren Bahnelemente ergibt sich daraus weiter:  
Umlaufzeit  $(P) = 7.42$  Jahre  
Epoch des Periastron  $(T) = 1905.28$   
Excentricität  $(e) = 0.74$   
Halbe große Achse  $(a) = 0.204''$   
Winkelabstand des Periastron vom Knoten:  
perihel  $(\varpi) = 51.75''$   
Knoten  $(\Omega) = 30.40''$   
Neigung der Bahnzone  $(i) = +48.05''$   
Perihelionswinkel zunahm

Gegen diese Bahnelemente von das Jahr 1899 selbst für den 36-Zoll der Licksternwarte schwebt ein Objekt (damalige Distanz  $d = 0.1$ , im nächsten Jahre hatte der Regulator unter sehr günstigen Umständen gesehen werden Element  $d = 0.23$ ) und dieses 1877 um 10<sup>ten</sup> Zoll (damalige Distanz  $d = 0.1$ ). Mit Annahme von 6 Epochen (Periode 3.7 Jahre) hat 13 Ceb der kleine bekannte Umlaufzeit und eine jährliche Eigenbewegung von 0.4.

## Der veränderliche Stern $\epsilon$ in der Leyer.

**E**iner, dem bloßen Auge sichtbar veränderliche wurde von Goodrich im Jahre 1784 als solcher erkannt. Er ist später von Argelander viele Jahre hindurch beobachtet worden und dessen beständige Astronom hat ebenfalls genaue Untersuchungen über die Periodendauer und die Art und Weise des Helligkeitswechsels angestellt. Gemäß dessen früheren Arbeiten betrug die Dauer des Lichtwechsels 1784 12 Tage 21<sup>st</sup> 24<sup>te</sup> = 1103<sup>te</sup> und nahm im 1855 um 21<sup>st</sup> 580<sup>te</sup> zu. Das Lichtveränderung vollzieht sich so, daß von Maximum aus nach 3 Tagen 2<sup>te</sup> ein erstes Minimum der Helligkeit eintritt, dem nach weitere 3 Tagen 7<sup>te</sup> ein zweites (sekundäres) Minimum folgt, worauf

nach kurzen 3 Tagen 3<sup>te</sup> ebenfalls ein Maximum der Helligkeit eintritt und 3 Tage 12<sup>te</sup> darauf wieder das Maximum. Später ist der Lichtwechsel dieses Sterns von Oudemans, Klink, Schae, Pfahmans, Pennekamp, Olshausen, Neumann und andere beobachtet worden. Diese Beobachtungen dienen einer geordneten Uebersichtlichkeit im Verlaufe der Lichtkurve an, bestätigen aber im ganzen diejenige Form desselben, welche Argelander hauptsächlich hat. In dem letzten Jahre hat H. E. Loe in Kopenhagen den Lichtwechsel des Sterns kritisch beobachtet, und zwar in der Zeit vom 21. Juni 1902 bis zum 6. Dezember 1905. Er umgibt die jeweiligen Helligkeit desselben mit der

Helligkeit von  $\beta$  Lyrae (3.5 Größe),  $\gamma$  Herculis (3.62 Größe) in  $\alpha$  Herculis (3.63 Größe), außer deren Sternes wurden noch  $\delta$ ,  $\epsilon$ ,  $\zeta$ ,  $\eta$  Lyrae und einige andere als Vergleichsstern benutzt und deren Helligkeit nach den Größenangaben des Harvardkatalogs angenommen. Aus diesen Beobachtungen hat Lau eine Kurve des Lichtwechsels von  $\beta$  Lyrae abgeleitet, die sich gut der Argelanderischen annähert und auch keine wesentlichen Unregelmäßigkeiten von ihrem mittleren Verlauf zeigt. Hiernach ist der Stern im Hauptmaximum 4.15 Größe, erreicht nach 3.4 Tagen das erste Maximum seiner Helligkeit (3.45 Größe), wird 3.68 Tage später auf das sekundäre Maximum (3.92 Größe) herab und hebt seine Helligkeit darauf nach 3.28 Tagen zum zweiten Maximum (3.42 Größe) um nach weiteren 3.34 Tagen wieder auf die Helligkeit des Hauptmaximums herabzusinken.

Nach den Untersuchungen von Rhyss besteht das Sternsystem  $\beta$  Lyrae aus zwei abgeplatteten Weltkörpern von nahe der gleichen Größe, die fast in Berührung miteinander sind, so daß man sie ihnen als in Ausdehnung begriffenes Doppelsystemstemm sehen kann. Der astrophotographische Aussehen

auf der Harvardsternkarte und mit dieser Annahme in guter Übereinstimmung. Das Spektrum stellt sich der als Doppelspektren des Orizonttyps und zwar der Gruppen VIIc und VII, nach der von Mill Henry aufgestellten Klassifikation. Der hellere Lichte des Spektrums deutet das Vorhandensein einer mächtigen Nebelhülle an, welche das System umgibt. Nach Belopolsky messen die hellere großen Astern der um den gemeinsamen Schwerpunkt beschriebenen Bahnen beider Sterne 32 und 16 Millionen Kilometer und ihre Massen sind 18 resp. 29 mal so groß als die Sonnenmasse. Um die Zeit des Hauptmaximums sieht man dem Spektrum des Sterns die hellen Banden durch dunkle Zonen mit drei verschwindend kleinen Maximumen ersetzt. Lau erklärt dies durch die Annahme, daß das System von  $\beta$  Lyrae aus zwei Nebeln besteht, in denen sich kondensiertes Zinnoxyd befindet, die miteinander in Berührung sind. Der Hauptstern besteht aus einem Kern, der vorwiegend aus Kalium besteht und von einer Atmosphäre umgeben wird, in der Wasserstoff, Helium und Magnesium vorherrschen. Der Begleiter bildet einen großen Nebel von niedriger Temperatur aus Wasserstoff und Helium, der einen Kern enthält, welcher aus Kalium und anderen Elementen besteht.

<sup>1)</sup> Bulletin astronomique, T. 15, 1901 Mars, p. 103.

## Die Bahn des Meteors vom 18. Januar und 29 Juni 1905.

 Die k. k. Akademie der Wissenschaften in Wien hat Prof. O. Neuf von Mayendorf (Boden) eine Untersuchung über die Bahnen der am 18. Januar und 29. Juni 1905 an vielen Orten Österreichs und Süddeutschlands gesehenen Feuerkugeln anvertraut. Derselbe ergab folgenden:—)

Das über das Meteor vom 19. Januar 1905, 19° 13' nördl. Br. am 2. Juni

19° 13' nördl. Breite, 21.4° l. Br. bei der k. k. Universitätssternwarte in Wien, beobachtet. Verschiedene eingehende Nachrichten stimmen fast alle aus Osten, in nördlicher Entfernung vom Endpunkt und concentriert im Nordwestquadranten von diesem ziemlich engläufig verteilt. Die hellere Erscheinung, mehrfach größer als Venus, bezeichnet und vermindert durch Glänzerung und Mondhülle beinahe vollständig, war keine sehr bedeutende.

Soweit die Bahn sicher nachgewiesen

<sup>1)</sup> Anzeiger d. k. k. Akademie in Wien 1905, S. 40.

re, wurde das Aufsteigen 80 km hoch über der Gegend 2 des Ostark von Mercur auf der Beobachtet. Von hier bewegte sich das Meteor raschen in süd-östlicher Richtung gegen 48.2° Ostark von 54.6° in einer 21° gegen das Horizont geneigten Bahn zur Hemmungsstelle, 30 km über einem Punkt in 15° 13.3' Ost. von F. und 47° 13.3' Süd. Beide Daten Weiser liess sich im Katalogverzeich.

Der Radiationspunkt wurde aus neun beobachteten Beobachtungen in 268.3° Rechtsascension und 45.3° süd. Dekl. genau bestimmt. Die geometrische Geschwindigkeit ergab sich zu 48 km und die heliocentrische zu 54.8 km, entsprechend einer hyperbolischen Bahn.

Der nachgewiesene Radiant liegt genau der Meridian von München am 3. Februar 1903 und des Merkurs vom 7. Februar 1903 nahe. Hauptsächlich der Ausgipfelpunkt im Wellenraum zeigen sich auch weitere Übereinstimmungen innerhalb der wahrscheinlichen Fehlergrenzen.

Die am 29. Juni 1903, um 10h 32m mittlerer Berliner Zeit (9h 57m nach Greenwich Zeit) beobachtete Feuerkugel war eine sehr große Erscheinung, über welche zahlreiche Beweise vorliegen, von denen jedoch nur wenige zur rechnerischen Verwertung geeignet sind. Die überaus günstige Lage der Beobachtungsorte ermöglichte es insbesondere, auf Grundlage einer Herrn Prof. Dr. Max Tappler in Gießen gelangenen, sehr genauen Beobachtung, in Verbindung mit einigen andern neuer be-

rechneten, die Bahnverhältnisse mit befriedigender Sicherheit abzuleiten.

Das Meteor kam fast genau aus 56.1 in einer nur 9° gegen den Horizont des Endpunktes geneigten Bahn. Nach der schärferen Angabe wurde es zuerst 63.7 km über der Gegend bei Oberndorf in Kärnten erblickt. Die Hemmung der planetarischen Bewegung erfolgte 37.4 km über 20° 58.5' Ost von F. und 48° 5' süd. Dekl. wenige Minuten vor Wasserburg am Inn in Bayern.

Nach der Bestimmung in Dresden wurde diese 194 km lang Bahn in etwa 2.5 Sek., also mit einer geometrischen Geschwindigkeit von 61.9 km zurückgelegt, welcher eine stark hyperbolische heliocentrische Geschwindigkeit von 61.8 km entspricht.

Die schwebende Größe wurde an Beobachtungsorten in der Nähe des Endpunktes mit grosser Genauigkeit verglichen. Aus Hienkau bei Schiller etc. in ungefähr 62 km Entfernung von der Hemmungsstelle, wurde über Deklinationen berichtet, ähnlich denen in grösserer Entfernung nach einander abgelesenen Kometenbahnen.

Der schwebende Radiationspunkt ergab sich in 263° Rechtsascension und 30° südlicher Deklination, und es besteht große Wahrscheinlichkeit, daß diese Feuerkugel gemeinsamen kosmischen Ursprung mit den Sternschnuppen der von Schmidt aus älteren Beobachtungen erhaltenen Radianten in  $\alpha = 263^\circ$   $\delta = -31^\circ$  (für Juli 20 bis 31) und  $\alpha = 268^\circ$   $\delta = -36^\circ$  (für August 1 bis 31) besitzt.

## Leonhard Euler.

**24** Im 15. April 1707 waren 208 Jahre verflossen, seit Leonhard Euler das Licht der Welt erblickte, jener große Mathematiker, der nicht nur neue Wege schuf, um einen Zusammenhang auf die schwierigsten mathematischen Probleme zu machen, sondern der auch zuerst eine einheitliche Theorie

der schwerkraftigen Körperbewegungen aufstellte und nach gewaltiger Anstrengung auch eine seiner unerschöpflichen Reihe der tiefsten mathematischen Untersuchungen über physikalische und astronomische Probleme vollführte. Über seinen Lebensgang sind gelegentlich des frühen Gedankens vorstehend

Darstellungen erschienen. J. Lenzus schreibt das in wunderlicher Weise! <sup>1)</sup>

Leonhard Euler wurde geboren in Basel am 15. April 1707 als Sohn des Predigers Paul Euler und der Margarete, geb. Bruckner. Er zeigte sich früh als aufgewecktes Kind, das eine lebhafte Beobachtungsgabe besaß. Der Vater, der selbst neben seinem Fache mathematische Studien betrieb, wollte dem Sohn den ersten Unterricht, dieser sollte ebenfalls Theologie werden und sollte daher auf der Universität Basel die entsprechenden Kollegien hören. Außerdem besuchte er meistens die Vorlesungen des Mathematikers Joh. Bernoulli, der in dem frühen Lernjahr des jungen Euler Gehörten fand und den Schulaufgaben durch seine Freundschaft auszuweichen, eine Zusage, die sich später zwischen Euler und dem Sohne Bernoullis fortsetzte. Auf Rat seines Lehrers wählte sich Euler ausschließlich der Mathematik und erlangte bereits als Neuwahlungsgelehrter den zweiten Preis der Peter Akademie für eine Arbeit über Bewertung der Schiffe. Er bewarb sich dann um eine Professur der Physik in Basel, erhielt diese aber nicht, da die Stellen damals vakant waren, und folgte nun als Zwangsgelehrter einem Rufe an die Petersburger Akademie, an der bereits die beiden Brüder Bernoulli tätig waren. Hier sollte er vorzüglich Physiologie (ß) lehren, da die mathematischen Fächer besetzt waren, indessen wählte er selbst bei seinem Entlassen in Petersburg zum Adjunkten der mathematischen Klasse anstatt und von Physiologie nur keine Rede. Die glanzvolle Akademie Petersburgs fand Euler aber bald mehr vor und stand im Begriff in die Harnet zu treten, in der ihm Adelshof Severin eine Stelle als Schaffensmann anbot, als sich 1735 die Verhältnisse änderten. Von dieser Zeit an hat Euler bis 1741 in Petersburg der mathematischen Klasse der Akademie vorgesprochen, von 1733 an als Nach-

folger Daniel Bernoullis, der nach der Harnet zurückkehrte. Im Jahre 1735 legte Euler durch überausigen Fleiß die Bekanntschaft des rechten Auges aus. Dieser Verlust hinderte ihn aber nicht, seiner Wissenschaft verfaßt auszuweichen. Indessen machten die innern politischen Verhältnisse Rußlands, in dem die Günstlingswirtschaft immer mehr zunahm, die wissenschaftliche Arbeit und das Leben dort unattraktiv und Euler nahm, als ihn Friedrich der Große an die neu zu gründende Akademie in Berlin berief, gerne, nur um aus Petersburg fortzudenken. Oben Schweregebelung nach der nicht, Euler schreibt darüber in seinem Tagebuche, daß er vom 15. Februar bis 10. März 1741 mehrfach alle Institute in Bewegung setzen mußte, um seine „Dimitrios“ zu erlangen. „Ach ich den Rat Schenckers“, heißt es unten 21. Februar, „hat, er möge meine Supplik in das Kaiserliche Kabinet geben, habe er mich in den beflügeln lassen, so, als hätte seine Dimitrios sich vor einem Jahre haben. Da er immer grüßlicher wurde und ich merkte, er wolle mir nur Schweregebeln machen, ging ich an Baron v. Munderfeldt und bei ihm an Bismarck, den er mir auch tatigte.“ Erst am 31. März nahm Euler vom Geh. Rat Ostermann in Petersburg Abschied, die Eröffnung des Akademienjahres hat sich aber noch ziemlich lange hingezogen.

In Berlin, wo Euler am 25. Juli 1741 eintraf, fand er auch keine erfreulichen Zustände vor. Die alte von Leibniz gegründete Akademie der Wissenschaften schien, die neue, die Friedrich der Große zu gründen gedachte, bestand noch nicht und die Kräfte fehlten für die Bekämpfung der Wissenschaften wenig. Nicht so wollte Euler auch hier zunächst in Unabhängigkeit verharren und seine Werke an den König, in denen er eine reichliche Einrichtung der Akademie bat, wurden immer dringlicher. Indessen der große König hatte seine eigenen Ansichten über die Akademie und da er, bei seiner Vorliebe für die Franzosen, gerne einen

<sup>1)</sup> Voss. Ztg., 12. April 1881.

Fransowa als Präsidenten gewählt hätte und Maupertuis zunächst nicht zu haben war, verzögerte so die Errichtung der Akademie (manu mehr: ja er hatte wirklich die Akademie überhaupt nie erreicht, wenn sie nicht von selbst entstanden. Bereits Anfang 1713 waren mehrere Mitglieder der alten Académie der Wissenschaften unter dem Namen, Maupertuis, Leibniz, L'abbé de Fontenelle, der Staatsminister von Bourde, der General von Podewils, Schmalen, Goltz und andere Einfluss zu einer literarisch-wissenschaftlichen Académie zusammengekommen, die wöchentlich Sitzungen abhielt und sich Anfang 1714 mit dem Kaiserlichen akademischen Senat zu einer neuen Akademie vereinigte, deren Sitzungen dann erfolgte die Bestellung Friedrichs der Große zu wählen. So entstand die Académie royale des sciences, deren Präsident Maupertuis, deren Geschäftssprache das Französische wurde und deren Mitglieder in der preussischen Zeit nur wenig Beachtung fanden, als sie Franzosen waren. Der Hauptzweck der Akademie bestand im Kalendervorschlag und diese meteorologischen und geologischen jährlicher waren überall wegen ihrer Genauigkeit geschätzt. Sie wurden in der Hauptsache durch den Astronomen David Hinde bearbeitet. Der Professor der Mathematik Euler wurde bald mit merkwürdigen Aufgaben betraut. Unter den vielen Arbeiten, die er mit Friedrich der Große gemacht hat, finden sich zahlreiche, die von der Berechnung einer Loterie handeln, von der Nachweisung der Richtigkeit der Solnischnecke, vom Kinn des Froschens etc. etc. Ein umfangreiches Attribut im Staatsarchiv behandelt die Frage, wie die auf den Stichen Hübner und Berlin von den letzten Königen nach laufenden Schulden aufzubringen und in eigenen Sinne und begibt mit einer Anweisung an den Grafen von Kintropen bei der Errichtung einer Loterie, deren Entwurf er mit dem Prof. Euler besetzen sollte. Euler hat später einer Rechen-

vorrichtung widerstand widerstand Loterie vorgebracht. Solcher Art waren die Aufgaben, die damals der Direktor der mathematischen Klasse der Akademie der Wissenschaften zu bewältigen hatte. Kein Wunder, daß trotz des Vorschlags, das Friedrich der Große dem Gelehrten Euler angetragen, dieser nicht recht warm in Berlin wurde und mit der Preussischen Akademie, von der er längere noch die Erlaubnis verlangte, sich in Pöhlung blieb. Die Kaiserin wollten das Freundschaft zu schließen. Als 1760 bei der Besetzung Berlin durch die Russen ein Landgraf Euler gebunden worden war, erwiderte das Todtsein nicht nur des Kaiserin noch lebte, sondern erlangte auch nach von der Kaiserin Katharina die Freigabe von 4000 R. für Euler. Es waren verschiedene Kleinigkeiten, die Euler zum Weggange von Berlin bewogen, nicht zum mindesten die Zurückdrängung, die er nach Maupertuis' Tode erfuhr, daß er, obwohl er während der Preussischen Jahre gelebt hatte, nicht die Ehrennung zum Präsidenten erhielt. Es sollte aber wiederum die Kaiserin sein und als d'Alambert, der der Kaiser zum Präsidenten haben wollte, entschiedene ablehnte, bestellte Friedrich die Stelle überhaupt nicht und ernannte d'Alambert trotz seiner Ablehnung als Präsidenten an. Diese Ernennung Franzische, über die der Kaiser oben mittheilte, umgekehrte, verschaffte natürlich das deutsche Professoren an der deutschen Akademie gewinnig, am meisten Euler. Dazu kam, daß er in der Kalendervorschlag einen Mitglied gelang, indem er sich nicht an der richtigen Stelle energisch genug zeigte. Euler hatte als ökonomischer darüber die ganze Vorstellung unter sich, also auch den Kalendervorschlag, der ein gewisser Koller war. Dieser Koller verstand ausgesprochen sehr gut, in seine Tische zu verschaffen, über Euler, der man darauf hinwies, war es schwer, den Mann davon zu überzeugen, weil auch daran, weil der Gedanke zu jung,

desen Bedienter Kiliär gewesen, im Exil besonders empfindlich hatte. In-  
dessen kam gegen Eulers Willen, auf  
Vorschlag Leibniz u. a., eine Sän-  
ktsmännische Kommission zustande, die das  
Kollisionsrecht regeln sollte, deren  
Präsident aber Euler, trotzdem er der Kom-  
mission selbst angehört, in privaten  
Besuch an den König zu durchsetzen  
suchte. Der König ließ ihn am 15. Juni  
1766 stündlich kass abblaffen und demüt-  
igte ihn durch Besagung. Euler ver-  
langte seine Entlassung, nachdem ihm  
von der Kaiserin Katharina eine glänzende  
Bestellung an der Petersburger Akademie  
angeboten worden war, und verließ  
im Juni 1766 Berlin, nicht ohne daß  
Freunde ihn zurückzuerufen versuch-  
ten, um über Wittenberg nach Peters-  
burg zurückzukehren. Eine heilige  
Kirchzeit bewahrte ihn bald nach seiner  
Ankunft auch das heile Auge und  
des artemeter plötzlich Erblindens wäre  
im Jahre 1771 bei einem Brande seines  
Hauses bedauer empkommen, wenn  
ihn nicht ein heurer Landmann, Peter  
Grimes von Basel, herangezogen hätte.  
Jetzt eigentlich magte sich erst die  
große Arbeitskraft dieses Mannes. Nur  
mit Hilfe eines Dieners, eines Berliner  
Schneiders, den er erst nach Petersburg  
gekommen hatte, und seines Sohnes, trotz  
er die schwierigsten Probleme der ge-  
amten Mathematik, Physik und Astro-  
nomie — Astronomie, die noch heute in  
der Wissenschaft bewundert und be-  
achtet werden. Für eine kurze Spanne  
Zeit machte ihn eine Starogonitis wieder  
schlech, aber bald darauf erblindete er  
sterns und war für immer.

Euler starb am 7. September 1807  
monat, seiner Tätigkeit, 76 Jahre alt.  
Sein Geist ist dem Fruchtbaren Saatenkaije  
wert als Grabstein mit der Inschrift  
«Leonhardi Eulero Academiae Petro-  
politanae». Es war gewiss verheiratet  
gewesen, zuerst mit Katharina Cudi,  
einer Tochter des Schwedens Königs,  
dann mit der Schwester seiner ersten  
Frau, Salomea Abgail. Aus erster Ehe  
stammten drei Kinder, von denen

nicht in gegenwärtigem Alter, zwei er-  
wachsene Töchter vor dem Vater als bei.  
Der Sohn überlebte ihn. Der am  
37. November 1734 geborene Joh. Albin  
war bereits mit einundzwanzig Jahren Mitglied  
der Berliner Akademie, mit vierund-  
zwanzig Dozent der Petersburger Stern-  
warte. Als Professor der Akademie  
starb er 1800 in Petersburg. Sein  
Bruder Karl, geboren am 13. Juli 1740,  
starb 1790 als königlicher Leibarzt in  
Petersburg, der jüngste, Christoph, war  
1743 geboren und starb 1813 als  
Artilleriegeneral und Dozent der Waffen-  
kammer-Schule an der Kaiserlichen Marine-  
Kasernen. Tochter Joh. Albin,  
Albinen, heiratete 1764 den Rater  
Nikolaus Paß, der Sekretär und später  
Hauptmann der Kaiserlichen Marine.  
Vom ersten Sohn war Paul Dozent der Stern-  
warte in Witten, Nikolaus Professor der  
Mathematik in Petersburg.

Um das Leben Eulers richtig wür-  
digen zu können, muß man sich ein-  
gewöhnen, daß er nicht weniger  
als 300 mathematische Werke  
hinterließ. Eine Quantitätsgabe aller  
seiner Schriften hat bisher nicht erfolgen  
können, aber Aufzählung stiftet, nur mit  
den Töchten, würde etwa 300 Quartbände  
füllen.

Euler wird als herzlich brennender  
Christ als hervorragender Vater und Gatte  
geschildert, sowie als guter Bürger, vor-  
 allem als guter Schwimmer, der bis zu  
seiner Lebensende nicht aufgehört hat,  
Schwimmen zu sein und sich mit Vor-  
liebe seinen heimelichen Dialekt be-  
diente. Bei großer Liebe hing er an  
seiner Eltern, seine Mutter nahm er  
nach dem Tode des Vaters nach Berlin,  
woher bei seinem Ende ließ. Gleichung  
der der persönlich konnte, schenkte ihm  
das: «Er ist nicht von der großen Ab-  
kanten zu sein pflegen, ein heurer  
Kopf und im Umgang heiligerhercher  
Mann, sondern müder und leibhaftig,  
sonst bei unter Schmerzen und abgibt  
von vollkommen reines Auge eines  
höflich wuschet, so großfand man  
sich doch bald daran und findet sein



Geistig angesehen. Wie Friedrich der Große über ihn urteilte, mögen zwei Auszügen belegen. Am 7. Juli 1763 sagte der König im Gespräch zum Marquis Lamoignon: «Ihr habt zum Irrtum beigetragen, nämlich, daß er Berlin für eine Stadt gehalten habe, in der sich etwas machen ließe, wiewohl, daß er die Arbeiten zur Herstellung der Wasserkräfte im Garten von Sanssouci schoddi gelohnt habe». Aber nach dem Tode Eulers schrieb der König am 31. Oktober 1763 an Cramer: «*Tout grand géomètre et sans cesse en possession de la vérité, Bernoulli, Euler et d'Alambert et l'Académie royale de Berlin*» hat uns trop coûté.»

Es ist unmöglich, dem Hochschätzung der Rolle verständlich zu machen, welche Euler in der Entwicklungsgeschichte der hohen Mathematik spielt. Es mögen daher hier nur einige Ausführungen mitgeteilt werden, welche Prof. Dr. Georg Lindberg gelegentlich des diesjährigen Vortrages über Euler vorbrachte.<sup>1)</sup> Er sagt u. a.:

«Wie Euler sein ruhendes und ungestörtes Gehirntätentum genützt hat, gehört zu den staunenswerten Leistungen menschlicher Tätigkeit. Er vollführte das Element der neuen Wissenschaft, die Differenzial- und Integralrechnung zu solcher Entwicklung und Vollständigkeit, daß eine spätere zu kühligere Kritik gestillte Zeit hier im wesentlichen nur Unstetiges auszuscheiden hatte, nicht aber material etwas neues hinzuzufügen land. Er leitete dieses Unterben durch eine neue Doctrin, die Variationsrechnung, die aus der evidenten Leistungserzwingung war, daß an der Erbschaftsfläche nicht die große, sondern gerade Kreise kreuzen die kleinsten Wege zwischen zwei Punkten und. Derselbe Problem, die eine besondere Art des Kalküls erforderter, erschienen um so bedeutsamer und interessanter, als sie sich in Hilfe und Fülle auch in der von Kräfte-

belebten Natur vorfinden. Es ist eine Lieblingsgedanke jener Zeit und gilt nach heute noch in gewissem Umfang als festgesetzt, daß die Natur ihre Ziele unter gegebenen Verhältnissen und dem dazwischen liegenden Aufwand von Kraft oder von Zeit erreicht und daß zum Beispiel ein Lichtstrahl, der verschiedene Medien mit verschiedener Geschwindigkeit durchläuft, einen gebrochenen Weg zu wählt, daß er in möglichster kurzer Zeit vom Anfangs- zum Endpunkt gelangt. Solche Auffassungen betrugen den metaphysischen Gehalt des Zeitstrebens und der Gewandtheit — was für die Zeit strebende Fortschritt heißt — den großen Vorteil, daß sich die ganze Mannigfaltigkeit der in der Natur vorkommenden Bewegungen von Körpern unter die starren Problem der Variationsrechnung zusammenfassen ließ. In anderer die Begründung dieses Wissenschaftszweiges Euler von fundamentaler Bedeutung, und er hatte die bibelhafte Freude, als ihm in seinen Berechnungen, die Fortschrittsweite, bald der jugendliche Lagrange zur Seite trat. Es ist ein glanzvolles Zeugnis für die unvergleichliche Lebenskraft der Eulerschen Intelligenz, daß gerade diese Doctrin nach Lagrange Hauptstütze in der Gegenwart zu einer und zu kontinuierlicher Fortbildung gelangt ist.

Wie man sieht, ruht das Interesse der Analyse nicht nur in sich selbst, sondern an Mähte und Notwendigkeit eines Geistes wie Euler dazu, den ganzen Kreis der umfassen Welt zu durchmessen, der der Zahlentheorie und damit der Gesamtheit unterliegt. So wandt er, auf Newtons Schritten stehend, einer der Begründer der modernen Mechanik und dehnt den Bereich dieser Wissenschaft von den Bewegungen der himmlischen Körper auf die Flügeln und die Osee aus, die der Einführung des Kalküls ganz neue und eigenartige Schwingungen bewachen. Mit diesem Platonismus betrat er auch den Boden der Astronomie und entwickelte besondere Methoden für die

<sup>1)</sup> Festschrift, 22. April 1901.

Stuttg. 1901, Heft 4.

Berechnungen der Planetenbahnen und der Mondaberrung und der indirekten Wirkung der letzteren, des Wortschalt von Erde und Flut. Damit richtig genug, schuf er die Grundlagen der Theorie der scheinbaren Ovale der Duplicat, und einer Theorie der Musik, in der er den alten Pythagoräischen Gesetzen, daß der musikalische Causalität in der Empfindung der harmonischen Verhältnisse der aufstrebenden Schwingungen beruhe, in die schärfere und ausdrucksvollere Form brachte, die natürliche Experimente und Analysen in die Hand gaben.

Eine Produktivkraft, wie sie in der Geschichte der Wissenschaft einzig darsieht, bewies ihn von einem junglingshaften bei ihm der Tod die Feste entließ und ein Gedankenpiel, wie der Klavierbau des Schachbretts, ward für die daraus der Bewegung fruchtbarer Tätigkeit wie die Probleme der harmonischen Physik oder der praktischen Aufgaben der Navigation. Kein Schicksalsschlag war ihm, sondern, eine überwindende Tätigkeit zu kennen. Als er nach seiner zweiten Übersiedlung nach St. Petersburg das Augenlicht plötzlich verlor, verstand er es, unterstützt von seiner Gedächtnis- und Vorstellungskraft und der liebevollen Mitarbeit seiner Freunde, in ungeschwächter Tätigkeit fortzuarbeiten. Je es scheint fast, als ob dieses Unglück, das noch abends ein mit einem Verlust zahlreicher Manuskripte durch eine Feuerbrunst selbst zusammenfiel, nur die Flügeln seiner Gedanken ausgebreitet hätte, denn wir finden nicht sehr viel später die Proben der St. Petersburger Akademie gleichzeitig mit der Drucklegung der Duplicat, der Integralrechnung, seiner Algebra, einem Werke über die Sonneninstrahlung und des Vorworts zum 1. Band des Jahres 1796 zum ersten über Mondberge und Schicksalskunde, schließlich auch noch mit der Veröffentlichung der Universalienbeilage, die er einige Zeit gewissermaßen in eine deutsche Prosaform, eine Tochter des Markgrafen von Branden-

burg-Schwedt, gerollt hatte. Die Fälle seiner Schicksale waren so verschiedenartig, daß schon die Übersicht über alles von ihm Hervorgebrachte, das zum Teil erst später und unter dem Namen seiner Bearbeiter zum Vorschein gekommen ist, auf Schrecknissen gründen ist. Einer seiner Nachkommen, der Akademiker Paß, zählt nicht weniger als 714 selbständige Werke und Abhandlungen auf, mit dem letzten sogar deren 800 auf. Eine Gesamtausgabe der Werke Eulers ist daher bisher nicht möglich gewesen, ein gelehrter Jesuit, der Direktor der russischen Sternwarte, P. Hagen, bemüht sich seit Jahren eine solche Ausgabe zu bringen, ohne daß der Erfolg bisher gesichert wäre. Vielleichtest noch, daß die Gesamtausgabe wenigstens teilweise schon fertig ist, daß der Plan der Gesamtausgabe Professor Gmelin annehmen könnte.

Vorwissen war zum Schluß noch, das wissenschaftliche Typen Eulers mit wenigen Worten zu charakterisieren. Man glaube nicht, daß die Formelsprache der Mathematik für den Kenner eine kindliche, ungeordnete Masse ist. Eine wahrhaft ungemein mathematische Abhandlung besitzt ebenso gut ihren Rhythmus wie ein Werk der Poesie, und der Leser einer solchen atmet an dem bloßen Aufbau und der Eigenart der Ideenfolge ihrem Urheber mit der gleichen Sicherheit, mit der er Musik, vollständige Reden und Prosa versteht. Einem Werke von Größe B ist nicht nichts schaden und nicht harmlos, weil es in der Form und durchdringender Beweiskraft die abgeschlossene Lösung des goldenen Problems besitzt und ähnlich unter dem Reiz des Diskurses und zugehörigen Art der Gedanken des lebenden Gedankens verknüpft. Ganz anders ist es. Er gehört nicht zu dem ungewöhnlichen Gedächtnis der Ökonomie, deren Streben und dann betrübt wird, wenn sie den letzten Grund der Dinge gesucht zu haben

glauben, sondern lies und lecht und unvergesslich spekuliert aus solchen liegen die Quelle der mathematischen Schöpfungslust. Seine Ideenbildungen bedürfen und verlangen keine künstliche Abmildung, weil sie in der einfachsten und natürlichsten Art der Vorstellungen des gesunden Menschenverstandes in die ausserordentlichste und präziseste Sprache der Analysis umsetzen. Die Leichtigkeit seiner Einfühlungsgebe ist unübertrieben; seine Werke bilden ge-

rade weil sie den bestmöglichen Anforderungen kritischer Wissenschaft erfüllt geblieben, doch immer eine unerschöpfliche Fundgrube des schärfsten und primitivsten Materials unserer Wissenschaft. Die ungewöhnliche und schillernde Form, in der er seine Ideen der Öffentlichkeit vorlegt und jeden Leser den Schöpfungsgenuss mühelos widerstehen läßt, ist das grösste Attribut der heitern und unübertriebenen Persönlichkeit, die jede Überzeugung festsetzt.

## Vermischte Nachrichten.

Der Komet 24073, dessen Entdeckung im jungen Hahn des Sirius angezeigt wurde, ist von Mellin in Mailand (N.A.) aufgefunden und nachtraglich von Peul Barnard auf einer am 11. April exponierten photographischen Platte ebenfalls entdeckt worden. Wie erdem bekannt geworden, ist derselbe aber auch früher, nämlich am 4. April von Crigg in Thomas auf New Seeland, gefunden worden. Gemäss den bisherigen Bahnberechnungen hat dieser Komet am 27. März seine Sonnennähe erreicht und entfernt sich seit dem 18. April auch noch von der Erde. Seine Helligkeit hat dementsprechend stark abgenommen und er dürfte zurzeit nur in grossen Teleskopen noch sichtbar sein. Nach der Rechnung von M. Elwell soll er Juni 19 in A.R. 95 Gr. D. — 51° 34.

Spektroskopische Untersuchungen des Veränderlichen Mira Ceti hat J. S. Plaskett in Ottawa angestellt,<sup>1)</sup> und zwar während des fliegigen Maximum der Helligkeit dieses Sterns. Hiernach bestehen die Wasserstoffemissionen ausserordentlich heiss, außerdem werden auch 8 andere helle Linien gefunden. Daraus ergiebt sich schliesslich dunkle Linien des Titans, sowie einige mässige Ränder. Aus der Ver-

schiebung der Linien ergibt sich eine Eigenbewegung des Sterns zu + 85 km in der Sekunde, während die dunkle Linie eine solche von + 65 km anzeigt. Diese Werte stimmen gut überein mit den schon 1897 und 98 von Campbell bestimmten Geschwindigkeiten der Radialbewegung des Sterns, welche gemäss der hellen Linie +44 km, gemäss der dunklen + 82 km pro Sekunde ergeben. Somit ist die Radialbewegung von Mira Ceti heute die nämliche wie vor 10 Jahren und die Ursache des Unterschiedes der Geschwindigkeiten, welche die hellen und dunklen Linien zeigen, kann nicht durch Ausbreitung eines Explosions des Hauptsterns erklärt werden.

Zeichengabe durch Funkentelegraphie. In No. 9 der deutschen naturhistorischen Zeitschrift Hama hat F. Plafie, 1. Offizier des Telegraphenpostens (Deutschland), den Versuch gemacht, mittels drahtloser Telegraphie, den auf See befindlichen Schiffen Zeichengabe zur Bestimmung des Standes ihrer Chronometer zu übermitteln. Dieser Gedanke ist schon vorhinmündlich geäussert worden und hat bereits die in Betracht kommenden Behörden beschäftigt, nachdem der Staatssekretär des Reichsmarineamts im Anfang des Jahres 1906 angegeben hatte, die große Funkpoststation der Reichspostverwaltung in Norddeich diesem Zwecke dienbar zu sein.<sup>2)</sup>

<sup>1)</sup> Journ. of the Royal Astr. Soc. of Canada No. 1.

machen. Die ungenutzten Versuche haben die Möglichkeit derartigen Signale und ihre vollkommen ausreichende Genauigkeit im Prinzip erkennen lassen, so daß in den Finanzkalkulationen des Reiches für das Jahr 1907 der Posten von 5000 Mk. für die notwendigen Einrichtungen bei der Geostation eingestellt werden konnte. Die Forderung hat am 6. März 1907 auch bereits die Budgetkommission beschließt, so daß an ihrer Annahme seitens des Reichstages wohl nicht zu zweifeln ist. Es wird beabsichtigt, in Norddeutsch eine astronomische Beobachtungsstation, die zu bestimmten Stunden die Zeitpunkte selbständig abgibt, und deren Stand täglich von dem Kaiserlichen Marineobservatorium in Wilhelmshaven bestätigt wird. Selbst die Funkstationen in England und abgenommen sein wird, sollen besonders Versuche über die Abgabe von Zeitpunkten mit Hilfe der Station selbst vorgenommen werden. Da der Wertungsbereich für bis 400 Seemeilen betragen wird, so kann durch diese Signale der gesamte östliche Teil der Nordsee zur Ausdehnung des Engländer Kanals nach rechts übermitten werden. Auch für die ausstehenden Schiffe werden diese Signale von Vorteil sein, da sie ihnen eine Bestimmung des Chronometerstandes ohne Zeit nach dem Referat und ohne die Berechnung eines zuverlässigen Gangrates ermöglicht. Freilich wäre es für die internationale Schifffahrt von noch größerem Nutzen, wenn die englischen Behörden sich entschließen würden, dem von Deutschland gegebenen Beispiele zu folgen und von einer an der englischen Westküste gelegenen Geostation aus astronomische Signale abgeben zu lassen (Hans.)

**Der 30. Februar als richtiges Datum.** Ein Leser der Zeitschrift „Notes and Queries“ schreibt an dieses

alle kurzem Dinge registrierte Blatt, daß er glaubt in der Benennung eines Feindes von dem 30. Februar 1666 datieren Meist gefunden habe. Er glaubt nicht an einen Druckfehler, manie sich aber überlegen lassen, daß das Datum an und für sich ganz korrekt war. Denn 30. Februar war auf folgende Weise zustande gekommen. Der Leser, um dessen Meist es sich handelt, hat auf einem Postdampfschiff, der „Oberon“, statt, die den Stillen Ozean von Yokohama nach San Francisco befährt während seiner. Auf dem Wege wurde der Tag gewonnen, und zu dem Ende Februar des Jahres 1666 geschick, wurde dem Februar ein weiterer Tag als 30. angesetzt. So entfällt das Datum ist, so ist doch an seiner Legitimität nichts zu zweifeln. Es muß eine Zeitdifferenz geben, wenn man nicht mit der Sonne sich verhält und nicht mit sich in einem Tempo beginnt. — Das alle kurzem Dinge registrierte Blatt und die deutschen Blätter, welche die Mitteilung nachdrucken, haben sich eines klaren Ausdrucks bedient. Es handelt sich um den Datumswechsel bei Überschreitung des 180 Längengrades auf der Fahrt nach Osten. Dies geschieht nicht durch Veränderung des Datums, sondern durch Beibehaltung desselben während zweier Tage. Also in obigen Punkte wird der 26. Februar zwei Tage hintereinander gedruckt, nicht aber folgt nach dem 26. Februar der 27. Februar und dann erst der 1. März. Man müßte ja sonst auch bei ähnlicher Lage am Schluß der Monate mit 31 Tagen die 32. stellen. Dem 30. Februar, aber nicht als richtiges Datum, sondern als Tadelnachschuß, begegnet man übrigens in den astronomischen Ephemeriden, um dem Rechner den Übergang vom 26. Februar auf den 1. März für einige Interpretation bequem zu machen. 1

# Astronomischer Kalender für den Monat August 1907.

August Tag	Sonnen				Mond			
	Mittlerer Berliner Mittag				Mittlerer Berliner Mittag			
	Zeit M. L. — W. L.	Rektension	Declination		Rektension	Declination	Mond im Meridian	
1	+	11 49	8 43 49.51	126 27 10.9	5 49 14.51	+12 45 40.0	14 44.0	
2	+	7 49	8 49 43.25	126 1 1.3	5 53 13.59	12 38 33.7	15 39.6	
3	+	3 50	8 56 36.79	125 45 56.4	6 01 58.71	12 30 33.0	16 35.0	
4	+	0 51.51	8 58 27.50	125 30 59.9	6 11 5.21	12 20 53.7	17 30.8	
5	+	0 11.25	8 57 56.71	125 16 31.5	6 1 55.50	12 10 44.7	18 26.7	
6	+	0 44.00	8 5 5 59	124 58 54.3	6 13 58.50	12 00 45.0	19 23.5	
7	+	0 44.54	8 5 5 59	124 44 50.7	6 26 11.71	11 50 46.0	20 20.6	
8	+	0 50.00	8 4 41.87	124 30 50.0	6 39 40.39	11 40 47.1	—	
9	+	0 51.73	8 38 35.35	124 17 54.7	6 53 42.73	11 30 49.9	0 17.0	
10	+	0 50.79	8 36 31.70	124 5 1.3	7 07 59.65	11 20 51.0	1 14.4	
11	+	0 52.07	8 35 13.70	123 50 36.7	7 22 58.00	11 10 52.0	2 10.8	
12	+	0 51.7	8 34 3 3.5	123 43 33.9	7 37 57.63	11 00 53.0	3 16.6	
13	+	0 51.68	8 32 56.57	123 37 57.4	7 53 1.63	+ 0 50 50.5	4 19.6	
14	+	0 50.96	8 32 30.57	123 30 46.4	8 08 10.60	— 0 7 59.9	5 19.9	
15	+	0 50.63	8 30 59.11	123 21 51.1	8 24 56.48	0 5 59.4	6 13.1	
16	+	0 50.00	8 29 7.35	123 11 49.1	8 42 7.79	0 18 58.5	7 12.0	
17	+	0 49.18	8 28 54.57	123 0 11.8	8 59 59.57	0 31 59.0	8 14.3	
18	+	0 48.00	8 28 59.51	122 50 47.4	9 17 26.21	0 44 58.0	9 16.4	
19	+	0 46.57	8 28 51.57	122 40 51.1	9 35 35.59	0 58 59.9	10 17.7	
20	+	0 45.00	8 28 5 5.0	122 30 59.4	9 54 20.50	1 13 57.0	11 18.0	
21	+	0 43.00	8 27 49.17	122 20 17.0	10 13 41.10	1 28 54.0	12 18.0	
22	+	0 40.71	8 27 59.20	122 9 53.0	10 33 50.50	1 43 47.1	13 17.1	
23	+	0 38.71	8 27 5 5.0	121 49 54.4	10 54 57.42	1 58 44.0	14 16.1	
24	+	0 36.50	8 26 49.50	121 39 54	11 16 56.17	2 13 40.0	15 15.1	
25	+	0 34.00	8 25 50.75	121 29 51.1	11 39 49.00	2 28 37.1	16 14.1	
26	+	0 31.00	8 24 51.75	121 19 47.7	12 03 46.11	— 0 13 33.0	17 13.0	
27	+	0 27.50	8 23 53.00	121 9 43.7	12 28 43.73	+ 0 48 30.0	18 12.0	
28	+	0 24.57	8 22 54.65	120 59 37.1	12 53 41.26	0 58 30.0	19 11.0	
29	+	0 21.00	8 22 57 1.00	120 49 30.4	1 18 40.70	1 13 26.0	20 10.4	
30	+	0 16.57	8 22 58.25	120 39 24.1	1 43 40.50	1 28 23.0	21 10.4	
31	+	0 12.49	8 22 58.57	+ 0 10 10.1	2 08 37.50	+0 43 19.1	22 10.0	

## Planetenkonditionen 1907

August	1	25	Planet in Konjunktion mit Jupiter, Venus 2° 20' süd
"	7	8	Merkur in Konjunktion mit dem Monde
"	7	7	Jupiter in Konjunktion mit dem Monde
"	7	11	Venus in Konjunktion mit dem Monde
"	10	10	Merkur in Konjunktion mit Jupiter, Merkur 2° 4' süd
"	12	11	Merkur, geführte Welt, Flug, 10° 50'
"	17	11	Merkur im untergehenden Coniun
"	24	14	Mars in Konjunktion mit dem Monde
"	26	6	Venus im Perihel
"	29	9	Merkur im Perihel
"	24	20	Venus in Konjunktion mit dem Monde
"	27	1	Venus in Konjunktion mit dem Venus 4° 30' süd
"	29	10	Merkur in Konjunktion mit dem Merkur, Merkur 1° 20' süd

# Planet. Ephemeriden.

Mittlere Berliner Zeit.										Mittlere Berliner Zeit.									
Jahr	Tag	Rektascension			Declination			Obergrenzen		Jahr	Tag	Rektascension			Declination			Obergrenzen	
		h	m	s	°	'	"	h	m			h	m	s	°	'	"	h	m
1897																			
Merkur.																			
Aug. 1.	7	00	18	07	—07	26	58.8	33	3	Aug. 31	28	15	28	55	—1	28	28.6	14	40
5.	7	07	11	00	—13	27	52.9	33	55	10	33	48	28	57	—3	44	28.5	13	58
11.	7	13	17	58	—15	58	42.9	37	48	20	33	47	31	50	—4	1	41.0	13	57
18.	7	13	58	45	—20	59	1.8	38	33	Uranus.									
25.	7	14	43	39	—25	59	13.0	38	38	Aug. 31	18	48	48	58	—23	54	38.5	8	50
31.	7	15	07	36	—31	59	58.0	38	50	10	18	58	58	57	—23	58	38.5	8	48
										20	18	58	47	55	—23	53	37.0	8	5
Venus.																			
Aug. 4.	8	7	47	48	—02	04	0.8	33	38	Aug. 30	8	58	54	58	—02	04	38.0	31	48
9.	8	33	33	43	—3	35	34.7	33	58	27	7	5	57	54	—3	54	37.0	30	58
16.	8	39	49	47	—5	35	48.6	33	33	21	7	5	57	57	—3	54	35.0	30	51
23.	8	33	33	39	—10	35	18.0	33	37	18	7	5	57	57	—3	54	35.0	30	51
30.	8	47	58	50	—14	36	4.1	37	48	Neptun.									
31.	8	53	58	45	—17	36	51.0	37	48	Aug. 30	8	58	54	58	—02	04	38.0	31	48
										27	7	5	57	54	—3	54	37.0	30	58
										21	7	5	57	57	—3	54	35.0	30	51
Mars.																			
Aug. 4.	10	38	57	35	—22	51	54.8	8	48	Mondphasen.									
7.	10	31	43	49	—25	44	53.8	7	25										
14.	10	33	38	57	—28	33	58.9	5	8										
21.	10	30	30	5.44	—30	23	33.0	4	44										
28.	10	34	43	58	—30	8	41.0	8	50										
31.	10	44	37	58	—37	51	47.8	8	18										
Jupiter.																			
Aug. 10.	9	1	33	35	—13	40	50.0	10	52										
16.	9	50	51	36	—16	23	31.8	10	50										
23.	9	58	58	48	—17	57	30.5	11	48										

Mittlere Berliner Zeit.										Mittlere Berliner Zeit.										
Jahr	Tag	Rektascension			Declination			Obergrenzen		Jahr	Tag	Rektascension			Declination			Obergrenzen		
		h	m	s	°	'	"	h	m			h	m	s	°	'	"	h	m	
1897																				
Saturn.																				
Aug. 10	10	38	15	28	55	—1	28	28.6	14	40	Aug. 31	18	48	48	58	—23	54	38.5	8	50
											10	33	48	28	57	—3	44	28.5	13	58
											20	33	47	31	50	—4	1	41.0	13	57
Uranus.																				
Aug. 31	18	48	48	58	—23	54	38.5	8	50	Aug. 31	18	48	48	58	—23	54	38.5	8	50	
										10	18	58	58	57	—23	58	38.5	8	48	
										20	18	58	47	55	—23	53	37.0	8	5	
Neptun.																				
Aug. 30	8	58	54	58	—02	04	38.0	31	48	Aug. 30	8	58	54	58	—02	04	38.0	31	48	
										27	7	5	57	54	—3	54	37.0	30	58	
										21	7	5	57	57	—3	54	35.0	30	51	
Mondphasen.																				
Aug.	8	18	58	5	—					Aug.	8	18	58	5	—					
										27	7	5	57							
										21	7	5	57							
										20	8	58	5							

## Sonnenbedeckungen durch den Mond für Berlin 1897.

Datum und Zeit	Name	Orbit	Eintritt		Austritt	
			h	m	h	m
Aug. 18.	1. Optische	1.6	5	47	6	51

## Lage und Größe des Saturnrings.

Aug. 1. Große Achse des Ringes: 41.80", kleine Achse: 3.96" (bei Erhaltungspunkt der Sonne über der Ringebene) 4° 47' 50"

Aug. 1.	Mittlere Scheibe der Erde	32" 37'	6.75
	Währung	32" 37'	3.75
	Mittlere Scheibe der Sonne	13' 43.12"	
	Parallaxe	9.60"	



**Erhebungen der Jupitermonde.** Die sämtlichen Angaben über die Erscheinungen der Jupitermonde beziehen sich auf mehrere Zeit von Cassiopeia. Die Trabanten sind der Reihenfolge ihres Abnehmens vom Jupiter nach mit i bis IV bezeichnet. Die zwei größten Figuren zeigen die Stellung jedes Mondes mit Bezug auf den Jupiter. Nur das Aussehen der Verfinsternung (H oder das Wiedererschleusen ?) ist nicht angegeben, so kann der Astronom aus dem Relativen nicht feststellen werden. Ferner befindet bei den nachfolgenden Kompositen:

- Es D den Verfinsternis des Trabanten im Schatten des Jupiter
- Es R den Eintritt des Trabanten aus dem Schatten des Jupiter
- Ge D das Wiedererschleusen des Trabanten hinter den Jupitermonden
- Ge R das Wiedererschleusen ähnlich gegen den Jupitermonden
- Tr I den Eintritt des Trabanten vor den Jupitermonden
- Tr E den Austritt des Trabanten aus der Jupitermonden
- Sh I den Eintritt des Trabanten vor dem Jupitermonden
- Sh E den Austritt des Trabanten hinter dem Jupitermonden

Es sind nur diejenigen Erhebungen der Jupitermonde aufgeführt, welche sich zu eignen, wenn Jupiter zu Cassiopeia über und die Sonne unter dem Horizont steht. Um die Manner dieser Erhebungen nach astronomischer Zeit zu finden, hat man nur nötig, T<sub>0</sub> zu den angegebenen Zeitpunkten zu addieren.

August 14. II, Tr E. 10<sup>h</sup> 11<sup>m</sup>. August 16. I, Tr I. 14<sup>h</sup> 41<sup>m</sup>. I, Sh E. 16<sup>h</sup> 37<sup>m</sup>.  
 August 22. III, Sh I. 14<sup>h</sup> 41<sup>m</sup>. August 23. III, Tr I. 16<sup>h</sup> 33<sup>m</sup>. August 23. I, Sh I. 16<sup>h</sup> 14<sup>m</sup>. I, Tr I. 16<sup>h</sup> 33<sup>m</sup>. August 24. I, Ge R. 16<sup>h</sup> 12<sup>m</sup>. August 24. III, Ge R. 16<sup>h</sup> 12<sup>m</sup>. II, Sh I. 16<sup>h</sup> 12<sup>m</sup>. August 25. I, Tr I. 16<sup>h</sup> 12<sup>m</sup>. I, Ge R. 16<sup>h</sup> 12<sup>m</sup>. August 26. I, Sh E. 14<sup>h</sup> 12<sup>m</sup>. I, Tr E. 16<sup>h</sup> 12<sup>m</sup>.

## Stellungen der Saturnmonde. (Erläuterung S. 26)

Ersten der südlichen Elongation im Juli 1907

**Tethys.** August 1. 10<sup>h</sup> 1<sup>m</sup>. August 4. 10<sup>h</sup> 1<sup>m</sup>. August 6. 11<sup>h</sup> 1<sup>m</sup>. August 7. 10<sup>h</sup> 1<sup>m</sup>. August 9. 11<sup>h</sup> 1<sup>m</sup>. August 11. 10<sup>h</sup> 1<sup>m</sup>. August 12. 10<sup>h</sup> 1<sup>m</sup>. August 13. 10<sup>h</sup> 1<sup>m</sup>. August 14. 10<sup>h</sup> 1<sup>m</sup>. August 15. 10<sup>h</sup> 1<sup>m</sup>. August 16. 10<sup>h</sup> 1<sup>m</sup>. August 17. 10<sup>h</sup> 1<sup>m</sup>. August 18. 10<sup>h</sup> 1<sup>m</sup>. August 19. 10<sup>h</sup> 1<sup>m</sup>. August 20. 10<sup>h</sup> 1<sup>m</sup>. August 21. 10<sup>h</sup> 1<sup>m</sup>. August 22. 10<sup>h</sup> 1<sup>m</sup>. August 23. 10<sup>h</sup> 1<sup>m</sup>. August 24. 10<sup>h</sup> 1<sup>m</sup>. August 25. 10<sup>h</sup> 1<sup>m</sup>. August 26. 10<sup>h</sup> 1<sup>m</sup>. August 27. 10<sup>h</sup> 1<sup>m</sup>. August 28. 10<sup>h</sup> 1<sup>m</sup>. August 29. 10<sup>h</sup> 1<sup>m</sup>. August 30. 10<sup>h</sup> 1<sup>m</sup>.

**Mimas.** August 1. 10<sup>h</sup> 1<sup>m</sup>. August 4. 10<sup>h</sup> 1<sup>m</sup>. August 6. 11<sup>h</sup> 1<sup>m</sup>. August 9. 10<sup>h</sup> 1<sup>m</sup>. August 11. 10<sup>h</sup> 1<sup>m</sup>. August 14. 10<sup>h</sup> 1<sup>m</sup>. August 16. 10<sup>h</sup> 1<sup>m</sup>. August 18. 10<sup>h</sup> 1<sup>m</sup>. August 20. 10<sup>h</sup> 1<sup>m</sup>. August 22. 10<sup>h</sup> 1<sup>m</sup>. August 24. 10<sup>h</sup> 1<sup>m</sup>. August 26. 10<sup>h</sup> 1<sup>m</sup>. August 28. 10<sup>h</sup> 1<sup>m</sup>. August 30. 10<sup>h</sup> 1<sup>m</sup>.

**Enceladus.** August 1. 10<sup>h</sup> 1<sup>m</sup>. August 4. 10<sup>h</sup> 1<sup>m</sup>. August 6. 11<sup>h</sup> 1<sup>m</sup>. August 9. 10<sup>h</sup> 1<sup>m</sup>. August 11. 10<sup>h</sup> 1<sup>m</sup>. August 14. 10<sup>h</sup> 1<sup>m</sup>. August 16. 10<sup>h</sup> 1<sup>m</sup>. August 18. 10<sup>h</sup> 1<sup>m</sup>. August 20. 10<sup>h</sup> 1<sup>m</sup>. August 22. 10<sup>h</sup> 1<sup>m</sup>. August 24. 10<sup>h</sup> 1<sup>m</sup>. August 26. 10<sup>h</sup> 1<sup>m</sup>. August 28. 10<sup>h</sup> 1<sup>m</sup>. August 30. 10<sup>h</sup> 1<sup>m</sup>.

**Titan.** August 1. 10<sup>h</sup> 1<sup>m</sup>. August 4. 10<sup>h</sup> 1<sup>m</sup>. August 6. 11<sup>h</sup> 1<sup>m</sup>. August 9. 10<sup>h</sup> 1<sup>m</sup>. August 11. 10<sup>h</sup> 1<sup>m</sup>. August 14. 10<sup>h</sup> 1<sup>m</sup>. August 16. 10<sup>h</sup> 1<sup>m</sup>. August 18. 10<sup>h</sup> 1<sup>m</sup>. August 20. 10<sup>h</sup> 1<sup>m</sup>. August 22. 10<sup>h</sup> 1<sup>m</sup>. August 24. 10<sup>h</sup> 1<sup>m</sup>. August 26. 10<sup>h</sup> 1<sup>m</sup>. August 28. 10<sup>h</sup> 1<sup>m</sup>. August 30. 10<sup>h</sup> 1<sup>m</sup>.



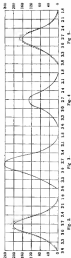
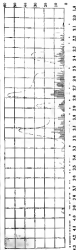


Fig. 3

Fig. 4

Fig. 5

Fig. 6

# SIRIUS.

Zeitschrift für populäre Astronomie.

Centralorgan für alle Freunde und Förderer des Himmelskunde.

Herausgegeben

unter Mitwirkung hervorragender Fachmänner und astronomischer Sachverständiger

von Prof. Dr. Hermann J. Klein in Köln.

Juli 1907.

«Wissen und Erleben» und die Freunde und die  
Bewältigung der Menschheit. Kosmos

Jeder Monat 1 Heft. — Jährlich 12 Mk.

Verlag von EDUARD HEINRICH MAYER in Leipzig.

**INHALT:** Das Studium und der Beruf des Astronomen. S. 145 — Fortschreibung nach  
unveröffentlichten Thesen während des Braunsfestes am 20. August 1906. S. 146. —  
Astronomieunterricht im Fortschritt geschichts von C. Grünau. (Jahrb. Nat. VII.) S. 148. —  
Die Fata des galaktischen Doppelsterns  $\epsilon$  Aurigae. S. 150 — Die Natur der Sonne im  
Fortschritt. S. 145 — Fernstudium Mathematik. S. 143 — Astronomischer Kalender. S. 140 —  
Beitragen der Jägerkunde. S. 141 — Beiträge der Jägerkunde. S. 140 — Beiträge  
der Jägerkunde. S. 140.

## Das Studium und der Beruf des Astronomen.

**D**er Himmelskunde zählt unter den  
Gebildeten zahlreiche Freunde  
und sehr häufig tritt an das populäre  
Astronomie von solchen, welche die  
Frage stellen, ob es für einen jungen  
Mann ratsam sei, das Studium dieser  
hohen Wissenschaft zu ergreifen, und  
welches die Mittel und Wege hierzu  
seien. Auf diese Art und im  
Leute vieler Jahre auch an uns oft er-  
zogen; wir haben sie mehrfach weniger  
zufrieden beantwortet, als wir den  
jungen Freunden der Himmelswissen-  
schaft abgeben, nach dieser als einem  
Berufstudium betrachtet, nicht selten  
zum großen Entsetzen und zur Be-  
wunderung der Aufzogenen. Allerdings  
hat nun Herr Dr. F. Rösnerpart auf  
Veranlassung des Herausgebers der Ber-  
liner Akademischen Wochenschrift sich  
in dieser ausführlich über das Studium

und den Beruf des Astronomen ver-  
breitet und mit seiner glüklichen Erkenntnis  
und wie in der Lage, nachstehend das  
Wesentliche seiner Ausführungen nach  
den Lesern des Sirius vorlegen zu  
können. Herr Dr. Rösnerpart sagt dem-  
nach:

«Das Studium der Astronomie ge-  
hört zu den selten ergriffenen. Die  
Gründe hierfür sind (abgesehen von  
zwei Gesichtspunkten vollständig der Abhän-  
gigkeit der Wahl des Lebensberufes, näm-  
lich: von bestimmten Nützlichkeit-  
gründen, die Fach zu wählen, wenn der  
Vater oder das andere Verwandter seine  
Berufswahl, wie es in der Regel oder nach  
einer materieller Beziehung gefunden hat,  
oder ein vererbter Lehrer weiß, das oft  
unbewußt für einen bestimmten Wissen-  
schaftszweig zu begünstigen. Neben den großen  
Berufsgruppen der Juristen und Medi-  
ziner, der Lehrer und Theologen, Stiefen

denn noch kleine Zweige der Wissenschaft blüht, so denen eine besondere Nahrung oder eine starke, nützlich herbeigeführte Anregung des Bewusstseins maniere. Die Zahl der Jünger solcher Spezialwissenschaften wird aber noch dadurch vermindert, daß manchen die Unkenntnis, was er um zu wissen studium durchzuführen hat, und auf welcherlei Weise er später die gewonnenen Kenntnisse verwenden kann, abtutet, seinen Lebensweg nicht von dem richtigen, viel bedenklich Hinstreifen zu hören.

Wohl ist die Astronomie ein Gebiet, für das der Lehrer der Physik seine Schüler begeistern kann. Gerade das empfindliche Gemüt der Jugend kann durch diese Darstellung der letzten Wechselbeziehungen zwischen Erde und Kosmos leicht gepackt werden, daß ihm die Erörterung und Vertiefung der Weltgesetze als das nächste Ziel des Lebens erscheint. Aber wie sollen wird Astronomie und mathematische Geographie in ihren Anfangsgründen richtig auf das höhere Lehren führen, gehört, was sollen mit der hier nötigen Poesie der Darstellung? Teils steht der Lehrplan nicht genügend Stunden vor, teils fehlt dem Oberlehrer selbst die Kenntnis dieser Dinge, die in diesem Staatsexamen nicht Prüfungsgegenstand gewesen sind.

Doch sorgt schließlich der Himmel selbst dafür, daß seiner Erforschung sich Jünger widmen. Das Aufsteigen zum kosmischen Firmament kann nur der Philosoph toll lassen, und wenn der Glück zu Teil wird, vom Fenster seines Arbeitszimmers alljährlich das schwebende Heer der Sterne die gleiche Bahn vollenden zu sehen — dem Großstadtkinde ist dies verweigert — und dem ein gutes populäres Buch von den Odalennissen über zu einem Leuchtpunkt zusammengefaßter Wissen eröffnet, der wird wohl in bronzenen Sockel der Odalennissen steigen, als Astronom werden soll.

Aber die Begeisterung allein ist es nicht. Hervorragende Begabung in der Mathematik und opfernde Sehnacht im

Kopf- und Logikrechnen sind notwendige Bedingungen, ohne welche der Entschluß, Astronom zu werden, nicht geteilt werden sollte.

Gerat der Weg zum Berufe des Astronomen weiter gezeichnet werde, mag die Tätigkeit des Astronomen selbst beschrieben werden. Sie spaltet sich bei dem weiten Umfang des Gebietes selber 1. in die beobachtende Tätigkeit am Fernrohr, 2. in die Gewinnung der gemachten Resultate aus diesen Messungen durch wissenschaftliche Berechnungen, 3. in theoretische Untersuchungen über den Zusammenhang der Einzelresultate unter dem Gesichtspunkt des eines, allgemeinen Weltgesetzes. 1. zerfällt jetzt so a) die Bestimmung der Orte der Himmelskörper und ihrer Bewegung (Astrolomie) und b) die Beschreibung der Oberflächen der Gestirne und Untersuchung ihrer chemischen und physikalischen Eigenschaften (Astrophysik); 2. in a) die mathematische Behandlung des Problems und b) die rein sachliche Ausführung der Aufgabe. Ein positives Ergebnis von 1. und zugleich Vorbereitung für 2. ist dann die Vortrags- der Stellung der Himmelskörper für die Zukunft in den sogenannten Ephemeriden oder Jahrbüchern, deren Spezialgeheim als nautische Jahrbücher den Seefahrern erlassen, deren Weg über den Ocean mit Hilfe der Gezeiten zu finden. Es gibt heutzutage wenige Astronomen, die in allen die Abteilungen ihres Faches in gleicher Weise Meister sind und in Deutschland nur zwei, die in Beobachtungen sowohl a) astronomischen, wie b) astrophysikalischer Art gleich Hervorragendes geleistet haben. Trotzdem wäre es verfehlt nur den Meistenden, von vorzuziehen eine Ausbildung nur in einem von Ursachen der Astronomie zu erlangen, und sich dadurch einen Teil der Leiden von vornherein zu ersparen. Es gilt daher, das Studium auf beiden Unterzügen anzulegen und auf neuen die sich Semester währenden Fleiß zu regeln.

Dies möchte manchen abschrecken, zumal den weniger Bewehrten, der, im Anfang des Studiums über seine Befähigung zum Astronomie noch unklar, bedächtig nach, nach langen Bedenken einer verlassenen Zeit nachzudenken. Wie nur die Schwere des Studiums schreckt, das man sich nachher nicht klagend beklagen wird, der möge sich ja abschrecken lassen. Es betrifft aber eine Art Versicherung des Astronomiestudierenden dazu, daß die Grundlage seines — richtig angelegten — Studienganges vollkommen identisch sei mit der des rein mathematischen Oberkursesamen Händchen sei, so daß ein Absteigen selbst nach sechs Semestern noch ohne Schwierigkeit möglich ist. Wenn endlich der Mangel an Menschen durchführung des Studiums oder die später vielleicht herausfindende Notwendigkeit, das erworbene Wissen mehr und mehr in Interesse umzusetzen, eine Erreichung des eigentlichen Zieles abschreckt, für den zweiten nur Anzahl Schüler, von dem rasen (nicht) führenden Wege ab, indem sie sich der Natur, mathematische und physikalische Versuchsanstalten, meteorologische Institute, die Normalkurvenkennzeichnung, die Sonne u. a. in dem Studium der Astronomie nach und selbst vor vollendeten Studium anschauen, wegen der geringen Sicherheit in der wissenschaftlichen Behandlung großer Zahlenmassen.

Der Studiengang des Astronomie sei also während der vier ersten Semester so angelegt, als sei die mathematische Oberkursesamen das Hauptziel. Der Astronomie muß also mathematischen Vorlesungen, nach der schwierigsten, können, dann gerade dann finden sich oder vielleicht später den einzigen praktischen Anwendung in der theoretischen Astronomie. Auch die ganze Physik, einschließlich der Hysterie, soll er beherrschen. Ein Kolleg über organische Chemie, das kleine chemische Praktikum, ein chemisch-analytisches physikalisches Praktikum sollen in die

Zeit der ersten vier Semester gelegt werden. Ohne diese Kenntnisse wäre der künftige Astronomiker unbrauchbar. Während dieser vier Jahre sollten keine rein astronomischen Vorlesungen gehalten werden, höchstens allgemeine Astronomie, mathematische Geographie und allgemeines Himmelskunde, die ja höhere Mathematik nicht voraussetzen. Gerade wenn möglich soll aber den jungen Studenten der Astronomie vor der doch so verführerischen Teilnahme an den praktischen astronomischen Arbeiten und Sternwarten bereits in den ersten Semester, Gewähr ist es der schönsten Teil der Himmelskunde, selbst mit dem Fernrohr zu schauen und zu messen, aber mit den Messungen selbst ist es nicht getan, ihre Berechnung erfordert jeweils erhebliche Arbeit. Die Aufklärung der Nachrichten und die Reduktion solcher Beobachtungen nehmen dem jungen Studierenden der Physik für die Katalog des nächsten Morgens und der Zeit, diese gründlich durchzuarbeiten.

Erst nachdem der mathematische Unterbau gelegt ist, also vom (ersten oder) dritten Semester ab, mögen die allgemeinen astronomischen Vorlesungen in den Vordergrund treten, während noch die schwierigsten mathematischen Vorlesungen nebenher gehen. Methode der kleinen Quadrate, Perzeptionslehre, Richtbestimmung, spezielle und allgemeine Störungen, Mechanik des Himmels sind hier die Hauptgebiete des Theoretischen, Theorie der Instrumente und Ortsbestimmung der des praktischen Teils. Neben letzteren müssen nun auch Übungen an den Instrumenten stattfinden, die zehnerfache Einführung dieser Messungen, sowie auch die Durchrechnung praktischer Beispiele zu den theoretischen Vorlesungen geschieht in Semestern, die bereits erhebliche Tätigkeit zu Hause verlangen.

Das astronomische Studium wird nicht wie so viele andere durch ein Studierexamen abgeschlossen. An dessen Stelle tritt das Doktorexamen, das daher

für diesen Wissenschaftszweig besonders schwierig ist. Mit der durch den Druck vergrößerten Abhandlung sagt der junge Astron. der Litwa, ob er einen Teil des Wissensgebietes selbständig und erfolgreich zu behandeln und um ein neues Ergebnis zu bereichern vermag. Die Bewertung dieser ersten Arbeit durch das Fachgenosse ist oft entscheidend für die ganze spätere wissenschaftliche Laufbahn eines Autors. Daher ist es erwünscht, möglichst rasch einen Theorem zu wählen und in deren Behandlung Scharfsinn und Fleiß zu zeigen. Da kann eine gute Arbeit unter drei Bewertern ausstehen kommt, so wird man im nächsten Semester höchstens das Thema einer solchen mit dem Examen besetzen. Als Nebenarbeit im wissenschaftlichen Diktierwesen ist immer Mathematik gebräuchlich, als zweites bei innerer Physik.

Es ist sehr wünschenwerth, daß der junge Astronom mit Kenntnissen in der praktischen Mechanik ausgestattet, an ein solches Amt herantreite. Er kann dann selbst kleine Ausbesserungen an Instrumenten vornehmen und sich nach eigenen Ideen Modelle bauen, ohne vom Mechaniker abhängig zu sein. Er wird deshalb, wenn er Geschick dazu hat, während der ersten oder zweiten Ferienzeit sich in einer Werkstätte praktisch betheiligen. Aber auch dazu müssen die Ferien ausgenutzt werden, in entsprechenden Fußwandrungen die technischen Gehege namentlich Süddeutschland zu durchqueren. Endet der Winter bereits auf einem Berggipfel, wo die wunderbare Klarheit des Sternenhimmels, der dort nicht durch den Dunst unserer Stadtstrassen verdeckt ist, um des Stornen stiller rückt, so befehligt hier eigenes Schauen die Überzeugung, daß Sternwarten eigentlich auf Berggipfel, jedenfalls auf ihre Land hinaus gehören. Dieser Punkt ist bereits beim Neubau der physikalisch-technischen Sternwarte befolgt worden, die jetzt das Königreich über Heidelberg steht.

Es ist schon darauf hingewiesen wor-

den, daß die praktische Beobachtungsmöglichkeit während der eigentlichen Studienzeit nicht übersehen werden möge. Sonst aber wird auch um die Erfahrung, ob der Studierende Geduld und Beharrlichkeit zum Beobachten hat. Hierin gehört ein gutes Auge und eine feste Hand und es gibt sehr viele kluge Astronomen, denen eines von beiden abgeht, und die darum auf die praktische Seite der Himmelswissenschaft verzichten müssen. Die Beharrlichkeit zum Beobachten kann unterschätzen zu einem hohen Kunst geübt werden. Die Sicherheit der Auffassung von Zeitmomenten und festen Störpunkten mit sehr geringen unvernünftigen Fehlern ist ein unschätzbare Gaben für die Erlangung wertvoller Beobachtungen.

Deswegen Astronomen treten sich in Deutschland dann zur der betrieblungen am Kgl. astronomischen Observatorium in Berlin und prägründliche andere als Beobachter an Sternwarten, letztere sind aber gegenseitig nicht als Lebensmitteilungen zu bezeichnen.

Die letztgenannten Astronomen werden nach der Promotion zuerst Stellungungen als Assistenten an Sternwarten annehmen. Diese sind in Deutschland aber so wenig zahlreich, daß man pro Jahr drei bis fünf Plätze einstellt. Es kann daher nur dem Studium der Astronomie als Beobachtungs mit unbedinglich gewandt werden. Wohl haben manche Sternwarten z. T. sehr schöne Instrumente, aber das in England, Frankreich und Amerika befolgte Prinzip, daß zur Ausübung eines großen Instrumenten mindestens drei Assistenten und ein Beobachter nötig sind, hat in Deutschland noch keine Anwendung gefunden. So werden die Instrumente wissenschaftlich von Manne an Beobachtern nicht ausgenutzt und es bringt auf die Zahl der obigen Forschungsgruppen nicht nur andere Länder, die eine bessere Veranordnung der in die Sternwarten hineingestrichenen Kaputten erzielen, erheblich nach. An den Sternwarten und am Rechenbureau gehen

die Astronomischen Anstalten solche von «Observatorien» über, die jetzt aus im Gehalte den Oberlehrern gleichgestellt sind. Am astronomischen Observatorium in Potsdam bestehen außerdem fünf «Hauptobservatorienstellen», die den Direktoren der andern Sternwarten im Range und Gehalt ungefähr gleichstellen. Neben diese wissenschaftliche Tätigkeit an den Sternwarten tritt bei manchen Astronomen aus noch die Lehrtätigkeit an der Universität. Die Direktoren der Sternwarten sind sämtlich zugleich Ordinarien.

Im allgemeinen ist aber auch die astronomische Lehrtätigkeit in Deutschland ungünstig behandelt. Es gibt Universitäten — selbst größere — wo die Sternwarten aus einem hohen Turm mit mittelalterlichen, nicht mehr gebrauchsfähigen Instrumenten besteht, und andern, wo überhaupt weder Sternwarten noch Professur für Astronomie existiert. Außerdem fehlen besonders Professuren für theoretische Astronomie fast gänzlich. Der Leiter einer Sternwarte ist mehr auf das praktische Gebiet gedrängt, wenn er seiner Aufgabe gerecht werden soll. Andererseits liegen gerade die Erfordernisse wichtiger Entdeckungen der nächsten Zukunft auf theoretischem Gebiet. Hier ergibt sich also der Zwiespalt: Soll der Theoretiker zutreiben auf eine Lebensstellung ver-

nichten, wie sie nur die ordentliche Professor haben kann, oder soll der Staat seine Arbeiten mit einem Ordinariat belohnen, so das aber zugleich die Leitung einer Sternwarte einschließt, selbst wenn weder dem Namen der dieser Aufgabe, noch der Sternwarte mit dieser Direction geknüpft ist. Der richtige Ausweg, die Gründung von Ordinarien und Extraordinarien für theoretische Astronomie in looser Anlehnung an bestehende Sternwarten, deren Leitung korrespondierende Beschäftigung ausfüllt, ist in Deutschland viel zu wenig beschritten.

So kann für den Historiker, der sich für seinen Lebensweg entscheiden soll, das Studium der Astronomie nur nach erstenscher Befürwortung empfohlen werden. Beförderung und Begünstigung sind notwendig, wie allen eine Begünstigung für die Menschennatur, die auch ein langjähriger Aufenthalt in schlichter bescheidener Stellung erträgt. Das «per aspera ad astra» behält noch heute noch seine Geltung und es ist vielleicht gut so, denn nur mit Auslese der Besten legt man den dornigen Pfad bei dem Ziele zurück und bewirkt, daß heute ungünstiger Lebensverhältnisse die deutschen Astronomen und ihre Forschungsgebiete im Auslande der größten Achtung begegnen.

## Nachforschung nach intramerkurialen Planeten während der Sonnenfinsternis am 30. August 1905

**U**ntersucht sind bei Gelegenheit totaler Sonnenfinsternisse Vorurteile angefaßt worden, etwa vorhanden Planeten innerhalb der Merkurbahn einschließend, teils durch direkte Beobachtung der äußeren Umgebung der Sonne an lichtstarken Fernrohren, teils durch photographische Aufnahmen derselben. Der Erfolg ist bisher stets negativer gewesen. Dies hat indessen F. Michard Eché, S. J. nicht abgelehnt, während

der totalen Sonnenfinsternis des 30. Aug. 1905 einen neuen Versuch mit Hitz photographischer Aufnahme zwischen Er berichtet darüber u. a.:<sup>1)</sup>

«Bei der Beobachtung der totalen Sonnenfinsternis des Jahres 1905 wählte ich als Hauptgegenstand die Suche nach intramerkurialen Planeten. Auf den Rat von Dr. Villeret nahm ich als Ob-

<sup>1)</sup> Astron. Nachrichten No. 4156

jetzt die Triplet aus UV-Glas von 90 zur Öffnung und 305 zur Beugweite von Zerk. Das auch von Zerk gefertigte leichte Stativ wurde der Montage des 25 cm Refraktors der Völklinger Sternwarte angepaßt. Die Plattenplatte betrug mit ca 48 x 50 cm in der Ansicht, je eine Aufnahme fertig und woffich von der Sonne zu machen. Auf die Kontrolle glaube ich verzichten zu dürfen, da von verschiedenen Seiten nach Platten gesucht werden sollte.

Als Beobachtungsort empfahl sich Burgas sowohl wegen seiner Lage in nächster Nähe der Zentralen der Finsternis, als auch wegen des vornehmlich günstigen Wetters und wegen seiner leichteren Zugänglichkeit. Durch die Güte des Reflektors des dortigen Kollegs La Merced, Herrn Amado Cordero S. J., konnte ich nicht nur in diesem Kolleg wohnen, sondern auch mitten im Centrum des Instrument am Schutzbau aufbauen. Der Ort des Instrumentes bestimmten ich durch Abmessung auf einer grossen Karte im Anschluß an die geodetischen Ortsbestimmungen der Kollektrale und des geodetischen Portes von Burgas. Es ergab sich: Länge  $25^{\circ} 14' 45''$  woffich von Greenwich, Breite  $44^{\circ} 42' 20''$  N, Höhe ungefähr 550 m.

Der Mitter der Zeitbestimmung mit einem Breitengradigen Theodoliten, den ich zu diesem Zweck mitgenommen, wurde ich durch die Freundlichkeit des Direktors der Madrider Sternwarte überlassen, der auch Burgas zur Beobachtungstation gewählt hat und bereitwillig mehrere Vergleicheungen zwischen Chronometern mit den ständigen ausführen liess.

Leider war die Montierung zu schwach für das 3<sup>1/2</sup> m lange, dicke Rohr, und ich fürchte, daß im günstigen Augenblicke irgend etwas vorzugen würde. Deshalb fügte ich zum 11 mm-Sacher von Steinhilf hinzu, der Mitternachtsstellung vorzug. So kollektiv, mit diesem gegen das Hauptrohr gemessenen 11 mm-Sacher, das auf 11 mm

und 1/2 Leere enthalten war, alle Schwerepunkte befestigen zu können. Der Tag der Finsternis befiel mich eines anderen. Von etwa 3 Uhr morgens an bis zum Eintritt der Totalität war der Himmel bewölkt, so daß an eine Einstellung des Suchers nicht zu denken war. Nachdem ich lange vergeblich gesucht, änderte ich im letzten Augenblick meinen Plan, drehte die Kamera um 90°, so daß die längere Kante in die Richtung des Sonnenlaufes zu stehen kam, stellte die Sonne in die Mitte der Platte und exponierte drei Minuten lang von 14<sup>h</sup> 7<sup>m</sup> 45<sup>s</sup> bis 14<sup>h</sup> 10<sup>m</sup> 0<sup>s</sup> Gegenwärtig Zeit, indem ich alles selbst übernahm. Von Anfang der Totalität an war die südliche Umgebung der Sonne fast ganz frei von Wolken, nur ganz leichte Schleier waren zu sehen. Ich würde während der ganzen Totalität exponiert haben, aber das doppelte Furcht bestimmte mich, in den letzten Augenblicken noch eine 1/2 Aufnahme der Korona zu versuchen. Hiermit nämlich befinde ich, die Platte könnte bei der erwarteten großen Helligkeit des Himmels zu stark verschärft werden, andererseits dachte ich, sie könnte nicht ganz vorangeführt sein, wollte aber doch nicht ohne jedes Risiko von diesem ersten Heile Aufnahmen sind in Anbetracht der Umstände wohl gelungen.

Hier soll zunächst nur von der ersten Aufnahme der Rede sein. Diese Platte ist stark geschwärzt, wodurch die Untersuchung vielfach erschwert wird. Schlimmer ist es, daß die Zeit-Zählung vom Zeitwerk nicht mitgeteilt wurde. Die Probekontrollen im Centrum der Sonne und drei helle Sterne haben lange Striche gezogen, von denen ich ergriff, daß der Schmelz der Platte im Anfang der Totalität stattfand und etwa 1/2 Minuten darauf es scheint danach, daß die Kamera trotzdem ich so sehr sorgfältig angepasst hatte, doch erst bei der nachträglichen Revision wirklich geprüft hat. Der schlimmste Umstand aber ist, daß auch im weiteren Verlauf

der Exposition des Triebwerk nicht sehr schräglagen getan hat, so daß alle Sterne in Strichlein von etwa 1 mm Länge ausgefallen sind; insbesondere habe ich in dem  $2\frac{1}{2}$  Minuten nicht mehr Sterne erhalten, als auch leicht in 1 Minute auf die Platte gekommen wären. Allerdings hat die Vorbereitung der Sternspuren nach der Gutes punktförmige Plattenfehler können gar nicht für Sterne ausgenutzt werden, und alle Fixsternspuren können einander sehr nahe parallel sein, das ist ein nicht zu unterschätzender Vorteil.

Bei den ersten Durchmusterungen der Platte, die mit bloßem Auge und mit zweifach vergrößender Lupe geschahen, erloschen ich 40 Strichlein, deren Positionen zu den Bildern der Platte mit Millimetermaßstab sehr festgelegt wurden. Von diesen wurden später acht niemals mehr mit Sicherheit erkannt. Von den übrigen 32 sind auch noch acht nur bei guter Betrachtung zu erkennen, die andere 24 nicht; man hat den ersten Blick unter ihnen mit einer von bestimmten Anzeichen

es ist ein etwas verwischener kurzer Doppeltstrich, der wahrscheinlich einen Sternspure, sondern einen Plattenfehler darstellt. Die übrigen zeigen, mit Ausnahme von einem, sowohl das bei der großen Helligkeitsdifferenz möglich ist, unter sich ganz glücken Aussehen. 18 davon wurden mit Hilfe der Hamburger Sternkarte der Umgebung der Sonne bei der totalen Sonnenfinsternis 1905 August 28 bis 30, mit Durchmusterungsternen identifiziert.

Die schwachen dargestellten Sterne sind 25 Größe, bei einigen ist jedoch eine Helligkeitsangabe nicht gemacht, weil sie zu schwach erschienen, um mit einiger Sicherheit angegeben zu werden. Anfangs habe P. Eche auf der Platte nur nach Strichen parallel zur Richtungsrichtung gesucht, d. h. also nach Fixsternen, trotzdem haben ihn drei Strichen auf, die nicht in diese Richtung fallen und die er auch auf der Sternkarte nicht identifizieren konnte. Sie wurden mit  $\beta$ ,  $\gamma$  und  $\alpha$  bezeichnet und P. Eche gibt dafür folgende Positionen (für 1905.0) und Bemerkungen:

AR	DB	Bemerkungen
$\alpha$ 104° 56' 38.8	$+ 9^{\circ} 41' 40''$	Strich nahe parallel dem Sonnenäquator.
$\gamma$ 105° 16' 36.2	$+ 9^{\circ} 52' 47''$	Strich nahe parallel dem Sonnenäquator, Neigung gegen die Richtungsrichtung etwa $12^{\circ}$ .
$\beta$ 105° 38' 36.1	$+ 10^{\circ} 5' 44''$	Kurzer Doppeltstrich, fast parallel zum Sonnenäquator.

Die Bemerkungen wurden bei der Messung mitgeteilt. Es ist klar, sagt P. Eche, daß bei Planeten in allgemeinen Strichlein von der AR-Richtung abweichen können. Ein Planet in der Entfernung von einer Million Meilen von der Sonne würde in dem Tage seine Kreislage, der senkrecht auf der Gleichzeitung steht, um Mittel einen Weg von etwa  $11''$  in  $1^{\circ}$  abmachen. Beobachtet er nun zugleich wegen seitlichen Ganges des Triebwerks in  $1^{\circ}$  auf der Platte einen Strich von  $\frac{1}{2}$  mm —  $28''$ , so wird die Richtung des Striches bei  $21^{\circ}$  von der AR-Richtung abweichen können. Es ist

von vornherein möglich, daß die beschriebenen Striche  $\beta$  und  $\gamma$  um mehr gleich viel in der Richtung Concord von der AR-Richtung sich entfernen, während  $\alpha$  auf der vergrößerten Seite der Sonne fast um den gleichen Winkel in der Richtung Concord abweicht. Da sich an einer Platte nicht entscheiden ließ, die Möglichkeit, daß vielleicht ein Planet seine Spur hinterlassen hat, auch nicht gerade gelingend werden kann, so schien es mir gewiss, die vorliegenden Orte zu verifizieren, durch Vergleichung mit anderen Aufnahmen sich zeigt, ob jene Strichlein Plattenfehler sind oder nicht.



# **Mondlandschaften aus Fernrohr gezeichnet von C. Strakos.** (Hier: Teil VIII)

**1.** Auf dieser Tafel sind vier Darstellungen von Mondlandschaften wiedergegeben, welche Herr C. Strakos an seinem vorzüglichen 5zölligen Refraktor von Herz, unmittelbar nach der Natur gezeichnet hat. Der vorstehende Mondbeschreiber gibt zu einem Zeichnenden folgende Erläuterungen:

1. Besser! am 23. Oktober 1906. Das ganze sichtbare Mare Nubium ist endlich sichtbar und die Einzelheiten deutlich, so, wie wenn man eine solche Vergrößerung benutzt. Die umliegenden hellen Mondgebirge erscheinen dagegen, noch weniger Luft, wirklich klar und viel deutlicher.

2. Harbinger Mts. am 28. Oktober 1906. Eine interessante Mondlandschaft nördentlich Aenthus. Der halbenstündige Regenfall ergiebt am hellen stichlichen Wolk mehrere Bruchlinien, die schwer in der Zeichnung wiedergegeben waren. Der feine Krater, wenn hellen waren nicht zu sehen, da die Finsternis stark durch den Wind starrte, wodurch die Deutlichkeit der Bilder beeinträchtigt wurde. Nördlich vom genannten Regenfall sind zwei Feuerberggruppen und über denselben kurze Bruchlinien, stichlich Kraterchen.

3. Mondlandschaft östlich Walter Loder bei ungenügenden Verhältnissen beobachtet und versucht ich zu zeichnen, da die Luft stark wärmt und der Mond kurz durch Wolk bedeckt wurde, so daß ich die Zeichnung besonders in südlichen und östlichen Gegenden nicht genau machen und vollständigen konnte. Außerdem war der ganze ungenügende Boden ebenfalls mit ungenügenden Einzelheiten bedeckt, daß ich ganz verzweifelte, dieselben in der Zeichnung darstellen zu können.

Am 28. Oktober, drei Tage später, beobachtete ich diese Gegend, um den bekannten hellen Fleck zu sehen. Da ich aber ebenfalls deutlich diese

ersten hellen Krater, bei welchem die nach allen Seiten hin auslaufenden hellen Strahlen ihre Äußerkeit mit Tycho, im Westen, geben. Es waren fünf Hauptkrater und darunter dunkle und auch hellere Flecke. Das Zentrum dieses Strahlensystems, der helle Krater, ist weder in meiner Zeichnung noch in Neumanns Karte zu erkennen.

Am 28. Oktober, drei Tage später, war der helle Krater weniger augenfällig aber immerhin noch genügend deutlich.

4. Kien, Belaiden und Lubinski. Als ich am 25. November 1906 diese Zeichnung anlegte, war die Luft, im Verhältnis zu den vorigen Abenden, besser, kaum habe ich aber die vollständig von Kien befindlichen Krater b und A, sowie die interessante Höhe zwischen denselben nach Kien richtend, gezeichnet, so war es schon mit meinen Beobachtungen vorbei, da die Luft sehr zu wärmt. Ich habe mich aber dadurch nicht abschrecken und habe weiter gezeichnet, da diese schöne Gegend sich in einer zweiten Betrachtung befindet und sehr interessante Formationen enthält, die mich besonders interessieren, weil erregt die von (Kien, Belaiden in Kien-Pfeiler am Strahlensystem) und Lubinski von Herrn J. Meier, dem ich überhaupt meine Anregung zum Mondzeichnen verdanke, im „Globe“ gezeichnet sind.

Der Krater A östlich von Kien, hat genau wie Kien, einen Bruch im hellen Wolk, welcher bei Ende meiner Beobachtung einen glatten Schattenswurf hatte wie Kien in der Zeichnung.

Ich möchte mir erlauben zu bemerken, daß der Schattenswurf von Kien in der Zeichnung von Neumann's nicht

\*) Seite 140, Teil XI.

naturgenau ist, da dort der Schein entsteht, als ob die kleine Bodenröhre in ihrem einen Enden Schutze in den Schatten des Walles steht. Außerdem ist die Unterbrechung in dem

nächtlichen Walle nicht rechts (östlich) vom Ausläufer  $\beta$  sondern links und über diesem Ausläufer ist kein Keller zu sehen. Die Zeichnung von Rehdal ist, deshal ich, noch weniger gelungen.

—

## Die Bahn des spektroskopischen Doppelsterns $\beta$ Arietis

 Eine vorläufige Untersuchung über die Bahnverhältnisse dieses merkwürdigen Doppelsterns hat Dr. H. Lohndorff vom Astrophysikalischen Observatorium zu Potsdam angestellt. Derselbe wurde durch Oth. Rul Vogel der Preuß. Akademie der Wissenschaften am 25. April d. J. vorgelegt. Wir entnehmen dem Sitzungsprotokoll derselben das Nachfolgende:

Die Zahl derjenigen Sterne, welche als spektroskopische Doppelsternsysteme erkannt worden sind, hat infolge der intensiven Tätigkeit, die gegenwärtig auf dem Gebiete der Bestimmung der Radialgeschwindigkeiten herrscht, in den letzten Jahren eine große Zunahme erfahren und wird ohne Zweifel auch weiterhin noch stark anwachsen. Naturgemäß hat aber die Bestimmung der Bahnen dieser Himmelskörper nicht unsehr mit dem Herabsteigen der Sternhellen, so daß erst für 25 von den jetzt bekannten 183 Systemen mit verlässlicher Radialgeschwindigkeit die Bahn Elemente mit mehr oder weniger großer Genauigkeit berechnet worden sind. Es ist daher, um allgemeinere Schlüsse über diese merkwürdigen Sternsysteme zu ermöglichen, dringend erwünscht, bei Werten von ihnen die Bahnen näher zu untersuchen. In der vorliegenden Abhandlung geschieht dies für ein besonders interessantes spektroskopisches Doppelstern,  $\beta$  Arietis, dessen Bahn sich durch ihre sehr große Excentricität auszeichnet.

Die Veränderlichkeit der Radialgeschwindigkeit von  $\beta$  Arietis wurde im Jahre 1863 von Oth. Rul Vogel entdeckt (1872, Abh. 2,

pag. 7) auf Grund einer von ihm vorgenommenen Auswertung von 14 Spektrogrammen, die von Dr. Eberhard, Dr. Scholz und Dr. Lohndorff mit dem im photographischen Observatorium des Potsdamer Observatoriums angebrachten Spektrographen IV (3 Prismen) in der Zeit von Oktober 1892 bis Anfang Februar 1900 erhalten worden waren. Später hat Dr. Lohndorff auf Wunsch Vogels die Radialbewegung von  $\beta$  Arietis näher untersucht, indem er die erhaltenen 14 Platten nochmals und außerdem 25 weitere, die sich auf die Zeit bis zu Ende des Jahres 1904 erstrecken, ausgewertet hat. Die Bestimmungen der Radialgeschwindigkeit von  $\beta$  Arietis sollten andere Beobachter nicht vorliegen, so war Lohndorff allein auf das hier gewonnene Material von im ganzen 39 Platten angewiesen.

Im vergangenem Winterhalbjahre 1906 bis 07 sind von Dr. Eberhard und dem Verfasser mit dem Spektrographen IV noch 16 Spektrogramme von  $\beta$  Arietis hergestellt worden, welche ebenfalls im Verein mit den 39 früheren eine erste Bahnbestimmung gestatten.

Das Spektrum von  $\beta$  Arietis ist der Vogelsche Spektralstern Ia 2 zuzurechnen. Die Linien sind alle breit und verwischt, in dem Spektralbereich, welcher durch den Spektrographen IV schief abgebildet wird ( $\mu$  4536 bis 1.4360), konnten nur zwei Absorptionen, die Mg-Linie 7.4436 und die Wasserstofflinie H $\gamma$ , gemessen werden. Von der zweiten Komponente

<sup>1) Astron. Nachr. Nr. 1666.</sup>

des Sternes sind keine Ansätze im Spektrum zu erkennen. Zwar ist, wie schon Vogel in seiner ersten Note über  $\beta$  Aurigae bemerkt haben hat, die Magnetindustrie auf zwei Platten doppelt, aber Ladendorff hat auf keiner von den anderen 74 Platten diese Erscheinung mit Sicherheit feststellen können. Es ist daher anzunehmen, daß die Verdrängung der Hg-Linie auf den genannten beiden Platten wohl nur durch besondere Vorgänge in der Atmosphäre des Sternes erklärt werden kann. Bei Sternes der ersten Spektralklasse sind derartige Erscheinungen in Polkadern bereits öfter beobachtet worden.

Wegen der Breite und Verschiebung der Mg- und der Hg-Linie und die Messungen der Radialgeschwindigkeit von  $\beta$  Aurigae recht unicher Ladendorff, hat um den Einfluß der persönlichen Einstellungsfaktor möglichst zu beseitigen, die Messungen mit Benutzung eines Komparatorsprismas ausgeführt, welches nach Berücksichtigung der ersten Messungsergebnisse so geführt wurde, daß sich die Lage des Spektrums scheinbar um  $108^{\circ}$  änderte. Aus beiden Messungsergebnisse wurde das Mittel genommen.

Da die Messungen der Hg-Linie wesentlich unicher waren als die der Mg-Linie, so erschien es erstens bei der Festlegung nur des halben Quertes gegenüber denen der Mg-Linie. Auf einigen unterbeobachteten Platten konnte Hg überhaupt nicht gemessen werden, auf denen wurde die Mg-Linie zweimal gemessen und das Mittel aus den beiden, voneinander ganz unabhängigen Messungsergebnisse genommen. Auch diejenigen Platten, bei denen sich aus den Messungen der beiden Linien Radialgeschwindigkeiten ergaben, die um mehr als 15 km voneinander abwichen, wurden zweimal gemessen.

Der Unsicherheit der aus der Messung einer einzelnen Platte sich ergebenden Radialgeschwindigkeit kann 10 km, in einigen Fällen sogar noch etwas mehr betragen, im Mittel aus den Resultaten von 10 Platten, auf denen

sowohl die Mg- wie die Hg-Linie gemessen ist, ergibt sich, daß die Messungen der ersten auf eine um 3 km größere Bewegung des Sternes in die Richtung vom der Sonne fort schätzen lassen als die der letztere.

Die Ladendorff gibt in einer Tabelle die aus jeder Aufnahme für die Zeit derselben von dem beschriebenen Radialgeschwindigkeit der Sterne und findet, daß diese Geschwindigkeit ihren größten Wert hatte:

1902 Januar	19
1902 Dezember	4
1905 November	10
1907 Februar	26

Von diesen Daten ist nur das zweite etwas unicher. Die Abstände der drei letzten Daten von dem ersten betragen der Reihe nach 301 Tage, 1094 Tage, 1486 Tage oder  $3\frac{1}{2} \times 1000$  Tage,  $13 \times 1000$  Tage,  $14 \times 1000$  Tage. Die Periode der Umlaufzeit ist also:  $P = 1000$  Tage.

Ladendorff bemerkt noch, daß nach dem Verlauf der beobachteten Werte von  $v$  ergibt es Teil von  $107.0$  Tagen als Wert der Periode nicht im Betracht kommen kann, namentlich kann die Periode nicht die Hälfte von  $1000$  Tagen =  $515$  Tage sein, da dann ein Maximum auf 1904 Dezember 14 bis 16 hätte fallen müssen, was den Beobachtungen widerspricht.

Aus den Beobachtungen, läßt er fest, kann man sehen, daß der wahre Wert der Periode nur um einige Hundert der Tage von dem angegebenen Werte abweichen kann. Dies ergibt sich nicht nur aus der zeitlichen Lage der beobachteten Maximalwerte von  $v$ , sondern auch, wenn man bei der Periodenbestimmung gewisse Punkte des stetig aufsteigenden Teiles der Geschwindigkeitskurve zugreift legt.

Ordnet man nun die Beobachtungen nach der Zeit vom nächstvorangegangenen Maximum der Radialgeschwindigkeit, so ergibt sich, daß infolge der Unsicherheit der Messungen Beobachtungen

gleichen Phase zum Teil ebenfalls aus  
voneinander abzuweichen.

Dr. Lohndorff hat dieser Mann-  
weise aus den Messungen bei nahezu  
gleichen Phasen der Bahngeschwindig-  
keit gebildet. Hierzu beträgt die  
größte direkt gemessene Bahngesch-  
windigkeit im Mittel  $+ 56 \text{ km}$  (das  
Vorzeichen + bezeichnet, daß der Stern  
sich entfernt). Die Berechnung nach  
der von Lehmann-Fallis angegebenen  
Methode ergibt für die Bahngeschwin-  
digkeit des Schwerpunktes des Doppel-  
systems  $\beta$  Androm. den Wert  $V =$   
 $- 0,4 \text{ km}$ , die Exzentrizität der Bahn  
ist sehr groß, sie beträgt nämlich 0,88  
und der Abstand der beiden großen  
Aster 22828000 km. Die Gesamtmasse  
beider Sterne des Systems muß natür-  
lich ein Drittel der Sonnenmasse sein,  
kann aber erheblich größer sein, da die  
Wegung der Bahn unbekannt ist. Betrich-  
tlich bemerkt Dr. Lohndorff noch  
folgendes:

Unter den spektroskopischen Doppel-  
sternen, deren Bahnen bisher bekannt  
sind, hat  $\beta$  Androm. bei weitem die größte  
Exzentrizität; auf die folgen  $\beta$  Herkules  
mit der Exzentrizität 0,51 und  $\epsilon$  Ursa  
majoris mit der Exzentrizität 0,62. Im  
allgemeinen scheinen bei den spektro-  
skopischen Doppelsternen, sowie man  
denartige Schätze aus dem geringen,  
bisher verfügbaren Material ziehen  
darf, die kleinen Exzentrizitäten vorzu-  
wiegen. Bei den 26 Bahnen denartiger

Sternsysteme, welche bereits bekannt  
sind ( $\beta$  Androm. eingeschlossen), verteilen  
sich die Exzentrizitäten in folgender  
Weise:

Exzentrizität	Anzahl
0,00 bis 0,15	15
0,16 - 0,30	5
0,31 - 0,45	2
0,46 - 0,75	5
größer als 0,75	1

Zu bemerken ist noch, daß Deslandres  
bei dem spektroskopischen Doppelstern  
 $\delta$  Aquarii als Exzentrizität 0,60 gefunden  
hat, doch scheint die Bahnbestimmung  
sehr unsicher zu sein, und ich habe  
daher  $\delta$  Aquarii nicht mit in die obige  
Statistik aufgenommen.

Unter den sterblichen Doppelsternen  
sind mehrere vorhanden, deren Exzen-  
trizitäten ebenso groß oder sogar noch  
größer sind als bei  $\beta$  Androm. Nach  
Kalliers Katalog ist derselbe bei  $\gamma$  Vir-  
ginis = 0,80, bei  $\delta$  2525 sogar = 0,98.  
Die Umlaufzeiten dieser Sterne betragen  
aber 164 bzw. 387 Jahre. Somit be-  
weisen noch Exzentrizitäten von 0,80 und  
 darüber die Doppelsterne  $\gamma$  Andromedae  
AC (Exc. = 0,60,  $U = 55$  Jahre), 66  
Herculis (Exc. = 0,81,  $U = 65$  Jahre)  
und  $\gamma$  Centauri (Exc. = 0,72,  $U = 60$  Jahre).  
Es handelt sich hier also durchweg um  
Systeme von langer Umlaufzeit, während  
bei  $\beta$  Androm. die sehr starke Exzentrizität  
gerade im Hinblick auf die kleine der  
Umlaufzeit besonders Interesse besitzt.

## Die Nebel der Nova im Perseus.

**E**s am 21. Februar 1901 von  
Dr. Anderson zu Eridang zuerst  
gesehen neue Stern im Perseus hat in  
der Folge die merkwürdigsten Erschei-  
nungen dargeboten, die jemals am Fix-  
sternhimmel aufgegenommen worden  
sind. Denn nicht nur zeigte sich der  
Nova von einem kleinen Nebel umgeben,  
sondern in diesem Nebel waren Ver-  
änderungen sichtbar aus Eigenhe-

itungen von solcher Größe, wie sie  
sich im Reich der Fixsterne niemals ge-  
trug haben, u. nach allen bisherigen  
Erfahrungen auch nicht zu erwarten  
waren. Unter solchen Umständen ist  
begreiflich, daß die größten Teleskope  
photographisch und spektroskopisch  
nützlich benutzt wurden, um so lange  
als möglich die Erscheinungen zu ver-  
folgen und festzustellen, was von jenen

Vorgängen im fernem Weltraum. Mit dem Aufbruch von der Erde aus sich darbiet. Außergewöhnlich groß ist daher auch die Anzahl der Veröffentlichungen über die durchsicht Beobachtungsvorgänge und der Darstellungen derselben vom kosmologischen Standpunkte aus. Eine Zusammenfassung und Kritik der in Betracht kommenden Arbeiten ist indessen noch ganz ersehnen in einer Untersuchung: «über die Natur der Nova Persei», welche A. Kopff vom Astrophysikalischen Institut Königsberg (Holtz) schon veröffentlicht hat<sup>1)</sup> und deren Hauptinhalt hier folgt:

Der erste Entdecker des Nebels um die Nova des Perseus ist der Direktor des astrophysikalischen Instituts auf dem Königsberg Prof. Dr. M. Wolff. Er konstatierte durch eine Aufnahme vom 27. Aug. 1901 «etw. 10<sup>h</sup> und etwas östlich in der Nähe der Nova eine deutlich erkennbare, aber äußerst schwache und trotzdem strukturreiche Nebelmasse»,<sup>2)</sup> indem er zugleich den optischen Charakter einer von andern um das Stern

gehörenden Ansiedel. nachwies.<sup>3)</sup> Diese Entdeckung wurde dann durch eine Aufnahme von Ritchey (1901 Sept. 20)<sup>4)</sup> bestätigt, dessen Reflektor die Nova von einer unregelmäßigen, aber konzentrisch angeordneten Nebelmasse umgeben zeigte, deren helles Teil sich südlich der Nova befand. Weitere Aufnahmen von Perrine (1901 Nov. 7 und 19) und Ritchey (1901 Nov. 9) ergaben eine lebhafte Bewegung der Nebelkomponenten,<sup>5)</sup> die sich nach allen Richtungen hin von der Nova zu entfernen schienen. Da der ganze Vorgang nur auf photographischen Wege zu beobachten war, so blieb die weitere Verfolgung dieser räumlichen Erscheinung nur wenigen Sternwarten vorbehalten. Neben Perrine und Ritchey hat Prof. Wolff die Novanebel in der folgenden Zeit wiederholt photographiert. Auch von Berlin sind einzelne Aufnahmen zu erwähnen.

Kopff gibt nun zunächst eine Beschreibung der in Königsberg erhaltenen Aufnahmen. Die Nova wurde dort zu folgenden Abständen photographiert:

		Expositionen		Expositionen	
		14 <sup>h</sup> 7 <sup>m</sup> 30 <sup>s</sup>	15 <sup>h</sup> 12 <sup>m</sup> 30 <sup>s</sup>	14 <sup>h</sup> 7 <sup>m</sup> 30 <sup>s</sup>	15 <sup>h</sup> 12 <sup>m</sup> 30 <sup>s</sup>
1901 Aug. 22		30 35.2	• 30 35.2	4 4	
Aug. 23		30 35.2	• 30 35.2	4 4	
Nov. 27		9 5.5	• 12 5.5	4 4	
Dec. 8		8 20.5	• 10 21.4	2 12	
Dec. 16		10 25.5	• 12 21.5	2 25	
1902 Febr. 1—4	15 <sup>h</sup> 7 <sup>m</sup> 30 <sup>s</sup>	2.7	• 30 34 <sup>h</sup> 30 <sup>s</sup>	4 42	
	14 <sup>h</sup> 6 <sup>m</sup> 47 <sup>s</sup>		• 32 41 <sup>h</sup> 1 <sup>m</sup>		
März 5	7 10 <sup>m</sup> 9 <sup>s</sup>		• 11 26.4	4 19	
März 12	7 36 <sup>m</sup> 0 <sup>s</sup>		• 10 40 <sup>m</sup> 0 <sup>s</sup>	2 31	

<sup>1)</sup> Durch Wolff wiederholt untersucht.

Alle Aufnahmen mit Ausnahme der ersten, die zu kurzen Expositionen hat, wurden vergrößert. Von den Originalplatten wurden Reproduktionen von 4.4 bis 5-facher Vergrößerung hergestellt, auf denen auch die schwächsten Nebelpartien recht deutlich hervortreten. Besonders war dies beim Aufsuchen und beim Messen der fernem Objekte nützlich und um falsche Nebel zu ver-

meiden, wurden die Platten mit den Zeichnungen Ritchey's verglichen.

Reproduktionen der photographischen Aufnahmen und der Zeichnungen Ritchey's finden sich im Series, Jahrg. 1902, Tafel II und III, wovon hier vertragen wird. Auf letzteren finden sich auch die Bemerkungen n. bei t, welche Ritchey für die Hauptabstände von ihm untersuchten Komponenten in dem Nebel

<sup>1)</sup> Publikationen des Astrophysikal. Instituts Königsberg-Holzberg, Bd. II, Nr. 9.  
<sup>2)</sup> Astron. Nachr. 156, 338.

<sup>3)</sup> Chron. Astron. Astron. Nachr. 156, 331. <sup>4)</sup> Astrophys. Journal 14, 117.  
<sup>5)</sup> Astron. Nachr. 156, 336 und 338.

von der Nova gegeben hat. Diese Kondensationen sind auch von Kopff in Betracht gezogen worden, außer ihnen aber auch noch eine Anzahl anderer. Als Position der Nova selbst wurde nach Bailey angenommen (für 1900 G):

$$AR = 34^{\circ} 24' 24'' 12''$$

$$D = + 43^{\circ} 13' 36''$$

und auf diesen Punkt die meisten Nebelkondensationen, gemäß den Annahmen auf den Platten bezogen. Die Bestimmung derselben ist mit derjenigen Bildpaars jedoch nicht identisch. Von den Positionen der einzelnen Nebelkondensationen wurde eine Karte hergestellt, in die aber der bessere Übersicht wegen nur die Positionen von 1901 Aug. 23, Nov. 12, Dec. 16, 1902 Febr. 3 bis 4 und März 5 eingetragen wurden; die Nebel der gleichen Aufnahmen wurden gleichzeitig beschriftet. Diese Punkte wurden auf der Karte durch gerade Linien verbunden, die also den Verlauf der Südgranz des Nebels  $\pi$  angeben. Auch für 1902 März 12 wurde diese gerade Linie eingetragen, jedoch ohne ihre Endpunkte zu beschriften. Auf der Karte sind noch die Punkte der gleichen Aufnahmen sowie die als oberhalb angegebenen Punkte verschiedener Aufnahmen verbunden, so daß die Karte also den Verlauf der Südgranz der hellen Novareifel an drei sehr Tagen, sowie die Bahnen einzelner Kondensationen gibt.

Das Gesamtbild der Umgebung der Nova ist bei den mit dem Fernrohrkopf besetzten Aufnahmen dasjenige, das die Zeichnungen (Städgers<sup>1)</sup> und die Photographien (Peters<sup>2)</sup> zeigen.

Kopff gibt zunächst eine ganze Charakteristik der einzelnen Aufnahmen und wendet sich dann zur Untersuchung der Bewegung und Geschwindigkeitsänderung der Novareifel, wozu er die Veröffentlichungen Peters und Richards mit in Betracht zieht. Es werden dabei die Nebel zunächst als weiße Gebilde an-

gegeben, deren Bewegung in einer Ebene, der Bildebene, vor sich geht. Die aus den Positionen der einzelnen Aufnahmen hergeleitete Bewegung hängt von wesentlichem davon ab, welche Nebel man als zusammengehörig betrachtet. Das Aufsuchen ähnlicher Nebel wird durch das mit dem Ortswechsel verbundene Fortwandelndwerden erschwert und ist nur bei einer Gruppe außer allem Zweifel. Auch wird das Bild der Bewegung leicht dadurch verzerrt, daß auf verschiedenen Aufnahmen nicht die entsprechenden Stellen der einzelnen Nebel aufgeführt wurden. Die Vergleichung der Positionen kann also nur in einem in großen Zügen richtigen Bild führen.

Aus den Aufnahmen vom 23. August 17. Nov ergibt sich als Weg in 36 Tagen für die mit nachstehenden Buchstaben bezeichneten Nebelkondensationen

$$\begin{matrix} \alpha^2 & \alpha^3 & \alpha^4 \\ 102^{\circ} & 102^{\circ} & 102^{\circ} \end{matrix}$$

als tägliche Geschwindigkeit:

$$1.67^{\circ} \quad 1.12^{\circ} \quad 1.07^{\circ}.$$

Nun stehen die Nebel offenbar mit dem Ausbruch der Nova (1901 Febr. 21) in Verbindung und sind von derselben ausgegangen. Mithin ließe sich mit derselben Geschwindigkeit, die zwischen August und November zugen, nach vorwärts bewegt, so wäre der Tag des Weggangs von der Nova für:

$$1900 \text{ Aug. } 17 \quad \alpha^2 \quad \alpha^3 \quad \alpha^4$$

Entsprechend ist die tägliche Geschwindigkeit gemäß obigen Aufnahmen auf der Tag der Entstehung für die Kondensationen:

$$\begin{matrix} \beta & \delta & \epsilon \\ 1.12^{\circ} & 0.94^{\circ} & 1.43^{\circ} \\ 1900 \text{ Okt. } 12 & 00 \text{ Aug. } 25 & 01 \text{ Jan. } 17 \end{matrix}$$

$$\begin{matrix} \gamma & \zeta \\ 0.87^{\circ} & 1.58^{\circ} \\ 1900 \text{ Sept. } 25 & 01 \text{ Febr. } 21. \end{matrix}$$

Es ist also höchstens für  $\gamma$  und  $\delta$  eine ziemlich gleichförmige Geschwin-

<sup>1)</sup> Astrophys. Journal XX, 128. <sup>2)</sup> Astrophys. Journal XXV, 268. — Lockhart, No. 22

digkeit vom Ausbruch der Nova bis Mitte November 1901 auszuweisen.

Für die äußere Nebel, die etwa am 21. Febr. 1901 (jedenfalls nicht früher) von der Nova ausgeht, kann man, falls eine einigermaßen langsame werdende, bei verschiedenen Objekten verschiedene Bewegung. Das stimmt auch mit dem wahren Verlauf der Bewegung überein. Dazu tritt noch eine Änderung im Positionswinkel, so daß also die Bewegung der Nebel in der Richtung eine vollkommen ungleichförmige, kreisförmige ist.<sup>1)</sup>

Denn wird man sich Kopf im anderen weiter verfährt und er kommt zu dem Ergebnis, daß man im wesentlichen in der Umgebung der Nova direkte in Entfernung und Verhalten verschiedene Kondensationen unterscheiden können:

1. Den Nebel A, der im Anfang Dezember eine konstante Entfernung von etwa 135" von der Nova hat, der sich bis Mitte Dezember nach Süden bewegt und dann mit großer Geschwindigkeit hauptsächlich nach Westen und Nordwesten ausbreitet.

2. Die Nebel der inneren Ellipse, die Anfangs eine mittlere typische Geschwindigkeit von etwa 2" haben, die von August ab auf 1", später noch weiter herabsinken. Von Cassiopeia abgesehen, hat die Bewegung im Februar fast ganz auf, wächst aber dann nach zu der äußeren Geschwindigkeit wieder an. Die Nebel sind einer kollektiven Form- und Helligkeitsänderung unterworfen. Der Abstand der im Südosten größtenteils helles Gruppen ist im August im Mittel 364", im Mitte Dezember 492". Hieraus sind auch nach die innerhalb der Ellipse größeren Nebel zu erklären.

3. Die Nebel der äußeren Ellipse, die im allgemeinen sehr schwach sind, von denen darüber aber ein bedauernder Helligkeit erreichen. Die eine oder andere Kondensation scheint sich sogar neu zu bilden, war aber jedenfalls vorher zu schwach, um weitergenannt

zu werden. Die Nebel haben sich mit nahezu doppelt so großer Geschwindigkeit wie die innere Nebel von der Nova entfernt, diese Geschwindigkeit läßt aber schon Ende 1901 bedeutend nach, so daß eine einigermaßen Vergrößerung der äußeren Ellipse nicht mehr wirksam scheint ist. Die große Achse zeigt Anfangs Januar 1902 eine Ausdehnung von 1005" im Mittel, die Mitte von 649". Der Abstand der äußeren Nebel ist also ziemlich genau der doppelte desjenigen der inneren.

Zu erwähnen ist noch, daß der Positionswinkel für innere und äußere Nebel der Hauptachse nach kleiner wird. Für den westlichen Teil von A, für das im Südwesten liegende E, und im Westen liegende D<sup>2)</sup> nicht ohne, dessen Ursache für ähnliche Kondensationen im Innern der äußeren Ellipse.

Hierzu kommen:

4. Die strukturalen Nebel außerhalb der äußeren Ellipse, deren Zergewerker zu dem eigentlichen Nebel nicht fraglich ist.

Im 3. Teil seiner Untersuchungen beschäftigt sich Kopf mit den Theorien über die Nebelwolke. Er betont zunächst, daß man bei Beurteilung der Vorgänge um die Nova Perseus vor allem darauf zu achten habe, daß die Bewegung der einzelnen Kondensationen nicht in einer Ebene, sondern im Raume vor sich geht, daß das zu uns kommende Licht von einer primären Strahlung herrührt, die sich in irgend welcher Richtung von der Nova entfernt hat. Kapteyn schon hat bei Aufstellung seiner Hypothesen (Internat. Nachrichten astronom. und Newcomb<sup>3)</sup>) mit der Formeln einer Annahme von Lichtgeschwindigkeit für die primäre Strahlung gerechnet.

In dem ersten Kapitel nach Aufdeckung der Nebel, führt Kopf fast, besonders als dritte außerordentlich rasche Bewegung nach nicht bekannt war, hat man die Kondensationen für

<sup>1)</sup> The Astronomical Journal 1902, No. 561—562.

marne Gasmasse und darin in eine Umhüllung des Sterns in Nebelsubstanz. Zu dieser Ansicht war man um so mehr berechtigt, als das Spektrum der neuen Sterns auf eine solche Umhüllung hinweisen scheint. So glaubt Pickering<sup>1)</sup> die Nebel als ausströmende Gasmassen nach Art der Sonnenprotuberanzen ansehen zu dürfen. Schon vor Entdeckung des Nebels<sup>2)</sup> schloß er aus dem Verhalten der hellen und dunklen Linien im Hensspektrum auf die Richtigkeit der Explosions-theorie der neuen Sterns, die durch Aufleuchten auf Ausbrüche von Gasmassen aus dem Innern zurückzuführen will und versetzt die Kollisions-theorie, die das Entstehen neuer Sterne durch das Zusammenstoß von Massen erklärt, wenn es einzelne Körper, Nebel oder Meteoroidenmassen in den von der Nova ausgehenden Nebel als Pickering war eine Be- stätigung dieses Resultats. Auf Grund solcher Ansichten ist versucht worden, die Parallaxe der Nova zu bestimmen<sup>3)</sup>. Aus einer Aufnahme des Goodell Observatory ergab sich unter der Voraussetzung, daß die wirkliche Geschwindigkeit der Kondensationen ungefähr dem Visum-vividum derselbe sei, wie die aus spektroskopischen Messungen im Visum-vividum gefunden, eine Parallaxe von  $1.5''$  für die Nova.

Nun wissen aber die direkten Bestimmungen von Adams, Chase, Flammig und Gerasimovic auf eine außerst kleine, wenn überhaupt meßbare Parallaxe hin, auch die Bestimmungen photographischer Platten am Royal Observatory, Greenwich<sup>4)</sup> lassen auf einen beträchtlichen Werten Wert ab  $8.1''$  schließen, so daß die Geschwindigkeit der Henssubstanz der Prohibitions weit übertrifft muß. Den einzigen realen Wert hat Bergstrand<sup>5)</sup> gegeben. Unter Berücksichtigung der

Dispersion der Licht findet er aus einer Reihe von Aufnahmen für die jährliche Parallaxe der Nova  $\pm 4.63'' \pm 0.61''$ . Wie Schuster<sup>6)</sup> hervorhebt, können alle diese Werte, die zu aus relativen Bestimmungen hervorgegangen sind, nur großen Fehlern behaftet sein, die dadurch hervorgehen, daß die Vergleichsterne selbst um sehr nahe liegen. Für eine zuverlässige Bestimmung der Bewegung der Nova ist also von großem Vorteil, wenn man aus ihnen selbst die Parallaxe der Nova herleiten könnte. Auch die von Prof. Wolf<sup>7)</sup> anfangs ausgesprochene Ansicht, daß es sich um beschleunigte Expansions von Gasen handeln könnte, mußte bei so kleinen Parallaxen hinfällig werden. Wie Vary<sup>8)</sup> in die Fortpflanzungsgeschwindigkeit beim Knallen zu  $20724$  pro Sekunde bestimmt worden. Prof. Wolf<sup>9)</sup> hat nun zuerst darauf hingewiesen, daß die Geschwindigkeit des Lichts die für die Nebel veranschaulichte ist, eine Annahme, die auch das meisten Hypothesen zugrunde liegt. Hieraus hat er aus der Bewegung der Kondensationen A eine mit den direkten Messungen gut übereinstimmende Parallaxe von  $5.012''$  hergeleitet, wobei freilich die Bewegung des Nebels nur nach dem Visum-vividum angenommen wurde. Eine größere Geschwindigkeit als die des Lichts anzunehmen, ist schon deshalb unmöglich, weil uns in der Natur solche Beziehungen nicht bekannt sind.

Was die Hypothesen über die Natur des Wargens der sich für uns in dem Aufleuchten der Nova und der Nebelbewegung um dieselbe handelt, so lassen sich diejenigen, welche überhaupt beachtenswert sind, nach Kapff in zwei Gruppen teilen wie folgt:

1. Injunkt welche primäre Entstehung, die von der Nova ausgeht, trifft auf

<sup>1)</sup> Astron. Journal XV. 68. <sup>2)</sup> Astron. Journal XIII. 231. <sup>3)</sup> Popular Astronomy 18. 263. <sup>4)</sup> Monthly Not. 62. 482. <sup>5)</sup> Arkiv für Matematik, Astronomi och Fysik, Band 1.

<sup>6)</sup> Astron. Nachr. 184. 703. <sup>7)</sup> Astron. Nachr. 158. 258. <sup>8)</sup> The American Journal of Science N. S. 4. Vol. 16. 49. <sup>9)</sup> Astron. Nachr. 158. 253.



bereits im Raum vorhandene Nebel, die daher unendlich weiter, und bringt dort in irgend welcher Weise eine sekundäre Strahlung hervor, die dann auf die photographische Platte wirkt.

2. Von der Nova geht kein verdrängte Materie aus, die selbst ein Nebel auf der Platte sichtbar wird.

«Der Versuch größter Entfernung», sagt Kapteyn, «hat diese Theorie, die gleichmäßig Kapteyn,<sup>1)</sup> Seeliger<sup>2)</sup> und W. E. Wilson<sup>3)</sup> aufgestellt haben. Danach hat der Nebel, der die Nova umgibt, kein oder nur äußerst schwaches Licht und das, was der Wirkung auf der Platte hervorgebracht hat, ist das Licht der Nova selbst, das in diesem Nebel reflektiert wurde.

Aus den vielen Veröffentlichungen folgerte Kapteyn, «daß die Nebelmasse in der Nähe der Nova größtenteils aus Nebelgasen besteht, die in einem Raum enthalten sind, der auf der Sonnenseite von einer Ebene begrenzt ist. Diese Ebene muß gegen die Geschwindigkeit einer Bewegung von etwa 72° haben in solcher Richtung, daß der abgewinkelte Teil der Sonne am nächsten ist, und der Nova muß nahe an dieser Ebene stehen, also wenig in die Nebelmasse eingedrungen sein». (Die aus der Bewegung der polarete Parallaxe der Nova gilt Kapteyn in 0.011" an. Auch Wilson<sup>4)</sup> hat die Parallaxe der Nova aus der Bewegung der Nebel berechnet. Aus Ritchys Nebel in 1891 er für zwei verschiedene Beobachtungen 0.017" und 0.012". Da aber auch hier die Bewegung von a senkrecht zum Visionsfeld angenommen wurde, so können, wie Kapteyn bemerkt, diese Werte nur dem Anschein auf Wahrheit trüben, wenn diese Annahme zufällig erfüllt war. Das zu entscheiden ist aber nicht möglich.

«Was nun» Hiet Kapteyn fort, «die Erscheinung von der Nova Perseus

sehen vorhandene Nebelmasse anzeigt, so muß man, wie Seeliger<sup>5)</sup> ausführt, schließen, daß die Strahlung von der Nova nach verschiedenen Richtungen mit verschiedener Intensität vor sich gegangen ist, und daß diese Materie nicht gleichförmig um die Nova verteilt liegt, sondern aus Klüften und Schalen besteht. So lang, wie Seeliger hervorhebt, jede beliebige Gestalt, Gestaltveränderung und Bewegung vorstellbar werden, und sich sich unendlich weiterbewegende Kondensation zeigt man an, daß in dieser Richtung ein Nebelteil hinreichend, lange bevor die Materie gleichförmig verteilt ist.

Gegen die Theorie Prof. v. Seeliger und verschiedene Bedenken hat gewonnen, die Kapteyn im speziellen mitteilt und kritisch prüft. Hier kann nur einiges hervorgehoben werden.

Zunächst rückt die Frage, ob unter den obwaltenden Umständen das reflektierte Licht stark genug ist, eine noch merkliche Wirkung auf der Platte hervorzubringen? Diese Frage wird von Prof. v. Seeliger auf Grund seiner theoretischen Untersuchungen bejaht, andere sprechen sich verneinend aus, Kapteyn stimmt ihr aber zu. Allerdings ist es nicht gelungen, bei den Neuesten Polarisation des Lichtes nachzuweisen, indem es dies, was schon v. Seeliger hervorgehoben hat, kein absoluter Grund der Grund in diesem Falle reflektiertes Licht nicht anzunehmen.

«Perseus» hat das Licht der Nova selbst spektroskopisch untersucht. Die Aufnahmen von 2 bis 11 Stunden Expositionsdauer immer nur der Nebel D (=a) ergaben, so beschriebte sich Perseus auf die Untersuchung einer neuen Kondensation. Eine Aufnahme von 24 Stunden gibt uns ein äußerst schwaches, aber diesem Nebel zweifellos angehöriges Spektrum. Dreiviertel des Lichtes des Nebels ist in den Teil des Spektrums zwischen H $\beta$  und H $\gamma$

<sup>1)</sup> Astron. Nachr. 70, 179. <sup>2)</sup> Astron. Nachr. 65, 179. <sup>3)</sup> Natur 86, 78. <sup>4)</sup> Nature 86, 78 und The quarterly Proceedings of the R. Dublin Society, N. S. IX, 191.

<sup>5)</sup> Astrophys. Journal XVI, 117 und XV, 126. <sup>6)</sup> Astrophys. Journal XVI, 126.

zusammengedrängt, gegen ultraviolett ist das Licht sehr schwach und läßt ganz hell zwischen  $\lambda$  380 und  $\lambda$  390. Sparen von zwei Linien sind angedeutet, die eine H $\beta$  wahrscheinlich mit H $\gamma$  zusammen, die andere liegt bei  $\lambda$  375. Sie sind jedoch so schwach, daß ihre Existenz nicht sicher ist.

Vergleicht man damit das Spektrum der Nova selbst, so zeigt sich eine große Ähnlichkeit mit demjenigen in den ersten Tagen nach dem Ausbruch. So zeigt das in Polaris H $\gamma$  erhaltene Spektrum vom 28. Febr. 1904 seine größte Helligkeit ebenfalls zwischen H $\beta$  und H $\gamma$ , wird gegen kleinere Wellenlängen hin schwach und erreicht bei H $\delta$  nochmals ein Maximum. Bei etwa  $\lambda$  400 tritt wieder eine geringe Zunahme des Lichtes auf, welches  $\lambda$  380 und  $\lambda$  390 fällt es auch hier ganz. Das Spektrum der Nova ist nicht weiter nach violetten hin beobachtet, so daß hier ein Vergleich beider Spektren nicht möglich ist.

Das Spektrum des Nebels ist ebenfalls nicht identisch mit dem der Nova seit Juli 1901. Hier zeigen sich zwischen H $\beta$  und H $\gamma$  zwar auch noch beide Linien, und es wäre wohl unmöglich anzunehmen, daß die geringere Dispersion des Nebelspektrums diese Linien nicht zu trennen vermocht hätte. Aber die hellsten Teile des späteren Novaspektrums liegen bei  $\lambda$  387 und  $\lambda$  397, während das Spektrum des Nebels hier kein, oder nur äußerst schwaches Licht zeigt. Die bei H $\delta$  liegende Linie des Nebelspektrums fehlt andererseits im Spektrum der Nova.

Das Spektrum der Kondensation D ist auch kein gewöhnliches Nebelspektrum. Denn in einem solchen treten die Linien H $\beta$  und H $\gamma$  als schon begreute helle Linien auf, während das Spektrum von D zwischen H $\beta$  und H $\gamma$  kontinuierlich ist.

Eine Aufnahme 1903 Febr. 17 der Nova mit demselben Spektrographen,

mit dem auch die Kondensation D aufgenommen wurde, zeigt nun dasselbe Spektrum, das die Nova schon im Herbst 1901 hatte. Die hellste Linie war hier  $\lambda$  387, die mit der kaum angeordneten Linie  $\lambda$  375 im Spektrum von D nicht identisch sein kann.

Ferner kommt also in dem Schluß, daß das Spektrum der Kondensation D kein gewöhnliches Gasnebelpektrum ist, nicht das Spektrum der Nova, sondern es ist ein Nebelspektrum übergegangen ist, sondern daß die Kondensation D ungefähr dasselbe Licht aussendet, das die Nova kurze Zeit nach ihrem Ausbruch besaß.

Diese Beobachtung, sagt Kopff, könnte als eine wesentliche Stütze der Seebergischen Theorie betrachtet werden, obwohl es auch in anderen Werten geändert zu werden vermag.

Im weiteren behandelt Kopff verschiedene andere Hypothesen, besonders diejenige, welche Prof. Voss aufgestellt hat, heißt aber, daß keine derselben dem Versuch mit der Seebergischen Anschauung besteht und kommt zum Schluß:

„Soll man von dem Nebel in ab, dessen Existenz als selbstverständliche Materie kaum einem Zweifel unterliegt, so vermag die Seebergische Theorie in ziemlich einschneidender Weise die übrigen Erscheinungen zu erklären.“

Wollte man trotzdem für die ganze Erscheinung eine einheitliche Erklärung geben, wäre eine gewisse Berücksichtigung nicht abzutragen ist, dann müßte man die Erscheinung durch die Bewegung von Massenmassen deuten, die sich mit verschiedener Geschwindigkeit, dann größte von der des Lichtes nicht allzu stark abweichend lang, von der Nova entfernen und zum Teil in beiden vorhanden, unregelmäßig um die Nova gelegenen Nebelmassen sich weiterbewegen, wobei die Teilchen selbst leuchtend sind, außerdem aber in den ruhenden Nebel Lichterscheinungen hervorrufen. Die der Nova abgehenden Massen besitzen solange wir ge-

<sup>1)</sup> Polarisations der Polarisation, Central Nachrichten Nr. 1, Vol. XVI, Seite 199, 1901, 1902.

rings Bewegung und fangen erst später an, sich am Rande leicht auszuweiten. Dabei können die Trichter unter einem von der Mole ausgehenden Strahlungsdruck stehen, der jedoch durch den Widerstand in den Molein mehr oder weniger aufgehoben wird und nur zuweilen in der so unendlichen Molein beobachteten Beschleunigung sich äußert.

Es liegt nahe, bei den Novastellen an Vorgänge zu denken, die der Strahlung des Roten ausstrahlt und Fluoreszenz der Molein auch auf eine Beziehung Harmons,<sup>5)</sup> der bei seiner ersten Untersuchung des Spektrums des

Fluoreszentes die Vermutung ausgesprochen, daß möglicherweise eine Beziehung dieses Spektrums zum Spektrum der neuen Sterne bestehen könnte. Sowohl nach der Form der Hauptlinie des Emissionen als auch nach den gefundenen Wellenlängen zu schließen, kann eine solche Beziehung vorhanden sein.

Jedes Übertragen jedoch von selbst auch vollkommen ähnlichen Erscheinungen der Physik auf kosmische Verhältnisse und damit jedes Eingehen in Einzelheiten kann nur zu Vermutungen von nicht allzu hoher Natur führen.

## Vermischte Nachrichten.

Die charakteristischen Erscheinungen der Sonnenfleckenspektren. Harkner machen George E. Hale, Walter S. Adams und Henry G. Gale wertvolle Mitteilungen.<sup>6)</sup> Als charakteristische Eigenschaften der Spektren der Sonnenflecken treten besonders drei Punkte in den Vordergrund: 1. Die Tatsache, daß in dem Spektrum eines bestimmten Elementes einige Linien verstärkt, andere hingegen geschwächt sind und der Rest der Linien unverändert bleibt. 2. Daß alle verstärkten Linien im sichtbaren Spektrum liegen, keine im Ultraviolett vorhanden sind und daß sie im Rot, Gelb und Grün vorherrschen. 3. Daß der kontinuierliche Hintergrund des Flackmagelkranes in der weniger brechbaren Gegend relativ sehr intensiv ist. Außerdem weisen wir von den Spektren bei verschiedenen Temperaturen: 1. daß beim Übergang von einer hohen Temperatur zu einer tieferen manche Linien verstärkt werden, andere unverändert bleiben und noch andere an Intensität abnehmen; 2. daß die charakteristische Abnahme der Tempera-

ter begleitet ist von einer Zunahme der relativen Intensität der weniger brechbaren Linien und einer Verschärfung des Maximums des kontinuierlichen Spektrums nach dem Rot. Diese beiden Gruppen von Tatsachen entsprechen einander im allgemeinen so gut, daß sie miteinander in engster Beziehung gebracht und zur Erklärung der Spektren der Sonnenflecken die Hypothese aufgestellt wurde, daß in den Flecken der Ausdampfungs der niedrigeren Temperatur besteht als in der Photosphäre.

Zur Untersuchung dieser Hypothese lag ein reiches, zuverlässiges Material an Photographien der Sonnenfleckenspektren vor, das registriert wurde durch Laboratoriumsverfahren über die Spektren der Metalle Titan, Vanadium, Eisen, Chrom, Mangan, Kalium &c. in elektrischen Bogen einer starken elektrischen Stromes (20 Amp.) und einer schwachen (2 Amp.), sowie an abstrahierten Funken. Die Spektren wurden mit einem Gitterspektroskop hergestellt und photographisch fixiert. Die Vorläufer gehen nun zu der vorläufigen Untersuchung von Systemen von Tabellen der Spektren eines jenseits der eigentlichen Rot Emissionen von 2 500 bis ins Violet, die in den Sonnenflecken, in den bei

<sup>5)</sup> Physik. Zeitschrift 8, 574

<sup>6)</sup> Contributions from the Lick Observatory, No. 11; Naturwissenschaften, Band 1901, No. 24

den Bogen und im Punkte Verleiderungen zeigen beim Vergleich der Flammspalten mit jenen der Sonnenflecken und beim Übergang von dem einen zum andern Bogen oder Punkte.

In der ersten Reihe der Tabellen sind für jedes der genannten Metalle die Wellenlängen aller Linien gegeben, welche in dem Flamm hervorstechend hervortreten sind, die Größe der Verleiderungen, die Verhältnisse im Schwarzschiebtrahmen verglichen mit dem im Suchstrahl, und in Punkten im Vergleich zum Schwarzschiebtrahmen nach einer willkürlichen Skala von 1 bis 5. Die zweite Reihe der Tabellen besteht aus einer Vergleichung der Intensitäten derjenigen Linien dieser Elemente, die besonders vergrößert (enhanced) sind im Flamm, mit ihren Intensitäten im schwarzen Bogen.

Die Diskussion der in den Tabellen zusammengestellten Werte führt die Verf. zu nachstehend kurz zusammengefaßten Ergebnissen:

1. Diese Abhandlung enthält eine vorläufige Studie der wichtigsten Sonnenfleckenlinien in dem Spektralgebiet oberhalb  $\lambda$  5400, die dem Titan, Chrom, Eisen, Vanadium und Mangan zugehören — das für die Sonnenflecken charakteristischen Metalle. 2. Über 90% der Linien in unseren Tabellen, welche in den Sonnenflecken vorkommen, findet man noch verstärkt beim Übergang von einem 10 Amp.-Bogen zu einem 2 Amp.-Bogen. 3. Über 90% der Linien, die nach unseren Tabellen in den Sonnenflecken geschwächt erscheinen, sind schwächer oder fehlen im 2 Amp.-Bogen. 4. Über 90% aller vergrößerten Linien (im Flamm), die in unseren Tabellen vorkommen, sind schwach oder fehlen im dem 2 Amp.-Bogen. 5. In einer Reihe von 112 auf's Genaueste untersuchten Linien, wurde kein Fall von Linien gefunden, die im Schwarzschiebtrahmen oder in der Flamme verstärkt sind. 6. Wir sind noch nicht so weit, eine endgültige

Meinung auszusprechen, aber wir neigen zu der Ansicht, daß Temperaturunterschiede eine zutreffendere Erklärung der obigen Erscheinungen sind. Unsere Gründe für diese Ansicht können wie folgt zusammengefaßt werden: a) der Anstiegsindex des spektroskopischen Erweichens des Schwarzschiebtrahmens mit dem des spektrischen, einem Plasmabogen, der von Crow für eine niedrige Temperatur entsprechend gehalten wird, b) die wahrscheinliche Abnahme der Temperatur des Bogens mit abnehmender Stromstärke, c) das Verhalten der vergrößerten Linien in dem 2 Amp.-Bogen, d) das Vorkommen der Sonnenfleckenlinien in den roten Sternen.

In einem Bogen Zusatz zu ihrer Abhandlung geben die Verf. Daten über ihre weitere Untersuchungen der Frage, besprochen die Erwähnung, welche gegen die Temperaturhypothese erhoben werden konnten, und widrigen sie teilweise unter Hinweis auf die fernere Arbeit, von denen eine definitive Entscheidung erwartet werden muß.

Ein zweiter kleiner Planet der Jupitergruppe der Asteroiden wird von Dr. E. Brögger angegeben <sup>1)</sup> Er ist der von Kapf. in Heidelberg am 18. Febr. d. J. entdeckte Planet 1801 KM. Schon die erste vorläufige Berechnung der Bahn aus drei Beobachtungen zwischen Februar 18 und März 21 zeigte, daß die mittlere Bewegung dieses kleinen Planeten von der mittleren Bewegung des Jupiter nicht sehr verschieden ist. Die genauere Berechnung, welche E. Brögger angestellt hat, ergibt für die mittlere tägliche Bewegung 292.564", während die des Jupiter 296.128" beträgt. Die halbe große Achse der Bahn des kleinen Planeten ist, wenn die halbe große Achse der Erde = 1 gesetzt wird, = 1.2314, die der Jupiterbahn = 1.2025. Die Excentricität der Bahn des Planeten beträgt 0.00734, die der Jupiterbahn 0.04879. Die Distanz eines

<sup>1)</sup> Astron. Nachr., No. 4173.

zweiten Jupiter-nahen kleinen Planeten ist also irrtümlich. Die Bahnablenkung ist ziemlich groß, sie beträgt  $18^{\circ} 7' 17''$ , während die Jupiterbahn nur  $1^{\circ} 13' 51''$  gegen die Ebene der Erdbahn geneigt ist. «Die Entdeckung der zwei intermedien neuen Planeten 1898 TG und 1901 XM,» sagt Dr. Strömberg, «führt auch die Gedanken auf eine andere Frage, die ein großes Interesse beanspruchen darf. Haben wir hier nur mit einer abgeschlossenen Gruppe von Himmelskörpern zu tun, die durch Jupiter für lange Zeiten in der Nähe der Jupiterbahn festgehalten wurden, oder sind diese Körper dochungen als Vorboten zu einer Erweiterung des Systems der kleinen Planeten über die Jupiterregion hinaus aufzutreten? A priori ist ja diese letztere Möglichkeit nicht von der Hand zu weisen; das Sachverhalt mit den zur Verfügung stehenden großen Fernrohren wird wohl in nicht allzu ferner Zukunft die Antwort geben.»

**Neuer Kometen.** Am 1. Juni wurde von Geraschen zu Mainz ebenfalls ein Komet (1907 c) entdeckt. Er war 12. Größe, also äußerst lichtschwach und bewegte sich abwärts. Nach einer vorläufigen Bahnbestimmung hatte er am 30. Mai seine Perihelion erreicht und steht am 30. Juli in  $AR = 13^{\circ} 30'$ ,  $D = + 13^{\circ} 8'$ . Seine Helligkeit ist abnehmend.

Ein zweiter Komet (1907 d) wurde von Denai zu Princeton am 9. Juni entdeckt in  $AR = 23^{\circ} 49'$ ,  $D = - 1^{\circ} 48'$ . Er war schon in diesem kleinen Fernrohr sichtbar.

Die Berechnung vorläufiger Bahnen neuer entdeckter Kometen und Planeten. Prof. Edward C. Pele-

ring bemerkt in No. 128 des Harvard Observatory Circular, daß von ihm am 9. März d. J. also Samstag durch Geraschen entdeckter Kometen, am nächsten Donnerstag schon den beobachteten Bahnen in Cambridge topographisch mitgeteilt wurden und zur ersten Bahnbestimmung schon später veröffentlicht wurde. Diese vier Bahnbestimmungen waren wesentlich die nämlichen, da sie alle auf ungenügend genauen Beobachtungen beruhten. Es handelt sich daher, wie Prof. Pele-ring sagt, um eine natürliche Verknüpfung der Beobachtungsergebnisse und während diese bei Kometenbahnen oft zu Tage tritt, wurde die Bahnbestimmung der zwei entdeckten kleinen Planeten nicht in gleicher Weise gestützt. Es ist zu wünschen, daß irgend ein Amateurnachgefolger werden könnte der Forscher, um dem abzuhelfen. «Das Interesse an einem Kometen,» schließt Prof. E. Pele-ring, «ist im allgemeinen nur ein vorübergehendes, während die Erregung der Geschäftseligheiten in der Bewegung von kleinen Planeten wie Kometen oder Planeten TG von größtem, dauerndem Werte sind.»

**Fernrohren für Freunde der Himmelsbeobachtung.** Aus der Leerkarte des «Fern» sind nur selten größere und kleinere sehr gut erhalten Fernrohren zum Verkauf angeboten worden. Freunden der Himmelsbeobachtung, welche die Anschaffung eines solchen Instruments beabsichtigen, und sich darüber an sich wenden, im ich zu jeder gewünschten Auskunft gern bereit. Prof. Dr. Klein

# Astronomischer Kalender für den Monat September 1907.

Sommer				Winter			
Mittlere Berliner Mittag				Mittlere Berliner Mittag			
Tag	Zeitg. M.L. — W.L.	Tagessumme	Einzelstunden	Tagessumme	Einzelstunden	Monat im Meridian	
1	14.50	10.39.3	+	14.50	10.39.3	10.41.6	
2	14.50	10.39.3	+	14.50	10.39.3	10.41.6	
3	14.50	10.39.3	+	14.50	10.39.3	10.41.6	
4	14.50	10.39.3	+	14.50	10.39.3	10.41.6	
5	14.50	10.39.3	+	14.50	10.39.3	10.41.6	
6	14.50	10.39.3	+	14.50	10.39.3	10.41.6	
7	14.50	10.39.3	+	14.50	10.39.3	10.41.6	
8	14.50	10.39.3	+	14.50	10.39.3	10.41.6	
9	14.50	10.39.3	+	14.50	10.39.3	10.41.6	
10	14.50	10.39.3	+	14.50	10.39.3	10.41.6	
11	14.50	10.39.3	+	14.50	10.39.3	10.41.6	
12	14.50	10.39.3	+	14.50	10.39.3	10.41.6	
13	14.50	10.39.3	+	14.50	10.39.3	10.41.6	
14	14.50	10.39.3	+	14.50	10.39.3	10.41.6	
15	14.50	10.39.3	+	14.50	10.39.3	10.41.6	
16	14.50	10.39.3	+	14.50	10.39.3	10.41.6	
17	14.50	10.39.3	+	14.50	10.39.3	10.41.6	
18	14.50	10.39.3	+	14.50	10.39.3	10.41.6	
19	14.50	10.39.3	+	14.50	10.39.3	10.41.6	
20	14.50	10.39.3	+	14.50	10.39.3	10.41.6	
21	14.50	10.39.3	+	14.50	10.39.3	10.41.6	
22	14.50	10.39.3	+	14.50	10.39.3	10.41.6	
23	14.50	10.39.3	+	14.50	10.39.3	10.41.6	
24	14.50	10.39.3	+	14.50	10.39.3	10.41.6	
25	14.50	10.39.3	+	14.50	10.39.3	10.41.6	
26	14.50	10.39.3	+	14.50	10.39.3	10.41.6	
27	14.50	10.39.3	+	14.50	10.39.3	10.41.6	
28	14.50	10.39.3	+	14.50	10.39.3	10.41.6	
29	14.50	10.39.3	+	14.50	10.39.3	10.41.6	
30	14.50	10.39.3	+	14.50	10.39.3	10.41.6	

## Planetenkonstellationen 1907

Tag	Zeitg. M.L. — W.L.	Tagessumme	Einzelstunden	Tagessumme	Einzelstunden	Monat im Meridian	
1	14.50	10.39.3	+	14.50	10.39.3	10.41.6	
2	14.50	10.39.3	+	14.50	10.39.3	10.41.6	
3	14.50	10.39.3	+	14.50	10.39.3	10.41.6	
4	14.50	10.39.3	+	14.50	10.39.3	10.41.6	
5	14.50	10.39.3	+	14.50	10.39.3	10.41.6	
6	14.50	10.39.3	+	14.50	10.39.3	10.41.6	
7	14.50	10.39.3	+	14.50	10.39.3	10.41.6	
8	14.50	10.39.3	+	14.50	10.39.3	10.41.6	
9	14.50	10.39.3	+	14.50	10.39.3	10.41.6	
10	14.50	10.39.3	+	14.50	10.39.3	10.41.6	
11	14.50	10.39.3	+	14.50	10.39.3	10.41.6	
12	14.50	10.39.3	+	14.50	10.39.3	10.41.6	
13	14.50	10.39.3	+	14.50	10.39.3	10.41.6	
14	14.50	10.39.3	+	14.50	10.39.3	10.41.6	
15	14.50	10.39.3	+	14.50	10.39.3	10.41.6	
16	14.50	10.39.3	+	14.50	10.39.3	10.41.6	
17	14.50	10.39.3	+	14.50	10.39.3	10.41.6	
18	14.50	10.39.3	+	14.50	10.39.3	10.41.6	
19	14.50	10.39.3	+	14.50	10.39.3	10.41.6	
20	14.50	10.39.3	+	14.50	10.39.3	10.41.6	
21	14.50	10.39.3	+	14.50	10.39.3	10.41.6	
22	14.50	10.39.3	+	14.50	10.39.3	10.41.6	
23	14.50	10.39.3	+	14.50	10.39.3	10.41.6	
24	14.50	10.39.3	+	14.50	10.39.3	10.41.6	
25	14.50	10.39.3	+	14.50	10.39.3	10.41.6	
26	14.50	10.39.3	+	14.50	10.39.3	10.41.6	
27	14.50	10.39.3	+	14.50	10.39.3	10.41.6	
28	14.50	10.39.3	+	14.50	10.39.3	10.41.6	
29	14.50	10.39.3	+	14.50	10.39.3	10.41.6	
30	14.50	10.39.3	+	14.50	10.39.3	10.41.6	

Planeten- Ephemeriden.

Mittlere Berliner Mittag							Mittlere Berliner Mittag							
Jahr Tag	Rektascension			Declination			Jahr Tag	Rektascension			Declination			
	h	m	s	°	'	"		h	m	s	°	'	"	
Merkur							Saturn							
Sept. 8	10	40	10 05	+	0 11	17 5	11	10	10	40	10 00	—	4 00	10 5
10	10	41	10 04	+	0 10	20 5	12	10	41	10 00	—	4 00	8 5	
15	10	42	10 03	+	0 10	24 7	20	10	42	10 00	—	4 00	10 5	
20	10	43	10 02	—	0 09	27 5								
25	10	44	10 01	—	0 08	30 5								
30	10	45	10 00	—	0 07	33 5								
				—	0 06	36 5								
Venus							Uranus							
Sept. 8	10	46	10 00	+	0 10	00 5	10	46	10 00	—	0 01	40 1	7 20	
10	10	47	10 00	+	0 09	03 5	15	47	10 00	—	0 01	40 7	0 40	
15	10	48	10 00	+	0 08	06 5	20	48	10 00	—	0 01	40 3	0 40	
20	10	49	10 00	+	0 07	09 5								
25	10	50	10 00	—	0 06	12 5								
30	10	51	10 00	—	0 05	15 5								
				—	0 04	18 5								
Mars							Neptun							
Sept. 8	10	52	10 12	—	0 05	12 5	10	52	10 12	+ 0 00	00 5	10 50		
10	10	53	10 12	—	0 04	15 5	15	53	10 12	+ 0 00	00 5	10 50		
15	10	54	10 12	—	0 03	18 5	20	54	10 12	+ 0 00	00 5	10 50		
20	10	55	10 12	—	0 02	21 5								
25	10	56	10 12	—	0 01	24 5								
30	10	57	10 12	—	0 00	27 5								
				—	0 00	30 5								
Jupiter							Mikroskopische Planeten							
Sept. 8	0	17	11 30	+	0 00	10 5	10	17	11 30	—	0 01	10 5	10 10	
10	0	18	11 30	+	0 00	10 5	15	18	11 30	—	0 01	10 5	10 10	
15	0	19	11 30	+	0 00	10 5	20	19	11 30	—	0 01	10 5	10 10	
20	0	20	11 30	+	0 00	10 5								
25	0	21	11 30	+	0 00	10 5								
30	0	22	11 30	+	0 00	10 5								

Sternbedeckungen durch den Mond für Berlin 1907.

Abendung	Stern	Ort	Mond		Anfang	
			h	m	h	m
Sept. 10	α Aquila	10 10	10	10 0	10	10 0
11	β Pegasus	10 10	10	10 0	10	10 0
12	γ Cass	10 10	10	10 0	10	10 0
13	δ Taur	10 10	10	10 0	10	10 0

Lage und Größe des Saturnrings

Sept. 1. Größe Azimut der Ringfläche: 10 10; Länge Azimut: 10 10; Höhe Azimut: 10 10; Höhe Azimut: 10 10.

Sept. 1. Mittlere Größe des Saturnrings	10 10 10 10
„ „ „ „ „ „	10 10 10 10
„ „ „ „ „ „	10 10 10 10
„ „ „ „ „ „	10 10 10 10

# Stellungen der Jupitermonde im September 1897.



Stellungen am 22<sup>ten</sup> Sept. für den Anblick im astronomischen Fernrohr.

Tag	West.	Ost.
1	1 2 3 4	1 2 3 4
2	1 2 3 4	1 2 3 4
3	1 2 3 4	1 2 3 4
4	1 2 3 4	1 2 3 4
5	1 2 3 4	1 2 3 4
6	1 2 3 4	1 2 3 4
7	1 2 3 4	1 2 3 4
8	1 2 3 4	1 2 3 4
9	1 2 3 4	1 2 3 4
10	1 2 3 4	1 2 3 4
11	1 2 3 4	1 2 3 4
12	1 2 3 4	1 2 3 4
13	1 2 3 4	1 2 3 4
14	1 2 3 4	1 2 3 4
15	1 2 3 4	1 2 3 4
16	1 2 3 4	1 2 3 4
17	1 2 3 4	1 2 3 4
18	1 2 3 4	1 2 3 4
19	1 2 3 4	1 2 3 4
20	1 2 3 4	1 2 3 4
21	1 2 3 4	1 2 3 4
22	1 2 3 4	1 2 3 4
23	1 2 3 4	1 2 3 4
24	1 2 3 4	1 2 3 4
25	1 2 3 4	1 2 3 4
26	1 2 3 4	1 2 3 4
27	1 2 3 4	1 2 3 4
28	1 2 3 4	1 2 3 4
29	1 2 3 4	1 2 3 4
30	1 2 3 4	1 2 3 4



**Erhebungen der Jupitermonde.** Die ältesten Angaben über die Erscheinungen der Jupitermonde beziehen sich auf mehrere Tausend von Greenwich. Das Teleskop war der Sechshöfche eines Ablasses vom Jupiter nach mit I bis IV bes. zeichnen. Die vier größten Figuren zeigen die Stellung jeder Monate mit Bezug auf den Jupiter für den Anfang der Vorherrschaft (4) oder der Wiedererscheinung 17. Ist r nicht angegeben, so kann der Anfang von dem Schenken nicht bestimmt werden. Folgt bedeutet bei den nachfolgenden Zeichnungen:

- Es D das Verschwinden des Teleskops am Schenken des Jupiter
- Es R das Ansehen des Teleskops aus dem Schenken des Jupiter
- Es D das Verschwinden des Teleskops hinter der Jupitersehne
- Es R das Wiedererscheinen desselben neben der Jupitersehne
- Tr I den Eintritt des Teleskops von der Jupitersehne
- Tr E den Austritt des Teleskops von der Jupitersehne
- St I den Eintritt des Teleskopschiffes auf der Jupitersehne
- St E den Austritt des Teleskopschiffes aus der Jupitersehne.

Es sind nur diejenigen Erscheinungen der Jupitermonde angegeben, welche sich ergiebt, wenn Jupiter in Greenwich über und die Sonne unter dem Horizont steht. Um die Monate dieser Erscheinungen nach astronomischer Zeit zu finden, hat man nur nötig, 1<sup>te</sup> zu den angegebenen Epochen zu addieren.

September 8. II. Es. D 12<sup>h</sup> 44<sup>m</sup> 10<sup>s</sup>. I. Es. D 12<sup>h</sup> 44<sup>m</sup> 10<sup>s</sup>. September 9. I. St. I. 14<sup>h</sup> 30<sup>m</sup>. IV. St. I. 14<sup>h</sup> 30<sup>m</sup>. I. Tr. I. 14<sup>h</sup> 30<sup>m</sup>. II. St. E. 14<sup>h</sup> 30<sup>m</sup>. September 10. I. Co. R. 14<sup>h</sup> 30<sup>m</sup>. September 11. III. Es. D 14<sup>h</sup> 34<sup>m</sup> 41<sup>s</sup>. September 12. II. Es. D 14<sup>h</sup> 34<sup>m</sup> 41<sup>s</sup>. September 13. I. St. I. 14<sup>h</sup> 34<sup>m</sup> 41<sup>s</sup>. I. Tr. I. 14<sup>h</sup> 34<sup>m</sup> 41<sup>s</sup>. September 14. I. St. I. 14<sup>h</sup> 34<sup>m</sup> 41<sup>s</sup>. II. Tr. E. 14<sup>h</sup> 34<sup>m</sup> 41<sup>s</sup>. I. Co. R. 14<sup>h</sup> 34<sup>m</sup> 41<sup>s</sup>. September 15. IV. Co. R. 14<sup>h</sup> 34<sup>m</sup> 41<sup>s</sup>. I. Tr. E. 14<sup>h</sup> 34<sup>m</sup> 41<sup>s</sup>. September 16. I. St. I. 14<sup>h</sup> 34<sup>m</sup> 41<sup>s</sup>. II. St. E. 14<sup>h</sup> 34<sup>m</sup> 41<sup>s</sup>. September 17. I. Tr. E. 14<sup>h</sup> 34<sup>m</sup> 41<sup>s</sup>. September 18. I. Co. R. 14<sup>h</sup> 34<sup>m</sup> 41<sup>s</sup>. I. Tr. E. 14<sup>h</sup> 34<sup>m</sup> 41<sup>s</sup>. September 19. I. St. I. 14<sup>h</sup> 34<sup>m</sup> 41<sup>s</sup>. I. Tr. E. 14<sup>h</sup> 34<sup>m</sup> 41<sup>s</sup>. September 20. I. St. I. 14<sup>h</sup> 34<sup>m</sup> 41<sup>s</sup>. I. Tr. E. 14<sup>h</sup> 34<sup>m</sup> 41<sup>s</sup>. September 21. I. St. I. 14<sup>h</sup> 34<sup>m</sup> 41<sup>s</sup>. I. Tr. E. 14<sup>h</sup> 34<sup>m</sup> 41<sup>s</sup>. September 22. I. St. I. 14<sup>h</sup> 34<sup>m</sup> 41<sup>s</sup>. I. Tr. E. 14<sup>h</sup> 34<sup>m</sup> 41<sup>s</sup>. September 23. I. St. I. 14<sup>h</sup> 34<sup>m</sup> 41<sup>s</sup>. I. Tr. E. 14<sup>h</sup> 34<sup>m</sup> 41<sup>s</sup>. September 24. I. St. I. 14<sup>h</sup> 34<sup>m</sup> 41<sup>s</sup>. I. Tr. E. 14<sup>h</sup> 34<sup>m</sup> 41<sup>s</sup>. September 25. I. St. I. 14<sup>h</sup> 34<sup>m</sup> 41<sup>s</sup>. I. Tr. E. 14<sup>h</sup> 34<sup>m</sup> 41<sup>s</sup>. September 26. I. St. I. 14<sup>h</sup> 34<sup>m</sup> 41<sup>s</sup>. I. Tr. E. 14<sup>h</sup> 34<sup>m</sup> 41<sup>s</sup>. September 27. I. St. I. 14<sup>h</sup> 34<sup>m</sup> 41<sup>s</sup>. I. Tr. E. 14<sup>h</sup> 34<sup>m</sup> 41<sup>s</sup>. September 28. I. St. I. 14<sup>h</sup> 34<sup>m</sup> 41<sup>s</sup>. I. Tr. E. 14<sup>h</sup> 34<sup>m</sup> 41<sup>s</sup>. September 29. I. St. I. 14<sup>h</sup> 34<sup>m</sup> 41<sup>s</sup>. I. Tr. E. 14<sup>h</sup> 34<sup>m</sup> 41<sup>s</sup>. September 30. I. St. I. 14<sup>h</sup> 34<sup>m</sup> 41<sup>s</sup>. I. Tr. E. 14<sup>h</sup> 34<sup>m</sup> 41<sup>s</sup>.

## Stellungen der Saturnmonde. (Erklärung S. 283)

Orten der sichtbaren Elongation im September 1907.

**Tethys.** September 1 10<sup>h</sup> 10<sup>m</sup>, September 2 10<sup>h</sup> 10<sup>m</sup>, September 3 10<sup>h</sup> 10<sup>m</sup>, September 4 10<sup>h</sup> 10<sup>m</sup>, September 5 10<sup>h</sup> 10<sup>m</sup>, September 6 10<sup>h</sup> 10<sup>m</sup>, September 7 10<sup>h</sup> 10<sup>m</sup>, September 8 10<sup>h</sup> 10<sup>m</sup>, September 9 10<sup>h</sup> 10<sup>m</sup>, September 10 10<sup>h</sup> 10<sup>m</sup>, September 11 10<sup>h</sup> 10<sup>m</sup>, September 12 10<sup>h</sup> 10<sup>m</sup>, September 13 10<sup>h</sup> 10<sup>m</sup>, September 14 10<sup>h</sup> 10<sup>m</sup>, September 15 10<sup>h</sup> 10<sup>m</sup>, September 16 10<sup>h</sup> 10<sup>m</sup>, September 17 10<sup>h</sup> 10<sup>m</sup>, September 18 10<sup>h</sup> 10<sup>m</sup>, September 19 10<sup>h</sup> 10<sup>m</sup>, September 20 10<sup>h</sup> 10<sup>m</sup>, September 21 10<sup>h</sup> 10<sup>m</sup>, September 22 10<sup>h</sup> 10<sup>m</sup>, September 23 10<sup>h</sup> 10<sup>m</sup>, September 24 10<sup>h</sup> 10<sup>m</sup>, September 25 10<sup>h</sup> 10<sup>m</sup>, September 26 10<sup>h</sup> 10<sup>m</sup>, September 27 10<sup>h</sup> 10<sup>m</sup>, September 28 10<sup>h</sup> 10<sup>m</sup>, September 29 10<sup>h</sup> 10<sup>m</sup>, September 30 10<sup>h</sup> 10<sup>m</sup>.

**Mimas.** September 1 10<sup>h</sup> 10<sup>m</sup>, September 2 10<sup>h</sup> 10<sup>m</sup>, September 3 10<sup>h</sup> 10<sup>m</sup>, September 4 10<sup>h</sup> 10<sup>m</sup>, September 5 10<sup>h</sup> 10<sup>m</sup>, September 6 10<sup>h</sup> 10<sup>m</sup>, September 7 10<sup>h</sup> 10<sup>m</sup>, September 8 10<sup>h</sup> 10<sup>m</sup>, September 9 10<sup>h</sup> 10<sup>m</sup>, September 10 10<sup>h</sup> 10<sup>m</sup>, September 11 10<sup>h</sup> 10<sup>m</sup>, September 12 10<sup>h</sup> 10<sup>m</sup>, September 13 10<sup>h</sup> 10<sup>m</sup>, September 14 10<sup>h</sup> 10<sup>m</sup>, September 15 10<sup>h</sup> 10<sup>m</sup>, September 16 10<sup>h</sup> 10<sup>m</sup>, September 17 10<sup>h</sup> 10<sup>m</sup>, September 18 10<sup>h</sup> 10<sup>m</sup>, September 19 10<sup>h</sup> 10<sup>m</sup>, September 20 10<sup>h</sup> 10<sup>m</sup>, September 21 10<sup>h</sup> 10<sup>m</sup>, September 22 10<sup>h</sup> 10<sup>m</sup>, September 23 10<sup>h</sup> 10<sup>m</sup>, September 24 10<sup>h</sup> 10<sup>m</sup>, September 25 10<sup>h</sup> 10<sup>m</sup>, September 26 10<sup>h</sup> 10<sup>m</sup>, September 27 10<sup>h</sup> 10<sup>m</sup>, September 28 10<sup>h</sup> 10<sup>m</sup>, September 29 10<sup>h</sup> 10<sup>m</sup>, September 30 10<sup>h</sup> 10<sup>m</sup>.

**Encke.** September 1 10<sup>h</sup> 10<sup>m</sup>, September 2 10<sup>h</sup> 10<sup>m</sup>, September 3 10<sup>h</sup> 10<sup>m</sup>, September 4 10<sup>h</sup> 10<sup>m</sup>, September 5 10<sup>h</sup> 10<sup>m</sup>, September 6 10<sup>h</sup> 10<sup>m</sup>, September 7 10<sup>h</sup> 10<sup>m</sup>, September 8 10<sup>h</sup> 10<sup>m</sup>, September 9 10<sup>h</sup> 10<sup>m</sup>, September 10 10<sup>h</sup> 10<sup>m</sup>, September 11 10<sup>h</sup> 10<sup>m</sup>, September 12 10<sup>h</sup> 10<sup>m</sup>, September 13 10<sup>h</sup> 10<sup>m</sup>, September 14 10<sup>h</sup> 10<sup>m</sup>, September 15 10<sup>h</sup> 10<sup>m</sup>, September 16 10<sup>h</sup> 10<sup>m</sup>, September 17 10<sup>h</sup> 10<sup>m</sup>, September 18 10<sup>h</sup> 10<sup>m</sup>, September 19 10<sup>h</sup> 10<sup>m</sup>, September 20 10<sup>h</sup> 10<sup>m</sup>, September 21 10<sup>h</sup> 10<sup>m</sup>, September 22 10<sup>h</sup> 10<sup>m</sup>, September 23 10<sup>h</sup> 10<sup>m</sup>, September 24 10<sup>h</sup> 10<sup>m</sup>, September 25 10<sup>h</sup> 10<sup>m</sup>, September 26 10<sup>h</sup> 10<sup>m</sup>, September 27 10<sup>h</sup> 10<sup>m</sup>, September 28 10<sup>h</sup> 10<sup>m</sup>, September 29 10<sup>h</sup> 10<sup>m</sup>, September 30 10<sup>h</sup> 10<sup>m</sup>.

**Titan.** September 1 10<sup>h</sup> 10<sup>m</sup>, September 2 10<sup>h</sup> 10<sup>m</sup>, September 3 10<sup>h</sup> 10<sup>m</sup>, September 4 10<sup>h</sup> 10<sup>m</sup>, September 5 10<sup>h</sup> 10<sup>m</sup>, September 6 10<sup>h</sup> 10<sup>m</sup>, September 7 10<sup>h</sup> 10<sup>m</sup>, September 8 10<sup>h</sup> 10<sup>m</sup>, September 9 10<sup>h</sup> 10<sup>m</sup>, September 10 10<sup>h</sup> 10<sup>m</sup>, September 11 10<sup>h</sup> 10<sup>m</sup>, September 12 10<sup>h</sup> 10<sup>m</sup>, September 13 10<sup>h</sup> 10<sup>m</sup>, September 14 10<sup>h</sup> 10<sup>m</sup>, September 15 10<sup>h</sup> 10<sup>m</sup>, September 16 10<sup>h</sup> 10<sup>m</sup>, September 17 10<sup>h</sup> 10<sup>m</sup>, September 18 10<sup>h</sup> 10<sup>m</sup>, September 19 10<sup>h</sup> 10<sup>m</sup>, September 20 10<sup>h</sup> 10<sup>m</sup>, September 21 10<sup>h</sup> 10<sup>m</sup>, September 22 10<sup>h</sup> 10<sup>m</sup>, September 23 10<sup>h</sup> 10<sup>m</sup>, September 24 10<sup>h</sup> 10<sup>m</sup>, September 25 10<sup>h</sup> 10<sup>m</sup>, September 26 10<sup>h</sup> 10<sup>m</sup>, September 27 10<sup>h</sup> 10<sup>m</sup>, September 28 10<sup>h</sup> 10<sup>m</sup>, September 29 10<sup>h</sup> 10<sup>m</sup>, September 30 10<sup>h</sup> 10<sup>m</sup>.

**Hyperion.** September 1 10<sup>h</sup> 10<sup>m</sup>, September 2 10<sup>h</sup> 10<sup>m</sup>, September 3 10<sup>h</sup> 10<sup>m</sup>, September 4 10<sup>h</sup> 10<sup>m</sup>, September 5 10<sup>h</sup> 10<sup>m</sup>, September 6 10<sup>h</sup> 10<sup>m</sup>, September 7 10<sup>h</sup> 10<sup>m</sup>, September 8 10<sup>h</sup> 10<sup>m</sup>, September 9 10<sup>h</sup> 10<sup>m</sup>, September 10 10<sup>h</sup> 10<sup>m</sup>, September 11 10<sup>h</sup> 10<sup>m</sup>, September 12 10<sup>h</sup> 10<sup>m</sup>, September 13 10<sup>h</sup> 10<sup>m</sup>, September 14 10<sup>h</sup> 10<sup>m</sup>, September 15 10<sup>h</sup> 10<sup>m</sup>, September 16 10<sup>h</sup> 10<sup>m</sup>, September 17 10<sup>h</sup> 10<sup>m</sup>, September 18 10<sup>h</sup> 10<sup>m</sup>, September 19 10<sup>h</sup> 10<sup>m</sup>, September 20 10<sup>h</sup> 10<sup>m</sup>, September 21 10<sup>h</sup> 10<sup>m</sup>, September 22 10<sup>h</sup> 10<sup>m</sup>, September 23 10<sup>h</sup> 10<sup>m</sup>, September 24 10<sup>h</sup> 10<sup>m</sup>, September 25 10<sup>h</sup> 10<sup>m</sup>, September 26 10<sup>h</sup> 10<sup>m</sup>, September 27 10<sup>h</sup> 10<sup>m</sup>, September 28 10<sup>h</sup> 10<sup>m</sup>, September 29 10<sup>h</sup> 10<sup>m</sup>, September 30 10<sup>h</sup> 10<sup>m</sup>.



**SIRIUS.**

Zeitschrift für populäre Astronomie

**Controllingen für alle Freunde und Förderer der Heimatlands**

1000

und der Bildung von Interkomplexen. Es wird eine Reihe von Beispielen für die Bildung von Interkomplexen gegeben, die in der Literatur beschrieben sind.

**How Fast the Maximum Is Reached in 1000**

JUNE 2017

„Wissen und Erleben sind die Freunde und die  
Bauherrn der Menschheit.“

Location	Altitude	Latitude	Longitude
London, England	10 m	51° 30' N	0° 07' W
Paris, France	30 m	48° 50' N	2° 20' E
Rome, Italy	20 m	41° 54' N	12° 29' E
Madrid, Spain	660 m	40° 41' N	3° 40' W
Barcelona, Spain	10 m	41° 38' N	2° 15' E
Valencia, Spain	10 m	39° 45' N	0° 45' W
Seville, Spain	530 m	37° 37' N	5° 50' W
Granada, Spain	1000 m	37° 17' N	3° 41' W
Almería, Spain	10 m	36° 47' N	2° 07' W
Málaga, Spain	10 m	36° 47' N	4° 43' W
Cádiz, Spain	10 m	36° 07' N	6° 07' W
Algeciras, Spain	10 m	35° 50' N	5° 25' W
Algiers, Algeria	10 m	36° 47' N	3° 07' W
Tripoli, Libya	10 m	32° 53' N	13° 07' E
Beirut, Lebanon	10 m	33° 53' N	15° 07' E
Damascus, Syria	10 m	33° 28' N	35° 31' E
Tel Aviv, Israel	10 m	32° 04' N	34° 48' E
Jerusalem, Israel	750 m	31° 47' N	34° 58' E
Amman, Jordan	750 m	31° 47' N	35° 58' E
Riyadh, Saudi Arabia	1000 m	24° 45' N	46° 40' E
Dhaka, Bangladesh	10 m	23° 43' N	90° 23' E
Calcutta, India	10 m	22° 32' N	88° 26' E
Delhi, India	200 m	28° 40' N	77° 02' E
Jaipur, India	400 m	26° 48' N	75° 47' E
Bombay, India	10 m	18° 58' N	72° 54' E
Madras, India	10 m	13° 08' N	79° 58' E
Chennai, India	10 m	13° 08' N	80° 17' E
Colombo, Sri Lanka	10 m	7° 08' N	80° 27' E
Thimphu, Bhutan	2300 m	27° 28' N	89° 20' E
Lhasa, Tibet	3650 m	29° 36' N	89° 08' E
Yamoussoukro, Ivory Coast	10 m	6° 47' N	5° 00' W
Accra, Ghana	10 m	5° 45' N	0° 07' W
Nairobi, Kenya	1800 m	1° 17' S	36° 50' E
Harare, Zimbabwe	1500 m	17° 05' S	30° 55' E
Windhoek, Namibia	1000 m	22° 55' S	17° 00' E
Windhoek, Botswana	1000 m	22° 55' S	17° 00' E
Windhoek, South Africa	1000 m	22° 55' S	17° 00' E
Windhoek, Lesotho	1000 m	22° 55' S	17° 00' E
Windhoek, Swaziland	1000 m	22° 55' S	17° 00' E
Windhoek, Mozambique	1000 m	22° 55' S	17° 00' E
Windhoek, Malawi	1000 m	22° 55' S	17° 00' E
Windhoek, Zambia	1000 m	22° 55' S	17° 00' E
Windhoek, Zimbabwe	1000 m	22° 55' S	17° 00' E
Windhoek, Botswana	1000 m	22° 55' S	17° 00' E
Windhoek, Namibia	1000 m	22° 55' S	17° 00' E
Windhoek, South Africa	1000 m	22° 55' S	17° 00' E
Windhoek, Lesotho	1000 m	22° 55' S	17° 00' E
Windhoek, Swaziland	1000 m	22° 55' S	17° 00' E
Windhoek, Mozambique	1000 m	22° 55' S	17° 00' E
Windhoek, Malawi	1000 m	22° 55' S	17° 00' E
Windhoek, Zambia	1000 m	22° 55' S	17° 00' E
Windhoek, Zimbabwe	1000 m	22° 55' S	17° 00' E
Windhoek, Botswana	1000 m	22° 55' S	17° 00' E
Windhoek, Namibia	1000 m	22° 55' S	17° 00' E
Windhoek, South Africa	1000 m	22° 55' S	17° 00' E
Windhoek, Lesotho	1000 m	22° 55' S	17° 00' E
Windhoek, Swaziland	1000 m	22° 55' S	17° 00' E
Windhoek, Mozambique	1000 m	22° 55' S	17° 00' E
Windhoek, Malawi	1000 m	22° 55' S	17° 00' E
Windhoek, Zambia	1000 m	22° 55' S	17° 00' E
Windhoek, Zimbabwe	1000 m	22° 55' S	17° 00' E
Windhoek, Botswana	1000 m	22° 55' S	17° 00' E
Windhoek, Namibia	1000 m	22° 55' S	17° 00' E
Windhoek, South Africa	1000 m	22° 55' S	17° 00' E
Windhoek, Lesotho	1000 m	22° 55' S	17° 00' E
Windhoek, Swaziland	1000 m	22° 55' S	17° 00' E
Windhoek, Mozambique	1000 m	22° 55' S	17° 00' E
Windhoek, Malawi	1000 m	22° 55' S	17° 00' E
Windhoek, Zambia	1000 m	22° 55' S	17° 00' E
Windhoek, Zimbabwe	1000 m	22° 55' S	17° 00' E
Windhoek, Botswana	1000 m	22° 55' S	17° 00' E
Windhoek, Namibia	1000 m	22° 55' S	17° 00' E
Windhoek, South Africa	1000 m	22° 55' S	

Verlag von EDUARD HEINRICH MEYER in Leipzig.

**INHALT:** Das Problem der Weltentwicklung. S. 107 — Die Kreisbewegungen des Jahres 1982. S. 179 — Christa Majum wiegen den Metallblock. (Hanns Jald (K.)) S. 142. — Sonett des Mondes. S. 184. — Astronomischer Kalender. S. 149. — Lösungen der Jupitermonde S. 161 — Berechnungen der Jupitermonde. S. 164. — Lösungen der Saturnmonde. S. 167.

## Das Problem der Weltentwicklung

**K**osmologische Fragen haben von jeher das Interesse anderer Menschen angeregt. Die meisten Philosophen sind nichts anderes als Spezialisten oder Philosophen kosmologischer Art und die Antwort, die sich in ihnen ausdrückt, ist weniger zufällig, wenn man bedenkt, daß nur 25 Jahrhunderte dahinschwanden, ehe die Arbeiten Newtons das Fundament legten, auf dem die wirklicher Bau zukünftig möglich erschien. Auch dann kam es zunächst nur zu kleinen Fortschritten und Ausbesserung von Möglichkeiten, bis endlich die Kunst der Darstellung des Ganzen der Erde entstand, worin die phantastischen Ideen von Winden, Stoffen und Feuerwelt lebendige Realität fanden. Der als Mathematiker wirkte vorzüglich in engem Kontakt mit, und dem, dessen Philosophie über die

**Bildung des Sonnensystems:** Lange Zeit unverständliches Rätsel. Erst mit Laplace, der in wenigen Sätzen die Entstehungsgeschichte unseres Sonnensystems schilderte, so wie die damals nach dem Stande der Wissenschaft möglich erschien, traten die kosmogonischen Spekulationen auf einen verhältnismäßig sicheren Boden. Die Fachbegeisterten, die Ptolemaeer, hielten sich heftig noch Jahrzehnte hindurch verständig von dem Betreten desselben zurück und betrachteten die Laplace'sche Planetenbildungstheorie doch mehr als ein Spiel der Phantasie, dem sich der Schöpfer gesonnen habe wie zur Erklärung von den schiedlichsten mathematischen Unternehmungen, die sein Richter (Bos) wisse, hinzugeben habe. Auch von Wilhelm Herschel wird ausgesprochen: Forschungen über die Ent-

wicklung von Sternen aus formlosen Wolkenstoff, wurde nicht gesprochen, da man damals noch gar nicht oder beinahe gar nicht auf der Seite der Forschungsgläubigen das geordnete Astronomische, als seine schwache Seite kannte. Am meisten haben im vorigen Jahrhundert zur Verbreitung kosmogonischer Ideen die Geologen beigetragen, denn durch Untersuchungen, sobald sie größere Geschicknisse umfassen, führen notwendig auf frühere Erdstadien zurück und damit zuletzt auf die Frage nach der Entstehungsweise unserer Planeten, die ja und für sich nicht von denjenigen der übrigen Planeten zu trennen ist. Diesen Geologen kam die Laplace'sche Hypothese sehr zu statten und sie wurde nach und nach, unter Berücksichtigung ihrer hypothetischen Grundlage, als eine Wahrheit betrachtet, für welche die geologischen Verhältnisse der Erde einen sichern Beleg bildeten. Die wahre Stütze der Laplace'schen Hypothese lag jedoch in einem andern Ort als da, wo man zu suchen und zu finden suchte, dass Hypothese, oder wie man sie mit Vorliebe bezeichnet, diese Theorie, war keineswegs mechanischen Betrachtungen entzogen, sondern von Laplace auf Grundlage der Anwendung des Wahrscheinlichkeitsbegriffs aufgestellt worden. Es war das mathematische Gewäch, welches die große Anzahl übereinstimmender Bewegungen im Sonnensystem für die Annahme einer gemeinsamen Ursache derselben in der Wagnerschule war, welches auf diese Hypothese geleitet hat und dieses ist nach heute noch groß genug, um den Gedanken einer gemeinsamen Entstehung der Sonne und aller Körper ihres Systems als zutreffend erscheinen zu lassen. Die ursprüngliche Vorstellung der Art und Weise des Vorganges, wie sie Laplace gegeben, ist aber nicht mehr zu haben und darf, als ein schwermächtigendes Keilwerk angesehen, beseitigt werden. Unter den neuesten Bearbeitungen des kosmogonischen Problems ist diejenige von Prof. Brün-

necke besonders beachtenswert. Sie ist unübertroffen in deutscher Übersetzung erschienen<sup>1)</sup> und der Verf. hat in derselben, wie er selbst sagt, so sehr versucht, wie Nebelwolke aus Sonnenresten entstehen können und umgekehrt, wie Sonnen aus Nebelwolken entstehen, wobei die Annahme stattfindet, daß eine Wechselwirkung ständig vor sich gegangen ist, gerade wie jetzt. Arrhenius gehört schon den Anhängern des reinen Kosmos der Evolution im Weltall, im Gegensatz zu der von Thomson und Clausius mit der mechanischen Wärmetheorie abgeleiteten Schöpfungsgeschichte, daß alle Massenbewegung sich selbst in der Form von Bewegung der kleinsten Körperchen, die gleichmäßig im Universum verteilt sind, ableiten werde. Aus dieser Schwermüdigkeit, die am ersten Ende der Weltentwicklung liegt (ebenso wie zu einem völlig bestimmten Anfang derselben), hat Arrhenius einen Ausweg gesucht, der darauf hinausläuft, daß die Energie unerschöpflich ist bei Körpern, die sich im Sonnenstadium befinden, dagegen verheerend bei solchen, die dem Nebelstadium angehören.

Wie sich für die Wirkung der Weltentwicklung, muß das erste Buch von Arrhenius erklären, er wird in demselben eine Fülle geistiger Anregung finden, auch da, wo man dem schwedischen Physiker nicht unbedingt zustimmen kann.

Wir wollen hier nur einen raschen Blick auf den Gedankenengang und die Anschauungen werfen, mit welchen Arrhenius seine Weltanschauung begründet. Was er im ersten Kapitel über die weltanschaulichen Erscheinungen und die Erdlebens sagt, kann nicht füglich übergangen werden.

In seinen Betrachtungen über die Planetenkörper, besonders die Erde, ist

<sup>1)</sup> Siehe Arrhenius, Das Werden der Welt. Mit Übersetzung des Verf. aus dem Schwedischen (Hermes) von L. Brünneke, Leipzig 1905, Akademische Verlagsgesellschaft m. b. H.

Wärmestrahle lebender Wesen, realisiert Arcturus die größte Wärmevermehrung, welche die Energie der Sonne beständig schwächt, während nur ein hochst geringer Teil derselben den Planeten zu gute kommt, der größte Teil also mechanisch im Raum verloren geht. Letzteres bedeutet Arcturus und Betosa, die Ansicht vom Verlorengehen der Wärme im unendlichen Raum, beruht auf einer sehr unrichtigen und höchst unzulässigen Voraussetzung, nämlich der, daß ein höchst geringer Bruchteil des Himmelsgewölbes mit Himmelskörpern besetzt ist. Das wäre gewiß richtig, wenn man (wie früher allgemein) annimmt, daß die Mehrzahl der Himmelskörper kugelförmig sei. Man hat aber keine sicheren Unterlagen über die Anzahl und Größe der dunklen Himmelskörper. Um die wahrgenommene Bewegung verschiedener Sterne zu erklären, hat man angenommen, daß sich in deren Nähe unendlich große dunkle Himmelskörper befinden, deren Masse derjenigen unserer Sonne gleichkomme, nur seien sie sehr abseitsliegend. Aber die Hauptmenge der dunklen Himmelskörper, die von uns die Strahlen dahinstreifender Sterne abhalten, dürfen aus kleinen Massen, so wie wir sie bei Kometen und Meteoriten beobachten, und zum großen Teil aus eigenartigen kosmischen Staub bestehen. Die Beobachtungen der letzten Jahre mit besonders kräftigen Instrumenten, haben dargethan, daß die sogenannten Nebelkometen oder Nebelfackeln außerordentlich häufig aus Himmelsgewölben bestehen. In ihnen finden sich vermuthlich Anhaufungen dunkler Massen. Außerdem sind die Nebelfackeln wahrscheinlich aus größten Theil viel zu leuchtend, als daß sie von uns wahrgenommen werden könnten. Man kann daher nicht gut andere annehmen, als daß sich Himmelskörper überall im unendlichen Raume, und ungefähr ebenso häufig wie in der nächsten Umgebung unseres Sonnensystems befinden. Die Folge davon ist, daß

jeder Sonnenstrahl, wenn er auch gerichtet sein mag, schließlich einen Himmelskörper treffen muß, so daß nichts, weder von der Sonne, noch von der Sonnenstrahlung, verloren geht.

Dieser Schluß ist aber doch nicht zwingend. Denn wenn unendlich viele Himmelskörper auch seit unendlicher Zeit gegenseitig bestrahlen, so ist die notwendige Folge, daß sie schließlich auf die gleiche Temperatur gekommen sind und auf dieser verharrten müssen. Es könnte besonders keine Unterschied von leuchtenden und dunklen Körpern geben, die Charactere Entropie wäre da, nur mit dem Unterschiede, daß eine Absorption der Wärme zwischen den Weltkörpern nicht stattfindet.

Im weiteren behandelt Arcturus den Einfluß der Atmosphäre auf die Temperatur der Erdoberfläche. Er erinnert daran, daß um 1780 der französische Physiker Fourier zuerst auf die gegen Wärmeverlust schützende Wirkung der Luftschichte hingewiesen habe, wozu die später von Pouillet und Tyndall weiter entwickelt wurden. Diese Theorie wird die Treibhausentheorie genannt, weil sie annimmt, daß die Atmosphäre auf dieselbe Art wie das Glas eines Treibhauses wirkt. Alles kommt nämlich die Eigenschaft, sogenannte kalte Wärme durchzulassen, d. h. Wärmestrahlen, die unser Auge auffassen kann; dagegen nicht dunkle Wärme, zum Beispiel solche, wie sie von einem warmen Kachelofen oder einer treibhauseigenen Erdoberfläche ausstrahlt. Die Wärme der Sonne ist zum größten Theil hell, sie dringt also durchs Glas des Treibhauses und erwärmt die Erde darunter. Die Strahlung von dieser ist dagegen dunkel und kann daher nicht durch das Glas dringen, das also gegen Wärmeverlust schützt, umgekehrt wie ein Überrock den Körper gegen abstrahlende Ausstrahlung schützt. Langley machte einen Versuch mit einer Kiste, die durch Baumwollpackung gegen starken Wärmeverlust geschützt und auf der der Sonne zugewandten Seite mit doppeltem Glas

gedrückt war. Er fand, daß die Temperatur bei 20 113° stieg, während sie im Schatten nur zwischen 14 und 15° betrug. Der Versuch wurde auf dem 4380 m hohen Pike Peak in Colorado angestellt, am 9. September 1883 um 14 40m nachmittags, also bei besonders starker Sonneneinstrahlung. Man nahm Fourier und Pouillet an, daß der Luftdruck von der Höhe Eigenschaften hat, die an die des Glases in Bezug auf Durchlässigkeit für Wärme anzureichen. Das wurde nachher von Tyndall als richtig erwiesen. «Die Bestandteile der Luft, die diese Rolle spielen, sind der in verhältnismäßig geringer Menge vorkommende Wasserdampf und die Kohlendioxid, sowie Ozon und Kohlenwasserstoffe. Diese letztgenannten finden sich in so geringer Menge, daß man sie noch nicht in die Berechnung mit einbezogen hat. In letzter Zeit hat man nicht unglückliche Beobachtungen über Wärmeeinstrahlung der Kohlendioxid und des Wasserdampfes gemacht. Mit ihrer Hilfe hat Arrhenius berechnet, daß, wenn die Kohlendioxid (es beträgt nur 0.03 Volumprozent) aus der Luft verschwindet, die Temperatur der Erdoberfläche um etwa 21° sinken würde. «Durch diese Temperaturerniedrigung würde sich die Menge des Wasserdampfes in der Luft vermindern, worauf es weiterhin, fast ebenso großes Sinken der Temperatur folgen würde. Aus diesem Beispiel sieht man schon, daß verhältnismäßig unbedeutende Änderungen in der Zusammensetzung der Luft sehr großen Einfluß haben können. Ein Sinken der Kohlendioxidmenge der Luft auf die Hälfte ihres jetzigen Betrages würde die Temperatur um ungefähr 4° herabsinken; ein Sinken auf die Vierte um etwa 12°. Andererseits würde ein Verdopplung des Kohlendioxidgehaltes der Luft die Temperaturunterschiede zwischen den verschiedenen Teilen der Erde verkleinern, die Erhebung sie wieder ausgleichen.»

Auf natürlichem Wege wird der Atmosphäre die große Menge Kohlen-

dioxid durch den Vulkanismus zugeführt und Epochen großer vulkanischer Eruptionen würden danach auch auf die Erdoberfläche von Einfluß sein, jedenfalls ist der Kohlendioxidgehalt der Luft veränderlich. Schließlich kommt Arrhenius:

«Man hört oft Klagen darüber, daß die in der Erde gespeicherten Kohlenreserven von der heutigen Menschheit ohne Gedanken an die Zukunft verbraucht werden, und man spricht bei den furchtbaren Verwüstungen an Leben und Eigentum, die den tiefsten vulkanischen Ausbrüchen in unserer Zeit folgen. Doch kann es nicht recht zum Trost gereichen, daß es hier und da oft kleinen Schwärmen gibt, die nicht auch ein Gutes tat. Durch Einwirkung des erhöhten Kohlendioxidgehaltes der Luft helfen wir uns allmählich Zonen mit gleichmäßigeren und besser menschlichen Verhältnissen zu schaffen, besonders in den kälteren Teilen der Erde; Zonen, da die Erde um das Vielfache erhöhte Erwärmen zu tragen vermag zum Nutzen des noch zurückbleibenden Menschengeschlechtes.»

Und schließt ab, wenn der nicht wieder ansetzende Vorfall der Kohlendioxid sehr viel stärker und noch der Wohl der Menschheit berücksichtigen dürfte, als der Gewinn der Luft an Kohlendioxid, die Erden planmäßig beeinflusst wird.

Was die Sonne anbelangt, so hält die Arrhenius für eine Geissel, in deren kaltem Teile durch Strahlung und Aufsteigerzeugung der Gase eine Energie vollkommenster Konzentration bewirkt werden. Was dies Ernte für die Unsterblichkeit von der Sonne in der Raum genutzten Energie bedeutet, so hält Arrhenius — im Gegensatz zu Helmholtz und Thomson — dafür, daß die chemische Energie der Sonne diese auf äußerst lange Zeit hinaus zu beschaffen vermöge ist. «Wenn wir uns vorstellen», sagt er «daß eine Gasmasse aus der tiefsten Schwärze sich in immer größerer Teile der Sonnenkugel verdichtet, wie es die Glut in einem Sonnenfleck tut, so werden sich infolge des

geologisches Erreichte — diesen würde zunächst entgegen die innere der Sonne, um ungefähr 3500 Atmosphären pro Kilometer — zusammengepressten Verbindungen bilden. Die Gase, die bei dem niedrigen Druck und der hohen Temperatur in der festeren Sonnen-schicht (bestehend aus Photosphäre und Chromosphäre) in Atome zerfallen waren, gehen in der Tiefe der Photosphäre in Verbindungen ein, wie die Spektral-analyse zeigt. Infolge der hohen Temperatur schwächen diese Verbindungen angedauerte Wärmebewegungen bei ihrer Bildung, und diese Wärmebewegungen verhalten sich zu den bei chemischen Prozessen auf der Erde beobachteten ungefähr so, wie die Temperatur in der Sonne zu der, bei welcher der chemische Prozeß auf der Erde verläuft. Daraus diese Gase immer weiter in der Sonne ein, so steigen Druck und Temperatur immer mehr. Es werden immer energiereichere und weniger voluminöse Produkte gebildet. Wir können uns daher vorstellen, daß sich im Sonnen-warmen Körper finden, die, so die Sonnenoberfläche gleicht, unter ungeheurer Wärmeerzeugung und Volum-vermehrung verfallen. Sie sind also in der gewaltigsten Sprengmittel anzusehen, im Vergleich mit welchen Dynamit und Pulverpulver wie Spulung erscheinen. Das wird auch dadurch bestätigt, daß Gase, wenn sie durch die Photosphäre-schichten dringen, Proben aus einer Geschwindigkeit herausziehen, die mehrere hundert Kilometer in der Sekunde erreicht, das sind Geschwindigkeiten, die die stärkste schweißte Geschwindigkeit um etwa das Tausendfache übersteigen. Das in Sonnenwarmen vorhandenen Spreng-mittel wird daher die Energie zugeführt, die weit über die Million auf größer sein muß, als die menschlichen Sprengmittel. (Die Energie nimmt nämlich wie das Quadrat der Geschwindigkeit zu.) Und dabei haben diese weiteren Sprengmittel während ihrer Passage von dem Sonnenwarmen

einen großen Teil ihrer Energie selbst abgegeben. Demnach wird es uns be-friedigt, daß die Sonnenmenge, nach 4000 Jahren zu rechnen, was der Ver-brennung eines Sonnenfalls aus Kohlen-stoff entsprechen würde, für 4000 Mil-lionen Jahre oder noch länger, wahr-scheinlich bis zu mehreren Billionen Jahren ausreichen kann.

In der von Arrhenius aufgestellten Verhältnissen ist weiter ein gewaltiges Element der Denkung der Energie-verluste der Sonne zu erblicken, daß-dieses aber, wie er sagt, für Billionen Jahre ausreichen sollte, ist doch wohl etwas überschüssig. Vor Zehn-jahren, da Billionen Jahre ungenutzt, neuen unsere Forschungen bring der Flügel.

Die zuerst von Euler (1746) an-gegriffene Vermutung, daß die Luft-wellen einen gewissen Druck auf die Körper ausüben, auf welche sie fallen, hat 1873 in dem theoretischen Unter-suchungen Maxwell über die Natur der Elektromagnetischen Wellen und 27 Jahre nach dessen durch die Messungen im luftverdrängten Raume, welche zuerst Lebedeff, dann Nichols und Hull aus-führten, experimentelle Bestätigung erhalten. Die Bedeutung dieses Prin-zips für das Verständnis gewisser kos-mischer Erscheinungen ist seitdem von Arrhenius erkannt und nachgewiesen worden. Er fand, daß die Größe des Strahlungsdruckes an der Sonnenober-fläche, wenn die Strahlen senkrecht auf einen schwarzen Körper von 1 qm Oberfläche fallen, 275 mg beträgt und berechnet dann, wie groß ein Tropfen von solchem speisefischen Gewicht wie Wasser sein müßte, damit der Strahlungsdruck in der Nähe der Sonne der Sonnenanziehung das Gleichgewicht hält. Es fand sich, daß das unmöglich wurde, wenn der Durchmesser des Tropfens 60000 cm groß ist, wenn der Tropfen alle auf ihm fallenden Strah-len vollkommen reflektiert. Ist der Durchmesser des Tropfens kleiner, so überwiegt der Strahlungsdruck die An-

reichung, und ein solcher Tropfen wird daher von der Sonne abgestoßen. Nach Schwannschind findet das letztere wegen der Biegung des Lichts vor statt, wenn die Umrang des Tropfens größer ist als die 2-fache der Wellenlänge der reflektierten Strahlung. Wird der Tropfen nicht kleiner, so überwiegt wiederum die Schwere. Tropfen, deren Größe zwischen diesen beiden Werten liegen, werden abgestoßen. Daraus wird deutlich, daß die Molokule, die viel geringere Dimensionen als die genannten haben, durch den Strahlungsdruck nicht abgedrückt werden, und daß also Rayleigh's Schlußfolgerung für Gas nicht gültig ist. Bei der Porphore des Tropfens genau gleich der Wellenlänge der Strahlung, so ist der Strahlungsdruck seine größtmögliche Wirkung aus und übertrifft dann die Schwere unendlichmal. Diese Berechnungen gelten für total reflektierende Tropfen vom spezifischen Gewicht des Wassers und für eine Strahlung und Absorption, gleich der von der Sonne ausgehenden. Da die Sonnenlicht nicht konvergirt, ist, wird die Maximalwirkung etwas vermindert und ist etwa gleich dem Zehnfachen der Schwere im Tropfen von ungefähr 0.00016 mm Durchmesser.

Die Anwendung dieses Prozents auf die Erscheinungen der Abkühlung, welche in den Kometschwänzen zur eigenscheinlichen Darstellung kommen, und bei welcher auch elektrische Kräfte eine wichtige Rolle spielen, hat die Vermittlung dieser Phänomene wesentlich erhöht. Arhenius stellt die Verhältnisse durch eine einfache Beschreibung sehr schön dar. Er findet auch in der nächsten Umgebung der Sonne Wirkungen des Strahlungsdruckes, vor allem in den geschweiften Kometschwänzen die sich bis zu Entfernungen von 5 Millionen Kilometer von der Sonnenoberfläche erstrecken. «Nehmen wir an,» sagt Arhenius, «daß die Molokule der Kometen aus Partikeln besteht, die gerade so groß sind, daß der Strahlungsdruck ihrem Gewicht gleich kommt

— andere Partikeln werden aus der innerenzone entfernt — so finden wir, daß das Gewicht der ganzen Kometschwanz etwa 12 Millionen metrische Tonnen nicht übersteigt. Es ist nicht größer als das Gewicht 400 unserer größten Ozeandampfer, und nur ebensoviel wie die in einer Woche auf der Erde verbrauchte Kohlenmenge. Daß die Kometschwänze selbst verdunstet ist, hat man schon aus dem Umstand geschlossen, daß Kometen durch dieselbe Materialveränderung, ohne in ihrer Bewegung sichtbar geändert zu werden. Newcomb hat den hohen Verdichtungsgrad der Kometen veranschaulicht durch abzumalen, wenn er sagt, daß sie verdicht 1000 mal so stark als jeden Kubikmeter enthält. Aber wie klein auch die Menge der Materie in der Kometen aus, und welche unbeschreibliche Dichtigkeit davon in die Kometschwänze übergehen mag, so ist es gleichwohl sicher, daß ein beträchtlicher Verlust von verdunsteter Materie von der Sonne stattfindet. Dieser ist aber nicht größer als die Zufuhr. Wir wissen, daß viele Meteoriten auf die Erde niederfallen, teils in kompakter Form, teils auch als kleiner Staub in den Sternschneppen, die in der Erdatmosphäre aufsteigen und zerfallen; ihre Masse kann auf etwa 20000 Tonnen jährlich geschätzt werden. Nach dieser Schätzung kann man berechnen, daß der Meteoriten, der auf die Sonne fällt, durchschnittlich 10 Millionen Tonnen jährlich erreicht. Sol unendlichen Zeitraumen haben alle Sonnen Materie in den Raum abgedrängt, und es erscheint daher selbstverständlich, daß manche Sterne jetzt nicht mehr existieren würde, wenn von dort keine Zufuhr an Materie zur Deckung des Verlustes stattgefunden hätte. Die kalten Sonnen haben verhältnismäßig geringen Verlust, aber ebenso große Einwirkung an Materie wie die warmen. Da nun unsere Sonne zu den kalten Himmelskörpern gehört, so ist wahrscheinlich der Abgang an Materie von der Sonne



denn etwas zu hoch geschätzt worden, indem man ihn ausschloß aus der Zufuhr zurechen.

Will man dem auf die Sonne stützen den meteorischen Regen eine solche Bedeutung auf so menschliche Zeitläufte beilegen, so muß man mindestens allerdings Gewißheit haben dafür, daß diese Meteorite auch entfernt solcher unauflösbaren Zustände nicht in genügender Menge vorhanden sind. Diese Voraussetzung ist aber schwer als gewiß zu erweisen, weil wir das Ursprung der Meteorite, der großen wie der kleinen, nicht kennen. Arrhenius findet es nicht unwahrscheinlich, daß wir von dem Zusammenstoß der oberen kleinen Partikeln entstehen, die von der Sonne durch den Strahlungsdruck ausgeworfen werden. Er zieht aus Beobachtung dafür u. a. in der Ansicht von Nordenskiöld, der von dem kosmischen Meteoriten sagt, daß sich im Weltall allein auf Atome von Eisen, Nickel, Platin, Kohle, angelagert so wie sich Metalle in Metallen bei Aufhebung aus einer Flüssigkeit auf geladenen Wippen lagerten und mit dem Sonnenstrom so zu strömen. Das Problem sind, was wir wissen, sehr ungleich in Bezug auf Masse, Temperatur und Leuchtintensität in der Nähe großer Sterne werden durch den Strahlungsdruck mit größerer Menge Materie bewegt als von kleineren, die keineswegs zu den großen Fixsternen gehört. Hält man jenseit die verschiedenen Sterne aus verschiedenen chemischen Gemischen bestehen, so müßte diese Verschiedenheit im Laufe der Zeiten ausgeglichen werden sein. Die Meteoriten können als Mutterkornen der in allen möglichen Formen des Raumes gemischten Materie betrachtet werden. Die vom Strahlungsdruck der Fixsterne überall in der Natur hinangeströmten kleinsten Partikeln können sich, beim Aufeinanderstoßen zu größeren und kleineren Aggregationen in Kontakt von kosmischen Staub- oder Meteoriten zusammen-

setzen dann auf andere Weltkörper, Sonne, Planeten, Monde oder Kometen gelegentlich anheften, zum größten Teil aber im Raume unterstreuen. Sie sind es, nach Meinung von Arrhenius, die durch die Überwachenheiten verhindern, daß wir nicht den ganzen Himmel mit leuchtenden Sternen bedeckt erblicken. Schließlich aber müßte noch dieser kosmische Staub von der Plasmawirkung so sehr erfrischt werden, daß er glühend würde und der Himmel als eine einzige glühende Wirkung erscheint. Es dieses nicht der Fall ist, muß es kleine Himmelskörper geben, welche die Plasmawirkung der Sonne ausengen ohne selbst merklich erfrischt zu werden. Diese Rolle spielt Arrhenius den Nebelsternen zu. Die Anzahl derselben ist, wie die astronomischen Aufnahmen gezeigt haben, ungleich groß und mag viele Millionen betragen, denn übersteigt das Gefälle so darüber durch das menschliche Fassungsvermögen, so sind also gar wohl in der Lage eine sehr wichtige Rolle im Weltbildungsprozess zu spielen und diese ist ihnen seit Herschels Zeiten auch reichlich zugeschrieben worden. Eigenartig aber ist die Stellung, welche Arrhenius ihnen anweist. Wapen ihrer Anzahl und Größe muß der größte Teil des kosmischen Staubs auf seiner Wanderung durch die unermesslichen Räume schließlich in sie hineinstürzen. Dort trifft er auf Gaswolken, die das Erdinnere der kleinen Körper enthalten. Da der Staub elektrische Ladungen hauptsächlich negativ enthält, werden auch diese in der äußeren Schicht der Nebelwolke angehäuft. Das geht so lange vor sich, als die elektrische Spannung so stark wird, daß die Entladung durch Ausweiden von Elektronen beginnt. Dadurch werden die umgebenen Gase, obwohl ihre Temperatur des absoluten Nullpunkts ( $-273^{\circ}$  C) wenig verändert um etwa  $50^{\circ}$  übersteigt, zum Leuchten gebracht, und auf diese Weise erhalten wir Körner von der Größe der

Nebelsterne. Da die meisten Partikelchen aufgehoben werden, die zur Zeit gefunden haben, eben sehr in die Nebelflecke einzutreten, so daß es in der Hauptsache die äußere Seite der Weltseel, die uns ihr Licht zusenden. Das stimmt mit Herschels Beschreibung der planetarischen Nebelflecke überein, die in ihrer Mitte keine gelben Lichtpunkte zeigen, sondern so leuchtend, als ob sie einer heißen, kugelförmigen Scheibe von Nebelmaterie beständen. Nun ist es die Leuchte zu beweisen, daß nur die allerschwersten kondensierten Stoffe, wie Helium und Wasserstoff, in unserer weiter Menge bei dieser andern Temperatur in Gasform bestehen können. Dabei leuchten die Nebelflecke fast ausschließlich in dem Farben dieser Gase. Außerdem kommt in den Nebelflecken ein rothlicher Stoff, die Nebelmaterie (Nebulium), vor, deren optisches Licht sei der Erde oder andere Himmelskörper nicht vorgerufen werden. Man suchte dies früher so zu erklären, indem man annahm, daß man annahm, in den Nebelflecken können keine andern Körper als die gasförmigen Gas, oder die andere Grundstoffe in ihnen seien in Wasserstoff zerlegt — Helium konnte man damals nicht. Die einzige Erklärung ist nach seiner Meinung die, daß nur die Gase der äußeren Nebelflecke leuchten, was davon innen zusammengefaßt ist, davon wissen wir nichts.

Der Einwurf, daß nach dieser Hypothese das ganze Himmelsgewölbe leuchtend leuchten und nach die äußere Erdatmosphäre dieses Licht ausstrahlen, nicht Arhenius dennoch ablehnen, daß er darauf hinweist, wie die im Spektralanalyse vorfinden können ganz allgemeine Nordlichtheit (die manchmal von Kyprien herrührt) nicht bloß beim Nordlicht oder im Zodiakallicht gefunden wird, sondern in vielen Stellen besonders in den Tropen überall am Himmelsgewölbe. Sie wäre also, ohne Ursprung nach, auf den gefundenen nördlichen Licht zurückzuführen und

durch diesen bedingt. Damit wird der Einwurf allerdings beseitigt, nur bleibt es stehen, daß der übrige Schein selbst unter besten Umständen nicht sichtbar ist, wohl dagegen eine charakteristische Spektrallinie. Man darf aber nicht etwa annehmen, daß es bei dem Problem eine Stelle ist, in dem diese auch nicht durch ein helles Hintergrund gesehen werden können, sondern nur im Spektralanalyse durch hier liegen die Verhältnisse ganz anders.

Der Raum vorbest, auf welchem Licht strahlt und scharfsteht, wenn auch nicht durch selbststehende Ausstrahlungen von Arhenius herausgehen, der interessierte Leser muß die Buch selbst studieren. Nur zum Abschluß mag hier die Note, welche Arhenius den Nebelflecken zuordnet, mit seinen Worten mitgeteilt werden. Er sagt nämlich:

«Der Gasraum in den Nebelflecken bildet die wichtigste Sonnenatmosphäre für den Raum, den die Sonnen durch Strahlungsdurch vergrößer. Wenn der Welt, wie man früher annahm, begrenzt wäre, das heißt, wenn die Materie in einem großen Hohlraum zusammengefaßt liegen, und es außerhalb davon nur unendlichen leeren Raum gäbe, so würden die von den Sonnen während unbegrenzter Zeiten durch die Wirkung der Strahlungsdurch abgetrennten Gasmassen in diesem unendlichen Raum verstreut werden, so wie wir nun es gewöhnlich von der Strahlungsenergie der Sonnen annehmen.

Die Weiterentwicklung mußte dem schon lange zu dieser Erde gekommen sein, zu einer Art Veranschaulichung aller Materie und aller Energie. Daß diese Anschauung die Natur nicht befriedigend ist, hat unser andere Meister Spitzer gezeigt, der hervorhebt, daß ein Gas in der Weiterentwicklung stattfinden muß. Das ist offenbar unangenehm, wenn ein System dauernd bestehen soll. In den dünnen, gasförmigen, kalten Teilen der Nebelflecke haben wir das Teil der Weltmaterie,

der der Verschwendung der Sonnen im Meeres, und noch mehr im Kosmos, das Gleichgewicht hält. Die eingewandene Solarstrahlung schenkt die Sonnenstrahlung auf und gibt sie ihrer Wärme in die einzelnen Gasmoleküle ab, die gegen sie stoßen. Die ganze Gasmasse erhitzt sich durch diese Wärmeaufnahme und kühlt sich ab. Die energiereichsten Moleküle geben fast und werden von unten aus den warmen dunklen Tiefen des Nebelfleckes erhebt, die sich auch durch Ausdehnung abkühlen. So wird jetzt von den Sonnen ausströmende Wärmestrahlung aufgenommen, und seine Energie durch die Kontakte des Nebelfleckes in den in Bildung begriffenen Sonnen überführt, die sich in der Nähe des Nebelfleckes oder in dessen warmen Tiefen befinden, und um umgewandelt. Aggregationsenergie oder Wärme der ursprünglich zusammengefallenen Himmelskörper kondensiert. Die Materie kann sich bei der dort beobachteten starken Kälte wieder zusammenballen, während der Sinkungsdruck, wie Poynting sagte, bewirkt, um Körper von 15° C und einem Durchmesser von 1,4 cm zusammen zu halten, wenn die spezifische Gewicht ebenso groß wie die der Erde (14) ist. Bei der Neptun haben, wo die Temperatur von etwa 50° absinkt, herrscht, das heißt ungefähr so wie in den Nebelflecken, gilt diese Größe bis auf ca. 1 mm herum. Vermutlich spielen Kapillarkräfte, die sich unter Mitwirkung der auf den Staubkörnern kondensierten Gas-gelöst machen, und nicht die Schwerkraft eine Hauptrolle bei der ersten Zusammenballung der kleinen Tröpfchen. Ebenso kann sich die Energie dort anheben, entgegen dem Gesetz von der beständigen Zunahme der Entropie.

Bei dieser kontinuierlichen Wärmekühlung werden die Gasdichten noch verdichtet, aber durch neue Massen aus dem warmen Teil des Nebelfleckes ersetzt, bis diese reif sind, und der Nebelfleck in einen Sternhaufen oder ein Planetensystem, das um eine oder

mehrere Sonnen kreist, verwandelt ist. Durch deren Zusammenstoß entstehen neue Nebelflecke.

Eine Hauptrolle bei der Entwicklung aus dem Nebelfleck zum Sternhaufen, und bei Neubildung von Nebelflecken nach dem Zusammenstoß von zwei dunklen oder hellen Himmelskörpern, spielen die Explosionskräfte, die wahrscheinlich Wasserstoff und Helium (und vermutlich auch Lithium) in Verbindung mit Kohlenstoff und Metallen enthalten. Die Hauptrolle der Wasserstoff-Ionen zu der Annahme, daß diese Explosionskräfte bei der Entwicklung der Sonnen gebildet, bei deren Zusammenstoß ausstrahlt werden. Die ungeheure Energiemenge, die in diesen Körpern gespeichert liegt, entspricht häufig verbotenden Schweregraden in der Weltanschauung, die deren Gang regeln und es weniger begreift, daß die periodischen und langfristige Strahlung von Nebelflecken zum Sternhaufen, und umgekehrt, in gleichmäßigem Rhythmus stattfindet, während der unheimlichen Epochen, die nur als charakteristisch für die Weltentwicklung angesehen können.

Durch dieses kontinuierliche Zusammenwirken von Schwerkraft und Sinkungsdruck, sowie von Temperaturangleichheit und Wärmekonzentration, wird es möglich, daß sich die Weltentwicklung in einem kontinuierlichen Kreislauf bewegt, bei dem wir weder Anfang noch Ende wahrnehmen können, und bei dem auch das Leben Ausstrahlung hat, beständig und unermüdet weiter zu bestehen.

Auch mit dem Ursprung des Lebens befaßt sich Arrhenius in seiner Komposition. Er besagt dabei in die von Thomson und Hämholz postuliert wird an, daß die kleinen lebenden Wesen sich ohne Schaden für den Euraios durch den Weltraum fortbewegen konnten, wobei der Luftdruck eine Rolle spielt und daß auf diese Weise das Leben von einem zum anderen Himmelskörper übertragen werden könnte und also nach

übertragen werden an. Bei aller Hochachtung vor der Autorität der beiden großen Forscher Thomson und Helmholtz, kann man ihrer Hypothese doch schwerlich beipflichten, ganz abgesehen davon, daß in der Ursprung des Lebens durchaus nicht erklärt, sondern nur in unbestimmte Gebiete zurückverlegt. Was den Kreislauf der Wärmehildung anbetrifft, also den Hauptpunkt, um den sich in dem Buche von Antonius eigentlich alles dreht, oder auf den die ganze Darlegung beruht, so macht diese Outside folgende Bemerkungen: \*)

„Bekanntlich hat Clausius nur das von ihm gestandig erfüllte Verhältniß zwischen der Umwandlung der Wärme in andere Energieformen des Lichts gezogen, daß die Menge der verwandelbaren Energie immer geringer wird, so daß schließlich das Weltall dem »Wärmetode« entgegengerät, d. h. einem Zustande, wo alle Energiepersönliche ausgeglichen sind und nichts mehr geschieht. Antonius glaubt auf Grund seiner Betrachtungen dieser Folgerung widersprechen zu können, er erläutert vermittelte diese Auffassung, wenn er auf eine Periode der Desorganisation der Energie eine der Neuerung folgen soll. Ähnliche Anschauungen hat vor kurzem der Physiologe J. Bernstein in Halle entwickelt. Es kann also mit der Welt auf etwas Ähnliches kommen, wie in Nietzsche mit seiner »ewigen Wiederkehr« angenommen hat. Das Betrach-

tung ist sehr einfach gegeben, als daß man mit je und nein über ihre Richtigkeit streiten könnte. Doch muß ich betonen, daß ich in meinem Comte keine verschiedenen Zustand annehmen kann, je nachdem ich mit Clausius am Ende der Welt nach unendlich langer Zeit, oder mit Antonius am kalten Kreislauf anhebe. Ich bin zu tief von der Unsicherheit, je Unvollständigkeit aller unserer Extrapolationen überzeugt, als daß ich ihnen irgend einen Einfluß auf mein stilles Denken und Empfinden einwirken lasse. Nur die Satz soll hervorgehoben werden, da er immer wieder zu hören ist und jederzeit dem letzten Tag und Tag öffnet. Er lautet, daß der von Clausius postulierte Prozess bereits abgelaufen sein müßte, wenn die Welt seit unendlicher Zeit bestanden hätte. Die Mathematik lehrt, daß Unendlich etwas Unendlich jeden beliebigen Wert haben kann. Wenn also zwei unendlichen unendlichen Reihen nebeneinander verlaufen, so kann es einander Punkt (z. B. der Gegenwert) auch in jedem beliebigen Orte der beiden Reihen befinden und braucht keineswegs am positiven Ende beider oder einer von ihnen zu liegen.

Bellamy bemerkt, in es nicht Nietzsche, welcher zuerst den Schluß auf eine »ewige Wiederkehr« der Dinge gezogen hat, sondern Gustav Hamann in einer Schrift, die 1879 erschienen ist.

## Die Kometenerscheinungen des Jahres 1905.

 Prof. H. Kreutz hat, wie in früheren Jahren, auch für 1905 eine listische Zusammenstellung der Kometenerscheinungen und der sonstigen Beobachtungen veröffentlicht. Wir entnehmen derselben das Nachfolgende:

Komet 1905c (1904I). Derselbe wurde vor dem Perihelion in Hamburg auch auf den Schneeweis (Utrecht) und Staffing 1905 Jan. 14 bei am Horizont zum letzten Male gesehen. In der Hebelhöhe von 7 Durchmesser war eine hell, 9<sup>te</sup> große Kometenprobe zu erkennen; auch konnte die Vorhauptschwanz von zwei kurzen Schwänzen in der hellen Dämmerung konstatiert werden.

\*) Chemiker Zeitung 1905, No. 48.

\*) Vossler'sche Mittheil. d. Astron. Ges. 1905, I. 118, S. 91.

Nach dem Perihel beginnt wieder die Beobachtungen auf der südlichen Halbkugel mit Febr. 15 Washington. Da zu dieser Zeit schon sehr merkliche Abnahme der Helligkeit nahm nach an, am 22. Febr. schätzte Wirtz in Straßburg den Kometa 9, am 21. März nur mehr 13 Größe. Die letzte Beobachtung datiert von Washington März 22.

Duncan in Flagstaff und Bernard in Williamsbay haben vom Kometa zahlreiche photographische Aufnahmen,

hauptsächlich aus der Zeit vor dem Perihel, erhalten, die insbesondere sehr interessante Einschnitten über die Bildung des Schweifes, der auf dem Frühen Anfang Januar 1906 die Länge von  $18''$  erreichte, darboten. Auch auf der Loch-Sternkarte ist der Kometa mehrfach photographiert worden, doch sind die Platten noch nicht im Detail bearbeitet.

Aus sechs Normalsterne von 1905 Der T bis 1906 Jan. 14 haben Schönberg und Börs die folgenden Elemente des Kometa abgeleitet:

Zeit des Perihels . . . . .	$T = 1905 \text{ Jan. } 22.0000 \text{ m. Z. R.}$
Wegw. vom Komet bis zum Perihel . . . . .	$\alpha = 194^{\circ} 11' 40''$
Länge des aufsteigenden Knotens . . . . .	$\Omega = 92^{\circ} 5' 5,7''$
Neigung der Bahn . . . . .	$i = 43^{\circ} 38' 38''$
Periheldistanz . . . . .	$q = 0,284000$

Komet 1906a (1905 VI). Der Kometa wurde von Brooks in Concord N. Y. am 26. Jan. 1906, 33 Tage nach dem Periheliumdurchgang, als stardier Nebel 9 Größe von 3 Durchmesser entdeckt. Ein schwacher Kern war vorhanden. Der Kometa saherte sich, in nördlicheren Deklinationen bis  $85^{\circ}$  auffallend, nördlich noch der Erde, so daß er bis in die dritte Februarwoche die Entdeckungshelligkeit nahe beibehielt. So dann wurde er auch schwächer und war Ende Februar auf die 18, Ende März auf die 13 Größe herabgesunken. Die letzte Beobachtung ist am 28. April auf der Lowell-Sternkarte in Flagstaff registriert worden.

Die folgenden Elemente sind von Ebel aus den Beobachtungen 1906 Jan. 27, Febr. 3 und 10 abgeleitet worden:

$T = 1905 \text{ Dez. } 22.0200 \text{ m. Z. R.}$
$\alpha = 89^{\circ} 43' 41,1''$
$\Omega = 266^{\circ} 20' 1,7''$
$i = 126^{\circ} 22' 23,2''$
$q = 1,9955$

Komet 1906b (1905 IV), photographisch entdeckt von Kopff in Heidelberg 1906 März 3 als ein gut erkennbarer, kleiner Nebel mit schwachem Kern und einem  $\frac{1}{2}''$  langen Schweife. Visuell war die Helligkeit 11. Größe, der Kern

11,5 Größe, der Durchmesser der Nebelhülle gegen  $18''$ , das Schweif war mit dem Auge nicht zu erkennen. Vom 17. März bis gegen Mitte Mai ging in dem Aussehen des Kometa eine beachtliche Veränderung vor sich. Die Beobachter an Fernrohren wußten keinen sehen, wie sich vom Kern aus nach der Sonne zu eine hellereitige Ausbreitung entwickelte, eine Erscheinung, die im 44-Zöller der Vorlesersternkarte von Bernard als die Bildung eines zweiten Kernes, der mit dem hellern Hauptkern durch eine Nebelhülle verbunden war, erkannt wurde. Die Entfernung beider Kerne nach Bernard am 24. März um  $4''$ , am 31. März um  $5,7''$ ; etwaige spätere Messungen sind noch nicht bekannt gegeben. Nach Mitte Mai zeigte sich der Kometa im Straßburger Skizzenbuch wieder, war heller, runder, mit zerstreutem Kern.

Da die Perihel bei der Entdeckung schon auf 5 Monaten vorüber war, war die Helligkeit in einer, wenn auch langsamer Abnahme begriffen. Wirtz in Straßburg schätzte den Kometa Mai 10 nur noch um 12½, Juni 12 um 13,5 Größe, die letzte Beobachtung erfolgte Juni 22 auf der Loch-Sternkarte.

Nach einer Ephemeride von Ebel ist nachträglich Wolf in Heidelberg

des Kometen auf einer Platte 1905 Jan. 14, also 413 Tage vor der Entdeckung, als ein Objekt 12. Größe aufgefunden. E. Weiß hat die Sternvariante aufgefunden, auch noch in den nächsten Monaten, Februar bis April 1907, auch dem Kometen in solchen Entfernungen, — 21%, etwaige photographische Aufnahmen, wenigstens in Europa, sehr erschweren.

Aus den Beobachtungen 1905 Jan. 14, 1906 März 10, April 14 und Mai 27 hat E. Weiß die folgende Parabel berechnet:

$$\begin{aligned} T &= 1906.04 \quad 142000 = 2 \text{ B.} \\ a &= 156^{\circ} 20' 36.1'' \\ \Omega &= 309 \quad 19 \quad 54 \quad \left. \begin{array}{l} \\ \\ \end{array} \right\} 1907.0 \\ i &= 4 \quad 16 \quad 47 \\ q &= 3.1845. \end{aligned}$$

Der Komet hat hernach eine Periheliumdistanz die nur von der des Kometen 1729 (mit 40) überschritten wird. Eine Periheliumdistanz über 2.5 haben bis jetzt überhaupt nur vier Kometen, außer das bisher genannte auch 1904 I mit  $q = 2.7$  und 1903 II mit  $q = 2.6$ .

Komet 1906 a (1906 III), entdeckt März 18 von Lind in Melbourne am Abendhimmel als kreisförmiger Nebel 6 Größe von 3 Durchmesser mit geringer Verdichtung. Der Komet ging nach Norden und passierte Ende März den Äquator, die geringste Entfernung aber zur Sonne in Verbindung mit der durch die Zunahme der Entfernung von Erde und Sonne bedingten raschen Abnahme der Helligkeit gestatten es nicht, den Kometen über April 3 hinaus zu verfolgen. Die ersten Beobachtungen aus diesem Tage in Washington und Mt. Hamilton angegeben worden.

Mit Larsson hat von März 18, 23 und April 2 die folgenden Elemente abgeleitet:

$$\begin{aligned} T &= 1906 \text{ Feb. } 20 \quad 97947 = 2 \text{ B.} \\ a &= 205^{\circ} 20' 51.1'' \\ \Omega &= 73 \quad 2 \quad 36.1 \quad \left. \begin{array}{l} \\ \\ \end{array} \right\} 1906.0 \\ i &= 68 \quad 27 \quad 33.1 \\ q &= 0.71236. \end{aligned}$$

Finlaysoncher Komet 1906 d (1906. . .) Für die vorläufige sehr günstige Er-

scheinung des Perihelium Kometen — der Komet näherte sich der Erde bis auf 0.27 und erreichte das 28fache der Helligkeit zur Zeit der Entdeckung im Jahre 1885 — hatte Schaeßel eine Vorhersage gemacht.

Nach der Schaeßelschen Ephemeride wurde der Komet photographisch am 18. und wahrscheinlich auch auf einer Platte vom 14. Juli 1886 von Kopff in Heidelberg in deutlich beschäffelter Entfernung von dem beobachteten Ort, die weit über die geschätzte Unschärfe hinausging, aufgefunden. Das Perihel fand 165 Tage später statt, als erwartet werden war, und es ist dem Beobachter zunächst nicht möglich gewesen, einen Grund für diese Abweichung anzugeben. Eine überflüssige Helligkeit des Kometen der Höhenveränderung hat keine wesentlichen Fehler ergeben, und es hat daher bei den Ansätzen, als ob irgend eine Unregelmäßigkeit im Laufe des Kometen stattgefunden hätte.

In seiner Helligkeit hat der Komet den Erwartungen entsprochen, die man an die günstigste Opposition stellen durfte. Anfangs 9. Größe, nahm er bis Mitte August an Helligkeit zu, übersteigerte dem Helligkeit Äquator zu werden. Nach dieser Zeit zeigte sich eine langsame, stetige Abnahme, die nicht erlaubt, den Kometen in merkwürdigen Entfernungen über Mitte November hinaus, als er die 13. Größenklasse erreicht hatte, zu verfolgen. Wie weit der Lichtverlust in großen Entfernungen sich erstreckt hat, ist zuerst noch nicht bekannt geworden. Nach Analoge der Helligkeit in der ersten Erscheinung 1555 bis 67 sollte man glauben, daß nach der Erde März 1907 Beobachtungen möglich sein würden.

Was den Aussehen betrifft, so hat der Komet bei Ende August ein verwaschenes rundes Nebel von 12 Durchmesser mit einer schwach sapuldeten, kornigen Verdichtung gezeigt; ein Schwefel war nicht zu erkennen.

Komet 1906 e (1906. . .) (Kopff), photographisch aufgefunden von Kopff

in Heidelberg am 22. August. Später fand ihn der Entdecker auch noch auf einer Platte vom 26. August. Anfangs glaubte der Komet einem runden Nebel 11 bis 12 Größe mit einem Durchmesser von  $1\frac{1}{2}$  und einem Kern von 12 Größe. Die Helligkeit nahm aber ziemlich stark ab, so daß die Beobachtungen in mittleren Parallelen schon im Okt. 22 Sankt Petersburg — Wirtz schätzte die Helligkeit an diesem Tage zu 12.5 Größe — der Erde gegenüber haben. Spätere wiederholte Beobachtungen mit großen Refraktoren sind bisher nicht identisch geworden, es ist aber bemerkenswert und magt für die große Leuchtkraft des neuen 28-zölligen Refraktors auf dem Königstuhl daß Wolf mit diesem Instrument den Kometen noch am 15. und 16. Dec. 1906 als Objekt 18. Größe photographiren konnte.

Am 1906 Aug. 23, 31 und Sept. 12 hat Olliv die objektiven Helligkeitspunkte abgelesen (jeweils der Unklarheit 0.02) beträgt.

Ferner lagen noch Elemente von Crawford und Chapman vor, die an bei gleicher Zwerchnheit eine Umlaufzeit von 660 Jahren ergaben. Der Komet ist hiernach als ein weiteres Glied der Klasse der periodischen Kometen mit kurzer Umlaufzeit zu betrachten.

Hilfsrechner: Komet 1906 I (1906 III). Die Vorausberechnung der vorliegenden Erscheinung des Hilfsrechner Kometen ergab als Zeit des Periheldurchgangs März 14. 22 B.

Der Komet wurde auf Grund der Vorausberechnung von Zwiers 1906 Aug. 18 von Wolf in Heidelberg photographisch als Objekt 15 bis 16 Größe aufgefunden. Der Fehler der Elemente betrug nur  $\pm 0.60 \pm 21''$ , entsprechend einer Korrektur der Perihelionzeit von  $-0.09$  Tagen. Die auf zwei Erscheinungen gegründete Vorausberechnung hat sich also als außerordentlich stark erwiesen. Wolf hat den Kometen außer am Entdeckungstage noch dreimal aufgenommen, Sept. 26, Okt. 19 und Dec. 7. Der theoretischen

Helligkeit entsprechend war er an den beiden ersten genannten Tagen etwas heller als am 26. Aug., nämlich 15 Größe, während er Dec. 7 wieder nur 16 Größenklasse helligkeitsentsprach. Außer diesen vier Aufnahmen sind keine Beobachtungen bekannt geworden. In Sankt Petersburg war der Komet zur Zeit der größten theoretischen Helligkeit, Okt. 22, sichtbar, Abmessungen ob dies auch in den großen Refraktoren der Fall gewesen ist, liegt zurzeit noch nicht vor. Der Komet war theoretisch ein wenig heller als zu der Zeit, wo der Perihel 1905 auf der Luf-Sternwarte stattfand; wenn er also ebenfalls diesmal auch in den großen Refraktoren wohl sichtbar gewesen sein sollte, würde dies auf eine weitere beträchtliche Schwächung des Dispersitons des Kometen hindeuten.

Komet 1906g (1906. . .), entdeckt von H. Thiele in Kopenhagen 1906 Nov. 19 in 64 und  $+10''$ . Der Komet war ein runder Nebel 8 bis 9 Größe, von 4' Durchmesser mit einer Verdichtung 18 Größe in der Mitte. Er hat Perihel am 21., und die größte Erdnähe erst am 26. Nov. stattfind, wenn der Komet zunächst noch in Helligkeit zu, am 17. November wurde er von Nijland im Observatorium zu 17<sup>m</sup> geschätzt. Vom Mitte Dezember an beginnt eine ziemlich rasche Lichtabnahme.

Dybbek hat am Nov. 18, Dec. 17 und Jan. 14 die folgende Perihel geschätzt

$$\begin{aligned} T &= 1906 \text{ Nov. 21.2750 in Z. B.} \\ a &= 4'' 52' 46'' \\ \Omega &= 34 \text{ } 36 \text{ } 20'' \\ i &= 35 \text{ } 30 \text{ } 20'' \\ e &= 0.945 \end{aligned} \quad \left. \vphantom{\begin{aligned} T &= 1906 \text{ Nov. 21.2750 in Z. B.} \\ a &= 4'' 52' 46'' \\ \Omega &= 34 \text{ } 36 \text{ } 20'' \\ i &= 35 \text{ } 30 \text{ } 20'' \\ e &= 0.945 \end{aligned}} \right\} 1907.6$$

Die Elemente lassen an mehreren Oen einen ziemlich beträchtlichen Fehler zeigen, und es kann zurzeit noch nicht gesagt werden, ob dieser von einer Ungenauigkeit in den Beobachtungen oder von der Abweichung der Bahn von einer Parabel herrührt.

Komet 1906h (1906. . .) (Metcalf), entdeckt photographisch von Metcalf in Taunton, Mass., am 16 Nov. 1906,

Der Komet war Anfangs ein runder Nebel 11. bis 12. Größe von ca. 2' Durchmesser mit einer deutlichen Verdickung in der Mitte, nahm dann aber zufolge der zunehmenden Entfernung von Erde und Sonne stark an Helligkeit ab, so daß er von Wetz in Straßburg am 18. Dezember nur mehr zu 12. Größe gesehen wurde. Weiter haben sich die Beobachtungen in Straßburg nicht erstreckt, ob der Komet an andere Sternwarten, vorzüglich an solchen mit großen Fernrohren, noch länger beobachtet ist, steht zumal noch nicht fest.

Am 25. Nov. fand Eadington in Andover in einiger Entfernung vom

Kometen zwei, am 25. Nov. nicht mehr sichtbare nebelartige Objekte, die möglicherweise Begleiter des Kometen gewesen sind, aber auch, wie Eadington selbst hervorhebt, dem vorübergehenden Einstrahlen von Wasser zwischen die Gläser des Objektivs ihres Ursprung verdanken können. An anderen Orten ist diese Erscheinung nicht gesehen worden.

Der Komet gehört ebenso wie 1890c zu der Klasse der Kometen mit kurzer Umlaufzeit. Da von Crawford aus den Beobachtungen Nov. 17, Dez. 5 und 18 abgeleitete Elemente ergaben die Umlaufzeit zu 824 Jahren.

## Dunkle Materie unter den Nebelflecken.

(Hans Tietz 12.)

**I**n dem leuchtenden Gewebe der Milchstraße finden sich neben hellen Flecken auch dunkle Stellen, deren auffallendste für das bloße Auge, wie in der Richtung von A Cygnus bei  $\alpha$  Cygni entdeckt. Als ich vor mehr als 40 Jahren auf den Ruf meines Freundes Herr eine genaue Aufzeichnung der Milchstraße, wie sie sich in sehr klaren Nächten darstellt, begann, traf ich auf diesen großen dunklen Raum und war nicht wenig verwundert, bei allen früheren Beobachtungen der Milchstraße keinerlei Erwähnung desselben zu finden. Später erfuhr ich, daß dieser dunkle Raum doch schon früher, im Jahre 1843, von Orbi in Luck gesehen und gemessen worden ist. Seine Zeichnung ist allerdings nicht charakteristisch, sondern zeigt viel zu scharfe Begrenzungen und Ecken. Mit bloßem Auge betrachtet, ist diese dunkle Stelle eine etwa kreisförmige Gestalt und der Rand der Milchstraße zeigt sich selbst als eine von  $\alpha$  Cygni gegen  $\beta$  Cygni ziehende Lichtbrücke. Orbi nannte den dunklen Raum eine „nicht leuchtende Wolke“. Ich glaube, jeder, der diese Region der Himmelstafel aufmerksam untersucht, wird nicht annehmen, diese Be-

zeichnung unzufällig zu finden und die dunkle Region lediglich dem Mangel an kleinen Sternen und dem Fehlen jener kleinen Lichtschleimern, die die Milchstraße charakterisieren, zuzuschreiben. Etwas in seiner Beschreibung der Milchstraße berührt sich der dunkle Fleck als nördliches Kohlenstück, nach Analogie des dunklen Fleckes am Stielhalm der bekanntlich dem Namen nördlicher Kohlenstück führt. Gewisse Darstellungen des nördlichen dunklen Raums haben sogar die Photographien von Prof. Barnard geliefert und dieser erklärte sich auch dafür, daß der Dunkelheit lediglich einer Lücke im Zuge der Milchstraße zuzuschreiben ist, während Barnard außerdem an die verdundelten des Mondes dachte.

Später photographische Aufnahmen von Prof. Barnard haben das Vorhandensein noch anderer Öffnungen zwischen den Sternagglomeraten der Milchstraße erwiesen, besonders in der Region des nördlichen nördlich von  $20^{\circ}$  süd. Deklination. Eine solche kleine Risse in der Milchstraße zeigt in deutlicher Weise eine Aufnahme Prof. Barnards vom 30. Juni 1905. Sie bezieht sich auf einen Raum des Himm-



mit in der Nähe des Sterns  $\beta$ -Cygnus und wurde mit 2 $\frac{1}{2}$ -stündigen Expositionen erhalten. Man erkennt auf der Photographie deutlich, wie die Sternwolken der Milchstraße links von dem gesamten Stern auseinander getrieben sind. Ähnlich wie die Wolken unserer Atmosphäre können wir teilweise aufgebogen erscheinen und den blauen Himmelsgrund hervortreten lassen. So sagt die Harvardische Photographie zwischen den zerstückelten Sternwolken der Milchstraße den dunklen Hintergrund des Raums und nur ein heller und eine Anzahl sehr kleiner Sterne erscheinen vor diesem phantastischen Abgrunde und erheben ohne jede selbst Beschreibung zu ihm, nur völlig für den Anblick von der Erde aus projiziert. In der Nähe des großen Sternhaufens M. G. K. 2558 im Schützen, zeigt die Harvardische Photographie zwei dunkle Stellen an der Milchstraße, von denen die eine sehr auffällig ist und die Prof. Barnard ebenfalls für eine Öffnung zwischen den Sternwolken der Milchstraße erklärt. Mit dem Fernrohr seiner Aufnahmen ist Prof. Barnard jedoch auch auf Regionen, in denen die Dunkelheit nicht wohl auf diese Weise zu erklären ist. Gewisse außerordentlich dunkle Räume der Milchstraße im Cygnus und an anderen Stellen führen ihn auf die Vermutung, daß wir nicht einem Haufen an Sternen zuschauen sind, indem sie tatsächlich dunkler als der sternenreiche Himmelsgrund erscheinen und einem dunklen Raum ihre Ursprung verdanken.

Im Januar dieses Jahres hat Prof. Barnard mehrere sehr wichtige Aufnahmen der Gegend in der Nähe des Plejaden gemacht, die für die Frage nach dem Vorhandensein eines dunklen Welt raumes unter den Sternen von großer Wichtigkeit sind. An und für sich ist

das Aussehen von aussehenden Nebel-Regionen durchaus nicht grundlos, obgleich wir nicht wissen, welches die physikalischen Verhältnisse eines Nebel-Region sind, der kein Licht mehr aussendet und sich nur dadurch bemerkbar macht, daß er das Licht der hinter ihm stehenden Sterne für unsere Augen abfängt. Prof. Barnard hat einige seiner neuesten photographischen Aufnahmen, die ihn zu Aussagen über dunklen Nebelraum führten, mit und teilt diese durch folgende Erläuterungen.<sup>1)</sup> Eine dieser Photographien ist auf Tafel IX reproduziert. Sie wurde am 8. Jan. 1907 mit einer 14-stündigen Linie und 5 $\frac{1}{2}$ -stündiger Exposition erhalten. Der Zentrum der Platte bezeichnet den Punkt des Himmels von  $AR = 4^h 40^m$ ,  $D = +20^\circ$  für 1900. Der hellste Teil des Nebels rechts von der Mitte liegt in  $AR = 4^h 15^m$ ,  $D = +20^\circ 3'$ . Der vorgelagerte Stern unter der Mitte ist = Tau 54 Cygnus. Man erkennt deutlich den Verlauf der dunklen Regionen zwischen den hellen Sternen der Milchstraße und seine Ausdehnung nach NW hin. Dort zeigt sich auf dem dunklen Grund ein helles Nebel-Flöckchen, das sich wahrscheinlich noch weiter ausdehnt aber in diesem vergrößerten Teile nicht mehr erkennen ist und das Licht der kleinen Sterne hinter ihm verdeckt. Wenn der in Wirklichkeit dunkle Strahlen hell wäre so würde er sich um als ein großer Nebelfleck darstellen von ähnlichen Formen wie manche andere zeigen. Es kann wohl nach der Aufnahme von Prof. Barnard gut einem Zweifel mehr unterliegen, daß im Weltraum ausgedehnte Nebelregionen sich befinden, die nicht leuchten, sondern nur durch Verdunklung des Himmelsraumes hinter ihnen sichtbar werden. (2)

1707

$$\left( \begin{array}{c} \text{N} \\ \text{M} \end{array} \right) \left( \begin{array}{c} \text{N} \\ \text{M} \end{array} \right)$$

<sup>1)</sup> Astrophys. Journal 1907 April Vol. 25, No. 3, p. 221.

## Vermischte Nachrichten.

**Großer Sonnenfleck.** Herr Dr. Epstein schreibt in der *Frankf. Zig.* vom 17. Juli: Das Maximum der Entwicklung von Sonnenflecken war in der Mitte des Jahres 1906 eingetreten und während letzten Jhs. im Anfang langsam, im laufenden Jahr (besonders von Mitte bis an) schnell oder abgenommen, so daß man erwarten durfte, die Sonnenflecken und wieder ganz Fleckenlos zu sehen. Um so erschöckender ist es, daß gegenwärtig ein kolossalier Fleck sich gebildet, oder eigentlich sind es zwei, die zusammen verstanden sind. Sie müssen auf der Rückseite der Sonne vor einigen Tagen entstanden sein, denn an ihrer Stelle war vorher nichts vorhanden, nach nicht der kleine Fleck. Ihre Entwicklung muß also rapid vor sich gegangen sein. Infolge der Rotation der Sonne, die auf der Vorderseite von Ost nach West erfolgt, können sie am nächsten am 14. Juni zum Vorschein. Die wahre Größe der Flecke wird sich erst zeigen, wenn sie bis in die Mitte der Scheibe vorgezogen sein werden, was etwa am 18. Juni der Fall sein wird, vorausgesetzt, daß sie bis dahin nicht abgenommen haben. Unter dieser Voraussetzung sieht man zu erwarten, daß man sie mit bloßen Augen als schwarzen Punkt erkennen werde. Eine weitere Möglichkeit ist eine Einwirkung auf den magnetischen Zustand der Erde, d. h. Erzeugung von Nord- und Süd- und richtungslosen Erdströmen. Der Ort der Flecke ist in Länge 34° und 36°, in Breite — 18° und — 22°.

**Die Verdoppelung der chromosphärischen Linien.** Bei der Beobachtung des totalen Sonnenfinsternis am 12. bis 13. Mai 1905 in Känga Tage auf Sumatra erhielt die australische Expedition, deren hervorragende Mitglieder der Herr Dr. Julius, Högund und Willbrandt waren, mit einer Prisma-Newton'schen Aufstellung des Flach-Spektrometers, auf deren jede der schwarzen, schalenförmigen Emissionen Doppel-

schatten. Eine Erklärung dieser Linienverdoppelung hat W. H. Julius auf Grund seiner Theorie der Anwendung der anomalen Dispersion zur Erklärung der Chromosphären gegeben. Prof. Hartmann vom Astrophysikalischen Institut in Potsdam hielt diese Erklärung nicht für richtig und veröffentlichte mehrere eine Erklärung, in welcher er die Verdoppelung der Linien nicht Vorgängen auf der Sonne, sondern einer unrichtigen Einstellung des Spektrographen während der Aufnahme zuschreibt. „Eine vorläufige Deutung der Phänomene“, sagt Prof. Hartmann, „ist mir nur zur vorläufigen Gewissheit gemacht, daß der in Rede stehende Linienverdoppelung wenig und allein eine Folge unrichtiger Fokussierung des Spektrographen während der Aufnahme ist. Ich will nur hier gleich hervorheben, daß den Beobachtern deshalb durchaus kein besonderer Vorwurf trifft. Jedes, der einmal mit der Prismenauflösung gearbeitet hat, weiß, wie schwierig gerade die richtige Fokussierung bei diesem Instrument ist, und bei demselben die Belichtungszeit nicht nur von der genauen Einstellung des Kammerobjekts, sondern oft auch ebenso stark von der Stellung abhängig ist, in welcher die erste Prismenfläche vom einfallenden Licht getroffen wird. Hat man den Apparat, wie es gewöhnlich geschieht, im Laboratorium mittels eines Kollimators, oder auch am Himmel mit Hilfe von Sternen genau für Licht fokussiert, welches die Prismen im Minimum der Ablenkung durchläuft, so fällt diese Fokussierung doch aus nicht mehr, wenn man später bei der Flach-Aufnahme das Licht aus einer anderen Richtung hat. Zu einem solchen Richtungswechsel ist es nun aber leicht die Möglichkeit gegeben, da ja das Licht mittels eines Hohlspiegels auf den Apparat ge-

\*) Zeits. 1905, S. 148.

\*) Astron. Nachr., No. 475.

worfen wird, dessen Stellung nur in ziemlich primitiver Weise festsetzt und bei Gelegenheit immer im Jahre 1895 auf der spanischen Station der Lick sternwarte ausgeführten Aufnahmen des Flach-Spektrenultraviolett-Schwingkelles genau kennen gelernt.

Deshalb die Bilder der einzelnen Linsen eines Linsenapparates bei unvollständiger Fokussierung nicht nur vergrößert und unscharf werden, sondern auch sehr häufig auch verdoppelt, ist eine jedem Spektroskopiker bekannte Erscheinung. Bei Spektroskopie mit starker Lichtschwächung tritt dies häufig, wenn auf die Mitte des Spektrums scharf eingestrichelt ist, am Anfang und am Ende daneben die Doppelbilder. Auch meine eigene Aufnahme des Flach-Spektrums zeigt diese Erscheinung sehr deutlich; während in der Mitte die Platte auf einer Strecke von etwa 15 mm Länge alle Linsen absolut scharf und richtig sind, beginnen dieselben außerhalb dieses Gebietes doppelt zu werden, und die Distanz der Komponenten wächst mit zunehmender Annäherung an den Rand der Platte, d. h. mit zunehmender Entfernung von der richtigen Fokussierung. Bei der ganz am Rande der Platte liegenden Linie H $\gamma$  beträgt der Abstand der beiden Komponenten 0.095 mm = 1.2 AE.

Diese doppelte Erscheinung wie die letztgenannte Linie machen nun die Flach-Bilder der niederländischen Expedition, nur mit dem einen Unterschied, daß bei letztem Überzuge keine Stelle der Platte im richtigen Fokus war. Strenge Linsen des Flach-Spektrums, sowohl die genügende Helligkeit besitzen, wiederum stark vergrößert und hätten zwei Helligkeitsmaxima an den beiden Rändern, so daß man sie ganz wohl als Doppelsternen betrachten kann. Der Abstand der Komponenten ist nicht konstant, sondern nimmt mit zunehmender Wellenlänge zu, er beträgt bei der Linie H $\gamma$  etwa 0.1 mm, und bei H $\delta$  0.2 mm. Einen ganz anderen Beweis für die Richtigkeit der von mir gegebenen Erklärung der Doppelsternen

kann man dann ersehen, daß nach stündlicher Fokussierung des Linsen der schwachen roten dem Flach noch nicht-brennende Scheib genau dieselbe Verkleinerung ihrer Verdopplung zeigen. Die scharfe Fokussierung blickt diese Scheib ein Sonnenspektrum mit mehreren, ziemlich scharfen Fraunhoferischen Linien geben müssen.

Durch noch andere Ausführungen liefert Prof. Hartmann dann den Beweis, daß der auf den niederländischen Platten abgebildeten Erscheinung keine reale Verdopplung der Komponenten zuzuschreiben und gilt schließlich an auf welche Weise die scharfe Einstellung der Linsen ausgeführt worden kann.

Achern ist ein kleiner Planet der Jupitergruppe der Asteroiden. Der Planeten 1864 VV heißt genau die Bahnbestimmung von Vladimir Hirsch in Prater eine weitere scharfe Bewegung von 209145', während die des Jupiter 294828' beträgt, folglich ist jeder kleine Planet etwas weiter von der Sonne entfernt als Jupiter und seine Umlaufzeit beträgt 11.65 Jahre. Diese Tatsache scheint interessant, abgesehen die Bahnbestimmung wegen Komet der Beobachtungspunkt noch ziemlich unsicher ist. Es gibt sind also drei Planeten der Jupitergruppe bekannt und leicht könnte es sein, daß deren noch mehrere vorhanden sind.

Sehen vom Planeten Merk. Nach einer Mitteilung von Percival Lowell\*) ist der dunkle Fleck Solis Lacus von dem am 18. Mai d. J. gefast gesehen worden. Das ist die Platte, daß diese Doppelstern bemerkt wurden, wie im Sommer 1894. Diese Veränderung ist hienach wahrscheinlich aber doch nicht absolut sicher, da sich 1894 jene Lokalisierung nicht so gut für den Aufblick von der Erde darstellte als gegenwärtig. Diese Verlagerung des Solis Lacus ist aber nicht etwa eine Verdopplung im Sinne

\*) Astron. Nachr., No. 446.

\*) Lowell Observatory Bulletin, No. 28.

der Verdrängung der Mondkruste, dass die beiden Teile des Lagers wieder wieder 1894 nach sind die gegenwärtig in Größe und Gewicht voneinander gleich. Der Einfluss ist der Monocent und anstehend von runder Form, der andere ist an Flächeninhalt wenigstens dreimal so groß und viereckig, jeder sonst Kante aus, der Einfluss des Kana, des Nektar und eines neuen am 18. Mai zuerst gebildeten Kanal, dem Lurch des Nektar ist er gibt. Von westlicher gelben Anthon, Bathy und Tithonus aus und dass der Kante entstehen doppelt, nur bei Bathy ist dies noch etwas zweifelhafte. Die südliche Polarkappe des Mars hat sich von

Tharsis südwärts zurückgezogen und hat einen dunklen Grund unter sich zerlegt. Das Datum des 18. Mai entspricht auf dem Mars dem 13. März unserer Kalender und die Schmelzen des Schnees beweist, daß damals die Temperatur der Marsoberfläche zwischen 42 und 52° nördlicher Breite unter 2° C war.

**Neu berechnete Bahnparameter des 6. Jupitermondes.** F. J. Hill hat für das mittlere Datum 1905,84 die von den Wirkungen der Störungen befreiten Bahnparameter dieses Trabanten berechnet. Dasselbe sind, bezogen auf die Ebene des Äquators, der Ellipse und der Jupiterbahn folgende:

	Werte der Ellipsenbahn	Werte der Ellipse	Werte der Jupiterbahn
Länge des Perihels . . . . .	292.52°	298.52°	295.59°
Länge des aphelionischen Kometen . . . . .	111.0	176.18	196.15
Neigung der Bahn . . . . .	5° 56.8'	28° 56.8'	28° 44.8'
Winkelabstand des Perihels vom Kometen	51.52°	90° 48'	91.17°

Die mittlere tägliche Bewegung beträgt scheinbar 1.13845°, tropisch 1.13649°, die siderische Umlaufdauer 260.618 Tage, die halbe große Achse der Bahn im Falle der mittleren Entfernung der Erde von der Sonne) 0.876404 oder in Winkelmaß bei mittlerer Entfernung des Jupiter 3432.0°, ist also diese über fünf so groß wie die mittlere Entfernung des 4. Trabanten. Das Perihel nicht (theoretisch) in einem jupiterischen Jahre auf der Ebene der Jupiterbahn um 1.123° vor, der aufsteigende Komet geht in derselben Zeit um 1.287° zurück.<sup>1)</sup>

**Einfluß des Mondes auf die Windstärke.** Der Mond ist ebenso wie die Sonne einen sehr merklichen Einfluß auf die Windstärke der Erdoberfläche aus, der so der Höhe und Flut des Meeres zur Erscheinung kommt. Eine mittlere Höhe und Flut der Atmosphäre konnte jedoch in den ältesten Beobachtungen nicht mit Sicherheit nachgewiesen werden. Unglück hat Archonide der Windstärke mit Höhe

nicht auf die Mondhöhe untersucht<sup>2)</sup> und findet eine unrichtige Beobachtung derselben die auf Fluvtide durch den Mond zurückgeführt werden kann. Die zu Utsie in den Jahren 1893 bis 1903 angestellten Messungen der Windgeschwindigkeit ergaben folgendes. Umgriffe 11 Stunden vor dem Meridiandurchgang des Mondes steigt die Windgeschwindigkeit mit einem Durchschnittswert von 15.6 km pro Stunde die Hauptminuten, das was nächsten Maximum von 12.0 km 1 bis 2 Stunden vor der Kulmination gegenübersteht. Zwischen diesen beiden Minima steigt die Windgeschwindigkeit zum Maximum von 11.1 km und 11.25 km, die 3 Stunden vor und 4 Stunden nach der Meridiankulmination liegen.

Die stündigen geringen Beträge dieser Schwankungen quantifiziert Archonide, die auf dem Seile während des Jahres 1903 aufgenommene Windstärken im gleichen Sinne zu gruppierten, dass es ist je von vordere wahrscheinlich:

<sup>1)</sup> Hill, de la société belge d'Astronomie 1907 Febr.





# Astronomischer Kalender für den Monat Oktober 1907.

Tag des Monats	Sonne				Mond			
	Mittlerer Berliner Mittag				Mittlerer Berliner Mittag			
	Zeit in U. — M. U.	Rektascension	Declination		Rektascension	Declination	Mond im Meridian	
1	10 51 10	13 58 7 48	— 1 45 33 3	1 45 33 3	13 58 10 51	— 1 45 33 3	10 51 10	1
2	10 50 40	13 59 44 76	— 1 45 48 5	1 45 48 5	13 59 10 42	— 1 45 48 5	10 50 40	2
3	10 50 10	14 01 59 58	— 1 46 3 7	1 46 3 7	14 01 10 33	— 1 46 3 7	10 50 10	3
4	10 49 40	14 04 20 50	— 1 46 56 1	1 46 56 1	14 02 10 24	— 1 46 56 1	10 49 40	4
5	10 49 10	14 06 40 43	— 1 47 58 4	1 47 58 4	14 03 10 15	— 1 47 58 4	10 49 10	5
6	10 48 40	14 09 17 90	— 1 48 41 9	1 48 41 9	14 04 10 6	— 1 48 41 9	10 48 40	6
7	10 48 10	14 11 58 97	— 1 49 47 1	1 49 47 1	14 05 9 57	— 1 49 47 1	10 48 10	7
8	10 47 40	14 14 35 92	— 1 50 58 9	1 50 58 9	14 06 9 48	— 1 50 58 9	10 47 40	8
9	10 47 10	14 17 15 86	— 1 51 48 1	1 51 48 1	14 07 9 39	— 1 51 48 1	10 47 10	9
10	10 46 40	14 20 00 80	— 1 52 36 0	1 52 36 0	14 08 9 30	— 1 52 36 0	10 46 40	10
11	10 46 10	14 22 40 73	— 1 53 24 0	1 53 24 0	14 09 9 21	— 1 53 24 0	10 46 10	11
12	10 45 40	14 25 25 66	— 1 54 11 1	1 54 11 1	14 10 9 12	— 1 54 11 1	10 45 40	12
13	10 45 10	14 28 15 58	— 1 54 58 2	1 54 58 2	14 11 9 3	— 1 54 58 2	10 45 10	13
14	10 44 40	14 31 10 49	— 1 55 45 3	1 55 45 3	14 12 8 54	— 1 55 45 3	10 44 40	14
15	10 44 10	14 34 10 40	— 1 56 32 4	1 56 32 4	14 13 8 45	— 1 56 32 4	10 44 10	15
16	10 43 40	14 37 15 31	— 1 57 19 5	1 57 19 5	14 14 8 36	— 1 57 19 5	10 43 40	16
17	10 43 10	14 40 25 22	— 1 58 6 6	1 58 6 6	14 15 8 27	— 1 58 6 6	10 43 10	17
18	10 42 40	14 43 40 13	— 1 58 53 7	1 58 53 7	14 16 8 18	— 1 58 53 7	10 42 40	18
19	10 42 10	14 46 50 4	— 1 59 40 8	1 59 40 8	14 17 8 9	— 1 59 40 8	10 42 10	19
20	10 41 40	14 50 05 35	— 2 00 27 9	2 00 27 9	14 18 7 50	— 2 00 27 9	10 41 40	20
21	10 41 10	14 53 25 26	— 2 01 14 0	2 01 14 0	14 19 7 41	— 2 01 14 0	10 41 10	21
22	10 40 40	14 56 50 17	— 2 02 0 1	2 02 0 1	14 20 7 32	— 2 02 0 1	10 40 40	22
23	10 40 10	14 60 10 8	— 2 02 46 2	2 02 46 2	14 21 7 23	— 2 02 46 2	10 40 10	23
24	10 39 40	14 63 35 59	— 2 03 32 3	2 03 32 3	14 22 7 14	— 2 03 32 3	10 39 40	24
25	10 39 10	14 67 05 50	— 2 04 18 4	2 04 18 4	14 23 7 5	— 2 04 18 4	10 39 10	25
26	10 38 40	14 70 30 41	— 2 05 4 5	2 05 4 5	14 24 6 56	— 2 05 4 5	10 38 40	26
27	10 38 10	14 74 00 32	— 2 05 50 6	2 05 50 6	14 25 6 47	— 2 05 50 6	10 38 10	27
28	10 37 40	14 77 25 23	— 2 06 36 7	2 06 36 7	14 26 6 38	— 2 06 36 7	10 37 40	28
29	10 37 10	14 80 55 14	— 2 07 22 8	2 07 22 8	14 27 6 29	— 2 07 22 8	10 37 10	29
30	10 36 40	14 84 20 5	— 2 08 8 9	2 08 8 9	14 28 6 20	— 2 08 8 9	10 36 40	30
31	10 36 10	14 87 40 56	— 2 08 54 0	2 08 54 0	14 29 6 11	— 2 08 54 0	10 36 10	31

## Planetenkonstellationen 1907.

Oktober	1	24	Merkur in Konjunktion mit dem Monde.
"	2	19	Ungun in Quincunx mit der Sonne.
"	3	1	Merkur im Aries.
"	7	5	Ungun in Konjunktion mit dem Monde.
"	8	11	Merkur in Konjunktion mit dem Monde.
"	9	20	Merkur im Quadratur mit der Sonne.
"	14	14	Merkur in Konjunktion mit dem Monde.
"	20	7	Merkur in Konjunktion mit dem Monde.
"	29	29	Merkur tritt in den Bogen 184° 50'.
"	29	29	Merkur tritt in den Bogen 184° 50'.
"	30	29	Merkur tritt in den Bogen 184° 50'.
"	31	11	Merkur tritt in den Bogen 184° 50'.

**Phaenoc. Epheemerides.**

Mittlerer Berliner Mittag.					Mittlerer Berliner Mittag.				
Jahr	Rechnungs- h. m. s.			Oberg. Meridian- abw. d. m.	Jahr	Rechnungs- h. m. s.			Oberg. Meridian- abw. d. m.
	h.	m.	s.			h.	m.	s.	
Merkur.									
1667									
Oct. 1	10	10	30.33	— 10.48 31.0	1	0			
10	10	17	30.50	1.0 10.30.0	1	0			
18	10	23	31.03	1.0 10.30.0	1	0			
26	10	30	31.13	1.0 10.30.0	1	0			
30	10	32	31.15	1.0 10.30.0	1	0			
Oct. 1	10	34	31.17	— 10.48 31.0	1	0			
Venus.									
Oct. 9	10	3	31.50	— 1.20 30.5	0	11			
10	10	30	30.52	1.55 33.4	0	14			
17	10	40	31.31	1.0 10.30.0	0	19			
20	10	50	30.52	1.0 10.30.0	0	19			
26	10	30	30.50	1.0 10.30.0	0	19			
30	10	1	30.50	— 10.48 31.0	0	14			
Mars.									
Oct. 9	10	30	31.43	— 10.48 31.0	0	0			
10	10	3	31.50	1.0 10.30.0	0	10			
17	10	40	31.40	1.0 10.30.0	0	10			
20	10	50	31.10	1.0 10.30.0	0	10			
26	10	30	31.40	— 10.48 31.0	0	10			
30	10	1	30.50	— 10.48 31.0	0	14			
Jupiter.									
Oct. 9	0	0	40 32.40	+0.0 21.33 7	12	00			
10	0	0	40 40.00	17.07 14.0	10	0			
20	0	0	40 41.00	+0.0 21.33 7	12	00			
Saturnus.									
Oct. 1	10	10	30.33	— 10.48 31.0	1	0			
10	10	17	30.50	1.0 10.30.0	1	0			
18	10	23	31.03	1.0 10.30.0	1	0			
26	10	30	31.13	1.0 10.30.0	1	0			
30	10	32	31.15	1.0 10.30.0	1	0			
Oct. 1	10	34	31.17	— 10.48 31.0	1	0			
Uranus.									
Oct. 9	10	30	31.43	— 10.48 31.0	0	0			
10	10	3	31.50	1.0 10.30.0	0	0			
17	10	40	31.31	1.0 10.30.0	0	0			
20	10	50	30.52	1.0 10.30.0	0	0			
26	10	30	30.50	1.0 10.30.0	0	0			
30	10	1	30.50	— 10.48 31.0	0	0			
Neptun.									
Oct. 9	1	0	40 32.40	+0.0 21.33 7	12	00			
10	1	0	40 40.00	17.07 14.0	12	00			
20	1	0	40 41.00	+0.0 21.33 7	12	00			
Mondphasen.									
				h. m.					
Oct.	9	30	14.3		Neumond				
	10	30	07.0		Erster Viertel				
	20	22	07.1		Vollmond				
	29	20	08.2		Letztes Viertel				
	16	0	—		Mond in Erdens				
	27	02	—		Mond in Erdens				

**Sonnenbedeckungen durch den Mond für Berlin 1667.**

Monatstag	Jahr	Größe	Erdens mittlere Zeit		Ausgangs mittlere Zeit	
			h.	m.	h.	m.
Oct. 10	1766	1.4	10	21.0	11	27.4

**Loge und Größe der Sonnenränder.**

Oct. 1. Größe Acher der Ringelringe: oben, Mitte Acher: sehr viel  
Erleuchtungswahl der Sonne über der Ringelringe: 4° 24' 10"

Oct. 1.	Flächen Scheide der Cypide	20° 20' 40"
	Wahr	20° 20' 40"
	Höhenwinkel der Sonne	14° 0' 00"
	Flächen	400"



Stellungen der Jagdarmeen im Oktober 1907.



Stellungen von 115 bis zum Schluss im abendlichen Fernrohr.

Tag	West.	Ost.
1	1	1
2	1 1 1 1	1
3	1	1 1 1 1
4	1	1
5	1	1 1 1 1
6	1	1
7	1	1
8	1	1
9	1 1 1 1	1 1 1 1
10	1	1 1 1 1
11	1	1
12	1	1
13	1	1
14	1	1
15	1	1
16	1	1
17	1	1
18	1	1
19	1	1
20	1	1
21	1	1
22	1	1
23	1	1
24	1	1
25	1	1
26	1	1
27	1	1
28	1	1
29	1	1
30	1	1
31	1	1

**Ercheinungen der Japanermonde.** Die sämtlichen Angaben über die Erscheinungen der Japanermonde beziehen sich auf mittlere Zeit von Greenwich. Die Trabanten sind der Späterhöger (der Kiderider) vom Jupiter nach mit I bis IV bezeichnet. Die vier größten Figuren zeigen die Stellung jedes Mondes mit Bezug auf das Jupiter für den Augenblick der Wahrnehmung (d. h. mit dem Winkelscheinmax.) in  $h^{\circ}$  nach angegeben, so kann der Abstand von dem Scheitel nach beobachtet werden. Ferner bezeichnen die nachfolgenden Zeitangaben:

De D das Verschwinden des Trabanten im Schatten des Jupiter.

De E den Austritt des Trabanten aus dem Schatten des Jupiter.

De D das Verschwinden des Trabanten hinter der Japanermonde.

De R das Wiedererscheinen desselben neben der Japanermonde.

Tr I den Eintritt des Trabanten vor die Japanermonde.

Tr E den Austritt des Trabanten aus der Japanermonde.

Sh I den Eintritt des Trabanten vor die Japanermonde.

Sh E den Austritt des Trabanten hinter der Japanermonde.

Es sind nur diejenigen Erscheinungen der Japanermonde aufgeführt, welche sich ergiebt wenn Jupiter im Ostwärtig oder im Westwärtig steht. Um die Momente dieser Erscheinungen nach mitteleuropäischer Zeit zu finden, hat man nur nötig, 1<sup>o</sup> zu dem angegebenen Zeitpunkte zu addieren:

Oktober 1. I Co. R. 12<sup>h</sup> 15<sup>m</sup>. II Co. R. 12<sup>h</sup> 15<sup>m</sup>. Oktober 2. I Tr. E. 12<sup>h</sup> 15<sup>m</sup>. II. Co. D. 12<sup>h</sup> 15<sup>m</sup>. Oktober 3. III. Co. R. 12<sup>h</sup> 15<sup>m</sup>. Oktober 7. I Sh. I. 12<sup>h</sup> 15<sup>m</sup>. I Tr. E. 12<sup>h</sup> 15<sup>m</sup>. Oktober 8. II Co. D. 12<sup>h</sup> 15<sup>m</sup>. I Co. R. 12<sup>h</sup> 15<sup>m</sup>. Oktober 9. I Co. R. 12<sup>h</sup> 15<sup>m</sup>. Oktober 10. I Tr. E. 12<sup>h</sup> 15<sup>m</sup>. I Sh. E. 12<sup>h</sup> 15<sup>m</sup>. II Tr. E. 12<sup>h</sup> 15<sup>m</sup>. Oktober 11. II Co. R. 12<sup>h</sup> 15<sup>m</sup>. Oktober 12. III. Co. D. 12<sup>h</sup> 15<sup>m</sup>. II Tr. E. 12<sup>h</sup> 15<sup>m</sup>. Oktober 13. III. Co. R. 12<sup>h</sup> 15<sup>m</sup>. Oktober 14. IV. Tr. I. 12<sup>h</sup> 15<sup>m</sup>. IV. Tr. E. 12<sup>h</sup> 15<sup>m</sup>. Oktober 15. I Sh. I. 12<sup>h</sup> 15<sup>m</sup>. Oktober 16. I Co. D. 12<sup>h</sup> 15<sup>m</sup>. II Co. D. 12<sup>h</sup> 15<sup>m</sup>. Oktober 17. I Sh. E. 12<sup>h</sup> 15<sup>m</sup>. I Tr. I. 12<sup>h</sup> 15<sup>m</sup>. I Sh. E. 12<sup>h</sup> 15<sup>m</sup>. I Tr. E. 12<sup>h</sup> 15<sup>m</sup>. Oktober 18. II Co. D. 12<sup>h</sup> 15<sup>m</sup>. II Tr. E. 12<sup>h</sup> 15<sup>m</sup>. Oktober 19. II Co. R. 12<sup>h</sup> 15<sup>m</sup>. Oktober 20. IV. Tr. I. 12<sup>h</sup> 15<sup>m</sup>. IV. Tr. E. 12<sup>h</sup> 15<sup>m</sup>. Oktober 21. I Sh. I. 12<sup>h</sup> 15<sup>m</sup>. I Tr. E. 12<sup>h</sup> 15<sup>m</sup>. Oktober 22. I Co. D. 12<sup>h</sup> 15<sup>m</sup>. II Co. R. 12<sup>h</sup> 15<sup>m</sup>. II Tr. I. 12<sup>h</sup> 15<sup>m</sup>. II Sh. E. 12<sup>h</sup> 15<sup>m</sup>. II Co. D. 12<sup>h</sup> 15<sup>m</sup>. Oktober 23. I Co. R. 12<sup>h</sup> 15<sup>m</sup>. Oktober 24. I Tr. E. 12<sup>h</sup> 15<sup>m</sup>. Oktober 25. II Co. R. 12<sup>h</sup> 15<sup>m</sup>. Oktober 26. I Sh. I. 12<sup>h</sup> 15<sup>m</sup>. IV Co. R. 12<sup>h</sup> 15<sup>m</sup>. II Co. D. 12<sup>h</sup> 15<sup>m</sup>. II Tr. I. 12<sup>h</sup> 15<sup>m</sup>. II Sh. E. 12<sup>h</sup> 15<sup>m</sup>. Oktober 27. I Sh. I. 12<sup>h</sup> 15<sup>m</sup>. I Tr. E. 12<sup>h</sup> 15<sup>m</sup>. Oktober 28. II Co. R. 12<sup>h</sup> 15<sup>m</sup>. Oktober 29. II Tr. I. 12<sup>h</sup> 15<sup>m</sup>. IV Co. R. 12<sup>h</sup> 15<sup>m</sup>. II Tr. E. 12<sup>h</sup> 15<sup>m</sup>. Oktober 30. I Sh. I. 12<sup>h</sup> 15<sup>m</sup>. I Tr. E. 12<sup>h</sup> 15<sup>m</sup>. Oktober 31. I Co. D. 12<sup>h</sup> 15<sup>m</sup>. II Sh. I. 12<sup>h</sup> 15<sup>m</sup>. I Co. R. 12<sup>h</sup> 15<sup>m</sup>. II Tr. I. 12<sup>h</sup> 15<sup>m</sup>. II Sh. E. 12<sup>h</sup> 15<sup>m</sup>.

## Stellungen der Saturnmonde. (Abbildung S. 204.)

Zeitraum der ersten Elongation im Oktober 1895.

**Tethys.** Oktober 1. 2<sup>h</sup> 15<sup>m</sup>; Oktober 2. 2<sup>h</sup> 15<sup>m</sup>; Oktober 3. 2<sup>h</sup> 15<sup>m</sup>; Oktober 4. 2<sup>h</sup> 15<sup>m</sup>; Oktober 5. 2<sup>h</sup> 15<sup>m</sup>; Oktober 6. 2<sup>h</sup> 15<sup>m</sup>; Oktober 7. 2<sup>h</sup> 15<sup>m</sup>; Oktober 8. 2<sup>h</sup> 15<sup>m</sup>; Oktober 9. 2<sup>h</sup> 15<sup>m</sup>; Oktober 10. 2<sup>h</sup> 15<sup>m</sup>; Oktober 11. 2<sup>h</sup> 15<sup>m</sup>; Oktober 12. 2<sup>h</sup> 15<sup>m</sup>; Oktober 13. 2<sup>h</sup> 15<sup>m</sup>; Oktober 14. 2<sup>h</sup> 15<sup>m</sup>; Oktober 15. 2<sup>h</sup> 15<sup>m</sup>; Oktober 16. 2<sup>h</sup> 15<sup>m</sup>; Oktober 17. 2<sup>h</sup> 15<sup>m</sup>; Oktober 18. 2<sup>h</sup> 15<sup>m</sup>; Oktober 19. 2<sup>h</sup> 15<sup>m</sup>; Oktober 20. 2<sup>h</sup> 15<sup>m</sup>; Oktober 21. 2<sup>h</sup> 15<sup>m</sup>; Oktober 22. 2<sup>h</sup> 15<sup>m</sup>; Oktober 23. 2<sup>h</sup> 15<sup>m</sup>; Oktober 24. 2<sup>h</sup> 15<sup>m</sup>; Oktober 25. 2<sup>h</sup> 15<sup>m</sup>; Oktober 26. 2<sup>h</sup> 15<sup>m</sup>; Oktober 27. 2<sup>h</sup> 15<sup>m</sup>; Oktober 28. 2<sup>h</sup> 15<sup>m</sup>; Oktober 29. 2<sup>h</sup> 15<sup>m</sup>; Oktober 30. 2<sup>h</sup> 15<sup>m</sup>; Oktober 31. 2<sup>h</sup> 15<sup>m</sup>.

**Mimas.** Oktober 1. 2<sup>h</sup> 15<sup>m</sup>; Oktober 2. 2<sup>h</sup> 15<sup>m</sup>; Oktober 3. 2<sup>h</sup> 15<sup>m</sup>; Oktober 4. 2<sup>h</sup> 15<sup>m</sup>; Oktober 5. 2<sup>h</sup> 15<sup>m</sup>; Oktober 6. 2<sup>h</sup> 15<sup>m</sup>; Oktober 7. 2<sup>h</sup> 15<sup>m</sup>; Oktober 8. 2<sup>h</sup> 15<sup>m</sup>; Oktober 9. 2<sup>h</sup> 15<sup>m</sup>; Oktober 10. 2<sup>h</sup> 15<sup>m</sup>; Oktober 11. 2<sup>h</sup> 15<sup>m</sup>; Oktober 12. 2<sup>h</sup> 15<sup>m</sup>; Oktober 13. 2<sup>h</sup> 15<sup>m</sup>; Oktober 14. 2<sup>h</sup> 15<sup>m</sup>; Oktober 15. 2<sup>h</sup> 15<sup>m</sup>; Oktober 16. 2<sup>h</sup> 15<sup>m</sup>; Oktober 17. 2<sup>h</sup> 15<sup>m</sup>; Oktober 18. 2<sup>h</sup> 15<sup>m</sup>; Oktober 19. 2<sup>h</sup> 15<sup>m</sup>; Oktober 20. 2<sup>h</sup> 15<sup>m</sup>; Oktober 21. 2<sup>h</sup> 15<sup>m</sup>; Oktober 22. 2<sup>h</sup> 15<sup>m</sup>; Oktober 23. 2<sup>h</sup> 15<sup>m</sup>; Oktober 24. 2<sup>h</sup> 15<sup>m</sup>; Oktober 25. 2<sup>h</sup> 15<sup>m</sup>; Oktober 26. 2<sup>h</sup> 15<sup>m</sup>; Oktober 27. 2<sup>h</sup> 15<sup>m</sup>; Oktober 28. 2<sup>h</sup> 15<sup>m</sup>; Oktober 29. 2<sup>h</sup> 15<sup>m</sup>; Oktober 30. 2<sup>h</sup> 15<sup>m</sup>; Oktober 31. 2<sup>h</sup> 15<sup>m</sup>.

**Encel.** Oktober 1. 2<sup>h</sup> 15<sup>m</sup>; Oktober 2. 2<sup>h</sup> 15<sup>m</sup>; Oktober 3. 2<sup>h</sup> 15<sup>m</sup>; Oktober 4. 2<sup>h</sup> 15<sup>m</sup>; Oktober 5. 2<sup>h</sup> 15<sup>m</sup>; Oktober 6. 2<sup>h</sup> 15<sup>m</sup>; Oktober 7. 2<sup>h</sup> 15<sup>m</sup>; Oktober 8. 2<sup>h</sup> 15<sup>m</sup>; Oktober 9. 2<sup>h</sup> 15<sup>m</sup>; Oktober 10. 2<sup>h</sup> 15<sup>m</sup>; Oktober 11. 2<sup>h</sup> 15<sup>m</sup>; Oktober 12. 2<sup>h</sup> 15<sup>m</sup>; Oktober 13. 2<sup>h</sup> 15<sup>m</sup>; Oktober 14. 2<sup>h</sup> 15<sup>m</sup>; Oktober 15. 2<sup>h</sup> 15<sup>m</sup>; Oktober 16. 2<sup>h</sup> 15<sup>m</sup>; Oktober 17. 2<sup>h</sup> 15<sup>m</sup>; Oktober 18. 2<sup>h</sup> 15<sup>m</sup>; Oktober 19. 2<sup>h</sup> 15<sup>m</sup>; Oktober 20. 2<sup>h</sup> 15<sup>m</sup>; Oktober 21. 2<sup>h</sup> 15<sup>m</sup>; Oktober 22. 2<sup>h</sup> 15<sup>m</sup>; Oktober 23. 2<sup>h</sup> 15<sup>m</sup>; Oktober 24. 2<sup>h</sup> 15<sup>m</sup>; Oktober 25. 2<sup>h</sup> 15<sup>m</sup>; Oktober 26. 2<sup>h</sup> 15<sup>m</sup>; Oktober 27. 2<sup>h</sup> 15<sup>m</sup>; Oktober 28. 2<sup>h</sup> 15<sup>m</sup>; Oktober 29. 2<sup>h</sup> 15<sup>m</sup>; Oktober 30. 2<sup>h</sup> 15<sup>m</sup>; Oktober 31. 2<sup>h</sup> 15<sup>m</sup>.

**Titan.** Oktober 1. 2<sup>h</sup> 15<sup>m</sup>; Oktober 2. 2<sup>h</sup> 15<sup>m</sup>; Oktober 3. 2<sup>h</sup> 15<sup>m</sup>; Oktober 4. 2<sup>h</sup> 15<sup>m</sup>; Oktober 5. 2<sup>h</sup> 15<sup>m</sup>; Oktober 6. 2<sup>h</sup> 15<sup>m</sup>; Oktober 7. 2<sup>h</sup> 15<sup>m</sup>; Oktober 8. 2<sup>h</sup> 15<sup>m</sup>; Oktober 9. 2<sup>h</sup> 15<sup>m</sup>; Oktober 10. 2<sup>h</sup> 15<sup>m</sup>; Oktober 11. 2<sup>h</sup> 15<sup>m</sup>; Oktober 12. 2<sup>h</sup> 15<sup>m</sup>; Oktober 13. 2<sup>h</sup> 15<sup>m</sup>; Oktober 14. 2<sup>h</sup> 15<sup>m</sup>; Oktober 15. 2<sup>h</sup> 15<sup>m</sup>; Oktober 16. 2<sup>h</sup> 15<sup>m</sup>; Oktober 17. 2<sup>h</sup> 15<sup>m</sup>; Oktober 18. 2<sup>h</sup> 15<sup>m</sup>; Oktober 19. 2<sup>h</sup> 15<sup>m</sup>; Oktober 20. 2<sup>h</sup> 15<sup>m</sup>; Oktober 21. 2<sup>h</sup> 15<sup>m</sup>; Oktober 22. 2<sup>h</sup> 15<sup>m</sup>; Oktober 23. 2<sup>h</sup> 15<sup>m</sup>; Oktober 24. 2<sup>h</sup> 15<sup>m</sup>; Oktober 25. 2<sup>h</sup> 15<sup>m</sup>; Oktober 26. 2<sup>h</sup> 15<sup>m</sup>; Oktober 27. 2<sup>h</sup> 15<sup>m</sup>; Oktober 28. 2<sup>h</sup> 15<sup>m</sup>; Oktober 29. 2<sup>h</sup> 15<sup>m</sup>; Oktober 30. 2<sup>h</sup> 15<sup>m</sup>; Oktober 31. 2<sup>h</sup> 15<sup>m</sup>.

**Hyperion.** Oktober 1. 2<sup>h</sup> 15<sup>m</sup>; Oktober 2. 2<sup>h</sup> 15<sup>m</sup>; Oktober 3. 2<sup>h</sup> 15<sup>m</sup>; Oktober 4. 2<sup>h</sup> 15<sup>m</sup>; Oktober 5. 2<sup>h</sup> 15<sup>m</sup>; Oktober 6. 2<sup>h</sup> 15<sup>m</sup>; Oktober 7. 2<sup>h</sup> 15<sup>m</sup>; Oktober 8. 2<sup>h</sup> 15<sup>m</sup>; Oktober 9. 2<sup>h</sup> 15<sup>m</sup>; Oktober 10. 2<sup>h</sup> 15<sup>m</sup>; Oktober 11. 2<sup>h</sup> 15<sup>m</sup>; Oktober 12. 2<sup>h</sup> 15<sup>m</sup>; Oktober 13. 2<sup>h</sup> 15<sup>m</sup>; Oktober 14. 2<sup>h</sup> 15<sup>m</sup>; Oktober 15. 2<sup>h</sup> 15<sup>m</sup>; Oktober 16. 2<sup>h</sup> 15<sup>m</sup>; Oktober 17. 2<sup>h</sup> 15<sup>m</sup>; Oktober 18. 2<sup>h</sup> 15<sup>m</sup>; Oktober 19. 2<sup>h</sup> 15<sup>m</sup>; Oktober 20. 2<sup>h</sup> 15<sup>m</sup>; Oktober 21. 2<sup>h</sup> 15<sup>m</sup>; Oktober 22. 2<sup>h</sup> 15<sup>m</sup>; Oktober 23. 2<sup>h</sup> 15<sup>m</sup>; Oktober 24. 2<sup>h</sup> 15<sup>m</sup>; Oktober 25. 2<sup>h</sup> 15<sup>m</sup>; Oktober 26. 2<sup>h</sup> 15<sup>m</sup>; Oktober 27. 2<sup>h</sup> 15<sup>m</sup>; Oktober 28. 2<sup>h</sup> 15<sup>m</sup>; Oktober 29. 2<sup>h</sup> 15<sup>m</sup>; Oktober 30. 2<sup>h</sup> 15<sup>m</sup>; Oktober 31. 2<sup>h</sup> 15<sup>m</sup>.



Seite 1917.

B

Tafel 18

Deutliche Komete und Nebel im Sternbild des Stiers.  
 Nach der photographischen Aufnahme von Prof. Barnard am 5. Januar 1903.

# SIRIUS.

Zeitschrift für populäre Astronomie.

Gestirnsorgien für alle Freunde und Förderer der Himmelskunde.

Herausgegeben

unter Mitwirkung hervorragender Fachlehrer und renommierter Schriftsteller  
von Prof. Dr. Hermann J. Klein in Köln.

September 1907.

„Was ist Wissen und die Frucht der  
Ermittlung der Menschheit.“ — Komet.

Jeden Monat 1 Heft. — Jährlich 12 Mk.

Verlag von EDUARD HEINRICH MAYER in Leipzig.

INHALT: Die Göttinger Sonneninternals-Expedition im August 1906. S. 140. — Neue Untersuchungen über die Helligkeitsveränderungen der vier großen Jupitermonde. S. 157. — Die vorläufigen Resultate der Sonnentage der Sonnentage. S. 160. — Die Helligkeitsveränderungen der Sonne (Fortsetz.). S. 160. — Die astronomischen Arbeiten der deutsch-französischen Circumpolar-Expedition. S. 162. — Die Planeten des inneren Sonnensystems. S. 162. — Fortsetzung der Sonnentage. S. 162. — Fortsetzung der Sonnentage. S. 162. — Fortsetzung der Sonnentage. S. 162. — Fortsetzung der Sonnentage. S. 162. — Fortsetzung der Sonnentage. S. 162. — Fortsetzung der Sonnentage. S. 162.

## Die Göttinger Sonneninternals-Expedition im August 1906.

Die Beobachtung der letzten Sonneninternals am 30. August 1906 hat die Göttinger Sonneninternals-Expedition nach Orléans in Algerien unternommen, die vorzüglich von Walter be-  
gründet war und wichtige Resultate brachte. Der Direktor der Sonneninternals, Prof. R. Schwarzschild, hat der Königl. Gesellschaft der Wissenschaften zu Göttingen in der Sitzung vom 5. Dezember 1906 über diese Expedition berichtet und mannigfache ausführliche Darlegung vorbrachte. Wir entnehmen dieser sehr guten Richtung für sehr wichtigen Arbeit kurz die nachfolgenden hauptsächlichsten Daten und Ergebnisse.

Die Expedition, an welcher die Professoren Schwarzschild und Hergo, Dr. Meyerman und der Institutswärter H. Berger teilnahmen und zu denen sich später Dr. R. Fendler aus München gesellte, verließ Hamburg am 5. Aug., landete in Algerien am 15. und gelangte mit der Eisenbahn am 21. Aug. nach Orléans. Da die Zeit der täglichen Arbeitszeiten, die bei einer Temperatur, die bei 20° C im Schatten liegt, eine sehr beschwerliche war, so waren die Mitglieder der Expedition schon mit allen Vorrichtungen fertig, als der Tag der Sonneninternals kam. Der 30. August begann völlig klar und blieb auch ohne die Mitternachtsstunden regelmäßig geklärt haben. Eine Stunde vor Beginn der Sonneninternals vorange die Benz des Sonneninternals geschlossen, doch konnte es glücklicher-

\*) Astronom. Mittell. der Königl. Sternwarte zu Göttingen, 11. Band, Göttingen 1906.

weise nach unten werden. Die Aufnahme während der Totalität gelang bis auf kleine Programmänderungen ordnungsgemäß von statten. Vorlauf und Beobachtung der Finsternis im einzelnen werden auf Briefe geschildert. Am Abend des 30 und 31 entwickelten die Forscher ihre Aufnahmen in der Dunkelkammer des Gelehrten Photographen Henry unter Vorherrschaft von 10 kg Eis. Nach der Finsternis erfolgten überaus gegenwärtige Beobachtungen der verschiedenen astronomischen Situationen. Auch hatten die Mitglieder der Expedition sich am 31 den Besuch der Hamburger Kollegen aus Stockholm zu erlauben.

Nachdem am 1. September die Instrumente verpackt und der 2. als Reisetag gehalten worden, begann am 3. die Rückreise auf dem Wege über Tokio.

Die astronomische Ausrüstung bestand aus folgenden drei Instrumenten:

1. U. V. Prismenkamera von C. Zeiss Jena. Das Objektiv war ein sogen. Apochromat von 115 mm Öffnung und 1180 mm Brennweite. Davor befand sich, nahe auf die Mäuser der Abblendung eingestellt, ein Prisma von 200 mm Seitenlänge und 45° brechen- dem Winkel, ebenfalls aus U. V. Glas. Bei der besten ausfallenden großen Lichtstärke waren Messungenahmen des Flach Spektrums vornehmbar. Es wurde deshalb in der Rückseite ein Sonnenblinder Fallverschluss angebracht, der für das Sonnenspektrum, welches bei 11 mm Breite nur 50 mm Länge hatte, begrenzten Raum ließ. Hinter dem Momentverschluß konnte eine Kassettenabzug gehoben werden. Die Verschönerung war durch Zapfen, die auf der Rückseite der Kassette ragten, versehen, erleichtert und es ergab sich, daß auf einer  $10\frac{1}{2}$  cm Platte von Spektrum aufgenommen werden konnten.

Für die Messungsaufnahmen des Flach Spektrums war indessen eine größere Zahl von Aufnahmen notwendig innerhalb einer Zeit, die keinen Plattenwechsel zuliess. Es wurden daher auch

Aufnahmen auf einem Rollfilm ermöglicht.

2. Petrolobjektiv von Busch (Kettner). Öffnung 150 mm, Brennweite 700 mm. Über das Objektiv war als Kassetten ein einfaches Hochrohr geschoben, an dessen unterem Ende eine Nachführung zum Einschieben der Kassette angebracht war.

3. Handkamera von De Linder, ausgestattet mit Bausch & Lombmal von 25 mm Öffnung, 120 mm Brennweite und mit Gelbfarbe.

Alle drei Instrumente wurden auf ein Reparatidisches Stativ aufgesetzt, die Prismenkamera so, daß die Achse dem Objektiv senkrecht zur Detektionsebene stand, in Stille des Objektivs wurde ein Holztisch auf den unter Ende der Detektionsebene geschoben und an diesem wurden die beiden anderen Instrumente so angebracht, daß sie schief gegen die Detektionsebene standen und daß die Sonne gleichzeitig in allen drei Instrumenten erschien. Die Nachführung des ganzen besorgte ein künftiges physikalisches Uhrwerk. Auf Nordseite wurde verankert. Nur auf ein kleiner Sucher angebracht, um die Aufstellung zu prüfen und begangen einstellen zu können.

Zum Sonnenblinden diente ein selbstlicher Notstrom.

Zwei letzte nicht unerwähnte Hilfsrichtungen waren a) ein photoelektrischer Kol, um neuen braunen Glas und einer photographischen Platte von veränderlicher Schwärzung hergestellt, die so in einem Kassettenrahmen eingeklemmt war, daß man auf dem Rand jeder Platte mit Hilfe irgend einer Lichtquelle ein photoelektrische Vergleichskol auf drucken konnte und b) drei Blenden, die das Objektiv der Prismenkamera auf 3 mm, 1 mm und 0.5 mm abblendend erhielten.

Das vor der Finsternis eingeplante Programm der Aufnahme war folgendes: (Als Anfang der Totalität genommen)

**Zentrale Projektionsanlage (Beobachter Schwarzwald)**

$Z_1 = 20^\circ \text{ bis } + 10^\circ$  Momentenaufnahmen des Flach-Spektroms und Korolla mit 4 mg Knochenspektrum-Gelatineemulsionen auf Film von Leinwand

$Z_2 \begin{matrix} 1 & 0 & - & 10 & 10 \\ 2 & 0 & - & 1 & 0 \\ 3 & 0 & - & 2 & 0 \end{matrix}$   $\left\{ \begin{array}{l} \text{Aufnahmen des} \\ \text{Spektrums} \\ \text{auf einer Platte mit} \\ \text{Photomaterial} \\ (\text{K}_{100} \text{ aus Schwarzwald-} \\ \text{Platte}) \end{array} \right.$

$Z_3 \begin{matrix} 1 & 0 & - & 10 & 10 \\ 2 & 0 & - & 1 & 0 \\ 3 & 0 & - & 2 & 0 \end{matrix}$   $\left\{ \begin{array}{l} \text{Momentenaufnahmen} \\ \text{des Flach-Spek-} \\ \text{trums auf einer} \\ \text{Platte mit Photo-} \\ \text{material} (\text{K}_{100} \text{ aus} \\ \text{Schwarzwald-Platte}) \end{array} \right.$

**Prinzipdiagramm (Beobachter Koryu)**

$P_1 \begin{matrix} 15^\circ & - & 10^\circ \\ 2 & 0 & - & 0 \\ 3 & 10 & - & 0 \end{matrix}$   $\left\{ \begin{array}{l} \text{ohne Photo-} \\ \text{material} \\ \text{mit Photo-} \\ \text{material} \\ \text{ohne Photo-} \\ \text{material} \end{array} \right.$   $\left\{ \begin{array}{l} \text{Aufnahmen} \\ \text{des Korolla} \\ \text{des im} \\ \text{Schwarzwald-} \\ \text{Platte} \end{array} \right.$

**Ratschell-Kamerasystem (Beobachter Koryu)**

$R_1 \begin{matrix} 15^\circ & - & 10^\circ \\ 2 & 0 & - & 0 \\ 3 & 10 & - & 0 \end{matrix}$   $\left\{ \begin{array}{l} \text{ohne} \\ \text{mit} \\ \text{ohne} \end{array} \right.$   $\left\{ \begin{array}{l} \text{Aufnahmen} \\ \text{des Korolla} \\ \text{des im} \\ \text{Schwarzwald-} \\ \text{Platte} \end{array} \right.$

Das Vergleichsspektrum auf dem Film  $Z_2$  sollten durch Momentenaufnahme des Sonnenspektrums vor der Totalität bei Abblendung auf die Öffnung 3 mm, 1 mm und 0,5 mm erhalten werden, die Photomaterialien jeweils durch Exposition von 15" gegen die freie Sonne.

Die Expositionen der für die vier Instrumente waren natürlich so gewählt, daß während letzter Exposition des Instrument von einem der drei Beobachter erschallert wurde.

Das Programm, das im wesentlichen durch die verfügbaren Hilfsmittel vor-

geschrieben war, bei der Beobachtung, daß wohl zum ersten Male so kurze Momentenaufnahmen (jeweils 1/100") des Flach-erfolgt, daß für die photographische Vorrichtung mehrere künstliche Lichtquellen, sondern die unverfälschte Sonne selbst zur Verwendung kam und daß die Photographie nach auf das Korolla- und Flach-Spektrom eingestellt wurde.

Das Programm ist im großen und ganzen erfolgreich durchgeführt worden. Über die Erhebung der Korolla für das bloße Auge sagt Prof. Schwarzwald: „Während die 40 Sekunden Expositionen war es uns möglich, dem Anschein der Korolla mit freiem Auge unsere Aufmerksamkeit zuzuwenden. Beim ersten Anblick erschien mir die Korolla, wie ein heller, schmal gebogener Ring von wenigen Bogenminuten Breite um die Sonne. Erst bei näherem Zusehen bemerkte ich die außerordentlich viel lichtschwächeren äußeren Äquator der Korolla, deren nahezu radiale Randlinien zu einem mehr abnehmenden Konus gegen den hell erscheinenden Himmelskuppel hin zu einer einem Sonnendurchmesser Entfernung von der Sonnenscheibe zu verlaufen waren. Das diffuse Erleuchtung des Himmels war bedeutend heller, als bei Vollmond. Das allgemeine Aussehen der Korolla für das freie Auge entspricht durchaus dem der photographischen Aufnahmen — wenn man nur von der übertragenden Helligkeit der inneren Korolla abläßt, die auf den Photographen nicht genügend zum Ausdruck kommt. Die Umrisse schienen die äquatoriale Korollabreite auf 1% Sonnendurchmesser.

Die Zeichnungen, welche wir und einige andere unfähig anwesende Beobachter unmittelbar nach der Photographie anfertigten, bewiesen uns, daß die Abbildung der inneren äußeren Korollabreite eine völlig subjektive ist.

Wie schon erwähnt, kann es diesem Orte auf den Detail der Beobachtungen und die schwachen Übertragungen

Untersuchungen, welche Prof. Schwarzschild aus Auswertung derselben angestellt hat, nicht spezifischer eingegangen worden. Es muß genügen, nur der Zusammenfassung und Diskussion der Resultate des allgemeinen Interesses nachzueilen.

Was die photographische Helligkeit der Korona anbelangt, so fand sich, wenn die Helligkeit des Vollmondes zur Einheit genommen wird, die Helligkeit der eigentlichen Korona photographisch zu 0.13, des diffusen Lichts eines Kreises von 5° Durchmesser um die verfinsterte Sonne zu 0.13, zu nennen (13).

Aus der Stärke der diffusen Beleuchtung des Himmels schloß Prof. Schwarzschild, daß dieselbe hauptsächlich von der Erleuchtung der Luft durch direkte Sonnenstrahlung an den Grenzen des Totalitätskreises und nur zu einem geringen Bruchteil von Diffusion des Koronastreus herrührt. Denn das diffuse Himmelslicht aus einem Kreis von 5° Durchmesser um die Sonne mache unter gewöhnlichen Umständen bei durchsichtiger Luft weniger als  $\frac{1}{10}$  der direkten Sonnenstrahlung aus. Da die Annahme einer besondern Trübung der Atmosphäre während der Finsternis durch das Augensehen widerlegt werde, so dürfte man also auch nur weniger als ein Zehntel der obigen Zahlen für das diffuse Himmelslicht, zur Rechnung der Korona setzen.

Bezüglich des Spektralphotometrie der Korona bemerkt Prof. Schwarzschild: „Im Wellenlängengebiet 350 bis 500 stimmt die Intensitätsverteilung im Koronaspektrum mit der im Sonnenspektrum nahe überein. Betrachtet man die Unterschiede näher und setzt man sie von der ersten wegen geringer Schwärzung dieser Wellenlängen zuwächse Zahl, so erscheint die Korona im Ultraviolett schwächer als die Sonne, das Intensitätsmaximum in der Korona gegen das der Sonne nach längeren Wellenlängen zu verlegt. Das erstere allgemeine Resultat ist offenbar und

stimmend mit der Angabe der Herrn Knygk und Fabry, daß bei ihren photographischen Vergleichungen die Korona sehr genau der Farbe des Mondes (4) der Sonne gähelt habe. Die Resultate des zweiten letzteren Experimentes möchte ich als in sich noch nicht fest begründet ansehen.“

Zur Theorie der Sonnenkorona äußert sich Prof. Schwarzschild u. a. wie folgt: „Unter den theoretischen Anschauungen, mit denen man diese Resultate vergleichen kann, steht als das am Fahren der Annahme, daß man es in der inneren Korona wesentlich mit selbst leuchtenden Teilchen zu tun hat, die sich im Strahlungsgleichgewicht befinden. Nach den Rechnungen von Arcturus<sup>1)</sup> erhält man für ein Teilchen 27° über der Photosphäre eine Temperatur von 6000°.

Das andere Extrem bildet die Annahme, daß die Korona nur im selbst leuchtenden Licht leuchtet und aus sehr kleinen Teilchen besteht, welche sich lediglich eine mit dem Blau unseres Himmels sehr nahe übereinstimmende Farbe geben. Mit dieser Annahme sind unsere Zahlen nicht verträglich. Sie widerspricht dem Augensehen und den erhaltenden Beobachtungen der Herrn Knygk und Fabry. Sie wird ferner widerlegt durch die Annahmen der Gelfandtheorie, wie sie Dr. Erdos angestrichelt hat. Denselben zeigen, daß die Gelfandtheorie das diffuse Himmelslicht viel stärker beizubehalten, als die Koronastahlung, daß die Korona viel gelber ist, als das Himmelslicht. Natürlich — könnte man hier erwirken — daß das von der Luft diffundierte Licht in unserer Blau als das Licht der Lichtquelle, ist die Korona Blau, so muß der Himmel während der Totalität eben noch tiefer Blau gefärbt sein. Nach den Messungen stimmt aber die allgemeine Erleuchtung des Himmels während der Finsternis nur zum geringsten Teil von der Korona selbst,

<sup>1)</sup> Astrophys. Journal, Bd. XX, p. 291

es kommt im wesentlichen von der direkten Erleuchtung der Erdoberfläche außerhalb des Totalitätskreises und muß daher das gewöhnliche Himmelsblau zeigen, so daß unser Schluß nicht beirrt wird. Es stimmt daher alles dahin zusammen, daß die Korona nicht das Rayleighsche Licht zeigt.

Prof. Schwarzschild kommt nach Prüfung verschiedener Ansätze zu der Hypothese von stark polarisierendem Molekular- oder Ionenlicht, welches stärkere Eigenoschwingungen haben oder welche sich in irgend einer andern komplizierten Weise zu zeigen und, daß sie die Farben ziemlich gleich stark diffrundieren. Daß es solche Moleküle gibt, beweisen die ultramikroskopischen Teilchen in kolloidalen Lösungen, deren Größe weit unter den Wellenlängen liegt, die polarisieren, wie Rayleighs Teilchen, die aber trotzdem ein kontinuierliches Spektrum geben, in welchem blaugelb Rot und Gelb überwiegt. Das Fehlen der Fraunhoferischen Linien an auf große Geschwindigkeiten der Teilchen der Korona und entsprechende Doppelbrechung Verschiebungen zurückzuführen. Unter den bewegenden Körpern kommt nach bei Molekülen der Lichtdruck in Frage, welche sie nur Eigenoschwingungen haben.

Der letzte Rest des leeren Sonnenraums, welche hinter dem Monde hervorsticht, hat sich in eine Reihe von kleinen Partikeln oder Tropfen auf, die dann nach nacheinander verschwinden. Die Ursache dieser Erscheinung ist natürlich die Überhitzung der Mondoberfläche. Die Berge unterbrechen

manch die Sonnenstrahl, während durch die Täler der Rand der Photosphäre noch länger hindurchdringt. In dem von einer Fraunhoferlinie entfallenen Belde wird analog jeder Mondberg durch eine streifenförmige Unterbrechung des Spektrums, jedes Tal durch einen Streifen starker kontinuierlichen Photosphärenlichtes bezeichnet.

Die Helligkeit der Strahlen im Spektrum wird also ziemlich abhängen von der Form des Mondprofils, die wird aber auch abhängen von der Helligkeit der hinter dem Monde hervorstechenden Randpartie der Sonnenphotosphäre. Eine planimetrische Darstellung solcher Aufnahmen wird daher sowohl eine Bestimmung des Mondprofils, als eine solche der Helligkeit der Sonnenränder — und zwar letztere für jede einzelne Spektralfarbe — liefern können.

Prof. Schwarzschild beschäftigt sich eingehend mit dieser Untersuchung und gibt eine Zeichnung des Mondprofils gemäß demselben, geht dann aber zur Spektralphotometrie des Sonnenrands und zur Helligkeitsverteilung der Fraunhoferlinien, endlich noch das Spektrum der Chromosphäre besprochen und nachzuweisen, daß das Atomgewicht als solches nicht für die Aufklärung eines Elements in der äußeren Chromosphäre maßgebend ist. Ebenso, daß irgend ein anderer innerer Zusammenhang zwischen den vorkommenden Elementen besteht und nicht eben ein rein zufälliger größter Reichtum der Sonne an einem bestimmten Element seine Entstehung und sein Leuchten bis in größte Höhen verursacht.

## Neue Untersuchungen über die Helligkeitsschwankungen der vier großen Jupitermonde

**I**n Winter 1904 und 1905 hat Dr. P. Gudbach auf der Sternwarte in Göttingen planimetrische Untersuchungen der hellen Jupitermonde angestellt, die zu wichtigen Resultaten

führten und über die im Briefe schon berichtet worden ist.<sup>1)</sup> Er hat diese Beobachtungen dann weiter aufge-

<sup>1)</sup> Stern 1906 S. 81, 82.



genommen und vom 5. Juli 1905 bis zum 1. April 1906 fortgeführt. Die Ergebnisse der darauf beruhenden neuen Untersuchungen wurden der Preussischen Akademie der Wissenschaften in der Sitzung vom 27. März 1907 in einer Abhandlung vorgelegt,<sup>1)</sup> deren Hauptinhalt hier folgt:

Die früheren Untersuchungen De Groot's hatten die Periodizität des Lichtwechsels der Trabanten und die Übereinstimmung der Perioden mit den Umlaufzeiten als unzweifelhaft ergeben, was nicht wohl anders erklärt werden kann als durch die Annahme, daß Rotation und Umlaufzeit bei diesen Himmelskörpern gleich und daß das Oberflächen von ungleichmäßiger Albedo sind, daraus konnte sich eine periodische Abweichung der Figur der Trabanten von der Kugelgestalt ergeben. Weiter ergab sich aber auch, daß der Lichtwechsel nicht vollkommen streng periodisch sein könnte, daß vielmehr eine relativ geringe Unstetigkeit der Lichtkurven während des Beobachtungsraumes von 1904 Dezember bis 1905 April bestanden haben müsse. Größere unregelmäßige Veränderungen ließen sich besser durch die Vergleichung der Auswerteten Beobachtungen (1904 bis 04) mit den übrigen feststellen, insbesondere die Lichtkurve des Trabanten II hat 1909 bis 06 einen merklich andern Verlauf gehabt als 1905, 1917 bis 18 und 1924 bis 25, auch die übrigen Trabanten zeigten Unterschiede auf, welche jetzt wenigstens teilweise als wohl umschrieben werden müssen. Die vorliegende neue Beobachtungsruffe, heißt es in der Abhandlung weiter, bestätigt diese Ergebnisse und fügt darüber weitere Beobachtungen hinzu. »Die Frage nach der Ursache des Lichtwechsels und der Veränderlichkeit der Lichtkurven wurde damals noch offengelassen, es wurde jedoch auf die verschiedenen Möglichkeiten hingewiesen,

besonders der Ursache des Lichtwechsels stehen zwei Möglichkeiten im Vordergrund, nämlich 1. die Veränderung von Seiten ungleichen Reflexionsvermögens auf den Trabantenoberflächen, 2. von Abweichung der Figur der Trabanten von der Kugelgestalt. Die Festsetzung des ersten Postulates föhrt zu dem Schluß, daß der Verlauf der Lichtkurven durch allseitige Annahme diffuser Reflexion nicht erklärt werden könnte, daß man vielmehr geneigt ist, jastete Spiegelung anzunehmen. Mit der zweiten Annahme läßt sich gleichwohl nicht ein Teil der Helligkeitsveränderungen erklären, es hat eine gewisse Mäße in der Form der Lichtkurven, welche durch ebenfalls geringere Helligkeiten in den Konjunktions, größer in den Disjunktionen der Trabanten aufweisen. Diese Größe tritt jedoch in den Kurven von 1904 bis 05 nicht ganz klar zutage, weshalb damals ein größeres Gewicht nicht gelegt worden war. Die Lichtkurven für 1905 bis 06 dagegen zeigen eine Eigentümlichkeit in beträchtlich stärkerer Ausprägung.»

Die Ursache mit alle Einzelheiten bezüglich der Beobachtungsmethode, die im wesentlichen die gleiche war wie früher, sei und ebenso der Helligkeitskurven, die sich aus der Albedo von der neuen Beobachtungsmethode ergeben. Die Vergleichung beider zeigt das sehr überraschende Resultat, daß Unterschiede von noch nicht einem halben Jahr ganz beträchtliche Veränderungen aufwiesen haben, welche aber im allgemeinen nicht auf starkte Neigungen der Trabantenebenen gegen die Jupiterbahn zurückgeführt werden können, sondern offenbar physikalische Vorgänge auf den Oberflächen beweisen, in die Atmosphäre der Trabanten widerspiegeln.

Demnach kann die Beobachtungsruffe 1905 bis 06 für sich allein so gut wie ebenfalls mit Notwendigkeit die Überwindung der Lichtwechselperioden mit den Umlaufzeiten an zeigen.

<sup>1)</sup> Sitzungsber. d. Kgl. Preuss. Akademie 1907, 85/86, 1. 22.

Es bleibt noch übrig, mit einer möglichen Zusammenhang zwischen den Veränderungen der Lichtkurven, welche in der Hauptphase zwischen Frühjahr und Herbst 1905 stattgefunden haben müssen, und der großen Aktivität der Jupiteroberfläche während der zweiten Hälfte des Jahres 1905 und im folgenden Jahre hinzuweisen, im Verlauf deren die nördliche Äquatorialband des Planeten fast ganz verschwand. Die vielfach nicht auffällige Übereinstimmung der beiden Vorgänge, die möglicherweise auf einen Ursachen hindeutet, ist auch, wenngleich vielweniger zutreffend, für die Zeit der Ausweichungen angedeutet. Es wurde schon früher darauf aufmerksam gemacht, daß die Lichtkurve von H 1855 bis 1900 einen wesentlich andern Verlauf gezeigt hat als zur Zeit der Messungen von Engelmann, Pickering und 1904 bis 05. Auch die Kurve von IV weist Abweichungen gegen die Formen von 1879 und 1904 bis 05 auf, welche aus die Veränderungen von 1905 bis 06 trennen. Durch befindet sich die Jupiteroberfläche ebenfalls gerade in einer Periode heftiger Veränderung, die sich besonders durch das allmähliche Verschwinden beider Äquatorialbänder 1905

bis 09 und das plötzliche Wiederaufleben des südlichen Bandes im Herbst 1909 besonders markiert. Zur Zeit der Engelmanschen und der wenig zahlreichen Pickeringsehen Beobachtungen, sowie 1904 bis 05 hatte Jupiter im großen und ganzen normales Aussehen, die aus diesen Beobachtungen konstruierten Lichtkurven weisen keine auffallende Abweichungen auf, die sich wohl auf die Unvollständigkeit der Beobachtungen zurückführen lassen. Eine gewisse Periodizität der Veränderungen der Lichtkurven ist demnach nicht ausgeschlossen, aber die Periode ist nicht gleich der Umlaufzeit des Jupiter. Auch eine Beziehung zur Sonnenfleckenperiode ist nicht deutlich genug ausgeprägt, um der Beobacht. ohne weitere Zusätze zu klären. Ein strenger Parallelismus zwischen den Erscheinungen auf Jupiter, den Veränderungen der Trabantkurven und der Sonnenfleckenperiode wäre bereits von vornherein nicht zu erwarten, selbst wenn ein Zusammenhang wirklich bestehen sollte. Zur Beantwortung der hier aufgeworfenen Fragen würde es jedenfalls ausdauernde Beobachtung der Trabanten durch mindestens einen Jupitermond hindurch bedürfen.

## Die vorwiegende Bahnform der Kometen.

**E**ine Kometen sind bekanntlich nur in einem kleinen Teile ihrer Bahn von der Erde aus zu sehen, nämlich in demjenigen, welcher ihrem Sonnenhöhenpunkt mehr oder weniger benachbart ist. Dies ist der Grund, weshalb es so zu vielen Fällen schwer bleibt, Gewißheit darüber zu gewinnen, ob ein Komet sich in einer geschlossenen (elliptischen) Bahn um die Sonne bewegt oder in einer ungeschlossenen (parabolischen oder hyperbolischen). Für gewisse Untersuchungen oder Spekulationen über den Ursprung der Kometen ist es aber von größter Wichtigkeit,

die wahre Bahnform zu kennen, in der sich dieselben um die Sonne bewegen.

Wenn ein Komet nur aufgefunden ist und einige Tage hindurch beobachtet werden konnte, so werden die ersten Beobachtungen unter der Voraussetzung ausgeführt, daß dieser Komet in einer parabolischen Bahn um die Sonne läuft. Diese Voraussetzung ist richtig, weil die elliptischen Bahnen der in solchen Erscheinungen Kometen fast immer so langgestreckt sind, eine so große Exzentrizität besitzen, daß sie auf einer kleinen Strecke in der Sonnennähe sich nur sehr wenig von einer



die Winkelabweichung des Bogens ihrer Bahn um die Sonne kurz herauszusagen werden können, insofern für eine solch Überwachung, ist das erste Verleihen interner ein genügender Ersatz.

Durch diese Untersuchung, dass Porphyrie und Vorfahrt Prof. Lauchner in Aussicht stellt, wird die

Hypothese, daß der Komplex im allgemeinen dauernde Mitglieder unserer Sonnensysteme sind, erheblich unterstützt und es ist außerordentlich wahrscheinlich, daß unsere Untersuchungen der Komplexen Angaben werden, daß das Paar bei dauernder nur ein solches wie zu finden ist.

## Die Helligkeitsveränderungen des Sterns X Persei.

**D**ieser Stern, dessen Ort am Himmel (für 1900)  $\text{A}\alpha = 21^{\text{h}} 41^{\text{m}} 11^{\text{s}}$  ( $\text{D} = 30^{\circ} 46'$ ) ist, gehört zu den merkwürdigsten Veränderlichen von langer Periode und ist namentlich seit 28 Jahren (durch von Prof. L. Müller und P. Kämpf auf dem Astrophysikalischen Observatorium zu Potsdam regelmäßig verfolgt worden. Während dieser Zeit konnten die genannten Beobachter drei Maxima und zwei Minima in seinem Lichtwechsel feststellen, im Anschluß an frühere Mitteilungen veröffentlichten sie nun ihre neuen Beobachtungen seit 1875 Septbr. 4 bis 1907 April 16. Die Helligkeitsmessungen sind mit einem an dem 5-zölligen Refraktor angeschlossenen Photometer ausgeführt worden, wobei der Veränderliche mit zwei gleichartigen Sternen verglichen wurde, die als 8.48 und 7.65 Größe eingeschrieben sind. Die absoluten Helligkeitsbestimmungen wurden zu 27 Mittelwerten zusammengefaßt und nach diesen eine Kurve gezeichnet, welche den Verlauf der Helligkeitsveränderungen von X Persei von Anfang 1880 bis jetzt darstellt. »Der Stern ist durch von Anfang 1880 an wenigstens vier Jahre lang unverändert im Maximum seiner Helligkeit gewesen und hat dann Mitte 1892 umgedreht abgenommen. Der Zeitpunkt, an welchem diese Helligkeitsveränderung begonnen hat, ist leider nicht genau bestimmbar, da aus der Zeit von März 1891 bis Oktober 1893 keine Beobachtungen vorliegen. Der Verlauf der Abnahme der durch eine große Zahl von Messungen sehr sicher

bestimmt ist, zeichnet sich durch eine bemerkenswerte Regelmäßigkeit aus, er erstreckt sich über beinahe sechs Jahre, so daß das Minimum etwa im Februar 1898 erreicht wurde. Auch dieser Zeitpunkt ist um einige Monate unklar, da man durch ein etwas anderes Zeichnen der Kurve für das Minimum leicht einen späteren Termin in Verbindung mit einer etwas geringeren Helligkeitsbedeutung erhalten kann.

Unmittelbar nach dem Erreichen des Minimums begann die Helligkeit des Sterns wieder anzunehmen, und zwar mit einer solchen Geschwindigkeit, daß er in ungefähr einem Jahr wieder bis zum Maximum zurückgekehrt war, welches nach der Kurve auf Ende Mai 1899 zu setzen wäre. Im Maximum verweilte aber der Stern dieses Mal, im schiefen Gegensatz zu seinem Verhalten während der ersten Jahre nur ganz kurze Zeit, er begann sofort wieder abzunehmen, und zwar anfangs mit genau derselben Geschwindigkeit, mit der der Aufstieg erfolgt war. Dann kehrte er plötzlich um, und nun folgte während eines Zeitraums von zwei Jahren ein allmähliches Abnehmen in einer Reihe von kleinen Werten, deren Form jedoch mehr oder weniger hypodetisch ist, bis der Stern schließlich von Anfang 1902 ab ganz scharf bis zum Minimum herabsank, das er im Februar 1903 erreichte. Im Minimum blieb der Stern diesmal über zwei Jahre, und dann erfolgte ein erneuter Aufstieg, dessen Verlauf genau der gleiche war, wie bei dem Aufstieg von 1890 bis 99.

Das Maximum hat also Anfang November 1906 stattgefunden, und seitdem ist der Stern bereits wieder in der Abnahme begriffen.

Der Verlauf der Helligkeitsveränderungen ist also bei X Persei bisher ganz unregelmäßig gewesen, die einzelnen vergleichbaren Maxima und die beiden Aufstiege, welche sich mit einem Zwischenraum von 2720 Tagen in ganz gleicher Weise abgespielt haben. Und da man, wenn dem ersten dieser beiden Maxima aus demselben Betrag zurückgehend ebenfalls wieder auf die Maximalhelligkeit kommt, so scheint diese Zahl eine gewisse Bedeutung für die Periodendauer des Sterns zu besitzen.

Die Helligkeiten des Veränderlichen ergaben sich nach der Kurve für die einzelnen Maxima und Minima etwa

verfolgt. Indessen betragen diese Unterschiede nur wenige Hundertel einer Größeneinheit und dürfen daher nicht als verläßlich angesehen werden, auch würden sich die Unterschiede leicht durch eine etwas andere Färbung der Kurve ausgleichen lassen.

Zum Schluß geben die Beobachter noch folgende Daten für die einzelnen Epochen, die sich beim Absteigen aus der gezeichneten Kurve ergeben:

Datum		Größe
1886 Febr. 28	} Max.	6.52
1887 April 11		
1888 Febr. 19	Min.	6.95
1890 Mai 26	Max.	6.56
1893 Febr. 14	} Min.	6.80
1895 Juni 3		
1896 Nov. 5	Max.	6.36

## Die astronomischen Arbeiten der deutsch-französischen Grenzkommission Ostkameruns.

**I**n September 1905 wurde von der deutschen und der französischen Regierung eine gemischte Kommission mit dem Auftrage an die Ostgrenze Kameruns geschickt, den vollständigen Ministeren genaue kartographische Unterlagen für eine heftigste Neuvermessung der durch das Vering vom 15. März 1884 vorläufig geschaffenen Grenze zu liefern.

Die Hauptaufgabe der neuen Kommission war nun, in Rücksicht auf die Bestimmungen des Artikels I und des Paragraphen III des Abkommens von 1891 die 15 Grad mit Länge von Grenzschuß und den 10 Breitengrad im Grenzgebiet, sowie die geographischen Koordinaten der Orte Bana, Gana, Kanda und des Schmittbrenns um 10 Breitengrad und in seiner Mündung in den Tschadsee zu bestimmen.

Die Chefkommission konnte Stande, eine Teilabteilung im Grenzgebiet zu unterbreiten, vielmehr unter Ausdehnung der vorliegenden astronomischen In-

strumente und der zahlreichen im Besitz der beiden Regierungen astronomischer Ortsbestimmungen angestelltem Chef der für die Kartographischen notwendigen Hauptkoordinaten lediglich durch astronomische Beobachtungen zu gewinnen. So wurden im Laufe der Expedition für eine dicke Reihe von Orten Wege der Grenz der geographischen Koordinaten durch Längen- und Breitenbeobachtungen bestimmt. Das Gelände zwischen diesen astronomischen Stationen wurde dann nur mit dem Kompaß aufgenommen. Diese Methode der vorwiegend astronomischen Landesaufnahme empfiehlt sich wegen der verhältnismäßig geringen Kosten und der Zeitersparnis in allen nicht besonders weitläufigen Kolonialgebieten, für die auf Jahreseinkommen Kosten im Maßstab £ 300.000 oder in noch kleineren Maßstab genügen.

Absolute Längenbestimmungen wurden in Bana, Gana, Kanda, Abong, Kogho (bei Koko), Tam und Lere,

bede bei Egers (Rüde des Grenzvertrags), Malm und Danne bei Malm sowie in Fort Lamy ausgeführt. An diese Stationen schlossen sich dann zur Erlangung von Breiten- und relativen Längswerten zahlreiche Neben- und Grenzorte an.

Die Beobachtungen, für die den Observator 4 bis 12 Personenstellen, ohne zur Verfügung stehend, wurden für gewöhnlich in kurzen Radkoursen oder dienst ausgeführt, daß nach einer vorzüglichen Plan- und Radkarte auf demselben Wege der Ausgangspunkt wieder erreicht war. Solche Schichten sollten sich im allgemeinen nacheinander abwechseln. Der größte Fehler des Resultats einer solchen Umrundung war sehr nahe einer Zeitperiode.

Die Differenzen zwischen den deutschen und den französischen Resultaten der mit verschiedenen Instrumenten an-

gestellten astro-nomischen Beobachtungen erwiesen sich immer als ganz gering. So wurden beispielsweise bestimmt:

	deutsches	französisches
Winkel bei Länge westlich Länge		
Reise von Paris	Reise von Paris	
Karte	17 3 1 17 3 2 17 3 2 17 3 2	17 3 2 17 3 2 17 3 2 17 3 2
Länge	17 3 2 17 3 2 17 3 2 17 3 2	17 3 2 17 3 2 17 3 2 17 3 2
Breite	17 3 2 17 3 2 17 3 2 17 3 2	17 3 2 17 3 2 17 3 2 17 3 2

Das gesamte Material der astro-nomischen Beobachtungen der Kammerkassen wird jetzt unter Leitung des Observators in der Göttinger Königl. Sternwarte, Universitätsprofessors Dr. Andron, dem auch die Ausbildung der deutschen Observatorien zu verdanken ist, sowie unter Mitwirkung des Bureau des Longitudes in Paris nachgeprüft. Da für später zu erwartende veröffentlichte Publikationen soll dann als Grundlage bei Herstellung einer deutsch-französischen Ordnungsverschiebung dienen.

## Die Tätigkeit des astrophysikalischen Observatoriums zu Potsdam 1905.

**F**olgende ist dem Jahresbericht mitzuteilen, den Prof. Dr. Vogel, Direktor des astrophysikalischen Observatoriums zu Potsdam, über die Arbeiten dieser Anstalt während des Jahres 1905 jagt veröffentlichte.

**Instrumente:** Nachdem die Kommissionsarbeiten an dem 50-cm-Objektiv des großen Doppelrefraktors und die Untersuchungen der Objektivs zu einem Abschluß gebracht worden waren, konnte Prof. Vogel dann denken, eine schon vor Jahren geplante eingehende Beschreibung des Instruments und der für dasselbe erteilten Bauzeichnungen zu veröffentlichen. Eine solche Beschreibung hat er bereits eine Beschreibung des kleinen Doppelrefraktors des Institutes gegeben, da sich eine solche bisher in den Annalen des Observatoriums nicht findet. Der Arbeit wird demnach in den Publikationen des Observatoriums erscheinen, ebenso sollen alle Untersuchungen, die Prof.

Hartmann über die Objektivs des großen Refraktors, insbesondere über das 50-cm-Objektiv, angestellt hat, veröffentlicht werden.

Die Vorarbeiten für eine eigene Montierung der im vorjährigen Bericht erwähnten Spiegelteleskops von hundert Zentimetern, von denen Dr. Eberhard einen großen Teil übernommen hat, sind erheblich gefördert worden, namentlich auch die Montage, die sich auf die Konstruktion geeigneter Spektrographen für die gesamten Instrumente beziehen.

Der erhebliche Kosten, welche die eigene Montierung der Teleskope, die Herstellung eines geeigneten Beobachtungsraumes für dieselben und die Ausrüstung der optischen Teile der Spektrographen verursachen, können nicht aus den laufenden Mitteln des Observatoriums gedeckt werden, Prof. Vogel

\*) Siehe Seite 1905, S. 200.

nicht sehr teuer veranlaßt, um die einmalige Bewilligung einer Summe von 10.000  $\mathcal{M}$  nachzusuchen, die ihm auch bewilligt worden ist.

Die oben erwähnten eingehenden Untersuchungen Dr. Hübner's über den Spektrographen IV und die Erfahrungen bei der Aufnahme von Sonnenspektren ließen ergeben, daß es erwünscht sei, die Subtilität der Spektrographen, welche zur Bestimmung der Bewegung der Sterne im Weltraum durch Messung der äußerst geringen Verschiebung der Spektrallinien Verwendung finden, noch mehr zu steigern. Dies besaß Prof. Vogel auf der Idee, einen Apparat zu konstruieren, dessen Gehäuse nicht mehr aus einzelnen Metallteilen zusammengefaßt ist, sondern aus einem einzigen Gießkörper besteht. Das in den letzten Jahren bei der Konstruktion verschiedener Apparate mit Vorteil am Observatorium verwendeten Nickelaluminium schien ihm das geeignetste Material für die Realisierung seiner Gedanken zu sein. Die Lösung der schwierigen Aufgabe ist in sehr befriedigender Weise gelungen. Die wichtigsten Teile des Spektrographen können leicht von außen in das aus einem Gießstück bestehende Gehäuse eingedrückt werden. Die dünnen Wände des Gehäuses sind durch Rippen so verstärkt, daß eine ganz außerordentlich große Subtilität verbürgt ist, besonders auch gegen Temperaturwirkung; dabei ist das Gewicht des Apparats verhältnismäßig gering. Der Spektrograph hat 3 Prismen, die für 5 auf das Minimum der Ablenkung gestellt sind. Er soll zur Herstellung von Sonnenspektren in der Gegend von  $\lambda = 605 \mu$  bis  $\lambda = 675 \mu$  dienen und wird vollständig dem 12 $\frac{1}{2}$ -cm-Refraktor, dessen Objektiv durch Einschaltung einer Linse zu dem Zweck für die optischen Strahlen schwenkbar ist, in Verwendung kommen; er kann aber später auch am großen Refraktor angebracht werden.

Wissenschaftliche Arbeiten. A. Spektroskopie. Im Jahre 1906 hat Prof. Hartmann am 65. Abende am

80 cm-Refraktor mit Spektrograph I 114, mit Spektrograph II 63 und mit dem besten Quarzspektrographen Q 8 Sonnenspektren aufgenommen, wozu noch 56 zur Kontrolle der Spektrallagen, sowie 7 zur Prüfung neuer Fotokameras des Objektivs gemachte Aufnahmen kommen. Bei den Aufnahmen hat Dr. Hübner mitgewirkt, der an 30 Abenden Spektren am großen Refraktor, meist allein, aufgenommen hat; einige Aufnahmen werden auch von ihm entwickelt.

Von dem erhaltenen Plattenmaterial wurden von Prof. Hartmann 97 Spektren vollständig ausgemessen, vorzugsweise Aufnahmen, die mit Spektrograph I erhalten waren; korrigiert befinden sich alle bisher angefertigten Aufnahmen der Spektren der Klasse Ia. Ferner hat Prof. Hartmann eine Reihe Spektroskopien von dem von Geheimrat Müller (siehe unter C) entdeckten Argonium 82 Casseope (d. h. bis jetzt gemacht und eine vorläufige Reihe des Systems berechnet).

Die bekannte Tatsache, daß über die zwischen den beiden jetzt allgemein in Gebrauch befindlichen Wellenlagentabellen, den Kayser'schen Normaten für das Linienspektrum und den Rydberg'schen Tabellen für das Sonnenspektrum bestehenden Beziehungen eine genau Bestimmung fehlt und nur so viel bekannt ist, daß die Wellenlängen stellenweise noch erheblich unicher sind, veranlaßt Prof. Hartmann, mit Hilfe des großen Gitterspektrographen, des Geheimrat Müller für seine Untersuchungen über die terrestrischen Linien im Sonnenspektrum benutzt, einen Abschnitt des Linienspektrums in das Sonnenspektrum zu verschieben. Am 10. Tage wurden 52 Aufnahmen gemacht, deren Bearbeitung im Laufe dieses Jahres vollendet werden wird.

Die Aufnahmen mit dem großen Gitterspektrographen zu Untersuchungen über terrestrischen Linien im Sonnenspektrum hat Geheimrat Müller unter Anleitung von Dr. Hübner besonders in der ersten Hälfte des Jahres 1905

noch wenig fortgeschrit. Es sind im ganzen 117 über das ganze Spektrum erstellte Aufnahmen gelungen. Die Arbeiten sind im Frühjahr 1927 zu Ende geführt worden. Mit der Annäherung einer größeren Anzahl der Platten wurde begonnen, zunächst hauptsächlich in der Absicht, die von Herrn Helm gefundenen gegenwärtigen Verbindungen der Fraunhoferischen Linien im Spektrum der Sonne zu untersuchen<sup>5)</sup>. Da die von Helm benutzte Liniengruppe auf sehr seltenen Aufnahmen, die aus dem Jahre 1903 bis 1906 in Potsdam erhalten wurden, ruhen, so ist eine direkte Nachprüfung der merkwürdigsten Erscheinung möglich. Die bisherigen Messungen, deren Genauigkeit allerdings infolge der beschränkten progressen Zerstreuung die der Hüllschen direkten Beobachtungen nicht zu erreichen scheint, haben vielleicht einen Gang in den gefundenen Umständen in dem von Helm angegebenen Sinne nicht erkennen lassen. An der Fortführung der Messungen sollen sich auch andere Beobachter beteiligen, um die Resultate von mehreren persönlichen Aufnahmen frei zu machen.

Prof. Wiling hat die Bearbeitung der von ihm von Potsdamplatten des Elvers unter hohem Druck angefertigten Spektrogramme fortgeführt und hierbei eine gute Übereinstimmung der Verschattungsintensitäten der Absorptionen mit den Ergebnissen der früheren Messungen festgestellt. Es zeigt sich, entsprechend von anderen Beobachtern beobachtet, daß die Verschiebung der Dopplergänge, unter welcher der Druck erzeugt wird, besonders Kapazität und Selbstinduktion, einen merkbaren und sehr veränderlichen Einfluß auf die Größe der Verschattungen der einzelnen Linien mit dem Druck ausübt. Wenn sich nun auch diese Variationen für die bestimmten Bedingungen des Versuchs mit Sicherheit feststellen lassen, so unterliegt doch die Aufstellung von Serien zusammenge-

höriger Linien, die sich unter allen Umständen gleichartig verhalten, erheblichen Schwierigkeiten. Diese Schwierigkeiten dürften zum Teil darin begründet sein, daß das beobachtete Spektrum stets durch Überlagerung einer großen Zahl einzelner Spektren entsteht, die verschiedenen Dampfdichten und Temperatur entsprechen, und daß auch im Verlauf der einzelnen Entladungen infolge der Dämpfung der Schwingungen Veränderungen des Spektrums eintreten sind. Es tritt gegenüber auch in einer beschriebenen Regel, nach welcher der Teil der im Strömgebirge gemessenen Verschattung, der eben von den besprochenen Bedingungen berührt, unter denen die Lichtentwicklung stattfindet, von dem Teil getrennt werden könnte, der die für alle Linien gemeinsame Wirkung einer Bewegung der Lichtquelle darstellt.

Prof. Wiling und Prof. Schärer haben die Untersuchungen zur Bestimmung der Temperatur heißer Plasmen mit Hilfe spektrophotometrischer Beobachtungen fortgeführt, und zwar hat Prof. Wiling in 45 Abenden 180 Sterne, Prof. Schärer in 50 Abenden 176 Sterne am 80 cm-Reaktor beobachtet, in 5 Tagen wurden Messungen am Sonnenpektrum angestellt. Die Zerstreuung des Lichts war + 20" Deklination in bei der ersten, meist hellen Sonne möglich; die Reduktion der Messungen wurde in der Hauptache beendet.

B. Beobachtungen an großer Platten. In den Herbst und Wintermonaten hat Prof. Lohse den Plattenapparat in 23 Abenden beobachtet und Zeichnungen seiner Oberflächenprofile hergestellt. Die Beobachtungen an Platten erstrecken sich vornehmlich auf Bestimmung der Positionswinkel der großen Ähren des Hages, der gegenwärtig nur wenig gestört erscheint. Außerdem fanden einige Messungen der Selbststrahlung statt.

C. Photometrie. Um dieselbe Zeit Vollendung des vierten Teils der von

<sup>5)</sup> Über diese s. Zeits. 1928, S. 301.



Celestini Müller und Prof. Kempel gemeinschaftlich ausgeführten photometrischen Durchmusterung des nördlichen Himmels wurde mit dem Druck des Generalkatalogs begonnen. Die Verwendung dieses Katalogs konnte bereits im Anfang dieses Jahres erfolgen. Von dem in der Einführung mitgeteilten Untersuchungsplan ist eine Vergleichung der Pictographen Kataloge untereinander von allgemeinem Interesse, da sie zeigt, daß systematische Unterschiede auch zwischen solchen photometrischen Katalogen bestehen, die von denselben Beobachter mit denselben Instrumenten und unter den gleichen Bedingungen hergestellt sind.

Einige Sterne, die bereits früher von den genannten Beobachtern als veränderlich erkannt worden waren, sowie einige von ihnen neu entdeckte wurden im Jahre 1935 mit Erfolg verfolgt. Einer der neuen Veränderlichen (B.D. + 68° 200) ist besonders dadurch von Interesse, daß er die sehr geringe Amplitude von nur 0.33 Größenklassen besitzt, weshalb der Nachweis der Veränderlichkeit besonders schwierig war. Der Veränderliche X Persei hat im Jahre 1935 wiederum ein überraschendes Verhalten gezeigt. Nachdem er bereits als drei Jahre im Maximum der Helligkeit geblieben war, begann er Anfang 1935 abzusinken und wurde dann im Laufe des Jahres zu seiner Normalhelligkeit an. Die Art des Abklingens war genau dieselbe wie bei dem ersten im Jahre 1889 beobachteten, die Zwischenzeit zwischen den beiden Maxima beträgt ungefähr 7½ Jahre.

Bei Gelegenheit der Messungen eines der neuen Veränderlichen wurde einer der bemerkten Vergleichssternen von Celestini Müller als Veränderlicher vom Algoltypus erkannt zwischen Periode von 144.57 und ganz symmetrischen Lichtkurve.

Die Arbeiten an dem Katalog der veränderlichen Sterne, der unter der Leitung von Celestini Müller im Anfang der Astronomischen Gesellschaft herausgegeben wird, haben im ver-

gessenen Jahre gute Fortschritte gemacht, da die Zahl der Mitarbeiter in erheblicher Weise zugenommen hat. Gegenwärtig sind für beinahe 400 Variable Druckfertige Messungskarten vorhanden, und eine beträchtliche Anzahl befindet sich in Bearbeitung. Celestini Müller hat sich selbst an den Bearbeitungen beteiligt und die Revision der ähnlichen von den Mitarbeitern eingeleiteten Beiträge vorgenommen.

Dr. Ludendorff hat die Bearbeitung aller vorhandenen Helligkeitsbeobachtungen des Veränderlichen R Corvi bereits zu Ende geführt.

D. Sonnenstatistik. Am Heliographen hat Prof. Lohr für das Zweck der Sonnenstatistik im Jahre 1935 im ganzen 82 Aufnahmen wie 19 im Durchmesser hergestellt, die Gesamtzahl dieser Aufnahmen beträgt etwa 3000.

Mit den Aufnahmen am Spektroheliographen konnte Prof. Kempel im Anfang Mai beginnen, im März Oktober wurden dann 189 Aufnahmen erhalten.

E. Photographische Himmelskarte. Der unter der Leitung von Prof. Schuster stehenden Arbeiten für den Katalog der photographischen Himmelskarte konnte im Jahre 1935 beträchtlich gefördert und Band IV beendet werden. Bei dem während des Druckes vorgenommenen Revisionsarbeiten wurden ähnliche Messungen, die sich auf nicht so wohl erhaltene Deleite in der Seitenansicht des Originalglases bezogen, auf Grund der von Dr. Ludendorff an der Hand des in den drei ersten Bänden des Katalogs veröffentlichten Materials angestellten Untersuchungen, gestrichen. Gleichzeitig führte Prof. Bickel bei der Kontrolle der genutzten Positivs seine Aufmerksamkeit auf eine andere noch vorhandene kleine Serie, und Dr. Ludendorff stellte an den nach und nach vorliegenden Druckbogen weitere zugehörige Untersuchungen an. Alle hierbei noch gefundenen ähnlichen Sterne wurden bei den Fortschritten zum Druck gelangenden Platten berücksichtigt und auf sie sich beziehende

Messungen geblieben. Das Gesamtzahl aller in Band I bis IV gekannten fiktiven Sterne betrug sich auf rund 458.

Für den V. Band des Katalogs wurden von Dr. Mäkel 8 Platten mit 1550 Sternen, von Dr. Kees 6 Platten mit 2008 Sternen aufgenommen und in der bisherigen Weise reduziert.

F. Vermischte Beobachtungen und Untersuchungen. Prof. Lohse hat seine Beobachtungen von Doppelsternen am 50 cm-Refraktor von Schmidt fortgesetzt, im ganzen wurden 85 Systeme beobachtet.

Mit denselben Instrumenten hat Prof. Lohse sodann mit dem von ihm vor längerer Zeit konstruierten und jetzt ver-

besserten Kameraansatz in den Monaten Januar bis April im 29. Abende photographische Aufnahmen unter Anwendung von Celloschichten ausgeführt, hauptsächlich von Jupiter mit seinen Monden, von Neptun mit seinem Monde, vom Sternhaufen M 42. Auf einer 90/12 cm großen Platte, auf der sich Neptun befand, konnten 292 Sterne gemessen werden. Bei einer Belichtung von ca. 35 Minuten waren sehr schwache Sterngruppen, wie damals hervorgeht, auf einer der 292 Platten nur 6 im Katalog der ersten Gesellschaft enthalten sind, so daß alle übrigen schweicher als 4 Größe angenommen werden können.

## Vermischte Nachrichten.

**Expedition des Lick-Observatoriums zur Beobachtung der totalen Sonnenfinsternis des 8. Januar 1906.** Diese Expedition, deren Leiter William H. Crooker befehligt, wird am 22. November San Francisco verlassen. Der Beobachterkreuzer vom West nach Ost gelegentlich dieser Finsternis den Großen Ozean in seinen mittleren Teilen und trifft dabei nur auf zwei bekannte Inseln. Eine von diesen ist Fanning, in 151° 48' westl. Länge und 11° 25' nördl. Breite, also ungefähr 300 engl. Meilen nördwestlich von Tokio. Die Sonne wird dort zur Zeit der Finsternis 75° hoch über dem Horizont stehen und die Dauer der Totalität 6 m 40 s betragen. Die Expedition begibt sich zunächst nach Tokio und von dort auf dem von der Regierung der Vereinigten Staaten zur Verfügung gestellten Kanonenboot „Albatross“ nach Fanning, von wo sie später durch die nördliche Kriegsmacht wieder zurückgebracht wird. Während der Finsternis soll vor allem eine heliometrische Untersuchung der Sonnenkorona angestellt werden, welche Prof. Abbot für die Finsternis von 1890 inaugurierte. Letzterer wird sich als Leiter einer von

Astraphysikalisches Observatorium der Smithsonian-Institution gesteuerten Expedition an den heliometrischen Beobachtungen beteiligen.

Der große Sonnenfleck, der während des Jans auf der nördlichen Hälfte der Sonnenscheibe sichtbar war, wurde von mehreren Beobachtern mit bloßem Auge bei Sonnenuntergang erkannt. Auf dem Observatorium für Sonnenphysik zu Smith-Kennington ist er am Spektroheliographen ausschließlich mit Strahlen des Roten der Sonne photographiert worden. Tafel X gibt eine gutre reproduktion dieser Aufnahme.

**Störung in der Korona vom 20. August 1905.** W. W. Campbell und C. D. Perrine haben kürzlich eine interessante Untersuchung angestellt. Die großen Photographien der Korona vom 30. August 1905, welche die Crooker-Expedition nach Spanien und Ägypten erhalten hat, zeigen im nördlichen Quadranten der Korona eine ausgedehnte Region bestehend aus hervorragenden Strahlen, die von einem gemeinsamen Punkte ausgehen, näm-

ten. Die weitere Gestalt dieses Region scheint die eines Kugels zu sein, dessen Spitze auf der photographischen Platte in einiger Entfernung innerhalb des Sonnenrandes liegt. Diese Spitze befindet sich in der Nähe der Photosphäre und der Kugel selbst wendet sich in radialer Richtung von der Sonne. Der ganze Gestalt ist ähnlich aber nicht so konzentrisch wie jene in der Korona des 25. Mai 1900. Für den Tag der Ausstrahlung mit Bezug auf das Zentrum der Sonnenscheibe ergab die Messungen auf vier Photographen des Positionswinkel von  $131^{\circ}$  bis  $124^{\circ}$  und den Abstand vom Sonnenzentrum 12.5 bis 14". Eine Untersuchung der zur nämlichen Zeit auf der Lickenswarte entnommene Sonnenphotographien zeigt einen Fleck von mäßiger Größe, umgeben von Fackeln im südlichen Quadranten und nahe dem Rande der Sonne, dessen Positionswinkel  $140^{\circ}$  und dessen Abstand vom Sonnenrande  $127''$  beträgt. Vom 25. Aug. bis zum 11. Sept. 1905 trachtet auf den Sonnenphotographen des Lickobservatoriums kein anderer Fleck auf der nördlichen Hemisphäre der Sonne. Die nicht völlige Übereinstimmung der Position der Spitze der gestirnten Region und der Sonnenflocken zur Zeit der Finsternis in Verbindung mit der anderwärts bekannten geringen Geschwindigkeit der Massenzentren, führen zu der Vermutung, daß beträchtliche Zeit von der Periode in der betreffenden Stelle der Sonne eine Eruption stattgefunden hat. Es ist daher von Interesse, die Position der Fackelgruppe festzustellen, als sie sich auf der entgegengesetzten Seite der Sonne befand und in ungefähr demselben Abstand vom Sonnenrande als die Spitze der gestirnten Region und ebenso die Positionen zur Zeit der vorhergehenden Umdrehung der Sonne. Es ergab sich folgendes:

Juli 31. Pos. Winkel  $122^{\circ}$  abgewandt  
Sonnenscheibe.

Aug. 3 Pos. Winkel  $123.5^{\circ}$  abgewandt  
Sonnenscheibe.  
Aug. 24 Pos. Winkel  $120.5^{\circ}$  abgewandt  
Sonnenscheibe.  
Aug. 26 Pos. Winkel  $140^{\circ}$  abgewandt  
Sonnenscheibe.

Die Frage ist, ob diese Störungen der Korona ihrer Ursprung in Flocken oder in den diese umgebenden Fackeln haben. Leider ist über die Abstände der in Rede stehenden Flocken nichts bekannt. Die Zeit des Ausbreitens der Störung war wahrscheinlich der 3. Aug., als der Fleck auf der uns zugewandten Seite der Sonne stand. An diesem Tage hatte der Fleck denselben Positionen wie die Spitze des Strahlenkugels der Korona, während für den 24. August, als der Fleck auf der anderen Seite stand, ein Unterschied des Positionswinkels von  $1^{\circ}$  sich ergibt. Was die Struktur in der gestirnten Region anbelangt, so können deren Gestaltungen als lang, nicht gekrümmte Strömungen und flackige Massen beschrieben werden. Etwas zugenommene Kondensationen, aus denen man etwas über die Geschwindigkeit der Materie ableiten könnte, eine Bestimmung der letzten aus dem Vorhanden der flackigen Massen oder dem Rande ergab etwa 700 Fuß in der Sekunde als Schnelligkeit des verbreiteten Expansionsgrenz unter der Voraussetzung, daß die Eruption am 3. August stattfand. Die Massen in größerer Entfernung vom Rande würden eine vielmehr Befund so große Geschwindigkeit erfordern, um ihren Positionen zur Zeit der Finsternis zu entsprechen. Diese Ergebnisse stehen in Übereinstimmung mit den Untersuchungen der Astronomen in Spanien und Ägypten, welche durch ein Zeitintervall von 70 Minuten getrennt sind, und man kann annehmen, daß die Geschwindigkeit der flackigen Massen nicht über 1 Meile pro Sekunde betragen hat.

**Benennung von kleinen Planeten.** Wie Prof. Krass äußert? und

9 Astron. Nachr. Nr. 4485

nachfolgende von Charles Flanery zum Teil von ihm, zum Teil mit seiner Genehmigung mit den folgenden Namen belegt.

Nr.	Prov. Bez.	entdeckt	Namen
(988)	1894 RV	1894 Dec. 26	Adonis
(989)	1894 GJ	1895 Jan. 1	Callisto
(990)	1894 CJ	1895 Jan. 1	Korona
(100)	1895 CH	1895 Jan. 16	Lincolne
(101)	1895 GH	1895 Aug. 26	Hippe
(102)	1895 GJ	1895 Aug. 27	Calisto
(103)	1895 GJ	1895 Nov. 25	Leda
(104)	1895 GH	1895 Dec. 16	Hydra
(105)	1895 GH	1895 Dec. 16	Hesperide
(106)	1895 GF	1895 Jan. 16	Kleodra
(107)	1895 GJ	1895 Nov. 8	Zeyre
(108)	1895 GJ	1895 Dec. 6	Harmonie
(109)	1895 FA	1895 Febr. 22	Tiana
(110)	1895 GJ	1895 Jan. 7	Perly

Formal sind von R. S. Duggan folgende von ihm entdeckte Planeten benannt worden:

Nr.	Prov. Bez.	entdeckt	Namen
(111)	1900 B	1900 Nov. 4	Iris
(112)	1900 LM	1900 Febr. 17	Medea
(113)	1900 LP	1900 April 20	Proserpina
(114)	1900 MII	1900 Sept. 22	Eufrosine
(115)	1900 HJ	1900 Okt. 26	Thalassa
(116)	1900 MP	1900 Okt. 26	Polixena
(117)	1900 HD	1900 Jan. 21	Aida
(118)	1900 HZ	1900 April 18	Sera
(119)	1900 GS	1900 April 16	Messene
(120)	1900 GC	1900 Mai 7	Alphagene

Die drei Planetoiden der Jupitergruppe (1907 TG, 1908 VV, 1907 XM) haben die Entdecker M. Groll und A. Kopp in Heidelberg die Namen Achilleus, Peleides und Hektor gegeben.

Auffallend dunkler Durchgang des IV. Trabanten vor der Jupiter-

scheibe. Am 18. Februar dieses, schreibt H. J. Maxon, beobachtete ich auf der Südpolarseite des Jupiter einen kleinen, sehr dunklen Fleck, den ich anfangs wegen seiner Dunkelheit für den Schatten eines in der Nähe stehenden Trabanten hielt. Nach der Spätereinde war es aber der IV. Mond selbst. Der Durchgang des Mondes war um so auffallender, als er sich auf eine obere Seite wenig hellen Region bewegte. Der Trabant gestirnte des Zentralmeridians betrug um 2<sup>h</sup> 25<sup>m</sup> M. Z. Wem. Um diese Zeit stand vom Südpol von dem des Hauptplaneten nur höchstens der halbe Trabanten Durchmesser ab. Mit der Annäherung des Trabanten an den Rand der Scheibe nahm der Kontakt zwischen ihm und dieser ab und kurze Zeit vor dem Austritt war vom Mond überhaupt nichts mehr zu sehen, er wurde nur wieder sichtbar, als er schon die Stütze über den Planetenrand hervorragt, was zum erstenmal zwischen 7<sup>h</sup> 18<sup>m</sup> und 7<sup>h</sup> 19<sup>m</sup> M. Z. Wem. wahrgenommen wurde. Auch nach seiner völligen Trennung war er noch sehr hell und nicht heller als der benachbarte Jupitermond.

Die Beobachtung erfolgte am 12. Juli. Behrster, der Luftzustand war während der ganzen Beobachtung sehr gut.

Vorübergang des Titan und seines Schattens vor der Internuscheibe. Nach der Berechnung von Paul H. Stieve werden diese Erscheinungen während der demnächstigen Opposition des Saturn wie folgt stattfinden:

1907	Zeit von Greenwich	Abstand von Zenith der Scheibe	Heller Zeitstrahl der Vorübergehenden
September 3	17 <sup>h</sup> 30 <sup>m</sup>	Schatten 58' nord	104
3	19 42	Titan 33' "	137
10	17 54	" 13' "	140
19	17 15	Scherben 23' "	145
Oktober 5	18 46	Titan 40' nord	149
5	18 33	Schatten 14' "	154
21	12 31	Titan 22' "	158
21	18 48	Schatten 35' nord	161
November 6	10 32	Titan 31' nord	164
6	15 5	Schatten 43' nord	166

Vorkommen von Schwefel in der Atmosphäre gewisser Planeten. Nach einer Mitteilung von J. N. Lockyer hat derselbe während aller älteren Schwefelkometen im Spektrum von Regel festgestellt. Obwohl das Vorkommen von Schwefel in den heißen Sonnen bisher verneint (2) wurde, ist doch der erste ganze Beweis dafür, vorausgesetzt, daß Lockyer recht nicht blühte.

Die Bahn des Doppelsterns in Cassiopea. Dieser Stern hat ein besonderes Interesse für uns, weil er unter allen Fixsternen sowohl bekannt, der nächsten an Sonne Parallaxe besitzende 379" und als Doppelstern geteilt er wegen der Helligkeit der beiden Komponenten (1. und 2. Größe) sowie wegen der Kürze der Umlaufzeit (beide um ihren gemeinsamen Schwerpunkt in dem interessantesten Systemen unter den Fixsternen. Nach einer neuen Bahnberechnung von Götze beträgt diese Umlaufzeit 50 1/2 Jahre, die halbe große Achse der Bahn 17,71" und die Exzentrizität der letztern 0,52. Jetzt hat von Dr. W. Doppler, der sich seit vielen Jahren mit der Bahnberechnung von Doppelsternen beschäftigt, auch für „Cassiopea eine neue Bahn abgeleitet,“ nachdem er schon früher uns solche veröffentlicht hatte. Diese neuesten Bahnelemente sind im wesentlichen folgende:

Zeit des Periastron . . . . .	1875,40
Halbe große Achse der Bahn . . . .	17,71"
Exzentrizität . . . . .	0,5057
Umlaufdauer . . . . .	50,57 Jahre

**Bestimmung der Vergrößerung von astronomischen und terrestrischen Fernrohren.** Schon lang Zeit beschäfftige ich mich damit, wie für Amateurastronomen bequem Methode zur Vergrößerungsbestimmung von Fernrohren zu finden. Nach H. diese Manipulation mit ein Dynamometer ungeschaffen, wird der Amator für nicht lohnend halten und wenn dann

ein Streicher, wegen wir z. B. den Mond durch das Amateurs Fernrohr betrachten, die Frage schwebt: „Sagen Sie mir, mein lieber Herr, wie nahe dem mir diese in Ihrem Fernrohr scheint des Mond's? denn wird der Amator nicht schon die Antwort schuldig bleiben. So will ich es denn versuchen, das Amator von seiner Verlegenheit zu befreien.

Nehmen Sie dass die Krümmung, auf welchem ein Bogen weißes Papier befestigt ist und projicieren Sie durch ihr Fernrohr das Bild der Sonne auf den dieser Art speculierten Projektions schirm, messen und notieren Sie von dem Abstand des Sonnenbildes von einem markierten Punkt am Okular und den Durchmesser des Sonnenbildes, vergrößern Sie beliebig (aber nicht zu wenig) den Abstand und wiederholen Sie das Messung in gleichen Weise wie oben.

Ist nun  $a$ , bez.  $a_1$  der Abstand des Sonnenbildes von einem am Okular beliebig angenommenen Punkt,  $b$ , bez.  $b_1$  der Durchmesser des Sonnenbildes, so ist, wenn man den scheinbaren Radius der Sonne in Bogenmaß zu 15 annimmt, die theoretische Vergrößerung

$$v = 157 \times \frac{b_2 - b_1}{b_1 - b_2}$$

Im den Okularen der kleineren Sonnenweite (welche nur einen Teil des Sonnenbildes umgreift) und wenn den Durchmesser zweier durch eine kleine Rechnung bestimmten. Wir messen, in welcher Zeit ein Punkt der Sonne (z. B. ein Sonnenfleck) eine abgemessene Strecke am Projektionschirm zurücklegt,  $a$ ,  $\delta$  in 1 Sekunden in Millimeter. Es ergibt sich daraus, wenn man mit  $r$  wie oben den Halbmesser der Sonne zu 15 Bogenminuten annimmt, die Durchmesser des Sonnenbildes in Millimetern:

$$= 128 \times \frac{a}{1}$$

Diese Methode ist für alle Okular- und Fernrohrkonstruktionen anwendbar, ungeachtet der Lage und Größe der Oku-

den, durch welche Symmetrienestungen häufig nachteilig beeinflusst werden.

A. Gluckner.

Die Berliner Sternwarte hat im Auftrage des Kaiserlichen Observatoriums auf dem Fährdamm bei Potsdam Versuche anstellen, die mit der geordneten Vorlegung der Sternwarte zusammenhängen. Für den Nobis ist ein Gelände in der Nähe des Schlossparks von Fährdamm in Aussicht genommen. Es gilt, die Beobachtungsverhältnisse näher zu prüfen und auch die Frage der Sicherung durch Bodenschüttung. Bisher wurde zunächst der desgl.ige Reaktor der Akademie der Wissenschaften. Nach 48 Beobachtungsstunden haben sich die Bedingungen auf dem Fährdamm als durchaus günstige erwiesen. Aus den Untersuchungen über Bodenschüttungen ist zu schließen, daß ein künstlich nachweisbarer Einfluß der Eisenbahn und der Fährden in der Nähe nicht vorhanden ist. Von den Beobachtern wurde auch ein vorläufiges Profillement des Geländes aufgenommen.

Ein neuer Spektroskop von besonders großer Stabilität ist vom Direktor des Astrophysikalischen Observatoriums zu Potsdam, Prof. Vogel, konstruiert worden<sup>1)</sup>. Die Instrumente werden sich steigenden Anforderungen an die Stabilität der Spektroskopie, welche zur Bestimmung der Bewegung der Sterne im Weltraum durch Messung der äußerst geringen Verschiebung der Spektrallinien Verwendung finden, bei den gesamten Astrophysikern sehr beliebt sein. Der Apparat ist konstruiert in einem Gehäuse aus einem Metallblock, dessen Gehäuse nicht aus mehreren Metallteilen zusammengeklebt ist, sondern aus einem einzigen Gießkörper besteht. Als Material hierzu wurde Nickelaluminium verwendet. Diese Metallierung besitzt neben dem Vorteil großer Leuchtbarkeit eine große Festigkeit. Der schwierige Gieß des komplizierten Gehäuses ist

schon gelungen, und der Apparat besitzt eine außerordentlich große Stabilität, besonders auch in Bezug auf Temperaturschwankungen.

Wiederherstellung einer altindischen Sternwarte. Die größte indische Sternwarte, die ehemalige Prachtbau in Jaipur, der seit Jahrzehnten in Trümmern lag, ist durch den glückselig hochentwickelten Maharadscha Maharaj wieder aufgebaut worden. Damit ist ein Denkmal der hohen indischen Kultur dem gleichzeitigen Untergang entrissen worden, denn die berühmte Sternwarte in Delhi, Benares und Saurashtra waren zerstört. Von der japanischen Sternwarte, die 1718—1734 auf Veranlassung des letzten indischen indischen Astronomen, der in den Diensten des damaligen Fürsten von Jaipur, Jai Singh II., stand, erbaut wurde, war in den letzten Jahrzehnten nicht mehr viel zu sehen, wenn sie auch nicht gerade zu einem Pfadstein, wie das berühmte Bauwerk in Delhi, degradiert worden war. Aber auch wieder aufgebaut, wird es nur ein Denkmal bleiben, denn Jaipur ist der Ort, welcher einst astronomische Astronomie und Mathematik umgab, welches. Die berühmte Sternwarte der Wissenschaft, die 1718 erbaut Sternwarte von Jaipur, der um das Jahr 1808 errichtete Lyrische Observatorium in Marikhan, die 1750 in Marikhan und 1720 in Samarkand erbaut Sternwarte sind gleichfalls von Indiern zerstört worden. Auch Persien besitzt keine so oft berühmten astronomischen Beobachtungsstationen mehr. Die japanische Sternwarte, jetzt nur noch eine kulturhistorische Markierung, gibt ein anschauliches Bild der ehemaligen Konstruktion dieser Bauwerke, zeigt die charakteristische Größe, die engen Zusammenhang von Gebäude und Instrument. Parallel zur Endseite steht eine schmale, bestehende, mit astronomischen Instrumenten versehene Treppe in der Höhe, an deren linken und rechten Seite gewaltige, eine Konstruktion tragende

<sup>1)</sup> Vgl. Bericht d. Exp. Prof. Vogel an d. Wissenschaften 1902, 1018.

Kronbogen aufgemauert sind, auf die der Scheitel der Treppentrittungen 1881, so daß man von dem Kronbogen die gewaltige Sonnenzeit ablesen kann. Die Jajpur-Sonnenuhr, das gigantischste «Gnomon» der Welt, hat eine Höhe von 27.5 m und übertrifft die am meisten bekannte von Delhi um fast 10 m<sup>2</sup>.

H. G. Vogel, der langjährige Direktor der Astrophysikalischen Observatoriums zu Potsdam ist am 13. August gestorben. Die Wissenschaft verliert mit ihm einen der ersten Astrophysiker dessen Name auf dem Gebiete der Himmelsforschung unvergänglich blü-

hen wird. Eine eingehende Schilderung des Lebens und wissenschaftlichen Wirkens dieses hochachtbaren Forschers wird später im «Stern» gegeben werden.

**Fernrohre für Freunde der Himmelsbeobachtung.** Aus den Linsenformen des «Stern» sind mir mehrere größen und kleinen sehr gut erhaltenen Fernrohre zum Verkaufe angemeldet worden. Freunden der Himmelsbeobachtung, welche die Anschaffung eines solchen Instrumens beabsichtigen, und sich dieruchfalls so richig werden, bis ich zu jeder gewünschten Auskunft gern bereit. Prof. Dr. Klein.

7. Central-Zeitung für Optik u. Mechanik 1900, Nr. 12

### Stellungen der Saturnsmunde. (Erläuterung S. 29.)

Zeiten der deutschen Chroniken im November 1900.

**Tellurp.** November 3. 10<sup>h</sup> 15', November 4. 7<sup>h</sup> 15', November 5. 2<sup>h</sup> 30', November 6. 10<sup>h</sup>, November 7. 12<sup>h</sup> 30', November 12. 10<sup>h</sup> 15', November 13. 12<sup>h</sup> 30', November 14. 10<sup>h</sup> 15', November 17. 10<sup>h</sup> 15', November 18. 8<sup>h</sup> 15', November 19. 7<sup>h</sup> 15', November 20. 4<sup>h</sup> 15', November 21. 2<sup>h</sup> 15', November 22. 10<sup>h</sup> 15', November 23. 12<sup>h</sup> 15', November 24. 10<sup>h</sup> 15', November 25. 8<sup>h</sup> 15', November 26. 10<sup>h</sup> 15', November 27. 12<sup>h</sup> 15', November 28. 10<sup>h</sup> 15', November 29. 8<sup>h</sup> 15', November 30. 10<sup>h</sup> 15'.

**Mars.** November 3. 9<sup>h</sup> 15', November 4. 10<sup>h</sup> 15', November 5. 12<sup>h</sup> 15', November 10. 11<sup>h</sup> 15', November 11. 10<sup>h</sup> 15', November 12. 10<sup>h</sup> 15', November 13. 10<sup>h</sup> 15', November 14. 10<sup>h</sup> 15', November 15. 10<sup>h</sup> 15', November 16. 10<sup>h</sup> 15', November 17. 10<sup>h</sup> 15', November 18. 10<sup>h</sup> 15', November 19. 10<sup>h</sup> 15', November 20. 10<sup>h</sup> 15', November 21. 10<sup>h</sup> 15', November 22. 10<sup>h</sup> 15', November 23. 10<sup>h</sup> 15', November 24. 10<sup>h</sup> 15', November 25. 10<sup>h</sup> 15', November 26. 10<sup>h</sup> 15', November 27. 10<sup>h</sup> 15', November 28. 10<sup>h</sup> 15', November 29. 10<sup>h</sup> 15', November 30. 10<sup>h</sup> 15'.

**Jupiter.** November 3. 10<sup>h</sup> 15', November 4. 10<sup>h</sup> 15', November 12. 10<sup>h</sup> 15', November 17. 10<sup>h</sup> 15', November 18. 10<sup>h</sup> 15', November 19. 10<sup>h</sup> 15', November 20. 10<sup>h</sup> 15', November 21. 10<sup>h</sup> 15', November 22. 10<sup>h</sup> 15', November 23. 10<sup>h</sup> 15', November 24. 10<sup>h</sup> 15', November 25. 10<sup>h</sup> 15', November 26. 10<sup>h</sup> 15', November 27. 10<sup>h</sup> 15', November 28. 10<sup>h</sup> 15', November 29. 10<sup>h</sup> 15', November 30. 10<sup>h</sup> 15'.

**Saturn.** November 3. 10<sup>h</sup> 15', November 4. 10<sup>h</sup> 15', November 5. 10<sup>h</sup> 15', November 6. 10<sup>h</sup> 15', November 7. 10<sup>h</sup> 15', November 8. 10<sup>h</sup> 15', November 9. 10<sup>h</sup> 15', November 10. 10<sup>h</sup> 15', November 11. 10<sup>h</sup> 15', November 12. 10<sup>h</sup> 15', November 13. 10<sup>h</sup> 15', November 14. 10<sup>h</sup> 15', November 15. 10<sup>h</sup> 15', November 16. 10<sup>h</sup> 15', November 17. 10<sup>h</sup> 15', November 18. 10<sup>h</sup> 15', November 19. 10<sup>h</sup> 15', November 20. 10<sup>h</sup> 15', November 21. 10<sup>h</sup> 15', November 22. 10<sup>h</sup> 15', November 23. 10<sup>h</sup> 15', November 24. 10<sup>h</sup> 15', November 25. 10<sup>h</sup> 15', November 26. 10<sup>h</sup> 15', November 27. 10<sup>h</sup> 15', November 28. 10<sup>h</sup> 15', November 29. 10<sup>h</sup> 15', November 30. 10<sup>h</sup> 15'.

**Uranus.** November 10. 10<sup>h</sup> 15'

# Astronomischer Kalender für den Monat November 1907.

Sonnen				Mond			
Mittlere Berliner Zeit				Berliner Berliner Zeit			
$\frac{1}{2}$ h	Zeit m. s. — W 2	Rektascension	Declination	Rektascension	Declination	Mond im Meridian	
m	s	h m s	° ' "	h m s	° ' "	h m	
1	— 28 39 44	24 50 53 64	— 24 0 10 00	21 0 47 40	— 44 58 50 7	21 37	
2	29 30 41	24 50 53 66	24 52 53 5	21 0 51 43	4 0 50 9	21 40 4	
3	30 31 38	24 50 53 68	24 55 47 1	21 0 55 47	+ 8 10 30 4	21 23 4	
4	31 32 35	24 50 53 61	25 0 42 3	21 0 59 50	— 0 10 20 3	21 24 4	
5	32 33 32	24 51 48 64	25 0 47 0	21 10 43 10	4 10 10 3	—	
6	33 34 29	24 51 48 66	25 0 51 2	21 10 47 11	10 10 47 4	0 10 9	
7	34 35 26	24 51 48 68	25 0 55 4	21 10 50 44	16 10 39 0	0 10 4	
8	35 36 23	24 51 48 71	25 1 0 7	21 10 54 16	22 10 30 2	0 10 4	
9	36 37 20	24 51 48 73	25 1 4 9	21 10 57 48	28 10 21 4	0 10 0	
10	37 38 17	24 51 48 75	25 1 8 12	21 11 0 20	34 10 12 6	+ 10 9	
11	38 39 14	24 51 48 78	25 1 12 15	21 11 3 52	40 10 3 8	10 10 9	
12	39 40 11	24 51 48 80	25 1 16 18	21 11 7 24	46 10 14 0	20 10 1	
13	40 41 8	24 51 48 83	25 1 20 21	21 11 10 56	52 10 4 2	30 10 4	
14	41 42 5	24 51 48 85	25 1 24 24	21 11 14 28	58 10 15 4	40 10 7	
15	42 43 2	24 51 48 88	25 1 28 27	21 11 18 0	64 10 6 6	50 10 0	
16	43 44 0	24 51 48 90	25 1 32 30	21 11 21 32	70 10 17 8	60 10 3	
17	44 44 3	24 51 48 93	25 1 36 33	21 11 25 4	76 10 28 0	70 10 6	
18	45 45 0	24 51 48 95	25 1 40 36	21 11 28 36	82 10 39 2	80 10 9	
19	46 45 3	24 51 48 98	25 1 44 39	21 11 32 8	88 10 50 4	90 10 2	
20	47 46 0	24 51 48 100	25 1 48 42	21 11 35 40	94 10 41 6	100 10 5	
21	48 46 3	24 51 48 103	25 1 52 45	21 11 39 2	100 10 52 8	110 10 8	
22	49 47 0	24 51 48 105	25 1 56 48	21 11 42 34	106 10 43 0	120 10 1	
23	50 47 3	24 51 48 108	25 2 0 51	21 11 45 46	112 10 34 2	130 10 4	
24	51 48 0	24 51 48 110	25 2 4 54	21 11 48 58	118 10 25 4	140 10 7	
25	52 48 3	24 51 48 113	25 2 8 57	21 11 52 10	124 10 16 6	150 10 0	
26	53 49 0	24 51 48 115	25 2 12 60	21 11 55 22	130 10 7 8	160 10 3	
27	54 49 3	24 51 48 118	25 2 16 3	21 11 58 34	136 10 18 0	170 10 6	
28	55 50 0	24 51 48 120	25 2 20 6	21 12 1 46	142 10 9 2	180 10 9	
29	56 50 3	24 51 48 123	25 2 24 9	21 12 4 58	148 10 0 4	190 10 2	
30	57 51 0	24 51 48 125	25 2 28 12	21 12 8 10	154 10 11 6	200 10 5	
31	58 51 3	24 51 48 128	25 2 32 15	21 12 11 22	160 10 22 8	210 10 8	
32	59 52 0	24 51 48 130	25 2 36 18	21 12 14 34	166 10 13 0	220 10 1	

## Flareskennellbogen: 1907.

November	5	14 4	Jupiter im Quadranten mit der Sonne.
"	6	18	Venus im nördlichsten Knoten.
"	8	22	Venus in Konjunktion mit dem Monde.
"	9	23	Merkur in Konjunktion mit dem Monde.
"	7	2	Merkur in Konjunktion mit Venus, Merkur 1° 54' süd.
"	10	10	Venus in Konjunktion mit J. Saturn, Venus 1° 12' süd.
"	11	16	Mars im Quadranten mit der Sonne.
"	12	1	Mars in Konjunktion mit dem Monde, Bekehrung.
"	13	10	Merkur in nördlichsten Knoten.
"	14	1	Merkur in nördl. Konjunktion mit der Sonne, Dargest.
"	15	11	Neptun in Konjunktion mit dem Monde.
"	16	1	Merkur im Perihel.
"	20	10	Jupiter in Konjunktion mit dem Monde.
"	21	4	Merkur in größter süd. helio. Breite.



**Planeten- Ephemeriden.**

Mittlere Berliner Zeit						Mittlere Berliner Zeit.					
Jahr 1907	Rektascension			Declination Grad	Distanz h m s	Jahr 1907	Rektascension			Declination Grad	Distanz h m s
	h	m	s				h	m	s		
Merkur											
Nov. 4	16	47	19 00	—23 32 18 0	1 37	Nov. 4	16	46	18 76	— 2 32 20 7	1 36
5	16	39	34 00	—23 45 13 0	1 30	5	16	39	34 10	— 2 32 20 7	1 34
10	16	34	43 14	—23 59 38 4	1 24	10	16	30	37 07	— 2 32 20 4	1 3
15	16	32	39 50	—24 07 51 1	1 19						
16	16	37	30 17	—23 54 10 9	1 22						
20	16	37	38 45	—24 14 12 0	1 20						
Venus											
Nov. 4	10	52	38 45	—12 48 18 0	1 30	Nov. 4	10	49	44 72	—12 38 11 0	1 37
5	10	53	4 14	—12 42 32 0	1 32	5	10	44	38 16	—12 34 10 1	1 33
10	10	58	31 17	—12 42 33 4	1 37	10	11	48	40 30	—12 33 36 1	1 30
15	10	54	43 14	—12 53 57 0	1 33						
16	10	57	43 18	—12 47 46 1	1 3						
20	10	58	37 50	—12 51 30 0	1 37						
Mars											
Nov. 4	21	4	39 45	—18 48 27 0	1 34						
5	21	39	18 10	—17 48 40 0	1 3						
10	21	30	11 17	—18 39 47 4	1 3						
15	21	28	8 30	—18 39 32 3	1 41						
16	21	33	8 33	—18 38 40 4	1 40						
20	21	33	1 10	—18 31 17 0	1 43						
Jupiter											
Nov. 4	4	5	30 42	—47 39 34 7	27 14						
5	4	5	48 07	—47 38 40 0	27 19						
10	4	5	34 45	—47 37 30 0	27 40						

Mittlere Berliner Zeit.					
Jahr 1907	Rektascension			Declination Grad	Distanz h m s
	h	m	s		
Saturnus					
Nov. 4	16	46	18 76	— 2 32 20 7	1 36
5	16	39	34 10	— 2 32 20 7	1 34
10	16	30	37 07	— 2 32 20 4	1 3
Uranus					
Nov. 4	10	49	44 72	—12 38 11 0	1 37
5	10	44	38 16	—12 34 10 1	1 33
10	11	48	40 30	—12 33 36 1	1 30
Neptun					
Nov. 4	7	4	42 12	—12 47 53 3	14 55
5	7	4	5 30	—12 48 24 9	14 54
10	7	5	33 30	—12 48 41 3	14 53
Mondphasen 1907.					
	h	m			
Nov. 1	21	56 5	Neumond.		
13	8	4 8	Erster Viertel		
25	22	57 5	Vollmond.		
27	17	12 0	Letztes Viertel		
4	18	—	Mond in Erdrahe		
14	18	—	Mond in Erdrahe		
		—	—		

**Mercurplanen 1907.**

	h	m	
Nov. 4	21	38 16	Mercurid.
5	4	3 8	Erster Transit
10	22	47 5	Waldemar
17	17	1 0	Letzter Transit
4	18	—	Mond in Kontakt
14	18	—	Mond in Kontakt
			—

**Sternbedeckungen durch den Mond für Berlin 1907.**

Abendtag	Stern	Größe	Uhrzeit wirdet Zeit		Anzahl wirdet Zeit	
			h	m	h	m
Nov. 18	$\alpha$ Ceti	4 0	8	49	8	49 0
19	$\beta$ Tauri	3 0	8	39 0	8	37 0
19	$\gamma$ Tauri	4 0	14	37 0	14	38 0
19	Neptun	5 0	10	54	10	53 0
20	$\beta$ Cassiopeiae	3 0	1 0	50 0	1 0	51 0

**Lage und Größe des Saturnschattens.**

Nov. 4. Große Achse des Ringfleckes 18 1/2" kleine Achse 10 1/2" dick.  
Entfernungswinkel der Ringe über der Ringebene. 1° 31' 2" dick

Nov. 5. Mittlere Position der Erde	16° 30'	4 48 0
Wahre " " "	16° 27'	4 47 0
Mittelpunkt der Sonne	18°	4 54 0
Parallaxe " "		4 53 0

Stellungen der Jupitermonde am November 1892.



Beilage zu Nr. 1126 für den Publik. im astronomischen Almanach.

Tag	Westl.				Ostl.			
1	0 1'	10	2'		0	1		
2		10			0	1	1	10 1/2
3		10		1'	0	1	1	
4			10	1'	0	1	1	
5			10	1'	0	1	1	
6			10	1'	0	1	1	
7			10	1'	0	1	1	
8	0 1'		10	1'	0	1	1	
9			10	1'	0	1	1	10 1/2
10			10	1'	0	1	1	
11			10	1'	0	1	1	
12			10	1'	0	1	1	
13			10	1'	0	1	1	
14			10	1'	0	1	1	
15			10	1'	0	1	1	
16			10	1'	0	1	1	
17			10	1'	0	1	1	10 1/2
18	0 1'	10			0	1		
19		10		10 1/2	0	1		
20		10		10 1/2	0	1		
21		10		10 1/2	0	1		
22			10		0	1		10 1/2
23			10		0	1		10 1/2
24	0 1'				0	1		
25					0	1		
26					0	1		
27					0	1		
28					0	1		
29					0	1		10 1/2
30					0	1		

**Ercheinungen der Jupitersmonds.** Die stündlichen Angaben über die Ercheinungen der Jupitersmonds beziehen sich auf mittleren Zeit von Greenwich. Die Trabanten sind der Reihenfolge ihres Abwandes vom Jupiter nach mit I bis IV bezeichnet. Die vier gezeigten Figuren zeigen die Stellung jedes Mondes mit Bezug auf den Jupiter für den Augenblick der Verhinderung (d) oder des Wiedererscheinens (e) für  $r$  nicht angegeben, so kann der Ausfall aus dem Schatten nicht beurtheilt werden. Ferner bezieht bei den nachfolgenden Zeitangaben:

- Ec D das Verschwinden des Trabanten im Schatten des Jupiter.
- Et E den Austritt des Trabanten aus dem Schatten des Jupiter.
- Oc D das Wiedereintreten des Trabanten hinter der Jupiterscheibe.
- Oe R das Wiedereintreten vor der Jupiterscheibe.
- Tr I den Eintritt des Trabanten vor die Jupiterscheibe.
- Tr E den Austritt des Trabanten aus der Jupiterscheibe.
- Sh I den Eintritt des Trabanten-schattens auf die Jupiterscheibe.
- Sh E den Austritt des Trabanten-schattens aus der Jupiterscheibe.

Es sind nur diejenigen Ercheinungen der Jupitersmonds aufgeführt, welche sich ergeben, wenn Jupiter zu Greenwich über und die Sonne unter dem Horizonte steht. Um die Momente dieser Ercheinungen nach mittlereuropäischer Zeit zu finden, hat man nur nöthig,  $t^2$  zu den angegebenen Zeitpunkten zu addiren.

November 1. I. Sh. I. 12<sup>h</sup> 24<sup>m</sup>. I. Tr. I. 12<sup>h</sup> 17<sup>m</sup>. I. Sh. E. 12<sup>h</sup> 30<sup>m</sup>. I. Tr. E. 12<sup>h</sup> 17<sup>m</sup>. November 2. I. Oc. R. 12<sup>h</sup> 41<sup>m</sup>. II. Oc. R. 12<sup>h</sup> 41<sup>m</sup>. November 3. II. Sh. E. 12<sup>h</sup> 41<sup>m</sup>. November 4. I. Oc. R. 12<sup>h</sup> 41<sup>m</sup>. November 5. I. Sh. E. 12<sup>h</sup> 41<sup>m</sup>. November 6. I. Ec. D. 12<sup>h</sup> 30<sup>m</sup> 44<sup>s</sup>. II. Sh. I. 12<sup>h</sup> 30<sup>m</sup>. November 7. I. Sh. I. 12<sup>h</sup> 30<sup>m</sup>. I. Tr. I. 12<sup>h</sup> 30<sup>m</sup>. I. Sh. E. 12<sup>h</sup> 30<sup>m</sup>. I. Tr. E. 12<sup>h</sup> 30<sup>m</sup>. November 8. II. Tr. D. 12<sup>h</sup> 30<sup>m</sup> 30<sup>s</sup>. I. Oc. R. 12<sup>h</sup> 30<sup>m</sup>. II. Oc. R. 12<sup>h</sup> 30<sup>m</sup>. November 9. I. Tr. E. 12<sup>h</sup> 30<sup>m</sup>. November 10. II. Tr. I. 12<sup>h</sup> 30<sup>m</sup>. II. Sh. E. 12<sup>h</sup> 30<sup>m</sup>. II. Tr. E. 12<sup>h</sup> 30<sup>m</sup>. November 11. II. Sh. E. 12<sup>h</sup> 30<sup>m</sup>. November 12. II. Tr. I. 12<sup>h</sup> 30<sup>m</sup>. November 13. II. Tr. I. 12<sup>h</sup> 30<sup>m</sup>. November 14. II. Tr. I. 12<sup>h</sup> 30<sup>m</sup>. November 15. II. Tr. I. 12<sup>h</sup> 30<sup>m</sup>. November 16. II. Tr. I. 12<sup>h</sup> 30<sup>m</sup>. November 17. II. Tr. I. 12<sup>h</sup> 30<sup>m</sup>. November 18. II. Tr. I. 12<sup>h</sup> 30<sup>m</sup>. November 19. II. Tr. I. 12<sup>h</sup> 30<sup>m</sup>. November 20. II. Tr. I. 12<sup>h</sup> 30<sup>m</sup>. November 21. II. Tr. I. 12<sup>h</sup> 30<sup>m</sup>. November 22. II. Tr. I. 12<sup>h</sup> 30<sup>m</sup>. November 23. II. Tr. I. 12<sup>h</sup> 30<sup>m</sup>. November 24. II. Tr. I. 12<sup>h</sup> 30<sup>m</sup>. November 25. II. Tr. I. 12<sup>h</sup> 30<sup>m</sup>. November 26. II. Tr. I. 12<sup>h</sup> 30<sup>m</sup>. November 27. II. Tr. I. 12<sup>h</sup> 30<sup>m</sup>. November 28. II. Tr. I. 12<sup>h</sup> 30<sup>m</sup>. November 29. II. Tr. I. 12<sup>h</sup> 30<sup>m</sup>. November 30. II. Tr. I. 12<sup>h</sup> 30<sup>m</sup>. November 1. I. Oc. R. 12<sup>h</sup> 30<sup>m</sup>. November 2. I. Oc. R. 12<sup>h</sup> 30<sup>m</sup>. November 3. I. Oc. R. 12<sup>h</sup> 30<sup>m</sup>. November 4. I. Oc. R. 12<sup>h</sup> 30<sup>m</sup>. November 5. I. Oc. R. 12<sup>h</sup> 30<sup>m</sup>. November 6. I. Oc. R. 12<sup>h</sup> 30<sup>m</sup>. November 7. I. Oc. R. 12<sup>h</sup> 30<sup>m</sup>. November 8. I. Oc. R. 12<sup>h</sup> 30<sup>m</sup>. November 9. I. Oc. R. 12<sup>h</sup> 30<sup>m</sup>. November 10. I. Oc. R. 12<sup>h</sup> 30<sup>m</sup>. November 11. I. Oc. R. 12<sup>h</sup> 30<sup>m</sup>. November 12. I. Oc. R. 12<sup>h</sup> 30<sup>m</sup>. November 13. I. Oc. R. 12<sup>h</sup> 30<sup>m</sup>. November 14. I. Oc. R. 12<sup>h</sup> 30<sup>m</sup>. November 15. I. Oc. R. 12<sup>h</sup> 30<sup>m</sup>. November 16. I. Oc. R. 12<sup>h</sup> 30<sup>m</sup>. November 17. I. Oc. R. 12<sup>h</sup> 30<sup>m</sup>. November 18. I. Oc. R. 12<sup>h</sup> 30<sup>m</sup>. November 19. I. Oc. R. 12<sup>h</sup> 30<sup>m</sup>. November 20. I. Oc. R. 12<sup>h</sup> 30<sup>m</sup>. November 21. I. Oc. R. 12<sup>h</sup> 30<sup>m</sup>. November 22. I. Oc. R. 12<sup>h</sup> 30<sup>m</sup>. November 23. I. Oc. R. 12<sup>h</sup> 30<sup>m</sup>. November 24. I. Oc. R. 12<sup>h</sup> 30<sup>m</sup>. November 25. I. Oc. R. 12<sup>h</sup> 30<sup>m</sup>. November 26. I. Oc. R. 12<sup>h</sup> 30<sup>m</sup>. November 27. I. Oc. R. 12<sup>h</sup> 30<sup>m</sup>. November 28. I. Oc. R. 12<sup>h</sup> 30<sup>m</sup>. November 29. I. Oc. R. 12<sup>h</sup> 30<sup>m</sup>. November 30. I. Oc. R. 12<sup>h</sup> 30<sup>m</sup>.



Deuts. 1903.

Tafel II.

Das große Sonnenfloek am Juni 1907,  
photographiert mit Haidenlicht der Sonne am 30. Juni 1907 4<sup>h</sup> 4<sup>m</sup> auf dem  
Observatorium für Sonnenphysik zu South Kensington.

# SIRIUS.

Zeitschrift für populäre Astronomie.

Centralorgan für alle Freunde und Förderer der Himmelskunde.

Herausgegeben

unter Mitwirkung hervorragender Fachkünstler und wissenschaftlicher Schriftsteller

von Prof. Dr. Hermann A. Klotz in Köln

Oktober 1907.

„Wissen und Erleben“ und die Freunde auf die  
Errettung der Menschheit.“ — Kasten.

Jeden Monat 1 Heft. — Jährlich 12 Mk.

Verlag von EDUARD HEINRICH MAYER in Leipzig

**INHALT:** Der Merkurdurchgang am 13. bis 14. November 1907. S. 143. — Unter-  
suchungen über das Sternensystem. S. 155. — Neue Untersuchungen über die Rotation  
und die Gestalt des Merkur. S. 164. — Die wahrscheinliche Entstehung und die Umpolung der  
Sonnen. S. 170. — Der planetarische Nebel im großen Stern 44 39 (Messier 7844.4.)  
S. 178. — Die Tätigkeit der interplanetarischen leitenden Körperchen im Jahre 1906. S. 185.  
— Beiträge des Himmels. S. 191. — Astronomische Kalender. S. 197. — Beiträge  
der Populäre. S. 201. — Erklärungen der Populäre. S. 207.

## Der Merkurdurchgang am 13. bis 14. November 1907.

**M**erks des Vortagesstunden des  
13. November wird der Planet  
Merkur für den Ablauf von der Erde aus  
über die Sonnenscheibe hinwegziehen.  
Da er aus dieser Richtung keine Nach-  
sicht zuwenden, so zeigt er sich als

völlig schwarzer Kreis, der wegen seiner  
Kleinheit nur am Fernrohr gesehen  
werden kann. Nach den Angaben des  
Berliner Jahrbuchs erfolgt vom Mitter-  
nacht der Erde gesehen:

	1907, Nov.	1907, Dez.	1907, Jan.
der Eintritt, letzter Berührung . . . . .	13	13	17
der Austritt, letzter Berührung . . . . .	13	13	17
der Mitte bei Maximum stell. Abstand vom Zentrum 12 36.4"	14	1	2
der Eintritt, letzter Berührung . . . . .	14	2	2
der Austritt, letzter Berührung . . . . .	14	2	2

Die Sonne steht um diese Zeiten im Zenit der Orte, deren geographische  
Lage bezüglich ist:

20° 12' nördl. Länge von Greenwich	21° 12' nördl. Länge
18 32	18 32
24 24	24 24
28 16	28 16
32 8	32 8

Hieraus wird die Erscheinung in der westlichen Hälfte Asiens, in Europa, Afrika, Südamerika und der östlichen Hälfte Nordamerika zu sehen sein.

Der Beginn erfolgt 87° Ostzeit  
• Austritt • 15° Westzeit

vom nördlichsten Punkte der Sonnenscheibe für den Anblick mit bloßem Auge.  
Für Berlin findet sich nach mittl. Zeit folgende Zeit:

der Beginn, vollst. Austritt	Nov. 12	23	16	26
• innen •	13	23	16	26
• Austritt, innen •	15	24	17	27
• • äußere •	16	24	17	27

Die Vorüberflüge der Merkur vor der Sonnenscheibe sind keine sehr selten astronomischen Erscheinungen. In jedem Jahrhundert ereignen sich ungefähr 13 und nach Ablauf einer Periode von 46 Jahren (genauer innerhalb einer großen Periode von 113 Jahren) kehren sie in der nämlichen Reihenfolge wieder.

Man weiß bei früheren Merkurdurchgängen manche Eigenartlichkeiten an

den schwarzen Planetenoberflächen wahrgenommen haben. So soll ein heller Punkt innerhalb derselben sichtbar geworden sein, andere wollten eine oblique Umhüllung der Scheibe wahrgenommen haben. Bei dem letzten Durchfluge des Merkur ist nichts dergleichen gesehen worden. Man darf gespannt sein, ob der demnächstige Durchgang des Planeten Besonderheiten anzuzei- gen wird.

## Untersuchungen über den Andromedanebel.

**N**achdem das große Orionsnebel vor den bei uns am nördlichen Himmel gelegenen sichtbaren Gebilden dieser Art der Andromedanebel der zugewandteste und größte. Schon um die Mitte des 18. Jahrhunderts gestand der arabische Astronom Abd-el-Rahman Al Faki dieses Nebels, dass sich ihm, nach Erfindung des Fernrohrs, Simon Marius im Dezember 1612 und bis heute hat dieser Nebel seinen Ort und sein Aussehen nicht merklich geändert. Messur konnte in ihm keine Sterne erkennen, aber wenigstens Lamont im 18 $\frac{1}{2}$ -zölligen Refraktor der Münchener Sternwarte, doch unbedeutend kleiner 1818 mehrere helle Sterne am dem 7' großen Kern des Nebels und hielt dies für ein Zeichen der Auflösbarkeit desselben. Dond sah 1846 im 14-zölligen Refraktor zu Cambridge (N. A.) in diesem Nebel eine Anzahl kleiner Sterne und glaubte außerdem zwei dunkle Streifen zu sehen, die den Nebel demselben parallel laufend durchziehen, eine Wellenbewegung, die wir heute wissen,

wirrig ist, aber später von einem achtzölligen Amateurastronomen dieses Fernrohrs unter Angabe auch auch gemacht und als Beweis der Veränderlichkeit seines Formens und eines Aufgebens betrachtet wurde. Am 30-Zöller der Licksternecke entdeckte Barnard wieder von dem Beobachter Sterne noch von dem dunklen Kanten in diesem Nebel etwas zu sehen, den Kern fand er deutlich aber nicht sternartig und bei ungleicher Luft nicht sichtbar. Das war der Zustand unserer Kenntnisse vom Aussehen dieses großen Nebels, als 1868 J. Roberts nach mehrwöchigen Experimenten eine photographische Aufnahme desselben erhielt, die sofort zeigt, daß dieser Gebilde ein flacher Spinnnebel sei, der schief gegen die Gleichstehende zur Erde liegt und dessen zentrale Kondensation sich ausbreitet nach kugelförmiger Gestalt besitzt. Seitdem sind zahlreiche photographische Aufnahmen dieses Nebels erhalten worden, die die- jenige von Roberts bestärken.

Eine sehr wertvolle Untersuchung der

photographischen Aufnahmen, welche wiederum Antriebsmittel auf dem astronomischen Institut Königsberg-Hindenburg gemacht worden sind, hat unlängst P. Götz veröffentlicht<sup>1)</sup> und mit dieser werden wir uns in Nachstehendem beschäftigen.

Sehr richtig bemerkt Götz in der Einleitung: »Wenn auch photographische Aufnahmen so und für sich für die Erforschung des Weltraumes einen nicht hoch genug einschätzenden Wert haben, so können sie doch die exakte Arbeit auf diesem Gebiete nicht ersetzen. Dazu besonders gilt das für die Nebelforschung. Selbst das Erfinden des Stereokomparators, der es ja bekanntlich ermöglicht, Aufnahmen direkt zu vergleichen und somit Resultate, die sonst nur mit großer Arbeitsaufwand gefunden werden können, unmittelbar abzulesen, hat uns in dieser Hinsicht nicht viel weiter gebracht. Es ist zweifellos, daß der Stereokomparator in jener Zukunft bei den Nebelforschern das Gerüststück finden wird. Das Zeitlich-Einführung der Photographie in der Himmelskunde ist aber nicht viel zu kurz im Verhältnis zu dem Zeitraum, der zur Umkehrung und Bewegung jener wunderbaren Systeme erforderlich sein müssen, um das jetzt schon ausstehen. Andererseits liegt die Gefahr sehr nahe, daß die photographischen Platten sich nicht lange genug konservieren lassen, um in späterer Zeit mit den Neuaufnahmen verglichen werden zu können. Der einzig rationelle Weg, Aufschlüsse über solche ferne Nebensysteme zu erlangen, ist deshalb die möglichst rasche vollständige Festlegung der Resultate der photographischen Aufnahmen.«

Dieser Zweck verfolgt die Arbeit, die Götz auf Anregung von Prof. Wulf in Angriff nahm.

Die allgemeine Gesichtspunkte, nach

denen eine derartige Untersuchung von Nebelsystemen anzulegen wäre, sind, wie er hervorhebt, wohl die folgenden:

1. Abstand des Systems von der Erde.
2. Verbindung zwischen dem Nebel und den Sternen.
3. Physikalische Konstitution.
4. Eigenbewegung des Systems.
5. Veränderung in der Gestalt der einzelnen Teile.
6. Veränderungen in der Helligkeit der einzelnen Teile.
7. Rotationsbewegung des Systems.
8. Rotationsbewegung eines oder mehrerer der einzelnen Teile.
9. Eigenbewegung eines oder mehrerer der einzelnen Teile.

Die Punktabbestimmungen des Aufnahmegeräts haben bis jetzt zu keinem Ergebnis geführt. Die spektroskopischen Untersuchungen Scheinens über den physikalischen Konstitution beruhen bis zu dem Schlusse, daß der Nebel »aus Sternen besteht, oder wenigstens der Haupttheil aus ihnen besteht«, und daß er im wesentlichen Fixsternen der Spektralklasse IIa verleiht, sehr wohl zu einem, gegen unser System, schon vorgeschrittenen Stadium befinde.«

Es handelt sich somit für Götz, so weit dies eben bei dieser ersten Bearbeitung möglich ist, um die Ausföhrung der Punkte 2 und 4 bis 9 des obigen Programms. Zu diesem Zwecke wurde die Lage des Nebels zu den über ihm Gebiet hinweg verstreut liegenden Sternen festgesetzt, also die Orte aller dieser Sterne bestimmt und die Lage einer Reihe gut markierter und mit großer Wahrscheinlichkeit genau bestimmbarer Punkte des Nebels zu den Sternen festgelegt. Mit der Frage über die Verbindung von Sternen und Nebelmassen beschäftigt sich endlich ein sehr spekulativer Teil der Arbeit. Von einer photographischen Untersuchung des Nebels mußte vorerst abgesehen werden.

Für die vorliegenden Zwecke war den sechs Aufnahmen besond. der am

<sup>1)</sup> Publikationen des Astrophysikalischen Instituts Königsberg-Hindenburg, Band III, No. 1.

besteht auf dem Königsstuhl mit dem Bruer-Teleskop von 15 Zoll Öffnung erhalten worden sind. Unter dieser Platte verbirgt sich der Vorzug, der 1901 August 14. von 9<sup>h</sup> 15<sup>m</sup> 24<sup>s</sup> bis 13<sup>h</sup> 55<sup>m</sup> 54<sup>s</sup> M. Z. Kijot von Paul Wolf aufgenommen worden ist bei sehr wunderbarer klarem Himmel. Während der letzten 40 Minuten wurde die Durchsichtigkeit schlechter, und zwar nach und nach in so bedauerlicher Weise, daß die Aufnahme abgebrochen wurde. Der Nebel setzt genau auf der Mitte der Platte. Das auf der Platte abgebildete Feld umfaßt 8,5' in Rektaszension und 5' in Deklination. Der Nebel bedeckt also nur einen kleinen Teil in der Mitte der Platte.

Die Ausmessungen sind am Reprodischen Maßapparat des Instituts vorgenommen und die Helligkeit der verschiedenen Sterne schwankt zwischen der 9. und 16. Größe.

Die Arbeit der Ausmessungen der Platten verläuft sich über 51 Tage, durch denselben ist ein Katalog der Orte von 1250 Sternen in und nahe dem Nebel zustande gekommen. Um die Lage des Nebels unter den in diesem Katalog enthaltenen Sternen für den Abend der Aufnahme zu fixieren, wurden die Orte der wichtigsten gut definierten Punkte der Spalten bestimmt. Auf die Definition gehen einer solchen Vermessung hat schon Schmitt in seiner Abhandlung über den Orionnebel aufmerksam gemacht. Bei dem Andromeda-Nebel, sagt Clitz, liegt die Sache noch schlimmer. Die ganze Nebelmasse mit Ausnahme des hellen Kernes und seiner unmittelbaren Nachbarschaft ist so außerordentlich, die Helligkeitsabstufungen so art, daß wirklich sehr bestimmte Punkte, z. B. scharfe Fäden, kleine Nebelwolken mit kernartiger Verdichtung, Höhlen oder Löcher in den Windungen der Spirale, selbstlose Kanten usw. in sehr geringer Zahl vorhanden sind. Diese wenigen markanten Stellen der Nebelmasse sind bei der Messung der Stern-entfernungen. Zur Orts-

bestimmung weiterer Punkte wurde dann eine Reproduktion benutzt. Wegen der Verzeichnung von Reproduktionsplatten zu Maßzwecken kann man schwerwiegend und beträchtliche Einwände erheben. Hier war es nicht zu umgehen. Durch die Reproduktion und gleichzeitige Vergrößerung sind die schwachen Nebelportionen hervorgehoben, die Konturen verschärft und dadurch die Erkennung der feinen Details in der Zeichnung der Nebellinien unerschwert vom Kern der Platte ermöglicht. So konnte das auf der Hauptplatte vermessenen Objekten das Rechte mehr hinzugefügt werden, die nachträglich auf der Originalplatte wohl identifiziert werden konnten, deren Messung dort aber ausgeschlossen ist. Die Positionen dieser Punkte sind auf zwei verschiedenen von Paul Wolf hergestellten Reproduktionen desselben Originals ermittelt. Das eine ist eine 24fache, das andere eine 15fache Vergrößerung. Die Platten sind Negative, also durch doppelten Umdruck hergestellt. Daß die abgebildeten Orte keinen großen Grad von Genauigkeit beanspruchen können, liegt in der Natur der Sache. Es wurden daher die Messungen nicht mit dem Reprodischen Apparat, sondern mit dem Sternkomparator ausgeführt. Ausschließlich sind nur solche Objekte ausgewählt, die leicht wiederzuerkennen und weitergemessen werden können.

Diese Positionen sind ebenfalls in einem Katalog niedergelegt und die Hoffnung ist begründet, daß die in beiden Katalogen niedergelegte Material schon in wenigen Monaten die Erläuterung der Bewegungsfragen innerhalb der Nebelmasse ermöglichen wird. Damit wird sich dann auch von selbst die Frage lösen nach dem ausgesprochen Zusammenhang zwischen dem Nebel und den Sternen.

Clitz gibt darüber eine Schilderung der äußeren Gestalt des Nebels, wobei er sich einer von ihm entworfenen Skizze: derselben bedient, die auf Seite 221 reproduziert ist.



Der Außenrandeibel, sagt Giltz, ist ein Spindelkeil, dessen Ebene wohl unter einem Winkel von ungefähr  $15^\circ$  gegen den Visierstrahl geneigt sein mag. Das schwert die Verfolgung der einzelnen Windungen der Spirale und beeinträchtigt die einwandfreie Erkenntnis seiner wahren Gestalt. Der Sinn der Spirale ist S-förmig nach der Wölbung des Beobachtungswinkels.

Der Kern des Nebels ist von tagelichter Struktur und übersteigt an Strukturkristall weit denselben in der Nebelpartie. Das Maximum der Helligkeit ist im Zentrum des Korns, das ziemlich schwach ist, und dessen Helligkeit von Helligkeitskeil als 5:3 Größe bestimmt ist. Von da ab findet innerhalb des Korns langsamer und ziemlich stetiger Lichtabfall nach allen Seiten statt. Eine Struktur in der Nebelmasse ist erst zu erkennen in einer Entfernung von etwa 2 Bogensekunden vom Mittelpunkt. In diesem Abstand findet eine scharfe Abnahme der Helligkeit statt.

Vom Kern kann sich ein solches Nebelstrahl aus, und zwar die Hauptstrahl aus im Nordwesten.

Arm A läßt sich unmittelbar aus dem Kern heraus verfolgen. Die Nebelmasse streckt zunächst parallel der Richtung der großen Achse der inneren und nördlich vom Kern gelegenen Windungen, also unter einem Positionswinkel von etwa  $30^\circ$ , verläßt dann in eine Reihe von Wölbungen, deren Zugehörigkeit zu dieser Windung unentscheidbar ist. Wo der Hauptarm schließlich seinen größten Abstand vom Kern erreicht und in die ursprüngliche Richtung umgewandelt, hat sich ein ganz schwacher Strahl aus, der solange nach der alten Richtung verläuft, später verschwindet die charakteristische Gruppierung der Nebelballen in einer Hauptrichtung, die wiederum Wölbungen markiert mit denen des Armes B. Die ganze Nebelpartie A ist ziemlich hell, sie gehört auch zu dem mit bloßem Auge wahrnehmbaren Teil des Nebels, der Lichtabfall von der Helligkeit des

Kerns zu der des Armes vollzieht sich sehr rasch.

Arm B kommt in breiter Masse aus dem Kern heraus. Die Abnahme der Helligkeit geschieht hier nicht so schnell wie bei Arm A, sondern stetiger und langsamer. Arm B ist von Arm A scharf getrennt durch einen well in den Kern einwirkenden fast vollständigen Kessel, von dem 2 Bogensekunden fern. Dieser spielt sich in zwei Teilen, der eine wendet sich nach Norden und



Nebulakarte des Andromedanebels von F. Giltz

verschwindet nach in den Nebelmassen von B, der andere Teil dieser Nebelmassen liegt der Ostgrenze der Windung B. Diese Grenze, die besonders bei der Windung B, ist insbesondere sehr scharf.

Dieser zweite Hauptarm der Nebelmasse aus dem Kern heraus ist nachfolgender und auch heller als A. Er wendet sich nach nach Norden um, wobei die Masse sich bald von A in einer nördlichen, scharfen, kontinuierlich gelegenen Nebelmassen auflöst. Das selbe gilt von dem dritten aus dem Kern hervorstechenden und durch zwei Helligkeiten von B getrennten Nebelarmen

C, der überhaupt nicht mehr recht als Nebelarm charakterisiert werden kann, da er aus einer Anzahl regellos gelagerter Wolken gebildet wird.

Später wenden sich A, B und C nach der der ursprünglichen Richtung parallelen in entgegengesetztem Sinne, also nach Südwesten. Dieser Richtungsplan ist weniger ungedeutet durch die Gruppierung der Nebelbalken als durch einen sog. Nebelstrahl aus dem Kern, der sich in schwach gekrümmter Kurve am Kern vorbeizieht. Von hier ab ist er mit äußerst diffusen Nebel erfüllt, läßt sich aber doch noch deutlich über mehrere Stadien verfolgen. Diese im ersten Teil fast unbedeutende Zone begrenzt eine zweite Windung D, die nicht aus dem Kern heraus verfolgt werden kann, vielmehr die Fortsetzung der dem obigen Hauptstrahl am nächsten ist. Man sieht zunächst einen dem Kern anliegenden schmalen, fast gar nicht gekrümmten Nebelstrahl, der sich dann im Süden und Südwesten des Kerns in breiter Masse ausbreitet. Er ist der heftigste aller Arme vom Kern durch einen weiteren äußerst schmalen nebelfreien Kanal getrennt. Die heftige Masse des Kerns ist diesem Arm zum großen Teil im Vorderstrahl vorgelagert und dies verhindert eine deutliche Weiterverfolgung der Windungen A, B, C bis D hin. Sobald er hinter dem Kern hervortritt, breitet er sich wie ein Fächer aus und zerfällt ebenfalls in sternenförmige Wolken. Was oben bei Windung A und B hervorgehoben, gilt auch hier: die konvexe Seite der Krümmung ist der zusammenhängende, verhältnismäßig sehr begrenzte Lärm, die dem Kern angrenzende dagegen ist in eine Reihe regellos gelagerter Nebelwolken und -wolken ausgetrennt. Der südwestlich vom Kern begrenzte Teil der Windung D ist die am zusammenhängendsten Nebelarme größte Partie, dabei von fast gleicher Helligkeit über die ganze beschriebene Fläche weg.

Die früher beschriebenen Teile bilden den für das Auge sichtbaren Kern des

Nebels. Der weitere Verlauf der Windungen läßt sich leicht an der Hand der Skizze Seite 221 an jeder Kopie des Nebels verfolgen. Obige habe nach folgendem Charakteristischem hervor:

Die Hauptarme lösen sich, wie bereits gesagt, alle im NÖ/N Ende des Kerns los. Der Sinn der Drehung des ganzen Systems ist NÖ/SW. Die von dem Kern abgewandte Seite der Windungen ist relativ sehr begrenzt, während die konvexe Seite noch mehr oder weniger zerlegt erscheint. Für die äußeren Windungen der Spirale gilt das mehr mehr. Vielmehr herrscht da aber die umgekehrte Tendenz. Diese sind überhaupt kein so zusammenhängendes Ganze mehr wie der innere Arm, sondern gebildet von einer Reihe von Nebelbalken und Nebelstrahlen, die aber sehr deutlich in der Spirale gelegen sind.

Die Nebelarme betreiben den größten Flächenraum an den Umkehrpunkten (den Kulminationen), von an demher wurde dafür ist, daß wir von Spirale perspektivisch sehen.

Charakteristisch für die Windungen E und F im Südwesten des Kerns ist, daß neben der ersten Hauptrichtung in der Struktur der Nebelstrahlen, nämlich der spiralförmigen, hier eine zweite parallel der großen Achse der schmalen elliptischen Windungen vorhanden ist. Die hellen Wolken bei F sind also in dieser Richtung verlagert, wobei die äußerste Seite vom Kern abgetrennt ist, und von nebelfreiem oder sehr dünnem Kanäle durchzogen, die also die spiralförmige Windung vollkommen durchkreuzen. Stellenweise war, dass diese Kanäle gehen nicht mehr, sondern als parallel und parallel der großen Achse.

Noch faszinierter ist eine andere Tatsache, die wohl damit zusammenhängt. Die große Achse der Windungen A, B, C und D (D zweifelt als oben beschrieben) weicht von der NÖ-Richtung um einen Winkel von etwa 38° ab. Bei dem Kulminationenpunkt von D bei sich von D ein starker Nebelarm D<sub>1</sub> bis

Die in dieser Richtung vom Kern abgehende nichtfolgende Windung kulminiert bei Stern 141, die nächste bei Stern 95 angestellte. Die große Achse dieser der Arme fällt also nicht in die alte Richtung, sondern hat eine Positionswinkel von etwa  $31^\circ$ . Die Achse ständiger übriger Windungen, einschließlich  $Q$  im Südwesten, fällt mit der von  $A$ ,  $B$ ,  $C$  und  $D$  zusammen. Abweichend sind also nur die drei  $D_1$ ,  $E$  und  $F$ . Es sieht aus, als ob dieser Teil des Nebels längs einer Linie nach Süden abgelenkt wäre. Die Umgrüßung von Stern  $H 18$  (=  $B D$  =  $40/45^\circ$ ) ist freier nur von schwachen Nebeldeckeln, so daß die Windungen  $D_1$  und  $E$  hier nahezu unterbrochen scheinen. Bei den Nebelarmen der Windungen auf der anderen Seite (NW) des Kerns ist eine dazwischen Diskontinuität noch vorhanden.

Hervorgehoben muß noch einmal werden, daß die achsenna Windung auf der Südwestseite des Kerns, Windung  $Q$ , wieder normal, wenn man so sagen darf, verläuft. Von Windung  $H$  sagt Götz keine stichhaltigen Angaben zu machen, es ist auf den beiden Reproduktionen nie angedeutet. In  $F$  liegen die größten Massenkonzentrationen und die, abgesehen vom Kern, überwiegend hellsten Partien der ganzen Nebelmasse.

Götz geht nun zu einer statistischen Untersuchung über eine etwaige gesetzmäßige Anordnung der Sterne mit Bezug auf den Nebel über. Der Andromedanebel, sagt er, bedeckt ein Feld von etwa zwei Quadratgraden am Himmel, die Fläche zerfällt in gut ausgeprägtem Gebiet von 20 Quadratgraden. Wenn also irgend eine gesetzmäßige Anordnung der Sterne infolge der Anwesenheit des Nebels vorhanden wäre, so müßte sich das bei einer zahlenmäßigen Untersuchung der Sternreichte auf der Fläche zeigen.

Die Fläche wurde daher mit einem auf einer anderen Fläche aufgezogenen Gitter bedeckt und die Anzahl der Sterne in jedem Unterquadrat festgestellt.

Die Seitenlänge der Quadrate betrug etwas mehr als  $1 \text{ mm} = 14$  Bogensekunden, eine der Sternreichte in der Gegend des Nebels angemessene Größe.

Es ergab sich, daß die Sternverteilung auf dem abgebildeten Feld eine sehr zufällige ist und keine systematische Anordnung erkennen läßt.

Aus diesem Resultate läßt sich natürlich nichts folgern auf die Gruppierung der Sterne im Nebel selbst. Dazu ist die Schräglage der einzelnen Quadrate zu groß gewählt. Es sollte eben mit dieser Untersuchung nur gezeigt werden, daß für den Andromedanebel keine dazwischen Zusammenhang mit den Sternen besteht, wie es bei den sogenannten Sternhaufen der Fall ist.

Um die Sternverteilung im Nebel selbst zu studieren, benutzte Götz eine von Prof. Wolf hergestellte vergrößerte Vergrößerung auf Bromsilberpapier. Darauf wurde ein Netz von Quadraten mit jeder  $1 \text{ mm}$  Seitenlänge =  $21$  Bogensekunden gezeichnet, und zwar mit Linienstrich, damit kein Stern übersehen werden konnte. Das abgebildete Feld zerfiel hier bloß vier Quadratgrade, d. h. bloß den Nebel und seine unmittelbare Umgebung. Die schwächsten Sterne waren noch sehr gut zu erkennen.

Das Ergebnis der Zählung wird durch Tabellen veranschaulicht.

Es läßt sich konstatieren:

»An den Konzentrationen der Windungen sind Felder großer Sternreichte, so bei  $a^1$ ,  $b$ ,  $c$ ,  $D_1$ , bei  $F$  weniger.

Die hellsten Nebelstellen und fast alle Aufhellungszentren von Sternen, so  $d$ ,  $f$ ,  $g$ ,  $h$ .

Die Anordnung der Sterne liegt den Armen  $k$  bis  $i$  ist so zufällig, daß sie auf jeder Kopie selbst zu erkennen ist.

Der Stellen größter Sternreichte folgen Stellenwo die Nebelbogen im Detail kleiner, am trappigsten tritt das bei  $h$  hervor, ferner bei  $i$  und  $a$ , weniger bei  $k$ .

Das mit nur abfingender und Licht-

stärkster Nebelmaterie — angefüllte Gegenstand von / ist auch relativ kleiner. Es ist die einzig große, fast nebelfreie Stelle innerhalb des von dem Nebel bedeckten Gebiets.

Absolut sternlose Stellen sind auf dem Gebiet des Nebels im Verhältnis zu den umliegenden Gegenständen sehr selten.

Die durchschnittliche Sternzahl ist innerhalb des Nebels 2-3 pro Quadrat, im NW des Nebels 1-2, im SE 1-3, also im Nebel selbst ist die Sternlichter größer als in einer unmittelbaren Umgebung und in dieser wieder ist der Sudeten sternreicher als der Nordwest. Es ist nur eine beachtenswerte Tatsache, daß bei allen Reproduktionen, die Prof. Wolf bisher vom Andromedanebel machte, der sternreichere SE-Teil der Platte stets hell herauskam, d. h. unmerklich ganz mit Nebelmaterie erfüllt, die diese Gegenstände verschleiert. Nicht wie die Scheibe ist es nicht und von einer Struktur daher nichts zu erkennen.

Mit die angeführten Punkte sprechen mehr oder weniger für einen erheblichen Zusammenhang zwischen dem Nebel und dem größten Teil der auf seiner Gebirgspitze stehenden Sterne.

Aber noch weitere Schlüsse lassen sich ziehen. In der Nordhälfte des Nebels, sagt Götz, ist die durchschnittliche Sternlichter 2-3, im Südwest nur 1-2. Der sternreichere Nordosten enthält außer den Punkten in nächster Nähe des Kernes nur gelbe Lichtschwache Nebelmaterie, in denen nach dem obigen sich die Kerne größer Sternlichter des Nebelflecks gut auszeichnen, die Sterne

also im großen ganzen in diesen gruppiert sind.

Der sternreichere Südwesten erfüllt die großen Kondensationskerne in der Nebelmaterie, die äußeren Nebelfläche sind verliert und zerstreut, die Hauptausgangspunkte nach Süden abgeben. Von einem Zusammenhang zwischen Nebelfläche und Sternlichter ist hier nur in nächster Nachbarschaft des Kernes etwas wahrzunehmen. Er fehlt direkt in den großen Nebelansammlungen der Windungen E und F.

Die verschiedenen Teile des Nebels scheinen sich demnach in verschiedenen Stadien der Entwicklung zu befinden. Im Nordwest, in dem sich die Entwicklung des Systems, der Gestalt der Nebelfläche noch zu schließen, ungenügend entschieden konnte, ist der Prozeß der Spinnbildung aus der Nebelmaterie schon deutlich fortgeschritten. Im Südwesten des Kernes dagegen besteht offenbar Störungen irgend welcher Art, deren Entwicklung verfolgt. Was für Störungen das waren, erreicht sich vorhanden noch der Beurteilung. Daß sie aber vorhanden waren, dafür sind der ganz schon wiederholt charakterisierte Teil bei der Nebelmaterie in diesem Teil des Nebels.

So hat denn die Untersuchung von Götz zu wichtigen Schlüssen über die Andromedanebel geführt. Vergleichen wir sie mit den ähnlichen Folgerungen, welche die teleskopische Beobachtung des letzteren früher geführt, so erkennt man handgreiflich die ungeheure Bedeutung der Photographie für die Untersuchung der Himmelskörper.

## Neue Untersuchungen über die Rotation und die Gestalt des Mondes.

**E**ine der wissenschaftlichen Kernfragen der physikalischen Beschaffenheit des Mondes ist nicht, wie mancher meint, die Herstellung einer möglichst großen

Modellierte Planetenform, sondern ebenso sehr die genaue Ermittlung der Rotationsbewegung und der wahren Gestalt unseres Trabanten. Auch könnte

„Das Kosmos der letztgenannten Verhältnisse war große Mondkarte überhaupt nicht ausgefüllt worden. Aber auch dieser Richtung hin haben letzter Wilmanns, Hartung und Freese ausgefüllt, neue und weit umfassendere Untersuchungen hat neuerdings Friedrich Hays ausgeführt und die desselben jetzt vollendet vorliegen,“ so ist es anzunehmen, an dieser Stelle wenigstens auf einige Hauptgebieten derselben in Bezug auf deren wissenschaftliche Bedeutung einzugehen. Bezüglich der mathematischen Behandlung des Problems wird der Fachmann die drei Abhandlungen, in welchen der Verfasser seine Arbeiten veröffentlicht hat, mit großem Interesse selbst studieren, hier können wir bemerken, nur die Ergebnisse, sofern solche unser positives Wissen vermehren, kurz und allgemein verständlich dargelegt werden.

Den Ausgangspunkt für alle Martin gehörigen Untersuchungen bilden die drei von D. Cassini entdeckten Gestirne, welche also lauten:

1. Der Mond dreht sich um eine in ihm feste Achse in derselben Zeit, in der er einen Umlauf um die Erde vollendet.

2. Die Neigung dieser Achse gegen die Ekliptik ist konstant.

3. Mondknoten, Mondbahn und Ekliptik schneiden sich in einem Gemeindefokus und zwar so, daß der absteigende Knoten des Mondknotens auf der Ekliptik mit dem aufsteigenden Knoten der Bahn zusammenfällt.

Diese Gesetze gelten für die mittlere Bewegung des Mondes.

Mit Hinweis auf dies von Paul Bruns in seinen Vorlesungen gewählte Bemerkung, betont Hays, daß die Unveränderlichkeit der Dechachse im Mondkörper näherungsweise gilt. Theoretisch steht fest, daß die augenblickliche

Dechachse eines im beweglichen Körper um Räume fest oder beweglich ist, wenn sie in im Körper ist, und umgekehrt. Die Dechachse des Mondes beschreibt nun im Räume annähernd einen Kreisläng auf die Achse der Ekliptik, dessen halber Öffnungswinkel gleich der Neigung des Mondknotens ist. Daraus läßt sich für die Achsenbestimmung im Mondkörper und für die entsprechenden Polhöhenabweichungen auf Stränge schließen, die mindestens 20' oder, von der Erde aus gesehen, 91" erreichen.

„Bewegte sich,“ Wirt der Verfasser fort, „der Mond mit gleichförmiger Geschwindigkeit um die Erde in einer Kreisbahn, die mit dem Mondknoten zusammenfällt, so würde ein ganz bestimmter Mondtrichter sich auf den Schwerpunkt der Erde gerichtet sein. Dieser „ertr. Radius“, durch den Tobias Mayer seinen ersten Mondstrichen legte, ist nun aber in Wirklichkeit nicht immer auf das Erdzentrum gerichtet, da die vorher genannten Bedingungen nicht erfüllt sind, sondern er weicht von dieser Richtung in dem Maße ab, als die Mondaberration von der oben angenommenen Kreisbahn abweicht. Der „ertr. Radius“, welcher in der vorliegenden Untersuchung eine ganz besondere Bedeutung hat, liegt also am Mondknoten, und sein Abstand vom aufsteigenden Knoten dieser Ebene ist gleich der mittleren Länge des Mondes vermindert um die mittlere Länge des aufsteigenden Knotens seiner Bahn, da eben dieser Abstand Null ist, wenn der mittlere Mond sich in diesem Knoten befindet, und da zufolge des 1. Gesetzes der ertr. Radius in derselben Zeit einen Umlauf vollendet wie der mittlere Länge.

Nun können die Cassinischen Gesetze nicht bestehen, wenn der Mond eine homogene Kugel oder ein Rotationsellipsoid wäre. Der Mond muß vielmehr ein dreachsiges Ellipsoid sein, und da wir annehmen haben, daß der Mond diese Form unter dem Einflusse

<sup>1)</sup> Abhandlungen der mathem.-physik. Klasse der Kaiserlichen Akademie der Wissenschaften. Bd. XXXV, No. 18. Bd. XXXI, No. 1. Bd. XXX, No. 1.

der Ausziehung der Erde und seiner Rotation abhängt hat, bevor er entsteht, so ist die Vorstellung wohl gerechtfertigt, daß die Lage der Hauptgleichgewichtslinie folgende sei: Zwei Achsen liegen im Äquator, die dritte fällt mit der Rotationsachse zusammen. Von den ersten beiden wird wiederum die eine mit dem ersten Radius zusammenfallen.

Rotations- und Umlenkbach müssen bereits gleich gewesen sein, als der Mond entsteht, da sich außer der Rotation der bedeckenden, durch die Erde hervorgerufenen Flut, keine Kraft denken läßt, die lebende gewisser wie diese Gleichheit hervorbrachte.

Unter dem Einfluß der Attraktion der Erde mußte sich dann auf dem Monde eine ungleiche Flutwellen bilden, deren Symmetrieachse mit dem ersten Radius zusammenfällt. Es muß derselbe nicht immer auf die Erde gerichtet ist, so wird der Mondkörper unter dem Einfluß der Erdanziehung gestörte Schwingungen ausführen, die im allgemeinen, wie sich vermuten läßt, die Umlenkbach der Mondbewegung widerspiegeln werden.

Hays behandelt zunächst das Problem der Achsenbewegung des Mondes so, als wäre der direkte Einfluß der Sonne darauf gleich Null und sagt dann, daß die Rotationsbewegung des Mondes in der Tat nur sehr wenig durch die direkte Ausziehung der Sonne beeinflusst wird, da diese wegen der großen Entfernung der Sonne, nur den 1/53 Teil des Einflusses der Erdanziehung betragen kann. Hays faßt, daß die wenig bemerkbare Wirkung der Sonnenanziehung auf das rotierende Mondkörper (denn besteht, daß hinsichtlich der mittleren Neigung des Mondäquators um ein geringes sich ändern ergibt, als wenn die Erde allein wirkte. Bei Berechnung der physischen Libration der Mondes kann man daher die Einwirkung der Sonne außer Acht lassen.

Im zweiten Teile seiner Publikation gibt Hays eine ausführliche Beschreibung der Beobachtungen, welche

er in den Jahren 1890 bis 1891 an 11-solligen Sehelten der Leipziger Sternwarte angestellt hat, und zwar befindet er die Ableitung der astronomischen Position von fünf Punkten 1. Ordnung auf der Mondoberfläche und der Rotationsbewegung des Mondes. Das Netz der ausgewählten fünf astronomischen Punkte erster Ordnung besteht aus den Objekten: Möling A, Messier A, Kepler A, Egge A, Tycho Zentralberg. Die Grund, warum jeder Möling A gerade diese vier Punkte gewählt wurde, war zunächst die gute Deklination dieser Objekte, sodann aber der Umstand, daß Messier A und Kepler A vorzüglich geeignet sind, um ihn von systematischen Fehlern die Neigung der Mondachse zu bestimmen und ebenso zur Orientierung von photographischen Mondaufnahmen zu dienen. Da nämlich der Kreis Messier A, Möling A, Kepler A so gelegen sind, daß im alten Beobachtungsplan die Symmetrieachse ihrer Flut mit dem Parallel sehr zusammenfällt, so werden Deklinationsveränderungen dieser Punkte im wesentlichen nur aus systematischen, durch verschiedenartige Beobachtung hervorgerufenen Fehlern. Nachdem so drei Punkte in der Nähe des Mondäquators gewählt waren, mußten nur wenig die beiden anderen in der Nähe der Pole ausgewählt werden. Im Norden war die Wahl nicht schwer, da Egge A ein sehr scharf definierter Objekt ist, im Süden dagegen gibt es überhaupt keinen Punkt, der einer ähnlichen Beobachtungsverhältnisse gut zu beschreiben ist. Am besten geeignet schien immerhin noch die Spitze des Zentralberges von Tycho zu sein, obwohl dieser Punkt zwei Tage vor bis zwei Tage nach Vollmond nicht beobachtet werden kann.

Wie aus den Messungen der obigen fünf Lagen dieser Punkte gegenwärtig und gegen den Mondrand, deren Länge und Breite auf dem Monde berechnet worden, findet der dafür interessierte Leser in der Abhandlung an-

ähnlich eingeteilt. Auf mehreren Tafeln, die Verlehnungen der Bänder des großen Passer Mondtrils sind, finden sich die fünf Punkte oft ihrer näheren Umgebung abgebildet. Als eine Schätzung der Höhenunterschiede aus den Schattenlängen nach diesen Abbildungen zu ermöglichen, ist unter jeder Karte die Höhe der Sonne über dem Horizont des betr. Hauptpunktes gegeben. Mäding A würde hiernach eine Höhe von etwa 4000 m, Kepler A eine solche von 2400 m über dem mittleren Niveau des Randes haben. Sollte der Wert von Mäding A bestätigt werden, so müßte man annehmen, daß der Mond um einen Betrag von beinahe  $1^{\circ}$  oder 2000 m nach der Erde zu vorliegt, ist, das wäre etwa rund die Tausendstel des Radius. Denn wenn auch Mäding A in einer geringigen Gegend liegt, so scheint gegen eine Höhe von 9000 m über dem mittleren Niveau der Augenschein zu sprechen. Nach den Passer Photographien kann Mäding A etwa  $1^{\circ} - 1^{\circ}30'$  über den Ebenen seiner Umgebung liegen. Im allgemeinen scheint aber die größere Ebene des Randes eher unter als über dem mittleren Niveau zu liegen. Kepler A liegt auf den Ausläufern des Keplerkörpers, außerdem von allen andern Punkten dem ersten Radius am nächsten, so daß seine Höhe von  $1.3^{\circ}$  wirklich scheint. Heiner A und Cydon A sind ungewöhnlich demig gelegen, daß der Kamm ihres Wulfs nicht erheblich vom mittleren Niveau abweichen dürfte. Tycho endlich liegt in der gebirgigen Gegend des Randes, der Ringgebirge selbst ist sehr hoch, jedoch befindet sich der Gipfel des Zentralberges bei weitem dem Kamm des Walpfettes (nach Mäler 3000 bis 4000 m), so daß auch hier der beobachtete Punkt etwas im mittleren Niveau liegen dürfte.

Von größter Wichtigkeit für die genaue Ermittlung der Rotationsperiode des Mondes und der Position der Oberflächenspitze ist die Anzeichnung derjenigen Massengruben, welche durch

die Abweichungen des Mondrandes von der genauen Kreislform hervorgerufen werden. Hiermit beschäftigt sich Hays in seiner dritten Abhandlung. Das Beobachtungsmaterial ist natürlich nicht so umfangreich, daß eine detaillierte Karte der Massengruben aufgestellt werden könnte, die sowohl Berge und Täler enthält, sondern man muß sich im allgemeinen damit begnügen, größere Erhebungen und Senkungen näherungsweise nachzuweisen. Ferner ist auch die perspektivische Verzeichnung durch die optische Libration nicht groß genug, um aus ihr den wahren astronomischen Ort des Objektes ablesen zu können, sondern man muß sich mit der Nibierung begnügen, einem Berge, der am Mondrande erscheint, die Lage zu geometrischen Randpunkten auszuweisen, obwohl er demnach mehr nach dem Beobachter zu als auf der abgewandten Seite des Mondes liegen kann und auch nur infolge seiner Höhe auf den Rand projiziert.

Die definitive Untersuchung des Randwesens des Mondes wird von Hays auf Grund seiner genauen Neuberechnung des Grades des Kapers Mäding A auf der Mondoberfläche durchgeführt und ergibt das Karte des Mondrandes mit den dort vorhandenen Erhebungen und Vertiefungen. Aus dieser Karte, sagt Hays, geht hervor, daß Erhebungen und Senkungen über das ganze Rand verteilt sind. Im allgemeinen sind die Senkungen wohl schon bekannte Mars. Eine wesentliche Ausnahme hiervon bilden aber die ungedeuteten Senkungen, die sich nach seinen Untersuchungen gegen die beiden Pole befinden und die sicher nachgewiesen gehen können, besonders interessant sind die Niveauverhältnisse des Südpols, jedenfalls und diese Verhältnisse nicht geeignet die Ansicht zu stützen, daß sich in der Nähe der Pole keine großen Senkungen befinden. In dem Sitzungsbericht der Berliner Akademie der Wissenschaften vom 24. Mai 1908 hat Fraun aus der Annahme, daß

die Mars sich nur in einem dem äquatorialen Gürtel befinden, die Entstehung desselben zu erklären versucht. Diese Erklärung stützt sich aber auf die Annahme, daß der Mars schon wesentlich erkaltet war, als er noch eine größere Rotationsgeschwindigkeit besaß. Dem gegenüber muß hier nochmals betont werden, daß, so lange wir keine andere Erklärung für die Gleichheit von Rotations- und Umlaufzeit haben als die Pleinierung, der Satz schlecht erhalten werden muß: »Die Rotationszeit des Mars war schon gleich seiner Umlaufzeit, als er entstand, d. h. als diese Gleichheit schon sehr erreicht war, mußte noch eine betrübende Plutawille möglich sein, sonst wären die beiden Zeiten nicht gleich, diese Plutawille wurde schließlich nur stehenden, die man bewirkt, daß die beiden Zeiten gleich bleiben müssen. Will man also die Erklärung der Mars nach Piazzi ablehnen, so muß angenommen werden, daß der Mars schon wesentlich erkaltet war, als seine Entfernung von der Erde noch sehr klein war, denn nur dann wäre eine größere Rotationsgeschwindigkeit infolge dessen eine erhebliche Abplattung möglich gewesen. Diese Annahme ist vielleicht möglich, aber nicht sehr plausibel.

»Es liegt ein gewisser Haß darin, die Gebilde der Moondoberfläche erklären zu wollen, wohl auch jeder Moondbeobachter hat diesen Wunsch selbst empfunden, wozu sich auch die große Menge der Moondbeobachter erklärt. Unter diese und alle Arten verfallen, von der neuesten Vorstellung — ich erinnere nur an die in die letzte Masse gefallene Meteos — bis zu den interessantesten und schätzenswertesten Hypothesen. Aber die meisten lassen einem großen Mangel erkennen, sie sind nur Worte und unendlich erdacht und stützen sich nicht auf exakte wissenschaftliche Grundlagen. Mit nur geringen Ausnahmen vermißt man überall die größtmögliche Berücksichtigung der Erkenntnisse der Geologie, und doch

glaube ich, daß man nur auf Grund der geologischen Forschungen eine richtige Vorstellung von der Entstehungsgeschichte des Mars erhalten wird. Man legte es so oft der Bemerkung, daß die Oberfläche des Mars den grundverschieden von der der Erde ist. Diese These ist dem Ansprechen nach ohne weiteres auszugeben, und doch glaube ich, der meisten werden bei einem gewissen Studium der Geologie erkennen, daß Analogien, die freilich nicht often zutage liegen, in sehr großer Zahl vorhanden sind. Setzen wir den gemeinsamen Ursprung von Erde und Mars voraus, so ist dies ja auch nicht wunderbar, denn abgesehen von dem Massenunterschied, aus dem eine Verschiedenheit von Erde und Mars hervorgeht, und die Stelle und die fortwährende Kräfte desselben können wir zum Beispiel an, die Zerkleinerung eines so erfolgt, daß beide Massen gleich waren, so würden wir auch jetzt zwei Körper vor uns haben, die im Innern wie Äußern ganz ähnlich beschaffen sein würden und in gewissen Basalen der Entwicklung sich befinden. Nehmen wir die Masse des Marses nun immer kleiner und kleiner an, so wird der Unterschied in der Bildung immer größer werden und doch werden gewisse Hauptgrundsätze beiden Körpern gemeinsam bleiben. Aus der Kleinheit der Masse aber folgt ein größeres Verhältnis von Oberfläche zur Masse und damit eine weit mehrere Abkühlung und ein schnellerer Abschluß der Oberflächenformen.

Wir sind auf Grund der Beobachtungen an der Annahme berechtigt, daß der Mars ein — natürlich malte — aus dem — eigentlich Leben trägt haust sich hat und einem Zustand erreicht hat, den die Erde erst in weiter Ferne erreichen wird. Denn nicht berechtigt uns zu der Annahme, der Mars habe kein Wasser und keine Atmosphäre besitzen, natürlich lagern unter Verhältnissen wie die Erde zufolge der relativen Kleinheit der Masse. Doch



Hauptbestandteile der Oberfläche können sich leicht mit den Stoffen dieser Oberfläche verbunden haben; die Zeit, die hierzu nötig ist, spielt wohl keine große Rolle im Lebensalter eines Weltkörpers. Auf der Erde haben Wasser und Atmosphäre, da sie in viel größerer Menge vorhanden waren, durch Verbindung mit den feststofflichen der Oberfläche eine Decke von solcher Mächtigkeit gebildet, daß von der eigentlichen Untergrundmasse nur sehr wenig noch zu Tage tritt. Solche schwachen Abtragungen sind auf dem Monde sicher auch vorhanden, wenigstens in bedeutend geringerer Ausdehnung. Wäre ich nun diese oder jene Gebirge des Mondes als schwachere beschreiben, so würde ich mich gleichfalls in das Gebiet der Phantasie begeben; zutreffende Folgerungen können aus vorliegend erst viele gründliche Untersuchungen der Höhenverhältnisse des Mondes führen.

«Der Grund der vorstehenden Auseinandersetzungen wird darauf bestehen, daß wir nicht mit Hilfe von Hypothesen, und wegen sie noch so interessant sind, um der weiteren Erkenntnis näher zu werden, wenn diese Hypothesen sich nicht auf soliden Forschungen aufbauen. Denn kann man aber das Studium der Erdkruste führen, denn der Untersuchung weichen der Bildung der Erdkruste und der des Mondes ist vielmal kleiner, als der zwischen unsern Fingern im Erden, im Laboratorium, und dem Aufbau der Mondformierung, der unter der Einwirkung von Kollision und in Zitterbewegungen zustande kam, von denen wir unsere Vorstellung nachschöpfen.

Da der Mond, soweit wir jetzt wissen, keine Atmosphäre besitzt, da am Rande eine mehrere Schichtwirkung erzeugt, können wir als den Radius des mittleren Kreishorizonts den annehmen, der aus den Beobachtungen von Sternbedeckungen folgt. In der zweiten Abhandlung war festgestellt worden, daß dieser Radius nach Entfernung entsprechend einer Parallaxe von  $57^{\circ} 22'$  zu  $15^{\circ} 32.50''$  angenommen werden sollte. Der entsprechende Radius des

Nautical Almanac ist  $15^{\circ} 34.20''$ , demnach würde nach Möring A  $2.21''$  über das mittlere Niveau des Meeres stehen. Der mittlere Fehler dieser Größe beträgt  $0.96''$ , es ist daher nicht ausgeschlossen, daß die Erhebung von Möring A um  $1''$  geringer ist, sie kann jedoch auch um ebensoviel größer sein. Die Rolle von Hartung und seiner eigenen Beobachtungen betonen sich je in diesem Punkte so guter Übereinstimmung, es wird aber trotzdem nötig sein zur Entscheidung dieser Frage die andern Beobachtungsproben heranziehen. Eine Nordrichtung wird ebenfalls sehr erwünscht. Nach unsere Resultate würde Möring A eine Höhe von etwa  $4000\text{ m}$  über dem mittleren Kreishorizont haben, da nach der zweiten Abhandlung die Erhebung über der mittleren und weiteren Umgebung nur gering sein kann, muß man vorläufig das Vorgehen der Monden von etwa  $2000\text{ m}$  annehmen.

«Einget.» berichtet Hagen weiter, «die Vermutung nahe, daß die Gebirge und Senkungen des Mondes nach Erschöpfung verursacht hätten, aus der Hansen geschlossen hat, daß der Schwerpunkt des Mondes von der Erde 18 km weiter entfernt sei als sein Mittelpunkt. Daß diese Hypothese nicht richtig sein konnte, ging schon aus den Untersuchungen von Wichmann, Fraun und Hartwig über die physikalische Libration hervor. Diese Abweichung in diesen Arbeiten der Abstand von Möring A vom Mondschwerpunkt nicht bestimmt werden ist, so müßte doch auch Hansen Möring A sehr große Schwankungen zeigen, die von den Beobachtungen nicht in Einklang zu bringen wären. Trotzdem findet man noch in neuerer Zeit hier und da eine Bemerkung, die kinematische Annahme Hansen richtig sei.»

Erfahrungsgelände Prüfung der Mondtheorie durch Hagen, daß die Abweichungen von der perfekten Kugel nicht unregelmäßig sind und eine gewisse Abplattung der Moondiskette daraus nicht hergeleitet werden kann, dieselbe also unregelmäßig sein ist.

## Die wahrscheinlichste Bahnform und der Ursprung der Kometen.

**I**n K. Fritzsche (Oest) hat der k. k. Akademie der Wissenschaften in Wien kürzlich eine Abhandlung eingelegt.<sup>1)</sup>

Er beschäftigt sich darin mit der Frage, nach welcher Seite hin der parabolische Charakter der überwertenden Mehrzahl der Kometenbahnen zu interpretieren sei.

Man kann wiederum die Annahme interessanten Ursprungs der Kometen machen und hat dann notwendigweise zu untersuchen, welche Arten Körpercholle bei kleinen Perihelidistanzen — und nur um solche kann es sich hier handeln — der Mehrzahl nach auftreten würden. Diese Seite der Frage ist bereits mehrfach untersucht worden, aber mit einer einzigen Ausnahme, die ohne Berücksichtigung der Eigenbewegung des Sonnensystems.

Verlässt man nun diesen Ursprung in steigender Weise als es in der einzigen Studie darüber erschienenen Arbeit von Fabry geschehen ist, so gelangt zu Überzeugung mit dieser zu dem Schluss, daß die sogenannten hyperbolischen Bahnen in geringer Überzahl auftreten müßten.

Andererseits kann man sich die Frage vorlegen, welche Wahrscheinlichkeit besteht, daß ausstehende elliptische Kometenbahnen von Parabeln unterscheiden zu können, wenn die Aphelidistanzen beträchtlich über die mit Sicherheit an-

gegebene Gränze der geschlossenen Bahnen unseres Sonnensystems hinausgehen, aber immerhin noch sehr klein gegenüber den Fixstardistanzen sind.

Hilfsbereit versucht man unten Male auch diese zweite Seite der Frage in allgemeinerer Weise zu behandeln und stützt sich dabei auf gewisse Wahrscheinlichkeitsbetrachtungen bezüglich Kometenablenkungen, sowie auf Betrachtungen über die Ablenkungen derselben Bahnbögen von kleinen Fixsternbögen.

Er kommt, um die Resultate dieser Untersuchung summarisch zu illustrieren, zu dem Schlusse, daß bei Kometenbahnen, deren Aphelidistanz etwa die 70fache der Neptunbahn betrage, die Wahrscheinlichkeit des wahren Erkennens der Ablenkung von der Parabel kleiner ist als  $\frac{1}{10}$ .

Aus der Zusammenstellung dieser beiden Untersuchungsresultate kann die demnach gestellte Frage nur in dem Sinne verstanden werden, daß die Kometen tatsächlich unserem Sonnensystem angehören und daß trotz des scheinbar parabolischen Charakters ihr Ursprung in Regionen verfügt werden muß, deren Distanzen doch noch immer sehr klein sind im Vergleich zu den Entfernungen der nächsten Fixsterne.

## Der planetarische Nebel im großen Bären H 97.

(Herschel XI.)

**I**n AR 11<sup>h</sup> 06<sup>m</sup>, D + 55° 14' (H<sub>0</sub>) steht ein, schon flüchtig erwähnte anscheinbare Nebelhaufen, den Merchain am 16 Februar 1881 zuerst sah und als Lichtschwanz und sternenförmig beschrieb. Er hat einen scheinbaren

Durchmesser von 25<sup>h</sup> und sein Licht ist nach W. Herschel völlig gleichmäßig, der Rand jedoch nicht scharf sondern verschatteten. Dieser Nebel ist später bestimmt geworden durch die Darstellung, welche Lord Rosse von ihm gab, entsprechend dem Aussehen dieses Nebels in dem großen 5-füßigen Spiegelteleskop zu Parisgarden. Dieser Nebel

<sup>1)</sup> Bericht der k. k. Akademie 1902, No. 16.

ist allerdings von Prof. F. F. Barnard am 40-zölligen Refraktor der Verkeinsternwarte beobachtet worden und hat der gesamte Astronom darüber kürzlich interessante Mitteilungen gemacht.<sup>1)</sup> Er bemerkt, daß für eine partiellrings Lichtquelle das Verhältnis der Lichtstärke im Verkeinstator auch zu demjenigen im Rosseschen Reizrefraktor verhält wie 1:37%, wobei allerdings vorausgesetzt wird, daß der Lichtverlust beim Durchgang durch die Linse des Refraktors der nämliche ist wie bei der Refraktion vom Spiegel des großen Refraktors; auch ist zu beachten, daß die Reflexionsfähigkeit des Kristalls je nach dem Zustande seiner Oberfläche, zu verschiedenen Zeiten sehr verschieden war.

Prof. Barnard hat sowohl am 36-Zöller der Lichternwarte als am 48-Zöller der Verkeinsternwarte eine große Anzahl Nebelflecke (besonders planetarische), die von Lord Rosse und dessen Astronomen gemischt sind, untersucht. Er kommt zu dem Ergebnisse, daß im großen und ganzen der Verkeinstator alles zeigt, was am Rosseschen großen Teleskop gesehen werden kann. Nur einige Details in den Rosseschen Zeichnungen gewisser Nebel konnten nicht wahrgenommen werden, dafür zeigt der Verkeinstator andere Details, die das Rossesche Teleskop nicht erkennen ließ.

Sehr häufig sieht man auf den Zeichnungen Rosses um die planetarischen Nebel trennende Strahlen oder sogenannte Räte, von denen der Verkeinstator nichts zeigt, auch auf der Photographie konnte ich mich nicht, es ist sehr wahrscheinlich, daß diese Gebilde nicht wirklich sind, sondern nur durch optische Fehler des Refraktors entstanden.

Ein merkwürdiges Beispiel von ungewöhnlichem Aussehen eines Nebels unter dem Rosseschen Zeichnungen ist der

observede Nebelfleck, dem Prof. Barnard jetzt eine genaue Untersuchung widmet. Die Zeichnung Rosses stammt aus dem Frühjahr 1846 und sie ist auf Tafel XI wiedergegeben. Nach dieser Zeichnung hat man den Nebel heissenge „Fadenstern“ genannt, denn das Aussehen gleicht einigermaßen dem Gesicht einer Eule. Prof. Barnard gibt in seiner Abhandlung eine Zusammenstellung der hauptsächlich aus dem Jahre 1846 stammenden Bemerkungen Lord Rosses und seiner Mitbeobachter über den Stern in diesem Nebel. Diese Bemerkungen sind, wie Prof. Barnard hervorhebt, häufig sehr unklar, so viel scheint jedoch sicher zu sein, daß der hellste und stets sichtbare Stern in dem Nebel Öryngas war, welcher die Pupille des rechten Auges des Eulenkopfes bezeichnet, der andere war erheblich schwächer und oft gar nicht sichtbar. In der von Prof. Barnard gegebenen schematischen Zeichnung des Nebels, welche die obere Hälfte der Tafel XI zeigt, ist der helle Stern mit 1 bezeichnet, der schwache Rossesche Stern steht an der Stelle von 2.

Am 7 April 1907 hat Prof. Barnard den Nebel mit dem 10-zölligen Reizrefraktor und sechsözligen Cassegrains aufgefunden. Die Photographie zeigt eine schiffge runde Masse mit einem hellen Zentralstern und rechts und links von diesem zwei englich dunkle Stellen. Bei starker Vergrößerung der Platte scheint das Centrum aus einer etwas elliptischen Scheibe zu bestehen, deren westliche Seite eine schwache helixförmige Scheibe überlagert. Die größte Verzeichnung beider Scheiben zeigt sich an der nachfolgenden Seite, wo der Rand der hellen Scheibe etwa 42 Halbmesser dem Zentralstern näher liegt. Im vergrößerten Teile des Nebels ist einiges Detail erkennbar in Gestalt von schmalen, gekrümmten, hellen Massen, die sich gegen die südliche Seite hinziehen, etwas Ähnliches zeigt sich am nördlichen Rande. Von den dunklen Flecken ist der nachfolgende viel kleiner als der

<sup>1) Monthly Notices Royal Astr. Soc. Vol. LXVII, Jan. 1907, p. 324.</sup>

andere und der helle Kern (Zentralkern) erscheint so groß, daß er die Trennung der beiden dunklen Flecke überdeckt. Der Stern 2 ist schwach zu erkennen und befindet sich außerhalb des Randes des entsprechenden dunklen Flecks. Später von Strömer um den Nebel wird nicht vermerkt.

Im Jahre 1895 April 25 hat Dr. Roberts den Nebel mit seinem 20-zölligen Reflektor photographiert, bei einständigen Exponieren. Nach seiner Angabe hat der Nebel 20" im Durchmesser und der von Kuntz erwähnte helle Stern, ist 15. Größe, sehr ungewöhnlich und steht im Zentrum des Nebels, andere Sterne sind nicht sichtbar.

Vom Aussehen des Nebels im 18-zölligen Verkleinerer gibt Prof. Barnard mehrere Notizen:

1898 Februar 6. Der Stern 2 nicht gerade außerhalb des dunklen Flecks.

1900 Dezember 18. Ebenso. Der Stern 2 ist schwer zu erkennen. Gleichfalls am Dezember 25, wo der Stern nur höchstens sichtbar war.

1902 Februar 7. Der Zentralstern ist 11-5 Größe, sehr schwierig. Stern 3 kann nur schwach wahrgenommen werden.

Der Stern 1 steht zwischen den Augen (hellen Flecken) auf der Seite des Gewirbs, aber näher dem nachfolgenden dunklen Fleck.

1903 März 14. Der Stern 2 ist 1%, Größenklassen schwächer als der Zentralstern, der anschließend dunkle Fleck ist bestimmter und dunkler als der andere. Der Zentralstern steht näher dem nachfolgenden dunklen Fleck als nicht in ihm.

März 17. Der Zentralstern, etwa 13. Größe, ist frei von Nebel, der bei-

den andern Sternen wird schwach zu sehen. Stern 3 ist sehr schwierig wahrzunehmen. Eine spitzige Ausbuchtung im dem Nebel ist nicht zu erkennen.

April 2. Der Zentralstern ist 13-5 oder 14 Größe, Stern 2 ist 15 Größe, Stern 3 etwas eine Größenklasse schwächer als 2. Keine spitzige oder sonstige Struktur ist in dem Nebel zu erkennen. Letzterer ist unregelmäßig rund mit sehr scharf begrenztem Rande.

Über eine Beobachtung des Nebels am 18-Zöller der Licksternwarte 1894 April 3 und 350-facher Vergrößerung, bemerkt Prof. Barnard folgendes:

Der Nebel ist rund, der Rand gut begrenzt. Ein Stern 15. Größe (der Zentralstern) steht gerade frei vor dem Rande des dunklen Flecks, es oder zwei schwache Sterne zeigen sich stellenweise folgend, aber keine in einem der beiden dunklen Flecke. Keine spitzige Struktur des Nebels erkennbar. Prof. Barnard glaubt, daß der Zentralstern veränderlich ist, da er manchmal erheblich schwächer als zu anderen erscheint. Er gibt eine schematische Zeichnung der relativen Lage der von ihm genannten und gemessenen Sterne mit Bezug auf den Nebel und die dunklen Flecke in ihm, sowie die von ihm angestellten Messungen, endlich eine Zeichnung des Aussehens dieses Nebels am März 1897 am 48-Zöller. Derselbe ist auf Tafel XI reproduziert, rechts neben der von Kuntz gezeichneten Darstellung des Nebels. Wird letztere als richtig angenommen, so haben die beiden dunklen Flecke seit Mitte des vorigen Jahrhunderts den sichtbaren Lage gegen die beiden Sterne merklich geändert.

## Die Tätigkeit des Astrophysikalischen Instituts Königstuhl im Jahre 1906.

**D**er Bericht des Direktors des Astrophysikalischen Instituts Königstuhl Prof. M. Wolf, über die Tätigkeit dieses Observatoriums, entnehmen wir folgendes:

Die Mechaniker des Instituts, wie der

Dröbner, wurden am meisten durch Entlangung und Aufstellung der 28 und 30 cm Rohrkörner von Zeidl in Anspruch genommen. Das Instrument kam am 16. Juli an, und sofort begannen die Aufstellungsarbeiten. Über die Kuppel hinweg sah man inseländisches Gestein mit Laufwegen versehen worden, die Teile des letzteren konnten von der Kuppel in die Höhe gezogen, um dann von oben herab durch den Spalt gleich an die richtige Stelle gesetzt und befestigt werden zu können.

Eine vollständige Gabelplatte mit korrektem und langem Arm trägt die zwei Lagen der Polarscheibe. Das Stundenrad mit seinem Antrieb liegt in der Mitte dazwischen. Das obere, freilebende Ende der Polarscheibe trägt eine gezeichnete Gabel, in der das 1 m dicke Rohrkornrohr um zwei Zapfen in Deflexionsrichtung schwenkt. Der vorzügliche Spiegel von Dr. M. Purdy hat 72 cm Durchmesser und 262 cm Brennweite. Der Regulator des Triebwerks, die Sekundärkontrolle und die Fortbewegung sitzen auf der Gabel der Gabelplatte, von der Wippe geht eine zweite stechende dreieckige Fortbewegung in die Stundenpartie aus. Das Rohr besteht aus dem geläuterten Rohr zur Aufnahme des Spiegels und weiter oben aus einem Kollum aus Stahlschichten, mit eingeworbenen Mischmaterial gegen Störungen durch Seitenlicht und Luftbewegungen. Der obere Teil des Rohrs bildet endlich ein dreieckiges Rohrstück aus Leichtmetall, das die Aufhängung des Dragenalzeugs und unterhalb den Anstieg trägt. Auf dem Rohrkornrohr sitzt das Rohr des 8-colligen Frontiers und auf diesem das 2 $\frac{1}{2}$ -collige Sechser. Um das Instrument leicht in hohen Höhen auszuheben, ist das Rohr aus einem Gitter. Unter demselben befindet sich die Fuß- und die Stundenbewegung, über der Gabel der Deflexionsgabel mit den Rohren. Stellt man auf einem Zwischenboden, so hat man Deklinationsschrauben und große Deklinationbewegung, sowie des Ablesungsbereichs für die Stundenwinkel und die große Stundenwinkel (Speichenrad)

unmittelbar vor sich. Ebenso besteht aus vom Zwischenboden aus selbst oder stehend dem Frontier.

Einwöchentliche Fortschritte über den neuen Instrument, gegenüber dem alten, besteht aus der Art der Arbeit. Derzeit erfolgt durch einen Deflexionsmotor, der die Ablesungsbereichsweite spezialisiert wird ständig am Gewicht in die Höhe, das in einer unendlichen Kette liegt, die wiederum beim Senken des Gewichtes den Regulator des Frontiers durch Zahnrad und Getriebe in Bewegung setzt. Ein Ungeheuer des Stromhebels bringt das Gewicht zum Laufen, und man hat sich um das Triebwerk die ganze Nacht nicht mehr zu kümmern. Laßt der Motor zu schnell und wieder vom Gewicht zu hoch, dann schaltet das Gewicht beim Aufhängen Widerstände ein, die den Gang des Motors verlangsamen. So wird das Gewicht in konstanter Höhe gehalten.

Der Grundstock für die Erbauung dieses schlichten Instrumentes verdankt die Arbeit dem Vorwissen der Frau K. Holm-Walsh in Karlsruhe, und es sind deshalb das Instrument zu Ehren der Stifterin den Namen Walddröbner zu nennen.

Wetterologische Durchrechnungen während der Dauerungsrechnungen des Jahres 1906 liefen, besonders auffallend am 1. 15. 21. 23 und 24. Januar. Während der ganzen Februar bemerkte eine kleine Dämmerung aufsteigen, trat selbst am 3. 4. 6. 8 und 7 März wieder auf, aber wie schon im vorigen Jahr nicht ohne das typische vollkommene haben beim Untergang der Perpetuum. Um so auffälliger war die ausgezeichnete Aufnahme des Kaltes am den 22. Juni und den 23. Juli. Im Rest des Jahres fanden nur mehr abnorme Dämmerungen statt. — Das größte Interesse bot die plötzlich auftretende und lang andauernde Trübung des Himmels, die am 13. April einsetzte. Sie währte mit einer geringen Abnahme um den 29. Mai bis zum 16. Juli. Sie dauerte

merkte sich durch das Aussehen des Himmels jäh. Seine war stets von einem weichen, zierlichen Halo umgeben, durch die Absorption des Streulichtes und die unvollständige Sonnenstrahlung. Der Schleier war teilweise so stark, daß der Mond bei völlig wolkenlosem Himmel erst eine Stunde nach seinem Aufgang sichtbar wurde und eine Stunde vor dem Untergang im Dunkel vollkommen verschwand. Die photographische Platte zeigte einen Verlust von ca. 1%, Streuflächen. Da es interessant war zu erfahren, ob die Erscheinung sich auf der ganzen Erde zeigte, so wurden Fragekarten an etwa 20 Observatorien auf der Erde geschickt. Die Beantwortung hat ergeben, daß die Trübung über ganz Deutschland, Österreich, das Alpen, Ungarn und zum Teil über Ostitalien lagerte, daß sie aber außerhalb dieses Raumes von Australien bis Nordamerika nirgends beobachtet wurde. Da der große Ausbruch des Vulkans von 10 April stattfand, so erscheint es so gut wie sicher, daß es die durch ihn verursachte Staubwolke war, die sich so lange über Zentral-europa hielt und die Trübung verursachte. Das Auftreten des vulkanischen Raubes bei der Dämmerung am Juni und Juli beweist das gleiche.

Das Jahr ließ dadurch viel zu wünschen übrig, daß die Zeit vom 11. April bis zum 16. Juli durch die geschickte Trübung des Himmels für jede feine Arbeit verloren ging. Es konnte in 116 Nächten photographiert und in 142 Nächten beobachtet werden. 1895 waren die entsprechenden Zahlen 91 und 138.

Photographische Himmelsaufnahmen. Mit den beiden Refraktoren wurden im Laufe des Jahres 1906 im ganzen 376 verschiedene Gegenstände (137 am Bruce-Teleskop und 141 am Sechsdücker) mit im ganzen 668 Stunden Belichtung (344 am Bruce-Teleskop und 324 am Sechsdücker) aufgenommen. Hierbei wurden 806 Platten exponiert (268 B. T., 538 S.) — im Jahre 1905 war die Anzahl der Gegenstände 237, der

Belichtungsstunden 524, der Platten 596 — An kleinen Apparaten wurden fünf Aufnahmen mit 10 Platten und 1 Stunden Belichtung, am Refraktor sei Oktober 40 Aufnahmen mit 40 Platten und 42 Stunden Belichtung ausgeführt. Es wurden also im Laufe des Jahres 1906 im ganzen 717 Stunden an Platten verbraucht und dabei 892 Platten verbraucht.

Plattensichten. Im ganzen sind mit den beiden Refraktoren 389 verschiedene Himmelsorte auf Plattensichten aufgenommen worden. Dazu mit zur Verfügung einzelner Platten wurden insgesamt 252 verschiedene Aufnahmen mit 445 Platten und 587 Stunden Belichtung gemacht. In obigen 389 verschiedenen Gegenden fanden sich 96 neue und 163 alte Plattendaten. Das Verhältnis von neuem zu altem stellt sich daher 1906 wie 1:1,65, während es in früheren Jahren nahezu gleich 1:2,5 geblieben war. Die Zahl der neuen hat also sehr stark zugenommen.

Das schied schwer verständlich. Im Anfang Oktober hat Prof. Wolf vorüber das Bruce-Teleskop bedient. Da Kopf wie früher den beschriebenen. Von Oktober ab übernahm kleiner der Bruce-Teleskop. Da aber vor Oktober bereits 64 neue Platten gefunden waren, und der Quotient bereits im Jahre 1:1,15 betrug, so kann die Zunahme sehr wohl nicht durch den Wechsel der Beobachter hervorgerufen sein. Die Platten waren 1906 keineswegs empfindlicher als früher, wie genau Vergleichsplatten ergaben. Der Himmel war im ganzen undurchsichtiger. Prof. Wolf bemerkt, daß die ihm seit 1891 bekannte, und jetzt von Metcalf an Ehren gebrachte Methode, den Finsternis Plattenbelegung zu vermeiden, auch 1906 in Heidelberg keine Verwendung beim Plattendatieren gefunden hat, da die so empfohlenen Platten für alle andere Untersuchungen fast verloren sind. Die Methode war also genau die gleiche wie früher. Sonach erscheint die Zu-

zahlen der Zahl der unbekannten Placeten gegenüber jetzt der bekannten auf den ersten Blick ganz unverständlich. Da man doch nicht gern annehmen will, daß unserem Placetenring unordentlich große Mengen neuer Körper beigefügt worden sind, so muß man nach andern Ursachen suchen, und die folgende Vermutung ließ sich vollständig rechtfertigen. Die Zeit März bis April und September bis Oktober war im Jahre 1906 für die Beobachtung günstiger als in den früheren Jahren. Man konnte daher an 90 Zusammenhängen gegen einen Aggregationspunkt denken, so daß dadurch der Quotient von neuem zu alten vergrößert wurde. In der Tat fällt auch die Mehrzahl der Neuentdeckungen in die genannten Monate. Allerdings hat auch Prof. Baeschinger, und sowohl man sehen kann, mit Recht gegen diese Möglichkeit ausgesprochen. — Es bliebe dann noch die Möglichkeit der Zunahme des Quotienten mit der Menge der Beobachtungen, aber diese ist relativ gering, es wurden nur 25 alte Placeten mehr beobachtet als im Vorjahr (200 Gegen den gegen 170 Gegenüber).

Außer den obigen 96 neuen, von denen 85 auf Kometenfall zurück entdeckt sind (52 ist von Palma, TE, U), VL von Waisch und WD von Lages zuerst gefunden, wurden zwei weitere HVa und OOb aus dem Jahre 1902 und 1904 nachträglich aufgefunden. Es sind demnach 95 Placeten im Jahre 1906 auf Kometenfall entdeckt worden.

Besonders hervorzuheben ist auch die Entdeckung des Placeten TD 508, dessen Bahn klar demjenigen des Jupiter ähnelt.

Sternhelligkeiten. Eine Arbeit von Scheller über die Helligkeiten und Öfter von 281 Sternen in den Plejaden bis zur 16 Größe, steht einer Revision der Dargemuth Größen, ist in Druck erschienen.

Veränderliche Sterne. Optisch wurden 16 Variable zu 106 Abenden von Lehmert beobachtet. Auf photo-

graphischem Wege wurden von Frau G. Wolf und Prof. Wolf die folgenden neuen Veränderlichen entdeckt:

	28 1906	Gemessen	Anzahl
25—	28 1906	Orcani	- 4
32—	25 1906	Agilis	- 8
35—174	1906	Cygn. neb.	- 31

zusammen 43.

Von allen sind die Öfter auf den Placeten gemessen und von den meisten auf Kometen hergestellt worden.

Große Nebelflecke und Milchstraße. Götz hat über die 1299 des Bruce-Teleskop zugehörigen Sterne im Andromedanebel und die 54 auffälligen Punkte des Nebels angegeben, sowie die Sternverteilung in der Umgebung untersucht. Es ergab sich kein systematischer Zusammenhang zwischen dem Andromedanebel und seiner Umgebung. Lehnert hat die Sterne der Umgebung des  $\beta$  Perseus und des 12 Sternhaufens abgeköpft. Bei beiden Nebeln ergab sich eine ähnliche, systematische Sternverteilung wie bei den früher untersuchten Nebelflecken, so daß die Nebel von Wolken umschlossen werden und am einen Ende der langlichen Hohlungen stehen. Prof. Wolf hat die Richtung der Verteilung dieser Nebel und des Orion- und Nordamerikanebel verglichen. Die größten Kometen waren auf den Punkt  $21^{\text{h}}34^{\text{m}} + 55^{\circ}8'$  (18550) bei 8 Cephei. — Wegen der starken Trübung des Himmels im Sommer 1906 durch den Venustrahl konnten nur wenige Meteoriden, Nebelflecken und Zählgruppen aufgenommen werden. Im ganzen wurden 108 Asteroiden und zusammen 19 Stunden Beobachtung exponiert.

Kometen. Der Kopf gelang im Jahre 1906 die Entdeckung von zwei neuen Kometen 1906b und 1906c. Beide sind auf Schachtelplatten gefunden. Der erste wurde dann nach mehreren auch der Ephemeride von Elert auf zwei Platten vom Bruce-Teleskop vom 14. Januar 1906 von Wolf aufgefunden. Außerdem beobachtete

Der Kopf des periodischen Kometen Pörgy als 1904 am Seftschüler und Wolf des Holzschen Komets als 1904 am Bruch-Tidoking. Letzterer Kopf konnte während seiner damaligen Erscheinung nur auf den Klingschall beobachtet werden und wurde auf den amerikanischen Sternwarten hergestellt. Ähnlich gelang die Wiederfindung des des starken Halbkometen erschwindenen Komets 1904 am 15. und 16. Dezember mit Hilfe des Walschlichtens durch Prof. Wolf.

Der Kopf bröckelt im Laufe des Jahres eine Menge Arbeit über den Schwend des Komets (1921) (Graf) zum Abschluß, die demnach im Druck erscheinen wird.

Eine Arbeit von Dr. Kopf über die Bewegung der Metalle der Nova Perseus ist im H. Bande der Publikationen des A. J. mit dem Königsstuhl im Druck erschienen.

Jupitermonde. Mit dem Refektor

kannten im Dezember die ersten Versuche gemacht worden, die zwei neuen Jupitermonde zu fotografieren. Da aber der große Spiegel nach einer provisorischen Planung hatte, in der er nicht fest genug lag, so mußte eine der Kasse mit ihm durch Flutoren gehalten werden, so daß er mit dem Fester auf den Jupiter gehalten werden konnte. Dadurch erzeugten die Jupitermonde zusätzlich lange Streifen von geringer Intensität auf den Platten. Der VI. Mond schwach sehr allerdings noch lebhaft an, aber der VII. Mond nur als schwache Spur. Da außerdem noch andere andere schwache, bewegte Objekte auf den ersten Aufnahmen in der Nähe des Epheuermondes (Spurungungenheiten) so war es nicht zweifelhaft, welche Spuren des VII. Mondes zuzuschreiben sind. Die in dem Astron. Nachr. H. 4011 mitgeteilten Daten gehören nämlich einem VII. Satelliten Jupiter oder einem unbekannten kleinen Planeten an.

## Vermischte Nachrichten.

Komet 1904 d. Nach der Epheuermonde von J. Franz der Ort dieses Komets Nr. 12<sup>a</sup> N. Zi. Berlin.

Obj. 3. A.R. 11<sup>h</sup> 33<sup>m</sup> D. + 3<sup>h</sup> 21<sup>m</sup>.

Obj. 11. A.R. 12<sup>h</sup> 52<sup>m</sup> D. + 1<sup>h</sup> 6<sup>m</sup>.

Obj. 27. A.R. 13<sup>h</sup> 52<sup>m</sup> D. - 3<sup>h</sup> 28<sup>m</sup>.

Nov. 12. Obj. 30<sup>m</sup> D. - 3<sup>h</sup> 53<sup>m</sup>. Nach

dieser Angabe kann man Heli den schwebenden Lauf des Komets in eine Sternkarte einzeichnen. Der Komet, der am Morgenstunden eine schöne Erscheinung darbot, wurde jetzt nach in Fälligkeit ab.

## Stellungen der Saturnmonde. (Hilfsung S. 26.)

Zeitra der letzten Eclipsen im Dezember 1903

Tethys. Dezember 2. 10<sup>h</sup> 10<sup>m</sup>, Dezember 4. 10<sup>h</sup> 10<sup>m</sup>, Dezember 5. 10<sup>h</sup> 10<sup>m</sup>, Dezember 6. 10<sup>h</sup> 10<sup>m</sup>, Dezember 11. 10<sup>h</sup> 10<sup>m</sup>, Dezember 12. 10<sup>h</sup> 10<sup>m</sup>, Dezember 13. 10<sup>h</sup> 10<sup>m</sup>, Dezember 14. 10<sup>h</sup> 10<sup>m</sup>, Dezember 15. 10<sup>h</sup> 10<sup>m</sup>, Dezember 16. 10<sup>h</sup> 10<sup>m</sup>, Dezember 17. 10<sup>h</sup> 10<sup>m</sup>, Dezember 18. 10<sup>h</sup> 10<sup>m</sup>, Dezember 19. 10<sup>h</sup> 10<sup>m</sup>, Dezember 20. 10<sup>h</sup> 10<sup>m</sup>, Dezember 21. 10<sup>h</sup> 10<sup>m</sup>, Dezember 22. 10<sup>h</sup> 10<sup>m</sup>, Dezember 23. 10<sup>h</sup> 10<sup>m</sup>, Dezember 24. 10<sup>h</sup> 10<sup>m</sup>, Dezember 25. 10<sup>h</sup> 10<sup>m</sup>, Dezember 26. 10<sup>h</sup> 10<sup>m</sup>, Dezember 27. 10<sup>h</sup> 10<sup>m</sup>, Dezember 28. 10<sup>h</sup> 10<sup>m</sup>, Dezember 29. 10<sup>h</sup> 10<sup>m</sup>, Dezember 30. 10<sup>h</sup> 10<sup>m</sup>.

Mimas. Dezember 1. 10<sup>h</sup> 10<sup>m</sup>, Dezember 2. 10<sup>h</sup> 10<sup>m</sup>, Dezember 3. 10<sup>h</sup> 10<sup>m</sup>, Dezember 4. 10<sup>h</sup> 10<sup>m</sup>, Dezember 5. 10<sup>h</sup> 10<sup>m</sup>, Dezember 6. 10<sup>h</sup> 10<sup>m</sup>, Dezember 7. 10<sup>h</sup> 10<sup>m</sup>, Dezember 8. 10<sup>h</sup> 10<sup>m</sup>, Dezember 9. 10<sup>h</sup> 10<sup>m</sup>, Dezember 10. 10<sup>h</sup> 10<sup>m</sup>, Dezember 11. 10<sup>h</sup> 10<sup>m</sup>, Dezember 12. 10<sup>h</sup> 10<sup>m</sup>, Dezember 13. 10<sup>h</sup> 10<sup>m</sup>, Dezember 14. 10<sup>h</sup> 10<sup>m</sup>, Dezember 15. 10<sup>h</sup> 10<sup>m</sup>, Dezember 16. 10<sup>h</sup> 10<sup>m</sup>, Dezember 17. 10<sup>h</sup> 10<sup>m</sup>, Dezember 18. 10<sup>h</sup> 10<sup>m</sup>, Dezember 19. 10<sup>h</sup> 10<sup>m</sup>, Dezember 20. 10<sup>h</sup> 10<sup>m</sup>, Dezember 21. 10<sup>h</sup> 10<sup>m</sup>, Dezember 22. 10<sup>h</sup> 10<sup>m</sup>, Dezember 23. 10<sup>h</sup> 10<sup>m</sup>, Dezember 24. 10<sup>h</sup> 10<sup>m</sup>, Dezember 25. 10<sup>h</sup> 10<sup>m</sup>, Dezember 26. 10<sup>h</sup> 10<sup>m</sup>, Dezember 27. 10<sup>h</sup> 10<sup>m</sup>, Dezember 28. 10<sup>h</sup> 10<sup>m</sup>, Dezember 29. 10<sup>h</sup> 10<sup>m</sup>, Dezember 30. 10<sup>h</sup> 10<sup>m</sup>.

Enceladus. Dezember 1. 10<sup>h</sup> 10<sup>m</sup>, Dezember 2. 10<sup>h</sup> 10<sup>m</sup>, Dezember 3. 10<sup>h</sup> 10<sup>m</sup>, Dezember 4. 10<sup>h</sup> 10<sup>m</sup>, Dezember 5. 10<sup>h</sup> 10<sup>m</sup>, Dezember 6. 10<sup>h</sup> 10<sup>m</sup>, Dezember 7. 10<sup>h</sup> 10<sup>m</sup>, Dezember 8. 10<sup>h</sup> 10<sup>m</sup>, Dezember 9. 10<sup>h</sup> 10<sup>m</sup>, Dezember 10. 10<sup>h</sup> 10<sup>m</sup>, Dezember 11. 10<sup>h</sup> 10<sup>m</sup>, Dezember 12. 10<sup>h</sup> 10<sup>m</sup>, Dezember 13. 10<sup>h</sup> 10<sup>m</sup>, Dezember 14. 10<sup>h</sup> 10<sup>m</sup>, Dezember 15. 10<sup>h</sup> 10<sup>m</sup>, Dezember 16. 10<sup>h</sup> 10<sup>m</sup>, Dezember 17. 10<sup>h</sup> 10<sup>m</sup>, Dezember 18. 10<sup>h</sup> 10<sup>m</sup>, Dezember 19. 10<sup>h</sup> 10<sup>m</sup>, Dezember 20. 10<sup>h</sup> 10<sup>m</sup>, Dezember 21. 10<sup>h</sup> 10<sup>m</sup>, Dezember 22. 10<sup>h</sup> 10<sup>m</sup>, Dezember 23. 10<sup>h</sup> 10<sup>m</sup>, Dezember 24. 10<sup>h</sup> 10<sup>m</sup>, Dezember 25. 10<sup>h</sup> 10<sup>m</sup>, Dezember 26. 10<sup>h</sup> 10<sup>m</sup>, Dezember 27. 10<sup>h</sup> 10<sup>m</sup>, Dezember 28. 10<sup>h</sup> 10<sup>m</sup>, Dezember 29. 10<sup>h</sup> 10<sup>m</sup>, Dezember 30. 10<sup>h</sup> 10<sup>m</sup>.

Triton. Dezember 1. 10<sup>h</sup> 10<sup>m</sup>, Dezember 2. 10<sup>h</sup> 10<sup>m</sup>, Dezember 3. 10<sup>h</sup> 10<sup>m</sup>, Dezember 4. 10<sup>h</sup> 10<sup>m</sup>, Dezember 5. 10<sup>h</sup> 10<sup>m</sup>, Dezember 6. 10<sup>h</sup> 10<sup>m</sup>, Dezember 7. 10<sup>h</sup> 10<sup>m</sup>, Dezember 8. 10<sup>h</sup> 10<sup>m</sup>, Dezember 9. 10<sup>h</sup> 10<sup>m</sup>, Dezember 10. 10<sup>h</sup> 10<sup>m</sup>, Dezember 11. 10<sup>h</sup> 10<sup>m</sup>, Dezember 12. 10<sup>h</sup> 10<sup>m</sup>, Dezember 13. 10<sup>h</sup> 10<sup>m</sup>, Dezember 14. 10<sup>h</sup> 10<sup>m</sup>, Dezember 15. 10<sup>h</sup> 10<sup>m</sup>, Dezember 16. 10<sup>h</sup> 10<sup>m</sup>, Dezember 17. 10<sup>h</sup> 10<sup>m</sup>, Dezember 18. 10<sup>h</sup> 10<sup>m</sup>, Dezember 19. 10<sup>h</sup> 10<sup>m</sup>, Dezember 20. 10<sup>h</sup> 10<sup>m</sup>, Dezember 21. 10<sup>h</sup> 10<sup>m</sup>, Dezember 22. 10<sup>h</sup> 10<sup>m</sup>, Dezember 23. 10<sup>h</sup> 10<sup>m</sup>, Dezember 24. 10<sup>h</sup> 10<sup>m</sup>, Dezember 25. 10<sup>h</sup> 10<sup>m</sup>, Dezember 26. 10<sup>h</sup> 10<sup>m</sup>, Dezember 27. 10<sup>h</sup> 10<sup>m</sup>, Dezember 28. 10<sup>h</sup> 10<sup>m</sup>, Dezember 29. 10<sup>h</sup> 10<sup>m</sup>, Dezember 30. 10<sup>h</sup> 10<sup>m</sup>.

Neptun. Dezember 1. 10<sup>h</sup> 10<sup>m</sup>, Dezember 2. 10<sup>h</sup> 10<sup>m</sup>, Dezember 3. 10<sup>h</sup> 10<sup>m</sup>, Dezember 4. 10<sup>h</sup> 10<sup>m</sup>, Dezember 5. 10<sup>h</sup> 10<sup>m</sup>, Dezember 6. 10<sup>h</sup> 10<sup>m</sup>, Dezember 7. 10<sup>h</sup> 10<sup>m</sup>, Dezember 8. 10<sup>h</sup> 10<sup>m</sup>, Dezember 9. 10<sup>h</sup> 10<sup>m</sup>, Dezember 10. 10<sup>h</sup> 10<sup>m</sup>, Dezember 11. 10<sup>h</sup> 10<sup>m</sup>, Dezember 12. 10<sup>h</sup> 10<sup>m</sup>, Dezember 13. 10<sup>h</sup> 10<sup>m</sup>, Dezember 14. 10<sup>h</sup> 10<sup>m</sup>, Dezember 15. 10<sup>h</sup> 10<sup>m</sup>, Dezember 16. 10<sup>h</sup> 10<sup>m</sup>, Dezember 17. 10<sup>h</sup> 10<sup>m</sup>, Dezember 18. 10<sup>h</sup> 10<sup>m</sup>, Dezember 19. 10<sup>h</sup> 10<sup>m</sup>, Dezember 20. 10<sup>h</sup> 10<sup>m</sup>, Dezember 21. 10<sup>h</sup> 10<sup>m</sup>, Dezember 22. 10<sup>h</sup> 10<sup>m</sup>, Dezember 23. 10<sup>h</sup> 10<sup>m</sup>, Dezember 24. 10<sup>h</sup> 10<sup>m</sup>, Dezember 25. 10<sup>h</sup> 10<sup>m</sup>, Dezember 26. 10<sup>h</sup> 10<sup>m</sup>, Dezember 27. 10<sup>h</sup> 10<sup>m</sup>, Dezember 28. 10<sup>h</sup> 10<sup>m</sup>, Dezember 29. 10<sup>h</sup> 10<sup>m</sup>, Dezember 30. 10<sup>h</sup> 10<sup>m</sup>.

Uranus. Dezember 1. 10<sup>h</sup> 10<sup>m</sup>, Dezember 2. 10<sup>h</sup> 10<sup>m</sup>, Dezember 3. 10<sup>h</sup> 10<sup>m</sup>, Dezember 4. 10<sup>h</sup> 10<sup>m</sup>, Dezember 5. 10<sup>h</sup> 10<sup>m</sup>, Dezember 6. 10<sup>h</sup> 10<sup>m</sup>, Dezember 7. 10<sup>h</sup> 10<sup>m</sup>, Dezember 8. 10<sup>h</sup> 10<sup>m</sup>, Dezember 9. 10<sup>h</sup> 10<sup>m</sup>, Dezember 10. 10<sup>h</sup> 10<sup>m</sup>, Dezember 11. 10<sup>h</sup> 10<sup>m</sup>, Dezember 12. 10<sup>h</sup> 10<sup>m</sup>, Dezember 13. 10<sup>h</sup> 10<sup>m</sup>, Dezember 14. 10<sup>h</sup> 10<sup>m</sup>, Dezember 15. 10<sup>h</sup> 10<sup>m</sup>, Dezember 16. 10<sup>h</sup> 10<sup>m</sup>, Dezember 17. 10<sup>h</sup> 10<sup>m</sup>, Dezember 18. 10<sup>h</sup> 10<sup>m</sup>, Dezember 19. 10<sup>h</sup> 10<sup>m</sup>, Dezember 20. 10<sup>h</sup> 10<sup>m</sup>, Dezember 21. 10<sup>h</sup> 10<sup>m</sup>, Dezember 22. 10<sup>h</sup> 10<sup>m</sup>, Dezember 23. 10<sup>h</sup> 10<sup>m</sup>, Dezember 24. 10<sup>h</sup> 10<sup>m</sup>, Dezember 25. 10<sup>h</sup> 10<sup>m</sup>, Dezember 26. 10<sup>h</sup> 10<sup>m</sup>, Dezember 27. 10<sup>h</sup> 10<sup>m</sup>, Dezember 28. 10<sup>h</sup> 10<sup>m</sup>, Dezember 29. 10<sup>h</sup> 10<sup>m</sup>, Dezember 30. 10<sup>h</sup> 10<sup>m</sup>.

Pluton. Dezember 1. 10<sup>h</sup> 10<sup>m</sup>, Dezember 2. 10<sup>h</sup> 10<sup>m</sup>, Dezember 3. 10<sup>h</sup> 10<sup>m</sup>, Dezember 4. 10<sup>h</sup> 10<sup>m</sup>, Dezember 5. 10<sup>h</sup> 10<sup>m</sup>, Dezember 6. 10<sup>h</sup> 10<sup>m</sup>, Dezember 7. 10<sup>h</sup> 10<sup>m</sup>, Dezember 8. 10<sup>h</sup> 10<sup>m</sup>, Dezember 9. 10<sup>h</sup> 10<sup>m</sup>, Dezember 10. 10<sup>h</sup> 10<sup>m</sup>, Dezember 11. 10<sup>h</sup> 10<sup>m</sup>, Dezember 12. 10<sup>h</sup> 10<sup>m</sup>, Dezember 13. 10<sup>h</sup> 10<sup>m</sup>, Dezember 14. 10<sup>h</sup> 10<sup>m</sup>, Dezember 15. 10<sup>h</sup> 10<sup>m</sup>, Dezember 16. 10<sup>h</sup> 10<sup>m</sup>, Dezember 17. 10<sup>h</sup> 10<sup>m</sup>, Dezember 18. 10<sup>h</sup> 10<sup>m</sup>, Dezember 19. 10<sup>h</sup> 10<sup>m</sup>, Dezember 20. 10<sup>h</sup> 10<sup>m</sup>, Dezember 21. 10<sup>h</sup> 10<sup>m</sup>, Dezember 22. 10<sup>h</sup> 10<sup>m</sup>, Dezember 23. 10<sup>h</sup> 10<sup>m</sup>, Dezember 24. 10<sup>h</sup> 10<sup>m</sup>, Dezember 25. 10<sup>h</sup> 10<sup>m</sup>, Dezember 26. 10<sup>h</sup> 10<sup>m</sup>, Dezember 27. 10<sup>h</sup> 10<sup>m</sup>, Dezember 28. 10<sup>h</sup> 10<sup>m</sup>, Dezember 29. 10<sup>h</sup> 10<sup>m</sup>, Dezember 30. 10<sup>h</sup> 10<sup>m</sup>.



# Astronomischer Kalender für den Monat Dezember 1907.

Tag des Monats	Sonnen				Mond			
	Mittern. Berlin Mittern.				Mittern. Berlin Mittern.			
	Zeitp. M. L. — W. L.	Ephemeriden	Declination		Ephemeriden	Declination	Mond in Rechten	
	h m s	h m s	° ' "		h m s	° ' "	h m	
1	— 21 14 11	24 26 20 26	— 21 40 12 1	21 7 47 23	— 1 26 30 0	23 12 0	23 12 0	
2	— 20 11 50	24 26 19 54	— 21 40 47 0	21 17 43 54	— 0 59 38 1	23 17	23 17	
3	— 19 59 30	24 24 1 7	— 21 39 40 0	21 10 38 40	— 0 33 44 9	23 18 1	23 18 1	
4	— 19 0 59	24 20 15 50	— 21 3 54 0	21 48 38 59	— 0 1 17 1	23 19 0	23 19 0	
5	— 18 11 55	24 42 42 72	— 20 59 42 4	21 44 1 50	— 12 54 51 5	—	—	
6	— 17 20 50	24 47 8 80	— 20 58 30 7	21 44 47 30	— 21 50 27 0	0 54 7	0 54 7	
7	— 16 30 11	24 51 20 76	— 20 50 12 1	21 40 16 54	— 30 45 27 7	1 12 8	1 12 8	
8	— 15 39 37	24 55 19 22	— 20 32 45 1	21 37 38 30	— 39 42 29 1	1 37 7	1 37 7	
9	— 14 49 14	25 0 11 50	— 20 24 18 4	21 35 24 20	— 48 38 0 0	1 57 0	1 57 0	
10	— 13 59 10	25 4 56 50	— 20 15 29 9	21 34 12 54	— 57 34 0 0	2 17 0	2 17 0	
11	— 13 4 40	25 9 54 00	— 20 5 54 0	21 33 28 00	— 66 30 0 0	2 40 0	2 40 0	
12	— 12 10 25	25 13 10 26	— 19 5 17 3	21 40 27 43	— 75 26 0 0	3 10 0	3 10 0	
13	— 11 16 11	25 17 48 46	— 18 5 56 0	21 38 22 28	— 84 22 0 0	3 39 0	3 39 0	
14	— 10 43 44	25 22 11 31	— 17 5 54 0	21 34 9 00	— 93 18 0 0	4 12 0	4 12 0	
15	— 9 51 50	25 26 58 56	— 16 53 42 4	21 28 13 54	— 102 14 0 0	4 50 0	4 50 0	
16	— 8 59 52	25 31 5 15	— 15 51 3 0	21 20 54 30	— 111 10 0 0	5 23 0	5 23 0	
17	— 8 14 40	25 36 37 26	— 14 58 58 7	21 12 44 54	— 120 6 0 0	6 0 0	6 0 0	
18	— 7 29 50	25 41 10 50	— 13 53 10 4	21 3 58 30	— 129 2 0 0	6 39 0	6 39 0	
19	— 6 45 16	25 46 15 50	— 12 54 5 0	21 3 19 0	— 138 28 0 0	7 18 0	7 18 0	
20	— 6 10 14	25 48 45 70	— 12 40 30 4	21 12 42 0	— 147 34 0 0	8 0 0	8 0 0	
21	— 5 34 40	25 51 18 45	— 11 34 10 0	21 14 30 0	— 156 40 0 0	8 40 0	8 40 0	
22	— 5 44 11	25 57 54 40	— 10 36 47 0	21 5 43 54	— 165 46 0 0	9 24 0	9 24 0	
23	— 5 10 14	26 0 6 40	— 10 24 14 4	21 4 43 45	— 174 52 0 0	10 10 0	10 10 0	
24	— 4 37 44	26 0 51 20	— 10 20 30 0	21 44 18 0	— 184 58 0 0	10 57 0	10 57 0	
25	— 4 17 14	26 14 17 70	— 10 10 30 0	21 34 30 0	— 195 4 0 0	11 40 0	11 40 0	
26	— 4 19 01	26 28 56 50	— 10 54 10 0	21 27 45 0	— 206 0 0 0	12 20 0	12 20 0	
27	— 4 29 47	26 34 10 40	— 10 50 15 0	21 20 47 0	— 216 6 0 0	1 0 0	1 0 0	
28	— 4 37 10	26 34 18 70	— 10 39 54 0	21 10 3 0	— 226 12 0 0	1 39 0	1 39 0	
29	— 4 41 51	26 38 42 40	— 10 27 10 0	21 47 43 0	— 236 18 0 0	2 19 0	2 19 0	
30	— 4 44 00	26 33 8 77	— 10 23 13 0	21 37 30 0	— 246 24 0 0	3 0 0	3 0 0	
31	— 4 45 57	26 27 58 48	— 10 18 5 0	21 30 58 0	— 256 30 0 0	3 41 0	3 41 0	

## Planetenkonstellationen 1907.

Dezember	h	Merkur größte scheinb. Ring 20° 30'
1	13	Merkur in Konjunktion mit dem Monde
2	17	Venus in Konjunktion mit dem Monde
3	17	Venus im Apog.
4	16	Mars in Konjunktion mit dem Monde.
5	17	Mars in Konjunktion mit dem Monde.
6	16	Venus in Konjunktion mit Uranus, Venus 2° 30' scheinb.
7	9	Merkur in Konjunktion mit i. Scorp., Merkur 6° 12' scheinb.
8	17	Saturn in Quadratur mit der Sonne
9	16	Saturn im nördlichsten Knoten
10	13	Saturn tritt in das Zeichen des Steinbock, Winternachb.
11	8	Jupiter in Konjunktion mit dem Monde
12	4	Mars in Konjunktion mit Saturn, Mars 1° 30' scheinb.

# Plutonium-Ephemeriden.

Königliche Berliner Mätag.								Königliche Berliner Mätag.							
Jahr	M	Rechnungen			Definition			Jahr	M	Rechnungen			Definition		
		h	m	s	h	m	s			h	m	s	h	m	s
1887								1887							
Merkur.								Merkur.							
Dec.	8	08	08	11 19	—	08	08	Dec.	20	32	32	7 43	—	3 48	32 3
	08	18	48	38 50	—	08	18	08	32	32	32	34 50	—	0 30	7 43
	18	08	17	34 10	—	18	08	08	32	32	32	37 32	—	1 14	32 3
	28	18	48	4 34	—	28	18	08	32	32	32	40 4	—	2 04	32 3
	38	17	03	39 43	—	38	17	03	32	32	32	43 5	—	2 54	32 3
	38	17	10	39 48	—	38	17	10	32	32	32	46 6	—	3 44	32 3
Venus.								Venus.							
Dec.	8	38	10	37 54	—	38	38	Dec.	20	38	48	31 48	—	32 18	32 3
	18	38	38	38 38	—	38	38	08	38	38	48	34 38	—	33 18	32 3
	28	38	8	38 38	—	38	38	08	38	38	48	37 38	—	34 18	32 3
	38	38	38	38 38	—	38	38	08	38	38	48	40 38	—	35 18	32 3
	38	38	8	38 38	—	38	38	08	38	38	48	43 38	—	36 18	32 3
	38	38	38	38 38	—	38	38	08	38	38	48	46 6	—	37 18	32 3
Mars.								Mars.							
Dec.	8	38	38	38 38	—	38	38	Dec.	20	38	48	31 48	—	32 18	32 3
	18	38	38	38 38	—	38	38	08	38	38	48	34 38	—	33 18	32 3
	28	38	38	38 38	—	38	38	08	38	38	48	37 38	—	34 18	32 3
	38	38	38	38 38	—	38	38	08	38	38	48	40 38	—	35 18	32 3
	38	38	38	38 38	—	38	38	08	38	38	48	43 38	—	36 18	32 3
Jupiter.								Jupiter.							
Dec.	18	8	8	38 38	—	38	38	Dec.	20	38	48	31 48	—	32 18	32 3
	28	8	8	38 38	—	38	38	08	38	38	48	34 38	—	33 18	32 3
	38	8	8	38 38	—	38	38	08	38	38	48	37 38	—	34 18	32 3

## Stenbeckungen durch den Mond für Berlin 1887.

Rechnung	Jahr	Orbit	Rechnung		Rechnung	
			h	m	h	m
Dec. 18	18	Proton	18	18	18	18
" 18	18	Proton	18	18	18	18
" 18	18	Proton	18	18	18	18
" 18	18	Proton	18	18	18	18
" 18	18	Proton	18	18	18	18
" 18	18	Proton	18	18	18	18
" 18	18	Proton	18	18	18	18
" 18	18	Proton	18	18	18	18
" 18	18	Proton	18	18	18	18
" 18	18	Proton	18	18	18	18

Der 1. Reigen Schick der Kälte  
Wahrheit  
Haltbarkeit der Sonne  
Parität

18° 17' 110°  
18° 17' 110°  
18° 17° 110°  
110°

Stellungen der Jupitermonde im Dezember 1907.



Stellungen am 10<sup>ten</sup> für das Jährl. im astronomischen Kalender

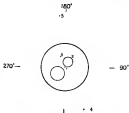
Tag	West	Öst
1		
2		
3		
4		
5		
6		
7		
8		
9		
10		
11		
12		
13		
14		
15		
16		
17		
18		
19		
20		
21		
22		
23		
24		
25		
26		
27		
28		
29		
30		
31		

Erhebungen der Jupitermonde. Die obigen Angaben über die Erhebungen der Jupitermonde beziehen sich auf mittlere Zeit von Greenwich. Der Tabellarial und die Reihenfolge ihres Abstandes vom Jupiter nach III, I, IV, II berechnet. Die vier größten Figuren zeigen die Stellung jedes Mondes am Anfang und dem Jupiter bei dem Ausgange der Verfinsternng (A) oder des Wiedererschensens (B) ist nicht angegeben, so kann der Anhalt aus dem letzten nach betrachtet werden. Folgt bedeutet bei den nachfolgenden Zeitangaben:

- Es D den Verfinsternis des Trabanten am Anfang des Jupiters
- Es E den Ausritt des Trabanten aus dem Schatten des Jupiters
- Os D den Verfinsternis des Trabanten bei der Japitersehne
- Os E den Wiedererschensens zeitlich nach der Japitersehne
- Tr I den Eintritt des Trabanten vor der Japitersehne
- Tr E den Ausritt des Trabanten aus der Japitersehne
- Sa I den Eintritt des Trabanten vor der Japitersehne
- Sa E den Ausritt des Trabanten vor der Japitersehne

Es sind nur diejenigen Erhebungen der Jupitermonde aufgeführt, welche sich ergaben, wenn Jupiter zu Greenwich über und die Sonne unter dem Meridian steht. Um die Mangel dieser Erhebungen nach astronomischer Zeit zu finden, hat man nur nötig, 14 zu den angegebenen Zeitpunkten zu addiren.

December 1. I. Sa. I. 12<sup>h</sup> 30<sup>m</sup>. I. Tr. I. 12<sup>h</sup> 10<sup>m</sup>. I. Sa. E. 12<sup>h</sup> 10<sup>m</sup>. I. Tr. E. 12<sup>h</sup> 30<sup>m</sup>. December 2. I. Es. D. 12<sup>h</sup> 10<sup>m</sup> 30<sup>s</sup>. I. Os. E. 12<sup>h</sup> 10<sup>m</sup>. II. Sa. I. 12<sup>h</sup> 10<sup>m</sup>. II. Tr. I. 12<sup>h</sup> 10<sup>m</sup>. II. Sa. E. 12<sup>h</sup> 10<sup>m</sup>. December 3. I. Sa. E. 12<sup>h</sup> 10<sup>m</sup>. II. Tr. E. 12<sup>h</sup> 10<sup>m</sup>. I. Tr. E. 12<sup>h</sup> 10<sup>m</sup>. December 4. II. Es. D. 12<sup>h</sup> 10<sup>m</sup> 30<sup>s</sup>. II. Os. E. 12<sup>h</sup> 10<sup>m</sup>. December 5. II. Tr. E. 12<sup>h</sup> 10<sup>m</sup>. II. Sa. I. 12<sup>h</sup> 10<sup>m</sup>. II. Tr. I. 12<sup>h</sup> 10<sup>m</sup>. December 6. I. Es. D. 12<sup>h</sup> 10<sup>m</sup> 30<sup>s</sup>. I. Os. E. 12<sup>h</sup> 10<sup>m</sup>. December 7. I. Sa. E. 12<sup>h</sup> 10<sup>m</sup>. I. Tr. E. 12<sup>h</sup> 10<sup>m</sup>. December 8. I. Sa. E. 12<sup>h</sup> 10<sup>m</sup>. I. Tr. E. 12<sup>h</sup> 10<sup>m</sup>. December 9. I. Sa. E. 12<sup>h</sup> 10<sup>m</sup>. I. Tr. E. 12<sup>h</sup> 10<sup>m</sup>. December 10. I. Sa. E. 12<sup>h</sup> 10<sup>m</sup>. I. Tr. E. 12<sup>h</sup> 10<sup>m</sup>. December 11. I. Sa. E. 12<sup>h</sup> 10<sup>m</sup>. I. Tr. E. 12<sup>h</sup> 10<sup>m</sup>. December 12. I. Sa. E. 12<sup>h</sup> 10<sup>m</sup>. I. Tr. E. 12<sup>h</sup> 10<sup>m</sup>. December 13. I. Sa. E. 12<sup>h</sup> 10<sup>m</sup>. I. Tr. E. 12<sup>h</sup> 10<sup>m</sup>. December 14. I. Sa. E. 12<sup>h</sup> 10<sup>m</sup>. I. Tr. E. 12<sup>h</sup> 10<sup>m</sup>. December 15. I. Sa. E. 12<sup>h</sup> 10<sup>m</sup>. I. Tr. E. 12<sup>h</sup> 10<sup>m</sup>. December 16. I. Sa. E. 12<sup>h</sup> 10<sup>m</sup>. I. Tr. E. 12<sup>h</sup> 10<sup>m</sup>. December 17. I. Sa. E. 12<sup>h</sup> 10<sup>m</sup>. I. Tr. E. 12<sup>h</sup> 10<sup>m</sup>. December 18. I. Sa. E. 12<sup>h</sup> 10<sup>m</sup>. I. Tr. E. 12<sup>h</sup> 10<sup>m</sup>. December 19. I. Sa. E. 12<sup>h</sup> 10<sup>m</sup>. I. Tr. E. 12<sup>h</sup> 10<sup>m</sup>. December 20. I. Sa. E. 12<sup>h</sup> 10<sup>m</sup>. I. Tr. E. 12<sup>h</sup> 10<sup>m</sup>. December 21. I. Sa. E. 12<sup>h</sup> 10<sup>m</sup>. I. Tr. E. 12<sup>h</sup> 10<sup>m</sup>. December 22. I. Sa. E. 12<sup>h</sup> 10<sup>m</sup>. I. Tr. E. 12<sup>h</sup> 10<sup>m</sup>. December 23. I. Sa. E. 12<sup>h</sup> 10<sup>m</sup>. I. Tr. E. 12<sup>h</sup> 10<sup>m</sup>. December 24. I. Sa. E. 12<sup>h</sup> 10<sup>m</sup>. I. Tr. E. 12<sup>h</sup> 10<sup>m</sup>. December 25. I. Sa. E. 12<sup>h</sup> 10<sup>m</sup>. I. Tr. E. 12<sup>h</sup> 10<sup>m</sup>. December 26. I. Sa. E. 12<sup>h</sup> 10<sup>m</sup>. I. Tr. E. 12<sup>h</sup> 10<sup>m</sup>. December 27. I. Sa. E. 12<sup>h</sup> 10<sup>m</sup>. I. Tr. E. 12<sup>h</sup> 10<sup>m</sup>. December 28. I. Sa. E. 12<sup>h</sup> 10<sup>m</sup>. I. Tr. E. 12<sup>h</sup> 10<sup>m</sup>. December 29. I. Sa. E. 12<sup>h</sup> 10<sup>m</sup>. I. Tr. E. 12<sup>h</sup> 10<sup>m</sup>. December 30. I. Sa. E. 12<sup>h</sup> 10<sup>m</sup>. I. Tr. E. 12<sup>h</sup> 10<sup>m</sup>.



Schematische Zeichnung des Nebels auf basischer Skala  
von Prof. Remond



Aussehen des Nebels  
«Die Bilder nach Lord Rosens  
Zeichnung»



Aussehen des Nebels  
im 40 stelligen Reflektor nach  
Prof. Remond

# SIRIUS.

Zeitschrift für populäre Astronomie.

Centralorgan für alle Freunde und Förderer der Himmelskunde.  
Herausgegeben

unter Mitwirkung hervorragender Fachgelehrter und renommierter Schriftsteller  
von Prof. Dr. Hermann L. Vogel in Köln

November 1907.

„Friede und Glück sei den Freunden und der  
Verbreitung der Wissenschaft.“ Koenigsberg.

Jeden Monat 1 Heft. — Jährlich 12 Mk.

Verlag von EDUARD HEINRICH MAYER in Leipzig.

INHALT: Hermann Karl Vogel. A. 261. — Der Größenvergleich und sein Bezug durch  
Nebelstrahlen. S. 241. — Der optische und psychologische Prozess, welcher bei der Deutung  
der sogenannten Nebelstrahlen in Betracht kommt. S. 241. — Beobachtungen der Venus aus  
dem Jupiter auf dem Mondtag. S. 251. — Mikromessungen auf der Jupiteroberfläche.  
S. 251. — Die Punkte auf der Oberfläche des 3. Jupitermonds. (Hagen Teufel 100.) S. 251. —  
Der Mondtag. S. 251. — Beobachtung der Perseiden 1907. S. 251. — Sonnentätigkeit.  
S. 251. — Halbeson der Jahreszeiten. S. 251. — Astronomischer Kalender. S. 251.  
— Stellung der Jupitermonds. A. 261. — Beobachtungen der Jupitermonds. S. 251.

## Hermann Karl Vogel

Der überaus große Verlust, den die  
Astrophysik durch den Tod  
Vogels erlitten hat, bedei an Hermann  
dieser Fachgenosse, wie aller Freunde  
der Himmelskunde, ein schweres  
Ereignis. Was dieser unermüdliche For-  
scher der Wissenschaft gewiesen und  
wie betrübend sein Schicksal auf die  
Fortentwicklung der Astrophysik ge-  
wirkt, ist gegenüberstehend kaum gänzlich  
denkbar. Inzwischen hat sein ver-  
lässiger Freund und Mitarbeiter Prof.  
O. Lohse in dem Astronomischen Nach-  
richten (Nr. 4169) die wichtigsten Daten  
aus dem Leben und Werken Vogels in  
einem Nekrolog dargestellt und möge  
aus diesem das Nachfolgende sein Platz  
finden.

Hermann Karl Vogel, Direktor des  
astrophysikalischen Observatoriums zu  
Bonn 1867, Heft II.

Friedrich, ist am 13. August 1867 gegen  
7 Uhr abends nach langer, mit abzuneh-  
mender Geduld gekämpften Leiden nach  
aus dem Leben geschieden. Geboren  
am 3. April 1861 zu Leipzig, war er  
der Sohn des berühmten Pädagogen  
Joh. Karl Christoph Vogel, der Direktor  
der vorzüglichen Pädagogischen und Be-  
gründer der Realchule zu Leipzig war  
und dessen Schüler eine weit Ver-  
breitung gefunden haben.

Von dem sehr geschätzten der  
Familie haben sich außer Hermann  
Vogel noch in wissenschaftlicher oder  
literarischer Beziehung ausgezeichnet:  
der Astronom und Akademiker Eduard  
Vogel, Elise Pollak und John Dehmel,  
welche letztere, 13 Jahre älter Schwester  
als eine tüchtige Überlebende ihres Bräuer  
Hermann der letzten Ruhe beigefügt ist.

Hermann Vogel wurde auf in dem Hause seines Vaters, welches zugleich das Schreibamt war, geteilt von der hiesigen Mutter, die den Sinn für Natur und Kunst in ihm erweckte. Der Freund Eduard Vogels und Leiter der Leipziger Sternwarte auf dem Turm der Pfaffenburg, d'Arrest, förderte in hohem Maße die naturwissenschaftlichen Bestrebungen des jugendlichen H. Vogel,

der dann später nach Dresden auf die Polytechnische Schule von Dori übertrat, wo er unter schwierigen äußeren Verhältnissen, bei besonderer Vorliebe für Physik und Mathematik, den ganzen Kursus dieser Fakultät, deren Abgrenzung mit der Berechnung zum Universitätsstudium einschloß, 1866 beendete. Vogel nach Leipzig zurück, und wurde, nachher Assistent an der Sternwarte im Jahnentel. Der Direktor C. Bodeker konnte ihm für den Anfang in unvollständiger Hinsicht nur wenig helfen, aber Vogel war durch den Einfluß in dieses wissenschaftliche Institut in das wahre Feld seiner Tätigkeit gekommen. Er arbeitete eine große Anzahl von Beobachtungen und Rechnungen und wurde in kurzer Zeit allgemein bekannt. Auch wurde er sich des philosophischen Charakter der Arbeit über Nebelstoffe.

Für Vogel war es von bestimmtem Erfolg, daß er die Bekanntschaft

des erfindungsreichen und genauen F. Zöllner machte, der sich in Leipzig niedergelassen hatte. Zöllner betonte sich wenig mit Vogel, er besprach seine Arbeiten mit ihm und befragte ihn für die Astrophysik, einen neuen Zang der Astronomie, der vornehmlich aus der Anwendung des Spektralanalyse auf die Himmelsforschung besteht. Im Jahr 1870 wurde von Seiten des Komitees der Göttinger Universität ein junger Astronom gesucht, der die Leitung einer Sternwarte übernehmen könnte. Der Wahl fiel auf Vogel, und wurde in der Vorstandsversammlung, dieses Komitees, mit dem politischen Personal Deutschlands ausgenommt. Oberstarke an der Sternwarte, Karl von der Linde, die Astrophysik an der Sternwarte.



Hermann Karl Vogel.

F. von Nilow, war die begründete Vorreiter der Astronomie, der eigentlich der Wunsch lagte, die Wunder des Himmels mit wissenschaftlichen Tatsachen betrachten zu können, ohne sich Anforderungen an die wissenschaftliche Tätigkeit seiner Astronomie zu stellen.

Am 21. September 1880 ließ Vogel seinen Entzug in Berlin, begleitet von seinem Mitarbeiter, dem Schüler seiner Arbeit. Das Leben in Berlin war ein vollkommenes Vergnügen und so sehr, dass er sagte, in der Wissenschaft

Kommunikation

schaft vollständig aufzugeben, außerdem war der Anfang der sechziger Jahre allgemein glänzend in Bezug auf die Beachtung höherer und besserer Erscheinungen. Vogel entwickelte eine rege Tätigkeit und wandte es, auch auf diejenigen Teile der Wissenschaft an, konzentrierte, die ihm speziell physikalischen Charakter trugen. Der Hüllsollgelehrte von H. Scheider wurde mit Einrichtungen versehen, um die Sonne zu photographieren, die Photoskopen zu beobachten und die Spektren der Planeten und Fixsterne zu studieren. Der Kammerherr von Bismarck sorgte für das Interesse und unterstützte die Arbeiten Vogels durch reichliche Zuwendungen. Er ermöglichte auch die Publikation der Forschungsergebnisse, so daß das gesamte und durch irgendeine Richtung sehr bald allgemein bekannt war und das Interesse vieler so- und weltlicher Astronomen bildete. Es ist interessant, daß Vogel, wohl auf Anregung von Zöllner, damals schon die Bewegungen der Fixsterne mit Hilfe des Spektroskop nachzuweisen bestrebt war, eine Aufgabe, deren primäre Lösung ihm später so große Ehre brachte und als ein bedeutender wissenschaftlicher Fortschritt angesehen ist. Die Richtigkeit des Dopplerschen Prinzips bewies Vogel bereits im Jahre 1871 durch die spektroskopische Beobachtung des Sonnenrandes. Inzwischen war in das maßgebende Kreise Berlins der Gedanke eingebracht worden, ein Observatorium speziell für die Beobachtung der Sonne zu errichten. Das beschriebene Wirkungsfeld einer Sonnenwarte sollte man dadurch zu vergrößern, daß man das gesamte Arbeitsgebiet der Astrophysik in Betracht zog. Zwei Gebiete wurden als gleichbedeutende Observatorien für das neue Institut in Aussicht genommen, nämlich Dr. H. K. Vogel und der Gymnasialprofessor O. Spörer, der durch seine regelmäßigen Beobachtungen der Sonne bekannt war. Vogel hatte bereits in Berlin in Gemeinschaft mit seinem Mitarbeiter

einen Plan für die Gründung des neuen Instituts entwickelt und schickte Holsten Ende Juni 1874, um in das preussische Staatsministerium zu gehen und in Berlin Meinung zu nehmen. In der königlichen Fort bei Potsdam, auf dem Telegraphenberg, war ein Grundstück für die Errichtung des neuen astrophysikalischen Observatoriums gepachtet worden. Erst 1879 war das Institut so weit vollendet, daß der allgemeine Lebensbetrieb erfolgen konnte. Vogel übernahm die persönliche Leitung im Ort und Stelle, zusammen mit Spörer und Lotze, während eine Kommission, aus den Professoren Auerw, Kirchhoff und Pascher bestehend, einen beratenden und entscheidenden Einfluß ausübte.

1879 am 30. August erhielt Vogel das Patent als Professor und wurde am 15. März 1882 zum Direktor des astrophysikalischen Observatoriums zu Potsdam ernannt, für dessen Depression und Entwicklung er schon immer seine besten Kräfte eingesetzt hatte.

Durch die wichtigen Resultate, welche die Gehälter Henry in Paris auf dem Gebiete der Himmelsphotographie erzielt hatten, sorgte, besuchte Vogel im April 1887 den internationalen Astrophysikalischen Kongress in Paris, und es mag nicht überflüssig sein, die Absicht bekannt zu machen, die Photographie auf die bereits oben erwähnte spektroskopische Untersuchung der Bewegung von Himmelskörpern anzuwenden, dies bereits am 15. März 1888 konnte er der Königlich Akademie der Wissenschaften zu Berlin eine Arbeit mit dem Titel: „Über die Bestimmung der Bewegung von Sternen im Visuellen durch spektroskopische Beobachtungsverfahren“. Er sagt darin, daß aus den Liniensverschiebungen in den photographischen Spektren noch eine Geschwindigkeit von einer geometrischen Reihe nachgewiesen werden kann, ein Resultat, welches im Vergleich zur früheren Beobachtung als ein ganz unumstößlicher Fortschritt an-



gestanden worden mußte. Eine der genannten Arbeit beengende, von Schaller gestrichelte Fabel stellt die Größe der Verschiebung der Wasserstofflinie H $\gamma$  bei den Sternen Sirius, Procyon, Regel und Arctus dar. Die wissenschaftliche Welt erkannte die gewaltige Bedeutung des Vorgehens. Kommt, besonders ab 1892, noch eine größere Arbeit unter dem Titel an: „Untersuchung über die Eigenbewegung der Sterne im Valoisandus auf spektroskopischen Wege“. Diese Arbeit bildet den ersten Teil des 1. Bandes der Publikationen des astrophysikalischen Observatoriums und enthält auch die Ermittlung periodischer Geschwindigkeitsschwankungen an Sternen, die danach als helios System angesehen werden mußten.

Im August 1893 war es Vogel vorüber, im Besonderen Sr. Maj. des Kaisers ein neues Beobachtungsnetzwerk und der Zerstörung zu übergeben, welches vollständig der spektroskopischen Bestimmung von Geschwindigkeiten an Sternen nach anderer Größe dienen sollte. Vogel's letzte schriftliche Arbeit bildet eine Beschreibung dieses Doppelsterns.

Es ist nicht möglich, an dieser Stelle alle wichtigen und wertvollen Arbeiten Vogel's anzuführen; es möge nur noch hinzugefügt sein, daß er in den 25 Jahren seiner Tätigkeit als Direktor 15 Bände Publikationen (Band 3 hat 17) herausgegeben hat, die seine und die Untersuchungen seiner Mitarbeiter enthalten, hierzu kommt noch die Herausgabe von 4 Bänden der photographischen Himmelskarte, Zone  $+31^{\circ}$  bis  $+49^{\circ}$ .

Von früher Jugend an war Vogel ein Freund der Entomologie und er hat reichliche Sammlungen hinterlassen.

Seit dem Jahre 1900 in dem er eine sehr schwere Krankheit zu überwinden half, litt er an Vogel und konnte sich nur mit Mühe und Anschaffung starker Vorrichtungen abwechselnd erholen, bis seine Kräfte im August dieses Jahres

unverwundt schnell abnahmen und schwanden.

Die Ehrungen, welche Hermann Vogel zuteil geworden sind, entsprechen der Berechnung, die die Astronomie durch ihn erfahren hat. Bei seiner großen Ordnungsliebe hat er auch harte große Anforderungen hinterlassen, und es folgt seinem Wunsch, wenn ich noch hinzufügen: 1890 Dezember 24 geschah die Ernennung zum Geheimen Regierungsrat, 1892 März 30 wurde die Wahl in die Königlich Preussische Akademie der Wissenschaften in Berlin durch Sr. Maj. den Kaiser und König bestätigt, 1893 August 23 trat das Patent als Oberster Ober-Regierungsrat ein.

Vogel gehörte folgenden gelehrten Gesellschaften, in chronologischer Folge, als Mitglied oder Ehrenmitglied in: K. Leopoldisch-Carlische Akademie der Naturforscher, Royal Astronomical Society, Waldecker Gesellschaft für die gesamte Naturkunde, Königl. Gesellschaft der Wissenschaften zu Göttingen, Society of Spectroscopic Inquiry, Gesellschaft der Wissenschaften in Upsala, Physikalisch-Mathematische Gesellschaft zu Königsberg, Königlich Preussische Akademie der Wissenschaften zu Berlin, Société Hellénique des Sciences, American Academy of Arts and Sciences, Akademie zu St. Petersburg, Astronomical and Physical Society of Toronto, Königl. Gesellschaft der Wissenschaften zu Amsterdam, Königl. Akademie der Wissenschaften zu Wien, Royal Irish Academy, Sociedad Astronomica de Mexico, National Academy of Sciences of the United States of America, Académie des Sciences, Paris, Königl. Bayerische Akademie der Wissenschaften.

Seit dem 21. Januar 1895 war Vogel Ehrenmitglied der Académie des Sciences et des Lettres der Wissenschaften und Künste (an Stelle des verstorbenen von Helmholtz), und noch durch eine ganze Reihe weiterer hoher Ordensauszeichnungen von In- und Ausland wurden seine Verdienste anerkannt.

Medaillen: 1874 Jan. 24, Preis von der Königl. Dänischen Societät der Wissenschaften (Preisfrage von 1872 über die Spätzeit der Pleistocän); 1891 December 9, Goldene Medaille, Preis Tilt von der Pariser Akademie der Wissenschaften; 1892 April 21, Große Goldene Medaille (Henry Draper) von

der National Academy of Sciences of the United States of America; 1893 januar 13, Goldene Medaille der Royal Astronomical Society, London; 1905 November 25, Goldene Medaille (Struve) von der Astronomical Society of the Pacific für 1906.

## Die Ortsbestimmung auf dem Meere durch Mondabstände.

**D**urch Messung des Winkelabstandes des Mondes von einem Fixstern läßt sich die geographische Länge des Punktes, an welchem diese Messung vorgenommen wurde, berechnen, wenn die gleiche Messung an einem andern Orte angestellt wird und die geographische Länge dieses letztern Ortes bekannt ist. Für den Seefahrer ist diese Methode also nur brauchbar, wenn er die Bestimmung an dem Ort von bekannter geographischer Länge nicht zur Hand hat. Die Messungen geben den Abstand des Mondes von einer Anzahl bekannter Sterne für die Seereisende zu Greenwich auf mehrere Jahre voraus und so genau an, daß der Seefahrer diese Angaben an Stelle der korrespondierenden zweiten Bestimmung benutzen und also seine Länge auf See berechnen kann. Das ist die berühmte Methode der Mondabstände, die zuerst im Jahr 1514 von Johann Werner in Nürnberg vorgeschlagen wurde und an deren Umsetzung in die praktische Praxis sich eine Reihe wichtiger Fortschritte auf dem Gebiete der Astronomie und der astronomischen Instrumente knüpfen. Wohl oder Gegenwärtigen der Seefahrer haben sich dieser Methode eines Schiffes zu bestimmten Nutzen und sie ist stets aufgeführt worden, wenn es sich darum handelte, den geographischen Nutzen der Astronomie zu erweisen. Aber alles ist vergeblich und heute steht die berühmte Methode der Mondabstände auf dem Aussterbest, ja Kapitan Ledy sagt in seinem Buche

über praktische Navigation: „Lunar as so fatal to Julian Caesar“. Aus dem hauptsächlichsten Nautischen Jahrbuchern sind die Voraussetzungen für die Mondabstände schon verschwunden. Ob sie aus dem Deutschen nautischen Jahrbuch dennoch bei dessen Neuauflage ebenfalls verschwinden werden, steht noch dahin. Der Statthalter hat sich bezüglich wissenschaftlicher Änderungen dieses Jahrbuches an den Vorstand deutscher Seeschiffe und die Deutschen nautischen Varen gewandt. Die Gutachten der letztern stehen noch aus und es dürfte bezüglich der Mondabstände zu ähnlichen Ergebnissen kommen, da bei uns niemand für die „Lunar“ eingeworben wird. Inzwischen dürfte es interessant sein, die Ansichten eines Praktikers zu hören, der sich in der deutschen nautischen Zeitschrift *Hamn*\*) gelegentlich über die Anwendung der Mondabstände vertritt. Wir entnehmen seinen Ausführungen folgendes:

„Nach im Jahre 1833 sprach es die Hamburger *„Herald der Seefahrerhand“* auf die Hamburger aus, daß zur Langenbestimmung des Mondabstandes der Vortug gebühre, auch aus dem Grunde, weil nur wenige Kometenkapellen in der Lage waren, sich solch harte Seende für den Preis von 200 bis 400 Reichstaler verschaffen.“ Und doch waren zu der Zeit bei dem gleichzeitigen Fehlen der außerordentlich kostspieligen Präzisionsvermessungsinstrumente

die Winkelstärken nur umgekehrter Art, so daß die Instrumentenfehler außerordentlich hohe Werte annehmen und damit jeden Resultat aus einer Mondstärkenbeobachtung in Frage stellen. Außerdem waren auch die Mondabstände höchst fehlerhaft. Die ersten beobachteten Mondabstände wurden 1742 von dem Göttinger Astronom Tobias Mayer herausgegeben, wofür ihm der große Preis des englischen Parlaments im Betrag von 10000 Mk. zuerkannt wurde. So groß war die Bedeutung, welche man der Lösung des Ungerproblems auf See beilegte, daß schon Philipp II. von Spanien einen Preis von 10000 Talern und die holländischen Generalstaaten einen solchen von 30000 Gulden ausgesetzt hatten. Der König von Frankreich hatte später fast gleichzeitig mit dem Preis des englischen Parlamentes einen Preis von 100000 Liers zur Verfügung gestellt.

Im Jahre 1767 erschienen im „Nouvel Almanac“ die ersten Monddruckenverzeichnisse, mit dem Namen des berühmten Astronomen Maskelyne in dem ersten Teil, eine List in alphabetischer Folge, unaußerlich verknüpft. Seinen Jahre später beschrieb das französische Nautische Jahrbuch denselben Reizen und brachte ebenfalls die Mondabstände. Wie die Astronomen es waren, die der verarmten Welt diese wichtigsten Hilfsmittel darboten und die Lösung der jährlicher in Händen hatten, so es auch heute, verfügbar, die Redaktionen der jährlicher durch bekannten Händen unvertraut gefähig, obwohl die Rückversicherung auf die Fortschritte der Musik den Inhalt bestimmt. Fast anderthalb Jahrhunderte hindurch sind die Mondabstände ebenso in der Neuesten jährlicher gegeben, jetzt und sie aus dem französischen-englischen Worten verschwanden, der „Nouvel Almanac“ hat sie in diesem Jahre fortzusetzen, er ist dem Beispiel der „Commaire des Trains“ gefolgt. Unser Jahrbuch hat es noch beibehalten, aber es hat für 1907 auch schon die Änderung ge-

troffen, daß es, wie erwähnt aus der Mondstärkenbeobachtung unsprachlich und und außerdem die Einschränkung er setzen haben, daß die höhere Seite bevorzugt und die großen Distanzen in Fortfall gesetzt sind. Also auch hier scheint schon der Gang der Entwicklung darauf hinzuweisen, daß es abzuwogen geht und ihre Tage gezählt sind.

Der Methoden zur Berechnung der wahren Distanz geht es natürlich sehr. Prof. Weyer, der „die Sonne“ wie man das wegen seines Berufs als Astronom nannte, der zwei Jahrhunderte hindurch an der Sternwarte in Kiel Vorlesungen hielt, hat in seinen „Vorlesungen über nautische Astronomie“ verschiedene Mondabstände verfahren aufgeführt. — Die gute Worte in dieser Stelle über Weyer, denn das Gedächtnis bedeutender Männer, die der wissenschaftlichen Musik ihre Liebe und ihr reines Können gewidmet haben, daß in diesen Bildern festgehalten werden. Geben dem Wort Sonne in Welterman's List wurde er, was für das Gedächtnis das Wichtigste, das Erste ist, und verliert dem dann, deren Wichtigkeit fest und sicher zu erkennen.

„Das Erste aber und Hauptliche ist  
Bei allen solchen Ding in Ort und  
Stunde.“

Ein Hamburger Kind hatte er gewissermaßen auf der Mutterhand die Liebe zur Schifffahrt eingegeben, unter dem alten Ränder erbeute er an der Hamburger Sternwarte. Wie aber mehr über ihn und seine reiche Wirklichkeit im Dienste der nautischen Astronomie erfahren will, der lese den wertvollen Nachruf, den Georg Wilhelm von „Deutschlands Sternwarte“, das nach seinem Tode in der „Hansa“ gewidmet hat (H. 1897, Nr. 11). Dort wird man auch noch nach Hinweis finden auf den wunderbaren Zodiakalmonatenvorschlag, den er sehr geliebter Dorpater Kollege Weyer gemacht hat, ein Vorschlag, der, wenn zur Ausführung gelangt wäre,

schon damals allen Mondklimmen gemäßlich den Ocean genau abhildete.

Während Kesselbecken und in früheren Jahren im Beobachten und Durchrechnen von Mondklimmen zur Orientierung benutzt wurden, Ovale, der Weltkarte, beobachtet und berechnet über 400 Mondklimmen, lediglich um die Länge von Ship Cove auf Newsworld zu erhalten. Im Jahre 1777 machte er auf seiner Entdeckungsfahrt dann über 1000 Beobachtungen, um die Länge von Tongatabu (zu den Freundschaftsinseln gehörig) festzustellen. Um zuverlässige Resultate bei den ungenaueren Instrumenten zu erhalten, nahm der Mondklimmenforscher einen Umweg an, der sich seinen Begriffen bei allen Maß Versägen. Im Ocean der Vermessungswissenschaft wurden damals astronomische Leistungen vollbracht.

Selbst mit den Präzisionsinstrumenten, wie sie die vorweltlichste Technik unserer Tage dem Seemann in die Hand gibt, ist ein geschultes Auge und eine geschulte Hand noch an erhebliche Unschärfen und Fehler zu rechnen. Aus 34 eigenen Beobachtungen hat Gordon Dr. Bode den wahrscheinlichsten Fehler zu 22' für eine Deklination der Sonne gefunden. Für eine Deklination ändern sich der Betrag auf 11' Günstiger stellt sich die Sache, wenn östliche und westliche Distanzen von nahezu gleicher Größe genommen werden, dann schrumpfen die Fehler auf nicht ganz die Hälfte zusammen. Inzwischen zeigt sich aber ein Fehler von 20' in der Deklination auch einem weiteren Fehler in der Länge von etwa 12 Minuten. Aus 62 Beobachtungen, die Kapitän Behrens angestellt hatte, bestimmten Bode den mittleren Fehler zu 20'.

Bei diesen Untersuchungen und Feststellungen handelt es sich um sehr große Beobachter und um ausgezeichnete Instrumente. Damit kann man aber nicht immer rechnen, die wenigsten Schiffsoffiziere haben Zeit, sich in der Beobachtung von Deklination länger

Zeit zu öben und diese Übungen über fortwährend und Stetigkeit in der fortgesetzten Schöpfung und Übung bedeuten auch hier Rücksicht, die Sicherheit und das Gefühl derselben heißt. Zudem sind die Instrumente im Beobachtungsraum doch auch mancherlei Einwirkungen ausgesetzt, die der Empfindlichkeit derselben nachteilig zufallen. Es ist unübersehbar, daß mancher Seemann im Laufe der Zeit einem guten Fall, einen Maß bekommt, daß er bei dem schlingenden Schiff, wenn der Eigenwille seine Aufmerksamkeit auf wichtigere Dinge, auf künftige Schiffe, Ufer, Klippen, gefährliches Land zu richten will, im Beobachen kommt und hier oder da gegen ausfällt. Man wird auch nur selten in der Lage sein, ganze Reihen von Beobachtungen machen zu können, wie es bei den oben erwähnten Untersuchungen der Fall war. Das Hin- und Jagen der jetztzeit heißt dann keine Mühe, und die vielen Schiffe, die jetzt meist die Meere durchkreuzen, erfordern auch zugleich mehr wie früher die Wachsamkeit des diensthabenden Navigators.

Nurmal man aber nur eine Beobachtung oder doch auch zwei, so wird man mit einer Unschärfe von 1' in der Deklination rechnen müssen, d. h. mit einem Fehler von im Mittel 20 Minuten in der Länge. Da der Fehler aber sowohl nach der Ost- als auch der Westseite bestehen kann, ergibt dies einen Unterschied von einem vollen Grad. Dazu kommt noch die vielfach ungenauere Beobachtung. Die Chronometerlänge ist, wie man weiß zu sagen pflegt, hinsichtlich der Rechnung das tägliche Brot. Die Sache ist einfache, im Prinzip und Mit Übergegangen, aber mit den Mondklimmen steht es ganz anders an, zumal da hierbei auch durchweg längere Beobachtungspausen eintreten. Wer die Schiffsklimme ein paar Jahre hinter sich hat, mag sich, wofür es, was ganz selbst versteht, wird in Übung gehalten.

ist, zu nicht mehr hören. Ich für meine Teil möchte glauben, daß es richtig ist, was Morris (Flora Nr 12, 1907) schreibt, daß unter zweihundert Navigatoren kaum eine je praktisch die Mondstände zu verwerthen Ökigkeit hat.

Für die Kragmarine hat die Beobachtung der Mondstände im Jahrlich gewisse Bedeutung mehr, sie hat dieselbe aus ihren Rechenungsarbeiten ausgeschaltet, weil sie zu unendlich, schwierig und unzuverlässig sind. Allerdings sagt sie die Marine die Sache etwas anders wie für die Kaufleute. Sie hat keine Segelschiffe, und es liegen keine Schwierigkeiten vor, für das einzelne Schiff mehrere Chronometer zu führen. Sie hat außerdem ausreichende Kasse auf jedem Schiff zur Verfügung, um das Verfallen der Chronometer dauernd und streng zu beobachten, wie auch nur die wichtigsten Instrumente für die Kragmarine angeschafft werden. Obgleich nun die Verhältnisse der Kaufleute in Rücksicht auf dieses Gegenstand anders angeschaut sind, möchte ich doch dahin glauben, daß die Mondstände bei der geplanten Navigation des Jahrlich, die nur in ein paar Jahren Platzgreifen kann, ganz fehlten.

Es wird wohl fast selbstverständlich, daß die Mondstände auf den Dampfern keiner Verwendung mehr finden. Die größten Schiffe haben meistens zwei, sogar drei Chronometer an Bord. Außerdem sind da, wo der größte Wert auf dem Spiel steht, wo das Schiffsbauwerk zu sehr schon schon mehrere Millionen kostet, wo Hunderte, ja, wie bei den großen Passagierschiffen, wo gar Hundert Menschenleben in Frage kommen, also da, wo die Mondstände ihren größten Nutzen erweisen könnten, derselbe völlig verfallen geworden, da die Völkerversehrungen der Schiffe, welche trotz allem, durch verschiedene Kräfte bewirkten Mangelangabe bei den erzielenden kolonialen Menschen nicht ganz zu

besorgen sind, hauptsächlich geographische Beobachtungen bei der erzielenden, streng politischen Ökigkeit der kolonialen Bevölkerung gar nicht mehr zulassen.

Es ist doch manchmal so ganz anders geworden. Die Meer sind unglaublich beladen, sie werden weit länger durchfaßt wie vor einem Vierteljahrhundert. Die Ökigkeit, diese Dinge sind begrenzten oder selbständigen Schiffe zu verbleiben und geographisch zu besorgen, hat sich in dieser Zeit mehr als verdreifacht. Schon allein der Kurs der angekroffenen Schiffe geben, sofern eine Veränderung nicht möglich ist, in vielen Fällen ausreichenden Anhalt für die Beurteilung, ob die Chronometerlage richtig ist oder nicht. Man darf auch nicht übersehen, daß es in den letzten Jahrzehnten immens viel vermehrte Schiffe aus und große Schiffe in der Ausfahrt geben, selbst wenn man seiner Länge nicht völlig freien sollte. Auch die Unterwasserwerke, die mehr und mehr bei den Passagierschiffen in Aufnahme kommen, bilden ein schätzbares Mittel zur Ortsbestimmung.

Wenn der Funkgraph ein einhalt, schon gibt es mit den großen Schiffen während der Saison tägliche Zeitungen mit den neuesten Nachrichten herauszugeben, wenn diese neuen Nachrichtenmittel, die es keine Entfernung gebunden ist, schon gibt es manchmal Fälle von höchster Wichtigkeit. Andere Schiffe vor anderen Fahrten zu wissen, so es auch mit Sicherheit zu erwarten, daß es in vielen Fällen die wichtigste Rolle spielt, die genau Ökonomie Zeit des mit diesen Apparaten ausgerüsteten Schiffe bekannt zu geben. Auf diese Verwendungsmöglichkeit, die allerdings, wenigstens durch, nur die größten kriegsmächtigen Schiffe betrifft, darf es diesen Stelle ebenfalls hingewiesen werden. Eine Wiedergabe der erzielenden wichtigsten Zeit und Lage an andere Schiffe, die bei Funkgraphenrichtungen nicht

bestehen, kann daraus geschlossen werden, auf die gebräuchlichste Weise des Nachrichtensübertrages geschieden.

Die Mundstanzensorgfalte ist bei den Prüfungen von der ersten Stelle auf die zweite herabgezogen. Man hat sie nicht plötzlich lösen lassen, und es war gut so. Denn, wenn die Beherrschung dieses Organismus auch keinen direkten großen Nutzen mehr gewährt, indessen ist die doch von bedeutendem Vorteil gewesen. Denn die Mundstanzensorgfalte ist eines der interessantesten Probleme der Natur. Sie hat die Geister beim Unterricht regt und zum Nachdenken gebracht. Sie hat ein großes Können in der wichtigsten Angelegenheit der Gattung aufbewahrt: die Führung von Beobachtungen in den Tag gefördert. Sie hat bei manchem Leben

Leid und Liebe erzeugt, die schlammenden Kräfte angereizt und den Tüchtlern kühne Impulse gegeben, alle Kräfte in den Dienst des uralten Berufsstandes zu stellen. Der erste Schritt, den die Mundstanzensorgfalte bewahrt, ist schwerlich zu hoch anzuschlagen.

Wie so manche andere wurden sie aber schließlich doch das Feld räumen müssen. Wer sagt dann noch der Mundstanzensorgfalte, dass sie es nicht versucht, zu lernen sie verwenden, aber ihm wird nichts anderes übrig bleiben, als die sich selbst nach dem gegebenen Mond und Gestirnen zu bewegen. Dadurch wird die Arbeit allerdings reichlich verdoppelt, aber sie bleibt immer doch ausführbar.

## Die optischen und psychologischen Prinzipien, welche bei Deutung der sogenannten Marskanäle in Betracht kommen.

**E**ine dieser Übersichts hat Prof. Simon Newcomb eine Untersuchung veröffentlicht,<sup>1)</sup> die von großer Wichtigkeit ist. Der berühmte amerikanische Astronom behandelt zunächst die optischen Prinzipien, die hier in Frage kommen, und macht eine Anwendung auf den 34-zelligen Strahl der Lichterwerke. Mithin einer Reihe einfacher Betrachtungen, die sich auf die Natur des Lichtes und die Brechungsverhältnisse des Objektivglases gründen, zeigt er, daß es nicht möglich ist, in diesem Instrumente die hellen Stellen einer punktförmigen Lichtquelle in einer kreisförmigen Lichtfleck (einem Aberrationskreis) zu verengen, deren Durchmesser wesentlich kleiner als  $0.2''$  ist, wobei nicht einmal die atmosphärischen Einflüsse und die Diffraction in Betracht gezogen sind, infolge deren das

Bild über die angegebene Grenze hinaus erweitert wird. Der in Rechnung gezogenen Lichtstrahlen Länge zwischen Deckglas und dem hellen Teile des Glases, während die übrigen Strahlen ganz ausgeschlossen werden, die aber mit den anderen ausgeschlossenen Strahlen zusammen wohl die obere helle Spektrum geben mögen als die in Betracht genommenen, Prof. Newcomb schließt, daß wir mit Hilfe unserer besten Refraktoren und unter den günstigsten atmosphärischen Verhältnissen nicht mehr als  $\frac{1}{10}$  des Lichtes einer Lichtquelle innerhalb eines Kreises von  $0.1''$  Halbmesser zu vereinigen, während  $\frac{1}{10}$  außerhalb dieses Kreises verteilt werden. Die schädliche Wirkung dieses selbstredend erweiterten Lichtes kann aber mit Hilfe geeigneter farbiger Schirme vermindert werden, was in der Tat auf dem Lowell Observatorium gescheht. Newcomb hält jedoch für ausgeschlossen, daß dadurch möglich sei, das helle

<sup>1)</sup> Astrophysical Journal XXVI, 1907 July, S. 1.

Neuen 1907. Blatt 11.

Zentralfeld unter der Grenze von 81" im folgenden.

Indem er dann seine Beobachtungen scheinbar auf eine konstante Lichtquelle ausweitete, kommt er zu dem Ergebnisse, daß ein sehr schwacher schwacher Strich auf hellem Hintergrund, selbst wenn diese unter der gewöhnlichen Grenze steht, mit scharfer Begrenzung in dieser Breite nicht gesehen werden kann, sondern daß der Dunkelheit nur über das Mehrfache dieser wahren Breite ausdehnt und ohne bestimmte Grenze nach außen allmählich abnimmt und verschwindet.

Was die psychologische Seite der Frage anbelangt, so hat Prof. Newcomb eine große Anzahl Versuche über die Sichtbarkeit und Geschwindigkeitsgrenze dunkler Linien auf hellem Hintergrund angestellt, wobei er sich einer Zeichnung bediente, in der mit Tinte dunkle Linien auf Papier gezeichnet waren, die von der einen Seite erleuchtet und aus gegenüberer Seite beleuchtet wurde. Die Linien hatten eine Breite von etwa 0,7 mm, nachdem waren konstant, andere unterschieden, die Breite hatte 1 cm Länge. Im durchgehenden Licht erschienen sie nicht schwarz sondern grau und verschwammen, sehr ähnlich den Linien auf dem Mars im Teleskop. Aus einer Entfernung von 10 m erschienen sie ähnlich als kontinuierlich, wurde die Entfernung vergrößert, so zeigten sich die Unterbrechungen aber nicht plötzlich sondern stufenweise. Der erste Eindruck war, daß die Linien Unregelmäßigkeiten bildeten, in Gestalt von dunklen Tüben oder Ausbuchtungen. Man wird hierbei unmittelbar an die kleinen dunklen Punkte der Merkurfläche erinnert, welche Lowell als Ozean bezeichnet. Auch die Versuche von Maudslayi hat Newcomb wiederholt, nur mit dem Unterschiede, daß er nicht Sekundäres benutzte, um die Linien aus der Ferne gezeichnete Merkurbilder nachzuzeichnen, sondern erhöhte

Beobachter wie der Professorensche Fickling, Bailey, Bernard und Phil. Fox. Das Vorbild war das gesamte Astronomensicht in der Mitte gezeigt, sondern wurde von ihnen gesehen aus solcher Entfernung, in welcher es unter demselben Gesichtswinkel erschien wie bei der gewöhnlich angewandten Vergrößerung der Planeten Mars im Fernrohr. Auf dem Original waren Linien über die durchgehende Unterbrechung, hier und da verdickte und etwas dunklere Stellen gezeichnet, die nach dem Art der Merkurfläche in einzelnen Punkten schienen. Die Nachzeichnungen der genannten Astronomen sind dem Original ähnlich, am besten ist die Zeichnung von Philip Fox, mit bloßem Auge aus 90 Fuß Entfernung angefertigt, nach der die von Bernard aus 95 Fuß Entfernung. Diese Linien geben einen Eindruck wieder wie auf der Professorensche vorgezeichnet war, nicht auch bei ihnen sind die Linien (Kanten) durchgehend ohne Änderung der zehnfachen Unterbrechungen. Das letztere hat allerdings wenig zu sagen, denn die fortlaufenden Unterbrechungen auf der Vorlage sind damit, daß sie in Wirklichkeit gar nicht vorhanden wären. Deshalb hat die Vermutung der Nachbetrachter einen Einfluß auf die Festhaltung und Weitergabe der Linien ausgeübt. Denn während wir andernorts aber erwiesen, daß dieses auch bei dem Abzeichnen der Planeten Mars im Fernrohr der Fall ist, nachdem einmal die Vermutung unmerklicher Linien sich eingestellt hatte. Jedenfalls wird man schreiben, daß jene Astronomen, die mit Ferngläsern von 8 bis 12", 20" Öffnung zahlreiche Merkurbilder gesehen haben wollen und zeichnen, nur Planetenbilder zu Tage fördern, während Astronomen, welche an 10-zölligen und größeren Fernrohren nichts dergleichen sehen, besondere und kritische Beobachter waren. Dunkle Linien ähnlich den Kanten auf den Marszeichnungen von Schiaparelli und Lowell, existieren nicht, aber sie sind nur in den größten

Teleskopengeräte günstigen Bedingungen und von erfahrenen Beobachtern mit Sicherheit zu erkennen. Ob diese Linien so breit sind wie sie dargestellt werden, ist eine andere Frage. Newcomb glaubt, daß die schwarzen Bezüge im Triebkop auf eine wirkliche von mindestens 50 km und mehr hinweise. Lowell hat im Jahre 1861 Marskanäle benannt und katalogisiert. Newcomb bemerkt, daß diese in der Verbesserung (durch Aberration des Lichtes im Fernrohr) von 40 engl. Meilen zusammen eine

Pflicht von 35 Millionen engl. Quadratmeilen bedecken müssen, während die ganze Marsoberfläche nur 35 Millionen Quadratmeilen umfaßt. Wenn die Kanäle gleichzeitig sichtbar, so können sie also nicht entfernt und ihr Verlauf nicht untersucht werden. Bekanntlich sind sie aber auch nicht alle gleichzeitig sichtbar. Schließlich erlauben sich Newcomb gegen die Existenz des ganzen Kanalsystems, ohne indessen die Möglichkeit derselben zu bestreiten.

## Beobachtungen der Venus und des Jupiter auf dem Montblanc.

**A**us der Zeit vom 30. August bis zum 5. September 1904 haben A. Henke und H. Sidank unter sehr günstigen atmosphärischen Verhältnissen die genannten beiden Planeten beobachtet<sup>1)</sup>. Vom Aussehen der Venus haben beide Beobachter 24 Zeichnungen angefertigt, jeder unabhängig von dem andern. Diese Zeichnungen betrie in ihrem allgemeinen Charakter Ähnlichkeit, aber im Detail doch manche Verschiedenheiten. Beide Beobachter sahen z. B. am 3.<sup>h</sup> (mittags) am Nordrande der Venus eine hell gelbe begrenzte Flecke, gegen 10<sup>h</sup> dagegen nur zwei ziemlich weit auseinander. Am 22.<sup>h</sup> zeigte sich am 3.<sup>h</sup> keine scharfe Flecke, hingegen am 10<sup>h</sup> zwei oder drei ziemlich helle. Die Lichtgrenze auf der Venus war am Mittag sehr kerker und hatte vier oder fünf ziemlich tiefe Ausbuchtungen, entsprechend den Eingängen dunkler Flecken, während am 10<sup>h</sup> die Lichtgrenze in der Mitte kerker war und nahe dem Polen nur zwei von schärfer gelblichem dunklen Flecken umschlossene Ausbuchtungen hatte. Drei Flecke in der Mitte der Scheibe,

die am Mittag glühend leuchtete zur Lichtgrenze standen, waren verschwand, und an ihrer Stelle zeigte sich zwei große stumpfe Flecke, deren große Achsen parallel zur Lichtgrenze waren.

Diese Verschiedenheiten scheinen auf eine Rotation des Planeten hinzuweisen, für die auch das sonstige Detail der Zeichnungen spricht, besonders ein heller Fleck, der am 3. September um 12<sup>h</sup> 30<sup>m</sup> am Westrande der Venus erschien und einige Stunden später von zwei parallelen dunkeln Strichen umgeben war, deren Länge merklich gegen 12<sup>h</sup> 10<sup>m</sup> zusammenreichte, die aber wegen Nebel nicht weiter verfolgt werden konnten. Am 4. September fast um dieselbe Stunde wurden dieselben Eigenheiten wieder beobachtet, und zwar entspricht der Ausblick der Venus um 12<sup>h</sup> 15<sup>m</sup> am 3. September dem von 12<sup>h</sup> 15<sup>m</sup> am 4., und ebenso war der um 12<sup>h</sup> 10<sup>m</sup> am 3. dem Aussehen am 4. um 12<sup>h</sup> 35<sup>m</sup> ähnlich. Diese und ähnliche Zeichnungen lassen sich erklären durch eine Rotation der Venus, die wenig schneller ist als die der Erde.

Die Beobachtungen des Jupiter, von dem am 4. September zwischen 3<sup>h</sup> und 5<sup>h</sup> 25<sup>m</sup> sechs Zeichnungen angefertigt

<sup>1)</sup> Compt. rend. des. Proc. 1905, t. 140, p. 1232.



wurden, sind auch von Interesse. Die Bilder waren vollkommen und gestatteten, sehr kleine Flecke und Strichen zu erkennen. Die Äquatorialstreifen hatten eine braune Färbung, die südliche Kante eine deutlich grüne, die nördliche eine bläuliche; letztere war auch dunkler. Der südliche Äquatorialstreifen war sehr unregelmäßig, man sah hier viele Flecke und Strömungen, namentlich an der Basis, wo vor 30 Jahren der rote Fleck erschienen. Man erkannte hier an denselben Stelle die volle Ausdehnung im südlichen Teile des Äquatorialstreifens und an der sah man Strömungen dunkler Substanz, die ins Innere zu dringen und besonders im südlichen Teile schon bis zur Hälfte der Einbuchtung vordringen zu sein schienen. Im Süden des Äqua-

torialstreifens sah man einen Zug vier dunkler Flecke, die einander folgten und um den ganzen Jupiter sieben volle Runden von 4<sup>h</sup> bis 6<sup>h</sup> Durchmesser sah man auf der ganzen Oberfläche des Jupiter in großer Zahl. Am 5. September wurden noch zwei Zeichnungen mit sehr dunkeln und verhellten Strichen auf der Scheibe gefertigt. In und zwischen den Äquatorialstreifen traten sich verschiedene breite Strömungen verschiedener dunkler Masse.

Die atmosphärischen Verhältnisse auf dem Gipfel des Maatiasac gestatten vollkommen scharfe Bilder, so daß diese Beobachtungen einer der günstigsten für das Studium der Planeten zu sein scheint.

## Mikrometernmessungen auf der Jupiterscheibe.

**7** Im Hainlages Refraktor der Universitätssternwarte in Kopenhagen hat H. E. Loo Mikrometernmessungen angestellt.<sup>1)</sup> Jupiter wird zwar vielfach beobachtet, aber da die meisten Beobachtungen nicht in Messungen bestehen, so sind sie zu genauem Untersuchungen nicht zu verwenden. Nach dem Bericht von Loo sind auf der Jupiterscheibe seit der vorigen Opposition durchgehende Veränderungen vor sich gegangen. 1905 bis 1906 war der nördliche Äquatorialstreifen fast völlig verschwunden, nur die schwarzen Zonen II und III zeigten seine Grenzen an. Als die Messungen im November 1905 wieder aufgenommen wurden, erschien der Streifen als eine häufig unterbrochene rauhe Zone, die gegen Süden durch eine schwarze, unregelmäßige, mehrfach durchbrochene Kantenlinie von 60° Breite begrenzt wurde, während eine Nordrand scharf und regelmäßig erschien. An mehreren Abenden konnte der Beobachter nahe

an der Mitte des Streifens eine hell, dunkle Zentralrinne von nur 0° Breite.

Der südliche Äquatorialstreifen erschien ebenfalls wellenförmig, war aber durch eine helle Zentralrinne geteilt, deren Breite zwischen 0° und 0° schwankte. Diese Zentralrinne stand durch mehrere helle «Kanäle» in den Streifen mit den hellen Äquatorialgebieten in Verbindung. Die Umhüllte der sogenannten «Belt» waren recht deutlich, während der rote Fleck selbst nicht mit Sicherheit erkannt werden konnte.

Die nördliche Temperaturreihe Zone war auffallend verschwunden und neblig, die südliche dunkelgrau und 10° breit.

Der 1905 unsichtbare nördliche Polarstreifen war gegenwärtig deutlich geworden. Bei sehr ruhiger Luft erschien dieser 1,5° breite Streifen doppelt, indem er durch eine «Perlschnur» von sehr kleinen Flecken geteilt wurde in der entsprechenden Richtung der nördlichen Hemisphäre vermutete der Beobachter nur einen kulturell schönsten Streifen zu erkennen.

<sup>1)</sup> Astron. Nachr., No. 4067, 4100.

Die nördliche Polarkalotte war grau und zeigte Andeutungen von sehr schwachen Strahlen, während die südliche ohne deutliche Grenzen mit der polaren Gegend zusammenfällt.

Die Lage des roten Flecks hat seit der vorigen Opposition um ein Drittel abgenommen. Die Ursache teilt Liu in dem Vorübergang des Schleiern im April 1905, wie der Vorübergang im Juni 1904 ebenfalls durch eine polare

leiste Abnahme von  $10''$  in der Länge des roten Flecks charakterisiert. Allen dem spricht für die wellenartige Natur der graulich-weißen Masse, welche teilweise am Orte des ursprünglichen roten Flecks befindet.

Aus seinen Messungen der kleinen hellen Fleckchen folgert Liu, daß dieselben sich ungefähr  $45''$  unter der schwachen japanischen Oberfläche befinden.

## Die Flecke auf der Oberfläche des 3. Jupitermondes.

(Hierzu Tafel XII.)

 In an dieser Stelle (Hier mitgeteilt wurde, an in Herrn J. Comas Satz auf dem Observatorium Fabra bei Barcelona am 23. November 1905) ginge, auf der Oberfläche des 3. Jupitermondes deutliche Flecke wahrzunehmen und deren Aussehen am 14-jährigen Jovianer dieser Sternwarte zu zeichnen. Herr Comas Satz hat seine häufigsten Beobachtungen während der größten Erdnähe des Jupiter fortgesetzt und konnte, von vorzüglicher Witterung begünstigt, die volle optische Kraft des Refraktors dabei ausnützen. Er gibt über diese Beobachtungen etwa ausführlichen Bericht? Dabei enthält Zeichnungen vom Aussehen des Trabantens. Letztere sind auf Tafel 12 hier wiedergegeben. Gemäß diesen Zeichnungen sind die dunklen und hellen Flecke, besonders die Polarkalotte des Trabantens sehr auffällig und das Aussehen der Scheibe erscheint in hohem Grade an derartige der Mars in Formsehen von weißer Größe. Als Ergänzung einer gewissen Diskussion seiner Wahrnehmungen, stellt Herr Comas Satz folgende prägnante Sätze auf:

1. Die Sichtbarkeit der nördlichen Polarkalotte des Trabantens ist unabhängig von der Position desselben gegen Jupiter.

2. Diese nördliche Kalotte ist unvergleichlich heller und kontrastier als die südliche; ihre Helligkeit ist ungefähr derjenigen der Polarkalotte des Mars.

3. Wie beim Mars ist die nördliche hellere Kalotte des 3. Jupitermondes, von einem dunklen Rande umgeben, der gegen den Polarkleck die dunkler erscheint.

4. Diese Kalotte ist in Bezug auf ihre Sichtbarkeit sehr veränderlich, abhängig von den wechselnden Zuständen unserer Atmosphäre.

5. Die nördliche Kalotte schien auf die Erde zu liegen. Befindet sie sich auf der Rückseite des Satelliten, so würde die Äquatorialebene desselben mit Beziehung auf seine Bahnzone eine beträchtliche Neigung besitzen.

6. Die dunklen Flecke sind sehr schwer zu erkennen und die schwachen sind in hohem Grade veränderlich.

7. Über die Helligkeitsdauer dieser Satelliten läßt sich Sicheres nicht sagen.

## Die Milchstraße.

**I**n der zweiten Hälfte des 17. Jahrhunderts der Vermutung deutscher Naturforscher zu Dresden hielt Olea Rømer, Wolff (Helmholtz) einen Vortrag über die Milchstraße, dem wir nach einem Bericht folgendes entnehmen:

Man hat die Milchstraße mit einem Stern verglichen, der sich an einer Klippe in zwei Arme brecht, von wo sich weiß ab wieder zu vereinigen. Überall finden sich Buchten und Halbinseln und schwach leuchtende Klümpchen überspannen den Kanal. Die Milchstraße ist, wie Herschel gesagt hat von Sand, den man mit vollen Händen herumschleudert hat, ein schwebendes Durchfließen von Sternen und zarten Nebelwolken. Wenn es schon schwer war für die Menschheit, von ihrem kleinen besetzten Standplatz aus die Lage der Erde in ihrer stehenden Umgebung zu bestimmen, so ist es noch viel schwieriger, sich Aufschlüsse über die Form der unfaßbar großen und unbegrenzten Fixsternwelt zu verschaffen. Die mittlere Linie der Milchstraßenbandes bildet einen großen Kreis rings um uns, so daß jedenfalls unsere Erde mehr in der Ebene der Milchstraße liegt. Seit Platon's Zeiten, also seit 3800 Jahren, bildet das Philosophen im wesentlichen das gleiche Ansehen. Es muß unheimlich groß und ihm klein, indem man halb unbewußt ansehen, daß durchschnittlich alle Sterne gleich groß seien und nur die verschiedene Entfernung sie heller oder schwächer erscheinen lasse, konnte man versuchen, wie es der große Herschel getan hat, die wichtigsten Form der Fixsternwelt zu begründen. Jedes Formrohr wird auch seiner Leuchtkraft bis zu gewissen Tiefen in den Raum gedrängt, und umgeben ist mit aus der Größe des Fixsterns, das diese schwächeren Sterne mehr enthält, abzuschließen, wie weit die Sterne in jeder Himmelsstelle in den Raum hinverstreut. Ebenso läßt sich aus der Zahl der in einem bestimmten Fixstern vorkom-

menen Sterne die Tiefe des sternverfüllen Raumes an einer Himmelsstelle abschätzen, wenn man durchschnittlich gleichmäßige Verteilung der Sterne annimmt. So gelangte Herschel zu dem Bild einer Sternemasse, die in der Richtung der Milchstraße 5<sup>1</sup>/<sub>2</sub> mal so weit in den Raum reicht als nach oben und unten und so durch Projektion des Phänomens der Milchstraße erzeugt. Herschel aber änderte seine Überzeugung im Laufe seines Lebens. Er schloß auch die Helligkeit der Sterne in diese statistischen Untersuchungen ein und glaubte schließlich, daß die Sterne im Weltkosmos nicht selten in Form eines dichten Hago gruppiert seien. In der Folgezeit haben zahlreiche Forscher mit ähnlichen statistischen Untersuchungen beschäftigt. Von ganz besonderer Bedeutung waren die Arbeiten Hage u. Seeliger, der große statistische Untersuchungen unter Benützung aller vorhandenen Sternkataloge anstellte und sagen konnte, daß tatsächlich die Milchstraße nur einen Teil unseres Sternsystems bildet, hervorgetreten zum Teil durch Projektion, zum Teil durch Zusammendrängung zahlloser kleinerer Sternhaufen. Nach ihm ist die Sternemasse ein gewaltiger Kometenkörper, der weit ab von uns gegen die Milchstraße in regelmäßiger Stille größtem Sternstrome aufweist und begrenzt ist. Er schätzte die Grenzen der Milchstraße auf 6000 bis 3000 Lichtjahre Entfernung, d. h. der Lichtstrahl braucht 6000 Jahre, um von dort zu uns zu gelangen, obwohl er in einer Sekunde 300000 km zurücklegt und im Jahr über 30 Millionen Sekunden hat. Unverkennbar, daß die Eigenbewegung der Fixsterne zu Hilfe kommen, führen auf ähnliche Anschauungen. Von dem typischen sterblichen Bild auf die dynamische Form der Milchstraße übertragen, man sterblich Versuche gemacht worden. Eher notwendig besonders die Anschauungen

Erreichte, weshalb die Sternswirl nur große Spalte ist, mit dem Zentrum nach dem Sternbild des Schwanzes hinaus. Anderer Hand einer Reihe neuer Photographien zeigte der Redner dann das selbige große Aussehen der Milchstraße in ihrem ganzen Verlauf, wobei er folgende Gebilde charakterisierte, nach denen Erachteten wird klar, wie schwer es sehr war, diesen komplexen Organismus zu verstehen. Die Eatenische Erklärung der Spinnform des Quasars wird der Ercheinung gut gerecht, weil diese Form eben ganz willkürlich ist und die größte Mannigfaltigkeit zuläßt. Die Dehnenen der Spinnform führte den Redner in die Welt der Spinnwebel des Himmels, die man früher als keine Milchstraßenansammlungen auffaßte. Es wurden die hauptsächlichsten Nebel nach Aussehen mit dem großen Reflektor des Kugelsternobservatoriums im Bild vorgeführt. Am Form und Verteilung dieser Nebelwelt folgt — wie der Redner erwähnte — mit großer Wahrscheinlichkeit, daß alle diese Gebilde Teile unserer Milchstraße sind, und daß es zuerst noch nicht gelungen ist, über die Grenzen der Milchstraße hinaus etwas weiterzukommen. In den letzten Jahren ist man der Milchstraße auch nicht durch die photographische Forderung näher gekommen, und zwar hauptsächlich durch die Verteilung der großen Nebelmassen und sternenreichen Höhlungen, die sich in der Milchstraße finden. Der Redner schloß sich an der Hand einer großen Anzahl photographischer Aufnahmen des Kugelsternobservatoriums die merkwürdigen Er-

scheinungen, die sich aus der Form und Lage dieser Massen in Verbindung mit den sternenreichen Stellen in ihrer Nachbarschaft ergeben haben. Meist ist der Nebel zugleich eine Stelle großer Sternhäufung und wird umschlossen von schwarzen Löchern, wie die Sterne fehlen. Zugleich ergab sich, daß der Nebel immer am Ende solcher Lagunen ruht und die Löcher immer sich vergrößern hat. Es fragt sich, ob hier ein uns unerklärlicher Prozeß vorhanden ist, oder ob diese Massen wohl vor den Sternen ruht; bei uns lagern und nachwachsende Welten immer sich angeschlossen, die die Sterne vorantreiben Augen verhalten. Der Redner zeigte an Beispielen, daß die Nebelmassen und damit die Hüllen in vielen Fällen in unmittelbarer Nähe der Sternhaufen schwimmen können. Zugleich wird nachgewiesen, daß, wenn eine solche Absorptionseigenschaft vorhanden ist, sie sich über fast den ganzen Himmel erstrecken muß, weil die Kante sich so weit horizontal ausstreckt. Man hätte also anzunehmen, daß fast überall solche dunkle Massen lagern und aus der Leuchte der schwachen Sterne leuchten. Wir hatten uns vorgenommen, daß von zwei Seiten her, von unten und oben herab, dunkle Massen herandrängen und uns allmählich die freien Sterne verdrängen haben. Die andere Möglichkeit der Erklärung der Erscheinungen, die dem Redner wahrscheinlich dunkt, liegt in der Annahme eines uns unbekannten Vorganges der Zusammenziehung oder Zerkügelung der Sternswirbel oder vielleicht der Zerkügelung der Leuchtkraft der Sterne.

### Beobachtung der Perseiden 1907.

**V**on Wiederholte der Angelenktriere wurde, wie stiftlich, nach demmal von meiner Seite Beachtung geschenkt. Die Beobachtung wurde durch die Eintreten des Mondes in die Neumondphase am 5. August sehr be-

günstigt, und auch die Witterungsverhältnisse waren im allgemeinen gut. Leider stürte gerade zu dem Tages des Maximums mitternachts Wolkendeckung, besonders am 11. August, wodurch die Beobachtung litt. Am 12. wurden unter-

brochen werden mußte. Auch am 12. wurde sie durch Nebel und Wolken beeinträchtigt, der Himmel zeigte aber in den Morgenstunden auf und die Erscheinung wurde infolgedessen sichtbar. Im ganzen wurden 40 Stunden zur Beobachtung aufgewendet, dabei 186 Meteore gesehen. Von 741, also von dem größten Teile, wurden die schönsten Bahnen in Sternkarten eingetragen und ihre Eigenschaften wie Farbe, Lichtstärke usw. bemerkt. Das Frequenz an den einzelnen Beobachtungstagen war folgende:

Tag	Beobachtet	Anzahl der Meteore	pro Tag
20. Juli	von 6—12h 35m	74	35m
21. Aug.	„ 6—12h 40m	4	40m
22. „	„ 6—12h 30m	3	30m
23. „	„ 6—12h 30m	6	30m
24. „	„ 6—12h 30m	6	30m
25. „	„ 6—12h 30m	6	30m
26. „	„ 6—12h 30m	6	30m
27. „	„ 6—12h 30m	6	30m
28. „	„ 6—12h 30m	6	30m
29. „	„ 6—12h 30m	6	30m
30. „	„ 6—12h 30m	6	30m

Die häufigste Frequenz an den einzelnen Beobachtungstagen stellte sich wie folgt:

Tag	Beobachtet	Anzahl der Meteore	pro Tag
20. Juli	von 6—12h 35m	74	35m
21. Aug.	„ 6—12h 40m	4	40m
22. „	„ 6—12h 30m	3	30m
23. „	„ 6—12h 30m	6	30m
24. „	„ 6—12h 30m	6	30m
25. „	„ 6—12h 30m	6	30m
26. „	„ 6—12h 30m	6	30m
27. „	„ 6—12h 30m	6	30m
28. „	„ 6—12h 30m	6	30m
29. „	„ 6—12h 30m	6	30m
30. „	„ 6—12h 30m	6	30m

Das Maximum der Erscheinung fiel sowohl in die Frühstunden des 12. Aug. Von den Radiationspunkten waren die bei  $\delta$  Orionis und  $\delta$  Ursa minoris gezeichnet am meisten tätig. Die Perioden scheinen sich in einer Periode des Maximums zu befinden, da es genau nur 48 Meteore also ca. 6%, dem Perseidenstrome entsprachen. Außerhalb liefen auch die Radiationspunkte bei  $\alpha$  und bei  $\gamma$  Cassiopeiae traten bei  $\delta$  Trianguli. Auch die Strahlungsquelle bei  $\alpha$  Aurigae und nördl.  $\delta$  Arietis liefen eine große Anzahl von Meteoren. Es wurden 47 zur ersten, 104 zur zweiten und 180 zur dritten, die zudem in nachgegrößer Größenklasse gestift. Der Farbe nach waren 20 hellgrün, 5 gelb, 3 gelbrot, 1 rot, alle andern weiß. Die sekundären Bahnen waren im allgemeinen gestilgt, wenige schwach gekrümmt oder weit waben-

förmig. Von einzelnen glanzvollen Phänomenen sei jenes vom 29. Juli 11h 35m mit, wenig Zeit besonders erwähnt. Dessen Meteor hatte seinen Ursprung in ca. A.R. = 15h 32m  $\delta$  = +35°, war von intensiver gelber Farbe und starker Leuchtkraft. Es endete in A.R. = 13h 54m  $\delta$  = +42° mit gleichem Quantität. Der hinterlassene Lichtstrahl war nach noch einer Minute mit dem Auge leicht erkennbar. Schließend war eine weitere Erscheinung zu erwähnen.

Bei besonderem Interesse hinsichtlich der Beobachter allerdings der schon oben erwähnten Kometen (1897 d), der zu dieser Zeit erschienen die Helligkeit eines Sterns zweiter Größe erreicht hatte und es mag, nach dem schied sein, wenn eines der Meteor unbemerkt erschienen. Da sich die Bahn dieses Kometen nach den Elementen von Kreutzinger zu Kreutz der Erdbahn

bis zu 9000 Fußsechshundert reicht, so war es merkwürdig möglich, daß wir bis zum 12. September, wo die Erde jene Stelle erreichte, einen mehr oder weniger starken Seeschwammesschiff erwarteten konnten. Es wurde deshalb von mir schon am 11. September von 9 bis 14<sup>h</sup> vorzugsweise die Gegend  $146^{\circ}D = +3^{\circ}$ , von wo aus dann, mit dem Komplex zusammenhängenden Meteoriten erscheinen mußten, beobachtet, und es waren wohl 15, von denen die

Vorführung der Meteoriten nach rückwärts während nach vorne Punkte konvergieren. In der folgenden Nacht am 12. September von 9 bis 12<sup>h</sup> kamen jedoch nur drei solcher Meteoriten unter 12 beobachtet worden. Der Zusammenhang also, der am 11. und 12. September beobachteten Seeschwammesschiff mit dem Komplex 146<sup>h</sup>D war demnach sehr wenig ausgeprägt.

G. Herglotz,  
Wörlitz bei Wien.

### Vermischte Nachrichten.

Die letzte Staatsbedecktheit am 3. Januar 1908 wird bei uns nicht sichtbar sein. Sie beginnt auf der Erde überhaupt Januar 3 12<sup>h</sup> 25<sup>m</sup> mittl. Zeit von Greenwich und endet auf der Erde überhaupt Januar 3 12<sup>h</sup> 25<sup>m</sup>. Die letzte Dauer der Totalität beträgt 4<sup>m</sup> 50<sup>s</sup> für einen Ort von  $143^{\circ}43'$  nördliche Länge von Greenwich und  $51^{\circ}51'$  nördliche Breite.

Über die Bewohner des Planeten Merk selbst sich jagt der bekannte Phantasievolker Holst J. Pohl in folgender Weise. Man kann zunächst nur sagen, daß die Existenz von Menschen (d. h. intelligenten Merkwesen) ganz gut möglich ist, weil dafür alle uns geliebten Bedingungen gegeben sind. Man ist aber vorzeitiggegangen und hat in den Merkwesen gewisse Werke von Menschenhand erblickt. In der Tat ist der merkwürdige, oft sehr grobe und manchmal mit der Naturähnlichkeit zusammenhängende Zug dieser Gebilde ein hervorragendes Merkmal für diese Schöpfung! Ob diese Kräfte in der Tat in einer ganzen Länge von derselben Breite sind oder nur die Auswanderung von punktförmigen Gebilden, unterliegt man der Annahme zu, daß diese Regelmäßigkeit nicht ganz der gleichen Natur zuzuschreiben ist. Man ist darüber fast einzig, daß die

Existenz der Kräfte, beziehungsweise der Schichten, mit dem Abstreifen der Gesteine von den Polen gegen den Äquator zusammenhängt, und da ist es ungemein aufzufallen, daß, wenn die Kräfte Gebilde der bewohnenden Natur waren, sie nicht über den Äquator reichen könnten, sondern vor ihm Halt machen müßten. Daß diese Kräfte aber noch weit über den Äquator sich erstrecken, ist das wichtigste Argument dafür, daß es hier nicht ganz mit natürlichen Dingen zutrifft, sondern daß Menschenwerk eingegriffen haben, nicht einmal die Existenz der Kräfte spricht so für die Annahme von Menschen als gerade dieser Umstand. Und man lassen wir der Phantasie noch ein wenig mehr Spielraum. Wenn man Wasser besitzt, so ist das von uns als Wasserannahmen angesehen. Auch so klein, daß man täglich von einer großen Wasserwelt sprechen kann. Man wird auch dann durch das so selten vorkommende Anzeichen von Wellenbildungen bestätigt. Und man durch so wichtige Lebensbedingung so intensiv als möglich auszunutzen, muß es überall dort, wo es möglich ist, zu finden. Die Merkwesen haben daher dem Wasser seinen Lauf durch Anlagen vorgeschrieben, Tage über sich selbst, selbst die bedrückende Natur erfüllt, Vegetation entwickelt. Das Eingreifen der Merkwesen hat keinen

bei zu diesen regelmäßigen Bildungen, die die Kasse bilden, bestritten. Es ist daher selbstverständlich, daß die Gebirge, die wir als Kanal sehen, nicht in einer solchen Reihe eine Wasserführung sind, sondern es kann in der Tat nur die sehr seltener Ströme sein, von dem aus das umliegende Land bewässert wird. Daß aber das Wasser über den Äquator hinwegfließt, dazu dürften die Hindernisse gegen Hebevorrichtungen genügen haben, da, wie gesagt, diese Erscheinung sich sonst schwer erklären läßt. Folgendes wir uns zum Schluss an einen Punkt im Weltmeere, der von Mars ebenso weit weg ist als die Erde und als die Erde vom Mars. Ich nehme nun an, daß wir gar nichts von der Menschheit des Erdballs wüßten und wir mit Paracelsus beide Himmelskörper beobachten würden. Es kann dann ein Engel und sage uns, einer dieser beiden Planeten sei von intelligenten Wesen bewohnt und wir sollten raten, welcher es sei, so würden wir sicher auf Mars raten und nicht auf die Erde. Denn die Erde bietet, soweit wir uns die Bild davon machen können, nichts, was den auf dem Mars vor sich gehenden Veränderungen gleich wäre, und selbst durch kein Zeichen unsere Aufmerksamkeit. Wenn wir aber fragten, daß Man von Menschen bewohnt sei, dann können wir bei dem Umstände, daß Mars wahrscheinlich viel früher organisiertes Leben beherbergen konnte als die Erde, noch die weitere Folgerung ziehen, daß diese Menschen weiter in der Kulture und in den Wissenschaften vorgeschritten sind als wir. Ihre größte Sorge wird aber sein die vergebliche Anstrengung des vorhandenen Wasservorrates sich zu nähren.

**Sichtbarkeit der dunklen Seite der Venus.** Diese ziemlich seltene Erscheinung wurde am 28. Nov. 1906 auf dem Observatorium zu Princeton von H. Norris Russell und Zachary Davis gesehen. Am ganzen Tage 2-7<sup>h</sup>

mittleren Teil von Greenwich wurde Venus am folgenden Sonntage des großen Refraktors eingestrichelt, etwa 1<sup>h</sup> 45' von Meridiane der Sonnenhöhe entfernt. In den Momenten ruhiger Luft schien die Beobachter deutlich den ganzen Umfang der Planetenoberfläche. An der Seite gegen die Sonne hin war sie hell und leicht sichtbar, in der entgegengesetzten dagegen schwach und unkenntlich nur auf ein paar Sekunden erkennbar. Wenn der vollständige Umfang der Scheibe erkennbar war, so schien der untere Rand stets etwas dunkler als der obere. Die Beobachter vermuten, daß dies eine sehr kleine Erscheinung war, da sie nicht sehr gemessen wurde, wenn der hellere Teil des Ringes sichtbar war. Venus wurde auch am 27. Nov. und 4. Dez. zu Princeton beobachtet und der Himmelsbogen in der Himmelskarte gezeichnet und gemessen. Er betrug etwa 70°.

Der Saturnring konnte auf der Konstanzer Sternwarte zu Bamberg am 29. Juli 1905 bei vollkommen klarem Himmel nicht erkannt werden, dagegen ergab er sich August 2 sehr schön als rote Linie.

**Ein großer Meteor.** Unter ganz ungewöhnlichen Umständen zog am 8. August abends 10<sup>h</sup> 30<sup>m</sup> südwestlich europäischer Zeit ein glänzendes Meteor über den Belgrader Horizont dahin.

Zweifellos wäre darüber schon längst umfassende Besuche und Beobachtungen erfolgt, hätte sich die Himmelerkenntnis nicht gerade in einer Gegend Europas ereignet, wo solch wichtige Beobachter nicht spärlich verteilt sind.

Durch Zufall begünstigt, war es mir beschieden das Phänomen von seinem ersten Aufleuchten an bis zum völligen Verschwinden durch eigenes Aussehen zu beobachten.

Um die besagte Stunde kam (früher ist die Minute nicht genau angegeben)

knackte plötzlich, dem Auge kaum bemerklich, aus Sternschnuppe im Sternenschein auf und schied im ersten Momente, verfiel gegen den Horizont zu fallen, bog dann, an Licht und Größe nur wenig zunehmend, in einer sehr raschen Flucht zum Horizont aufsteigend ab, stieß gegen den Beobachter aus, gleichzeitig wurde mehr nach rechts (gegen West) abweichend bis zu einem Anfang der 3. Sekunde bei schon fast horizontaler und direkt nach West gerichteter Bahn die Richtung nach dem Stern  $\epsilon$  und  $\delta$  des Opheusides nahm, ziemlich stark rechtsabwärts gewendet aufleuchtend und ebenso plötzlich erlosch. Die ganze Dauer des Phänomens, vom ersten Aufleuchten bis zum Verlöschen, betrug unserer Schätzung nach 3, höchstens 4 Zehntelkunden betragen haben. Der am Horizonte zurückgelegte Weg dürfte dem Bogen von  $30$  bis  $40^\circ$  entsprechen. Die Höhe des Phänoms, in dem das Phänomen plötzlich erlosch, nach  $25^\circ$  über dem Horizonte betragen. Auffallend bei der Erscheinung waren folgende Momente:

1. Kosmische Geschwindigkeit der Bewegung (des Fallens) beim ersten Aufleuchten der dem freien Auge damals kaum wahrnehmbaren Meteor.

2. Die rapide, aber schon bedeutend vergrößerte und beständig abnehmende Fluggeschwindigkeit des schon zu gewöhnlicher Sternschnuppengestirne herangewachsenen Meteors, dessen Bahn sich nun stark senklich gegen rechts (West) bogen.

3. Das Meteor leuchtete nun nochmals und plötzlich so stark auf, daß es Menschenkinder über die Umgebung verbreitete (wegen der Helligkeit des hellerscheinenden Meteors entsprechend). Aus dem Meteor entwickelte sich eine Bolide in der Wortwahrer Bedeutung. Deren Flugbahn ging senklich rechts und fast parallel mit der Horizontebene, ihre Fluggeschwindigkeit war auffallend gering. Die Bolide erschien plötzlich  $20$  bis  $25^\circ$  hoch über dem Horizonte, ohne irgend ein Geräusch. Die Farbe

der Bolide war intensiv weiß, nahezu Defektfrei nach am Beobachtern der Farbe eines bei der Wellglut erhitzten Stahlblocks. Auf der Glühkammer nach rechts abweichend, war dieselbe nach dem zweiten Aufleuchten deutlich zu erkennen und der Glühkörper schied ausgeprägt, knallartig, mit vom abgerundeten Rückwärts in eine stumpfe etwas längliche Spitze unterlaufenden Ende.

Der Vollmondurchmesser zu 31 Minuten angenommen, machte das Boliddiаметр in der letzten Sekunde  $8$  bis  $9$ , in der Längenscheit  $10$  bis  $11$  Bogensekunden groß sein. Ganz eigentümlich war es, daß die Feuerkugel, nachdem sich derselbe (nach dem zweiten Aufleuchten) als solche eingeklappt, meist die kleinste Spur von Funkenstrahlen oder Schweiß oder Rauchbildung zeigte, es war nicht einmal eine Dampfbildung dazu zu bemerken, man sah eben die Bolide in wirklich deutlich abgrenzbarer aber beobachtbarer Gestalt. Nach dem Verlöschen, blieb keine Spur von der ganzen Erscheinung.

Belgrad, 18. August 1907.

P. Marashevitch.

**Spektrum des Kometen 1897 d.**  
Auf der Göttinger Sternwarte hat H. Rossherg photographische Aufnahmen dieses Spektrums ausgeführt<sup>1)</sup> und zwar am 9., 13. und 14. August. Diese Aufnahmen zeigen ein Quaspektrum, in welchem zunächst die beiden charakteristischen Banden der Wellenlängen  $\lambda = 4130$  und  $\lambda = 3687$  auftreten, ferner ein kontinuierliches Spektrum, das sich von der Wellenlänge  $\lambda = 5050$  bis  $5700$  erstreckt. Die letzte Bande im Blau tritt mit der ersten Kalkiondoffenonde (Wellenlänge  $\lambda = 4311$ ) zusammen, die andere charakteristische Bande tritt zusammen mit der 3. Calciume.

Die Bahn des Planeten der Jupitergruppe Petrus (1906 VI) ist von

<sup>1)</sup> Astron. Nachr., Nr. 4505.



Viktor Heinrich von Besteckungen zwischen 1900 Okt. 21 und Dez. 7 berechnet worden<sup>1)</sup>. Hieraus ergibt sich die mittlere tägliche Bewegung des Planeten zu  $369.659''$ , während die mittlere Bewegung des Jupiter  $269.1261''$  beträgt. Die halbe große Achse des Planeten ist  $= 5.1620$  (die des Jupiter  $= 5.202798$ ), die Exzentrizität  $= 0.14382$ .

**Der Planet Eros in der Erdnähe.**  
Dauer kleine Planet, dessen Bahn größtenteils innerhalb der Merkurbahn liegt, erscheint Anfangs November eine diesseitige Erdnähe, bei der er uns (vielleicht nicht so nahe kommt als im Winter 1900 bis 1901. Er bewegt sich als Sternchen II. Größe nördlich durch das Sternfeld der Andromeda in sehr guter Observationsstellung mit der Voraussetzung von 1900 bis 1901 und teilweise zahlreiche Observationsmessungen des Eros auf vielen Sternwarten angestellt worden, um daraus die Entfernung desselben von der Erde und die der letzteren von der Sonne abzulesen. Diese Beobachtungen sind noch nicht alle berechnet worden, allein so viel hat sich

schon herausgestellt, daß der wahre Wert der Sonnenentfernung von der Erde nicht viel von 1495 Millionen Kilometer abweichen kann. Daß die diesseitigen Oppositionen des Eros werden ähnlicher Beobachtungen angestellt, außerdem auch solche über die schon beim Helixpunkt dieses Planeteniden, in diese Schwankungen zeigt, welche auf eine sehr unregelmäßige Gestalt desselben schließen lassen.

**Neuer Komet (1907 u.).** Am 14. Oktober wurde von Helix auf der Sternwarte zu Madona ein neuer Komet entdeckt, der schon als einem Opposition gesehen worden konnte. Sein Ort war am 16. Okt.  $19^h 54.4^m$   $\pm$   $21^\circ$  von Kopernikus.  $AR = 125^\circ 58'$   $12''$   $D = - 4^\circ 26' 2''$ .

**Forschere für Freunde der Himmelsbeobachtung.** Aus dem Lachtrivier des „Sonnen- und ein solcher großer und kleiner sehr gut erhaltenen Forschere vom Verkauft angestellt werden. Freunden der Himmelsbeobachtung, welche die Anschaffung eines solchen Instrumentes beabsichtigen, und sich deshalb an mich wenden, bis ich in jeder gewünschten Auskunft gern bereit. Prof. Dr. Klein.

<sup>1)</sup> Astron. Nachr., No. 493.

## Stellungen der Saturnmonde. (Erläuterung S. 26)

Zeitraum der mittleren Elongationen im Januar 1900

**Tethys.** Januar 1.  $10^h 5'$ , Januar 2.  $12^h 15'$ , Januar 1.  $10^h 25'$ , Januar 7.  $10^h 5'$ , Januar 8.  $12^h 15'$ , Januar 11.  $10^h 5'$ , Januar 12.  $12^h 15'$ , Januar 13.  $10^h 5'$ , Januar 16.  $10^h 5'$ , Januar 17.  $12^h 15'$ , Januar 21.  $10^h 5'$ .

**Dione.** Januar 1.  $10^h 5'$ , Januar 2.  $12^h 15'$ , Januar 3.  $10^h 5'$ , Januar 7.  $10^h 5'$ , Januar 12.  $10^h 5'$ , Januar 13.  $12^h 15'$ , Januar 17.  $10^h 5'$ , Januar 20.  $10^h 5'$ .

**Rhea.** Januar 1.  $10^h 5'$ , Januar 2.  $12^h 15'$ , Januar 10.  $10^h 5'$ , Januar 13.  $10^h 5'$ .

**Titan.** Januar 1.  $10^h 5'$ , Januar 1.  $10^h 5'$ , Januar 13.  $10^h 5'$ , Januar 15.  $10^h 5'$ , Januar 16.  $10^h 5'$ .

**Hyperion.** Januar 17.  $7^h 55'$ .

# Astronomischer Kalender für den Monat Januar 1908.

Tag v. J.	Sonne			Mond		
	Ältester Berliner Messg.			Ältester Berliner Messg.		
	Zeitgl. M. L. — W. Z.	Rektascension	Declination	Rektascension	Declination	Mond im Meridian
1	h m s	h m s	° ' "	h m s	° ' "	h m
2	4 3 19	20 45 49.0	-12 5 47.6	25 17 28.4	-10 1 37.8	12 42.6
3	4 3 48	20 46 56.3	-12 5 17.8	27 11 9.44	-10 29 34	13 38.1
4	4 4 22	20 47 16.1	-12 48 9.8	28 52 59.11	-12 34 38.0	—
5	4 5 12	20 47 18.78	-12 38 54.7	29 28 39.60	-13 20 55.8	0 40.6
6	4 5 55	20 47 34.66	-12 28 30.5	30 34 56.31	-16 49 34.8	1 38.6
7	4 59 56	20 4 2 3.0	-12 20 31.1	31 30 33.50	-23 56 2.0	2 46.6
8	4 59 49	20 4 36.98	-12 31 4.9	31 55 34.45	-34 56 58.1	3 48.1
9	4 57 17	20 3 48.78	-12 38 44.1	32 36 34.95	0 26 47.4	4 50.6
10	4 57 54	20 27 13.78	-12 16 54.7	4 39 37.7	0 19 5.3	5 52.6
11	4 52 55	20 21 42.4	-12 7 39.3	5 18 18.37	+ 3 28 51.8	7 5.6
12	4 53 19	20 20 56.88	-11 58 57.8	7 8 57.88	0 53 51.8	8 56.6
13	4 5 17	20 20 16.78	-11 48 33.2	8 28 18.68	20 15 56.2	7 43.6
14	4 56 57	20 21 38.73	-11 48 17.8	9 28 9.68	38 59 18.8	6 57.6
15	4 55 56	20 22 12.88	-11 38 56.7	10 27 34.68	58 56 49.6	5 45.6
16	4 50 22	20 22 17.81	-11 18 44.6	11 24 4.1	89 56 59.8	46 39.6
17	4 51 13	20 21 58.83	-11 3 56.4	12 1 28.68	12 24 43.4	36 45.6
18	4 52 35	20 21 44.24	-10 57 57.6	12 5 59.33	23 49 19.4	21 42.1
19	5 13 19	20 20 1.97	-10 48 33.2	12 13 51.81	33 1 32.1	11 38.7
20	5 20 17	20 18 59.08	-10 26 53.6	13 48 33.43	38 55 56.7	13 17.6
21	5 30 49	20 1 58.33	-10 33 6.1	14 30 36.90	47 47 36.1	14 5.1
22	5 41 19	20 0 52.76	-10 3 14.3	15 16 15.17	55 55 59.4	14 27.6
23	5 50 56	20 0 48.84	-10 48 9.6	16 5 37.93	18 49 4.1	10 51.6
24	5 52 53	20 0 17.83	-10 42 55.9	17 51 18.73	0 29 18.4	10 17.7
25	5 48 28	20 0 29.93	-10 28 48.1	18 24 43.33	+ 0 42 57.8	16 59.7
26	5 43 18	20 0 12.68	-10 16 39.5	18 50 58.70	— 0 0 9.4	27 43.6
27	5 37 48	20 0 2.13	-10 10 53.9	19 16 33.65	7 16 12.8	38 36.6
28	5 30 54	20 0 1.93	-10 16 47.7	19 4 47.68	17 55 18.6	48 30.1
29	5 22 17	20 0 11.36	-10 25 48.5	19 54 59.37	18 41 19.7	58 44.7
30	5 13 11	20 0 19.78	-10 16 47.9	20 42 3.68	19 43 19.7	70 38.6
31	5 2 35	20 0 37.88	-10 7 7.4	21 53 33.31	20 1 23.9	82 38.4
32	5 12 59 48	20 0 58.78	-10 6 31.6	23 17 59.88	-22 42 38.8	93 30.7

## Fluchtbeobachtungen 1908

Januar	1	7 1/2	Venus in größter südlicher Breite.
"	12	8	Sonne in der Ekliptik.
"	13	9	Merkur in Konjunktion mit dem Monde
"	15	—	Äquinox
"	16	10	Sonne in Konjunktion mit der Sonne.
"	17	11	Sonne in Opposition mit der Sonne
"	18	12	Venus in Konjunktion mit dem Monde
"	20	13	Merkur in Konjunktion mit Venus. Merkur 1° 43' süd
"	21	14	Sonne in Konjunktion mit dem Monde
"	22	15	Merkur in kleiner Konjunktion mit der Sonne
"	23	16	Jupiter in Konjunktion mit dem Monde
"	24	17	Merkur in größter südlicher Breite.
"	25	18	Mars in entgegengesetzter Äpoön.
"	27	19	Jupiter in Opposition mit der Sonne

Planeten-Ephemeriden.

Mittlere Berliner Mittag						Mittlere Berliner Mittag												
Monat Tag	Rektascension			Declination	Oblate Reaktion during	Tag	Rektascension			Declination	Oblate Reaktion during							
	h	m	s				h	m	s									
1908																		
Merkur																		
Jan. 1	16	56	41.43	-34 26	2.9	24 48	11	22	56	46.89	-8 32 39.9	0.36						
10	16	55	34.55	-34 46 46.5	26 57	11	22	56	37.78	-8 33 27.1	0.19							
15	16	57	57.25	-35 02 55.9	30 15	11	22	56	20.94	-8 33 53.8	0.48							
20	16	59	27.90	-35 12 57.9	30 29	11	22	56	44.56	-8 33 54.6	0.9							
25	16	59	29.97	-35 13 58.9	30 45													
30	16	58	19.43	-35 17 58.5	31.9													
Venus																		
Jan. 1	0	28	57	4.83	-23 37 12.0	0.9	0	28	57	4.83	-23 37 12.0	0.9						
10	0	28	52	8.70	-23 42 52.0	0.9	0	28	52	8.70	-23 42 52.0	0.9						
15	0	28	42	15.83	-23 44 47.9	0.9	0	28	42	15.83	-23 44 47.9	0.9						
20	0	28	30	26.47	-23 46 46.9	0.9	0	28	30	26.47	-23 46 46.9	0.9						
25	0	28	16	39.60	-23 48 47.9	0.9	0	28	16	39.60	-23 48 47.9	0.9						
30	0	28	0	54.73	-23 50 49.9	0.9	0	28	0	54.73	-23 50 49.9	0.9						
Mars																		
Jan. 1	18	48	12.07	-1 58 22.0	0.36	18	48	12.07	-1 58 22.0	0.36	18	48	12.07	-1 58 22.0	0.36			
10	18	48	11.10	-1 58 30.0	0.46	18	48	11.10	-1 58 30.0	0.46	18	48	11.10	-1 58 30.0	0.46			
15	18	48	10.13	-1 58 38.0	0.57	18	48	10.13	-1 58 38.0	0.57	18	48	10.13	-1 58 38.0	0.57			
20	18	48	9.16	-1 58 46.0	0.67	18	48	9.16	-1 58 46.0	0.67	18	48	9.16	-1 58 46.0	0.67			
25	18	48	8.19	-1 58 54.0	0.77	18	48	8.19	-1 58 54.0	0.77	18	48	8.19	-1 58 54.0	0.77			
30	18	48	7.22	-1 59 02.0	0.87	18	48	7.22	-1 59 02.0	0.87	18	48	7.22	-1 59 02.0	0.87			
Jupiter																		
Jan. 1	0	58	42.56	+17 53 18.0	12 20	0	58	42.56	+17 53 18.0	12 20	0	58	42.56	+17 53 18.0	12 20			
10	0	58	39.50	+17 53 58.0	12 38	0	58	39.50	+17 53 58.0	12 38	0	58	39.50	+17 53 58.0	12 38			
15	0	58	36.44	+17 54 38.0	12 56	0	58	36.44	+17 54 38.0	12 56	0	58	36.44	+17 54 38.0	12 56			
20	0	58	33.38	+17 55 18.0	13 14	0	58	33.38	+17 55 18.0	13 14	0	58	33.38	+17 55 18.0	13 14			
25	0	58	30.32	+17 55 58.0	13 32	0	58	30.32	+17 55 58.0	13 32	0	58	30.32	+17 55 58.0	13 32			
30	0	58	27.26	+17 56 38.0	13 50	0	58	27.26	+17 56 38.0	13 50	0	58	27.26	+17 56 38.0	13 50			
Saturnus																		
Jan. 1	22	22	56	89	-8 32 39.9	0.36	22	22	56	89	-8 32 39.9	0.36	22	22	56	89	-8 32 39.9	0.36
10	22	22	56	37.78	-8 33 27.1	0.19	22	22	56	37.78	-8 33 27.1	0.19	22	22	56	37.78	-8 33 27.1	0.19
15	22	22	56	20.94	-8 33 53.8	0.48	22	22	56	20.94	-8 33 53.8	0.48	22	22	56	20.94	-8 33 53.8	0.48
20	22	22	56	44.56	-8 33 54.6	0.9	22	22	56	44.56	-8 33 54.6	0.9	22	22	56	44.56	-8 33 54.6	0.9
Uranus																		
Jan. 1	21	14	47.93	-23 23 39.9	0.19	21	14	47.93	-23 23 39.9	0.19	21	14	47.93	-23 23 39.9	0.19			
10	21	14	47.93	-23 23 39.9	0.19	21	14	47.93	-23 23 39.9	0.19	21	14	47.93	-23 23 39.9	0.19			
15	21	14	47.93	-23 23 39.9	0.19	21	14	47.93	-23 23 39.9	0.19	21	14	47.93	-23 23 39.9	0.19			
20	21	14	47.93	-23 23 39.9	0.19	21	14	47.93	-23 23 39.9	0.19	21	14	47.93	-23 23 39.9	0.19			
25	21	14	47.93	-23 23 39.9	0.19	21	14	47.93	-23 23 39.9	0.19	21	14	47.93	-23 23 39.9	0.19			
30	21	14	47.93	-23 23 39.9	0.19	21	14	47.93	-23 23 39.9	0.19	21	14	47.93	-23 23 39.9	0.19			
Neptun																		
Jan. 1	0	44	48.88	+23 23 39.9	0.19	0	44	48.88	+23 23 39.9	0.19	0	44	48.88	+23 23 39.9	0.19			
10	0	44	48.88	+23 23 39.9	0.19	0	44	48.88	+23 23 39.9	0.19	0	44	48.88	+23 23 39.9	0.19			
15	0	44	48.88	+23 23 39.9	0.19	0	44	48.88	+23 23 39.9	0.19	0	44	48.88	+23 23 39.9	0.19			
20	0	44	48.88	+23 23 39.9	0.19	0	44	48.88	+23 23 39.9	0.19	0	44	48.88	+23 23 39.9	0.19			
25	0	44	48.88	+23 23 39.9	0.19	0	44	48.88	+23 23 39.9	0.19	0	44	48.88	+23 23 39.9	0.19			
30	0	44	48.88	+23 23 39.9	0.19	0	44	48.88	+23 23 39.9	0.19	0	44	48.88	+23 23 39.9	0.19			
Pluton																		
Jan. 1	0	44	48.88	+23 23 39.9	0.19	0	44	48.88	+23 23 39.9	0.19	0	44	48.88	+23 23 39.9	0.19			
10	0	44	48.88	+23 23 39.9	0.19	0	44	48.88	+23 23 39.9	0.19	0	44	48.88	+23 23 39.9	0.19			
15	0	44	48.88	+23 23 39.9	0.19	0	44	48.88	+23 23 39.9	0.19	0	44	48.88	+23 23 39.9	0.19			
20	0	44	48.88	+23 23 39.9	0.19	0	44	48.88	+23 23 39.9	0.19	0	44	48.88	+23 23 39.9	0.19			
25	0	44	48.88	+23 23 39.9	0.19	0	44	48.88	+23 23 39.9	0.19	0	44	48.88	+23 23 39.9	0.19			
30	0	44	48.88	+23 23 39.9	0.19	0	44	48.88	+23 23 39.9	0.19	0	44	48.88	+23 23 39.9	0.19			

Stärkenerhebungen durch den Mond für Berlin 1908.

Abendtag	Jahr	Größe	Mittlere Zeit		Sonnen mittlere Zeit	
			h	m	h	m
Jan. 17	1. Linsenraum	1.1	0	24	0	20.1

Lage und Größe der Seinerhebungen  
ist für zum Jahr 1908 nicht zu bestücken

Jan. 11.	Mittlere Scheite der Ekliptik	28° 27' 4.40"
	Wahre " " "	28° 27' 0.11"
	Mittlere der Sonne	28° 21.01"
	Parallaxe " " "	0.94"

Stellungen der Jupitermonde im Januar 1909.



Stellungen am 124. bis zum Abend im astronomischen Kalender.

Tag	West		Östl.
1		1 1 0	1 1 1
2		1 1 0	1 1 1
3		1 1 0	1 1 1
4		1 1 0	1 1 1
5		1 1 0	1 1 1
6		1 1 0	1 1 1
7		1 1 0	1 1 1
8		1 1 0	1 1 1
9	0 1	1 1 0	1 1 1
10		1 1 0	1 1 1
11		1 1 0	1 1 1
12		1 1 0	1 1 1
13		1 1 0	1 1 1
14		1 1 0	1 1 1
15		1 1 0	1 1 1
16		1 1 0	1 1 1
17		1 1 0	1 1 1
18		1 1 0	1 1 1
19		1 1 0	1 1 1
20		1 1 0	1 1 1
21		1 1 0	1 1 1
22		1 1 0	1 1 1
23		1 1 0	1 1 1
24		1 1 0	1 1 1
25		1 1 0	1 1 1
26		1 1 0	1 1 1
27		1 1 0	1 1 1
28		1 1 0	1 1 1
29	0 1	1 1 0	1 1 1
30	0 1	1 1 0	1 1 1
31		1 1 0	1 1 1

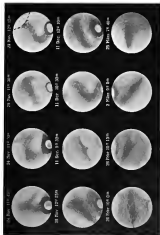
**Ercheinungen der Jupitermonde.** Die stündlichen Angaben über die Ercheinungen der Jupitermonde beziehen sich auf mittleres Zeit von Greenwich. Die Trabanten sind der Reihenfolge ihres Absterbens vom Jupiter nach mit I bis IV bezeichnet. Die vier größten Figuren zeigen die Stellung jedes Mondes mit Bezug auf den Jupiter bei dem Ausbruch der Verfinsternung (M) oder des Wiedererscheinens (W). Im I nicht angegeben, so kann der Ausbruch aus dem Schatten nicht beobachtet werden. Ferner bedeutet bei den nachfolgenden Zeitangaben:

- Er D das Verschwinden des Trabanten im Schatten des Jupiter.
- Er E den Ausbruch des Trabanten aus dem Schatten des Jupiter.
- Co D das Verschwinden des Trabanten hinter den Jupitermeridian.
- Co E das Wiedererscheinen desselben neben der Jupitersehne.
- Tr I den Eintritt des Trabanten zur der Jupitersehne.
- Tr E den Austritt des Trabanten aus der Jupitersehne.
- St I den Eintritt des Trabanten in die der Jupitersehne.
- St E den Austritt des Trabanten aus der der Jupitersehne.

Es sind nur diejenigen Erscheinungen der Jupitermonde aufgeführt, welche sich zu eignen, wenn Jupiter zu Greenwich über und die Sonne unter dem Horizont steht. Um die Momente dieser Erscheinungen nach mathematischer Zeit zu haben, hat man nur nötig, 24 zu den angegebenen Zeitangaben zu addieren.

Januar I. I Er D 21<sup>h</sup> 10<sup>m</sup> 47<sup>s</sup>. I Co E 10<sup>h</sup> 12<sup>m</sup>. Januar 2. I St I 1<sup>h</sup> 11<sup>m</sup>. I Tr I 1<sup>h</sup> 13<sup>m</sup> 31<sup>s</sup>. I St E 11<sup>h</sup> 13<sup>m</sup>. I Tr E 10<sup>h</sup> 14<sup>m</sup>. IV St I 10<sup>h</sup> 12<sup>m</sup>. IV Tr E 10<sup>h</sup> 12<sup>m</sup>. I Er D 21<sup>h</sup> 11<sup>m</sup> 10<sup>s</sup>. I Co E 10<sup>h</sup> 11<sup>m</sup>. II St I 1<sup>h</sup> 10<sup>m</sup>. II Tr I 1<sup>h</sup> 12<sup>m</sup>. I St E 11<sup>h</sup> 12<sup>m</sup>. II St E 1<sup>h</sup> 10<sup>m</sup>. Januar 4. I Tr E 1<sup>h</sup> 10<sup>m</sup>. III Er D 2<sup>h</sup> 14<sup>m</sup> 10<sup>s</sup>. III Co E 1<sup>h</sup> 13<sup>m</sup>. Januar 5. II Er D 1<sup>h</sup> 10<sup>m</sup> 43<sup>s</sup>. II Co E 1<sup>h</sup> 10<sup>m</sup>. Januar 6. I Co D 10<sup>h</sup> 49<sup>m</sup> 34<sup>s</sup>. Januar 7. II St E 1<sup>h</sup> 10<sup>m</sup>. I Tr E 1<sup>h</sup> 10<sup>m</sup>. I St E 1<sup>h</sup> 10<sup>m</sup>. I Tr I 1<sup>h</sup> 11<sup>m</sup>. I Co D 10<sup>h</sup> 49<sup>m</sup> 34<sup>s</sup>. Januar 8. I Er D 1<sup>h</sup> 10<sup>m</sup> 43<sup>s</sup>. I Co E 1<sup>h</sup> 10<sup>m</sup>. Januar 9. I St I 1<sup>h</sup> 10<sup>m</sup>. I Tr I 1<sup>h</sup> 10<sup>m</sup>. I St E 1<sup>h</sup> 10<sup>m</sup>. I Tr E 1<sup>h</sup> 10<sup>m</sup>. I St I 1<sup>h</sup> 10<sup>m</sup>. I Tr I 1<sup>h</sup> 10<sup>m</sup>. I St E 1<sup>h</sup> 10<sup>m</sup>. I Tr E 1<sup>h</sup> 10<sup>m</sup>. Januar 10. I Er D 1<sup>h</sup> 10<sup>m</sup> 43<sup>s</sup>. I Co E 1<sup>h</sup> 10<sup>m</sup>. II St I 1<sup>h</sup> 10<sup>m</sup>. II Tr I 1<sup>h</sup> 10<sup>m</sup>. I St E 1<sup>h</sup> 10<sup>m</sup>. II St E 1<sup>h</sup> 10<sup>m</sup>. IV Co E 1<sup>h</sup> 10<sup>m</sup> 43<sup>s</sup>. III Co E 1<sup>h</sup> 10<sup>m</sup>. Januar 12. I Co E 1<sup>h</sup> 10<sup>m</sup>. I Er D 1<sup>h</sup> 10<sup>m</sup> 43<sup>s</sup>. II Co E 1<sup>h</sup> 10<sup>m</sup>. Januar 13. I Co E 1<sup>h</sup> 10<sup>m</sup>. I Er D 1<sup>h</sup> 10<sup>m</sup> 43<sup>s</sup>. II Co E 1<sup>h</sup> 10<sup>m</sup>. III Tr E 1<sup>h</sup> 10<sup>m</sup>. IV St I 1<sup>h</sup> 10<sup>m</sup>. II St E 1<sup>h</sup> 10<sup>m</sup>. III Tr E 1<sup>h</sup> 10<sup>m</sup>. IV St I 1<sup>h</sup> 10<sup>m</sup>. Januar 14. II St I 1<sup>h</sup> 10<sup>m</sup>. I Tr I 1<sup>h</sup> 10<sup>m</sup>. II St E 1<sup>h</sup> 10<sup>m</sup>. III Tr E 1<sup>h</sup> 10<sup>m</sup>. IV St I 1<sup>h</sup> 10<sup>m</sup>. Januar 15. II St I 1<sup>h</sup> 10<sup>m</sup>. I Tr I 1<sup>h</sup> 10<sup>m</sup>. II St E 1<sup>h</sup> 10<sup>m</sup>. III Tr E 1<sup>h</sup> 10<sup>m</sup>. IV St I 1<sup>h</sup> 10<sup>m</sup>. Januar 16. I Co E 1<sup>h</sup> 10<sup>m</sup>. I Er D 1<sup>h</sup> 10<sup>m</sup> 43<sup>s</sup>. II Co E 1<sup>h</sup> 10<sup>m</sup>. III Tr E 1<sup>h</sup> 10<sup>m</sup>. IV St I 1<sup>h</sup> 10<sup>m</sup>. Januar 17. I Co E 1<sup>h</sup> 10<sup>m</sup>. I Er D 1<sup>h</sup> 10<sup>m</sup> 43<sup>s</sup>. II Co E 1<sup>h</sup> 10<sup>m</sup>. III Tr E 1<sup>h</sup> 10<sup>m</sup>. IV St I 1<sup>h</sup> 10<sup>m</sup>. Januar 18. I Co E 1<sup>h</sup> 10<sup>m</sup>. I Er D 1<sup>h</sup> 10<sup>m</sup> 43<sup>s</sup>. II Co E 1<sup>h</sup> 10<sup>m</sup>. III Tr E 1<sup>h</sup> 10<sup>m</sup>. IV St I 1<sup>h</sup> 10<sup>m</sup>. Januar 19. I Co E 1<sup>h</sup> 10<sup>m</sup>. I Er D 1<sup>h</sup> 10<sup>m</sup> 43<sup>s</sup>. II Co E 1<sup>h</sup> 10<sup>m</sup>. III Tr E 1<sup>h</sup> 10<sup>m</sup>. IV St I 1<sup>h</sup> 10<sup>m</sup>. Januar 20. I Co E 1<sup>h</sup> 10<sup>m</sup>. I Er D 1<sup>h</sup> 10<sup>m</sup> 43<sup>s</sup>. II Co E 1<sup>h</sup> 10<sup>m</sup>. III Tr E 1<sup>h</sup> 10<sup>m</sup>. IV St I 1<sup>h</sup> 10<sup>m</sup>. Januar 21. I Co E 1<sup>h</sup> 10<sup>m</sup>. I Er D 1<sup>h</sup> 10<sup>m</sup> 43<sup>s</sup>. II Co E 1<sup>h</sup> 10<sup>m</sup>. III Tr E 1<sup>h</sup> 10<sup>m</sup>. IV St I 1<sup>h</sup> 10<sup>m</sup>. Januar 22. I Co E 1<sup>h</sup> 10<sup>m</sup>. I Er D 1<sup>h</sup> 10<sup>m</sup> 43<sup>s</sup>. II Co E 1<sup>h</sup> 10<sup>m</sup>. III Tr E 1<sup>h</sup> 10<sup>m</sup>. IV St I 1<sup>h</sup> 10<sup>m</sup>. Januar 23. I Co E 1<sup>h</sup> 10<sup>m</sup>. I Er D 1<sup>h</sup> 10<sup>m</sup> 43<sup>s</sup>. II Co E 1<sup>h</sup> 10<sup>m</sup>. III Tr E 1<sup>h</sup> 10<sup>m</sup>. IV St I 1<sup>h</sup> 10<sup>m</sup>. Januar 24. I Co E 1<sup>h</sup> 10<sup>m</sup>. I Er D 1<sup>h</sup> 10<sup>m</sup> 43<sup>s</sup>. II Co E 1<sup>h</sup> 10<sup>m</sup>. III Tr E 1<sup>h</sup> 10<sup>m</sup>. IV St I 1<sup>h</sup> 10<sup>m</sup>. Januar 25. I Co E 1<sup>h</sup> 10<sup>m</sup>. I Er D 1<sup>h</sup> 10<sup>m</sup> 43<sup>s</sup>. II Co E 1<sup>h</sup> 10<sup>m</sup>. III Tr E 1<sup>h</sup> 10<sup>m</sup>. IV St I 1<sup>h</sup> 10<sup>m</sup>. Januar 26. I Co E 1<sup>h</sup> 10<sup>m</sup>. I Er D 1<sup>h</sup> 10<sup>m</sup> 43<sup>s</sup>. II Co E 1<sup>h</sup> 10<sup>m</sup>. III Tr E 1<sup>h</sup> 10<sup>m</sup>. IV St I 1<sup>h</sup> 10<sup>m</sup>. Januar 27. I Co E 1<sup>h</sup> 10<sup>m</sup>. I Er D 1<sup>h</sup> 10<sup>m</sup> 43<sup>s</sup>. II Co E 1<sup>h</sup> 10<sup>m</sup>. III Tr E 1<sup>h</sup> 10<sup>m</sup>. IV St I 1<sup>h</sup> 10<sup>m</sup>. Januar 28. I Co E 1<sup>h</sup> 10<sup>m</sup>. I Er D 1<sup>h</sup> 10<sup>m</sup> 43<sup>s</sup>. II Co E 1<sup>h</sup> 10<sup>m</sup>. III Tr E 1<sup>h</sup> 10<sup>m</sup>. IV St I 1<sup>h</sup> 10<sup>m</sup>. Januar 29. I Co E 1<sup>h</sup> 10<sup>m</sup>. I Er D 1<sup>h</sup> 10<sup>m</sup> 43<sup>s</sup>. II Co E 1<sup>h</sup> 10<sup>m</sup>. III Tr E 1<sup>h</sup> 10<sup>m</sup>. IV St I 1<sup>h</sup> 10<sup>m</sup>. Januar 30. I Co E 1<sup>h</sup> 10<sup>m</sup>. I Er D 1<sup>h</sup> 10<sup>m</sup> 43<sup>s</sup>. II Co E 1<sup>h</sup> 10<sup>m</sup>. III Tr E 1<sup>h</sup> 10<sup>m</sup>. IV St I 1<sup>h</sup> 10<sup>m</sup>.

Aussehen des 3. Perseiden von November 1906 bis März 1907,  
gezeichnet von J. Couda S.O.



# SIRIUS.

Zeitschrift für populäre Astronomie.

Centralorgan für alle Freunde und Förderer der Himmelskunde.

Herausgegeben

unter Mitwirkung hervorragender Fachlehrer und wissenschaftlicher Schriftsteller

von Prof. Dr. Hermann A. Klein in Köln.

Dezember 1907.

„Wissen und Erheben sind die Pflicht und die  
Berechtigung der Menschheit.“ — Goethe.

Jeden Monat 1 Heft. — Jährlich 12 Hft.

Verlag von EDUARD HEINRICH MAYER in Leipzig.

Inhalt: Die heutigen Sternwarten, ihre Ausrichtungen und ihre Vorsteher. S. 105. — Gegenstand und Geschichte der Sir. 25. März-Expedition nach der südlichen Erdkugel. S. 110. — Sternwarte Mater des Löwen. (Pharm. Tab. 201.) S. 115. — Die schönsten Bewegung der Sternbilder auf der Sternkarte. S. 120. — Nomenklatur und Namen von südlichen Hellen Planeten. S. 125. — Die Bahn des aphelionnahen Doppelsterns  $\alpha$  Cent. S. 130. — Die Sternverstellung um die große Kreis auf 7 Fern und 15 Messungen. S. 135. — Ein Mikroskop und Mikrophotometer in Leipzig. S. 140. — Versuche: Nachweise S. 145. — Astronomische Kalender. S. 145. — Leistungen der Gegenwart. S. 150. — Leistungen der Gegenwart. S. 150.

## Die heutigen Sternwarten, ihre Ausrichtungen und ihre Vorsteher.

Es mehr als 25 Jahre hat A. Lander von Königl. Belgischen Observatorium zu Uccle (Brüssel) ein Verzeichnis der Sternwarten, Astronomie, astronomischen Gesellschaften und Zeitschriften veröffentlicht, das in seiner Auflage 1890 erschien und Fortsetzung und Erweiterung in einer deutschen Publikation erhielt, die unter der Schrift: „Verzeichnis 1900: Sternwarten“ wurde. Diese Publikationen sind jedoch in neuerer Hinsicht unvollständig, und der Wunsch nach möglichst vollständigen und zuverlässigen Verzeichnissen der heute tätigen Sternwarten, ihrer instrumentellen Ausrichtung und der an ihnen arbeitenden Astronomen, wurde von verschiedenen Seiten laut. Das veranstaltete Prof. P. Strömbel, Astronom

des Königl. Belgischen Observatoriums, im Verein mit mehreren andern dort tätigen Astronomen eine neue Arbeit herauszugeben. Zu diesem Zwecke werden Fragebogen an die astronomisch tätigen Observatorien und astronomischen Privatpersonen geschickt, in denen um Auskunft über Name, geographische Position, instrumentelle Ausrichtung, Personal und kurze Geschichte des Observatoriums ersucht wurde. Diese Methode der Sammlung vollständigen Materials hat sich glänzend bewährt, denn es ist mit Hilfe derselben gelungen, bezüglich der heute tätigen sterneichen und Privatobservatorien die wünschenswerten Daten zusammen zu bringen. Auf Grund dessen haben Prof. Strömbel und seine Mitarbeiter

ein Vordräng der meteorologischen Observatorien und der Astronomie ausgestattet, welches unter den Auspizien des Königl. Belgischen Observatoriums in einem stattlichen Hause kürzlich errichtet ist.

Das Zahl der Lokalitäten, an denen meteorologische Beobachtungen angestellt werden, ist hiernach sehr erheblich. Es finden sich ungefähr so:

a) Europa: Deutschland mit 34 Orten, Österreich-Ungarn mit 28, Belgien mit 8, Großbritannien und Irland mit 97, Bulgarien mit 1, Dänemark mit 4, Spanien mit 8, Frankreich mit 39, Griechenland mit 2, Italien mit 21, Norwegen mit 3, Holland mit 19, Portugal mit 4, Rumänien mit 1, Rußland mit 19, Schweden mit 1, Schweden mit 4, die Schweiz mit 6 Orten.

b) Asien: China mit 3, Britisch-Indien mit 3, Indo-China mit 1, Japan mit 2, die Philippinen mit 1, Russisch-Asien mit 2 Orten.

c) Afrika: 1 Ort.

d) Amerika: Argentinien mit 3, Brasilien mit 1, Canada mit 8, Chile mit 3, Kolumbien mit 1, Cuba mit 1, Ecuador mit 1, die Vereinigten Staaten mit 105, Haiti mit 1, Mexiko mit 3, Peru mit 2, San Salvador mit 1, Venezuela mit 1, Guyana mit 15 Lokalitäten. Das gibt zusammen eine Anzahl von 474 Lokalitäten.

Selbstverständlich sind diese nicht alles moderne, vollständige Sternwarten, sondern es befinden sich darunter zahlreiche Observatorien, die nur einzelne Instrumente besitzen und von Liebhabern eingerichtet wurden, weshalb auch keine regelmäßigen Beobachtungen angestellt werden und die überdies nur von vorübergehendem Bestande sind. Insofern aber ist erheblich, daß gegenwärtig nahezu ein halbes Tausend Instrumente vorhanden sind, an denen dem Sternkenner mehr oder weniger Aufmerksamkeit gewendet wird. Von diesen erfüllen 305 auf Europa und 174 auf die übrigen Weltteile. Die meisten und wichtigsten befinden sich in beiden

Seiten des Atlantischen Ozeans zwischen 34° und 60° nördl. Breite, doch auch auf der südlichen Erdhälfte trifft wir auf ein so wichtiges Observatorium wie das in Capetown und dengegr von Capetown in Argentinien.

Im nachstehenden mögen einige allgemeine meteorologische Angaben über die wichtigsten staatlichen und einige hervorragende private Observatorien aus dem obengenannten Werke in alphabetischer Reihenfolge mitgeteilt werden.

**Albany (New York)** Dudley Observatorium.

Geographische Breite 42° 30' 12.7" N., Länge 73° 55' 5.9" W.

Höhe über dem Meer 87 m.

Direktor: Lewis Bell, daneben 2 Assistenten, 2 Gehilfen und 1 Rechnungsm.

Das Observatorium wurde 1851 auf Grund von freiwilligen Beiträgen (vorzugsweise von Nathaniel B. Dudley) gegründet und 1856 eröffnet. Hauptinstrument ist ein Refraktor von 305 mm Öffnung (juli 1894) und ein Meridiankreis von Frazer & Mearns (1856).

**Algier**, Observatorium zu Ben zeneb bei Alger.

Geographische Breite 36° 47' 50" N., Länge 0° 12' 5.38" E.

Höhe über dem Meer 143 m.

Direktor: C. Teyssé, daneben 2 Astronomen, 1 Assistent und 2 Rechner.

Das Observatorium wurde 1856 vollendet. Hauptinstrumente sind ein Äquatorialcode mit 318 mm Öffnung, ein photographisches Äquatorial von 312 mm Öffnung (für die photographische Heliometrie) und ein Foucault'sches Teleskop mit verstelltem Objektivspiegel von 500 mm Öffnung.

**Allegany (Pennsylvanien, N.-A.)** Geographische Breite 41° 20' 6" N., Länge 78° 20' 5.29" W.

Seehöhe 380 m.

Direktor: F. Schlegel, 2 Assistenten und 1 Mechaniker.

Geendet 1874. Hauptinstrumente: Refraktor von 710 mm Öffnung, ein



zweiter von 200 mm Öffnung und ein Spitzdiaphragma von 750 mm Öffnung.  
Ann Arbor (Michigan, N.-A.)

Geographische Breite  $42^{\circ} 21' 56.5''$  N.,  
Länge  $83^{\circ} 50' 5.40''$  W.

Seehöhe 160 m.

Director: Prof. Dr. Todd (seit 1881),  
1 Assistent.

Das Observatorium wurde 1847 vollendet, 1903 um Nachen, etwa  $\frac{1}{2}$ , An-  
bau des alten Observatoriums vollendet,  
jetzigen Hauptinstrumente: Circularer  
Refraktor von 457 mm Öffnung, Heli-  
ometer von 160 mm von Filar &  
Martins

Ann Arbor (Michigan, N.-A.)

Geographische Breite  $42^{\circ} 18' 48.0''$  N.,  
Länge  $83^{\circ} 34' 55.49''$  W.

Seehöhe 200 m.

Director: W. J. Hussey

Diese Sternwarte wurde 1853 ge-  
gründet und stand ursprünglich unter der  
Direction von Robinson, Watson, Har-  
rington und Hall. Hauptinstrument ist  
ein Äquatorial mit 311 mm Ocular-  
öffnung von Pitt und ein Meridian-  
kreis von Filar & Martins.

Appleton (Wisconsin, N.-A.)

Underwood-Observatorium der Uni-  
versität von Wisconsin.  
Geographische Breite  $44^{\circ} 15' 13.0''$  N.,  
Länge  $84^{\circ} 53' 35.69''$  W.

Seehöhe 230 m.

Director: Prof. J. C. Lymen

Diese Sternwarte wurde 1892 von  
Underwood im Leben geführt zu  
Unterstützungszwecken für die Studenten  
der Universität. Hauptinstrumente und  
ein Refraktor von 264 mm Öffnung  
und ein Meridiankreis.

Arcetri (Florenz, Italien) König-  
liches Observatorium, gegründet 1652  
von Domeo, dem Copernici und Torricelli  
(1675 bis 1686) folgten. Gegenwärtiger  
Director ist A. Nelli. Das Observa-  
torium besitzt einen Refraktor mit  
264 mm Öffnung von Amici und einen  
Meridiankreis von Bamberg.

Armagh (Irland) Armagh Obser-  
vatorium.

Geographische Breite  $54^{\circ} 21' 12.7''$  N.,

Länge  $0^{\circ} 26' 35.4''$  W.

Seehöhe 84 m.

Director: J. L. E. Drayton

Geendet 1790 durch Erbkaiser  
Refraktor Hauptinstrumente: Refraktor  
von Grubb mit 264 mm Öffnung, da-  
neben ein älterer Meridiankreis und ein  
Meridianinstrument.

Altona (Preußen) National-  
Sternwarte

Geographische Breite  $53^{\circ} 56' 20''$  N.,  
Länge  $10^{\circ} 34' 54''$  E.

Seehöhe 167 m.

Director: D. Eggen, 3 Gehilfen  
und 3 Assistenten

Diese Sternwarte wurde 1843 von  
Baron Georg von Sies gegründet und war  
mit dem besten Instrumentarium ausgerüstet.  
Am 1. Juli 1881 Schloß wurde. Seit  
Oktober 1885 ist die Sternwarte neu-  
geordnet und stark. Hauptinstrument  
ist ein Äquatorial von Götze mit  
450 mm Öffnung und ein großer  
Meridiankreis von demselben Künstler.  
Das Observatorium dient auch zu meteor-  
ologischen, magnetischen und son-  
stigen Forschungen.

Bamberg (Bayern) Koenigs-Stern-  
warte.

Geographische Breite  $49^{\circ} 53' 6''$  N.,  
Länge  $0^{\circ} 43' 53.8''$  E.

Seehöhe 300 m.

Director: Prof. Dr. E. Hartung,  
1 Assistent.

Die Sternwarte wurde errichtet aus  
einem Lager von Dr. K. Romer und 1868  
vollendet. Hauptinstrumente sind:  
Refraktor von Scheerer mit 264 mm  
Öffnung und ein Meridiankreis von  
Reichardt von 184 mm Öffnung, so-  
wie ein Meridiankreis von Reichardt,  
ein Zöllnerisches Photometer und ein  
Siemenscher Heliograph.

Barcelona (Spanien) Observa-  
torium Fabra, der Königl. Akademie.  
Geographische Breite  $41^{\circ} 25' 18''$  N.,  
Länge  $0^{\circ} 5' 38.9''$  E.

Seehöhe 430 m.

Director: J. Comas Solé, 3 Gehilfen.  
Diese Sternwarte wurde 1902 ge-  
gründet durch ein Lager von Comas

Feins mit Zuschuß der staatlichen Behörden. Ihre Eröffnung fand 1864 statt. Sie besitzt ein photographisches Äquatorial von Weichert mit 2 Objektiven von 260 mm Öffnung.

Berlin. Königl Sternwarte.  
Geographische Breite  $52^{\circ} 30' 16.7''$  N,  
Länge  $13^{\circ} 50' 34.9''$  E.

Seehöhe 42 m.

Direktor: G. Struve, 2 Observatoren,  
1 Assistent.

Die heutige Berliner Sternwarte stammt aus dem Jahre 1825, sie wird vornehmlich demnachst verfügt war den. Hauptinstrumente sind ein Fraunhofer'scher Reflektor von 248 mm Öffnung und 2 Merz'sche von Pulss & Marten.

Bir Gurle Observatorium (Irland).  
Geographische Breite  $51^{\circ} 5' 41''$  N,  
Länge  $10^{\circ} 30' 43.9''$  W.

Seehöhe 56 m.

Observatorier dirigierender Astronom ist O. Roedderich.

Darstellend Observatorium, welches Lord William Ross von etwa 60 Jahren errichtete. Das Hauptinstrument bildet der große Reflektor mit 6320 mm Spiegeldurchmesser, daneben ein zweiter Reflektor mit einem Spiegel von 914 mm Durchmesser. Besitzt ferner Merz'sche Spiegel. Das große Instrument hat früher zu wichtigen Nebelbeobachtungen gedient, seit Jahren hat man sich mehr von klinischen Beobachtungen mit demselben.

Roma. Königl Universitätssternwarte.  
Geographische Breite  $41^{\circ} 43' 45.0''$  N,  
Länge  $12^{\circ} 28' 23.74''$  E.

Seehöhe 62 m.

Direktor: Prof. F. Kärner, 1 Observator, 1 Assistent.

Die Sternwarte wurde erbaut 1845 unter Leitung von Angeliardi, in neuester Zeit ist sie zweckentsprechend mit modernen Instrumenten ausgestattet worden, darunter ein Steinheil'sches Äquatorial für visuelle und photographische Beobachtungen mit Objektiven von 200 und 280 mm Öffnung, ein Repsold'scher Meridiankreis mit

181 mm Objektivöffnung, außerdem besitzt sie ein altes Helometer von Stein & Müller mit 160 mm Objektiv.

Bordeaux-Französ. Observatoire de l'Université de Bordeaux.

Geographische Breite  $44^{\circ} 50' 7.3''$  N,  
Länge  $0^{\circ} 2' 1.5''$  W.

Seehöhe 13 m.

Direktor: L. Fauré, 5 Hilfsastronomen, 1 Assistent, 6 Arbeiter und Verwalter der photographischen Kabinette.

Der Bau dieses Observatoriums, welches 4 km westlich von Bordeaux liegt, wurde 1878 begonnen und 1882 unter Direktion von G. Rapt vollendet. Hauptinstrumente sind ein Merz'sches von Echols, ein Äquatorial mit Merz'schem Objektiv von 368 mm Öffnung und Markierung von Gauss, außerdem ein Äquatorial mit 210 mm Objektiv.

Boston (Massachusetts, N. A.) University Observatory.

Geographische Breite  $42^{\circ} 21' 32.6''$  N,  
Länge  $71^{\circ} 44' 15.60''$  W.

Seehöhe 48 m.

Direktor: J. R. Coe, 1 Assistent.

Die Sternwarte wurde unter Leitung des gegenwärtigen Direktors 1859 errichtet. Hauptinstrument ist ein Äquatorial von Henry Sagitteller mit 188 mm Objektiv, daneben ein Christies Äquatorial mit 105 mm Objektiv, und ein Spektrograph von Bruch.

Bethkämp (Schottland).  
Geographische Breite  $54^{\circ} 12' 14.6''$  N,  
Länge  $0^{\circ} 48' 31.2''$ .

Seehöhe 32 m.

Die Sternwarte ist 1850 auf der Benennung des Kammerherrn von Dalry und auf dessen Namen erbaut worden. Ihre ersten Astronomen waren H. C. Vogel und O. Leake, Gegenwärtig fungiert damals Astronom Dr. R. Schiller. Hauptinstrument ist ein Schott'sches Äquatorial von 203 mm Objektivöffnung, daneben besitzt die Sternwarte noch kleine Instrumente, sowie Spektroskope und photographische Apparate.

Breslau. Königl Universitätssternwarte.

Geographische Breite  $51^{\circ} 8' 56.5''$  N.,  
Länge  $14^{\circ} 8' 5.4''$  E.

Seehöhe 115 m.

Direktor: Prof. Dr. J. Pease, 2  
Assistenten.

Das Sternwarte ist 1798 auf einem  
Turm des Universitätsgebäudes errichtet  
worden. Im Jahre 1895 wurde auf  
einer Insel in der Oker ein astronomischer  
See angelegt, die definitive  
Neubau steht noch aus. Hauptinstru-  
mente: ein Clark-Repositorisches Äqua-  
torial von 305 mm Öffnung, ein  
Fraunhofer-Repositorisches Helometer  
mit 78 mm Öffnung, ein Meridiankreis  
von Repsold mit Objektiv von 152 mm  
Durchmesser (der jedoch nicht aus-  
gestellt werden kann) und ein Passen-  
strahlgerät von Bauschling.

Calcutta, St. Xavier-College-Obs-  
ervatory.

Geographische Breite  $22^{\circ} 32' 51''$  N.,  
Länge  $88^{\circ} 53' 25''$  E.

Seehöhe 10 m.

Direktor: C. De Clippeta S. J.

Dieses Observatorium wurde 1875  
von Peter Latour gegründet. Es be-  
steht ein Steinboisches Äquatorial von  
220 mm Öffnungsdurchmesser, ein Spe-  
ktroskop und ein kleines Passen-  
strahlgerät.

Calcutta, Presidency-College-Obs-  
ervatory.

Geographische Breite  $22^{\circ} 34' 31.2''$  N.,  
Länge  $88^{\circ} 53' 30.3''$  E.

Seehöhe 12 m.

Direktor: C. Latta, 6 Assistenten.

Die Sternwarte wurde 1860 ge-  
gründet. Hauptinstrumente: ein Steinbo-  
isches Äquatorial mit 176 mm Öffnung  
des Objektivs, ein Doppelobjektiv mit  
Objektiv von 127 mm Öffnung für  
Chlart Beobachtungen und einem pho-  
tographischen Objektiv von 115 mm Öff-  
nung.

Cambridge (England) University  
of Cambridge Observatory.

Geographische Breite  $52^{\circ} 13' 51.6''$  N.,  
Länge  $0^{\circ} 9' 23.75''$  E.

Seehöhe 38 m.

Direktor: Prof. L. R. Earl, Vize-

direktor H. P. Newell, 2 Assistenten,  
2 Ins. 2 Rechnen.

Dieses Observatorium wurde um  
1820 gegründet und sein erster Direk-  
tor war Woodhouse. An Instrumenten  
besitzt es das sogen. Northumberland-  
teleskop mit 365 mm Öffnung, ein  
Herschel aus 1836 stammendes In-  
strument, einen Meridiankreis mit einem  
Objektiv von 295 mm (1870), ein Äqua-  
torial Newell von 635 mm Öffnung,  
ein photographisches Äquatorial mit  
305 mm Objektiv, einen Sidereal (1866),  
sowie einen Collimator mit horizontaler  
Spektrographie (1906).

Cambridge (Massachusetts, N.A.),  
Harvard College Observatory.

Geographische Breite  $42^{\circ} 32' 47.6''$  N.,  
Länge  $71^{\circ} 44' 31.85''$  W.

Seehöhe 24 m.

Direktor: Prof. Edward C. Pick-  
ering, Assistenten: A. Searle, S. J. Bailey,  
William M. Pickering, O. C. Wendell,  
außerdem 36 Assistenten und Rechner.

Diese Sternwarte wurde 1840 ge-  
gründet und W. C. Bond war ihr erster  
Direktor. Sie besitzt zwei Fokales, die  
eine zu Arago (Paris) die andere zu  
Blaze Hill, letztere beschäftigt sich aber  
nur mit meteorologischen Beobach-  
tungen. Die Positionen dieser beiden  
Fokalsobservatorien sind:

Arago:

Geographische Breite  $15^{\circ} 22' 30.6''$  S.,  
Länge  $47^{\circ} 46' 11.73''$  W.

Seehöhe 1452 m.

Blaze Hill:

Geographische Breite  $42^{\circ} 12' 46''$  N.,  
Länge  $71^{\circ} 44' 23.5''$  W.

Seehöhe 194 m.

Hauptinstrumente: Meridiankreis mit  
305 mm Objektiv, photographisches Dre-  
bel mit 640 mm und zwei von 225 mm,  
photographische Teleskope von 330 und  
278 mm, Äquatorial von 361 mm und  
365 mm Öffnung.

Cantaja (Japan) Observatorium  
der Jesuiten.

Geographische Breite  $31^{\circ} 10' 43''$  N.,  
Länge  $141^{\circ} 23.9''$  W.

Seehöhe 175 m.

**Director:** J. Mearns, 7 Turin S. J.,  
1 Observator, 1 Assistent, 2 Gehilfen  
und 1 Mechaniker.

Das Observatorium wurde 1882 er-  
richtet zum Zwecke astronomischer,  
meteorologischer und meteorologischer  
Beobachtungen. Es besitzt einen Men-  
diankreis mit 55 mm Objektiv von  
Merkat und von demselben ein  
Aguatorial mit 120 mm Öffnung, ein  
Gehäusespektroskop mit 12 Prismen,  
einen Photoheliographen, ein spektro-  
graphisches Periscope von Secchi von  
165 mm Öffnung, ein Coudételeskop von  
Steward, Spektrographen und Helio-  
stat.

**Catala** (near Salies) Astro-  
physikalisches Observatorium der Königl.  
Universität mit zwei Sekundare mit dem  
Ära, 30 km nordwestwärts von Cata-  
la.

**Catala:**

Geographische Breite  $39^{\circ} 36' 13''$  N.,  
Länge  $1^{\circ} 0' 48''$  E.  
Seehöhe 47 m.

**Ära:**

Geographische Breite  $37^{\circ} 44' 37''$  N.,  
Länge  $4^{\circ} 50' 58''$  E.  
Seehöhe 2050 m.

**Director:** A. Wood, 1 Observator  
und 3 Assistenten.

Die Sternwarte und das Sekundare  
wurden gegründet von P. Tassan,  
im Jahr 1879 durch 1885. An Instrumenten  
und Werkzeuge ein Aguatorial von  
325 mm Öffnung in Coudé und auf  
dem Ära, ein photographisches Aguatorial  
von 130 mm Öffnung, ein Hauptin-  
strument, 3 Spektrographen.

**Charlotteville** (Virginia, N. A.).  
Leader, Mc Cormack Observatory der  
Universität von Virginia.

Geographische Breite  $36^{\circ} 2' 1.3''$  N.,  
Länge  $78^{\circ} 54' 5.22''$  W.  
Seehöhe 250 m.

**Director:** General Stone, 1 Assi-  
stant.

Die Sternwarte wurde 1882 ge-  
gründet. Sie besitzt als Hauptinstrument  
ein Clarkesches Refraktor von 660 mm  
Öffnung der 1885 erworben wurde.

**Chicago.** Das hier 1884 gegründete  
Durham-Observatorium, welches zur  
North Western-Universität gehört, wurde  
1887 nach Evanston (Cook County,  
Illinois, N. A.) verlegt. Seine Position ist:

Geographische Breite  $42^{\circ} 3' 33.4''$  N.,  
Länge  $84^{\circ} 52' 42.3''$  W.

Seehöhe 176 m.

**Director:** G. W. Hough.

Hauptinstrument ist ein Clark-  
scher Refraktor von 470 mm Öffnung  
und ein Repulischer Meridiankreis mit  
einem Objektiv von 165 mm Öffnung.  
**Christiania** (Norwegen). Sternwarte  
der Universität.

Geographische Breite  $58^{\circ} 54' 44''$  N.,  
Länge  $9^{\circ} 45' 53.5''$  E.

Seehöhe 35 m.

**Director:** Prof. H. Gieseler, 1  
1 Observator.

Die Sternwarte stammt aus dem Jahr  
1820 und wurde durch die Bemühungen  
von Chr. Hansen errichtet. Als In-  
strumente besitzt sie einen Reichen-  
bachschen Meridiankreis und einen  
Menzelschen Refraktor von 185 mm Öf-  
fnung, ferner ein Aguatorial von  
Reichold mit Objektiv von 115 mm.

**Cincinnati** (Ohio, N. A.). Die  
Sternwarte ist Anstalt der Universität  
von Cincinnati. Sie wurde 1843 auf  
dem Mount Adams als Privatsternwarte  
errichtet durch die Bemühungen von  
G. W. Merrill. Im Jahr 1875 wurde  
sie nach Mount Lookout verlegt, 28 km  
von der Stadt und der Universität an-  
gegründet. Der Position ist:

Geographische Breite  $39^{\circ} 1' 19.6''$  N.,  
Länge  $84^{\circ} 37' 41.40''$  W.

Seehöhe 248 m.

**Director:** J. O. Porter, 2 Assistenten,  
1 Gehilfe, 1 Mechaniker.

Hauptinstrument ist ein Clarkescher  
Refraktor von 405 mm Öffnung, de-  
renbesteht die Sternwarte drei alten  
Menzelschen Refraktoren von 250 mm  
Öffnung. Für dessen Anschaffung war  
erst Merrill die Kasse durch Sam-  
lungen aufgebracht. Die Sternwarte wird  
durchgeführt ein Coudételeskop photo-  
graphisch.

phisches Objektiv von 240 mm Durchmesser errichten.

**Clinton** (New York, N.-A.). Lickfeld Observatory des Hamilton-College. Geographische Breite  $43^{\circ} 3' 43''$  N., Länge  $74^{\circ} 1' 32.40''$  W.

Seehöhe 276 m.

Direktor: S. J. Seaton.

Das Observatorium wurde 1852 errichtet, nachdem der Mittel dom durch eine öffentliche Subskription zusammengebracht worden. Direktor war viele Jahre hindurch C. H. F. Peters, der dort 42 kleine Planeten entdeckte. Hauptinstrument ist ein Refraktor von Spencer mit einem Objektiv von 325 mm Öffnung.

**Copenhagen** (Dänemark). Königl. Universitätsobservatorium.

Geographische Breite  $55^{\circ} 41' 12.9''$  N., Länge  $12^{\circ} 50' 18.64''$  E.

Seehöhe 14 m.

Direktor: T. N. Thoms, 1 Observator, 1 Assistent.

Das früheste Sternwarte in Copenhagen wurde 1667 begonnen und 1686 vollendet, ihr erster Direktor war C. Leinberg (Langebekken). Sie wurde später mehrfach verändert und verlegt und zerfiel 1837 unter Direktor von d'Arrest völlig zusammen. Sie besitzt als größtes Instrument einen Reflektor von 360 mm Öffnung, daneben einen photographischen Reflektor mit Doppelkonstr., von 300 mm Öffnung für visuelle Beobachtungen und von 300 mm für photographische, einen Meridiankreis von Fraur & Mader, Spektralskope.

**Corrientes** (Argentinien). Observatorio Nacional Argentina.

Geographische Breite  $21^{\circ} 29' 15.5''$  S., Länge  $64^{\circ} 16' 45.2''$  W.

Seehöhe 434 m.

Direktor: Juan M. Thome, 3 Assistenten, 4 Aufschreibenden, 4 Bedienten.

Der Bau dieser Sternwarte wurde 1870 begonnen und in 3 Jahren unter Direktor von Dr. B. A. Gould vollendet. Ihm folgte 1885 der gegenwärtige Direktor. Hauptinstrumente ein Meridian-

kreis von Reppold mit Objektiv von 122 mm Öffnung, ein Gierkesches Äquatorial von 285 mm Öffnung, ein photographisches Äquatorial von Gauth mit Henryschem Objektiv von 220 mm Durchmesser.

**Denver** (Colorado, N.-A.). Lickfield Observatory of the University of Denver.

Geographische Breite  $39^{\circ} 40' 36.4''$  N., Länge  $104^{\circ} 56' 47.63''$  W.

Seehöhe 1650 m.

Direktor: H. A. Howe.

Die Sternwarte wurde 1889 unter Leitung des gegenwärtigen Direktors gegründet. Hauptinstrumente sind ein Gierkescher Reflektor von 560 mm Öffnung, meistert von Sargis & Co., ein Meridiankreis desselben Herstellers und ein Äquatorial von Grubb mit Objektiv von 152 mm Öffnung.

**Dublin** (Irland). Observatorium der Universität.

Geographische Breite  $53^{\circ} 28' 13.1''$  N., Länge  $11^{\circ} 25' 31.1''$  W.

Seehöhe 66 m.

Direktor: E. J. Whittaker, Royal Astronomer of Ireland, 1 Assistent.

Die Sternwarte stammt aus dem Jahre 1782 und ihr erster Direktor war H. Usher. Hauptinstrumente sind ein Meridiankreis von Fraur & Mader, ein Reflektor mit 299 mm Öffnung und ein Spiegelteleskop von 360 mm Durchmesser.

**Edinburgh** (Schottland). Royal Observatory of Scotland.

Geographische Breite  $55^{\circ} 55' 30.9''$  N., Länge  $3^{\circ} 12' 44.9''$  W.

Seehöhe 134 m.

Direktor: F. W. Dyson, 2 Assistenten, 1 Bedienter.

Diese Sternwarte wurde 1818 gegründet und später vom State übernommen. Im Jahre 1896 erfolgte ihre Verlegung nach Blackford Hill, obige Kilometer südlich von der früheren Lage. Hauptinstrumente sind: ein Reflektor von Grubb mit 360 mm Öffnung, ein Reflektor desselben Optikers mit Spiegel von 600 mm Durchmesser und ein

Meridianinstrument von Troughton & Simms mit 300 mm Objektiv.

Ordnf. (Schweiz) Observator de Grench.

Geographische Breite  $46^{\circ} 11' 34.3''$  N.,  
Länge  $6^{\circ} 24' = 35.6^{\circ}$  E.  
Seehöhe 408 m.

Director: Prof. R. Gautier, 1 Astronom, 1 Hilfsastronom, 1 Kocher.

Die erste Sternwarte zu Grench wurde 1772 von J. A. Mallet gegründet, ihm folgte als Director A. Pictet und dessen 1810 J. A. Gautier. Im Jahre 1829 wurde die neue Observatorium in der Nähe des alten erbaut und 1839 E. Plantamour Director, der dieselbe auf neue Kosten mit neuen Einrichtungen versehen ließ. Hauptinstrumente sind gegenwärtig: ein Meridiankreis mit Objektiv von Cassini und ein Refraktor mit Meridianem Objektiv von 283 mm Öffnung.

Glasgow (Schottland) Universitätssternwarte.

Geographische Breite  $55^{\circ} 52' 43.8''$  N.,  
Länge  $0^{\circ} 17' = 16.84^{\circ}$  W.  
Seehöhe 55 m.

Director: L. Becker, 1 Astronom.

Die Sternwarte besteht seit 1778 im äußeren Westen der Stadt. Hauptinstrumente sind: ein Britisher Meridiankreis, ein Transitkop von 510 mm Öffnung mit Spectroskop, zwei Cooke'sche Aquatoriele von 126 und 178 mm Öffnung, ein Meridiankreis von Troughton & Simms.

Göttingen. Königl. Sternwarte.

Geographische Breite  $51^{\circ} 31' 43.7''$  N.,  
Länge  $9^{\circ} 39' = 49.4^{\circ}$  E.  
Seehöhe 190 m.

Director: Prof. K. Schwarzschild, 1 Observator, 1 Assistent, 1 Hilfsastronom.

Die erste Göttinger Sternwarte ist 1751 von Tobias Mayer gegründet worden; die heutigen an der gegenwärtigen Stelle, dabei von 1816. Director waren: Gauß bis 1855, Klinkerfues bis 1856, Schum bis 1901. Hauptinstrumente sind: ein Bessel'scher Meridiankreis und ein Repol'sches Helometer.

Gotha. Physikalische Sternwarte.

Geographische Breite  $50^{\circ} 56' 17.5''$  N.,  
Länge  $9^{\circ} 47' = 58.95^{\circ}$  E.  
Seehöhe 320 m.

Director: Prof. Dr. E. Arndt.

Die Sternwarte wurde 1768 von Herzog Ernst II. von Gotha-Altenburg auf dem Seiberg, nahe bei Gotha, erbaut und diente seit der ersten Director. Im Jahre 1857 wurde die nach Gotha verlegt und Hans Director derselben Hauptinstrumente und ein Aquatoriel mit 123 mm Öffnung und ein nach Hansen's Angaben eingerichtet Meridiankreis.

Greenwich (England) Royal Observatory.

Geographische Breite  $51^{\circ} 28' 38.16''$  N.,  
Länge  $0^{\circ} 0' = 0^{\circ}$ .  
Seehöhe 47 m.

Director: W. H. M. Christie, Royal Astronomer, 8 Astronomes und Assistenten, 10 ständige und 20 experimentelle Beobachter.

Die Greenwich Sternwarte wurde von Karl II. gegründet, um Beobachtungen zu Seefahrtenzwecken vorzunehmen. Die Beobachtungen begannen unter dem Director Flamsteed im September 1675. Das Observatorium ist der Königin Admiration anvertraut und von Director führt den Titel „Königlicher Astronom“. Das Hauptinstrument dieser Sternwarte ist der Meridiankreis und der durch die genaue Arbeit desselben bestimmte Meridian bildet den Anfangspunkt für die Längen bei den meisten Nationen der Erde. Dieser Meridiankreis ist ein wahres mechanisches Werk von Rasmus & May, im optischen von Troughton & Simms. Er hat 200 mm Öffnung und 375 m Brennwerte. Derselbe besitzt die Sternwarte ein vages Aquatoriel mit 203 mm Objektivöffnung (1844 geliefert) und einen Meridianinstrumente. Ferner einen großen Refraktor von 711 mm Öffnung, das sogenannte Thompson-Aquatoriel mit Refraktor von 606 mm Öffnung und Refraktor von 762 mm Spiegel durch

meist in photographischen Aufnahmen der Himmelskörper, einen Photoheliographen, einen photographischen Refraktor (von 230 mm Öffnung) für die photographische Himmelskarte, Spektroskope usw.

**Groningen (Holland).** Astronomisches Laboratorium der Universität.  
Geographische Breite  $52^{\circ} 13' 18.1''$  N,  
Länge  $5^{\circ} 36' 15.25''$  E

Seehöhe: —

Director: Prof. J. C. Kapteyn, 1 Assistent, 2 Gehilfen

Das Observatorium befindet sich seit September 1905 im neuerrichteten Laboratorium der Universität. Von Instrumenten sind ein neues ein parallelisches für „Durchstrahlung“ und 2 Apparate zur genauen Ausmessung photographischer Sternbildchen, beides Fundamentierung von Fixsternen.

**Hamburg.** Schöne Sternwarte.  
Geographische Breite  $53^{\circ} 35' 5.2''$  N,  
Länge  $9^{\circ} 38' 53.6''$  E

Seehöhe 26 m

Director: Prof. Dr. R. Schury, 1 Observator, 3 Assistenten, 2 Gehilfen

Die Sternwarte wurde 1825 gegründet und 1833 von der Stadt übernommen. C. Bönker war ihr erster Director. Im Jahre 1908 wurde die Überantwortung des Observatoriums an die Stadt nach dem langjährigen Bepfecht beschlossen, der dortige Neubau wird 1909 beendet sein. Die geographische Lage derselben ist:

Geographische Breite  $53^{\circ} 36' 45.8''$  N,  
Länge  $9^{\circ} 40' 58.5''$  E

Seehöhe 40 m.

Das Hauptinstrument, das neue Observatorium sind: ein Steinheilcher Refraktor von 400 mm Objektivöffnung mit Montierung von Repsold, ein Merz-Instrument von Merz mit 250 mm Objektivöffnung, ebenfalls von Repsold montiert, ein Repsold'sches Merz-Instrument, ein Spitzspektroskop mit 1 m Öffnung, sowie ein photographischer Doppelrefraktor.

**Hampton (New Hampshire, N.-A.)**  
Dartmouth College, Shattuck Observatory

Seit 1902, 100 ft.

Geographische Breite  $43^{\circ} 42' 15.3''$  N,  
Länge  $4^{\circ} 49' 7.6''$  W.

Seehöhe 183 m.

Director: Prof. J. M. Poor.

Das Observatorium wurde 1854 gegründet, größtenteils auf Kosten von Dr. G. C. Shattuck von Boston. Sein erster Director war Prof. Young. Hauptinstrumente sind: ein Merz-Instrument von Troughton & Simms (1851), ein Clark'scher Refraktor von 230 mm Öffnung (1871) und ein Photogrammometer von Seppel (1904).

**Hartford (Connecticut, N.-A.).** Observatory of Trinity College.

Geographische Breite  $41^{\circ} 44' 48.3''$  N,  
Länge  $71^{\circ} 50' 45.31''$  W

Seehöhe 62 m.

Director: J. D. Flynn

Diese Sternwarte wurde 1864 errichtet, und zwar vorzugsweise zu Unterrichtszwecken. Sie besitzt ein Aquiland von Brecher von 168 mm Öffnung und ein Merz-Instrument mit Objektiv von 75 mm Öffnung.

**Heidelberg-Röntgenstuhl (Baden).** Großherzogliche Sternwarte. Derselbe zerfällt in folgende zwei unabhängig voneinander arbeitende Institute:

I. Astronomisches Institut.

Geographische Breite  $49^{\circ} 25' 55.22''$  N,  
Länge  $9^{\circ} 34' 53.127''$  E.

Seehöhe 570 m.

Director: Prof. W. Valentiner, 3 Assistenten

Das Observatorium steht in einem neuen Anbaugebiet, erbaut im Jahre 1902, wo es sich an Schwetzingen (Baden), unter Leitung von Christian Meyer. Im Jahre 1775 wurde diese Sternwarte nach Mannheim verlegt, 1860 modernisiert und unter Leitung von E. Schönfeld gestellt. Sie entsprach aber auch jetzt noch nicht den Anforderungen der Zeit. Später wurde sie provisorisch nach Karlsruhe überführt unter Direction von Prof. Valentiner, endlich 1908 definitiv auf den Röntgenstuhl verlegt. Hauptinstrumente sind: ein Refraktor mit Objektiv von 325 mm von Steinheil und Montierung von Repsold, ein Merz-

seher Reflektor von 116 mm Öffnung an Epochischer Meridianlinie mit Objektiv von 160 mm Öffnung, 2 kleinere Refraktoren und Photometer.

2 Astrophysikalisches Institut  
Geographische Breite  $48^{\circ} 23' 54.8''$  N.,  
Länge  $0^{\circ} 34' 54.25''$  E.  
Seehöhe 160 und 170 m.

Direktor: Prof. Max Wolf, 3 Assistenten, 2 Mechaniker.

Das Observatorium ist hervorgegangen aus der 1877 in Heidelberg von Wolf gegründeten Privatsternwarte und wurde 1887 bis 88 auf dem Königstuhl installiert. Es befaßt sich mit astro-

physikalischen, meteorologischen und astronomischen Beobachtungen und Untersuchungen. Hauptinstrumente sind ein drittelches photographisches Äquatorial (Brace-Teleskop) mit 3 Objektiven von 410 und einem Objektiv von 250 mm Öffnung, ein zweites drittelches photographisches Äquatorial mit 160 mm Öffnung, ein Reflektor von Zeiss mit 240 mm Spiegeldurchmesser, ein Zeisscher Spektrograph, 3 Sternkomparatoren und Apparate zum Ausmessen astronomisch-photographischer Klischees.

(Fortsetzung folgt.)

## Organisation und Geschichte der D. O. Mills-Expedition nach der südlichen Erdhälfte.

 Von den Ergebnissen der durch die Lickbeobachtungen angeregten sogenannten Mills-Expedition nach Südamerika zum Zweck der spektrophotographischen Untersuchung der heißen Sterne des südlichen Himmels, ist bereits mehrfach bekannt geworden. Jetzt hat nun Prof. W. W. Campbell in den Publikationen des Lickobservatoriums einen eingehenden Bericht über Organisation und Geschichte dieser Expedition veröffentlicht, dem sich die Beschreibung der Instrumente und Beobachtungsmethoden der Expedition durch W. H. Wright anschließt.<sup>1)</sup> Wir entnehmen diesem Darlegungen des Nachstehende:

Gegenüber der Herabsetzung der Größen von D. O. Mills gestifteten Spektrographen und der Aufstellung eines Arbeitsplanes für diesen Instrument, trat zu Prof. Campbell die Wichtigkeit von Beobachtungen der Rotlichtgeschwindigkeit kalter südlicher Fixsterne dringender hinzu. In der Tat sind solche notwendig bei Untersuchungen über die Bewegung der Sonne durch das Weltraum oder die Ausdehnung des Fixstern-

systems, da in dieser Beziehung auch die vollständige Entdeckung der Rotlichtbewegungen der Sterne des nördlichen Himmels allein, keine genügenden Unterlagen gewähren kann. Im November 1900 war Prof. Campbell Plan zu einer bezüglich der astronomischen Expedition nach der südlichen Erdhälfte sowie ausgerichtet, daß der selbst mit Herrn D. O. Mills abstimmen konnte, worauf dieser auch bereit ist. März, die Kosten für die Instrumentierung und Entsendung einer solchen Expedition zu tragen. Diese Kosten waren von Prof. Campbell auf 20-400 Dollars veranschlagt und haben, wie sich schließlich herausstellte, 2600 Dollars betragen.

Es wurde beschlossen, eine primäre Montierung herstellen zu lassen, bestehend, einen 26 1/2 Zolligen Silberglasspiegel, welcher Eigentum der Lick Sternwarte war, zu fügen, nachdem dieser Spiegel in der Mitte durchbohrt worden, um dem Tubus der Form eines Cassegrainischen Reflektors zu geben, die für spektrophotographische Aufnahmen am zweckmäßigsten ist. Prof. Campbell weiß, daß der Spiegel nicht ganz vollständig in der Form war, er

<sup>1)</sup> Publications of the Lick Observatory, Vol. 12, Part 1 No. 2.



beschädigte daher, nach Auslieferung der zweiten Gesichtsbildung, die polare Form desselben in der Werkstatt der John A. Brashear-Compagnie verbessern zu lassen. Im Frühling 1901 wurde der Spiegel nach Allegheny geschickt, wo die Dr. Brashear unterwies und zu dem Ergebnisse kam, daß infolge unerer Strahlungen im Glas, die zentrale Anbohrung wahrscheinlich zu einem Bruche des Spiegels führen werde. Dies war in der Tat der Fall und es wurde im Juni 1901 ein neuer Spiegel bei der St. Gobain Glass-Compagnie bestellt, der gleich beim Gießen die erforderliche zentrale Anbohrung erhielt. Er trat im Winter 1902 auf 10 zu Allegheny ein und erhielt hier seine definitive Gestalt. Das schwache Montierung des Teleskops wurde in Los Angeles hergestellt und ein Doppelmessinggraph in der Instrumentenwerkstatt der Licksternwarte. Zum Schutze des großen Instrumentes war eine stählene Druckkugel von Warren & Swasey in Cleveland konstruiert und durch sechs Federn fest gesichert worden. Bei der Prüfung des Teleskops auf der Licksternwarte ergab sich aber, daß der große Spiegel sehr mangelhaft war und infolge Korrigierung des Verfertigers nichtig gemacht werden mußte. Ende Februar 1903 traf der verbesserte Spiegel wieder ein und die Expedition ging sofort nach Santiago de Chile ab, wo sie im April eintraf, bevor gerade die Regenzeit dort begann.

Ursprünglich hatte Prof. Campbell persönlich die Leitung der Expedition übernommen wollen, doch wurde er daran verhindert und für ihn trat der Astronom William H. Wright ein, der mit dem Ausmarsch seit August 1902 an der Konstruktion des großen Messinggraphen tätig gewesen war. Ihn begleitete Dr. H. K. Palmer als Assistent und am 25. Februar 1903 verließen sie des Hales von San Francisco.

Vom Mount Hamilton aus und auf der Licksternwarte Stern bis zu 30° südlicher Deklination erreichbar, allen

besonders zur Winterzeit ist es nicht unwahrscheinlich, solche von weniger als 20° südlicher Deklination zu beobachten. Zur Untersuchung auf der südlichen Halbkugel blieben also noch ungefähr  $\frac{1}{3}$  des ganzen Himmels übrig. Nach einem Vorschlage wurde die Zahl der Sterne bei nur 1/5 photographischen Größe, d. h. mit dem Doppelmessinggraphen erhalten. Später noch schärfe Messungen der Linsen in denselben erhalten, zwischen 150 und 175 genommen. Unter günstigen äußeren Verhältnissen und in Anbetracht, daß die Expedition nur einen einzigen Zweck verfolgte, war angenommen worden, daß je vier Aufnahmen jedes Sterns und eine größere Anzahl Spektrogramme solcher Sterne, die sich als spektroskopische Doppelsterne erweisen würden, in einem Zeitraum von zwei Jahren nach Errichtung des Observatoriums, erlangt werden könnten. Danach sollte man sich noch mehr, daß das Verhältnis der spektroskopischen Doppelsterne zur Zahl der andern hellen Sterne so groß ist als sich seitdem herausgestellt hat.

Von größter Wichtigkeit war die Wahl eines geeigneten Ortes für die Beobachtungsposten. Nach reiflichem Erwägen entschied man sich für den Gipfel des Cerro San Cristóbal, ungefähr 2,5 km nördlich von Santiago, 849 m über dem Meeresspiegel. Ungeachtet der Schwierigkeit, welche der winterliche Jahreszeit darbot, gelang es, das Observatorium mit allem Zubehör bis Anfang Oktober 1903 fertigzustellen. Die vorangegangenen Arbeiten dort endeten im Oktober 1905. Dr. Palmer lebte im September 1905 zurück und Prof. Wright arbeitete dann bis Februar 1906, wo sein Nachfolger eintrat.

Es wurden auf dem Observatorium die Spektren aller hellen südlichen Sterne von  $-25^{\circ}$  Deklination ab photographiert und auf Grund dieser Aufnahmen ward das Arbeitsbuch aufgestellt, gemäß dem 145 Sterne genauer untersucht wurden. Von diesen wurden je drei Spek-

bezeichnet aufgenommen und außerdem noch andere von solchen Sternen die ein besonderes Interesse darbieten. Die Gesamtzahl der Spektrogramme beträgt 800, davon bestehen sich 676 auf der Sterne der Antarktika, 62 auf solche, deren Spektra sich für gewisse Reagenzien nicht geeignet ergaben und 22 sind photographische Aufnahmen des Mars, der Venus und des Mondes behufs Prüfung der Genauigkeit der Messungen.

Unter den durch Wright und Palmer entdeckten Sternen mit veränderlicher Radialgeschwindigkeit, die also spektroskopische Doppelsterne sind, ist der Stern  $\epsilon$  Oriskany von besonderem Interesse. Seine veränderliche Radialbewegung wurde entdeckt durch Vergleich eines in Chile aufgenommenen Spektrogramms mit einem solchen das früher auf dem Mills-Spektrographen auf der Licksterne beobachtet worden war. Die wichtigsten Ergebnisse, welche die Expedition erzielte, möchten wir zusammenfassen, daß die Beobachtungen auf dem Cerro San Cristóbal noch längere Zeit fortgesetzt werden. Harlow untersucht, hat Herr Mills sich zugleich bereits erklärt, für eines Zeitraums von

weitem fünf Jahren stellbische Mittel zur Verfügung zu stellen, wovon auch der Instrumentpark bereitwilligst verwendet soll, so daß die Spektroskopischen auf lichtschwächsten Stern ausgebeutet werden können. Zum Leiter des Observatorium während dieser zweiten Periode der Tätigkeit wurde Dr. Huber D. Clark ernannt, während Prof. Wright im Mai 1908 nach Kalifornien zurück kehrte.

Die Genauigkeit der aus den Aufnahmen in Chile folgenden Ergebnisse für die Radialgeschwindigkeiten der Sterne ist von derselben Ordnung wie die aus dem Mills Spektrographen auf der Licksterne selbst, erheben. Ausmessungen der von Venus, Mars und dem Monde erhaltenen Spektrogramme ergaben, daß dieselben im Durchschnitt nur 62 km von der wirklichen Geschwindigkeit, wie solche auf dem Wege der Rechnung ermittelt werden können, abweichen. Insoweit betrifft Prof. Wright, daß zur Bestimmung von Radialgeschwindigkeiten ein Reflektor dem Reflektor vorzuziehen ist, während für allgemeine spektroskopische Arbeiten der Reflektor als das Überlegene Instrument betrachtet werden muß.

## Stereoskopische Bilder der Sonne.

(Herauld Bild 318.)

**D**er erste, welcher solche Bilder machte, war vor vielen Jahren De la Rue, indem er im Stereoskop direkte Photographien der Sonne zusammenstellte, die in Zeitintervallen bis zu zwei Tagen aufgenommen worden waren. Nach seiner Schilderung ergaben diese stereoskopischen Bilder die Sonnenflecke als Vertiefungen, der Sonnenfackeln dagegen als erhabene Gebilde. Solches scheint auf diesem Gebiete wenig mehr geschähen zu sein. Prof. George E. Hale kam im Sommer 1906 auf diese Methode der Herstellung von Sonnenbildern wieder zurück, indem

er in einem großen Stereoskopgestalt verschiedene Sonnenaufnahmen kombinierte. Das Ergebnis war sehr zufriedenstellend, denn die Sonne zeigte klar den Kugelform und die meisten Beobachter der Bilder sehen die Placoid der Sonnenscheibfläche als hervorragende Gebilde von wellenförmigem Charakter. Wenn die Zeitabstände der beiden Aufnahmen zu kurz war, ist der stereoskopische Effekt ungenügend, wie so zu lang, so verschieben die Lageänderungen zufolge der Sonnenrotation Urfolgslosigkeit in der Verschmelzung der Bilder zu einem ganzen.

Das auf Tafel XII in Lichtdruck wiedergegebene beiden Sonnenansichten sind am 22. August 1906 von Prof. Hale erhalten worden, die eine 7<sup>h</sup> 26<sup>m</sup> morgens, die andere 5<sup>h</sup> 21<sup>m</sup> nachmittags. Während dieser Zwischenzeit waren die Veränderungen im Aussehen der Flecken sehr merklich, doch erheben die Aufnahmen ein gutes Gesamtbild, wenn ein Glasobjektiv darinnen in das Strahlengut gebracht wird. Auch die vorliegenden Lichtdrucke lassen in einem Strahlengang wenigstens der sphärische Gestalt der Sonne deutlich

erkennen. Das Aussehen der Flecken als erhabene Punkte auf dem Sonnenballe magt sich, was Prof. Hale betont, am deutlichsten auf den Originalnegativen oder auf Positiven die in gleicher Weise reproduziert sind, am besten aber auf Heli des Stereokompositum. Prof. Hale hat für wahrscheinlich, daß Studien dieser Art noch manche Aufschlüsse über die Zustände auf der Sonne liefern dürfen, weshalb er sie allen empfiehlt, die sich mit Untersuchung spekulatohydropischer Planeten beschäftigen.

## Die scheinbare Bewegung der Sonnenflecke auf der Sonnenscheibe.

**E**rscheinlich bewegen sich die Flecken (sicherlich) von Ost nach West über die Sonnenscheibe, wenn man aber im Laufe des Tages, also morgens, nachmittags oder vor Sonnenuntergang, die Sonnenscheibe betrachtet, so sieht man, daß die scheinbare Lage eines Fleckes auf derselben sich im Laufe des Tages sehr ändert. Das ist u. a. neuerdings einem deutschen Schiffskapitän aufgefallen, der, da er sich die Sache nicht erklären konnte, darüber an die Deutsche Seewarte folgendes schrieb:

«Ein dunkler, runder Fleck, der am dritten Beobachtungstage ein Doppel-Fleck von ungleicher Intensität überging, schien sich mit vorrührender Geschwindigkeit gegen den Übergangspunkt der Peripherie zu bewegen, um den Sonnenmittelpunkt zu drehen. Er bewegte sich also nicht wie man vielfach zu beobachten glaubt, von Ost nach West in einer bestimmten Zone der Sonne.»

In den Annalen der Hydrographie wird demselben die richtige Erklärung der Erscheinung wie folgt gegeben:

«Die scheinbare Ordnung der Sonnenflecke um den Mittelpunkt der Sonnenscheibe ist durchaus nichts Auffälliges, vielmehr zeigen alle Flecke und sonstigen Objekte auf der Sonne die Erscheinung

Diese rührt daher, daß die Sonnenflecke sich im Laufe ihrer scheinbaren täglichen Bewegung relativ zum Horizont drehen, und zwar auf der südlichen Halbkugel im Sinne des Uhrzeigers. Denken wir uns z. B. einen Fleck am Westrande der Sonne, so wird derselbe bei Sonnenmittegang oben, bei Sonnenuntergang unten auf der Sonnenscheibe einzuerschauen. Diese scheinbare Drehung im Verlaufe mit der durch die Rotation der Sonne um ihre Achse hervorgerufenen Bewegung der Flecke von Ost nach West erklärt jene Beobachtungen vollständig. Daß in dem vorstehenden Falle die Drehung der Flecke entgegen dem Sinne des Uhrzeigers erfolgte, hat seine Ursache darin, daß bei der geringen südlichen Breite (Antilles Meer und Golf von Aden) und bei der großen nördlichen Deklination der Sonne (Anfang Juli) diese für den Beobachter um Helling im Norden stand. Im Uhrzeigersinn sich der hier gegebenen Bericht nicht durchweg auf ein und denselben Sonnenfleck, sondern der zuerst beobachtete ringförmige Fleck und der am dritten Beobachtungstage auftretende Doppel-Fleck sind nach weiteren Feststellungen verschiedene Flecke.

## Numerierung und Namen neu entdeckter kleiner Planeten.

**I**n endgültige Numerierung der kleinen Planeten erfolgt durch das Königlich Astronomische Reichsobservatorium in Berlin, welches unter Leitung von Prof. Dr. J. Neuschäpper steht. Als Fortsetzung der vom letzten gegebenen Numerierung, welche im Stern 1907, S. 30 mitgeteilt wurde, hat dasselbe jetzt wiederum ein Verzeichnis definitiver Nummernungen und Namen neu entdeckter kleiner Planeten veröffentlicht,<sup>1)</sup> das hier folgt. Die bisherige provisorische Bezeichnung der betreffenden kleinen Planeten ist ebenfalls aufgeführt.

No.	Prov. No.	Entdecker	entdeckt	Namen
600	1906 J 2	Neuwall	1906 Febr. 18	Marshall
601	1906 J 3	Neuwall	1906 Febr. 20	
602	1906 J 5	Neuwall	1906 Febr. 26	
603	1906 J 11	Neuwall	1906 Aug. 17	
604	1906 V 6	Kopff	1906 Sept. 24	
605	1906 V 8	Kopff	1906 Sept. 24	
606	1906 V 10	Kopff	1906 Sept. 24	
607	1906 V 17	Neuwall	1906 Sept. 24	
608	1906 V 18	Neuwall	1906 Sept. 26	
609	1906 V 11	Neuwall	1906 Sept. 26	
610	1906 V 19	Kopff	1906 Oct. 3	
611	1906 V 19	Kopff	1906 Oct. 31	
612	1906 V 20	Kopff	1906 Oct. 31	
613	1906 V 18	Kopff	1906 Oct. 31	
614	1906 V 11	Kopff	1906 Oct. 31	
615	1906 V 19	Kopff	1906 Oct. 31	Patriot
616	1906 V 22	Leibnitz	1906 Oct. 31	
617	1906 V 23	Kopff	1906 Oct. 31	
618	1906 V 23	Kopff	1906 Oct. 31	
619	1906 V 23	Kopff	1906 Oct. 31	Emilia
620	1906 V 21	Kopff	1906 Nov. 12	
621	1906 V 21	Neuwall	1906 Nov. 12	
622	1907 J 1	Leibnitz	1907 Jan. 22	
623	1907 J 2	Leibnitz	1907 Jan. 22	
624	1907 J 2	Kopff	1907 Febr. 18	Heine

No.	Prov. No.	Entdecker	entdeckt	Namen
625	1907 J 2	Kopff	1907 Febr. 18	
626	1907 J 2	Kopff	1907 Febr. 18	
627	1907 J 2	Kopff	1907 Febr. 18	
628	1907 J 1	Kopff	1907 Febr. 18	
629	1907 J 1	Kopff	1907 Febr. 18	
630	1907 J 2	Kopff	1907 Febr. 18	
631	1907 J 1	Kopff	1907 Febr. 18	
632	1907 V 18	Kopff	1907 April 5	
633	1907 J 2	Kopff	1907 Mai 12	
634	1907 J 2	Kopff	1907 Mai 12	
635	1907 J 2	Leibnitz	1907 Juni 9	

Es erweisen sich bei näherer Untersuchung mehr wenige Anfangs für neu gefundene und provisorisch benannten kleine Planeten als identisch mit bereits früher bekannten. So z. B. der provisorisch als 1906 J 17 bezeichnete Planet als identisch mit dem längst bekannten Planeten Mars, Planet 1906 J 23 als identisch mit dem Planeten Euphrosyne etc. Von neuen kleinen Planeten, die in jüngerer Zeit entdeckt wurden, müssen weitere Beobachtungen abgewartet werden, die es möglich wird, ihre Bahnen zu berechnen und also eine definitive Numerierung vorzunehmen, wie wiederum andere kleinen Planeten konnten wegen ungenügenden Beobachtungsmaterials bisher noch wegen ihrer Haupt nicht aufgeführt werden. Die provisorische Identifizierung der neu entdeckten Planeten ist ebenso schwierig und mühevoll und wird in dem Maße als sich neue Entdeckungen zur Anmeldung kommen immer weitestgehender.

## Die Bahn des spektroskopischen Doppelsterns $\alpha$ Cancri.

**D**ieser Stern  $\delta$  5 Crabe, dessen Ort am Himmel  $\text{AR} = 9^{\text{h}} 2^{\text{m}} 10^{\text{s}}$   $\delta = 11^{\circ} 4'$  ist, wurde von Prof. Frost und W. Adams vom Lickobservatorium durch spektrographische Aufnahmen als Doppelstern erkannt. Das System gehört zu demjenigen, welche den Über-

gang mit den Spektren des Oriontypen ist, die des Siriusstypen bezeichnen. In Gemessen sehen die Wasserstofflinien stark und schwach hervor, die Heliumlinien mit den Wellenlängen  $\lambda = 4009$ , 4026, 4144, 4356 und 4472 und dergleichen kaum sichtbar. Die Kohlenstofflinien  $\lambda$  4267 ist gut sichtbar und die Bleispektren  $\lambda$  4129 und 4131 zeigen

<sup>1)</sup> Astron. Nachr., No. 496.

sich gut zur Veranschaulichung. Fürsich erscheint die Linie K sehr stark und scharf und auch die Magnesiumlinien 2 4481 ist gut definiert. Das auf der Verlebenswerke von Anfang 1904 bis Mai 1907 erhaltenen Spektroskopischen sind jetzt von Neuen (Schwabe) vermessen und das Ergebnis zu einer Reihenberechnung dieses spektroskopischen Doppelsystems benutzt worden.<sup>1)</sup> Die gemessenen Radialgeschwindigkeiten des Stern vermessen zwischen +89.1 und —52.9 km, also nicht erheblich. Die Umlaufperiode um den Schwerpunkt ergibt sich zu 6.763 Tagen. Für die Radialgeschwindigkeit, mit der sich der Schwerpunkt des Systems bewegt, fand sich

+29.3 km pro Sekunde. Die Exzentrizität der Bahn beträgt 0.149, die große Halbachse der Bahn 1980000 km, falls diese Bahn in der Ebene der Beobachtung zur Erde liegt. Die Messungen, aus denen diese Ergebnisse abgeleitet sind, beziehen sich ausschließlich auf die Hauptkomponente des Spektrums von «Canis», denn dieser Stern zeigt noch ein anderes Spektrum wie Procyon, Front und Antares gehörend haben. Die Umlauf, welche diesem zugehörig, sind jedoch so fern, daß sie wohl genau genug zu messen waren und muß daher Untersuchung ausgeschlossen werden bei weiteren und geeigneteren Aufnahmen vor liegen.

## Die Sternverteilung um die großen Nebel bei $\epsilon$ Persei und $\epsilon$ Monocerotis.

**P**rofr Wolf hat vor mehreren Jahren an der Hand seiner Nebelaufnahmen die bemerkenswerte Tatsache entdeckt, daß in der Gegend der Nebelwolken, wenn möglich mit solchen Stellen verbunden, wo die Sternzahl plötzlich geringer wird und bei der keine schwachen Sterne vorhanden sind, stets finden sich solche Nebel oder wenigstens deren wahrnehmbaren Teile zusammen mit umgebenen Sternhaufen. Zwei hervorragende Beispiele dieser Art hat A. Kopff untersucht, nämlich den großen Orionnebel und den sogenannten America-nebel. Jetzt hat nun K. Lehnert die Sternverteilung um die großen Nebel bei  $\epsilon$  Persei und bei  $\epsilon$  Monocerotis untersucht und die Tatsache auch hier bestätigt gefunden.<sup>2)</sup>

Seine Nebelaufnahme, sagt Lehnert, zeigen deutlich die von Prof. Wolf

gefundene Erscheinung der umhüllenden und ausströmig verschobenen Sternhaufen.

Die Aufnahmen, die der Untersuchung zugrunde gelegt wurden, sind von Prof. Wolf am 18. Dezember « des Stern-Telegraphen gemacht, und zwar

11044  $\epsilon$  Perseidnebel, 1904 Oktober 15,  
Belichtung 5 Stunden 3 Min.

11410  $\epsilon$  Monocerotidnebel, 1905 Jan 23,  
Belichtung 6 Stunden 0 Min.

Die Platten, die das Format 24.5x30 cm besitzen, wurden von Lehnert unter dem Mikroskop des Reprographenapparates abgelesen. Dabei war eine Platte, die im Quadranten von je 4 mm Seitenlänge geteilt war, Schicht gegen Schicht auf die Aufnahmen gelegt. Zu diesem Zweck hatte Prof. Wolf mittels einer Teilmaschine, die ihm die Firma Wolf Herwarth in Heidelberg zur Verfügung gestellt hatte, eine Glasplatte von 24.5x30 cm mit dem Diamant geteilt und auf photographischem Wege Abzüge auf Trockenplatten davon genommen. Einer dieser Abzüge wurde Lehnert zu seinen Zeichnungen zur Ver-

<sup>1)</sup> Astrophysical Journal, 1907 June, p. 395.

<sup>2)</sup> Verh. Stern 1903, S. 47.

<sup>3)</sup> Publikationen der Astronomischen Institut, Königstuhl-Heidelberg, Bd. II, No. 11.

hängig gestellt. Da der Abzug glatter war, so konnten die schwächeren Sterne geprüft werden. Jedes Quadrat wurde mindestens zweimal geprüft.

Lohrert gibt Tabellen, in denen die Sternzahlen der einzeln geprüften Quadrate des ausgelegten Netzes eingetragen sind und auf Grund von denen bei er die Sternverteilung graphisch in Karten dargestellt, welche weiß, einfach, zwei-, drei- und vierfache schraffierte Quadrate enthalten, je nach der Zahl der darin vorhandenen Sterne. Aus diesen Karten erkennt man bei blassen Nebelflecken die Sternreize, die die Nebel umhüllt und den Sternreize Weg, der sich ausnahmsweise ausnahmsweise Sternreize in anderen eine sternförmige Gruppe sehr heller Sterne, die fast genau durch den Nebel von 12 Messuren angeordnet sind.

Prof. Wolf macht zu diesen Untersuchungen noch folgende Bemerkung:

„Da von Herrn Lohrert bearbeiteten beiden Nebelflecken zeigen in ihrer Form die von mir früher beschriebene Erscheinung der Straßenbildung der Milchstraßen. Ich konnte namentlich auch die Bewegungsrichtung des Vorwärtsschrittes der Nebelflecken zu umfassen sehen. Es ergibt sich, wobei ich auch noch die beiden früher von uns beobachteten Nebel hier mit bemerke.“

4 Orionnebel  $\alpha = 5^h 20^m \delta = -5^{\circ} 20'$ ,  
Pos. Winkel  $221^{\circ}$   
12 Messuren  $\alpha = 5^h 20^m \delta = -5^{\circ} 20'$ ,  
Pos. Winkel  $221^{\circ}$   
2 Perseusnebel  $\alpha = 3^h 30^m \delta = +4^{\circ} 20'$ ,  
Pos. Winkel  $121^{\circ}$   
Hornnebel  $\alpha = 2^h 20^m \delta = +4^{\circ} 20'$ ,  
Pos. Winkel  $121^{\circ}$

Bringt man die größten Kerne, die unter diesen Positionswinkeln durch die Objekte gegangen werden konnten, für zwei Objekte zum Schnitt, so liegt dieser Schnittpunkt

bei Hornnebel  $\alpha = 2^h 20^m \delta = +4^{\circ} 20'$   
2 Perseusnebel  $\alpha = 3^h 30^m \delta = +4^{\circ} 20'$   
bei 2 Perseusnebel und  
Hornnebel  $\alpha = 2^h 20^m \delta = +4^{\circ} 20'$   
bei Orionnebel und  
2 Perseusnebel  $\alpha = 3^h 30^m \delta = +4^{\circ} 20'$

Es ergibt sich somit eine auffallende Übereinstimmung, wie sie auch Gompertz vermehrt hat.

Wenn man von einem gemeinsamen Zeitpunkt reden wollte, so wäre der selbe etwa 1840

$AR = 22^h 34^m \quad D = +55.5^{\circ}$  (1840) zu setzen, also mitten in der Milchstraße, südlich von  $\delta$  Cepheus. Von uns aus gesehen, zeigen der Hornnebel und der 2 Perseusnebel die entgegengetragene Bewegungsrichtung, als die zwei südlichen Nebel. Es ist bemerkenswert, daß der 2 Perseusnebel von dem „Zirkel“ weggerückt ist, während die drei andere ihm zuströmen.

## Ein Nebelfleckhaufen und Nebelreichtum in Sagittarius 1)

**74**al einer mit dem Bruce Teleskop gemachten Aufnahme von 16. Juli 1904, mit 3 Stunden Belichtung, sind ich nahe der Mitte etwa  $1^{\circ}$ , Süd nördlich von  $\epsilon$ , Sagittarii einen ungeordneten Nebelfleckhaufen, der einen ähnlichen Anblick darbietet, wie der Nebel bei 26-Cyk. Er erscheint als schwaches, zerstücktes Wolkenchen von deutlich gespreiztem Aussehen, so daß ich auf die Vermutung kam, es auch hier mit

einem Nebelfleckhaufen anderer Art zu tun zu haben.

Eine Aufnahme mit dem Bruce Teleskop vom 16. Juli dieses Jahres ergab das gleiche Aussehen des Nebels. Die ganze Platte (die deckte etwa 15 Quadratgrade) zeigte sich außerdem so bedeckt mit schwachen Nebelfleckchen, namentlich einer Klasse, die mit starker Verdichtung) ausgefüllt, und in der Umgebung des großen Nebels ließen sich so viele Nebelkerne unterscheiden, daß die vorigen Jahr ge-

1) Astron. Nachr., Nr. 4302

logte Vorrichtung zur Übertragung wurde. Ich photographierte deshalb am 8. August 1907 den Nebelknoten bei einer Belichtung von 3 Sekunden 2 Minuten mit dem Walther-Flinter. Obwohl die Platte nicht sehr schnell war, wegen der Lichtstärke und der hohen Lage des Objekts, fällt sich doch erkennen, daß der Nebel aus zahllosen einzelnen Nebelflecken zusammengesetzt erscheint.

Im nördlichen Rand des Hutes liegen die zwei für den Reflektor helles Nebel: Index-Catalogue 1366 und New General Catalogue 6622. Der letztere ist von Barnard, der ersten von Stone entdeckt. Der Barnardsche Nebel geht dem Sternchen 12<sup>o</sup> voran und liegt bei ganz auf derselben Parallelen, eine Spur nördlicher. Er ist etwas heller als der Starsche Nebel und besteht aus sternenförmigen, nachfolgenden und mehrere stellige, voneinander Kette. Von dieser Gegend (ganz nördlicher) erstreckt sich die abgrenzte Nebelwolke in unregelmäßiger, etwas runder Form, mit etwa 20<sup>o</sup> Durchmesser, nach Süden. Ihre Mitte liegt (für 1895.0) in  $AR = 15^{\circ} 36' 45.0''$   $D = -15^{\circ} 10.1'$ . Der innere Teil setzt in seiner Erstreckung unter einem Positionswinkel von etwa 30<sup>o</sup> eine Spur westlich von

der angegebenen Mitte fort. Hier sind auch die Nebelkerne am hellsten und durch helles diffuse Schein verbunden, während sie weiter außen in unregelmäßiger Anordnung großenteils verschwinden, bis sie schließlich der Kraft des Reflektors entweichen. Im allgemeinen sind die Kerne zu schwachen und stehen zu dicht, um, wenigstens auf der vorhandenen Reflektorstärke, voneinander gehalten und getrennt werden zu können.

Auf dem Platten vom Graze-Teleskop sind überhaupt nur die hellsten Kerne sichtbar und alle übrigen zu diffusen Schein verschmolzen, der gewöhnliches Aussehen besitzt.

Wie schon bemerkt, ist der Reflektor am Nebelknoten in der ganzen Umgebung, die doch den Rand der nennswürdigen Gegend der Milchstraße bildet, allgemein groß und wird wohl nicht beträchtlich weiter gegen am Pol der Milchstraße zurückziehen. Der angegebenen Nebelkerne ist es, was beobachtet, ganz dicht gedrängt, was ein enger Sternhaufen und bildet deshalb ganz ganz andere Anblick als jene Gegend in Coma Berenices, wo die meisten Nebel durch sehr große Zwischenräume getrennt sind.

M. Wolf.

## Vermischte Nachrichten.

**Verschiebung des Saturnrings.** Beobachtungen größtenteils des letzten Verschiebens des Saturnrings bei Herrn Dr. E. Fritsch in Dresden an seinem vorzüglichem Äquatorial von 125 mm Objektivöffnung angestellt. Beobachtungen Vergrößerungen waren 60 bis 160fältig. Im nachfolgenden sind die Aufzeichnungen des Beobachters kurz wiedergegeben. Die beigefügte Ringbreite ist die theoretisch berechnete der Epochenmitte.

8. Septbr. 1907, Ringbreite 0.66<sup>o</sup>. Schein mit 60fältiger Vergrößerung stellt sich der Ring als freie Linie dar, die

bei 300fältiger Vergrößerung zu einem dicken Strich anwächst.

22. Septbr. 1907, Ringbreite 0.84<sup>o</sup>. Obwohl der beobachtete volle Mond nur 16<sup>o</sup> von Saturn entfernt war, gelang die Erkennbarkeit des Ringes dennoch bereits mit 60fältiger Vergrößerung.

24. Septbr. 1907, Ringbreite 0.91<sup>o</sup>. Mit 60fältiger Vergrößerung noch eben sichtbarer Ring. Bei 300fältiger Vergrößerung aber sehr deutlich. Zugleich war außer Titan auch Rhos sichtbar, obwohl der wahre volle Mond nur etwa 30<sup>o</sup> davon entfernt war.

16. Septbr. 1907, Ringbreite 0.91<sup>o</sup>

Mit 30-facher in der Ring nicht, auch nicht mit 30-facher Vergrößerung ankommen. Er erschien aber bereits mit 125-facher und ganz deutlich mit 200-facher Vergrößerung. Bei 300-facher Vergrößerung sah ich in der Richtung der großen Ringseite drei kleine Sterne, wahrscheinlich die Trabanten Titan, Rhea und Japetus.

Bei dieser Beobachtung zeigte sich bei starker Vergrößerungen das bedeutende Überlappung der monogenen Ovale gegenüber den Nebenringchen.

22. Septbr 1907, Ringbreite 0.18". Mit 125-facher kann noch sichtbar, aber auch mit 200-facher Vergrößerung noch viel besser. Eine stärkere Vergrößerung, es wurde bis 360-fach probiert, gab mir diesmal die minder gute Luftschaffenheit an. Das letztere schlechter war, bewies die Beobachtung von 1 und 5 in Lynx, welche gewöhnlich höchst mit 125-facher Vergrößerung gelöst werden, heute aber sogar mit 200-facher Schwanzgluten haben.

Jedenfalls ergab sich für dieses Instrument, daß der Ring, oder eine kreisförmige Linie, mindestens etwa  $\frac{1}{2}$  Sekunde Brenn haben muß, um noch erkannt zu werden.

Gefährlich nahm die Ringbreite bis zum 1. Oktober bis zu 0.60" ab. Dann aber wurde nur der Ring gesehen, alle oder fast in den Schatten, weil die Sonne die Südseite des Ringes beleuchtete, während uns die nördliche Fläche desselben zugewandt war.

Infolge dessen war bei allen Beobachtungen, die schon dem 10. Oktober anhielt, gar kein Ring zu sehen. Dieser Zustand der Unsichtbarkeit des Ringes wird bis zum Januar 1908 anhalten und wird für jeden Beobachter schon darum von großer Interesse, weil derartige Kometenbeobachtungen überhaupt nicht ohne Glück scheitern, und wenn es reichliche Anzeichen immer so gut wie diesmal zu beobachten sind.

**Metallische und Stahl.** Auf der letzten Vorlesung des Iron und Steel

Institut zu Wien am 24. September 1907 hielt Prof. F. Sauerwald (Wien) darüber einen bemerkenswerten Vortrag. Nach den neuesten Untersuchungen des Meteoriten kann dieses in der Kategorie des Stahls eingereiht werden, der Hauptunterschied besteht darin, daß die höchst feingekornigten Stahlsorten in der Hauptsache Eisenkohlendioxid-Lagerungen sind, das Meteoriten dagegen von Eisen und Legierung mit metallischen Kohlenstoff ist. Während man die Kohlenstoffstufe gemäß ihrer außerordentlich großen technischen Bedeutung sehr eingehend studiert hat, so man dem Nickelstahl, der aber gerade für den Meteoritenforscher von Wichtigkeit ist, erst in jüngerer Zeit schon die Aufmerksamkeit mehr Aufmerksamkeit geschenkt. Aber auch gewisse Untersuchungen an gewöhnlichem Stahl sind für die Meteoritenforschung von großer Bedeutung. Hierzu gehören die Arbeiten von Prof. Arnold und Mr. Williams, welche gezeigt haben, daß in Stahl von 0.1% Kohlenstoff die bekannten Widmanstätten-Figuren, die früher als wesentliche Charaktereigenschaften der meteorischen Ursprung gedeutet haben, durch Abwechslung von Ferrit und Perlit gebildet werden können, und daß desselben vorhanden, wenn das Metall bis auf 950° C. erhitzt und langsam abgekühlt wird. Es ergibt sich somit eine vollständige Übereinstimmung in der Struktur mit dem ordinären Ferritmasse, dessen Verhalten beim starken Erhitzen Prof. Sauerwald schon vor der Publikation der oben genannten Arbeit von Arnold und Mr. Williams untersucht hatte. In einem andern Fall haben Osmond und Corrad bei ihrer Untersuchungen der Meteoriten von La Caille von Timbuctu gefunden, daß auch für das Verhalten der Meteoriten ein Diagramm konstruieren ist, das demjenigen ähnlich ist, welches durch Erhitzen von künstlichen Nickellegierungen erhalten wird, allerdings mit dem Unterschied, daß die unendlich langsame Abkühlung des einen, die unter be-



restriktion Bedingungen nicht nachgefragt werden kann, vulkanarere Substrat) bei den natürlichen Metakonglomerationen strahlt bei, während die künstlich korpuskulierten nur als metastabil betrachtet werden können. Concord hat schon früher gezeigt, daß bei langsame Abkühlung Eisen von oxidischer Struktur gebildet wird, wo der Perlit die Zwischenräume zwischen den Ferrosilicaten ausfüllt, sowie der Plasmazwischen den Kometenstreifen im Meteoriten ausfüllt. Innerhalb des Meteoriten die oxidischen Gefüge im Perlit zeigt, die dem des Plasmazwischen Meteoriten sehr ähnlich ist. Nach allem ist zu hoffen, daß es durch geeignete Wahl und Behandlung des Materials gelingen werde, die Struktur des Meteoriten auch bei den aus dem Selbstschmelzgefuge gewonnenen Produkten zu erzielen. Die Vereinigung von größerer Härte mit außerordentlicher Zähigkeit, welche das Zerschneiden des Meteoriten sehr erschwert, ist in der Hauptsache auf sein wellenförmiges Gefüge zurückzuführen, könnte man auch bei den künstlichen Nickelbleih dieses Gefüge nachahmen, so wäre ein Material gegeben, die Festigkeit und Dauerhaftigkeit dieses Materials zu erhöhen. Schon zu Zeiten, wo man noch nichts von dem Gefüge des Stahles wußte, legte man bestimmten Meteoriten, nämlich jenen von Sals in Zentralen, die Ausgangspunkt für die Herstellung eines Spezialstahls für dynamische Klingen. Prof. Sawerth besaß auch die bekannte Wiener Meteoritenammlung, die schon für die Forschungen von Chladni, Haidinger, Reicherts, Tschermak, Coben und Bruns das Material geliefert hat. Darnach und Meteoriten von 611 verschiedenen Orten in der Wiener Sammlung schenkt und zwar in 2075 Stücken, deren Gesamtgewicht 453 663 298 g (hat 31), Thomas beträgt. Darnach befinden sich 232 Exemplaren im Gewicht von 2477 000 g. Die wichtigsten Bestandteile des Meteoriten sind: 1. Komet, 2. Tschermak, 3. Plasm,

4. Capherl ( $\text{Fe}_2\text{C}$  oder Zement), 5. Schmelzmetall (Nickelcupronickel), 6. Tschermak ( $\text{FeS}$ ), 7. Darnach, 8. Capherl (Capherl nach Darnach), 9. Graphit oder unpolymorphes Kohlenstoff, 10. Darnach ( $\text{FeS}_2\text{S}_3$ ), 11. Capherl (darnach Kometen), 12. Capherl, 13. Eisen, 14. Eisen, 15. Darnach und 16. Weinberg ( $\text{FeNiS} + \text{FeSi}_2$ ).<sup>1)</sup>

Die veränderlichen Sterne T Sphärid und T Volpazien. Die auf der Lichtkurve spektroskopisch bestimmte Rotationsgeschwindigkeit dieser beiden Sterne während der Periode ihres Lichtwechsels, bei Sebastian Albrecht zu einer grossen Untersuchung der Beziehungen der Helligkeitsänderungen zur Änderung der Rotationsgeschwindigkeit benutzt.<sup>2)</sup> Beide Sterne gehören einem Typus der Veränderlichen an, welcher als  $\delta$ -Cephei-Typus bezeichnet wird. T Sphärid wurde 1846 von Sawyer als veränderlich erkannt. Sein Ort am Himmel (für 1900.0) ist  $\text{AR} = 17^{\text{h}} 47.1^{\text{m}}$ ,  $\text{D} = -6^{\circ} 1'$ , seine Helligkeit schwankt zwischen 6.2 und 7.0 Größe und die Dauer des Lichtwechsels ist nach Chandler 17.700 Tage. Die spektroskopischen Beobachtungen des Sterns lieferten den Zeitraum vom Mai 1905 bis August 1908. Der Veränderliche T Volpazien ist 1885 von Sawyer entdeckt worden. Sein Ort am Himmel (für 1900.0) ist  $\text{AR} = 30^{\text{h}} 47.1^{\text{m}}$ ,  $\text{D} = +22^{\circ} 52'$ , seine Helligkeit schwankt zwischen 5.5 und 6.5 Größe und die Periode des Lichtwechsels beträgt 4.016 Tage. Die spektroskopischen Aufnahmen ergaben nun auch die Untersuchung von Albrecht, der Zusammenhänge der Zeit größerer Helligkeit mit der Epoche der schärfsten Ausdehnung in der Geschwindigkeit gegen die Erde. Etwas Ähnliches hat sich auch bei den sonst bekannten Sternen des  $\delta$ -Cephei-Typus, für welche analoge Untersuch-

<sup>1)</sup> Chandler Zeitung, Köln 1907, No. 10.

<sup>2)</sup> Astrophysical Journal 1907, Jan p. 128.

wegen vorgelegt, gerügt, nämlich bei den Vorstandsleuten Dörmann, v. Agulles, J. Capla, W. Sayntan, T. Vajnerstein, V. Ophusch, U. Agulles, X. Sayntari, S. Sayntari und W. Ogel gegeben. Man muß hiermit schließen, daß bei diesem Stimm die Vorstandsungen der Helgoland und der Ostseewissenschaft in der Leitung der nördlichen Ursache angeschlossen sind.

**Neuauflage der 30. Februar.** Mit Bezug auf die Mitteilung S. 140 des Briefs schreibt uns Herr Prof. Meyer aus Riga:

—Es hat doch dann 30. Februar gegeben, und zwar im Jahre 1712. Unter Karl XII wurde in Schweden ein besonderer Kalender eingeführt, der vom Schicksale 1700 bis zum 30. Februar 1712 in den ausgedruckten Beilagen des Königs im Gebrauch war. Dieser «Königlich Schwedische Kalender» unterscheidet sich durch die Behandlung des Schicksales von dem andern damals gebräuchlichen Kalendern; die reine Veranlagung zwischen dem Jahresbeginn und dem 30. Februar im Jahre 1712 durch eine Veranlagung des Februars bis auf 30 Tage der Überweisung mit dem «alten Stil» wieder herzustellen. Dieses Mißlingen der Quellangaben hat man in Rostock Kalender 1980, Riga, im Verlage von Ad. Bauer, Riga.

**Marshall Leewy, der Deklar der Perseus Sternwarte,** ist am 14. Oktober während einer Sitzung im Museum des Innern an einem Schlaganfall gestorben. Leewy war am 15. April 1853 in Wien geboren, studierte unter Litrow Astronomie und fand seine erste Anstellung in der Wiener Sternwarte. Im Jahre 1866 kam er an die Pulkowa Observatorium, das durch seine Leewers Leitung stand. Fünf Jahre später wurde er Abteilungsleiter in der Sternwarte, nachdem er schon ein Jahr zuvor in das Bureau der Longitudinalen berufen worden war, wo ihm insbesondere die

Rechnungen der jährlichen zeitlichen Veränderung des Perseus oblag. Nach Leewers Tode 1875 wurde er (jetzt Admiral Morosow als Deklar) Subdirektor und 1886 erster Deklar der Pulkowa Sternwarte. Schon 1873 hatte ihn die Akademie des Sciences in Delaunays Stelle unter den Mitgliedern aufgenommen, später wurde er auch korrespondierendes Mitglied der Akademie von Wien, Petersburg, Berlin 1894, der Royal Society in London, die ihm 1908 die große goldene Medaille verlieh, und anderer gelehrter Vennigungen. Leewys Stärke lag namentlich auf dem Gebiete der rechnenden Astronomie, wie seine Arbeiten über die Bestimmung von Planeten und Kometenbahnen, über neue Methoden zur ununterbrochenen Bestimmung der Refraktion (1866 bis 67), über Bestimmung von Längendifferenzen, der Aberrationstheorie u. a. bezeugen. Von seinen Erfindungen ist dem Gebiete der astronomischen Technik am meisten bekannt die Konstruktion eines neuen Refraktors (diagonalis coust) zu erwähnen, mit dessen Hilfe es ihm gelang, ausgezeichnete Himmels- und namentlich Mondphotographien herzustellen. Unter seiner Leitung entstand der große, noch unvollendete Atlas photographique de la Lune, dessen Pläne in Hellogravüre reproduziert, die besten Karten des Mondes darstellen. Weniger bedauernd ist der dazu gehörige Text, der sich meist mit astronomischen Spekulationen befaßt.

**Feuerstürze für Freunde der Himmelsbeobachtung.** Aus dem Lauskrone des «Sinas» sind aus mehreren großen und kleinen sehr gut erhaltenen Fernrohren vom Verfaule insgesamt geworden. Freunde der Himmelsbeobachtung, welche die Anschaffung eines solchen Instruments beabsichtigen, und sich desselben zu bedienen, können sich zu jeder gewünschten Anzahl gern bereit. Prof. Dr. Klein.

# Astronomischer Kalender für den Monat Februar 1908.

Tag	Sonnen						Mond							
	Mittlere Berliner Zeit						Mittlere Berliner Zeit							
	Zeitg. H. 2.—W. 2.	Rektaszension			Declination			Rektaszension			Declination			Mond im Meridian
	h. m. s.	h. m. s.	h. m. s.	h. m. s.	h. m. s.	h. m. s.	h. m. s.	h. m. s.	h. m. s.	h. m. s.	h. m. s.	h. m. s.	h. m. s.	h. m. s.
1	+11 56.00	20 54 48.00	—12 58 58.9	h. 5 40.00	—11 56 30	h. 5 40.00	h. 5 40.00	h. 5 40.00	h. 5 40.00	h. 5 40.00	h. 5 40.00	h. 5 40.00	h. 5 40.00	h. 5 40.00
2	12 54.47	20 55 48.99	12 58 59.1	5 41.70	11 57 30	5 41.70	5 41.70	5 41.70	5 41.70	5 41.70	5 41.70	5 41.70	5 41.70	h. 5 41.70
3	13 53.40	21 56 49.98	13 59 00.0	5 43.40	11 58 10	5 43.40	5 43.40	5 43.40	5 43.40	5 43.40	5 43.40	5 43.40	5 43.40	h. 5 43.40
4	14 52.37	21 57 50.97	14 59 01.0	5 45.10	11 58 50	5 45.10	5 45.10	5 45.10	5 45.10	5 45.10	5 45.10	5 45.10	5 45.10	h. 5 45.10
5	15 51.30	21 58 51.96	15 59 02.0	5 46.80	11 59 30	5 46.80	5 46.80	5 46.80	5 46.80	5 46.80	5 46.80	5 46.80	5 46.80	h. 5 46.80
6	16 50.27	21 59 52.95	16 59 03.0	5 48.50	12 00 10	5 48.50	5 48.50	5 48.50	5 48.50	5 48.50	5 48.50	5 48.50	5 48.50	h. 5 48.50
7	17 49.20	22 00 53.94	17 59 04.0	5 50.60	12 00 50	5 50.60	5 50.60	5 50.60	5 50.60	5 50.60	5 50.60	5 50.60	5 50.60	h. 5 50.60
8	18 48.17	22 01 54.93	18 59 05.0	5 52.70	12 01 30	5 52.70	5 52.70	5 52.70	5 52.70	5 52.70	5 52.70	5 52.70	5 52.70	h. 5 52.70
9	19 47.10	22 02 55.92	19 59 06.0	5 54.80	12 02 10	5 54.80	5 54.80	5 54.80	5 54.80	5 54.80	5 54.80	5 54.80	5 54.80	h. 5 54.80
10	20 46.07	22 03 56.91	20 59 07.0	5 56.90	12 02 50	5 56.90	5 56.90	5 56.90	5 56.90	5 56.90	5 56.90	5 56.90	5 56.90	h. 5 56.90
11	21 45.00	22 04 57.90	21 59 08.0	5 59.00	12 03 30	5 59.00	5 59.00	5 59.00	5 59.00	5 59.00	5 59.00	5 59.00	5 59.00	h. 5 59.00
12	22 43.57	22 05 58.89	22 59 09.0	6 01.10	12 04 10	6 01.10	6 01.10	6 01.10	6 01.10	6 01.10	6 01.10	6 01.10	6 01.10	h. 6 01.10
13	23 42.50	22 06 59.88	23 59 10.0	6 03.20	12 04 50	6 03.20	6 03.20	6 03.20	6 03.20	6 03.20	6 03.20	6 03.20	6 03.20	h. 6 03.20
14	24 41.47	22 08 00.87	24 59 11.0	6 05.30	12 05 30	6 05.30	6 05.30	6 05.30	6 05.30	6 05.30	6 05.30	6 05.30	6 05.30	h. 6 05.30
15	25 40.40	22 09 01.86	25 59 12.0	6 07.40	12 06 10	6 07.40	6 07.40	6 07.40	6 07.40	6 07.40	6 07.40	6 07.40	6 07.40	h. 6 07.40
16	26 39.37	22 10 02.85	26 59 13.0	6 09.50	12 06 50	6 09.50	6 09.50	6 09.50	6 09.50	6 09.50	6 09.50	6 09.50	6 09.50	h. 6 09.50
17	27 38.30	22 11 03.84	27 59 14.0	6 12.00	12 07 30	6 12.00	6 12.00	6 12.00	6 12.00	6 12.00	6 12.00	6 12.00	6 12.00	h. 6 12.00
18	28 37.27	22 12 04.83	28 59 15.0	6 14.10	12 08 10	6 14.10	6 14.10	6 14.10	6 14.10	6 14.10	6 14.10	6 14.10	6 14.10	h. 6 14.10
19	29 36.20	22 13 05.82	29 59 16.0	6 16.20	12 08 50	6 16.20	6 16.20	6 16.20	6 16.20	6 16.20	6 16.20	6 16.20	6 16.20	h. 6 16.20
20	30 35.17	22 14 06.81	30 59 17.0	6 18.30	12 09 30	6 18.30	6 18.30	6 18.30	6 18.30	6 18.30	6 18.30	6 18.30	6 18.30	h. 6 18.30
21	31 34.10	22 15 07.80	31 59 18.0	6 20.40	12 10 10	6 20.40	6 20.40	6 20.40	6 20.40	6 20.40	6 20.40	6 20.40	6 20.40	h. 6 20.40
22	32 33.07	22 16 08.79	32 59 19.0	6 22.50	12 10 50	6 22.50	6 22.50	6 22.50	6 22.50	6 22.50	6 22.50	6 22.50	6 22.50	h. 6 22.50
23	33 32.00	22 17 09.78	33 59 20.0	6 24.60	12 11 30	6 24.60	6 24.60	6 24.60	6 24.60	6 24.60	6 24.60	6 24.60	6 24.60	h. 6 24.60
24	34 30.97	22 18 10.77	34 59 21.0	6 26.70	12 12 10	6 26.70	6 26.70	6 26.70	6 26.70	6 26.70	6 26.70	6 26.70	6 26.70	h. 6 26.70
25	35 29.90	22 19 11.76	35 59 22.0	6 28.80	12 12 50	6 28.80	6 28.80	6 28.80	6 28.80	6 28.80	6 28.80	6 28.80	6 28.80	h. 6 28.80
26	36 28.87	22 20 12.75	36 59 23.0	6 30.90	12 13 30	6 30.90	6 30.90	6 30.90	6 30.90	6 30.90	6 30.90	6 30.90	6 30.90	h. 6 30.90
27	37 27.80	22 21 13.74	37 59 24.0	6 33.00	12 14 10	6 33.00	6 33.00	6 33.00	6 33.00	6 33.00	6 33.00	6 33.00	6 33.00	h. 6 33.00
28	38 26.77	22 22 14.73	38 59 25.0	6 35.10	12 14 50	6 35.10	6 35.10	6 35.10	6 35.10	6 35.10	6 35.10	6 35.10	6 35.10	h. 6 35.10
29	39 25.70	22 23 15.72	39 59 26.0	6 37.20	12 15 30	6 37.20	6 37.20	6 37.20	6 37.20	6 37.20	6 37.20	6 37.20	6 37.20	h. 6 37.20
30	40 24.67	22 24 16.71	40 59 27.0	6 39.30	12 16 10	6 39.30	6 39.30	6 39.30	6 39.30	6 39.30	6 39.30	6 39.30	6 39.30	h. 6 39.30
31	41 23.60	22 25 17.70	41 59 28.0	6 41.40	12 16 50	6 41.40	6 41.40	6 41.40	6 41.40	6 41.40	6 41.40	6 41.40	6 41.40	h. 6 41.40

Planetenkongkulationen 1908.

Februar	1	210	Merkur in Konjunktion mit dem Monde.
2	4	5	Venus in Konjunktion mit dem Monde.
3	8	10	Saturn in Konjunktion mit dem Monde.
4	9	9	Jupiter in Konjunktion mit dem Monde.
5	9	10	Mars in obersteigendem Knoten.
6	20	9	Venus in Konjunktion mit Saturn, Venus 1 <sup>te</sup> 10 <sup>te</sup> abend.
7	23	1	Merkur in größter Ost Dreg. 11 <sup>te</sup> 1 <sup>te</sup> .
8	24	5	Merkur in der Sonne.
9	27	9	Jupiter in Konjunktion mit dem Monde.
10	28	7	Merkur in größter abend. helles. Brille.
11	31	11	Saturn im untersteigenden Knoten.
12	33	17	Merkur in extremer Konjunktion mit der Sonne.

Planeten - Ephemeriden.

Mittlere Berliner Mittag.							Mittlere Berliner Mittag.							
$\frac{d}{dt}$ h	Rektascension			Declination			$\frac{d}{dt}$ h	Rektascension			Declination			
	h	m	s	°	'	"		h	m	s	°	'	"	
Merkur.							Merkur.							
Febr. 4	10	1	14.50	—19	56	43.8	1	10	10	48.10	—19	56	43.8	
5	10	10	28.09	—19	56	44.9	1	10	10	48.10	—19	56	44.9	
14	10	10	50.00	—19	52	24.8	1	10	10	50.00	—19	52	24.8	
19	10	1	0.24	—19	50	01.6	1	10	1	0.24	—19	50	01.6	
24	10	10	00.70	—19	48	24.7	1	10	10	00.70	—19	48	24.7	
29	10	10	28.84	—19	47	00.7	1	10	10	28.84	—19	47	00.7	
Venus.							Venus.							
Febr. 4	10	10	52.00	—19	48	26.1	1	10	10	52.00	—19	48	26.1	
5	10	10	52.08	—19	48	26.1	1	10	10	52.08	—19	48	26.1	
14	10	1	52.74	—19	48	07.0	1	10	1	52.74	—19	48	07.0	
19	10	10	58.30	—19	48	04.9	1	10	10	58.30	—19	48	04.9	
24	10	10	00.77	—19	47	01.4	1	10	10	00.77	—19	47	01.4	
29	1	7	00.10	—19	47	00.4	1	10	1	00.10	—19	47	00.4	
Mars.							Mars.							
Febr. 4	1	5	58.32	—19	48	00.0	1	10	1	58.32	—19	48	00.0	
5	1	58	52.01	—19	47	58.1	1	10	1	58	52.01	—19	47	58.1
14	1	58	58.04	—19	47	57.9	1	10	1	58	58.04	—19	47	57.9
19	1	40	57.04	—19	47	57.9	1	10	1	40	57.04	—19	47	57.9
24	1	56	56.38	—19	48	00.0	1	10	1	56	56.38	—19	48	00.0
29	1	7	00.00	—19	48	00.0	1	10	1	7	00.00	—19	48	00.0
Jupiter.							Jupiter.							
Febr. 4	1	58	47.04	—19	47	57.9	1	10	1	58	47.04	—19	47	57.9
10	1	58	58.12	—19	48	00.0	1	10	1	58	58.12	—19	48	00.0

Mittlere Berliner Mittag.							Mittlere Berliner Mittag.							
$\frac{d}{dt}$ h	Rektascension			Declination			$\frac{d}{dt}$ h	Rektascension			Declination			
	h	m	s	°	'	"		h	m	s	°	'	"	
Merkur.							Merkur.							
Febr. 4	10	1	14.50	—19	56	43.8	1	10	10	48.10	—19	56	43.8	
5	10	10	28.09	—19	56	44.9	1	10	10	48.10	—19	56	44.9	
14	10	10	50.00	—19	52	24.8	1	10	10	50.00	—19	52	24.8	
19	10	1	0.24	—19	50	01.6	1	10	1	0.24	—19	50	01.6	
24	10	10	00.70	—19	48	24.7	1	10	10	00.70	—19	48	24.7	
29	10	10	28.84	—19	47	00.7	1	10	10	28.84	—19	47	00.7	
Venus.							Venus.							
Febr. 4	10	10	52.00	—19	48	26.1	1	10	10	52.00	—19	48	26.1	
5	10	10	52.08	—19	48	26.1	1	10	10	52.08	—19	48	26.1	
14	10	1	52.74	—19	48	07.0	1	10	1	52.74	—19	48	07.0	
19	10	10	58.30	—19	48	04.9	1	10	10	58.30	—19	48	04.9	
24	10	10	00.77	—19	47	01.4	1	10	10	00.77	—19	47	01.4	
29	1	7	00.10	—19	47	00.4	1	10	1	00.10	—19	47	00.4	
Mars.							Mars.							
Febr. 4	1	5	58.32	—19	48	00.0	1	10	1	58.32	—19	48	00.0	
5	1	58	52.01	—19	47	58.1	1	10	1	58	52.01	—19	47	58.1
14	1	58	58.04	—19	47	57.9	1	10	1	58	58.04	—19	47	57.9
19	1	40	57.04	—19	47	57.9	1	10	1	40	57.04	—19	47	57.9
24	1	56	56.38	—19	48	00.0	1	10	1	56	56.38	—19	48	00.0
29	1	7	00.00	—19	48	00.0	1	10	1	7	00.00	—19	48	00.0
Jupiter.							Jupiter.							
Febr. 4	1	58	47.04	—19	47	57.9	1	10	1	58	47.04	—19	47	57.9
10	1	58	58.12	—19	48	00.0	1	10	1	58	58.12	—19	48	00.0

Mittlere Berliner Mittag.							Mittlere Berliner Mittag.							
$\frac{d}{dt}$ h	Rektascension			Declination			$\frac{d}{dt}$ h	Rektascension			Declination			
	h	m	s	°	'	"		h	m	s	°	'	"	
Merkur.							Merkur.							
Febr. 4	10	1	14.50	—19	56	43.8	1	10	10	48.10	—19	56	43.8	
5	10	10	28.09	—19	56	44.9	1	10	10	48.10	—19	56	44.9	
14	10	10	50.00	—19	52	24.8	1	10	10	50.00	—19	52	24.8	
19	10	1	0.24	—19	50	01.6	1	10	1	0.24	—19	50	01.6	
24	10	10	00.70	—19	48	24.7	1	10	10	00.70	—19	48	24.7	
29	10	10	28.84	—19	47	00.7	1	10	10	28.84	—19	47	00.7	
Venus.							Venus.							
Febr. 4	10	10	52.00	—19	48	26.1	1	10	10	52.00	—19	48	26.1	
5	10	10	52.08	—19	48	26.1	1	10	10	52.08	—19	48	26.1	
14	10	1	52.74	—19	48	07.0	1	10	1	52.74	—19	48	07.0	
19	10	10	58.30	—19	48	04.9	1	10	10	58.30	—19	48	04.9	
24	10	10	00.77	—19	47	01.4	1	10	10	00.77	—19	47	01.4	
29	1	7	00.10	—19	47	00.4	1	10	1	00.10	—19	47	00.4	
Mars.							Mars.							
Febr. 4	1	5	58.32	—19	48	00.0	1	10	1	58.32	—19	48	00.0	
5	1	58	52.01	—19	47	58.1	1	10	1	58	52.01	—19	47	58.1
14	1	58	58.04	—19	47	57.9	1	10	1	58	58.04	—19	47	57.9
19	1	40	57.04	—19	47	57.9	1	10	1	40	57.04	—19	47	57.9
24	1	56	56.38	—19	48	00.0	1	10	1	56	56.38	—19	48	00.0
29	1	7	00.00	—19	48	00.0	1	10	1	7	00.00	—19	48	00.0
Jupiter.							Jupiter.							
Febr. 4	1	58	47.04	—19	47	57.9	1	10	1	58	47.04	—19	47	57.9
10	1	58	58.12	—19	48	00.0	1	10	1	58	58.12	—19	48	00.0

Mittlere Berliner Mittag.							Mittlere Berliner Mittag.							
$\frac{d}{dt}$ h	Rektascension			Declination			$\frac{d}{dt}$ h	Rektascension			Declination			
	h	m	s	°	'	"		h	m	s	°	'	"	
Merkur.							Merkur.							
Febr. 4	10	1	14.50	—19	56	43.8	1	10	10	48.10	—19	56	43.8	
5	10	10	28.09	—19	56	44.9	1	10	10	48.10	—19	56	44.9	
14	10	10	50.00	—19	52	24.8	1	10	10	50.00	—19	52	24.8	
19	10	1	0.24	—19	50	01.6	1	10	1	0.24	—19	50	01.6	
24	10	10	00.70	—19	48	24.7	1	10	10	00.70	—19	48	24.7	
29	10	10	28.84	—19	47	00.7	1	10	10	28.84	—19	47	00.7	
Venus.							Venus.							
Febr. 4	10	10	52.00	—19	48	26.1	1	10	10	52.00	—19	48	26.1	
5	10	10	52.08	—19	48	26.1	1	10	10	52.08	—19	48	26.1	
14	10	1	52.74	—19	48	07.0	1	10	1	52.74	—19	48	07.0	
19	10	10	58.30	—19	48	04.9	1	10	10	58.30	—19	48	04.9	
24	10	10	00.77	—19	47	01.4	1	10	10	00.77	—19	47	01.4	
29	1	7	00.10	—19	47	00.4	1	10	1	00.10	—19	47	00.4	
Mars.							Mars.							
Febr. 4	1	5	58.32	—19	48	00.0	1	10	1	58.32	—19	48	00.0	
5	1	58	52.01	—19	47	58.1	1	10	1	58	52.01	—19	47	58.1
14	1	58	58.04	—19	47	57.9	1	10	1	58	58.04	—19	47	57.9
19	1	40	57.04	—19	47	57.9	1	10	1	40	57.04	—19	47	57.9
24	1	56	56.38	—19	48	00.0	1	10	1	56	56.38	—19	48	00.0
29	1	7	00.00	—19	48	00.0	1	10	1	7	00.00	—19	48	00.0
Jupiter.							Jupiter.							
Febr. 4	1	58	47.04	—19	47	57.9	1	10	1	58	47.04	—19	47	57.9
10	1	58	58.12	—19	48	00.0	1	10	1	58	58.12	—19	48	00.0

Mittlere Berliner Mittag.							Mittlere Berliner Mittag.							
$\frac{d}{dt}$ h	Rektascension			Declination			$\frac{d}{dt}$ h	Rektascension			Declination			
	h	m	s	°	'	"		h	m	s	°	'	"	
Merkur.							Merkur.							
Febr. 4	10	1	14.50	—19	56	43.8	1	10	10	48.10	—19	56	43.8	
5	10	10	28.09	—19	56	44.9	1	10	10	48.10	—19	56	44.9	
14	10	10	50.00	—19	52	24.8	1	10	10	50.00	—19	52	24.8	
19	10	1	0.24	—19	50	01.6	1	10	1	0.24	—19	50	01.6	
24	10	10	00.70	—19	48	24.7	1	10	10	00.70	—19	48	24.7	
29	10	10	28.84	—19	47	00.7	1	10	10	28.84	—19	47	00.7	
Venus.							Venus.							
Febr. 4	10	10	52.00	—19	48	26.1	1	10	10	52.00	—19	48	26.1	
5	10	10	52.08	—19	48	26.1	1	10	10	52.08	—19	48	26.1	
14	10	1	52.74	—19	48	07.0	1	10	1	52.74	—19	48	07.0	
19	10	10	58.30	—19	48	04.9	1	10	10	58.30	—19	48	04.9	
24	10	10	00.77	—19	47	01.4	1	10	10	00.77	—19	47	01.4	
29	1	7	00.10	—19	47	00.4	1	10	1	00.10	—19	47	00.4	
Mars.							Mars.							
Febr. 4	1	5	58.32	—19	48	00.0	1	10	1	58.32	—19	48	00.0	
5	1	58	52.01	—19	47	58.1	1	10	1	58	52.01	—19	47	58.1
14	1	58	58.04	—19	47	57.9	1	10	1	58	58.04	—19	47	57.9
19	1	40	57.04	—19	47	57.9	1	10	1	40	57.04	—19	47	

Stärkenderungen durch den Mond für Berlin 1900.

Monatstag	Sonne	Ceres	Pluton		Jupiter	
			h	m	h	m
Febr. 12	1. Theil	1.0	12	56.3	14	1.0
— 22	2. Theil	1.0	12	53.7	14	0.7

Febr. 28. Mittlere Größe der Elipse:  
 Wätere „ „ „ „  
 Halbmesser der Sonne  
 Parallaxe „ „

10° 10' 50.1  
 10° 10' 50.0  
 10' 10.4 "  
 0.000

# Stellungen der Jupitermonde im Februar 1908.

L



III



II



IV



Stellungen von **III** für den Anblick im astronomischen Fernrohr.

Tag	Westl.	Ostl.
1	0 0'	0
2	1 1'	0 1'
3	1 2'	0 2'
4	1 3'	0 3'
5	1 4'	0 4'
6	1 5'	0 5'
7	1 6'	0 6'
8	1 7'	0 7'
9	1 8'	0 8'
10	1 9'	0 9'
11	1 10'	0 10'
12	1 11'	0 11'
13	1 12'	0 12'
14	1 13'	0 13'
15	1 14'	0 14'
16	1 15'	0 15'
17	1 16'	0 16'
18	1 17'	0 17'
19	1 18'	0 18'
20	1 19'	0 19'
21	1 20'	0 20'
22	1 21'	0 21'
23	1 22'	0 22'
24	1 23'	0 23'
25	1 24'	0 24'
26	1 25'	0 25'
27	1 26'	0 26'
28	1 27'	0 27'
29	1 28'	0 28'
30	1 29'	0 29'

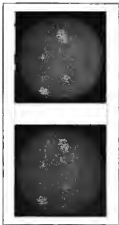
**Erhebungen der Jupitermonde.** Die sämtlichen Angaben über die Erhebungen der Jupitermonde beziehen sich auf mittlere Zeit von Greenwich. Die Trabanten sind der Reihenfolge ihres Abstandes vom Jupiter nach **I** bis **IV** bezeichnet. Die vorgetragenen Figuren zeigen die Stellung jedes Mondes mit Bezug auf den Jupiter zu dem Augenblick der Vorüberkunft (d. h. oder des Winkelmessens  $\gamma$ ), bei  $r$  nicht angegeben, so kann der Austritt aus dem Schatten nicht beobachtet werden. Ferner bedeutet bei den vollständigen Zeitangaben:

- Er D das Verschwinden des Trabanten im Schatten des Jupiter.  
 Ex R den Austritt des Trabanten aus dem Schatten des Jupiter.  
 Oc D das Verschwinden des Trabanten hinter der Jupiterschale.  
 Oc R das Wiedersicherscheit desselben neben der Jupiterschale.  
 Tr I den Eintritt des Trabanten vor die Jupiterschale.  
 Tr E den Austritt des Trabanten aus der Jupiterschale.  
 Sh I den Eintritt des Trabanten zwischen auf die Jupiterschale.  
 Sh E den Austritt des Trabanten zwischen aus der Jupiterschale.

Es sind nur diejenigen Erhebungen der Jupitermonde aufgeführt, welche sich er-  
 zeigten, wenn Jupiter zu Greenwich über und die Sonne unter dem Horizont stand.  
 Um die Momente dieser Erhebungen nach mittelmässiger Zeit zu finden, hat  
 man nur nötig,  $T^h$  zu den angegebenen Zeitangaben zu addieren.

Februar **1.** I Tr. I. 11<sup>h</sup> 55<sup>m</sup>. I Sh. I. 11<sup>h</sup> 55<sup>m</sup>. I Tr. E. 12<sup>h</sup> 10<sup>m</sup>. I Sh. E. 12<sup>h</sup> 10<sup>m</sup>. Februar **2.** I Oc. D. 2<sup>h</sup> 45<sup>m</sup>. I Ex. R. 12<sup>h</sup> 10<sup>m</sup> 10<sup>s</sup>. Februar **3.** I Tr. I. 2<sup>h</sup> 10<sup>m</sup>. I Sh. I. 2<sup>h</sup> 10<sup>m</sup>. I Tr. E. 2<sup>h</sup> 25<sup>m</sup>. I Sh. E. 2<sup>h</sup> 25<sup>m</sup>. Februar **4.** I Tr. I. 11<sup>h</sup> 35<sup>m</sup>. I Sh. I. 11<sup>h</sup> 35<sup>m</sup>. I Tr. E. 11<sup>h</sup> 50<sup>m</sup>. I Sh. E. 11<sup>h</sup> 50<sup>m</sup>. Februar **5.** II Tr. I. 1<sup>h</sup> 45<sup>m</sup>. II Sh. I. 1<sup>h</sup> 45<sup>m</sup>. II Tr. E. 2<sup>h</sup> 10<sup>m</sup>. II Sh. E. 2<sup>h</sup> 10<sup>m</sup>. Februar **6.** II Tr. I. 21<sup>h</sup> 20<sup>m</sup>. II Sh. I. 21<sup>h</sup> 20<sup>m</sup>. II Tr. E. 21<sup>h</sup> 35<sup>m</sup>. II Sh. E. 21<sup>h</sup> 35<sup>m</sup>. Februar **7.** II Oc. D. 10<sup>h</sup> 10<sup>m</sup>. II Ex. R. 21<sup>h</sup> 35<sup>m</sup> 40<sup>s</sup>. I Tr. I. 10<sup>h</sup> 10<sup>m</sup>. I Sh. I. 10<sup>h</sup> 10<sup>m</sup>. Februar **8.** I Oc. D. 10<sup>h</sup> 10<sup>m</sup>. I Ex. R. 21<sup>h</sup> 35<sup>m</sup> 40<sup>s</sup>. Februar **9.** I Tr. I. 12<sup>h</sup> 10<sup>m</sup>. I Sh. I. 12<sup>h</sup> 10<sup>m</sup>. I Tr. E. 12<sup>h</sup> 25<sup>m</sup>. I Sh. E. 12<sup>h</sup> 25<sup>m</sup>. Februar **10.** II Tr. I. 12<sup>h</sup> 10<sup>m</sup>. II Sh. I. 12<sup>h</sup> 10<sup>m</sup>. II Tr. E. 12<sup>h</sup> 25<sup>m</sup>. II Sh. E. 12<sup>h</sup> 25<sup>m</sup>. Februar **11.** I Oc. R. 12<sup>h</sup> 25<sup>m</sup> 30<sup>s</sup>. I Tr. I. 12<sup>h</sup> 25<sup>m</sup>. I Sh. I. 12<sup>h</sup> 25<sup>m</sup>. Februar **12.** II Tr. I. 21<sup>h</sup> 35<sup>m</sup>. II Sh. I. 21<sup>h</sup> 35<sup>m</sup>. Februar **13.** II Oc. D. 11<sup>h</sup> 30<sup>m</sup>. II Ex. R. 21<sup>h</sup> 35<sup>m</sup>. II Tr. I. 11<sup>h</sup> 30<sup>m</sup>. I Sh. I. 11<sup>h</sup> 30<sup>m</sup>. Februar **14.** I Oc. D. 21<sup>h</sup> 35<sup>m</sup>. I Ex. R. 21<sup>h</sup> 35<sup>m</sup> 40<sup>s</sup>. Februar **15.** I Oc. D. 21<sup>h</sup> 35<sup>m</sup>. I Ex. R. 21<sup>h</sup> 35<sup>m</sup> 40<sup>s</sup>. I Tr. I. 21<sup>h</sup> 35<sup>m</sup>. I Sh. I. 21<sup>h</sup> 35<sup>m</sup>. I Tr. E. 21<sup>h</sup> 50<sup>m</sup>. I Sh. E. 21<sup>h</sup> 50<sup>m</sup>. Februar **16.** II Oc. D. 21<sup>h</sup> 35<sup>m</sup>. II Ex. R. 21<sup>h</sup> 35<sup>m</sup> 40<sup>s</sup>. I Oc. D. 21<sup>h</sup> 35<sup>m</sup>. I Ex. R. 21<sup>h</sup> 35<sup>m</sup> 40<sup>s</sup>. Februar **17.** I Tr. I. 21<sup>h</sup> 35<sup>m</sup>. I Sh. I. 21<sup>h</sup> 35<sup>m</sup>. I Tr. E. 21<sup>h</sup> 50<sup>m</sup>. I Sh. E. 21<sup>h</sup> 50<sup>m</sup>. Februar **18.** II Oc. D. 21<sup>h</sup> 35<sup>m</sup>. II Ex. R. 21<sup>h</sup> 35<sup>m</sup> 40<sup>s</sup>. I Oc. D. 21<sup>h</sup> 35<sup>m</sup>. I Ex. R. 21<sup>h</sup> 35<sup>m</sup> 40<sup>s</sup>. Februar **19.** I Tr. I. 21<sup>h</sup> 35<sup>m</sup>. I Sh. I. 21<sup>h</sup> 35<sup>m</sup>. I Tr. E. 21<sup>h</sup> 50<sup>m</sup>. I Sh. E. 21<sup>h</sup> 50<sup>m</sup>. Februar **20.** II Oc. D. 21<sup>h</sup> 35<sup>m</sup>. II Ex. R. 21<sup>h</sup> 35<sup>m</sup> 40<sup>s</sup>. I Oc. D. 21<sup>h</sup> 35<sup>m</sup>. I Ex. R. 21<sup>h</sup> 35<sup>m</sup> 40<sup>s</sup>. Februar **21.** Tr. Sh. E. 21<sup>h</sup> 50<sup>m</sup>. II Tr. I. 21<sup>h</sup> 50<sup>m</sup>. I Sh. I. 21<sup>h</sup> 50<sup>m</sup>. Februar **22.** Tr. Sh. E. 21<sup>h</sup> 50<sup>m</sup>. II Tr. I. 21<sup>h</sup> 50<sup>m</sup>. I Sh. I. 21<sup>h</sup> 50<sup>m</sup>. Februar **23.** II Oc. D. 21<sup>h</sup> 35<sup>m</sup>. II Ex. R. 21<sup>h</sup> 35<sup>m</sup> 40<sup>s</sup>. I Oc. D. 21<sup>h</sup> 35<sup>m</sup>. I Ex. R. 21<sup>h</sup> 35<sup>m</sup> 40<sup>s</sup>. Februar **24.** I Tr. I. 21<sup>h</sup> 35<sup>m</sup>. I Sh. I. 21<sup>h</sup> 35<sup>m</sup>. I Tr. E. 21<sup>h</sup> 50<sup>m</sup>. I Sh. E. 21<sup>h</sup> 50<sup>m</sup>. Februar **25.** II Oc. D. 21<sup>h</sup> 35<sup>m</sup>. II Ex. R. 21<sup>h</sup> 35<sup>m</sup> 40<sup>s</sup>. I Oc. D. 21<sup>h</sup> 35<sup>m</sup>. I Ex. R. 21<sup>h</sup> 35<sup>m</sup> 40<sup>s</sup>. Februar **26.** I Tr. I. 21<sup>h</sup> 35<sup>m</sup>. I Sh. I. 21<sup>h</sup> 35<sup>m</sup>. I Tr. E. 21<sup>h</sup> 50<sup>m</sup>. I Sh. E. 21<sup>h</sup> 50<sup>m</sup>. Februar **27.** II Oc. D. 21<sup>h</sup> 35<sup>m</sup>. II Ex. R. 21<sup>h</sup> 35<sup>m</sup> 40<sup>s</sup>. I Oc. D. 21<sup>h</sup> 35<sup>m</sup>. I Ex. R. 21<sup>h</sup> 35<sup>m</sup> 40<sup>s</sup>. Februar **28.** I Tr. I. 21<sup>h</sup> 35<sup>m</sup>. I Sh. I. 21<sup>h</sup> 35<sup>m</sup>. I Tr. E. 21<sup>h</sup> 50<sup>m</sup>. I Sh. E. 21<sup>h</sup> 50<sup>m</sup>.

Reine und reine Monde sind im März 1877 nicht zu beobachten.



Seite 1907

Seite 1908

Ausschnitt der Sterne am 17. August 1905,

nach zwei Aufnahmen von Prof. Oberg K. Hüb. am 14. 20h p. m. und 19. 20h u. m.

1

2





